





Archiv

für

Mikroskopische Anatomie

herausgegeben

von

v. la Valette St. George in Bonn

und

W. Waldeyer in Strassburg.

Fortsetzung von Max Schultze's Archiv für mikroskopische Anatomie.

Namen- und Sachregister

zu Bd. I—XX

bearbeitet von

Ludwig Schirmeyer.

Bonn

Verlag von Max Cohen & Sohn (Fr. Cohen)

1884.





Autoren-Register.

- Abbe, E., Beiträge zur Theorie des Mikroskopes und der mikroskopischen Wahrnehmung. IX, 413.
— Ueber einen neuen Beleuchtungsapparat am Mikroskop. IX, 464.
- Adamkiewicz, Albert, Kittschichten in den Wandungen der Gefässe. XI, 282.
- Aeby, Chr., Die Architectur unvollkommen getheilter Zahnwurzeln. XV, 360.
— Das histologische Verhalten fossilen Knochen- und Zahngewebes. XV, 371.
— Die Muskulatur der menschlichen Mundspalte. XVI, 651.
- Afanassiew, D. B., Ueber die concentrischen Körper der Thymus. XIV, 1.
— Weitere Untersuchungen über den Bau und die Entwicklung der Thymus und der Winterschlagdrüse der Säugethiere. XIV, 343.
— Nachtrag zu der Arbeit des Herrn Dr. D. B. Afanassiew: „Ueber die Thymus“. XIV, 408.
— Untersuchungen über die sternförmigen Zellen der Hodenkanälchen und anderer Drüsen. XV, 200.
- Ajtai, Alex., von, Beitrag zur Kenntniss der Geschmacksorgane. VIII, 455.
- Alenitzin, Wladimir, Wagneria cylindroconica, ein neues Infusionsthier. Vorläufige Mittheilung. X, 122.
- Alexander, W. F., Bemerkungen über die Nerven der Dura mater. XI, 231.
- Altman, Richard, Ueber die Veränderungen des serösen Epithels am blossgelegten Froschmesenterium. XVI, 111.
— Ueber die Verwerthbarkeit der Corrosion in der mikroskopischen Anatomie. XVI, 471.
- Angelucci, Arnaldo, Ueber Entwicklung und Bau des vorderen Uvealtractus der Vertebraten. XIX, 152.
- Arndt, Rudolph, Studien über die Architectonik der Grosshirnrinde des Menschen. I. Theil III, 441, II. Theil IV, 407, III. Theil V, 317.
— Bemerkungen über die Ganglienkörper der Grosshirnrinde des Menschen. VI, 173.
— Untersuchungen über die Endigung der Nerven in den quergestreiften Muskelfasern. IX, 481.
— Untersuchungen über die Ganglienkörper des nervus sympathicus. X, 208.
— Untersuchungen über die Ganglienkörper der Spinalganglien. XI, 140.
- Arnstein, C., Historische Notiz, das perilymphatische Capillarnetz betreffend. XVIII, 345.
- Benda, Carl, Die Dentinbildung in den Hautzähnen der Selachier. XX, 246.
- Benecke, Berthold, Beiträge zur mikrophotographischen Technik. III, 61.
- Betz, W., Untersuchungsmethode des Centralnervensystems des Menschen. IX, 101.
- Bigelow, W. S., Notiz über den Theilungsvorgang bei Knorpelzellen, sowie über den Bau des hyalinen Knorpels. XVI, 457.
- Binz, C., Ueber die Einwirkung von Chinin auf Protoplasma-Bewegungen. III, 383.
- Bobretzky, N., Studien über die embryonale Entwicklung der Gastropoden. XIII, 95.
- Boettcher, Arthur, Ueber die feineren

- Strukturverhältnisse der rothen Blutkörperchen. XIV, 73.
- Boldreyw, Beiträge zur Kenntniss der Nerven, Blut- und Lymphgefäße der Kehlkopfschleimhaut. VII, 166.
- Boll, Franz, Untersuchungen über die Zahnpulpa. IV, 73.
- Ueber den Bau der Thränen-drüse. IV, 146.
- Die Lorenzinischen Ampullen der Selachier. IV, 375.
- Die Binde-substanz der Drüsen. V, 334.
- Beiträge zur vergleichenden Histologie des Molluskentypus. V. Supplement.
- Untersuchungen über den Bau und die Entwicklung der Gewebe. I. Theil, VII, 276, II. Theil, VIII, 28.
- Structur der electrischen Platten von Torpedo. X, 101.
- Structur der electrischen Platten von Malapterurus. X, 242.
- Botalli, Andrea, Beiträge zur Kenntniss des Baues der Reptilienhaut. XVII, 346.
- Brandt, Alexander, Ueber ein Mikrotom. VII, 175.
- Ueber active Formveränderungen des Kernkörperchens. X, 505.
- Bemerkungen über die Kerne der rothen Blutkörperchen. XIII, 391.
- Commentar zur Keimbläschen-theorie des Eies. I. Die Blastoderm-elemente und Dotterballen der Insecten. XVII, 43.
- Commentar zur Keimbläschen-theorie des Eies. II. XVII, 551.
- Breitenbach, Wilhelm, Vorläufige Mittheilung über einige neue Untersuchungen an Schmetterlingsrüsseln. XIV, 308.
- Untersuchungen an Schmetterlingsrüsseln. XV, 7.
- Breslauer, Wilh., Ueber die Entwicklung des fibrillären Bindegewebes. V, 512.
- Brücke, Ernst, Erfahrungen über das lösliche Berlinerblau als Injectionsfarbe, II, 87.
- Brunn, Albert von, Ein Beitrag zur Kenntniss des feineren Baues und der Entwicklungs-Geschichte der Nebenniere. VIII, 618.
- Untersuchungen über das Riechepithel. XI, 468.
- Beiträge zur Entwicklungs-geschichte der Samenkörper. XII, 528.
- Brunn, Albert von, Ueber die den rothen Blutkörperchen der Säugethiere zugeschriebenen Kerne. XIV, 333.
- Weitere Untersuchungen über das Riechepithel und sein Verhalten zum nervus olfactorius. XVII, 141.
- Notiz über unvollkommene Schmelzentwicklung auf den Mahlzähnen der Ratte. XVII, 241.
- Bubnoff, N., Zur Kenntniss der knäuel förmigen Hautdrüsen der Katze und ihre Veränderungen während der Thätigkeit. XX, 109.
- Budge, Albrecht, Die Lymphwurzeln der Knochen. XIII, 87.
- Die Saftbahnen im hyalinen Knorpel. XIV, 65.
- Weitere Mittheilungen über die Saftbahnen im hyalinen Knorpel. XVI, 1.
- Bütschli, O., Einiges über Infusorien. IX, 657.
- Beiträge zur Kenntniss des Nervensystems der Nematoden. X, 74.
- Zur Kenntniss der Fortpflanzung bei *Arcella vulgaris*. XI, 459.
- Busch, F., Zur Technik der mikroskopischen Knochen-Untersuchung. XIV, 480.
- Calberla, Ernst, Studien über die Entwicklung der quergestreiften Muskeln und Nerven der Amphibien und Reptilien. XI, 442.
- Carrière, Justus, Ueber Anastomosen der Ganglienzellen in den Vorderhörnern des Rückenmarkes. XIV, 125.
- Die Augen von *Planaria polychroa* Schmidt und *Polycelis nigra* Ehrb. XX, 160.
- Carus, Victor, Ueber *Noctiluca miliaris*. IV, 351.
- Cienkowski, L., Beiträge zur Kenntniss der Monaden. I, 203.
- Ueber den Bau und die Entwicklung der Labyrinthuleen. III, 274.
- Ueber *Clathrulina*, eine neue Aktinophryen-Gattung. III, 311.
- Ueber Palmellaceen und Flagellaten. VI, 421.
- Ueber Schwärmerbildung bei *Noctiluca miliaris*. VII, 131.
- Ueber Schwärmerbildung bei Radiolarien. VII, 371.
- Ueber *Noctiluca miliaris*. IX, 47.
- Ueber einige Rhizopoden. XII, 15.
- Cisow, Alex., Ueber das Gehörorgan der Ganoiden. XVIII, 486.

- Claus, C., Das Gehörorgan der Heteropoden. XII, 103.
 — Ueber den akustischen Apparat im Gehörorgan der Heteropoden. XV, 341.
 — Ueber Tetrapteron (Tetraplatia) volitans. XV, 349.
- Cohn, Ferdinand, Beiträge zur Physiologie der Phycochromaceen und Florideen. III, 1.
- Courvoisier, L. G., Beobachtungen über den sympathischen Grenzstrang. (Auszug aus einer von der medicinischen Fakultät zu Basel gekrönten Preisschrift). II, 13.
 — Ueber die Zellen der Spinalganglien, sowie des Sympathicus beim Frosch. IV, 125.
- Czerny, Vincenz, Einige Beobachtungen über Amöben. V, 158.
- Czokor, Die Cochennille - Carminlösung. XVIII, 412.
- Davis, C., Die becherförmigen Organe des Kehlkopfes. XIV, 158.
- Denissenko, Gabriel, Zur Frage über den Bau der Kleinhirnrinde verschiedener Klassen von Wirbelthieren. XIV, 203.
 — Mittheilung über die Gefäße der Netzhaut der Fische. XVIII, 480.
 — Ueber den Bau der äusseren Körnerschicht der Retina bei Wirbelthieren. XIX, 395.
 — Ueber den Bau und die Function des Kammes (Pecten) im Auge der Vögel. XIX, 733.
- Dezsö-Béla, Die Histologie und Sprossenentwicklung der Tethyen, besonders der Tethya lyncurium Lieberkühn (autorum). XVI, 626.
 — Fortsetzung der Untersuchung über Tethya lyncurium autorum. XVII, 151.
- Dippel, Leopold, Mikroskopische Mittheilungen. V, 281.
 — Mikrographische Mittheilungen. IX, 801.
- Disse, J., Beiträge zur Anatomie des menschlichen Kehlkopfes. XI, 497.
 — Die Entwicklung des mittleren Keimblattes im Hühnerci. XV, 67.
 — Die Entstehung des Blutes und der ersten Gefäße im Hühnerci. XVI, 545.
 — Eine Berichtigung. XVII, 383.
- Dogiel, Alex., Zur Kenntniss der Nerven der Ureteren. XV, 64.
- Dogiel, Alex., Ueber ein die Lymphgefäße umspinnendes Netz von Blutcapillaren. XVII, 335.
- Dogiel, Johann, Ueber den Musculus Dilator Pupillae bei Säugethieren, Menschen und Vögeln. VI, 89.
 — Die Muskeln und Nerven des Herzens bei einigen Mollusken. XIV, 59.
 — Die Ganglienzellen des Herzens bei verschiedenen Thieren und Menschen. XIV, 470.
 — Erklärung zu der Bemerkung von M. Foster und A. G. Dew-Smith, dieses Archiv XIV, 3 pag. 317. XV, 95.
- Eberth, C., Zur Entwicklung der Gewebe im Schwanz der Froschlaren. II, 490.
 — Zur Entwicklungsgeschichte der Muskeln. II, 504.
 — Untersuchungen über die Leber der Wirbelthiere. III, 423.
 — Die Endigung der Hautnerven. VI, 225.
- Ebner, von, Ueber die Anfänge der Speichelgänge in den Alveolen der Speicheldrüsen. VIII, 481.
- Ebstein, Wilh., Beiträge zur Lehre vom Bau und der physiologischen Funktion der sogenannten Magenschleimdrüsen. VI, 515.
- Edinger, Ludwig, Ueber die Schleimhaut des Fischdarmes nebst Bemerkungen zur Phylogenese der Drüsen des Darmrohres. XIII, 651.
 — Die Endigung der Hautnerven bei Pterotrachea. XIV, 171.
 — Zur Kenntniss der Drüsenzellen des Magens, besonders beim Menschen. XVII, 193.
 — Notiz, betreffend den Magen von Tropidonotus natrix. XVII, 212.
- Egli, Th., Ueber die Drüsen des Nierenbeckens. IX, 653.
- Ehrlich, Felix, Ueber den peripheren Theil der Urwirbel. XI, 266.
- Ehrlich, P., Beiträge zur Kenntniss der Anilinfärbungen und ihre Anwendung in der mikroskopischen Technik. XIII, 263.
- Eimer, Th., Die Schnauze des Maulwurfs als Tastwerkzeug. VII, 181.
 — Zur Kenntniss vom Bau des Zellkerns. VIII, 141.
 — Untersuchungen über die Eier der Reptilien. VIII, 216.

- Eimer, Th., Nesselzellen und Samen bei Seeschwämmen. VIII, 281.
- Untersuchungen über die Eier der Reptilien. II. Zugleich Beobachtungen am Fisch- und Vogelei. VIII, 397.
- Ueber die Nervenendigung in der Haut der Kuhzitze. VIII, 643.
- Vorläufige Mittheilungen über die Nerven von *Beroe*. VIII, 647.
- Bemerkungen über die Leuchtorgane von *Lampyrus splendidula*. VIII, 653.
- Ueber amöboide Bewegungen des Kernkörperchens. XI, 325.
- Weitere Nachrichten über den Bau des Zellkernes, nebst Bemerkungen über Wimperepithelien. XIV, 94.
- Ueber künstliche Theilbarkeit und das Nervensystem der Medusen. XIV, 394.
- Versuche über künstliche Theilbarkeit von *Beroë ovatus*. XVII, 213.
- Ueber Tastapparate bei *Eucharis multicornis*. XVII, 342.
- Elin, E., Zur Kenntniss der feineren Nerven der Mundhöhlenschleimhaut. VII, 382.
- Emery, Carl, Ueber den feineren Bau der Giftdrüse von *Naja haje*. XI, 561.
- Engelmann, Th. W., Zur Theorie der Peristaltik. XV, 255.
- Fischer, E., Eosin als Tinktionsmittel für mikroskopische Präparate. XII, 349.
- Ueber den Bau der Meissner'schen Tastkörperchen. XII, 364.
- Ueber die Endigung der Nerven im quergestreiften Muskel der Wirbelthiere. XIII, 365.
- Flemming, W., Ueber den Ciliarmuskel der Haussäugethiere. IV, 353.
- Die haaretragenden Sinneszellen in der Haut der Mollusken. V, 415.
- Untersuchungen über die Sinnesepithelien der Mollusken. VI, 439.
- Ueber Bildung und Rückbildung der Fettzellen im Bindegewebe und Bemerkungen über die Struktur des letzteren. VII, 32.
- Weitere Mittheilungen zur Physiologie der Fettzelle. VII, 327.
- Eine Einbettungsmethode. IX, 122.
- Ueber die ersten Entwicklungserscheinungen am Ei der Teichmuschel. X, 257.
- Flemming, W., Beiträge zur Anatomie und Physiologie des Bindegewebes. XII, 391.
- Beiträge zur Anatomie und Physiologie des Bindegewebes. II. Abschnitt. XII, 434.
- Beobachtungen über die Beschaffenheit des Zellkernes. XIII, 693.
- Ueber Binde substanz und Gefäßwandung im Schwellegewebe der Muscheln. XIII, 818.
- Ueber die Blutzellen der Acephalen und Bemerkungen über deren Blutbahn. XV, 243.
- Bemerkung zur Injectionstechnik bei Wirbellosen. XV, 252.
- Beiträge zur Kenntniss der Zelle und ihrer Lebenserscheinungen. XVI, 302.
- Beiträge zur Kenntniss der Zelle und ihrer Lebenserscheinungen. II. Theil. XVIII, 151.
- Beiträge zur Kenntniss der Zelle und ihrer Lebenserscheinungen. III. Theil. XX, 1.
- Ueber Epithelregeneration und sogenannte freie Kernbildung. XVIII, 347.
- Ueber das E. Hermann'sche Kernfärbungsverfahren. XIX, 317.
- Zur Kenntniss der sensiblen Nervenendigungen. Nach Untersuchungen von E. Fischer. XIX, 513.
- Notiz zur Geschichte der Anilinfärbungen. XIX, 742.
- Flesch, Max, Die Anwendung von Gemischen von Chromsäure und Osmiumsäure zur Untersuchung des Gehörorgans kleinerer Thiere. XVI, 300.
- Einfache Vorrichtung zum Wiederauffinden wichtiger Stellen an mikroskopischen Präparaten. XX, 502.
- Ueber einige Verbesserungen an Seibert-Krafft's Mikroskop-Stativ. XX, 504.
- Flögel, J., Untersuchungen über die Structur der Zellwand in der Gattung *Pleurosigma*. VI, 472.
- Ueber die quergestreiften Muskeln der Milben. VIII, 69.
- Forster, F., Beitrag zur Kenntniss der Binde substanz der Avertebraten. XIV, 51.
- Foster, M. und A. G. Dew. Smith, Die Muskeln und Nerven des Herzens bei einigen Mollusken. XIV, 317.

- Frey, H., Ueber billige und gute Mikroskope. I, 443.
 — Die Haematoxylinfärbung. IV, 345.
- Gasser, E., Beobachtungen über die Entstehung des Wolff'schen Ganges bei Embryonen von Hühnern und Gänsen. XIV, 442.
 — Ueber die Entstehung des Herzens bei Vogelembryonen. XIV, 459.
- Gensch, H., Die Blutbildung auf dem Dottersack der Knochenfische. XIX, 144.
- Gerlach, J., Ueber das Verhältniss der nervösen und contractilen Substanz des quergestreiften Muskels. XIII, 399.
- Goette, A., Zur Morphologie der Haare. IV, 273.
 — Ueber die Entwicklung des *Bombinator igneus*. V, 90.
 — Kurze Mittheilung aus der Entwicklungsgeschichte der Unke. IX, 396.
 — Beiträge zur Entwicklung der Wirbelthiere. IX, 679.
 — Beiträge zur Entwicklungsgeschichte der Wirbelthiere. X, 145.
 — Beiträge zur Entwicklungsgeschichte der Wirbelthiere. Ueber die Entwicklungsgeschichte des Centralnervensystems der Teleostier. XV, 139.
 — Vergleichende Entwicklungsgeschichte der *Comatula mediterranea*. XII, 583.
 — Beiträge zur vergleichenden Morphologie des Skelettsystems der Wirbelthiere. XIV, 502.
 — Beiträge zur vergleichenden Morphologie des Skelettsystems der Wirbelthiere. Die Wirbelsäule und ihre Anhänge. XV, 315.
 — Nachtrag zum Aufsatz: „Die Wirbelsäule und ihre Anhänge“ 1. Die Cyclostomen. XV, 428.
 — Beiträge zur vergleichenden Morphologie des Skelettsystems der Wirbelthiere. XVI, 117.
- Golubew, Alexander, Beiträge zur Kenntniss des Baues und der Entwicklungsgeschichte der Capillargefäße des Frosches. V, 49.
- Goniaew, R., Die Nerven des Nahrungsschlauches. XI, 479.
- Gottstein, J., Ueber den feineren Bau und die Entwicklung der Gehörschnecke der Säugethiere und des Menschen. VIII, 145.
- Graber, V., Ueber den propulsatorischen Apparat der Insekten. IX, 129.
 — Ueber eine Art fibrilloiden Bindegewebes der Insectenhaut und seine locale Bedeutung als Tracheensusensorium. X, 124.
 — Ueber den pulsirenden Bauchsinus der Insekten. XII, 575.
 — Vorläufige Ergebnisse einer grösseren Arbeit über vergleichende Embryologie der Insecten. XV, 630.
 — Ueber neue, otocystenartige Sinnesorgane der Insecten. XVI, 36.
 — Ueber das unioorneale Tracheatenstemma und speciell das Arachnoideen- und Myriopoden-Auge. XVII, 58.
 — Nachtrag betreffend die Convergence zwischen dem Tracheaten- und Annelidenstemma. XVII, 94.
 — Morphologische Untersuchungen über die Augen der freilebenden Borstenwürmer. XVII, 243.
 — Die chordotonalen Sinnesorgane und das Gehör der Insecten. XX, 506.
- Greeff, Richard, Ueber das Nervensystem der Bärthierchen (*Arctiscoidea* C. A. S. Schultze, *Tardigraden* Doyère) mit besonderer Berücksichtigung der Muskelnerven und deren Endigungen. I, 101.
 — Zur Frage über die Endigungen der Muskelnerven. I, 437.
 — Untersuchungen über den Bau und die Naturgeschichte der Bärthierchen (*Arctiscoidea* C. A. S. Schultze). II, 102.
 — Ueber einige in der Erde lebende Amöben und andere Rhizopoden. II, 299.
 — Ueber *Actinophrys Eichhornii* und einen neuen Süßwasserrhizopoden, besonders in Rücksicht auf Theilbarkeit derselben resp. Vermehrung durch künstliche Theilung. III, 396.
 — Ueber Radiolarien und radiolarienartige Rhizopoden des süßen Wassers. V, 464.
 — *Pelomyxa palustris* (Pelobius), ein amöbenartiger Organismus des süßen Wassers. X, 51.

- Greeff, Richard, Ueber Radiolarien und radiolarienartige Rhizopoden des süßsen Wassers. II. Artikel. XI, 1.
 — Ueber die Encystirung und Fortpflanzung von Actinosphaerium Eichhornii. XIV, 167.
- Grenacher, H., Einige Notizen zur Tinctionstechnik, besonders zur Kernfärbung. XVI, 463.
 — Ueber die Augen einiger Myriopoden, zugleich eine Entgegnung an Herrn Prof. Dr. V. Graber in Czernowitz. XVIII, 415.
- Grimm, Oscar, Zur Naturgeschichte der Vibrionen. VIII, 514.
 — Ueber eine neue Süßwasser-Radiolarie. VIII, 531.
 — Nachträgliche Bemerkung zur Kenntniss der Vibrioniden. IX, 118.
- Gruenhagen, A., Notiz über die Ranvierschen Sehnenkörperchen. IX, 282.
 — Zur Frage über die Irismuskulatur. IX, 286.
 — Ueber die hintere Begrenzungs-schicht der menschlichen Iris. IX, 726.
- Gscheidlen, Rich., Beiträge zur Lehre von der Nervenendigung in den glatten Muskelfasern. XIV, 321.
- Hadlich, Heinr., Untersuchungen über die Kleinhirnrinde des Menschen. VI, 191.
- Hagen, Ueber die Mikroskope Nordamerikas. VI, 205.
- Hallier, Ernst, Die Leptothrixschwärmer und ihr Verhältniss zu den Vibrionen. Erläutert an der Entwicklungsgeschichte von Penicillium und Mucor. II, 67.
- Hamburger, Ad., Zur Histologie des Nierenbeckens und des Harnleiters. XVII, 14.
- Heidenhain, Untersuchungen über den Bau der Labdrüsen. VI, 368.
 — Bemerkungen über einige die Anatomie der Labdrüsen betreffende Punkte. VII, 239.
 — Bemerkungen über die Brunner'schen Drüsen. VIII, 279.
 — Mikroskopische Beiträge zur Anatomie und Physiologie der Nieren. X, 1.
- Heinemann, Carl, Untersuchungen über die Leuchtorgane der bei Vera-Cruz vorkommenden Leuchtkäfer. VIII, 461.
- Heinemann, Carl, Beiträge zur Anatomie der retina. XIV, 409.
- Heisrath, F., Ueber den Zusammenhang der vorderen Augenkammer mit den vorderen Ciliarvenen. XV, 209.
- Henle, J., Zur Entwicklungsgeschichte der Krystalllinse und zur Theilung des Zellkernes. XX, 413.
- Hensen, V., Ueber ein Instrument für mikroskopische Präparation. II, 46
 — Die Trichinen in Bezug auf Mikroskopie. II, 132.
 — Ueber den Bau des Schnecken- auges und über die Entwicklung der Augen der Thierreihe. II, 399.
 — Bemerkungen über den Aufsatz: „Ueber Abstammung und Entwicklung von Bacterium termo“. III, 342.
 — Embryologische Mittheilungen. III, 500.
 — Ueber die Nerven im Schwanz der Froschlarve. IV, 111.
 — Bemerkungen zu W. Krause, die Membrana fenestrata der Retina. IV, 347.
- Heppner, C. L., Ueber ein eigenthümliches optisches Verhalten der quergestreiften Muskelfaser. V, 137.
- Hering, Ewald, Ueber den Bau der Wirbelthierleber. III, 88.
- Heschl, Zur Geschichte des zusammengesetzten Mikroskopes. XVIII, 391.
- Hertwig, Oscar, Ueber die Entwicklung und den Bau des elastischen Gewebes im Netzknorpel. IX, 80.
 — Ueber das Zahnsystem der Amphibien und seine Bedeutung für die Genese des Skelets der Mundhöhle. Eine vergleichend-anatomische, entwicklungsgeschichtliche Untersuchung. XI, Supplement.
- Hertwig, Richard, Die lymphoiden Drüsen auf der Oberfläche des Störherzens. IX, 62.
 — Ueber Mikrogromia socialis, eine coloniebildende Monothalamie des süßsen Wassers. X, Supplement, 1.
 — und Lesser, E., Ueber Rhizopoden und denselben nahestehende Organismen. Morphologische Studien. X, Supplement, 35.
- His, Wilh., Beobachtungen über den Bau des Säugethier-Eierstocks. I, 151.
 — Ueber die erste Anlage des Wirbelthierleibes. II, 515.

- His, Wilh., Beschreibung eines Mikrotoms. VI, 229.
- Hohl, Knochenkörperchen mit eigenthümlichen Kapseln in der Zahnpulpa. Ein Beitrag zur Pathologie der Zahnpulpa II, 349.
— Berichtung. V, 377.
- Hoyer, Vorschrift zu einer gelben Injectionsmasse. III, 136.
— Ueber die Nerven der Hornhaut. IX., 220.
— Ueber unmittelbare Einmündung kleinster Arterien in Gefässe venösen Charakters. XIII, 603.
— Beiträge zur anatomischen und histologischen Technik. XIII, 645.
- Hüttenbrenner, Andr. von, Ueber die Gewebsveränderung in der entzündeten Leber. V, 367.
- Janisch, C., Ueber J. Woodward's neueste Mikrophotographie von Amphipleura pellucida und Pleurosigma angulatum. XVIII, 260.
- Joseph, Hermann, Ueber die Zellen und die Nerven der kompakten Knochensubstanz. VI, 182.
- Katschenko, N., Ueber die Genese und Architectur des Batrachierknochens. XIX, 1.
- Keller, Conrad, Neue Coelenteraten aus dem Golf von Neapel. XVIII, 271.
- Keller, Karl, Untersuchungen über die Blätterbildung im Hühnerkeim. XX, 174.
- Kerbert, Coenraad, Ueber die Haut der Reptilien und anderer Wirbelthiere. XIII, 205.
— Beitrag zur Kenntniss der Trematoden. XIX, 529.
- Key Axel und Gustav Retzius, Studien in der Anatomie des Nervensystems. IX, 308.
- Klebs, Die Einschmelzungsmethode. Ein Beitrag zur mikroskopischen Technik. V, 164.
- Kolatschewsky, Beiträge zur Histologie der Leber. Vorläufige Mittheilung. XIII, 415.
- Kolessnikow, Ueber die Eientwicklung bei Batrachiern und Knochenfischen. XV, 382.
- Kollmann, Die Binde-substanz der Acephalen. XIII, 558.
- Korybutt-Daszkiwicz, Ueber die Entwicklung der Nerven aus Plasmazellen beim Frosch. XV. 1.
- Koschewnikoff, A., Axencylinderfortsatz der Nervenzellen im kleinen Hirn des Kalbes. V, 332.
— Axencylinderfortsatz der Nervenzellen aus der Grosshirnrinde. V, 374.
- Kostarew, S., Beitrag zur Kenntniss der Lymphwege der Vögel. III, 409.
- Kowalevsky, A., Studien über die Entwicklung der einfachen Ascidien. VII, 101.
— Ueber die Knospung der Ascidien. X, 441.
— Ueber die Entwicklungsgeschichte von Tyrosoma. XI, 597.
— Weitere Untersuchungen über die Entwicklungsgeschichte des Amphioxus lanceolatus nebst einem Beitrage zur Homologie des Nervensystems der Würmer und Wirbelthiere. XIII, 181.
- Krause, W., Der ventriculus terminalis des Rückenmarkes. XI, 216.
— Die Nervenendigung in der Retina. XII, 742.
— Die Entladungs-Hypothese und die motorischen Endplatten. XIII, 170.
— Ueber Mikrotome. XIII, 180.
— Die Nervenendigung innerhalb der terminalen Körperchen. XIX, 53.
— Ueber die Retinazapfen der nächtlichen Thiere. XIX, 309.
— Die Nervenendigung in den Tastkörperchen. XX, 212.
- Küstermann H., Hyalonema Sieboldi Gray. XI, 286.
- Kuhn, Untersuchungen über das häutige Labyrinth der Knochenfische. XIV, 264.
— Ueber das häutige Labyrinth der Amphibien. XVII, 479.
— Ueber das häutige Labyrinth der Reptilien. XX, 271.
- Kuhnt, Jul., Hermann, die peripherischen markhaltigen Nervenfasern. XIII, 427.
- Kühne, W., Ueber den Einfluss der Gase auf die Flimmerbewegung. II, 372.
- Kupffer, C., Untersuchungen über die Entwicklung des Harn- und Geschlechtssystems. I, 233. II, 473.
— Ueber das Faltenblatt an den Embryonen der Gattung Chironomus. II, 385.
— Beobachtungen über die Entwicklung der Knochenfische. IV, 209.
— Stammverwandschaft zwischen Ascidien und Wirbelthieren. V, 459.

- Kupffer, C., Stammverwandtschaft zwischen Ascidiem und Wirbelthieren. Nach Untersuchungen über die Entstehung der *Ascidia canina*. VI, 115.
- Zur Entwicklung der einfachen Ascidiem. VIII, 358.
- Das Verhältniss von Drüsennerven zu Drüsenzellen. IX, 387.
- Ueber Sternzellen der Leber. XII, 353.
- Kyber, Eduard, Ueber die Milz des Menschen und einiger Säugethiere. VI, 540.
- Die lymphatischen Apparate in der Milz. VIII, 568.
- Landois, H., Das Gehörorgan des Hirschkäfers (*Lucanus cervus*). IV, 88.
- Der Lichtdruck in seiner Bedeutung für Mikrophotographie, unter Beifügung von selbstgefertigten phototypischen Probedildern. VII, 269.
- Landolt, E., Beitrag zur Anatomie der Retina vom Frosch, Salamander und Triton. VII, 81.
- Langenbacher, L., Beitrag zur Kenntniss der Wolfischen und Müllerischen Gänge bei Säugern. XX, 92.
- Langerhans, Paul, Ueber Tastkörperchen und rete Malpighii. IX, 730.
- Ueber die Haut der Larve von *Salamandra maculosa*. IX, 745.
- Zur Anatomie des *Amphioxus lanceolatus*. XII, 290.
- Berichtigung betreffend die Endigung sensibler Nerven. XX, 641.
- Lantermann, A. J., Ueber den feineren Bau der markhaltigen Nervenfasern. XIII, 1.
- Latschenberger, Joh., Ueber einen eigenthümlichen Einschluss eines Hühnereies. XII, 359.
- Lavdowski, M., Das Saugadersystem und die Nerven der Cornea. VIII, 538.
- Zur feineren Anatomie und Physiologie der Speicheldrüsen, insbesondere der Orbitaldrüse. XIII, 281.
- Untersuchungen über den acustischen Endapparat der Säugethiere. XIII, 497.
- Lehnert, Max, Ueber die Purkinjeschen Fäden. IV, 26.
- Leydig, Fr., Zur Anatomie und Physiologie der Lungenschnecken I, 43.
- Ueber *Phreoryctes Menkeanus* Hoffm. nebst Bemerkungen über den Bau anderer Anneliden. I, 249.
- Ueber den Bau, insbesondere die Vater'schen Körperchen, des Schnabels der Schnepfen. IV, 195.
- Leydig, Fr., Ueber das Gehörorgan der Gasteropoden. VII, 202.
- Zur Kenntniss der Sinnesorgane der Schlangen. VIII, 317.
- Die Zähne einheimischer Schlangen nach Bau und Entwicklung. IX, 1.
- Ueber die Kopfdrüsen einheimischer Ophidier. IX, 598.
- Ueber die äusseren Bedeckungen der Reptilien und Amphibien. IX, 753.
- Ueber die allgemeinen Bedeckungen der Amphibien. XII, 119.
- Ueber die Schwanzflosse, Tastkörperchen und Endorgane der Nerven bei Batrachiern. XII, 513.
- Bemerkungen über die Farben der Hautdecken und Nerven der Drüsen bei Insecten. XII, 536.
- Linstow, von, Ueber den *Cysticercus taeniae gracilis*, eine freie Cestodenart des Barsches. VIII, 535.
- Loewe, Ludwig, Bemerkungen zur Anatomie der Tastaare. XV, 41.
- Beiträge zur Anatomie des Auges. XV, 542.
- Die Histogenese der Retina nebst vergleichenden Bemerkungen über Histogenese des Centralnervensystems. XV, 596.
- Ueber die sogenannte ungestielte oder Morgagnische Hydatide. XVI, 15.
- Zur Entwicklungsgeschichte der Säugethierniere, XVI, 507.
- Zur Kenntniss der Säugethierchorda. XVI, 597.
- Kleine histologische Mittheilungen. XVI, 613.
- Beiträge zur Kenntniss des Zahnes und seiner Befestigungsweise im Kiefer. XIX, 703.
- Longworth, L. R., Ueber die Endkolben der Conjunctiva. XI, 653.
- Lorent, H., Ueber den Mitteldarm von *Cobitis fossilis* Lin. XV, 429.
- Lovén, Christian, Beiträge zur Kenntniss vom Bau der Geschmackswärzchen der Zunge. IV, 96.
- Lüders, Joh., Ueber Abstammung und Entwicklung des *Bacterium termo* Duj. = *Vibrio lineola* Ehrh. III, 318.
- Luschka, Hubert, von, Das adenoide Gewebe der Pars nasalis des menschlichen Schlundkopfes. IV, 1.
- Die Schleimhaut des Cavum laryngis. V, 126.

- Manz, W., Beitrag zur Kenntniss der Miescher'schen Schläuche. III, 345.
- Marchi, P., Beobachtungen über das Wimper-Epithel. II, 467.
- Mark, E. L., Beiträge zur Anatomie und Histologie der Pflanzenläuse, insbesondere der Cocciden. XIII, 31.
- Mayer, Sigmund, Einige Bemerkungen über die Nerven der Speicheldrüsen. V, 101.
- Meyer, Andreas, die Nervenendigung in der Iris. XVII, 324.
- Meyer Fr., Conservationsflüssigkeit für mikroskopische Objecte, XIII, 868.
- Mereschkowsky, C. von, Studien über Protozoen des nördlichen Russland. XVI, 153.
- Merkel, Fr., Der quergestreifte Muskel. VIII, 244.
- Die Mikroskope von R. Winkel in Göttingen. IX, 126.
- Der quergestreifte Muskel, Contractionsvorgang im polarisirten Lichte. IX, 293.
- Tastzellen und Tastkörperchen bei den Hausthieren und beim Menschen. XI, 636.
- Eine neue Methode für Untersuchung des Centralnervensystems. XIV, 621.
- Die Tastzellen der Ente. XV, 415.
- Bemerkungen zu Herrn Krauses Aufsatz über die Nervenendigung innerhalb der terminalen Körperchen. XIX, 523.
- Ueber die Contraction der quergestreiften Muskelfaser. XIX, 649.
- Michelson Paul, Zur Histologie der Vater-Pacinischen Körperchen. V, 145.
- Mihalkovics, V. von, Untersuchungen über den Kamm des Vogelauges. IX, 469.
- Ein Beitrag zur ersten Anlage der Augenlinse. XI, 379.
- Wirbelsaite und Hirnanhang. XI, 389.
- Mohl, Hugo, von, Ueber eine neue Einrichtung des Schraubenmikrometers. I, 79.
- Morano, Franz, Die Pigmentschicht der Retina. VIII, 81.
- Müller, Fritz, Ueber die Randbläschen der Hydroidquallen. I, 143.
- Ueber Darwinella aurea, einen Schwamm mit sternförmigen Nadeln. I, 344.
- Müller, W., Injectionsmassen. I, 148.
- Nagy von Regéczy, E., Ueber die Epithelzellen des Magens. XVIII, 408.
- Neumann, E., Krystalle im Blute bei Leukämie. II, 507.
- Corpuscula amylacea in der Galle. II, 510.
- Psorospermien im Darmepithel. II, 512.
- Ueber den Heilungsprocess nach Muskelverletzungen. IV, 323.
- Die Heitzmann'schen Hämatoblasten. XI, 169.
- Untersuchungen über die Entwicklung der Spermatozoiden. XI, 292.
- Die Beziehungen des Flimmerepithels der Bauchhöhle zum Eileiterepithel beim Frosch. Anhang: Die Drüse der Froscheileiter. XI, 354.
- Flimmerepithel im Oesophagus menschlicher Embryonen. XII, 570.
- Knochenmark und Blutkörperchen. Eine Berichtigung. XII, 793.
- Die Jodreaktion der Knorpel- und Chordazellen. XIV, 54.
- Die Pikrocarminfärbung und ihre Anwendung auf die Entzündungslehre. XVIII, 130.
- Ueber Degeneration und Regeneration zerquetschter Nerven. XVIII, 302.
- Nuel, Beitrag zur Kenntniss der Säugethierschnecke. VIII, 200.
- Nussbaum, Moritz, Ueber den Bau und die Thätigkeit der Drüsen. I. Mittheilung: Die Fermentbildung in den Drüsen. XIII, 721.
- Ueber den Bau und die Thätigkeit der Drüsen. II. Mittheilung: Die Fermentbildung in den Drüsen. XV, 119.
- Ueber den Bau und die Thätigkeit der Drüsen. III. Mittheilung: Die Fermentbildung in den Drüsen. XVI, 532.
- Ein Beitrag zur Lehre von der Flimmerbewegung. XIV, 390.
- Zur Differenzirung des Geschlechtes im Thierreich. XVIII, 1.
- Nykamp, A., Beitrag zur Kenntniss und Structur des Knorpels. XIV, 492.
- Obersteiner, H., Technische Notiz. XV, 136.
- Odenius, M. V., Beitrag zur Kenntniss des anatomischen Baues der Tasthaare. II, 436.
- Ueber das Epithel der Maculae acusticae des Menschen. III, 115.

- Oeffinger, Hermann, Der feinere Bau der Spinnorgane von Epeira. Eine vergleichend-histologische Untersuchung. II, 1.
- Oellacher, Joseph, Ueber die erste Entwicklung des Herzens und der Pericardial- oder Herzhöhle bei Bufo cinereus. VII, 157.
- Beiträge zur Geschichte des Keimbläschens im Wirbelthiere. VIII, 1.
- Partsch, Carl, Beiträge zur Kenntniss des Vorderdarmes einiger Amphibien und Reptilien. XIV, 179.
- Peremeschko, Ueber die Theilung der thierischen Zelle. XVI, 437.
- Ueber die Theilung der thierischen Zelle. XVII, 168.
- Pertik, Otto, Untersuchungen über Nervenfasern. XIX, 183.
- Pfeuffer, Ph., Die elastischen Fasern des lig. nuchae unter der Pepsin- und Trypsinwirkung. XVI, 17.
- Pfitzner, W., Beobachtungen über weiteres Vorkommen der Karyokinese. XX, 127.
- Pflüger, E., Die Endigung der Absonderungsnerven der Speicheldrüsen und die Entwicklung der Epithelien. V, 193.
- Die Endigung der Absonderungsnerven im Pankreas. V, 199.
- Plihal, Fr., Die Drüenschläuche und die Abschnürung der Graaff'schen Follikel im Eierstock. V, 445.
- Podcopaëw, Ueber die Endigung der Nerven in der epithelialen Schicht der Haut. V, 506.
- Posner, Carl, Ueber den Bau der Najadenkieme. Ein Beitrag zur vergleichenden Histologie und Morphologie der Lamellibranchiaten. XI, 517.
- Histologische Studien über die Kiemen der acephalen Mollusken. XIV, 132.
- Preyer, W., Ueber das Verhalten der Blutkörperchen und einiger Farbstoffe im monochromatischen Lichte. II, 92.
- Rakowiecki, Zur Frage vom Verwachsen der peripheren Nerven. Vorläufige Mittheilung. XIII, 420.
- Ranke, Joh., Das akustische Organ im Ohr der Pterotrachea. XII, 565.
- Rawitz, Bernh., Ueber den Bau der Spinalganglien. XVIII, 283.
- Recklinghausen, von, Ueber die Erzeugung von rothen Blutkörperchen. II, 137.
- Reichel, Paul, Ueber die morphologischen Veränderungen der Thränen-drüse bei ihrer Thätigkeit. XVII, 12.
- Reichenbach, H., Ueber einige Verbesserungen am Rivet-Leiser'schen Mikrotom. XV, 134.
- Rein, G., Untersuchungen über die embryonale Entwicklungsgeschichte der Milchdrüse. XX, 431.
- Reinke, Johannes, Ueber die Geschlechtsverhältnisse von Saprolegnia monoica. V, 183.
- Ribbert, Hugo, Ueber die Entwicklung der Glomeruli. XVII, 113.
- Riedel, B., Die perivascularären Lymphräume im Centralnervensystem und der Retina. XI, 272.
- Riencck, Dr., Ueber die Schichtung des Forellenkeimes. V, 356.
- Rindfleisch, E., Zur Histologie der Cestoden I, 138.
- Zur Kenntniss der Nervenendigung in der Hirnrinde. VIII, 453.
- Rindfleisch, G. E., Ueber Knochenmark und Blutbildung I. XVII, 1.
- Ueber Knochenmark und Blutbildung II. XVII, 21.
- Roller, C. F. W., Eine aufsteigende Akustikuswurzel. XVIII, 403.
- Die Schleife. XIX, 240.
- Der centrale Verlauf des n. glossopharyngeus-nucleus lateralis medius. XIX, 347.
- Ein kleinzelliger Hypoglossuskern. XIX, 383.
- Romiti, W., Ueber den Bau und die Entwicklung des Eierstockes und des Wolff'schen Ganges. X, 200.
- Roux, C., Beiträge zur Kenntniss der Aftermuskulatur des Menschen. XIX, 721.
- Roy, Charles, Neues Schnellgefriermikrotom. XIX, 137.
- Nachtrag zur Mittheilung über das Schnellgefriermikrotom. XIX, 527.
- Rudneff, M., Ueber die epidermoidale Schicht der Froshhaut. I, 295.
- Mittheilungen über die Einwirkung der Ueberosmiumsäure auf thierische Gewebe. I, 300.
- Sattler, Hubert, Beitrag zur Kenntniss der modificirten (Moll'schen) Schweißdrüsen des Lidrandes. XIII, 783.

- Saviotti Giovanni, Untersuchungen über den feineren Bau des Pankreas. V, 404.
- Schenk, L. S., Beiträge zur Lehre vom Amnion. VII, 192.
- Schiefferdecker, P., Beiträge zur Kenntniss des Faserverlaufs im Rückenmark. X, 471.
- Asymmetrie der grauen Substanz des Rückenmarkes. XII, 87.
- Ueber ein neues Mikrotom nebst Bemerkungen über einige neue Instrumente dieser Art. XII, 91.
- Kurze Mittheilung, mein Mikrotom betreffend. XII, 791.
- Kleinere histologische Mittheilungen. XV, 30.
- Schiff, M., Ueber die Sculptur von Gyrosigma. II, 287.
- Ueber die Sculptur der Kiesel- schale der Grammatophora. III, 81.
- Schklarewski, Alexis, Ein neuer heizbarer Objektisch. IV, 342.
- Schleicher, Die Knorpelzelltheilung. XVI, 248.
- Schmidt, Carl, Ueber eigenthümliche aus dem Fimmerepithel hervorgehende Gebilde. XX, 123.
- Schmidt, Oscar, Spongologische Mittheilungen. III, 390.
- Eine Reklamation, die geformte Sarkode der Infusorien betreffend. III, 393.
- Die Gehöranlagen der Heuschrecke. XI, 195.
- Die Gattung *Loxosoma*. XII, 1.
- Nochmals die *Gastrula* der Kalkschwämme. XII, 551.
- Das Larvenstadium von *Ascetta primordialis* und *Ascetta clathrus*. XIV, 249.
- Zusatz zu C. Keller: Neue Coelenteraten aus dem Golf von Neapel. XVIII, 280.
- Schmutziger, Fritz, Ein Beitrag zur Auswanderung der Blutkörperchen aus den Gefässen des Frosches. IX, 709.
- Schneider, A., Zur Entwicklungsgeschichte und systematischen Stellung der Bryozoen und Gephyreen. V, 260.
- Die Entwicklungsgeschichte der *Aurelia aurita*. VI, 363.
- Schöbl, Jos., Die Flughaut der Fledermäuse, namentlich die Endigung ihrer Nerven. VII, 1.
- Das äussere Ohr der Mäuse als Tastorgan. VII, 260.
- Schöbl, Jos., Das äussere Ohr des Igels als Tastorgan. VIII, 295.
- Die angeblichen Terminalkörperchen an den Haaren einiger Säugethiere. VIII, 655.
- Ueber die Nervenendigungen an den Tasthaaren der Säugethiere, sowie über die feinere Structur derselben. IX, 197.
- Ueber eine eigenthümliche Schleifenbildung im Gehirn und Rückenmark der Saurier. XV, 60.
- Ueber die Blutgefässe des Auges der Cephalopoden. XV, 215.
- Ueber die Fortpflanzung isopoder Crustaceen. XVII, 125.
- Ein neues Präparations-Mikroskop. XVII, 165.
- Ueber die Blutgefässe des cerebrospinalen Nervensystems der Urodelen. XX, 87.
- Schöney, L., Ueber den Ossifikationsprozess bei Vögeln und die Neubildung von rothen Blutkörperchen an der Ossifikationsgrenze. XII, 243.
- Schulin, Carl, Zur Morphologie des Ovariums. XIX, 442.
- Schultz, Alex., Zur Entwicklungsgeschichte des Selachiereies. XI, 569.
- Beitrag zur Entwicklung der Knorpelfische. XIII, 465.
- Schultze, Hans, Die fibrilläre Structur der Nervenlemente bei Wirbellosen. XVI, 57.
- Schultze, Max, Ein heizbarer Objektisch und seine Anwendung bei Untersuchung des Blutes. I, 1.
- Zur Kenntniss der Leuchtorgane der *Lampyrus splendidula*. I, 124.
- Mittheilungen über die Einwirkung der Ueberosmiumsäure auf thierische Gewebe. I, 300.
- Die Nobert'schen Probeplatten. I, 305.
- Ueber die Bewegung der Diatomeen. I, 376.
- *Echiniscus Sigismundi*, ein Arciscoide der Nordsee. I, 428.
- Prof. Harley's compendiöses Mikroskop. I, 440.
- Reichert und die Gromien. II, 140.
- Eine neue Art Objektträger. II, 160.
- Berichtigung eines Referats von Ehrenberg. II, 162.
- Beobachtungen an *Noctiluca*. II, 163.

- Schultze, Max, Zur Anatomie und Physiologie der Retina. II, 165. 175.
- Die neuen Steinheil'schen Lupen. II, 381.
- Mikroskopische Präparate. II, 384.
- Ueber Hyalonema. III, 206.
- Ueber Stäbchen und Zapfen der Retina. III, 215.
- Bemerkungen über den Bau und Entwicklung der Retina. III, 371.
- Ueber die Endorgane des Sehnerven im Auge der Gliedertiere. III, 404.
- Bemerkungen zu dem Aufsatz von Dr. Steinlin: „Zapfen und Stäbchen der Retina“. IV, 22.
- Die Stäbchen in der Retina der Cephalopoden und Heteropoden. V, 1.
- Ueber die Nervenendigung in der Netzhaut des Auges bei Menschen und bei Thieren. V, 379.
- Essigsäures Kali zum Aufbewahren mikroskopischer Präparate. VII, 180.
- Beiträge zur Anatomie und Physiologie der Retina. VII, 244.
- Erklärung, die Entdeckung der Schmeckbecher v. G. Schwalbe betreffend. VIII, 660.
- Schulze, Franz Eilhard, Zur Kenntniss der alveolaren Gallertgeschwulst. I, 336.
- Objektträger zur Beobachtung lebender Froschlarven. II, 378.
- Epithel- und Drüsenzellen. III, 145.
- Der Ciliarmuskel des Menschen. III, 471.
- Ueber cuticulare Bildung und Verhornung von Epithelzellen bei den Wirbelthieren. V, 295.
- Ueber die Sinnesorgane der Seitenlinie bei Fischen und Amphibien. VI, 62.
- Die Geschmacksorgane der Froschlarve. VI, 407.
- Rhizopodenstudien I, X, 328.
- Rhizopodenstudien II, X, 377.
- Rhizopodenstudien IV, XI, 329.
- Rhizopodenstudien V, XI, 583.
- Rhizopodenstudien VI, XIII, 9.
- Spongiocola fistularis, ein in Spongien wohnendes Hydrozoon. XIII, 795.
- Schwalbe, Carl, Ueber die Membran der Milchkügelchen. VIII, 269.
- Schwalbe, Gustav, Ueber die con-
- traktilen Behälter der Infusorien. II, 352.
- Schwalbe, Gustav, Epithel der Papillae vallatae (Vorläufige Mittheilung). III, 504.
- Ueber den Bau der Spinalganglien nebst Bemerkungen über die sympathischen Ganglienzellen. IV, 45.
- Ueber die Geschmacksorgane der Säugethiere und des Menschen. IV, 150.
- Beiträge zur Kenntniss der glatten Muskelfasern. IV, 392.
- Ueber den feineren Bau der Muskelfasern wirbelloser Thiere. V, 205.
- Kleinere Mittheilungen zur Histologie wirbelloser Thiere. V, 248.
- Untersuchungen über die Lymphbahnen des Auges. I. Theil, VI, 1. II. Theil, VI, 261.
- Feine Kanülen zu Einstich-Injektionen vom Mechaniker Schokking in Amsterdam. VI, 233.
- Beiträge zur Kenntniss der Drüsen in den Darmwandungen, insbesondere der Brunner'schen Drüsen. VIII, 92.
- Schweigger-Seidel, Ueber die Samenkörperchen und ihre Entwicklung. I, 309.
- Semper, C., Ueber Schneckenaugen vom Wirbelthiertypus nebst Bemerkungen über einige andere Eigenthümlichkeiten verschiedener Cephalophoren. XIV, 118.
- Simroth, H., Zur Kenntniss der Bewegungsapparate der Infusionsthiere. XII, 51.
- Solger, B., Neue Untersuchungen zur Anatomie der Seitenorgane der Fische. I. Die Seitenorgane von Chiamaera. XVII, 95.
- Neue Untersuchungen zur Anatomie der Seitenorgane der Fische. II. Seitenorgane der Selachier. XVII, 458.
- Neue Untersuchungen zur Anatomie der Seitenorgane der Fische. III. Seitenorgane der Knochenfische. XVIII, 364.
- Zur Kenntniss der Verbreitung von Leuchtorganen bei Fischen. XIX, 147.
- Stecker, Anton, Die Anlage der Keimblätter bei den Diplopoden (Chilognathen). XIV, 6.
- Steinlin, W., Ueber Zapfen und Stäbchen der Retina. IV, 10.

- Sternfeld, Alfred, Ueber die Structur des Hechtzahnes, insbesondere des Vasodentins. XX, Steudener, F., Ueber invaginirte Zellen. IV, 188.
- Stieda, Ludwig, Ueber die Anwendung des Kreosots bei Anfertigung mikroskopischer Präparate. II, 430. — Referate aus der russischen Literatur. II, 525. — Ueber den Bau der Augenlindehaut des Menschen. III, 357. — Die angeblichen Terminalkörperchen an den Haaren einiger Säugethiere. VIII, 274. — Ueber den Bau der rothen Blättchen an den Schwingen des Seidenschwanzes. VIII, 639. — Zur Kritik der Untersuchungen Schöbl's über die Haare. IX, 795. — Studien über die Entwicklung des Knochens und des Knochengewebes. XI, 235. — Einige Bemerkungen über die Bildung des Knochengewebes. XII, 557. — Ueber den Bau des Menschenhoden. XIV, 17. — Ueber quergestreifte Muskelfasern in der Wand der Lungenvenen. XIV, 243.
- Stilling, J., Ueber die centralen Endigungen des n. opticus. XVIII, 468.
- Stöhr, Philipp, Zur Kenntniss des feineren Baues der menschlichen Magenschleimhaut. XX, 221.
- Strelzoff, Z. J., Ueber Knochenwachsthum, eine Erwiderung an A. v. Kölliker. XI, 33. — Ungleichmässiges Wachsthum als formbildendes Princip der Knochen. XII, 254.
- Stricker, S., Eine Gaskammer für mikroskopische Zwecke. III, 366.
- Stuart, Alexander, Experimentelle Studien über die fettige Entartung des Muskelgewebes. I, 415.
- Talma, Beitrag zur Histogenese der weiblichen Brustdrüse. XX, 145.
- Tergast, P., Verhältniss von Nerven und Muskel. IX, 36.
- Thanhoffer, L., von, Ein Irrigationemesser zur Anfertigung mikroskopischer Schnittpräparate. XIX, 315.
- Thiersch, J., Injektionsmassen. I, 148.
- Tillmanns, Hermann, Beiträge zur Histologie der Gelenke. X, 401. — Lymphgefässe der Gelenke. XII, 649.
- Török, Aurel von, Ueber formative Differenzirung in den Embryonalzellen von Siredon pisciformis; Ein Beitrag zur Histogenese des Thierorganismus. XIII, 756.
- Toldt, Die Injektion unter messbarem Drucke. V, 157.
- Tolotschinoff, Ueber das Verhältniss der Nerven zu den glatten Muskelfasern der Froschharnblase. V, 509.
- Unna, P., Beiträge zur Histologie und Entwicklungsgeschichte der menschlichen Oberhaut und ihrer Anhangsgebilde. XII, 665.
- Valentin, G., Beiträge zur Mikroskopie. I. Theil. VI, 581. — II. Theil. Die doppeltbrechenden Eigenschaften der Embryonalgewebe. VII, 410. — III. Theil. Das Okularspektroskop des Mikroskops. VII, 220. — Beiträge zur Mikroskopie. XI, 661. — Zur höheren Gewebelehre. Erste Abhandlung. XV, 97.
- Valette St. George la von, Ueber eine neue Art amöboider Zellen. I, 68. — Ueber den Keimfleck und die Deutung der Eitheile. II, 56. — Ueber die Genese der Samenkörper. II. Mittheilung. III, 263. — Ueber die Genese der Samenkörper. III. Mittheilung. X, 495. — Ueber die Genese der Samenkörper. IV. Mittheilung. XII, 797. — Ueber die Genese der Samenkörper. V. Mittheilung. XV, 261. — Ueber den Bau der Fetthlosse. XVII, 187.
- Wagner, G. R., Ueber die quergestreifte Muskelfibrille. IX, 712. — Ueber einige Erscheinungen an den Muskeln lebendiger Corethra plumicornis-Larven. X, 293. — Ueber das Verhalten der Muskeln im Typhus. X, 311.
- Waldeyer, W., Ueber den Ossifikationsprozess. I, 354. — Ueber Bindegewebszellen. XI, 176.

- Waldeyer, W., Ueber die sogenannte ungestielte Hydatide des Hodens. XIII, 278.
- Notiz über eine Modifikation des Rivet-Leiser'schen Mikrotoms von Dr. Long. XIV, 501.
- Beiträge zur Kenntniss der Lymphbahnen des Centralnervensystems nach Untersuchungen von Dr. Fischer. XVII, 362.
- Ueber die Endigungsweise der sensiblen Nerven nach Untersuchungen von Dr. Jzquierdo. XVII, 367.
- Weber, Max, Ueber den Bau und die Thätigkeit der sogenannten Leber der Crustaceen. XVII, 385.
- Anatomisches über Trichonisciden; zugleich ein Beitrag zur Frage nach der Bedeutung der Chromatophoren, Pigmente und verzweigten Zellen der Hautdecke XIX, 579.
- Weigert, C., Bismarckbraun, als Färbemittel. XV, 258.
- Welker, H., Modelle zur Erläuterung der Form, des Volums und der Oberflächenentfaltung der rothen Blutkörperchen der Wirbelthiere. VIII, 472.
- Wiedersheim, Robert, Die feineren Strukturverhältnisse der Drüsen im Muskelmagen der Vögel. VIII, 435.
- Zur Histologie der Dipnoër-schuppen. XVIII, 122.
- Wisozky, W., Ueber das Eosin als Reagens auf Hämoglobin und die Bildung von Blutgefässen und Blutkörperchen bei Säugethieren und Hühnerembryonen. XIII, 479.
- Wittich, von, Beiträge zur Physiologie der Niere. XI, 75.
- Wolff, W., Ueber Nervenendigung im quergestreiften Muskel. XIX, 331.
- Die Innervation der glatten Muskelfaser. XX, 361.
- Die Nerven der Cornea. XX, 373.
- Ueber freie sensible Nervenendigungen. XX, 377.
- Wrzësniewski, A., Ein Beitrag zur Anatomie der Infusorien. V, 25.
- Wyss, Hans von, Die becherförmigen Organe der Zunge. VI, 237.
- Zenker, W., Beiträge zur Naturgeschichte der Infusorien. II, 332.
- Versuch einer Theorie der Farbenperception. III, 249.
- Zeiss, Carl, Ein neues Präparir-Mikroskop. VI, 234.
- Zielenka, J., Ueber die Entwicklung und Proliferation von Epithelien aus Endothelien. X, 351.
- Zuppinger, Hermann, Eine Methode, Axencylinder-Fortsätze des Rückenmarks zu demonstriren. X, 855.

Sachregister.

- Aal** — *Anguilla vulgaris*.
Aalmolch — *Amphiuma*.
Aaskäfer — *Silpha*.
Abendflatterer — *Vesperugo*.
Aberration beim Mikroskop, Theorie über — chromatische IX, 424, sphärische IX, 428, 458, 424.
 — chromatische, Linderung der — durch den gelben Fleck der Retina II, 173.
Abramis brama, Entwicklung der Geschlechtsdrüse und Beziehung zur Körperausbildung XVIII, 30.
Acanthias, Cuticularschicht der Chorda XV, 468. — Umwandlung der Chordascheide XV, 474. — Anlage vom Nervenrohr und Beziehung zum Darmrohr XIII, 185, 194.
 — *vulgaris*, Seitenorgane XVII, 470.
Acanthocystidae XIII, 27.
Acanthocystis X. Suppl. 193, 208.
 — Skelett 194, Weichkörper mit Mark und Rinde 194, Pseudopodien 195.
 — *aculeata* X. Suppl. 201, 209. — Skelett 201, Basalplatte 201, Nahrungsaufnahme und Verdauung 202, Weichkörper 202.
 — *brevicirrhis* XI, 3.
 — *flava* XI, 17.
 — *pallida* V, 489. Verwandtschaft mit den Radiolarien 490.
 — *Pertyana* XI, 17.
 — *spinifera* V, 493, X. Suppl. 195, 208, Skelett 195, Basalplatte 196, Protoplasmakörper mit Mark und Rinde 196.
 — Vergleich mit *Diplophrys Archeri* X. Suppl. 143, XI, 15.
 — Vergleich mit *Cystophrys ocella* XI, 15. — Conjugation XI, 16. — Ursprung für *Diplophrys Archeri* XI, 128.
Acanthocystis turfacea V, 483.
 — Beschreibung 483, Encystirung 488, Fortpflanzungsverhältnisse 488, Körnerbildung im Innern 485.
 — — X. Suppl. 204, 209. — Skelett 204, Weichtheile mit contractiler Blase und Kern, 205.
 — — XI, 3, Vergleich mit *Raphidiophrys viridis* 4, Entstehung aus *Actinophrys* 5, Grüne Zellen, Wesen 5, Entwicklung 6, Centralkapsel 8, Kieselnadeln 9, Encystirung 10, Sporen 13.
 — *viridis* V, 481. XI, 3.
Acanthopterygii Gobiacei, Doppelbrechung der Hornschuppen XI, 671.
Acarina, quergestreifter Muskel VIII, 69, Untersuchungsmethode 71, Körnerschicht 71, Contractionswelle desselben 75, Vergleich mit den Muskeln von *Cyclops brevicaudatus* 77 und *Hydrophilus* 72.
Accommodation, Wirkung des Ciliarmuskels bei — III, 495. — Beziehung zu dem Humor aqueus und dessen Abflüssen VI, 553. — Reihenfolge der Vorgänge im Auge bei — XV, 555, 586. — Veränderung der vorderen Augenhälfte bei — XV, 559, 583, der Linse XV, 560, der Iris und des Corp. ciliare XV, 570.
Accephala, Krystallstiel im Magen XII, 13.
 — Binde substanz XIII, 558, Beziehung zum Blutkreislauf 558, Wesen 854, structurlose Schicht ders. 850.
 — Endothelien der Gefäße XIII, 560, 61, der Kiemen 560.
 — Capillaren, Vorhandensein XIII, 562, Vergleich der Grösse mit Mensch und Amphibien 563.

- Acephala**, Bedeutung der Sinus um die Eingeweide, XIII, 563, Deutung 842, der Lacune 564, 566, 821, 851, lacunäres Schwellnetz 565, 566.
- Gallertgewebe XIII, 567, Arten 594, Wesen 599, 844, Pigment 568, Zellen desselben 568, mit Pigment 570, spindel- oder sternförmige Zellen desselben 568, Rundzellen 568, 569, elastische Fasern 572.
- Gallertgewebe der Darmleiste XIII, 572, Wand des Darmschlauches 573, des rothbraunen Organs 573, Rundzellen dess. 573, Verlauf des Blutes in demselben 574, Schleimzellen, Bedeutung 575, 576, Gallertbalken 574, 578, des centralen Manteltheiles und freien Mantelrandes 578, Zellen desselben 578, Gallertstränge 578, zwischen den Organen des Eingeweidetasches 580, Pigment, Zellen 580.
- verkalktes, der Kiemen XIII, 581, elastische Fasern 583, der Kiemenleiste 582, der Kiemensepten 583.
- Kiemenkreislauf XIII, 584, Endothel dess. 587, structurlose Membranen 587, Ursprung 589, Wesen 591,
- Schwellgewebe XIII, 818, Schleimzellen dess. 820, Schwellgefäßnetze 820, 831, lacunäre 842, 861, Uebergangsbahn dess. 831, Zellen 846, fixe Zellen 846, Rundzellen, Deutung 847, Ganglienzellen 847, Schwellgefäße 851, 859.
- Manteldrüse XIII, 847.
- Manteleier XIII, 848.
- Darmleistengewebe XIII, 849.
- Langer'sche Blasen XIII, 823, Zellnatur derselben 823, Kern 824, Darstellung der Grundsubstanz 824, Membran 830.
- Eierstocksepithel XIII, 840.
- Identität zwischen Blut- und Lymphsystem XIII, 852, 853.
- Gefäße, wirkliche XIII, 839, 862.
- geschlossenes Gefäßsystem XIII, 821, 862.
- Blutzellen ders. XV, 243, Vergleich mit den Schleimzellen des Schwellgewebes 248, Blutbahn 250.
- Aceratherium**, Verhalten der Knochen im tertiären System XV, 376.
- Acerina**, Seitencanalssystem VI, 71, Haare ders. 72, Nervenknöpfe ders. mit Epithel 71, 75, Vertheilung derselben und markhaltiger Nervenfasern 73, birnförmige Zellen derselben 72.
- Acerra bullata**, Bewegung in Pigmentzellen bei — XVI, 347.
- Achaea Chamaeleon**, Anwendung des Rüssels XV, 10.
- Achillessehne**, Neubildung von Endothelien X, 373.
- des Frosches, Knorpel VII, 301.
- Achorionbildungen auf Haaren II**, 73. — Boden für Entwicklung, Ursprung und Weiterentwicklung 84.
- Achtfüßler — Octopoda**.
- Acineta ferrum equinum II**, 340, Nucleus 341, Arm, Form und Anordnung 342.
- *mystacina* Bau und Fundort XVI, 177.
- Acinus des Ovariums I**, 157.
- Acipenser**, Nerven und Darmrohr, Zusammenhang zw. XIII, 195.
- Seitenorgane XVIII, 367.
- *sturio*, lymphoide Drüsen der Herzoberfläche IX, 62.
- Schleimhaut des Oesophagus, Flimmer- und Becherzellen XIII, 660.
- Spiralklappe XIII, 680.
- Wirbelsäule und Anhängen XV, 442, Chorda 442, obere Bögen 445, untere Bögen 449, Dornfortsätze 446.
- Acraspedota**, Nervensystem XIV, 398, Randkörper 398, Riechgrube 399, percipirende Elemente der Sinnesorgane 400.
- Aceridii**, Befestigungs-Apparat des Rückengefäßes IX, 151.
- Tracheen in der Nähe des Herzens IX, 180.
- Gehörorgan XI, 197.
- pulsirender Bauchsinus XII, 579.
- subgenuales Chordotonalorgan XX, 570.
- Acrosporienhefe**, Bildung und Entstehung II, 77, 85.
- Actinolophus XIII**, 28.
- *pedunculatus*, Stiel X, 392, Körper 393 mit Kern, Pseudopodien 394, Hülle 395.
- Actinophrys**, Vergleich mit *Clathrulina elegans* V, 469, mit *Vampyrella Spirogyrae* X. Suppl. 62.
- Umwandlung zur *Acanthocystis* XI, 5.
- *Eichhornii*, Ruhezustand I, 229. — Einwirkung von Chinin auf Bewegungen III, 384, Kerne über

- der Marksubstanz gelegen, Theilung III, 398. — Pseudopodien V, 476.
- Actinophrys oculeata* X. Suppl. 164, Kerne 165, 169, Pseudopodien 172 mit Axenfäden und deren Endigung, Conjugation 174.
- — sol. Ruhezustand I, 227.
- — X. Suppl. 164, Kerne 165, contractile Blase, Function 170, Vergleich mit *Actinosphaerium Eichhornii* 187.
- Actinosphaeridae* XIII, 27.
- Actinosphaerium Eichhornii* X, 328, Bau, Zonen 330, Rindenschicht 331, Körnchenströmung 332, Marksubstanz 333, mit kernartigen Gebilden 335, Pseudopodien 339 und Beziehung zur Sarcode 340, pulsirende Blase 341, Fortpflanzung 342, Keimkugeln 346.
- — X. Suppl. 152, Pseudopodien 162.
- — X. Suppl. 176, Vacuolen und contractile Blase der Rinde X. Suppl. 181, Kerne im Mark 182, Pseudopodien mit Axenfäden und Endigung 184 und Vergleich mit den Skelettstacheln der Radiolarien.
- — Encystirung XIV, 167.
- Actinotrocha*, verglichen mit *Membranipora pilosa* V, 274, Entwicklung 278.
- Adimonia tanaceti*, Fettkörper IX, 178.
- Adlerroche — *Myliobates*.
- Adventitia des Rückengefäßes der Insecten IX, 140, *Lacerta viridissima*, *Euprepia caja* 140, *Carabus cancellatus*, *Melolontha*, *Cetonia*, Heuschrecken, *Ephippigera*, *Thamnotripon*, *Stenobothrus*, Blattidae, *Vanessa*, *Tenebrio*, *Phryganea* 141.
- — der Gefäße, Fettzellen in — XII, 455.
- Aenderling — *Astessa*.
- Aeolis*, Haut V. Suppl. 54.
- Aequatorialring im Auge von *Sepia* V. Suppl. 15.
- Aeskulapschlange — *Coluber viridiflavus*.
- Aether, Einfluss auf Leberzellen der Kellerassel XVII, 403.
- Affe, Bau der Retina II, 194, Zapfenfasern derselben 195.
- — Ciliarmuskel IV, 366.
- — Hohlraum der äusseren Körnerschicht der Retina XIII, 424.
- Affe, quergestreifte Muskelfasern der Lungenvene XIV, 246.
- Afteranlage bei *Comatula mediterranea* XII, 601.
- Aftermuskeln, Contractionserscheinungen bei *Musca* XIX, 679.
- Aftermuskulatur des Menschen XIX, 721.
- Afterspalte, Hauptmuskulatur und Nebenmuskulatur XIX, 722.
- Aglaeophyllum ocellatum*, Parasiten auf — III, 41.
- Aglauropsis Agassizii*, Randbläschen I, 177.
- Alben — *Leuciscus alburnus*.
- Albuminurie X, 46.
- Alciopie Contrainii Delle Chiaje*, Auge XVII, 251.
- Alciopidae*, Auge XVII, 243, 251, Retina 359.
- Algen, die verschiedenen Lebenszustände und ihre Dauer I, 207.
- — Farbstoff III, 6, 56.
- — Haupttypen III, 57.
- — Conservirungsflüssigkeit XIII, 869.
- — braune, Farbstoff III, 43.
- Algensucher von Zeiss V, 291.
- Alkali, Einwirkung auf Zellen der Labdrüsen des Magens VI, 376, auf Myelin XIX, 204, auf Nervenmark XIX, 205.
- Alkohol, Einwirkung auf die Lichtzelle der Leuchtorgane von *Cucuyos* VIII, 466, auf den Zellkern der Harnblasenwand des Erdsalamanders XIII, 700, auf den Zellkern XVI, 334.
- Alkohol-Aetherextract zum Nachweis des Horngerüsts der markhaltigen Nervenfasern XIX, 226.
- Allantois der Knochenfische II, 475, ein Homologon bei den Säugethieren 487, erste Anlage IV, 239, 267.
- — beim Stichling, Entwicklung II, 475.
- — bei *Gobius minutus* II, 484, Anlage bei *Gasterosteus* und *Gobius* IV, 239.
- — von Hühnerembryonen, Bildung der rothen Blutkörperchen XIII, 488, 490.
- Alligator *lucius*, Doppelbrechung der Hornschuppen XI, 669, Retina XII, 770 Zapfenzelle und ihr Zusammenhang mit Nervenfasern.
- Allium odorum*, indirecte Kernteilung XVIII, 176.

- Alpensalamander — Salamandra
atra.
- Alytes obstetricans, Farbenwechsel XII, 183.
- Amaroecium, Vergleich mit der Entwicklung bei Pyrosoma XI, 601.
- proliferum X, 456, 463, Knospung, Postabdomen, Bau 461, Scheidewand desselben, dessen Wesen und Werth 462, Anlage des Kiemensackes, des Perithoracakraumes, Darmrohres und Nervensystems 464, Weiterentwicklung 465.
- Amblystoma mexicanum, Retina XII, 761.
- Amia, Wirbelsäule und Anhänge XV, 453, Chorda, obere Bögen 455, untere 456.
- Seitenorgane XVIII, 367.
- Ammocoetes, Schleimhaut des Oesophagus, Flimmerepithel XIII, 656.
- Schleimhaut des Mitteldarmes XIII, 675, Peyer'sche Plaques 676.
- Ammonshorn der Grosshirnrinde und sein Bau III, 452. — Ependym desselben III, 453, Schichten 453.
- Amnion, Beiträge zur Lehre vom — VII, 192. — Entwicklung aus der äusseren Darmfaserplatte des mittleren Keimblattes, Vereinigung der Falte 194.
- Amniosbildung der Wirbelthiere verglichen mit dem Faltenblatt der Embryonen von Chironomus II, 396.
- Amnioswasser, Conservirung durch Jod II, 272, durch Brom 273.
- Amnioten, Mundhöhlenskelett, verglichen mit Amphibien XI. Suppl. 178.
- Zahnsystem XI. Suppl. 179, Zähne, Verbreitung 179, Befestigung 180, embryonale Entwicklung und Beziehung zu Deckknochen der Mundhöhle 181.
- Brustbein und Schultergürtel XIV, 507.
- Amoebae I, 205. Nahrungsaufnahme 206, 209, Zellzustand, 2 Modifikationen 206, Ruhezustand 206.
- einige in der Erde lebende — II, 299.
- Beobachtung über — V, 158, Einwirkung von Kochsalz.
- Werth derselben X. Suppl. 48.
- des süßsen Wassers, Einwirkung von Chinin auf ihre Bewegungen III, 384.
- Amoeba actinophora X. Suppl. 66, 77.
- Amoeba alveolata, Bau I, 207, Fundort 209.
- angulata, Bau I, 209, Fundort 210.
- bilimbosa, Beziehung zu Cochliopodium pellucidum X. Suppl. 66, 77.
- brevipes II, 321, Vermehrungsweise 321.
- crassa, Bau und Fundort I, 201.
- emittens, Bau I, 205, Fundort 207.
- filifera, Bau I, 209, Fundort 210.
- gracilis II, 322, Zottenanhang 323.
- granifera II, 322.
- Jelaginia, Bau I, 207, Fundort 204.
- minuta, Bau I, 202, Fundort 203.
- monociliata — Mastigamoeba aspera.
- papillata, Bau und Fundort I, 203.
- polypodia, Kertheilung mit nachfolgender Körperteilung XI, 592, Kerne 593.
- princeps, Vergleich mit Mastigamoeba aspera XI, 589.
- radiosa, Vergleich mit Dactylosphaerium vitreum X. Suppl. 56.
- terricola II, 300, Bewegung 301, Bau 303, Vorhandensein einer Membran 305, contractile Blase 308, Nahrungsballen im Innern 310, Nucleus, als Fortpflanzungsorgan 312, Zotten 316, Nucleoli 315, Vorkommen, Lebensweise und Scheintodt 319.
- terricola, Vorkommen gelber Körper IX, 676, Bewegung 677.
- terricola, Entwicklungsgeschichte X. Suppl. 17, Anlage der Colonie 20, Theilung 21, Schwärmer 21, Geißel 24, actinophrysartige Keime 23, Wachstum der Colonie 26, 28, Entwicklungskreis 30, Cystenbildung 31, systematische Stellung 32, Vergleich mit Trinema 32, mit Lecythium 32, Stellung zu Gromia 33.
- verrucosa, Bau I, 200, Fundort 201.
- Amoebinae X. Suppl. 81, 82.
- Ampelis garrula — Seidenschwanz.
- Amphibia, Samenkörper I, 312, Entwicklung 409.
- Retina II, 212.
- Oberhaut III, 138, 166, Häutung, Beziehung zu den Zellen der Haut 168, Riff- und Stachelzellen der

- Oberhaut 166, verästelte Pigmentzellen 168.
- Amphibia, Mund- und Rachenhöhlenepithel III, 170, Becherzellen 171.
- Wechsel der Pigmentirung der Leber III, 429.
- Stäbchenschicht der Retina IV, 12.
- Cuticularbildung V, 296, bei Larven 299, im Epithel der Mundhöhle 307, Nebenzähne der Larven 307.
- Seitenorgane VI, 62, 76, Sinnesorgane derselben 62, Tastapparat 86.
- Retina VII, 81, Stützsubstanz 81, 94, Wesen derselben, äussere Körnerschicht 84, Limitans externa 90, Hüllen der Aussenglieder 92, linsenförmiger Körper 97.
- Stäbchen und Zapfen der Retina, Verhalten zu den Pigmentzellen VIII, 88.
- Nerven der Hornhaut IX, 246.
- Entwicklung der quergestreiften Muskeln und Nerven XI, 442, 450.
- Zahnsystem und seine Bedeutung für die Genese des Skeletts der Mundhöhle XI. Suppl. I. Einleitung 1, Untersuchungsobjecte 2, Litteratur 4, Schädel 5, knorpeliger und knöcherner Theil, gegenseitige Beziehung, perichondristische oder Belegknochen $\frac{1}{2}$. zu enchondrostischen Knochen 6, Basis des Primordialcranium mit seinen enchondrostischen Verknöcherungen 7, Litteratur 7, Ethmoidaltheil 8, Orbitalregion 8, Ethmoid oder Os en ceinture, Gürtelring 8, Labyrinthregion 9, Quadratknorpel 9, Os quadratum 10, Os quadrato-jugulare 10, seine Veränderungen bedingt durch Vergrösserung des Augapfels 11 und durch Rückbildung des Visceralskeletts 11, Occipitalregion 9, Schädelbasis, Belegknochen 12, Knochen des Oberkiefer- und Gaumenbogens 12 und Parasphenoid, Os intermaxillare 12 mit Processus dentalis, palatinus, nasalis, intermaxillaris, Os maxillare 13 mit Processus frontalis (nasalis, maxillaris), Knochen des Gaumenbogens 14, Vomer, Palatinum, Pterygoid 15, Unterkiefer 23, knorpeliger Kieferbogen und Deckknochen 24, Fusion primordiale et secondaire, Verschmelzung 25, Primordialcranium und Schädelknochen, histologische Zusammensetzung 29, Knorpel mit Zellen 29, Knochen 31, Fehlen Haver'scher Canäle 32, Pünktchenstreifen der Grundsubstanz 32, Form der Zähne 33, Befestigung 34, Vertheilung 34, Ableitung der Zähne von den in der Mundhöhle verbreiteten Schleimhautzähnen 41, ursprüngliche Bezeichnung 44, Vorkommen und verschiedene Bezeichnung der Belegknochen der Mundhöhle XI. Suppl. 39.
- Amphibia, Zähne, Begründung der verschiedenen Grösse XI. Suppl. 45, äussere Form 46, Zahnkrone und Sockel 47, Spitze 48, Befestigung auf den Knochen durch Hautknochen 50, auf dem Processus dentalis der Kieferzähne 51, der Gaumenzähne 53, Lagerung der Mundschleimhaut zu den Zähnen 55, histologische Zusammensetzung der Zähne 56, Schmelz 59, Schichtungsstreifen 60, Zahneuticula 61, Schmelzröhrchen 61, Zahnsockel, histologische Zusammensetzung 61, Zelle 62, Zahnknochen 63, Pulpahöhle 63, Epithel und Spindelzellen 64, Odontoblastenschicht $\frac{1}{2}$. zur Osteoblasten- oder Cementmembran 64, Vergleich mit den Zähnen der Selachier und Säuger 64, Zahnsockel, Homologie mit der Basalplatte der Selachier 66, Cement der verschiedenen Zahnsorten 66, Vergleich der Lage, Befestigungsweise und Form 67, Urforn 67, Zahnwechsel 68, Ersatzzähne, Entwicklung 68, Ersatzleiste 72, Basalmembran, jüngste Zahnanlage 72, Dentinkeim 73, Schmelzmembran 73 mit Cylinderepithel, Ausscheidung der festen Zahnsbstanz 75, Schmelz- und Schmelzoberhäutchen 75, Entstehung 76, Basalmembran der Schmelzellen, Epithelscheide 77, Zahnsockel, Entwicklung 77, Cementanlage durch spindelförmige Zellen 77, Lageveränderung durch Weiterentwicklung 78, Vergleich mit der Entwicklung der Selachier und Säuger 79, Vergleich mit Lage und Anzahl der neuentstandenen 79, Resorption der Zähne 80, Verhalten der Weichtheile zu derselben 81, vielkernige Zellen 81, Vergleich mit Ostoklasten 82, Ursachen der Resorption und Neubildung 83, embryonale Entstehung der Zähne und des Mundhöhlenskeletts der Amphibien 85.

- Amphibia, Phylogenie, Stellung zur Ontogenie der Anuren XI. Suppl. 149.
- Ursprung der Deckknochen XI. Suppl. 151, phylogenetischer Ursprung und Vertheilung der Zähne 153, Sphenoidalzähne 154, 161, Bau und Entwicklung der Zähne 154, Ersatzleiste 155, phylogenetische und ontogenetische Entwicklung der Deckknochen der Mundhöhle 156, Zahnplatte 157, Anzahl der Knochenstücke 159, Lage 160, Veränderung im Zahnbesatz der Knochen 161.
- Genese des Mundhöhlenskeletts im Vergleich zu dem der übrigen Wirbelthiere XI. Suppl. 165.
- Untersuchung von Knochen der Mundhöhle gleicher Entstehung XI. Suppl. 167.
- Mundhöhlenskelett, Vergleich mit den Amnioten, Reptilien, Vögeln und Säugern XI. Suppl. 178.
- Verhältniss der perichondrostischen zu enchondrostischen Knochen XI. Suppl. 192, primäre und secundäre Kopfknochen 192.
- allgemeine Bedeckungen XII, 119, Cuticula 120, Vorkommen, Leistenbildung an den Zellgrenzen 121, feine Punktirung der Zellen, Bedeutung 122, Cuticula der Extremitäten 123, der Daumenschwiele 125, Höckerbildung 127, Litteratur und Kritik 130, Wesen derselben 131, verhornte Zellen, Bedeutung 136, Epidermis 138, Höcker derselben 139, Epidermiszellen 141, Poren 142, Bedeutung, Schleimzellen 144, Drüsenzellen 145, Schaltzelle 146, Bedeutung, Drüsenöffnungen 146, Pigment 147, Chromatophoren 148, Lederhaut 148, Leisten 148, 149, 151, Blutgefässe 150, Papillen mit Tastkörperchen 152, feiner Bau 153, Papillen ohne Tastkörperchen 154, Papillen mit Drüsenöffnungen 157, Blutcapillaren in Form von Papillen 158, Bedeutung 160, Hauthöcker den Organen des VI. Sinnes entsprechend 162, Organe des VI. Sinnes 166, Litteratur und Kritik 170, Eintheilung nach der Form 172, Histologie 173, Deckzellen 173, Stützzellen 174, Sinneszellen 175, Pigment, Arten 175, Vertheilung 178, Farbenwechsel 179, Ursachen 189, Kalkablagerung 191, Hautknochen 193, Hautdrüsen 197, Arten, kleinere rundliche 197, grössere rundliche 199, grosse 200, schlauchförmige 200, Histologie 202, Bindegewebe 202, Pigment 202, Muskellage 203, Epithel 209, Cylinderzellen 209, Riesenzellen 210, Drüsenöffnungen der Epidermis 214, Secret 214, Bedeutung 218, das Bindegewebe der Haut im Allgemeinen 222, das weichere 222, das derbere 223, Blutgefässe und Nerven 223, Lymphräume 224, Bedeutung und Vertheilung 226, Wanderzellen 227, Kerne, Bedeutung 229, Zellprotoplasma und Veränderungen 227, Riesenzellen des Drüsenepithels 229, Epithel des Bindegewebes 229, Cuticula 230, Cilien 231, Höckerbildung 233, Epidermis 232, Organe des VI. Sinnes 233, Lederhaut 234, Chromatophoren, Vorkommen 235, Veranlassung der verschiedenen Färbung der Amphibien 235, Muscularis der Haut 238, Kalkablagerungen 238, Hautdrüsen, Bau und Bedeutung 238, Lederhaut, Leistenbildung 239, Ordnung 240.
- Amphibia, Genese der Samenkörper XII, 410.
- Retina XII, 419, Ganglienzellenschicht 420, innere granulirte 420, innere Körnerschicht 421, äussere granulirte 421, epitheliale Schicht 421, Stäbchenform 421, Zapfenform 422, Stützfasersystem 422.
- Homologie mit Lumbricus, betreffend die Medullarplatte und Folgerung XIII, 200.
- Nervenendigung im quergestreiften Muskel XIII, 371.
- Vorderdarm einiger XIV, 179.
- Lage der Thymus XIV, 346, Bau der primären 353.
- Brustbein und Schultergürtel XIV, 570.
- Sinnesplatte XV, 172, Wirbelsaite 180, Entwicklung, Axenstrang, Umwandlung 186.
- häutiges Labyrinth XVII, 479, Vergleich mit Fischen 539, der Pars inf. 541, der Nervenversorgung 543,
- Hüllen der Geschlechtsstoffe, Vergleich der männlichen und weiblichen XVIII, 41.
- Indirekte Kerntheilung XVIII, 158.
- Schlemm'scher Canal XIX, 175, Zonula ciliaris 166.
- Bedeutung der Chromatophoren und des Hautpigments XIX, 594.

- Amphileptus*, Veränderung nach der Nahrungsaufnahme und Vergleich mit Monaden I, 208.
- *anas*, Conjugation IX, 667, Samenfäden, Vorhandensein und Entstehung aus Nucleolus 668.
- Amphioxus*, Auftreten der Furchungshöhle im Ei VI, 129.
- zum Vergleich des Nervensystems der Vertebraten und Anneliden XIII, 194, 199, 201.
- Vergleich mit *Lumbricus*, Anlage der Medullarplatte XIII, 198.
- *lanceolatus*, Chorda XI, 425, Scheide 426, Chordasubstanz 426, platte Zellen 427, Querscheibe 427, Entwicklung 429, Vergleich mit Wirbelthieren 428.
- Anatomie XII, 290, Muskel-system 291, Seitenmuskeln 291, Muskelplatte 291, Bauchmuskel, Querstreifung 292, Muskel des Mundes 293, *M. constrictor veli* 293, Nervensystem 295, Untersuchungsmethode, *Bulbus olfactorius* 296, Hirnnerven 296, periphere Nerven 298, Endigung in der Haut 304, periphere Ganglienzellen 299, Haut 301, Lederhaut 301, Unterhautgewebe 301, Seitenanäle 302, Epithel der Haut 302, Wimperzellen und Sinneszellen 302, Fühlzellen, Bedeutung 306, Geruchsorgane 306, Riechzellen 307, Mundhöhle 307, Nervenplexus 308, Papillen 308, Epithel 308, *Velum* 309, Epithel, becherförmige Sinnesorgane in derselben 310, Kiemen 311, Hypo- und Hyperbranchialrinne 311, Epithel 317, *Ligamentum denticulatum* 313, Muskel desselben 314, Epithelien 315, *Mucosa* 315, Geisselzellen 315, Pigmentepithel 316, Darm 319, Lage, Epithel 319, *Mucosa* 320, *Muscularis* 320, *Peritoneum* 321, Epithel und Lage der Nieren 322, Zellen 323, Geschlechtsorgane 325, Lage 325, Geschlechtsunterschiede 327, Spermatoblast- und Spermatozoenbildung 328, Vergleich mit höheren Thieren 332, Eierbildung 330, Follikel-epithel 331, Homologie von Spermatoblast und Ei 333, Gefäßsystem 336, Bau 337, Herz 336, Lippengefäße 336, Aorta 337, Capillaren im Darm 338, im Testikel 339, Stellung im Thierreiche 339, Auge 341.
- — Retina XII, 749.
- — Entwicklungsgeschichte XIII, 181, Nervenrohr, Anlage 184 und Beziehung zum Darmrohr, Analöffnung, Bildung und Beziehung zu der Trennung der beiden Rohre 185, Urwirbel, mittleres Blatt, Entstehung 190, Vergleich mit *Sagitta* 190, Kiemenhöhle 190, Unterhautgewebe, Bedeutung 191, Geschlechtsdrüsen, Beziehung zur Körperhöhle 193.
- Amphipleura pellucida*, Mikro-photographie XVIII, 360.
- Amphitrema Wrightianum* X, Suppl., 145.
- Amphiuma*, Knochen des Gaumenbogens, XI. Suppl. 17, Fehlen des *Os palatinum* 17.
- Amphizonella*, Zugehörigkeit zu *Lepamoeben* X. Suppl. 87, 88.
- *digitata* II, 328.
- *flava*, II, 329, Vergleich mit *Pseudochlamys-patella* X. Suppl. 102.
- *vestita*, Beziehung zu *Cochliopodium pellucidum* X. Suppl. 66, 67.
- *violacea*, Schale, Verhalten gegen Reagentien II, 324, 327, Nucleus 326, Bewegungserscheinungen 326, Befruchtungerscheinung 327.
- Ampullen des häutigen Labyrinths der Knochenfische XIV, 285, Epithel 286, *Planum semilunatum* 286.
- des häutigen Labyrinths der Batrachier XVII, 494, 498, Epithel 498, *N. ampullae sagittalis* 523, *horizontalis* 523, *frontalis* 524, *Crista ampullae* 524.
- des Gehörorgans der Ganoiden XVIII, 489.
- Ampulla frontalis* des häutigen Labyrinths der Chelonii XX, 247, Nervus 326, *Crista acustica* 326.
- *horizontalis* des häutigen Labyrinths der Chelonii XX, 287, nervus 318.
- *sagittalis* des häutigen Labyrinths der Chelonii XX, 285, Nervus 314, *Crista acustica* 314.
- Lorenzinische der Selachier IV, 375, Litteratur über ihre physiologische Bedeutung 377, Untersuchungsmethode mit Ueberosmiumsäure 381, Epithelzellen 382, Stachelzellen, Nervenfasern 382, Verlauf 387, bei *Torpedo marmorata*.
- Amyloidkörper der Epidermis der Ophidier und Beziehung zur Häutung IX, 765.
- Anas*, Tastzellen XV, 415.
- Ancyclus lacustris*, Haut V. Suppl. 52.

- Anerotoprocta*, Stellung zu *Ba-seoprocta* V, 278.
- Anguilla fluviatilis*, Becherzellen-epithel der Schleimhaut des Oesophagus XIII, 661.
- *vulgaris*, Knochen unter der Epidermis XIII, 225.
- — — sekundäre Wirbelkörper XVI, 125, untere Wirbelkörper 132.
- — — Retina, Zapfen, Verhalten der Blutgefäße zu denselben XIX, 311, Innenglieder der Stäbchen 311, Zapfenkörner und Stäbchenkörner 312.
- Anguis fragilis*, becherförmige Sinnesorgane der Mundhöhle VIII, 338.
- — — Unterzungendrüse IX, 360.
- — — Glandula lacrimalis IX, 646.
- — — Skulptur der Haut IX, 761.
- — — Retina XII, 769, Stäbchen und Zapfen 769, 770.
- — — Epitrichialschicht der Haut XIII, 213, Knochen unter der Epidermis 225, Epidermis einer Neugeborenen 242.
- — — Schultergürtel XIV, 527, 530, 531, Brustbein 528, 531, 532, Schulterblatt 532, Schlüsselbein 532.
- — — Schleifenbildung der Gefäße im Hirn und Rückenmark XV, 63.
- — — Haut XVII, 359.
- Angularare, bei *Siredon* XI. Suppl. 26, Anlage bei Urodelen 103, 104, und Entwicklung 111, Anlage bei den Anuren 137.
- Angulus vestibularis*, Bedeutung VIII, 167, Anhangsorgane des Verdauungskanal der Cocciden XIII, 57.
- Anilin zur Färbung der Samenkörper I, 312.
- zur Untersuchung der Labdrüsen VI, 404.
- auf den Zellkern der Harnblasenwandung des Erdsalamanders XIII, 702.
- Anilinfärbung, Anwendung in der mikroskopischen Technik XIII, 263, zur Untersuchung der Plasmazellen 264, des Knorpels 269, Nichtfärbung der Kerne 265, bei Zerzupfung 266.
- von Böttcher XIX, 742.
- Anilingrün, Verhalten im monochromatischen Lichte II, 96.
- Anilinroth, Verhalten im monochromatischen Lichte II, 96.
- Anneliden, Hautdrüsen in den äusseren Bedeckungen I, 257, Nervenendigung 258, 259, Sarcolemma der Muskeln 264, Leberzellen 273, Blutgefässsystem 280, Farbe des Blutes 282, Wasseraufnahme.
- Anneliden, fettige Entartung der Muskeln, Veränderung des Sarcolemmas I, 420, 423.
- Nervensystem, Vergleich mit den Vertebraten an der Hand des *Amphioxus* XIII, 194, 199, 201.
- Annelidenstemma, Convergenz mit dem Tracheatenstemma XVII, 94.
- Anodontia, feiner Bau der Muskelfaser V, 235.
- Entwicklungserscheinungen am Ei X, 257, Eierstocksei 258, Kernkörperchen 259, Nebenkörper 260, Dotterhaut 262, Mikropyle 263. Befruchtung 267, Uebertragung der Eier in die Kiementasche 267, erste Entwicklung 271, Austreibung des Richtungskörpers 275, Wesen desselben 278, Theilung 279, Kernneubildung in den Furchungszellen 286, Keimbläschen, Schwinden 289.
- Bau der Kieme XI, 518, Literatur, grober Bau 519, Kiemengefäße, Gefässsystem der Kieme 522, 525, Kiemencapillaren 523, Beziehung zur Befruchtung 519, Kiemenskeite 523, Entstehung 536, Stäbchencanal 524, Wassercanäle 525, Verhalten der Gefäße am freien Rande 529, Kreislauf 530, intravasculäres Gewebe 530, Wimperepithelzelle 530, fibrilläres Gewebe, Bedeutung 531, Bluträume 535.
- Pigment des Gallertgewebes XIII, 508, pigmentirte Rundzellen im Gallertgewebe des rothbraunen Organes 571, Gallertgewebe der Darmleiste 572, des rothbraunen Organes 573.
- Darstellung der Grundsubstanz der Langer'schen Blasen XIII, 829.
- Flimmerzellen des Darmes XIV, 392.
- *cygnea*, Gefässendothelien XIII, 560, Vorhandensein von Capillaren und Grössenvergleich mit Mensch und Amphibien 562.
- Ansa minor et major ventriculi* der Cocciden XIII, 52.
- Anser, primitives vorderes Ende der Chorda XI, 396, Bildung der Hypophysentasche 406.
- Entstehung des Wolf'schen Ganges XIV, 442.
- Antennen der Dipteren, otocystenartige Sinnesorgane XVI, 37, Bau 38.
- der Trichonisciden XIX, 582, innere Riechkolben am Endgliede 599.

- Antheridien der Florideen, Verhältniss zu den Spermogonien der Lichenen III, 38.
- Antheridienbildung bei *Saprolegnia monoica* V, 187.
- Antimeren der Echinodermen, Bedeutung XII, 622.
- Anthamnion plumula, Farbstoffvertheilung III, 22, Parasiten auf 41.
- Anuren, Quadratknorpel des Primordialcraniums XI. Suppl. 10, Knochen des Gaumenbogens 20, Palatinum, Pterygoid 20.
- Entwicklung des Mundhöhlenskeletts XI. Suppl. 133, Zeit der Entwicklung, bezogen auf das Primordialcranium und Geruchsorgan 134, 136, provisorischer Kauapparat 135, Cartilages rostrales oder Labialknorpel 135, Hornzähne 136, Deckknochen, Entstehung 136, Dentale, Angulare, Operculare, Vomer, Palatinum, Pterygoid, Parasphenoid, Intermaxillare, Maxillare 137, Entwicklung der ersten Zähne 138, Dentinkeim 139, Schmelzmembran 139, Basalmembran 139, Zahnbein und Schmelz 139. Ersatzleiste 139, Vergleich der Mundhöhlenskelett- und Zahnbildung mit Urodelen 141, in Bezug auf Zeit 141, auf Art und Weise 142, der Deckknochen 142, der primären Zähne 142, Erklärung für die Zahnverhältnisse 145, für die Bildung des Vomer und Palatinum 146, Stellung der Ontogenie der — zu der Phylogenie des Amphibienstammes 149.
- Brustbein und Schultergürtel XIV, 571.
- Zonula ciliaris XIX, 166.
- Anus der Cocciden mit Valvae XIII, 55.
- Aorta von *Amphioxus lanceolatus* XII, 377.
- Aortenanlage bei *Bombinator igneus* V, 106.
- Aortenbogen bei *Bombinator igneus* V, 113.
- Apertura aquaeductus vestibuli des knöchernen Labyrinths der Batrachier XVII, 489.
- Aphidina, Anatomie und Histologie XIII, 31.
- Speicheldrüse XIII, 61.
- Schwinden des Keimfleckes im Ei negirt XIII, 395.
- Aphis Sambuci*, Speicheldrüse XIII, 73, Tunica propria 74, Zellen 74, intima 74.
- Aphroditea, Auge XII, 307.
- Aphysia punctata*, Haut V. Supl. 53.
- Apiden, Fettkörper IX, 177.
- Apparat für Mikrophotographie III, 63.
- lymphatischer der Milz VIII, 568, beim Pferde 568, Rind 603, Schwein 605, Mensch 608.
- nervöser des Hinterendes bei *Ascaris* X, 92, Weibchen 93, Männchen 93.
- propulsatorischer der Insekten IX, 129, 177, Tabelle zur Morphologie 184, thermische Versuche 186, electriche 188, physiologische Experimente 185.
- Appendices pyloricae der Fische, Schleimhaut XIII 672, Bedeutung 690, Flimmerepithel bei *Rhombus aculeatus* 673, Bedeutung 673.
- Appendix utriculi des häutigen Labyrinths der Knochenfische XIV, 284.
- Aqua destillata*, Einwirkung auf die Zellen der Labdrüsen des Magens VI, 376, auf die Zellkerne der Harnblasenwandung des Erdsalamanders XIII, 704.
- Arachnoidea, Entwicklung des fibrillären Bindegewebes und Beziehung zur Blutgefässentwicklung VIII, 45, 52, Embryonalzelle und ihr Verhältniss zur Entwicklung des fibrillären Bindegewebes 47.
- Beziehung zu den Hüllen der peripheren Nerven IX, 335.
- Vorkommen von Ganglienzellen XVI, 613.
- cerebri, fibrilläres Bindegewebe VII, 311.
- spinalis, Bau IX, 310, Verbindung mit der Dura 311, mit dem Ligamentum denticulatum 314, Bau 319, 333.
- Arachnoidealbekleidung des Riechkolbens des Kaninchens, Ganglienzellen XVI, 614.
- Arachnoidealraum, Zusammenhang mit dem Perichorioidealraum des Auges VI, 44, mit den Opticuscheiden VI, 49.
- Arachnoidea, Entwicklung der Muskeln II, 504.
- Bau des Muskels IX, 511, Nerveneintritt und Endigung 512, Doyerescher Hügel 512.
- Auge XVII, 58, äussere Cuticula 59, Cornea und Linse 59, Po-

- renkanäle 60, Hypodermis 61, Glaskörperzelle 61, Pigmentzelle 62, hypodermale Grenzhaute 63, Sclera 63, präretinale Zwischenlamelle 64, Retina 67, Ganglienzellen und Stäbchenzellenschicht 67, Retinalschläuche, Axialgebilde derselben 78, stemmale Retinastrahlen, Vergleich mit den Endschläuchen der tympanalen Sinnesorgane der Orthopteren 80, Retina, Matrix der parietalen Pigmentzone 83.
- Arachnoideae, Formelemente der Retina XVIII, 425.
- Arachnula impatiens XII, 27.
- Arca Noae, Pigment des Gallertgewebes XIII, 568.
- Arca pillosa, pigmentirte Rundzellen im Gallertgewebe des rotbraunen Organs XIII, 571.
- Arcella, Vergleich mit Cochliopodium pellucidum X. Suppl. 68, X. Suppl. 93, Schale 94.
- arenaria, Form der Hüllen und Pseudopodien II, 330.
- hyalina X. Suppl. 117, 118.
- patens X. Suppl. 103, 105.
- vulgaris X. Suppl. 96, Schale 96, Kerne 97, Fortpflanzung durch Encystirung und Theilung 97 oder Conjugation, Häutung 99.
- — Fortpflanzung XI, 459, Conjugation und Beziehung zur Fortpflanzung 460, Brut 461, Gasblasenentwicklung 463, Vergleich mit Noctiluca miliaris 465, Schalenbau 466.
- Arcellidae XIII, 26.
- Archiblast, Hauptkeim des Wirbelthierleibes II, 516.
- Architektonik der Grosshirnrinde des Menschen III, 441, IV, 407.
- Architektur unvollkommen getheilter Zahnwurzeln beim Menschen XV, 360, Entwicklungsstufe 360, Veränderungen des Dentin 362, bei Thieren 366.
- Arctiscoiden, Beschreibung I, 102, Methode zur mikroskopischen Untersuchung 105, Nervensystem 107, Neurilemma 108, Geruchsorgan und Auge 108, 109, Muskeln 112, Sarcolemma 112, 119, Nervenendigung im Muskel 113, Nerven Hügel 113.
- Bau und Naturgeschichte II, 102, Litteratur 102, Bau 114.
- Dujardinsche See — I, 434.
- in der Nordsee vorkommend I, 428.
- Arctiseon tardigradum II, 106, Arten 109.
- Arcus des Mundes bei Cocciden XIII, 35.
- Area des Mundes bei Cocciden XIII, 35.
- Area opaca II, 522.
- — Auftreten des Mesoblast in — XVI, 580.
- pellucida des Hühnereies, Verhältniss zum Keimwall XVI, 575.
- Arenicola, feiner Bau der Muskelfaser V, 223.
- Arge Galathea, Cylindergebilde des Rüssels XV, 18.
- Argentum nitricum zur willkürlichen Hervorrufung fettiger Entartung des Muskelgewebes I, 416, doppelte Wirkung 418.
- — Einwirkung auf den Zellkern XVI, 334.
- Argus, schöner — lycaena adonis.
- Argynnis, Cylindergebilde des Rüssels XV, 17.
- paphia, Farbe der Hautdecke XII, 538.
- Arion ater, verästelte Muskelfasern V. Suppl. 33, Haut 55.
- empiricorum, Ganglienzellen der Spinalganglien IV, 63, Zusammenhang mit Nervenfasern 64.
- — Färbung XII, 237.
- Armbildung bei Echinodermen, XII, 626.
- Armmolch — Siren.
- Armschnecken — Cephalopoda.
- Arteria carotis vertebralis der Urodelen XX, 87.
- centralis retinae XII, 744.
- lobi optici der Urodelen XX, 88.
- mesaraico-intestinalis bei Squatina angelus und Torpedo Galvani XIII, 678.
- spinalis der Urodelen XX, 88.
- Arterien der Flughaut der Fledermäuse VII, 12.
- der Iris, Nerven XVII, 332.
- kleinere, Einmündung in Gefässäste venösen Charakters XIII, 603, Injectionsmasse 604, am Ohr des Kaninchens 607, Darstellungsweise 608, am Ohr 611, an der Nasenspitze 613, der Schwanzspitze 613, an den Endphalangen der Extremitäten 620, beim Menschen 624, in den Schwellkörpern der Geschlechtsorgane 627, in den Lungen 630,

- der Milz 631, physiologische Bedeutung 631, Historisches und Kritisches 635.
- Arterien der Milz, Verlauf VI, 548, adenoide Umwandlung kleiner — 550, Beziehung zu den Malpighischen Körperchen 556, Endigungen 561, Capillaren 560, Zusammenhang mit den Venen 570.
- der Milz, Beziehung zum perivascularären Lymphgebiet VIII, 576.
- Arthropoda, Auge, Bildung II, 426.
- primitives Muskelement VIII, 244, Thoraxfibrillen 247.
- Nervenendigung im Muskel IX, 520, quergestreifte Muskelfibrille 715.
- Auge, Retinazellen XVIII, 417.
- Arthrozoa, Endorgane des Sehnerven III, 404.
- Retina, Stäbchen VII, 256.
- quergestreifte Muskelfibrille IX, 715.
- Ascandra variabilis*, Olynthusform XII, 553.
- Ascetta clathrus*, Larvenstadium XIV, 255, Pigment 255, Entodermbildung 256.
- *coriacea*, Olynthusform XII, 553.
- *primordialis*, Larvenstadium XIV, 252, Entodermbildung 253.
- Ascidia*, Herz V, 228, Muskelfaser, feinerer Bau 228.
- Stammverwandtschaft mit den Wirbelthieren V, 159, VI, 115, Bildung, Metamorphosen, Verlust des Schwanzes 161 und Rückbildung des Nervensystems, nach Bildung des Herzens 162, Veränderungen des Kiemensackes 165, Bildung des Mundsipto und Endostyls, Blut und Blutgefäße 167, Kloakenbildung 168.
- Tunicazellen der Eier VIII, 360.
- Knospung X, 441, 465, Bildung der Knospe 466, Vergleich mit *Pyrosoma* 467 und den Salpen 468.
- Zusammenhang zwischen Nerven und Darmrohr XIII, 197.
- *ampulloides*, Entwicklung VIII, 384.
- *canina*, Bau VI, 118, Geschlechtsorgane 119, Ovarium 119, Entwicklung der freibeweglichen Larve 120, Hoden 120, Eierstocksei 120, Follikel 120, Follikelepithel 121, Chorionbildung 122, Bildung von Testazellen 126, Befruchtung 126, befruchtetes Ei 125, Furchungsprozess 128, Furchungshöhle 129, Darmeinstülpung 130, Nervensystem, erste Anlage 131, 151, Darmsack und seine Mündung 136, 142, 146, Schwanz und seine Organe 137, 154, Ausstossung der Eier 126, Anlage der Haftpapillen 142, Auftreten zweier Pigmentflecke als Anlage eigenthümlicher Sinnesorgane 143, 152, Bildung des eigentlichen Darmes 147, freie Larve 149, Chordabildung 155.
- Ascidia canina*, Tunicazellen VIII, 366.
- *complanata*, Nierenblase VIII, 378.
- einfache, Entwicklung VII, 101, Entwicklung der freibeweglichen Larve 103, Bildung der Testazellen 103, Furchungshöhle 104, Einstülpung und Bildung zweier Keimblätter 105, Chorda, Anlage 106, 121, Homologie mit den Wirbelthieren und anderen Wirbellosen 122, Rückenfurche 107, Zellen des Muskelblattes und der Darmhöhle 109, Querschnitt des Embryo 109, Nervensystem, Anlage 111, äussere Form 112, Haut mit Haftpapillen 113, Nervensystem 113, Theilung in 3 Blasen 115, Gehirnentwicklung 116, Sinnesorgane 116, Gehörorgan 117, Auge 117, Flimmerscheibe 118, Linse 118, Muskelsystem 119, Blutkörperchen, Bildung 120, Darmkanal 123, Kiemensack mit Endostyl 124, Kloaken 124, Kiemenspalten 125, Analöffnung 126, Herz 126, Leibeshöhle, Abstammung 126.
- einfache, zur Entwicklung VIII, 358.
- geschwänzte, Vergleich mit der Entwicklung der *Molgula*, VIII, 382.
- *intestinalis*, Tunicazellen, VIII, 367.
- *mamillata*, Testazellen, Entstehung VI, 123, Furchungshöhle, Auftreten 129, Nervensystem, Anlage 131, Schwanz und seine Organe 137, 138.
- *mentula*, Nervensystem der Larve VIII, 385, Hirnblase 386, Crista acustica 386, Otolith 387, Flimmerscheibe 388, lichtbrechender Apparat, Spinalnerven, 3 Paare 392.
- Ascidiozoid*, Anlage bei *Pyrosoma* XI, 621, Weiterentwicklung 623, Eleoblast 625.

- Asellidae, Bau und Thätigkeit der Leber XVII, 407.
- Asellus, Pedes maxillares XIX, 617, Deutung.
- Geschlechtscharaktere XIX, 643.
- aquaticus, Bau- und Thätigkeit der Leber XVII, 407, Drüenschläuche 408, Tunica serosa 408, muscularis 409, Drüsenzellen 411, Fermentzelle 411.
- cavaticus, Leber, Bau und Thätigkeit XVII, 412, Drüenschläuche 412, Drüsenzellen 413.
- Aserina cernua, Seitenorgane in Canälen XVIII, 387.
- Aspidiotus, Fundort XIII, 33, Mundtheile 36, 37, Saugapparat 46, Speicheldrüse 64, Bau derselben 69, Tunica propria 69, intima 70, Kern 70, unpaarige Speicheldrüse 76, Lage 76, Histologie 77, 78, Tunica propria 78, Zellen 78, Malpighische Gefäße 80, Zellen 81.
- Aspidisca Andreewii, Bau XVI, 166, Fundort 167.
- Asselkrebse — Isopoda.
- Astacus, Bau des Muskels IX, 514, Kerne 515, Nerveneintritt und Endigung 516, 518, Endplatten 519.
- breitgestreifte Muskelfaser XIX, 685, Contraction, Muskel der Scheere 686, Ruhe, Contraction 687, Untersuchungsmethode 689, der Kiemengegend 689, des Schwanzes 688, ein Zwischenstadium 690.
- fluviatilis, Genese der Samenkörper X, 496.
- Bau und Thätigkeit der Leber XVII, 436, Hüllen 439, Tunica serosa 439, muscularis 439, Drüsenzellen 439, Leber- und Fermentzelle 440.
- Hüllen der Geschlechtsstoffe XVIII, 53, Vergleich der männlichen und weiblichen.
- Astasia deformis, Bau XVI, 185, Fundort 186.
- gattula, Bau XVI, 184, Fundort 184.
- Astdärmer — Dendrocoela.
- Asteracanthion rubens, feiner Bau der Muskelfaser V, 215.
- Asteriscus, Otolith der Lagena des häutigen Labyrinths der Knochenfische XIV, 296.
- Astrococcus rufus XI, 27.
- Astrodisculus flavescens V, 499.
- flavo-capsulatus V, 499.
- minutus V, 496.
- Astrodisculus radians V, 500.
- ruber V, 497.
- Astur palumbarius, Retina XII, 773, Oeltropfen, radiale Stützfasern 774, Stäbchen und Zapfen, Beziehung zur Licht- und Farbenempfindung 774.
- Athmungsprocess bei Infusorien II, 338.
- Atrophie, paralytische, Heilungsprocess bei Muskelverletzungen im Zustande der — IV, 333.
- langsamer Fettzellenschwund bei — VII, 343.
- des Fettgewebes XII, 464, einfache 44, seröse 465.
- Verhalten der intralobulären Bindegewebszellen XII, 472.
- Aufnahme fester Körper in das Protoplasma farbloser Blutkörperchen I, 17.
- Auchenia, Modell der rothen Blutkörperchen VIII, 475.
- Auge der Lungenschnecken I, 54, Form 55, Hülle 55, Form der Linse 57, Verlauf des Sehnerven 57.
- der Arctiscoiden I, 109.
- der Schnecken II, 399.
- von Pteroceras II, 400, Hüllhaut 407, Glaskörper 408.
- der Gasteropoden, Glaskörper II, 409.
- Bildung bei Schnecken und Cephalopoden II, 416.
- Sclera, Function II, 417.
- niederer Wirbelthiere, Cornea II, 419, Chorioidea 420.
- bei Arthropoden II, 426, von Pterotrachea, Hüllen 426, von Pecten 426.
- der Gliederthiere, Endorgane des Sehnerven III, 404, Krystallkegel in demselben 405, Doppelpyramiden 406.
- Pigmentschicht III, 377.
- Anlage bei Knochenfischen IV, 244, Zusammenhang mit der Entwicklung des Centralnervensystems IV, 250.
- Nervenendigungen in der Netzhaut V, 379.
- von Sepia, Aequatorialring, Knorpelzellen V. Suppl. 15.
- Lymphbahnen VI, 1, vordere 261, Canalis Petiti 2, Begrenzungen 307, Membrana suprachorioidea 3, Pigmentzellen 12, freie Kerne 16, farblose Zellen, Bedeutung 18, Verhalten von Chorioidea und Sclerotica

- 4, Endothel der Chorioidea nachgewiesen durch Arg. nitr. 5, 9, Wesen des Schaltplättchens 6, 26, Venae vorticosae, Beziehung zum Perichorioidealraum 34, Beziehung zwischen Tenon'schem Raum und Perichorioidealraum 37, 41, Arachnoidealraum, Zusammenhang mit dem Perichorioidealraum und Opticuscheiden 44, umspinnende Fasern der Opticuscheiden, Beziehung zum Endothel 52, Ligamentum pectinatum 272, Fontana'scher Raum 272, Schlemm'scher Kanal 272, beim Schwein 295, Mensch 299, Desmet'sche Haut, Verbindung mit der Iris 273, beim Ochs 274, Hund 277, Mensch 277, Endothelscheide des Balkennetzes der Irisfortsätze 288, Wesen der Sccleralrinne 297, Ciliarplexus, Beziehung zum Schlemm'schen Kanal 303, Hannover'scher Kanal 318, Hyaloidea, Beziehung zur Limitans retinae 320, 322, Zona ciliaris 325, Zusammenhang mit Limitans retinae 328, Ursprung der Fasern 335, Ansatz 337, quergestreifte Fasern 339, Zellen 340, Ciliarkörper, Wesen 326, Ciliarfortsätze, Ursprung 326, Lymphsystem 351, Accommodation, Beziehung zum Humor aqueus und dessen Abflüssen 353.
- Auge von *Mytilus edulis*, angebliche VI, 455.
- Bildung bei einfachen Ascidien VII, 117.
 - der Vögel, Kamm im — IX, 591.
 - von *Amblopus lanceolatus* XII, 341.
 - Bezeichnung nach der Lichtempfindlichkeit XII, 776.
 - von Schnecken mit Wirbelthier-typus XIV, 118.
 - bei *Onchidium* XIV, 118, Bau, Stellung und Verbreitung 121.
 - der Cephalopoden XV, 216, Augenkapsel 216, Cornea 216, 223, Häute des Bulbus 217, 223, Argentea ext. 216, int. 217, Cornealklappe 224, Knorpelhaut 217, Linse 217, Ciliarkörper 217, 225, Retina 218, 225, Iris 225, 236, Vergleich mit anderen Thieren 219, 223, Blutgefäße 220, Verlauf 225, bei *Sepia* 225, *Uvea* 232, Chorioidea 233, *Orbicularis ciliaris* seu *Zona ciliaris* 234, Plexus arteriosus ciliaris annuliformis 235, Ringgefäße 235, Corona ciliaris 236, Untersuchungsmethode 236.
- Auge, Anatomie XV, 542.
- vordere Hälfte beim Menschen XV, 579, Veränderungen bei der Accommodation 583, 586, 595.
 - unicornales Tracheaten- und Arachnoideen- und Myriopoden — XVII, 58, äussere Cuticula 59, Cornea, Linse 59, Porencanäle 60, Hypodermis 61, Glaskörperzelle 61, Pigmentzelle 62, hypodermale Grenz-haut 63, Scclera 63, präretinale Zwischenlamelle 64, Retina 67, Ganglienzellen- und Stäbchenzellen-schicht 67, Retinalschläuche, Axialgebilde 78, stemmale Retinastrahlen, Vergleich mit Endschläuchen der tympanalen Sinnesapparate der Orthopteren 80, parietale Pigmentzone 83, Matrix 85.
 - der freilebenden marinen Borstenwürmer XVII, 243, Litteratur, Untersuchungsmethode 250.
 - der Aleiopiden XVII, 251, Maasse 309, Verhalten zum Integument 251, Augenhaut 253, dioptrischer Abschnitt 255, Glaskörper 255, Linse und Linsenkapsel 257, Retina, Stäbchenschicht 260, Basal- oder Säulenschicht 264, Beziehung zum Pigmentkörper 266, Kerne 269, Vorderkernzone 271, Stäbchenschicht, Beziehung zur Perception 274, Axenfäden, Bedeutung 276, bei *Nereis* 278, *Nephtys* 278, Ursprung der Schichten der Retina 279.
 - der *Eunicia* XVII, 280, Anatomie, dioptrischer Theil 284, Linse und Linsenkapsel 284, Glaskörper 284, Epithel 285, Retina 285, Mittelkerne 285, 286, Kernlage äussere 288, Stäbchen 288, 289.
 - der *Nephtyidea*, Anatomie XVII, 289, Linse 292, Glaskörper 292, Epithel, Uebergang in normale Hypodermis 292, Retina 293, äussere oder Stäbchenkerne 293.
 - der *Sycoridae*, Anatomie XVII, 294, Form und Lage 297, Cornea 298, Glaskörper 298, Wesen 300, Irispigment 302, Augenträger 301, Retina 302, Hüllen 303, Stäbchenschicht 304.
 - der *Scyllidea*, Anatomie XVII, 305, Lage 305, Cornea 306, lichtbrechender Körper 306, Retina 306, Vorderkernzone 307.
 - von *Aphroditea* XVII, 307.
 - von *Polynoe areolata* XVII, 308.

- Auge von *Polynoe elegans* XVII, 307.
 — von *Hermione hystrix* XVII, 308.
 — der freilebenden marinen Borstenwürmer XVII, 310, cuticulare Schicht 310, hypodermale 310, dioptrischer Binnenkörper 310, Cornealepithel 311, Glaskörper 311, Linse 311, Retina 312, Pallisadenschicht 312, Retinalschläuche 313, Vergleich mit dem Tracheatenstemma 314.
 — einiger Myriopoden XVIII, 415, Rhabdom 417, Retina, Formelemente 417, Leistung 460.
 — der Arthropoden, Retinazellen XVIII, 417.
 — der Scolopendridae XVIII, 434, Glaskörper, Beziehung zur Hypodermis 434, Leistung 460.
 — von *Branchiostoma australicum* XVIII, 435, Retina 436, Retinazellen, Stäbchen 437, Nervus opticus 439, Pigmentumhüllung des — 440, Leistung 463.
 — von *Lithobius* XVIII, 441, Retina 443, Stäbchen, Leistung 462.
 — von *Julus* XVIII, 445, Retinazellen 445, Stäbchen 446, Leistung 462.
 — von *Glomeris* XVIII, 447, Retina 448, Stäbchen
 — von *Scutigera* XVIII, 449, Kristallkörper 450, Retinula, Bedeutung 452, Stäbchen 456, Opticusendigung 454, Pigmentzellen 456, Leistung 463.
 — der Vögel, Bau des Kammes desselben XIX, 733, Litteratur, Gefäßverlauf 735, Adventicia 736, Lymphhöhlen in — 738, Function 740.
 — der Turbellarien, Litteratur XX, 160, Untersuchungsmethode 162.
 — von *Planaria polychroa* (Schmidt) 162, Ganglion opticum 163, Kolben 163, Pigment 164, Regeneration 167.
 — von *Leptoplana tremellaris* XX, 168.
 — von *Tristomum coccineum* XX, 169.
 — von *Polycelis nigra* XX, 170, Lage und Bau 171.
 Augenanlage bei Gasterostei, *Gobius*, Knochenfischen IV, 244, Anlage der Linse 249 und Zusammenhang mit der Entwicklung des Centralnervensystems 250.
 — bei *Fusus* sp. XIII, 133, bei *Fusus* 142.
 Augenblase, Bildung bei der Unke IX, 397.
 Augenblase, Anlage bei Teleostiern XV, 162.
 — bei Vertebraten, primäre XIX, 152, secundäre 153.
 Augenkammer, hintere, Vorhandensein beim Menschen XV, 575.
 — vordere, und ihre Abflüsse VI, 261, Injection und Wirkung auf die Ciliarvenen, Art und Weise der Abflüsse 272, Art des Zusammenhangs mit den vorderen Ciliarvenen 306, beim Menschen, beim Schwein 308, Zusammenhang mit Fontanaschem Raum 307, mit Schlemmschem Kanal 307, mit Petitischem Kanal 345.
 — vordere, Zusammenhang mit den vorderen Ciliarvenen XV, 209, Untersuchung an ausgeschnittenen 211, an lebenden Augen 213.
 Augenlid, Schleimhaut beim Menschen III, 360, Epithel 361, Drüsen 361, Schweissdrüsen 363, Schleimzellen 364.
 Augenlidbindehaut des Menschen, Bau III, 357, Untersuchungsmethode 360, Schleimhaut 360, mit Drüsen 361.
 Augenlidhaut, Knäueldrüsen XIII, 794.
 Augenlinse, erste Anlage XI, 379, beim Rind 380, 383, Kaninchen 380, Beteiligung der Zellen der Hornschicht 382, Vögel 385, Fische 385, Lachs 386, Untersuchungsmethode 387.
 Augenmuskel, des Schafes, Beziehung zum Nerven IX, 36, Faserteilung 44.
 Augenspinner — Saturnia.
Aurelia aurita, Entwicklungsgeschichte VI, 363, Bau 364, Tentakeln 364, Knospung 364.
 Ausführungsgang der Speicheldrüsen, Cylinderepithelien und Beziehung zur Endigung der Absonderungsnerven V, 194.
 — des Pancreas, Beziehung zu den Alveolen, Zellen des —, Beziehung zur Membrana propria der Alveolen VIII, 489.
 — der Parotis, Verbindung mit Alveolen VIII, 502.
 — der Giftdrüse der Giftschlangen IX, 606.
 — der Giftdrüse von *Naja haje* XI, 567.
 — der knäuelförmigen Hautdrüsen

- der Katze, am Ballen XX, 112, an behaarten Stellen 115.
- Ausflussröhren der Niere bei Säugern, Epithel X, 18.
- Aussenglieder der Zapfen der Retina III, 235, Plättchenstructur IV, 16.
- der Retina von Amphibien, Hüllen VII, 92, Längsfaserung und Querzerfall 96.
- der Retina, Bedeutung VII, 254.
- Avertebrata, Punktsubstanz im Gehirn I, 48.
- , gangliöse Endplatten, Nervenendigung I, 115.
- Nervenendigung im Muskel I, 117.
- feinerer Bau der Muskelfaser V, 205, zur Histologie 248, Glycogen, als Bildungsmittel der Marksubstanz der Muskelfaser 220.
- zur Kenntniss des Blutes V, 248, Blutkörperchen 251, contractile Zellen im Blute 254, Flimmerbewegung 256, Flimmerzellen und Bewegungsursachen 258.
- Retina, Zusammenhang der Stäbchen mit Nervenfasern VII, 257.
- Verbreitung des Chlorophylls in den Hautdecken XII, 539.
- Vergleich mit dem Gehirn der Vertebraten XIII, 201.
- Beitrag zur Kenntniss der Binde substanz XIV, 52, Untersuchung auf Leim.
- Injectionstechnik XV, 252.
- Nervelemente, fibrilläre Structur XVI, 57.
- Hüllen der Geschlechtsstoffe, Vergleich der männlichen und weiblichen XVIII, 49.
- Aves, Samenkörper I, 315, Entwicklung 409.
- Retina II, 201, Zapfenfasern 202, 250, Pigmentkugeln in, Stäbchen 202, IV, 13, Körnerschicht II, 213, Lymphwege III, 409.
- Darmkanal, Lymphnetz III, 417, Chylusbahnen 420, Gallencapillaren der Leber 426.
- M. Dilator Pupillae VI, 95.
- Scheide der verknöchern den Sehnen VII, 296.
- Pigmentschicht der Retina VIII, 84.
- Drüsen des Muskelmagens VIII, 435.
- Nebenniere, Zellen VIII, 625. Blutgefässe 628.
- Aves, Nerven der Cornea IX, 244.
- Muskulatur der Iris IX, 289.
- Nervenhügel IX, 557.
- Kamm des Auges IX, 591.
- Niere X, 20, Epithel der gewordenen Canäle 20, der Henle'schen Schleife 20.
- Sinus rhomboidalis, Vergleich mit Ventriculus terminalis des Rückenmarks XI, 221.
- embryonale Anlage der Augenlinse XI, 385.
- Umwandlung des Hypophysensäckchens in Drüenschläuche XI, 514.
- Mundhöhlenskelett, Vergleich mit Amphibien XI. Suppl. 178.
- Ossificationsprocess XII, 243, Untersuchungsmethode, Markbildung aus Knorpel 246, Myeloplaxen, Wesen 247, Knorpelzelle, Theilung 247, Knochengewebe, Bildung aus Markgewebe 247, Osteoblasten, Werth 248, Neubildung von Blut und Blutgefässen 248, an der Ossificationsgrenze, Hämatoblasten 251.
- Knochenbalken des Tarso-metatarsus XII, 232.
- Retina, Oeltropfen, Beziehung zur Farbentheorie XII, 770.
- Haut, Entwicklung XIII, 229, Hornblatt 232.
- Nervenendigung im quergestreiften Muskel XIII, 368.
- Drüsen des Labmagens XIII, 744, 745.
- Purkinjesche Zellen der Kleinhirnrinde XIV, 217, Protoplasmafortsatz.
- Thymus, Lage XIV, 346, Bau des primären Läppchens 353.
- Anatomie der Retina XIV, 437.
- Schlüsselbein XIV, 552, Episternalfortsatz 555, Schultergürtel 557, Brustbein 558.
- Spermatogenese XVIII, 37, Hüllen der Geschlechtsstoffe, Vergleich der männlichen und weiblichen XVIII, 37.
- Bedeutung der Membrana basalis Retinae XIX, 165, Zonula ciliaris 165, Fontanascher Raum 172, Schlemmscher Canal 175.
- Nervenendigung im quergestreiften Muskel XIX, 345.
- Bau und Funktion des Kammes im Auge XIX, 734.
- Axencylinder der markhaltigen Nervenfasern XIII, 451, Darstellung

- 452, chemische Beschaffenheit 455, periaxiale Flüssigkeit 454, Querstreifung 454.
- Axencylinderfortsatz der Purkinjeschen Zellen der Kleinhirnrinde XIV, 236.
- Axencylinder-Membran des Schneckenerven des acustischen Endapparates der Säuger XIII, 524.
- Axenplatte, Bildung bei der Unke IX, 396.
- des Forellenkeimes, Wesen und Umwandlung XV, 145, Beziehung zur Sinnesplatte der Teleostier 157.
- Axenstrang II, 520.
- Anlage bei Forelle IX, 699.
- Anlage beim Huhn X, 164, 172.
- bei Amphibien und Umwandlung XV, 186.
- Axenstreif, Bildung bei der Unke IX, 396.
- Axialgebilde der Retinalschläuche des uniconaleen Tracheaten-, speziell des Arachnoideen- und Myriopoden-Auges XVIII, 78.
- Axolotl, Vergleich mit *Salamandra maculata* betreffend Entwicklung des Quadratkorpels des Schädels XI. Suppl. 11, Bedeutung des Zahnsockels als Cement 63, Bedeutung des Pterygopalatinum bei Larven 112, Veränderung des Mundhöhlenskeletts 114.
- Organe des VI. Sinnes XII, 171.
- Retina XII, 416, Stäbchen, Hüllen 418, Formen 417, Zapfen 418, Stützfasersystem 418.
- indirekte Kerntheilung XVIII, 158.
- B**achforelle — *Salmo fario*.
- Bacillaria cursoria und paradoxa, Bewegung I, 396.
- Bacteridae, Beschreibung VIII, 515.
- Bacterium termo, Abstammung und Entwicklung III, 317, 342.
- Körperbedeckung bei *Mastigamoeba aspera* XI, 588.
- trilocularis, Geißel führend VIII, 517, Entstehung 525.
- Bänder, Dondersche der Sehnen VII, 289.
- Bärenspinner — *Euprepria*.
- Bärthierchen — *Aretiscoiden*.
- Balantidium Medusarum XVI, 163, Bau, Fundort 169.
- Balistes, Schleimhaut des Oesophagus XIII, 661, Zotten des Mitteldarms 682.
- Balken, elastische, der Flughaut der Fledermäuse VII, 6.
- Balkenschröter — *Doreus*.
- Bandassel — *Scelopendridae*.
- Bangia subaequalis, Entwicklungsgeschichte III, 32, Sporenbildung 32.
- Bandwürmer — *Cestoidea*.
- Barsch — *Perca*.
- Baseoprocta, Stellung zur *Anerotoprocta* V, 278.
- Basalmembran der Retina von *Pteroceras* II, 402.
- der Schwanzplatte der Froschlurve IV, 115.
- der Anurenzähne XI. Suppl. 139.
- der Rinde von *Distomum Westermanni* XIX, 532.
- des Oesophagus von *Distomum Westermanni* XIX, 550, des Darmchenkels 550.
- Basalplatte des Selachierzahnes, Homologie mit der Zahnkrone der Amphibien XI. Suppl. 66.
- der Haifische XI, 65, Homologie mit der Zahnkrone.
- der Mundtheile der *Trichonisciden* XIX, 616, 618.
- Basilarfortsätze der Zapfenzelle des acustischen Endapparates der Säuger XIII, 517.
- Batrachia, Vertheilung der Zähne XI. Suppl. 35, Beziehung der Mundschleimhaut zu den Zähnen $\frac{1}{2}$ zu Salamandrinen 36, Anordnung der Zähne auf den Knochen der Mundhöhle 37, Zellen des Zahnsockels 62, Bedeutung des Zahnsockels als Cement 63.
- Schwanzflosse, Tastkörperchen und Endorgane der Nerven XII, 513.
- Endstück des Rückenmarkes und *Chorda dorsalis* 513, Flossensaum 515, Lymphräume 516, Tastkörperchen 518, Nervenendigung in der Haut mit Ganglienkegel 519, in den Wurzelscheiden der Tasthaare 520.
- Epidermis, zweischichtig XIII, 228.
- Haut, Entwicklung XIII, 229.
- Pepsinbereitende Drüsen des Oesophagus XIII, 746.
- Anlage der Geschlechtsdrüsen XV, 390, Keimepithelzelle und Endothelzellen des Peritoneums, Beziehung zu einander 390, Primordialeier 392, Wachsthum und end-

- licher Bau der Ovarien 394, Pflüger'sche Schläuche 395, Eifollikelbildung 395, Keimepithelinseln 397, Primordialfollikel 396, % zu entwickelten Follikeln, Follikel epithel 399, Dotter, Entstehung 399, Keimbläschen und Keimfleck 402, Dotterhaut 402.
- Batrachia**, Würfelzelle der Pleuroperitonealhöhle XVI, 526.
- inneres Ohr XVII, 486, knöchernes Labyrinth 486, Foramen Ovale 488, rotundum 488, Apertura Aqueductus Vestibuli 489, Meatus auditorius int. 489, häutiges Labyrinth 490, Pars sup. seu Vestibulum membranaceum, Lagenverhältnisse 490, Periostr 492, feinerer Bau 497, Epithel 497, Utriculus 493, Ampullen und Bogengänge 494, 498, Pars inf. Lagenverhältnisse 500, Sacculus hemiellipticus, Lage und Bau 502, Lagena, Lage und Bau 503, Pars basilaris Cochleae 505, Membrana basilaris 507, Tegmentum vasculosum 508, Pars initialis Cochleae 509, Ductus endolymphaticus 513, perilymphaticus 514, N. acusticus 515, Verästelung, Ramus vestibularis 517, N. Utriculi 517, Macula acustica Utriculi 518, Basalzelle 518, Cylinderzelle, Hörzelle 519, Nerv, Verhalten zum Epithel und Endigung 520, Otolith des Utriculus 522, N. Ampullae sagittalis 523, N. Ampullae horizontalis 523, Crista Ampullae 524, N. Ampullae frontalis 524, Cupula terminalis 525, N. Sacculi 526, Macula acustica Sacculi 526, Otolith 526, N. Lagenae 527, Crista Lagenae 528, N. Partis initialis Cochleae 528, Crista 529, N. Partis basilaris 530, Crista 531.
- Entwicklung der Geschlechtsdrüsen XVIII, 2, Geschlechtszelle 3, Peritonealzelle, Anlage und Weiterentwicklung 3, maulbeerförmige Kerntheilung 8, Keimepithel, Auftreten 10, Eibildung 13, Hoden, Verbindung mit Urniere 15.
- Regenerationsvorgänge im Eierstock XVIII, 72.
- ecaudata, Larvenzähne, XII, 129.
- Färbung, XII, 236.
- Batrachierknochen**, Genese und Architectur XIX, 1, Röhrenknochen, Ossification 3, Entwicklung aus präformirten Knorpelzellen und Veränderung 4, primordiales Knorpel 3, wandständiger Knorpel 7, Verkalkung 7, pilzförmiger Knorpel 9, metaplastische Verknöcherung 11, 13, Osteoblasten, Entstehung 11, intramedulläre Knochen-schicht 11, perichondrale Grenzlinie 12, periostale Knochenbildung 15, 20, homogen und radiärgestreifte Knochen-schicht 17, concentrisch lamellöse Knochen-schicht 17, periostale Grundschicht 20, Metaplasie 21, Neoplasie 21, Osteoblasten 23, Phalangen, Ossification 24, Wirbelsäule, Ossification 26, Wirbelkörper, Knochen-schicht 27, Chorda dorsalis 27, häutige Wirbelsäule 28, knorpelige Wirbelsäule 28, Chordazellen, Veränderung 30, knorpelige Wirbelbildung 30, Ossification 31, periostale 32, wandständiger Knorpel 32, Metaplasie 32, Wirbelbögen, Ossification 33, Schwanzwirbel 34, Os coracoideum, Ossification 35, Clavicula, Ossification 35, Scapula, Ossification 35, Osteoblasten 40, Knochenkörperchen, Theilungsvorgänge 41, Tubus medullaris, Bildung 43.
- Batrachiertypus der Leber** III, 430.
- Batrachosperrnium**, Zugehörigkeit zu Florideen III, 28.
- Bauch**, Entwicklung bei *Bombinator igneus* V, 110.
- Bauchfellplatte der Fische**, Beziehung der Wanderzellen der — zur Fettbildung VII, 56.
- Bauchgefäß bei Phreoryetes Menkeana** I, 179.
- Bauchhöhle des weiblichen Frosches**, Flimmerepithel XI, 354.
- Bauchmuskel**, Anlage des mittleren bei den Unken IX, 407.
- Bauchsauger — Cyclopterus**.
- Bauchschienen der Ophidier**, Entwicklung XIII, 236, Sculptur IX, 158, Färbung bedingt durch Sculptur 160.
- Bauchseptum bei Libellula depressa** XII, 578, Bau bei Acridiern.
- Bauchsinus, pulsirender, der Insecten** XII, 575, bei *Libellula depressa* 578, bei Acridiern 579.
- Bauchweichflosser — Malacopterygii abdominales**.
- Baumkleeber — Hyla arborea**.
- Baumschnecke — Helix arbustorum**
- Bedeckungen**, äussere, von Phreoryetes Menkeana I, 255, der Anne-

- liden, Hautdrüsen 257, der Lumbricinen 258, Lumbricus 258, Lumbriculus 258, von Chaetogaster 260, Euchytraeus 260, Nais 260.
- Bedeckungen der Macrobieten II, 125.
- von Tetrapteron volitans. Drüsenzellen XV, 352.
- Bedeutung, morphologische der Monadenblase I, 207.
- Befestigungsapparat des Rückengefäßes der Insecten, IX, 151.
- Befruchtung der Eier bei Anodonta X, 267.
- Kiemen, Beziehung zur — bei Unio und Anodonta XI, 519.
- bei Porcellio scaber XVII, 131, Befruchtungsvorgang bei Distomum Westermanni XIX, 569.
- Begattung bei Porcellio scaber XVII, 129.
- Zweite Brut bei Porcellio scaber ohne — XVII, 136.
- bei Distomum Westermanni XIX, 573.
- Beggiatoa mirabilis, Bewegung, III, 51, Zellen 54, Zersetzung von schwefelsauren Salzen in Schwefelwasserstoff durch — 54 und Vorkommen in Thermalquellen 58.
- Behälter, contractile der Infusorien II, 332, Wesen 351, Membran 353, 360, bei Paramaecium aurelia 354, Ursache der Contraction 368, Lage 370.
- Beine, Umformung bei Trichoniscus roseus XIX, beim Männchen 643, Weibchen 645.
- Belegknochen der Mundhöhle bei Amphibien, verschiedene Bezeichnung XI, Suppl. 39.
- Beleuchtungsapparat für Mikrophotographie III, 70.
- neuer für das Mikroskop IX, 469.
- Belone vulgaris, erste Entwicklung der Eier IV, 212.
- Belenophora viridis V, 482.
- Beobachtung trockener Objecte bei bestimmter Temperatur mit der trockenen Kammer I, 4.
- Berliner Blau als Injectionsmasse II, 87.
- gute Lösungen XIII, 649.
- Bernsteinschnecke — Succinea.
- Beröe, Nerven, Endigung im Epithel VIII, 647, periphere Ganglienzellen, Beziehung zu Langerhans'schen Körperchen.
- ovatus, künstliche Theilbarkeit XVII, 213, zur Untersuchung des Nervensystems 225, Ortsveränderungen durch Schwingplättchen 219.
- Beugesehnen der Hand vom Frosch, Gelenksnervenkörperchen XVI, 615.
- Beutelratte — Didelphys.
- Beutelhier — Didelphys.
- Bewegung der Diatomeen I, 376, 378 durch Stoffwechsel, bei Pleurosigma angulatum 385 durch die Rapse.
- im Innern der Gromien II, 145.
- bei Beggiatoa mirabilis III, 51.
- amöbide der Hodenzellen I, 68, der Eierstockseier verschiedener Thiere 76.
- — des Keimbläschens XVII, 558, Theilung 560.
- — der Kerne XVII, 558.
- Bewegungsapparat der Infusionsthiere XII, 51.
- Bewegungsorgane bei Navicula fulva I, 376 und gemma 377.
- Biene — Apides.
- Bindearm, Verbindung mit der Schleife XIX, 283.
- Bindegewebe den sympathischen Gränzstrang durchsetzend II, 20.
- Grundlage der Retina II, 263, 266.
- des Rückenmarks der Neunaugen II, 525.
- der Mollusken, Uebereinstimmung mit den Wirbelthieren V, Suppl. 3.
- der Gasteropoden V, Suppl. 4.
- Heteropoden 6, Zellen derselben 7, — Bildung und Rückbildung der Fettzelle im — VII, 32, 33.
- Structur verschiedener Arten VII, 321, Zellen 322, Umwandlung derselben 323, Endothelien 325.
- Stellung zum Fettgewebe VII, 357.
- der Membrana vestibularis der Gehörschnecke VIII, 157.
- der Zona glomerulosa der Nebenniere beim Pferd, Beziehung zu spindelförmigen Zellen VIII, 622.
- des Pericardialseptum der Insecten IX, 164.
- Bau, erläutert an der Arachnoidea des Rückenmarks IX, 319.
- des Corium der einheimischen Ophidier IX, 770, Schichtung, Verhältniss zu den Gefässen 772, festere Stränge 773.
- Embryonalzellen der XI, 184.
- Chordaumhüllendes, Ursprung XI, 395.

- Bindegewebe der Giftdrüse von Naja haje XI, 564.
- der Drüsen der Amphibienhaut XII, 202.
- der Haut der Amphibien XII, 222, weicherer 222, bei Phyllodactylus europaeus 222, derberer 223, Verhältniss von Blutgefässen und Nerven 223, Lymphraum 224, Bedeutung 224 und Vertheilung 226, Wanderzellen 227, Kern 229.
- Beiträge zur Anatomie und Physiologie XII, 391, 434.
- zur Befestigung der Lymphgefässe XII, 656.
- des Magens der Fische XIII, 671.
- der Schleimhaut des Fischdarmes XIII, 682, wandungsloser Lymphraum 682, 683.
- des Hodens XIV, 21.
- der Kiemen der acephalen Mollusken XIV, 139, 156, Beziehung zur Blutbahn 141, 156.
- des Kleinhirns, Untersuchung mit Purpurin XIV, 231.
- areoläres in der Orbitalmasse der Cephalopoden V. Suppl. 17.
- embryonales, Umwandlung zum lacunären Gewebe der Kiemen der acephalen Mollusken XIV, 148.
- epitheloides VI, 27.
- fibrilläres, Entwicklung im embryonalen Leben V, 512, in der Cutis, der Nabelschnur 514, dem Schleimgewebe der Trommelhöhle 515.
- fibrilläres, der Cephalopoden V. Suppl. 13.
- fibrilläres, Bau VII, 42, Zwischensubstanz und Verhältniss zu den Zellen 44.
- fibrilläres, Bündel und Scheiden VII, 305, Spiralfaser, Bedeutung 305, Kernfasern.
- fibrilläres der Arachnoidea Cerebri VII, 311, Scheide, Auftreten nach Essigsäure 313, Bau 314, Wanderzellen 318.
- fibrilläres, Entwicklung VIII, 28, Zusammenhang mit Embryonalzellen 28, Untersuchung an Hühnerembryonen 44, der Arachnoidea 45, Wanderzellen bei Entwicklung 47, Verhältniss zur Entwicklung der Blutgefässe 52, Körnchenzellen bei Bildung 54, Zwischensubstanz, Abstammung und Wesen 53, 62.
- Bindegewebe fibrilläres, Anlage bei der Unke IX, 406, Lymphräume.
- fibrilläres, platte Zellen des — XI, 178.
- fibrilloides der Insectenhaut und seine locale Bedeutung als Tracheensusensorium X, 124, Bau 133, Schichtung in Matrix und Fibrosa, Untersuchung des letzteren 134 und Bedeutung 136, 141, Zellen 137.
- interfolliculäres der Thymusfollikel XIV, 354.
- intermuskuläres des Frosches, Bindegewebszelle XI, 187.
- interstitielles, Anlage bei der Unke IX, 404, 405.
- keratoides VI, 27.
- lamelläres, Vorkommen von Plasmazellen VIII, 272.
- reticuläres des Pericardialseptum der Insecten IX, 170.
- reticuläres der Mittelschicht von Distomum Westermanni XIX, 540.
- subcutanes der Schädelhaut, Entwicklung VIII, 56, der Extremitäten 57, interfibrilläre Substanz 64, Ursprung der Bindegewebskörperchen 66.
- subendotheliales der Gelenke X, 421.
- Bindegewebsbündel, Quellungserscheinungen XII, 410, bedingt durch Kittsubstanz 415 und elastische Fasern 418, Querstreifung 419.
- Bindegewebsfaserstratum, tympanales des acustischen Endapparates der Säuger XII, 535.
- Bindegewebsgrundsubstanz.
- Veränderung bei der Entzündung XVIII, 34, fibrinoide Degeneration, Bedeutung 137, bei serösen Häuten 138, tuberculösen Lungen, Pericarditis 141, Gefässintima 141, Endocardium 141, 144, Arteriosclerose, Synovialhäuten 144, Bildung der Corpuscula oryzoidea an Sehnencheiden 145, den Schleimhäuten 149.
- Bindegewebskörperchen I, 358.
- in dem Fasergerüst der Kehlkopfschleimhaut V, 134.
- bei den Heteropoden, 3 Arten V. Suppl. 7.
- Ursprung bei Entwicklung des fibrillären Bindegewebes VIII, 66, Entstehung aus Embryonalzellen 66.

- Bindegewebskörperchen der Lederhaut des Igelohres VIII, 299.
- Bindegewebswulst im Gehörorgan der Cephalopoden V. Suppl. 88.
- Bindesubstanz der Drüsen V, 334. des Pancreas 346, der Leber 349, beim Frosch 349, Menschen 350, der Niere 350.
- der Avertebraten, Untersuchung auf Leim XII, 51.
- der Acephalen und ihre Beziehung zum Blutkreislauf XIII, 558.
- der Muscheln XIII, 818, 860, 854, structurlose Schicht 855.
- spongiöse der Landschnecken, Bau VI, 462, Beziehung zu den Becherzellen des Epithels.
- Bindesubstanzkerne, lebende, Bau XVI, 307, Kernmembran 308, Nucleoli 309, Netzknochen 310.
- Bindesubstanzschicht der Haut von *Tethya lyncurium* Autorum XVII, 156.
- Blätterbildung beim Hühnerkeim XX, 174.
- Blastem, bindegewebiges, Bildung der knorpelig nicht präformirten Knochen I, 368.
- Blastodermelemente der Insecten XVII, 43, Entstehung aus intravittellinen Elementen 44, Ursache 47.
- Blastodermfalte, dorsale bei Insecten XV, 636, ventrale 636.
- Blastosphaera bei *Fusus* sp. XIII, 126.
- Blatta, Contractilität der Kerne der roten Blutkörperchen XIII, 393.
- orientalis, Drüsenerven und Drüsenzellen, Verhältniss bei Speicheldrüsen IX, 390, 393.
- orientalis, active Formveränderungen des Keimkörperchens X, 505.
- Blätterschalenassel — Glomeris.
- Blattfüsser — Phyllopoda.
- Blattidae, Adventicia des Rückengefässes IX, 141.
- Tracheen in der Nähe des Herzens IX, 151.
- subgenuales Chordotonalorgan XX, 568.
- Blattkiemer — Lamellibranchier.
- Blattlaus — Aphis.
- Blattschnecke — Phyllirrhoe.
- Blauholzextract auf quergestreiften Muskeln IX, 302.
- Blennius Gallonagine, Doppelbrechung der Hornschuppen XI, 671.
- Blindschleiche — *Anguis fragilis*.
- Blut, Untersuchung mit dem heizbaren Objectisch I. 1, Veränderung bei Temperaturerniedrigung beim Hund 29, beim Frosch 30, nach Behandlung mit Harnstofflösung 33. Krystallisation bei Temperatursteigerung 31, Detritusbildungen im — 36, Elementarkörnchen fettiger Natur im — 38, Zimmermann'sche Elementarkörperchen im — 39.
- Farbe bei *Planorbis cornuus* I, 67, bei einigen Anneliden 287.
- der Makrobioten II, 125.
- bei Leukämie, Krystalle im — II, 507.
- Vorhandensein von Vibrionkeimen im gesunden — lebender Thiere III, 328, 343.
- Untersuchung mit feuchter Kammer III, 364, mit Gaskammer 366.
- Beginn der Circulation bei Knochenfischen IV, 266.
- Wirbelloser, zur Kenntniss V, 248, contractiler Zellen im — 254.
- von *Phascolosoma elongatum* V, 249.
- und Blutgefässe der Cephalopoden V. Suppl. 13.
- Einwirkung auf das Spectrum VII, 226.
- Beziehung zu den Leuchtorganen von *Cucuyos* VIII, 470.
- Anlage bei der Unke IX, 411.
- Bildung im Hühnerei X, 145.
- Untersuchung nach Injection der Niere X, 185.
- Neubildung an der Ossificationsgrenze bei Vögeln XII, 248.
- embryonales bei *Torpedo* XIII, 476.
- Circulation bei Mollusken XIV, 63, Einwirkung von Sublimat 83, des Frosches, freie Kerne XVI, 313.
- erste Entstehung im Hühnerei XVI, 545, 582.
- eines Leukämischen, Kerntheilung XX, 57.
- von *Salamandra maculosa*, Larven, Karyokinesis XX, 138.
- Blutbahn des Knochenmarkes XVII, 3.
- Blutbewegung, Verlangsamung in der Milz VII, 576.
- in Venen der Milz, Regulirung VI, 577.

- Blutbildung der Knochenfische IV, 260.
- Beziehung der Dotterzellen zur — beim Hühnerei X, 180, bei Knochenfischen 196.
- bei Säugethier- und Hühnerembryonen XIII, 483.
- Beziehung zum Knochenmark XVII, 1, 21, 39.
- auf dem Dottersack bei Knochenfischen, XIX, 144.
- Blutcapillaren der Cutis in Form von Papillen bei *Menopoma giganteum* XII, 158.
- Blutegel — *Hirudo*.
- Blutgefäße, Beziehung zu Kornzellen im Eierstock der Katze. I, 165.
- der Retina II, 269.
- Verlauf in dem spongiösen Körper der Tasthaare II, 455.
- in der Kaninchenleber III, 97.
- in dem Kamme des Huhnes III, 414.
- Vertheilung und Anordnung in der Grosshirnrinde des Menschen III, 470, IV, 408.
- in dem Schnepfenschnabel, Cutis IV, 203.
- der Kehlkopfschleimhaut V, 134, der Schleimhaut des Cavum laryngis 134.
- der Speicheldrüsen, Verhalten VI, 105.
- der Flughaut der Fledermäuse VII, 12.
- Beziehung zur normalen Fettbildung im Bindegewebe VII, 48.
- Beziehung zur Entwicklung des fibrillären Bindegewebes in der Arachnoidea VIII, 32.
- der Brunner'schen Drüsen VIII, 129.
- der *Crista spiralis* der Gehör-schnecke VIII, 156.
- der becherförmigen Organe der Schlangen VIII, 335.
- des Igelohres VIII, 368.
- der Nebenniere VIII, 626, Beziehung zu den Parenchymzellen 628.
- der lymphoiden Drüsen des Störherzens, Verhalten zur Stützsubstanz IX, 69, Ursprung 71.
- Beziehung zur Intima pia des Rückenmarks IX, 330.
- Beziehung zum Endoneurium IX, 348, zum Epineurium 358.
- Blutgefäße des Frosches, Auswanderung der Blutkörperchen IX, 709.
- des Horns von *Vipera ammodytes* IX, 786.
- der Gelenke, Beziehung zum Endothel X, 421.
- der Niere, Injection und Wirkung auf die Gewebe XI, 82.
- der Lederhaut der Amphibien XII, 150.
- im Bindegewebe der Haut der Amphibien XII, 223.
- Neubildung an der Ossificationsgrenze bei Vögeln XII, 248.
- Beziehung zu Lymphgefässen der Synovialmembran XII, 654.
- der Retina, Vertheilung XII, 743.
- der Havers'schen Canäle, Endothelzellenrohr um dieselben, Zusammenhang mit denselben XIII, 87, 89.
- und Blutbildung bei Säugethier- und Hühnerembryonen XIII, 483, am Randstreifen der Placenta, Bau 483, Untersuchungsmethode 484, Hämatoblasten 484, Hauptformen 485, Netz der primitiven Hämatoblasten 486, der secundären 486, Blutkörperchenbildung 488, rothe an der Allantois von Hühnerembryonen, Veränderung 490, Theilung 490, Bildung der farblosen 491, Blutgefässbildung 490, 492, Vergleich mit Froschlarven 492.
- Beziehung zum Stoffaustausch XIII, 634.
- Injection mit Carminlösung XIII, 649, mit Silberammoniak 649.
- des Darmkanals der Fische XIII, 683.
- der Kleinhirnrinde, Zellen XIV, 209.
- der Thymus XIV, 356.
- Doppelfärbung XV, 38.
- Schleifenbildung im Gehirn und Rückenmark der Saurier XV, 60, im Tractus olfactorius 61, Vorderhirn 61, Mittelhirn 62, Medulla oblongata 62, Rückenmark 62, bei *Anguis fragilis* 63, *Stellio cyanogaster* 63, *Platydictylus fascicularis* 63.
- Einfluss auf Odontoblasten XV, 369.
- des Cephalopodenauges XVI, 215, Litteratur 220, Anordnung 225 bei Sepia.
- der Dura, Communication mit dem Subduralraum XVII, 365.

- Blutgefäße des cerebrospinalen Nervensystems der Urodelen XX, 87.
 — Verhalten in der Zapfenschicht der Retina vom Aal XIX, 311.
- Blutgefäßbildung XI, 174.
- Blutgefäßentwicklung in der Arachnoidea und Zusammenhang mit der Entwicklung des fibrillären Bindegewebes VIII, 52.
- Blutgefäßsystem bei *Phreoryctes Menkeana* I, 275, Lage und Verlauf, feinerer Bau 278.
 — bei Anneliden I, 280.
 — der Muscheln XIII, 821.
- Blutgefäßverlauf in der Grosshirnrinde des Menschen IV, 408.
- Blutgefäßvertheilung in der Kehlkopfschleimbaut VII, 171, auf der hinteren Fläche der Epiglottis 172, in den wahren Stimmbändern 172.
- Blutkörperchen, Einwirkung von Ueberosmiumsäure I, 304.
 — im monochromatischen Lichte II, 92.
 — erste Entstehung bei Knochenfischen IV, 261.
 — Wirbelloser V, 251, Kerne 252, Veränderung 253.
 — Bildung bei einfachen Ascidien VII, 120.
 — Anlage bei *Molgula simplex* VIII, 375.
 — Auswanderung aus den Gefäßen des Frosches IX, 709.
 — Beziehung zum Knochenmark XII, 793.
 — farblose, Ortsbewegung bei Körpertemperatur I, 2.
 — Verhalten bei Temperaturveränderungen I, 14, Aufnahme fester Körper in das Protoplasma 17, Fehlen einer Zellmembran 21, Lebensdauer ausserhalb des menschlichen Organismus 22, Molekularbewegung in denselben nach Zusatz von Wasser 14.
 — — Einwirkung von Chinin auf Bewegung III, 386.
 — — Neubildung in der Milz VI, 577.
 — — Bildung XIII, 491.
 — — im *Pancreas* vom Frosch, Veränderung durch Ueberosmiumsäure XIII, 753.
 — — im Knochenmark XVII, 26, Entstehung beim Embryo 33.
 — — Theilung XVII, 170.
 — — Kerntheilung XX, 422.
 — — grobgranulirte I, 15.
- Blutkörperchen rote, Veränderung bei Körpertemperatur I, 25, bei höherer Temperatur 26, 8, als Probe für den heizbaren Objectisch 28, Formveränderung nach Trennung vom menschlichen Organismus und Verlust der Wärmewirkung nach derselben 28, Uebereinstimmung mit dem Blutscheibchen warmblütiger Thiere 29 im Gegensatz zu denen des Frosches, Veränderung beim Frosch bei Behandlung mit Harnstofflösung 32, Kern, Membran und Contractilität 33, Formen 35.
 — Verhalten im monochromatischen Lichte II, 92, Bestandtheil 93, Erzeugung 137.
 — — Hämoglobingehalt V, 93.
 — — Modelle zur Erläuterung der Form, des Volumens und der Oberflächenentfaltung VIII, 472, bei *Moschus javanicus* 475, Ziege, Lama, Siebenschläfer, Mensch, *Fringilla caelebs*, *Lacerta agilis*, *Rana temporaria*, *Proteus anguineus*, *Tinca chrysis*, Erklärung der Geldrollenbildung 476, Methode der Anfertigung 476.
 — — Entstehung XI, 170.
 — — Kerne XIII, 391.
 — — Bildung an der Allantois von Hühnerembryonen XIII, 488, Veränderung und Theilung 490.
 — — feinere Structurverhältnisse XIV, 73, Untersuchung mit alkoholischer Sublimatlösung 74, beim Menschen 75, drei Kategorien; homogen und glänzend 76, aus Rinde und Mark 77, kernhaltige 79, Verhältniss zwischen Mark und Rinde 81, beim Kamel, Kerne 85, beim Frosch 87, Mark und Rinde 89, Kern 90.
 — — Kerne XIV, 333, Widerlegung des Auftretens nach Behandlung mit Alkohol und Essigsäure 333, mit Sublimat 339.
 — — Mitwirkung bei Verödung der Thymus XIV, 371.
 — — kernlose im Knochenmark XVII, 28, Entstehung aus Haematoblasten 33.
- Blutkrystalle bei Leukämie II, 507.
- Bluträume der Kiemen von *Unio* und *Anodonta* XI, 535, Entstehung in der Kiemenleiste 537.
- Blutsystem, Identität mit dem Lymphsystem bei Muscheln XIII, 852.

- Blutverlauf im Gallertgewebe des rothbraunen Organs von *Anodonta* XIII, 574.
- Bodo, Schwärmer I, 217.
- Börsenthierchen — *Bursaria*.
- Bohrmuschel — *Pholas*.
- Bogenapparat des acustischen Endapparates der Säuger, Structur und Beziehung zur *Membrana basilaris* XIII, 501.
- Bogengänge des häutigen Labyrinth der Knochenfische XIV, 292, 293, Verlauf, Grösse, Bau, Epithel 293. — der Batrachier XVII, 494, Epithel 493, — des häutigen Labyrinth der *Chelonii*, sagittale XX, 286 und frontale 288.
- Bombicilla garrulla*, über den Bau der roten Blättchen an den Schwingen VIII, 639, Untersuchungsmethode 640, 641, Rinde, Marksubstanz.
- Bombinator igneus*, Leber III, 433.
- — — — — Entwicklung V, 90, Ei und Keimblätter 90, Rücken 93, Chorda, Entstehung 93, 101, Centralnervensystem 94, Rusconischer After 91, Medullar- und Urwirbelplatte 94, Rückenmark und Nervensystem 95, Urwirbel 98, Spinalganglien und Nerven 100, Knorpelzellen, Entstehung 103, der Retroperitonealraum und das Urogenitalsystem 104, Urnierengang 105, Wolff'scher Körper 105, Malpighischer Körper 106, Aortenanlage 106, Sympathicus 107, 109, Niere und Geschlechtsdrüsen 107, 109, Harnkanälchen und Malpighischer Gefässknäuel 108, Bauch 110, Vorderdarm, Darmkanal 110, Ausführungsgang der Leber 111, Duodenschlinge 111, Hinterdarm 111, Herz und Gefässe 112, Venenschenkel 113, Aortenbögen 113, Milz 115, Harnblase 115, Lymphgefässsystem 115, Kopf 116, Schlundfalten 117 und Mundbildung 118, Kiemenbögen 117, Schädel 118, Thymus 120, Wirbelsystem 121.
- — — — — Mittheilung aus der Entwicklungsgeschichte IX, 396, oberes Keimblatt 396, Bildung der Axenplatte mit Axenstreif und Medullarplatte, Oberhaut 397, der Hirn- und Sinnesplatte 397, Ohrbläschen, Augenblase, Geruchsplatte, Hirnanhang 398, Hirnbildung 398, Theilung in Vorderhirn mit Hirnhüllen und Adergeflecht, Zirbel 400, Hinterhirn, verlängertes Mark und Kleinhirn, Sehnerv 401, Netzhaut und Linse 401, Glaskörper und Hornhaut 401, Gehör, Geruchs-, Geschmacksorgan 401, Bildung der weissen und grauen Masse des Rückenmarkes 402, mittleres Keimblatt im Rumpfteile 402, Anlage der Wirbelsäule 402, Segmentplatte 403, innere mit innerem Segmentblatt 407 und Muskelplatte, und äusseres Spinalganglion und Spinalnervensystem, hyaliner Knorpel 404, Wirbelkörper und Bögen 404, Wirbelquerfortsatz und Rippe 405, interstitielles Bindegewebe 404, 405, Gefässe 406, fibrilläres Bindegewebe 406 mit Lymphräumen, mittlerer Bauchmuskel 407, Seitenplatten 408, Urniere, bleibende Niere, Geschlechtsorgane 408, mittleres Keimblatt im Kopfe 409, erstes inneres Segment 409, äusseres 409, inneres im Hinterkopfe 410, zweites äusseres Segment 410, drittes und viertes, Kiemenbildung 411, Herz 411, Darmblatt 411, Blut 411, Epithel des Darmes 411, der Leber 412, Pancreas und Milz 412.
- Bombinator igneus*, Cuticula der Extremitäten XII, 124, der Daumenschwiele 126, Höckerbildung der Cuticula 128, Larvenzähne 129, Höcker der Epidermis 139, Papillen der Cutis mit Tastkörperchen 152, ohne Tastkörperchen 154.
- — — — — Secret der Hautdrüse XII, 214.
- — — — — Samenkörper, Umwandlung aus Spermatoocyten XII, 806.
- — — — — Zusammenhang zwischen Nerven- und Darmrohr, XIII, 196.
- — — — — Hüllen der Geschlechtsstoffe, Vergleich der männlichen und weiblichen XVIII, 42.
- Bombyliidae*, porifere Vorkommnisse der Chordotonalorgane an den Vorderflügeln XX, 599.
- Bornetia secundiflora* zur Untersuchung des Farbstoffes der Florideen III, 23, Krystalle in den Zellen 24, paramylonähnliche Körper in denselben 25, Rhodophyll, rother Farbstoff 25.
- Borste des Schnabels der Cocciden XIII, 38, Hervortreibung 39.
- Borstenwürmer — *Chaetopoda*.
- Bos, Entwicklung der Retina II, 245.

- Bos, Ciliarmuskel IV, 365.
 — Papillen der Zunge VI, 239, 248, Papilla vallata 248, becherförmige Organe 248.
 — Descemetische Haut, Verbindung mit Irisfortsätzen VI, 273, 274, Endothel derselben 286.
 — lymphatischer Apparat der Milz VIII, 603.
 — elastisches Gewebe des Ohrknorpels IX, 92, Porenkanälchen im Ohrknorpel 96.
 — Schleimhaut der Drüsen des Nierenbeckens IX, 654.
 — embryonale Anlage der Augenlinse XI, 380, 383.
 — Submaxillaris, Leistungsfähigkeit XV, 121 und Einwirkung von Ueberosmiumsäure 123.
 — Einwirkung von Pepsin, Oxalsäure und Trypsin auf die elastischen Fasern des Lig. Nuchae XVI, 20, 30.
 — taurus, Samenkörper, Entwicklung XV, 286, Hülle der Hodenkanälchen 286, Ursamenzelle 287, Follikelzelle 287, Keimlager 287, Spermatogemmen 288, Samenknospen 288, Lage der zelligen Elemente in den Kanälchen 290.
 — Verhalten der Knochen in der prähistorischen Station XV, 377.
 Botrylloides rubrum, Entwicklung der Kieme VIII, 383.
 Bowmansche Röhre der Cornea, Bedeutung VIII, 550.
 Bradypus, Fruchtschmiere, Ursprung XII, 231, Epitrichium 232.
 Branchiostoma australeum, Auge XVIII, 435.
 — tubricum, becherförmige Sinnesorgane VIII, 344.
 Brechungsindex der Stäbchen der Retina III, 259.
 Breitkrebs — Scyllarus.
 Brillenschlange — Naja.
 Brom zur Conservirung der Amniosflüssigkeit II, 273.
 Bronserum zur Untersuchung von Geweben II, 273.
 Bruchsche Begrenzungsschicht der Iris IX, 290.
 Brustbein und Schultergürtel XIV, 505, bei Amnioten 507, Reptilien 507, Sauriern 507, 535, Litteratur 512, 515, 517, bei Cnemidophorus sp. 508, 511, 516, 519, 521, bei Anguis fragilis 527, 528, 531, 532, Cheloniern 536, Litteratur, bei Kodilen 545, Enaliosauriern 547, Ichthyosaurus 547, Vögeln 558, 549, Säugern 560, 570, Amphibien 570, Anuren 571, Urodelen 600, Salamandra maculosa 603, Triton 604, Litteraturverzeichniss 615.
 Brustwarze beim Menschen, Anlage XX, 462.
 Brut, zweite, bei Porcellio scaber, ohne Begattung XVII, 136.
 Brutplatte bei Porcellio scaber XVII, 133.
 Bryozoen, feiner Bau der Muskelfaser V, 227.
 — Entwicklungsgeschichte V, 260, Knospenbildung 267, Stellung zu Gephyreen 274.
 Büschelmücke — Corethra.
 Bufo, Leber III, 433.
 — Riesenzellen des Epithels der Ohrdrüse XII, 211.
 — Vorderarm XIV, 196, Oesophagus, Epithel 196, Magendrüsen 197, Drüsenzellen 197, Verdauungsversuche 198.
 — accessorisches Organ für die Entwicklung XV, 403.
 — calamita, Cuticula der Extremitäten XII, 124, der Daumenschwiele 126, Farbenwechsel 184, Muskeln der Hautdrüse 206.
 — cinereus, Bildung des Herzens VII, 157.
 — Muskeln der Hautdrüse XII, 206.
 — Samenkörper, Umwandlung aus Spermatoeyten XII, 806, Hodeneierstock 808.
 — Entwicklung der Geschlechtsdrüse XVIII, 9, der weiblichen 11, männlichen 14.
 — variabilis, Cuticula der Extremitäten XII, 124, der Daumenschwiele 126, Höcker der Epidermis 139, Farbenwechsel 185.
 — Secret der Hautdrüsen XII, 217.
 — vulgaris, Cuticula, Leistenbildung an den Zellgrenzen XII, 121, Cuticula der Daumenschwiele 125, Höcker der Epidermis 139, Papillen mit Tastkörperchen in der Cutis 153.
 — Farbenwechsel XII, 185.
 — Muskeln der Ohrdrüse XII, 205.
 — Secret der Hautdrüsen XII, 214.
 Bulbus olfactorius von Amphioxus lanceolatus XII, 296.

- Bursa pharyngea, Anhang des Schlundkopfgewölbes IV, 4, Wandung 5.
- Bursaria vorticella, contractile Behälter V, 35.
- Buthus afer, Formelemente der Retina XVIII 421.
- Callithamnion Rothii**, Farbstoffvertheilung III, 22.
- Calyptrea vulgaris**, Haut V. Suppl. 52, Wimperepithelien.
- Camelus**, rothe Blutkörperchen, Kerne XIV, 85.
- Camera lucida** zu mikroskopischen Zwecken V, 290.
- Canäle**, gewundene, der Niere bei Vögeln, Epithel X, 20, bei Säugern, Epithel 4, trübes Epithel 4, Stäbchen 4, Untersuchungsmethode frischer 5, erhärteter 8, Isolationsmethode 11.
- Hannoversche, des Auges VI, 318.
- Havers'sche, Entstehung I, 372.
- — Fehlen im Knochen des Primordialcranium bei Amphibien XI. Suppl. 32.
- — beim Knochenwachsthum XI, 61, Streifen 63, Saftkanal 66.
- Endothelzellenrohr der Blutgefäße, Zusammenhang mit Lymphgefäßen XIII, 87, 89.
- secretorische, der embryonalen Säugethierniere, Umwandlung XVI, 518.
- Canales semicirculares** des Gehörorgans der Ganoiden XVIII, 490.
- Canalis cochlearis**, Nervenfasern VIII, 206.
- Fontanae, Vorkommen desselben IV, 361.
- lymphaticus des häutigen Labyrinths der Chelonii XX, 303.
- Petiti des Auges VI, 2.
- — und seine Begrenzungen VI, 317, Injection 342, Zusammenhang mit der vorderen Augenkammer 261, 345.
- reuniens des häutigen Labyrinths der Hydrosaurii XX, 349.
- Schlemmii des Auges und seine Wandungen VI, 272, Unterschied vom Fontanaschen Raum 272.
- — des Auges beim Schwein VI, 295, beim Menschen 299, Ver-
- hältniss zum Ciliarplexus 303, Endothel 305, Zusammenhang mit der vorderen Augenkammer 307, Wesen 310 und Communicationswege mit den Venen.
- Canalis Schlemmii** bei Vertebraten XIX, 163, bei Menschen 175, Säugern, Vögeln, Schlangen, Reptilien, Amphibien und Fischen, Litteratur 176 und Kritik 177.
- semicircularis horizontalis des häutigen Labyrinths der Chelonii XX, 287.
- sulci spiralis der Gehörschnecke VIII, 161, Entwicklung 182.
- Canis**, granulirte Körperchen bei verschiedenen Temperaturen im Blute I, 16, Veränderung des Blutes bei Temperaturveränderung 29.
- Samenkörper im Hoden und Nebenhoden III, 265, Bau der Samenkörper 265.
- Ciliarmuskel IV, 361.
- Submaxillaris V, 339.
- Membrana suprachorioidea des Auges VI, 19.
- Papillen der Zunge VI, 241, 249.
- Irisfortsätze, Anheftung an die Descemet'sche Membran VI, 277, 279.
- Labdrüsen VI, 370.
- Drüsenzellen der Brunnerschen Drüsen, Vertheilung VIII, 115.
- Keulenzellen 115.
- Papilla vallata der Zunge VIII, 457.
- Anhänge der Speichelgänge der Submaxillaris VIII, 498.
- Beziehung zwischen Nerv und Muskel IX, 40.
- Porenkanälchen im Ohrknorpel IX, 95.
- Nerven hügel IX, 561.
- Asymmetrie der grauen Substanz des Rückenmarks XII, 87.
- Nervenendigung im Herzmuskel XIII, 385.
- Bau der Submaxillaris XIII, 727.
- becherförmige Organe des Kehlkopfes XIV, 162.
- quergestreifte Muskelfaser der Lungenvenen XIV, 245.
- Ganglienzellen des Herzens XIV, 477.
- Spermatogenese XV, 303.
- Mesenterium, ein die Lymphgefäße unspinnendes Capillarnetz XVII, 338.

- Canis*, Primordialfollikel, nachträgliche Entwicklung XIX, 470.
 — embryonale Entwicklung der Milchdrüse XX, 423.
Canülen zu Einstich-Injectionen VI, 233.
Capillaren, Bildung I. 188.
 — des Frosches, Bau und Entwicklung V, 49, Wandung derselben 50, Spindelemente 51, Veränderung der Wandung 54, durch Inductionsströme 55 und Beziehung zur Silberinjection 61, auf embryonaler Entwicklung stehen gebliebene — 83.
 — der Milz VI, 564.
 — im Darm und Testikeln von *Amphioxus lanceolatus* XII, 338.
 — Vorhandensein bei *Anodonta cygnea* XIII, 562.
 — der Malpighischen Körperchen der Säugethierniere, Endothel XVI, 514.
 — des Knochenmarks, arterielle XVII, 8, venöse 9.
 — Endothelzellentheilung XVII, 171.
 — der Iris, Nerven XVII, 332.
Capillarelectrometer, Lippmannscher, zur Injection der vorderen Augenkammer XV, 210.
Capillarröhren der Milz VI, 561, 562.
Capillarnetz, Lymphgefäße umspinnendes, im Ohr der Ratte XVII, 338, im Mesenterium der Katze und des Hundes 338, Extremitäten der Ratte 339.
 — perilymphatisches XVIII, 345.
Capillarverzweigung im Mitteldarm von *Cobitis fossilis* XV, 435.
Capsula vaginalis communis der Ganglienkörper der Spinalganglien XI, 146.
Carabus auratus, Verbreitung des Chlorophylls XVI, 539.
 — cancellatus, Adventicia des Rückengefäßes IX, 140.
Caralidae, Tracheen in der Nähe des Herzens IX, 181.
Carcharias, Cuticularschicht der Chorda XV, 468.
 — Wirbelbögen und Rippen XV, 521.
Carcharodon polygyratus, Verhalten der Knochen im tertiären System XV, 375.
Cardium edule, Haarzellen VI, 459.
Carinaria, Hauthöcker V. Suppl. 10, Fühler 59.
 — peripherische Ganglienzellen VIII, 648.
Carinaria, Gehörorgan XII, 104, 106.
Carmin zur Färbung der Samenkörper I, 311, 326.
 — Verhalten im monochromatischen Lichte II, 96.
 — zur Untersuchung der Schichten der Grosshirnrinde III, 446.
 — zur Untersuchung der Labdrüsen VI, 402.
Carminfärbung zur Untersuchung des Ciliarmuskels IV, 367.
Carminlösung zur Untersuchung der Wandung der Blutgefäße XIII, 649.
 — alkalische XVI, 468.
 — saure XVI, 466.
Carpio Kollarii, Seitenorgane XVIII, 382.
Cartilages rostrales der Anuren XI, Suppl. 135.
Cartilago thyreoidea, *Cornea superioria* XI, 502, *Tuberculum* 502, *Genu* 503.
Caruncula lacrimalis, Knäueldrüse XIII, 794.
Catocala, Cylindergebilde des Rüssels XIV, 311.
 — Mittelstab der Cylindergebilde des Rüssels XV, 12.
 — *hymenea*, Cylindergebilde des Rüssels XV, 19.
Cavia cobaya, Krystallisation des Blutes I, 31.
 — Samenkörper, Grenzschrift I, 330, Entwicklung 407, Bau III, 265.
 — Ei und Weiterentwicklung III, 500.
 — *Submaxillaris*, Bau V, 346, Schleimmetamorphose in derselben.
 — Nerven der Cornea IX, 243.
 — Retina XII, 780.
 — quergestreifte Muskelfasern der Lungenvenen XIV, 246.
 — Spermatogenese XV, 293.
 — embryonale Entwicklung der Milchdrüse XX, 489.
Cavum laryngis, Schleimhaut V, 126.
 — perilymphaticum des häutigen Labyrinths der *Chelonii* XX, 302.
Cellule de sommet — Haarzellen.
Cement der Deckplatte, Bedeutung IV, 511.
 — des Haifiszahnes XI. Suppl. 65, der Zahnsorten der Amphibien 66, des primitiven Urodelenzahnes 98.

- Cementanlage der Ersatzzähne bei *Rana* XI. Suppl. 77.
- Cementmembran im Gegensatz zur Odontoblastenschicht der Amphibien XI. Suppl. 64.
- Centraleanal des Rückenmarks vom Neunauge II, 525.
- des Rückenmarks, Obliteration XI, 218.
- Bildung bei der Forelle XV, 145.
- Centralganglien bei Gasteropoden, Bau XVI, 83, Commissur zwischen den centralen Ganglienzellen 83, centraler Ursprung der Nervenfasern 85.
- Centralkapsel der Radiolarien, Werth X. Suppl. 180.
- Centralnervensystem der Lungenschnecken I, 44, Ganglienkugeln 46.
- der Knochenfische; erste Anlage IV, 243, Entwicklungsgang 248, Zusammenhang mit Augenentwicklung 250.
- Entstehung bei *Bombinator igneus* V, 94.
- des Menschen, Untersuchungsmethode IX, 101, Härtung 101, Anfertigung der Querschnitte 107, Färbung 111, durch Carmin 112, Verschluss der Präparate 115, Entwässerung 115, Aufhellung in Terpentinöl 115, Damarlackeinschluss 116, Untersuchung mit dem Polarisationsapparat 116.
- perivascularer Lymphraum XI, 272.
- Untersuchung durch Xylol XIV, 621.
- Färbung durch pikrocarminsaures Natron XV, 38.
- der Teleostier, Entwicklung XV, 139, erste Anlage 145, Ursprung 141.
- Vergleich mit den Schichten der Retina XV, 609, Eintheilung der Retina mit Rücksicht auf das — 611.
- Lymphbahnen XVII, 362.
- Centrodorsalplatte, Anlage bei *Comatula mediterranea* XII, 597.
- Centrum tendineum, Bau der embryonalen Sehnen VII, 278.
- Cephalophoren, Borstenhaare auf der Leibesfläche der — V, 416.
- Cephalopoda, Auge, Bildung II, 416.
- Retina, Stäbchenstructur V, 2, Stäbchenkanäle 13, Stäbchenkörner 14, Verbindung zwischen Stäbchen- und Nervenfasern 16, Stäbchenschicht 383.
- Cephalopoda, fibrilläres Bindegewebe V. Suppl. 13, Blut und Blutgefäße 13, Kopfknochen 14, Knorpelzellen derselben 14, Orbitalmasse, areoläres Bindegewebe 17, Haut, Epithel 60, Saugnapfe 61, Cutis 61, Chromatophorenschicht 62, Pigmentzellen desselben 69, Pseudochromatophoren 71, Flitterschicht 72, Gehörorgan 82, Epithel der Gehörplatte 85, Bindegewebswulst im Gehörorgan 88, Niere 94, Tintenbeutel 95, Speicheldrüse 95, Zoospermien 97, Trichterorgan 97.
- Vergleich mit Magenhöhle XIII, 159 und Nervenganglienanlage bei Gasteropoden 162.
- Canälchen der Knorpelgrundsubstanz XIV, 495.
- Auge XV, 215, Bau, Augenkapsel 216, 223, Formen 216, 223, Häute des Bulbus 217, 223, Argetea ext. 216, 223, int. 217, Knorpelhaut 217, Linse 217, Ciliarkörper 217, 225, Cornealklappe 224, Retina 224, 225, Schichten, Iris 225, Vergleich mit dem Auge anderer Thiere 219, 223, Litteratur 220, Anordnung 225, Art. ciliaris postica longa 226, brevis 226, Art. coronariae sclerae 226, Circulus arteriosus ciliaris 228, Circulus venosus ciliaris 228, Vena Processus ciliarum 229.
- Auge, Uvea XV, 232, Chorioidea 233, Orbiculus ciliaris seu Zona ciliaris 234, Plexus arteriosus ciliaris annularis 235, Ringgefäße 235, Corona ciliaris 236, Iris 236, Untersuchungsmethode 236.
- Hüllen der Geschlechtsstoffe, Vergleich der männlichen und weiblichen XVIII, 49.
- Ceratodus, Untersuchung von Knochen der Mundhöhle gleicher Entstehung XI. Suppl. 169, 173.
- Schleimhaut des Oesophagus XIII, 663.
- Spiralklappe des Mitteldarms XIII, 679.
- Vergleich mit den Schuppen von *Lepidosiren annectens* XVIII, 125.
- Seitenorgane XVIII, 365.
- Ceratoneis fasciola, Verhalten der Raphe I, 390.

- Ceratophrys dorsata*, Hautknochen XII, 193.
- Cerebrospinalnerven* der Harnblase, Beziehung zum Sympathicus XX, 369.
- Cervus capreolus*, *Papillae vallatae*, Complication derselben IV, 156.
- Ausfallen ausgewachsener Haare IV, 304.
- der Sommerhaare IV, 304, Bildung der Winterhaare 306, Schalt-haare 306.
- tarandus, Verhalten der Knochen in der prähistorischen Station XV, 377.
- Cestoden*, zur Histologie I, 138, Subcuticularschicht 139, Kalkkörperchen 141.
- feiner Bau der Muskelfaser V, 217.
- Cestoidea*, Geschlechtsknospen V, 279.
- Cestracionten*, Untersuchung von Knochen der Mundhöhle gleicher Entstehung XI. Suppl. 168, 172.
- Cetonia*, *Adventicia* des Rückengefäßes IX, 141.
- Chaetogaster*, äussere Bedeckungen I, 260.
- Chaetopoda*, feiner Bau der Muskelfaser V, 222.
- freilebende, marine, Auge XVII, 243.
- Chamaeleonidae*, *Epitrichialschicht* der Epidermis XIII, 213.
- Chamaeleon*, *Retina* II, 209.
- *vulgaris*, *Retina* XII, 767, *Fovea centralis* 767.
- *Epitrichialschicht* der Epidermis XIII, 213, verzweigte Pigmentzelle der Haut 227.
- Chantransia Daviesii*, Farbstoffvertheilung III, 22, 29.
- Chelonii*, Eier, VIII, 218, 226.
- *Retina* II, 209, XII, 423, Zapfen 423, mit Kugel 423, ohne Kugel 425, linsenförmige Körper 425, Beziehung zum Zapfenkern 426, äussere Körner 426, Stützfasern 427.
- *Thymus*, Lage XVI, 346.
- *Brustbein* und *Schultergürtel* XIV, 536.
- *Gehörorgan*, inneres Ohr XX, 277, knöchernes Labyrinth 277, häutiges Labyrinth 279, *Periostracum* 279, *Pars superior* 282, *Utriculus* 282, *Recessus Utriculi* 283, *Ampulla sagittalis* 285, *sagittaler Bogengang* 286, *Ampulla horizontalis* 287, *Canalis semicircularis horizontalis* 287, *Ampulla frontalis* 287, *frontaler Bogengang* 288, *Foramen utriculo-sacculare* 288, *Pars inf.* 289, *Sacculus* 289, *Recessus Sacculi* 291, *Cochlea* 291, *Pars basilaris* 292, *Lagena* 294, *Membrana basilaris* 295, *Membrana Reissneri* 297, *Scala cochlearis* 298, *Epithel* 300, *Ductus endolymphaticus* 301, *Cavum perilymphaticum* 302, *Canalis lymphaticus* 303, *Scala Tympani* und *Vestibuli* 304, *Nervus acusticus* 304, *Ramus vestibularis* 304, 306 und *cochlearis* 304, 307, 310, *Ganglion cochleare* 305, *Endigung im Epithel* 306, *N. Utriculi* 307, *Macula acustica Utriculi*, *Epithel* 307, *Basalzelle* 309, *Cylindrzelle* 310, *Nervenendigung* 311, *Otolith* 313, *N. Ampullae sagittalis* 314, *Crista acustica Ampullae sagittalis* 314, *Planum semilunatum* 315, *Cupula terminalis* 316, *N. Ampullae horizontalis* 318, *N. Sacculi* 320, *Otolith* 321, *N. Partis basilaris* 322, *Ganglion cochleare* 322, *Crista acustica Partis basilaris* 323, *Membrana Corti* 324, *N. Lagena* 325, *Crista acustica Lagena* 326, *N. Ampullae frontalis* 326, *Crista acustica Amp. frontalis* 326, *Papilla Retzii* 326, 329.
- Chermes abietis*, *Bauder Speicheldrüse* XIII, 75.
- Chiasma Nervi optici* XVIII, 472.
- Chilodon*, *Schlund*, *Streifung* IX, 672.
- *cucullulus*, *contractile Blase* II, 364, V, 28, 39, *Vorhandensein einer Wandung*.
- Chilognatha* — *Diplopoda*.
- Chimaera*, *Untersuchung von Knochen der Mundhöhle gleicher Entstehung* XI. Suppl. 168, 172.
- *Wirbelsystem* XV, 531, *Chorda* 531, *äussere Chordascheide* 534.
- *Anatomie der Seitenorgane* XVII, 95.
- Chinin*, *Einwirkung auf Protoplasmabewegungen* III, 383, auf *Vorticella campanula* 383, auf *Actinophrys Eichhornii* 384, *Süßwasseramöben* 384, *weisse Blutkörperchen* 386.
- Chionaspis*, *Fundort* XIII, 33, *Mundtheile* 34, *Saugvorgang* 45, *Speicheldrüse* 63, 66, *Nerven derselben* 66, *unpaarige Speicheldrüse* 76.
- *Dorthisia* XIII, 34, 37, *Horngräten* 35, *Arca* 35, *Arcus* 35, *Costae* 35, *Columellae* 35, *Clavus* 35.

- Chironectes, secundäre Wirbelkörper XVI, 126.
- Chironomus, Faltenblatt der Embryonen II, 385, Vergleich mit der Amniosbildung der Vertebraten 396, erste Entwicklungsvorgänge des Eies 387, Bildung des Schwanzwulstes 387, Keimstreifenbildung 388, Bildung der Kopfkappe 388, Embryonalhüllen 392.
- plumosus, Ostien und Verschlussapparate des Rückengefäßes IX, 148.
- Chordotonalorgan XX, 561.
- Chitin der Kiemen von Unio und Anodonta, Wesen XI, 540.
- Chitinhaut der Fühlerlamelle des Hirschkäfers IV, 90.
- Chitinstäbchen der Kieme von Unio und Anodonta XI, 539, der Seemuschel 555, der acephalen Mollusken XIV, 152, 157.
- Chiton squamosus, Ursache der Pigmentirung der Schlundkopfmuskulatur V. Suppl. 36.
- Chlamydococcus pluvialis, Umwandlung der Mikrogonidien I, 207.
- Chlamydomonas, Verhalten der Schwärmer I, 207.
- Chlamydomorphys stercorica, Bau XII, 39, Entwicklung 41, Vielkernigkeit 43, Cystenbildung 43.
- Chlorgold, Wirkung auf die Zellen der Orbitaldrüse XIII, 296.
- Chlorgöldnatrium zur Untersuchung der Gehirnrinde Neugeborener IV, 445.
- zum Nachweis des Doyere'schen Hügels IX, 505.
- Chloroform zum Nachweis des Horngerüsts der markhaltigen Nervenfasern XIX, 227.
- Chlorophyll, Function III, 6, Vorhandensein auch bei Phycochromaceen 14, 58, Modificationen desselben III, 43, 44.
- Verbreitung bei Wirbellosen XII, 539, bei Carabus aureatus 548, Locusta viridissima 540.
- Chlorpalladium zur Erhärtung und Färbung thierischer Gewebe, Darstellung und Anwendung III, 477.
- zur Untersuchung der Spinalganglien IV, 46, des Ciliarmuskels IV, 366.
- Chondracanthi, Mundhöhlen skelett, Entstehung durch Verschmelzung von Zähnen XI. Suppl. 166, 175.
- Chondracanthi, zur Entwicklungsgeschichte XIII, 465.
- Chondropus viridis XI, 27.
- Chondrostoma naucus, häutiges Labyrinth XIV, 298, Sinus impar, Bedeutung 299.
- Chorda dorsalis, erste Anlage bei Knochenfischen IV, 252.
- von Bombinator igneus, Entwicklung V, 93, 101.
- Bildung bei Ascidia canina VI, 155.
- Anlage bei einfachen Ascidien VII, 106, 121.
- Anlage bei der Unke IX, 402.
- Anlage beim Hühnerrei X, 178.
- und Hirnanhang XI, 389, ein Epithelialgebilde 390, erste Lagerungsverhältnisse 394, Ursprung des sie umfassenden Bindegewebes 395, primitives, vorderes Ende 396, bei Gänseembryonen, Kopftheil nach Einstellung der Kopfbeuge 399 beim Kaninchen, Ursache derselben, Veränderung während der Abschnürung des Hypophysensäckchens 441, bei Hühnern, Cuticula Chordae 413, letzte Veränderungen in der Schädelbasis, Bildung einer Scheibe beim Kaninchen 422, Bedeutung 424, Zellen 423, 424.
- von Amphioxus lanceolatus XI, 425, Scheide 426, Chordasubstanz 426, platte Zellen, Querscheibe 427, Entwicklung 429, Vergleich mit höheren Wirbelthieren.
- XI, 431, Beweis für die epitheliale Natur, Bedeutung 432.
- bei Batrachiern XII, 513, Salamandra maculosa-Larven 514, Triton helveticus 514.
- bei Amphibien XV, 180, Entwicklung.
- bei Teleostiern (Forelle) XV, 190, Vergleich mit der Anlage bei Vertebraten 193.
- bei Petromyzon Planeri und fluviatilis XV, 317, skeletogene Schicht 318, Sehnenhaut 319, knorpelige Bögen der vorderen Schwanzgegend 324.
- bei Ganoiden (Acipenser sturio) XV, 442, obere Bögen 445, untere 449.
- bei Knochenganoiden, Lepidosteus, Polypterus, Amia 453, obere Bögen 455, untere 456.

Chorda dorsalis bei Plagiostomen 461, Cuticularschicht bei Scyllien 467, Gymnus 468, Acanthias 468, Mustelus 468, Carcharias 468, Squatina 468, Rajidae 468.
 — bei Chimaera XV, 531.
 — der Säugethiere XVI, 597.
 — Bau XVI, 601, Verlauf und Verhältniss zur Wirbelsäule.
 — bei Batrachiern XIX, 27.
 — des Gehörorgans der Locustinen XI, 208.
 — tympani, Reizung und Wirkung auf die Stäbchenzellen der Gänge der Speicheldrüsen XIII, 356.
 Chordaknopf XI, 398
 Chordarest XVI, 597, bei erwachsenen Säugethiern, Bau bei erwachsenen und jugendlichen Säugern 598, innere und äussere Faserknorpelzone 608, 609.
 Chordascheide XI, 412.
 — äussere zellige bei Plagiostomen XV, 471, Umwandlung bei Acanthias 474, Gewebe bei Mustelus laevis und Squatina 477, 492.
 — bei Chimaera, äussere XV, 531.
 — Verhalten bei Säugethiern XVI, 598.
 Chordaspindel, XVI, 605.
 Chordastrang bei Torpedo XIII, 474, Bethheiligung der Keimblätter 474.
 Chordawurzel, Entstehung bei Bombinator igneus V. 93, Zellen 101 und ihre Umbildung zu Wirbelbögen 103.
 Chordotonalligament der Insecten XX, 546, Histologie 548.
 Chordotonalorgane der Insecten XX, 506, Litteratur 506, Scolopophoren 510, Untersuchungsmethode 515, Bau 516. scolopale Nervenendkörperchen 516, Inhalt 524, mononematische Stifte 518, conocephale 520, apiocephale 521, conocephale 521, cylindrocephale Stifte, amphinematische Stifte 533, bei Syrphus 535, Pediculiden 536, Scolopophoren, Bau 538, chordotone Endfaser 540, Scolopophorensystem, Bau 543, Zahl 543, Anordnung und Verbindung 544, Chordotonalligament 546, Histologie 548, Chordotonalorgane, allgemeine Lagerungsverhältnisse 549, Verbreitung 552, in der Ordnung der Insecten, bei Pseudoneuroptera (Isop-

teryx) 552, Neuroptera (Mustacides, Chrysopa) 552, Lepidopteren (Apfelwickler und Wassermotte) 553, Hymenopteren (Nemetus viminalis) 554, Rhynchota (Läuse) 554, Verbreitung in den Körpertheilen 557; die truncalen Chordotonalorgane 557, monozyge — Verbreitung 560, polyzyge — 560, bei Chironomus und Tabanus 560, membrale — 563, Vertheilung am Fühler 563, Mundtheilen 564, Beinen 564, polytopisches 564, und monotopisches 565 Vorkommen, monotopisches Tarsal — 565, subgenuelles — bei Isopteryx 567, bei Blattiden 568, Locusta viridissima 569, Acridiern (Stenobothrus) 570, Torficuliden 571, Formicidae 572 (Solenopsis fugax, Tetramorium Caespitum, Myrmecina), porifere Vorkommnisse der Halteren 573, Gestaltung 579, Zahl und Anordnung 575, porifere Vorkommnisse der Flügel 585, der Hinterflügel 585 bei Clytes 590, Nervenendigung in denselben 591, bei Käfern 592, Neuropteren 593, Hymenopteren 593, Pseudoneuropteren 594, Rhynchoten 594, Orthoptera 594, an den Vorderflügeln 594 bei Dipteren 595 (Eristalis tenax), bei Syrphiden 598, Bombyliden 599, Leptis 599, auf Schmetterlingsflügeln 601 bei Platycleis 601, Selandria serva 600, — genetische Beziehung zwischen den einzelnen Vorkommnissen 602, bei denselben Thieren 605 (Ursachen ihrer Entwicklung 604), bei verschiedenen Thieren 607, heterologische 607 und homotopische Vorkommnisse 609, — Homologie 612, der Flügel 612, der Halteren 615, zw. den Halterenorgane der Dipteren und denen der Hinterflügel 615 und der Subgenualorgane der Orthopteren 617, Subgenualorgane, tympanal differenzirt 619, zwischen den Tarsalorganen von Dytiscus und Melolontha 624, den Femoralorganen von Pediculus und Phthirus 624, — homotypische Convergenz einiger Fälle 625, zwischen den abdominalen Organen der Co-rethra und Dytiscus 625, den Subgenualorganen der Orthopteren und Formiciden 627, Tracheen 631, subgenuale Tracheen bei Orthopteren 628.

Chorioidea, Entwicklung II, 237, 243.

- Chorioidea des Auges der Wirbelthiere, verfolgt bei niederen Thieren II, 420.
- Verhalten zur Sclerotica des Auges VI, 4, nach Silberbehandlung 5, Kernhaltigkeit 7.
- Eintheilung XV, 570, Anatomie 563, Grenze 564, Schichten 564, Uebergang in Iris und Cornea 566, 567, Str. pigmentosum und vasculosum 565, intervasculare 565, choriocapillare 565, Litteratur 582.
- des Cephalopodenauges XVI, 233.
- Corrosion XVI, 479 des Lymphcapillarenetzes 500.
- Chorionbildung bei *Ascidia canina* VI, 122.
- Wesen bei Reptilien VIII, 403, bei *Moloch horridus* 406, *Lacerta agilis* 406, Hühnerei 415.
- des Eies der Knochenfische VIII, 419.
- Chromatin des Kernes, Bedeutung XVIII, 158.
- Chromatophorenschicht der Cephalopoden V. Suppl. 62, Wesen der Bewegungserscheinungen der — 70, Pigmentzellen 69.
- des *Corium* einheimischer Ophidier IX, 775, Beziehung zu Nerven 779.
- der Epidermis von Amphibien XII, 148.
- der Amphibien XII, 235, Vorkommen.
- XII, 540, bei Insecten 541, bei *Limax variegatus* und *carinatus* 541, — Werth XIX, 589, Beziehung contractiler Zellen zu — 589, Nervenendigung 589, — und Hautpigmente, Bedeutung 594, bei Amphibien, Einfluss der Temperatur 595, — zur Herabsetzung der Diaphanität des Körpers 597.
- Chromkali auf den Zellkern der Harnblasenwand des Erdsalamanders XIII, 700.
- Chromsäure zu Untersuchungen der Nervenendigung der Zahnpulpa IV, 75.
- zur Untersuchung glatter Muskelfasern IV, 393.
- Einwirkung auf den Zellkern der Harnblasenwand des Erdsalamanders XIII, 700.
- zur Entkalkung der Knochen XIV, 482.
- Chromsäure zur Untersuchung von Hühnereiern XV, 68.
- zur Darstellung der Saftbahnen des hyalinen Knorpels XVI, 1.
- Einwirkung auf den Zellkern XVI, 328.
- Einwirkung auf Myelin und Nervenmark XIX, 200.
- zur Darstellung der Stilling'schen Elementarröhrchen XIX, 236.
- Chromsaure Salze auf Zellkerne XVI, 334.
- Chromulina *nebulosa*, Cystenbildung VI, 435.
- Chrysopa, Verbreitung der Chordonalorgane XX, 552.
- Chylusbahnen des Darmcanals der Vögel III, 420.
- Chylusmagen der Cocciden XIII, 54, Histologie 56, Zellen der Propria 56.
- des Blutegels, Nervenendigung in den Muskeln XIV, 328.
- Chymus, directer Uebergang ins Blut beim Mitteldarm von *Cobitis fossilis*, XIII, 688.
- Chytridium *Polysiphoniae*, Parasiten auf einer Florideengattung III, 39.
- Plumulae 42.
- Ciliarbewegung bei *Spirostomum* XII, 65.
- Ciliarfortsätze des Auges, Ursprung VI, 326, 327.
- Ciliarplexus des Auges und seine Beziehung zum Schlemm'schen Canal VI, 303.
- Ciliarvenen als Abflusswege der vorderen Augenkammer VI, 262, Zusammenhang mit derselben 306.
- Cilien der Amphibienhaut XII, 231, vergleichend anatomisch XV, 209.
- Ciliophrys *infusio*num, Schwärmerbildung XII, 29.
- Circulation des Blutes, Beginn bei Knochenfischen IV, 266.
- Circulationsapparat, Anlage bei *Molgula simplex* VIII, 380.
- Clarcinella aurea*, Fasern I, 345.
- Clathrulina, Cystenbildung III, 313.
- XIII, 28.
- Cienkowskii, Bau VI, 191, Fundort 192.
- *elegans*, Gattung der Actinophryen III, 311, Schale 311, Körper 312, Fortpflanzung 313, systematische Stellung 315.
- *elegans* V, 467, Vorkommen 468, Gittergehäuse, Vergleich mit

- Actinophryen 469, Fortpflanzung 471, Theilung und Cystenbildung, Stellung im System 472, Centralkapsel 475, Colonienbildung,, Erklärung 478.
- Clathrulina elegans X. Suppl. 234, 227, Skelett 228, mit Stiel und Schale 228, Weichkörper mit Kern und Vacuolen 229, Pseudopodien 230, Verdauung 230, Fortpflanzung durch Theilung, Encystirung und Schwärmerbildung 231, Entwicklung des Stieles 232, und der Schale 233, Art des Vorkommens 234.
- Clavicula, *Ossification bei Batrachiern XIX, 35.
- Clavus des Mundes bei Cocciden XIII, 35.
- Cleodora cuspidata, Gehörorgan V. Suppl. 76.
- Climacostomum virens, contractile Behälter V, 35.
- Clitoris, Terminalkörperchen XVII, 381, Bau.
- Cloake der Pyrosoma (Cyathozoid) XI, 628.
- Cnemidophorus sp., Brustbein XIV, 511, 519, 521, 516 und Schultergürtel 508, 512, 515, 517, Episternum 515, 519, Schlüsselbein 509, 513, 516, 517, Scapulocoracoideum 512, 521.
- Cnidoblasten bei Tetrapteron volitans XV, 533.
- Cobitis fossilis, Mitteldarm, Fehlen des Epithels XIII, 687, Chymus direct übergehend ins Blut.
- fossilis, Mitteldarm XV, 429, Oesophagus 430, 433, Epithel, Magen 430, Epithel 433, Mesenterium 430, Topographie der Eingeweide 429.
- Cocciden, Anatomie und Histologie XIII, 31, Mundtheile 33, Horngräten 35, Area 35, Arcus 36, Costae 35, Columellae 35, Clavus 35, Schnabel 37, Conus 38, Borste 38, Vagina 39, Schlingenbildung 39, Hervortreibung der Borsten 39, Tasche, Crumena 42, Bedeutung und Bau 43, Vagina 44, Infundibulum 45, Saugvorgang 45, Embolus 46, Beziehung zum Cylindrus 46, Regula 46, Stapes 47, Cylindrus 47, Uva 47, Pharynx 47, Verdauungscanal 46, Vorderdarm, Oesophagus 51, Mitteldarm, Ventriculus 51, Hinterdarm, Rectum 51, Malpighische Gefäße, Beziehung zur Theilung des Verdauungscanals 51, Ansa minor et maior des Magens 52, Coecum 52, Oesophagus 54 (Structura cardiaca 54), Histologie 56, Tunica propria und intima, Chylusmagen 54, Histologie 56, Zellen der T. propria 56, Rectum 55, Anus mit Valvae 55, Histologie 56, Intima, Anhangsorgane des Verdauungscanals 57, Speicheldrüse, Litteratur 57, Lage 65, Nerven 66, Form 66, Tunica propria 66 und intima 68, mit Zellen 67, unpaarige Speicheldrüse 79, Lage 76, Histologie 77, 78, Tunica propria 78, Zellen, Malpighische Gefäße 80, Propria 80, Zellen 80.
- Coccinosphaera, Radiolariennatur X. Suppl. 156.
- ciliosa, Fehlen der Centralkapsel V, 473.
- Coccus Adonium, Fundort XIII, 32, Vagina des Schnabels 44.
- hesperidium, Verdauungscanal XIII, 49, Speicheldrüse 64, Bau 72.
- ulmi, Malpighische Gefäße XIII, 80, Zellen 81.
- Cochenille-Carminlösung XVIII, 412.
- Cochlea des häutigen Labyrinths der Chelonii XX, 291, Hydrosaurii 349, Ophidia 334, Saurii 340.
- Cochliopodien, Zugehörigkeit zu Lepamoeben X. Suppl. 87.
- Cochliopodium pellucidum X. Suppl. 66, 77, 78. Schale 67, Vergleich mit Arcella 68, Zugehörigkeit zu Amoeba bilimbosa, Actinophora oder Amphizonella vestita 66, 77, Protoplasmakörper 69, Kern 70, Vacuolen 71, Pseudopodien 72, Ortsbewegung, Wahl des Namens 77.
- pellucidum, XI, 337, Schale 338, 340, Bewegung 339, Weichkörper mit Kern 340 und pulsirender Vacuole 341, Pseudopodien 341, — pellucidum, XIII, 26.
- Coecilia, Leber III, 483.
- Cuticularbildung, V, 297.
- Coecum der Cocciden XIII, 52.
- Coelenterata, feiner Bau der Muskelfaser V, 208.
- Beziehung zu Echinodermen XII, 638.
- neue, aus dem Golf von Neapel XVIII, 271, 280.
- Coenosark bei Spongiicola fistularis XIII, 805.
- Cohnheim'sche Felder der quergestreiften Muskeln XIII, 403.

- Colacium stentorium, Entwick-
lung VI, 427.
- Coleoptera, Fettkörper IX, 178.
- Nervenendigung im quergestreif-
ten Muskel IX, 502.
- Colloidkugeln I, 343.
- der Drüsen des Froschleiters
XI, 373, 374.
- Collosphaera Huxleyi VII, 374,
Schale.
- spinosa, Schale VII, 374,
Schwärmerbildung, Bander Schwär-
mer 375.
- Collozoum inerme, Schwärmer-
bildung VII, 376.
- Colonienbildung bei Clathrulina
elegans V, 478.
- bei Amoeba terricola X. Suppl. 20.
- bei Lecythium hyalinum XII, 29.
- Colorfructuli exsiccati, Pigment
der Pleurosigma angulatum VI, 101.
- Colpodella pugnax, Nahrungsauf-
nahme I, 210, 215, Schwärmer 214.
- Coluber, Hautpapillen mit Tast-
körperchen VIII, 349.
- Tastkörperchen XII, 522.
- carbonarius, IX, 756, streifige
Sculptur der Hautcuticula.
- carbonarius, IX, 775, Pig-
mentvertheilung im Corium.
- flavescens, streifige Sculptur
der Hautcuticula IX, 756.
- natrix, Leber III, 92, Gallen-
gänge 93.
- natrix, Doppelbrechung der
Hornschuppen XI, 670.
- natrix, Vorderdarm XIV, 200,
Oesophagus, Magen.
- viridiflavus, Kopfdrüse IX,
615, Nickhautdrüse 615.
- viridiflavus var. carbo-
narius, Kopfdrüse IX, 615, Ober-
lippendrüse 615, Schnauzendrüse
616, Nasendrüse 616, Nickhautdrüse
616.
- viridiflavus, streifige Sculp-
tur der Hautcuticula IX, 756.
- viridiflavus, Vertheilung der
becherförmigen Sinnesorgane in der
Haut IX, 766.
- Columba, Retina, II, 205.
- Vater-Pacinische Körperchen V,
155.
- Querschnitte der Drüsen des
Muskelmagens VIII, 448.
- Tastzellen des Oberschnabels XI,
642, Lage im Epithel 642.
- domestica, Cylinderepithel des
Labmagens XIII, 745.
- Columellae des Mundes der Coc-
ciden XIII, 35.
- Comatula mediterranea. Ent-
wicklungsverhältnisse XII, 583, Lit-
teratur 583, Larven in der Dotter-
haut 587, Bildung der Keimblätter
587, Mesenterium 591, Anlage des
Wassergefäßsystems 592, des Ring-
canals und der Tentakel 592, 598,
Zahl der letzteren 600, ovale Vor-
raum 593, Nahrungsdotter 593,
Skeletanlage 594, Oberhaut 596,
Zusammenhang mit der Innenmasse,
Stiel 597, Centrodorsalplatte, An-
lage 597, Afteranlage 601, Vergleich
mit der Entwicklungsgeschichte der
Echinodermen 603 und Stellung zu
denselben 631.
- Comissur-Fasern der Ganglien
des sympathischen Gränzstranges
II, 26.
- im Sympathicus des Frosches IV,
143.
- Concentrische Körperchen der
Thymus, Bedeutung XIV, 1.
- Körper der Thymus XIV, 359,
Litteratur, Form und Vertheilung
362, Entwicklung, Rückbildung und
Zusammenhang mit Endothel der
Gefäße 363.
- Körper der Thymus, Littera-
risches XIV, 408.
- Concha der Schlangen VIII, 318,
Beziehung zum Jacobson'schen Or-
gan.
- Conchiolin der Kiemen von Unio
und Anodonta XI, 541.
- Condensatoren für Mikroskope IX,
472.
- Conjugation der Infusorien IX,
657, 661, bei Paramaecium aurelia
661, Paramaecium colpoda 667, Am-
phileptus anas 667.
- bei Actinophrys oculata X.
Suppl. 174.
- Conjunctiva, Endkolben IX, 653,
Litteratur, Untersuchungsmethode
654, Vertheilung 657, Bau 657 bei
Thier oder Mensch, Nerveneintritt
658, in Zellen 659.
- Bau der Endkolben XVII, 381.
- Conservationsflüssigkeit für mi-
kroskopische Objecte XIII, 868, für
Larven, Hydreen, Nematoden 868,
Infusorien 868, Algen 869.
- Contractionserscheinungen der
quergestreiften Muskelfibrillen IX,
119.

- Contractionswellen in den Muskeln der Milben VIII, 75.
- Conus des Schnabels der Cocciden XIII, 38.
- Copepoda, Hüllen der Geschlechtsstoffe, Vergleich der männlichen und weiblichen XVIII, 56.
- Copulation von Macrosporen II, 76, von Macroconidien und Thecasporen 81.
- Copulationsorgane bei Trichonisciden XIX, 625, Differenzirung bei verschiedenen Arten der Landisopoden 633.
- Corethra, homotopische Convergenz mit den abdominalen Chordotonalorganen von *Dytiscus* XX, 625.
- *plumicornis*, quergestreifte Muskelfibrille IX, 713.
- Corium einheimischer Ophidier, IX, 769, Schuppen, Entstehung 769, Bindegewebe 770, Schichtung 770, Verhältniss zu den Gefässen 772, festere Stränge 773, Pigment 774, Vertheilung bei *Vipera berus* 774, *Coluber carbonarius* 775, *Tropidonotus natrix*, Pigmentzelle oder Chromatophoren 775, Farbenveränderung 776, b. *Sellio caucasicus* 778, Nerven 779, Beziehung zu Chromatophoren 779, Lymphräume, Vertheilung bei *Vipera ammodytes* 780, *V. berus*, *Ophidia inocua*, Umwandlung in lymphdrüsige Masse 780, bei *Tropidonotus natrix* 780, Litteratur 781.
- Cornea des Auges der Wirbelthiere, verfolgt bei niederen Thieren, analog der *Pellucida* II, 419.
- Saftcanälchen VIII, 539, Grundsubstanz 540, Untersuchung und Ergebniss nach Versilberung 543, Canälchenzellen 547, Bowman'sche Röhre erklärt als Nerveninjection 550, Nerven 551, Verbindung mit Hornhautkörperchen, Verbreitung 553 und Beziehung zum Saftcanalsystem, Endigung in den Canälchen 557, Beziehung zur Epithelialbekleidung 558, Subbasalschicht 563, Nerven IX, 220, Untersuchungsmethode 221, b. Mensch und Säugern 225, Kaninchen 242, Meerschweinchen 243, Verlauf und Ursprung 225, Theilung, Vorkommen von Kernen, Bedeutung 230, Nerven des Epithels 231, subepitheliale Schicht 231, 266, beim Kaninchen 243, Nervenendigung zwischen den oberflächlichen Lagen des Epithels 234, in der Hornhaut selbst 236, subbasale Nervenschicht 236, beim Kaninchen 242, Lage und Beziehung zur Corneazelle 239, 266, 272, Endgeflecht der — 240, *Membrana Demoursiana*, Wesen 261, 264, Nerven bei Vögeln 244, Amphibien und Reptilien 246, Frosch 246, Ursprung und Verlauf, subbasale Schicht 247, subepitheliale Schicht 248, Nervenendigung im Epithel 249, bei Triton 249, Fischen 250, Ursprung und Verlauf, Litteratur 251, Variositäten, Wesen 267, freie Endigung 269, *Elastica ant.* Vorhandensein 269.
- Cornea, Neubildung von Epithel X, 351, 366.
- fixe Zellen XI, 181.
- Uebergang in die Chorioidea XV, 566.
- des Cephalopodenauges XVI, 216, 223.
- Corrosion XVI, 486, 498, bei der entzündeten — des Frosches 500.
- des unicornalen Tracheaten- und speziell des Arachnoiden- und Myriopoden-Auges XVII, 59.
- freie sensible Nervenendigung XVII, 378, terminale Netze 378, Endigung in einer Zelle 378.
- — Entwicklung bei Vertebraten XIX, 157, Endothel 158.
- — Nerven XX, 378.
- Cornealkapsel des Auges der Cephalopoden XVI, 224.
- Corona ciliaris des Cephalopodenauges XVI, 236.
- Coronella laevis, Veränderung der Granulosazellen des Eies VIII, 414.
- *laevis*, Kopfdrüsen IX; 612, Lippendrüsen 612, Oberlippendrüse 612, Schnauzen- und Rachendrüse 613, Nerven 613, Vorkommen und Endigung, Nickhautdrüse 614.
- *laevis*, streifige Sculptur der *Hautcuticula* IX, 756.
- Corpus albicans, Entstehung aus *Corp. luteum* XIX, 506.
- ciliare, Beziehung zum *Musculus ciliaris* III, 487, Verbindung mit der Linse durch *Zonula Zinnii* 495.
- ciliare, Wesen VI, 326.
- ciliare, Verhalten bei Accommodation XV, 570.
- ciliare, Verhalten zur Linsenoberfläche XV, 574.

- Corpus ciliare der Cephalopoden XVI, 217, 225.
- geniculatum mediale, Beziehung zum N. opticus XIX, 295.
- Highmori des menschlichen Hodens XIV, 20, Fortsätze 20.
- luteum des Eierstockes der Kuh, Bau I, 181, Lage der pigmentführenden Zellen 189, Bildung 190 und Rückbildung 192, Ursprung des dunkleren Pigmentes in älteren — 195.
- luteum, Bildung XVIII, 90, Beziehung zur Hodenzwischensubstanz.
- luteum XIX, 499, Blutung in den Follikel 500, Beginn der Entwicklung 501, Lutein, Pigment der Zellen, Ursprung 505, Zeit der Entwicklung 506, Rückbildung zu Corp. albicantia 506, Pigmentirung 508, — — verum et spurium 508.
- trapezoides XIX, 271.
- Corpuscula amyloidea, in der Galle II, 518.
- aryoidea, Bildung bei Entzündung XVIII, 145.
- Corregonus maraena, Doppelbrechung der Hornschuppen XII, 670.
- Corrosion, Verwerthbarkeit in der mikroskopischen Technik XVI, 471, mit Olivenöl und Eau de Javelle 574, Fettinjection, als Vorbereitung 474, der Niere 478, Chorioidea 479, Iris 480, bei Testudo graeca, Darstellung der Lymphwurzeln 481, der Haut des Frosches 481, des Froschesenterium 486, Cornea 486, Periost des Schädels 486, vom Kaninchen, Fettimpregnation als Vorbereitung 488, markhaltiger Nervenfasern 493, der contractilen Muskelsubstanz 494, Knorpels 494, Epithelien 496, Cornea 498, des Frosches, entzündet 500, des Lymphcapillarnetzes der Chorioidea 500, Retina 504, Lymphcapillaren.
- Corrugator Plagiopatagii, früher beschriebener Muskel der Flughaut der Fledermäuse VII, 9.
- Corticalschicht der Leber vom Batrachierypus III, 430, Bedeutung 430, 434, bei Tritonen und Salamandern 434.
- Cortischer Bogen, Theilung in den inneren und äusseren Pfeiler VIII, 172, Entwicklung 183, Beziehung zu der Faserschicht der Membrana basilaris VIII, 204, Beziehung zu Nerven 212.
- Cortischer Bogen im acustischen Endapparat der Säuger XIII, 538, Zellenwerth.
- Membran im acustischen Endapparat der Säuger XIII, 535, Function 544.
- — des häutigen Labyrinth der Chelonii XX, 324.
- Organ, Bodenzellen VIII, 173.
- Pfeiler, des acustischen Endapparates der Säuger Pigmentirung XIII, 503.
- Corvina nigra, Zotten des Mitteldarms XIII, 682.
- Corvus corone, Fovea centralis, Retina II, 207.
- — Vorhandensein von Vibrionen III, 331.
- Cossus ligniperda, Nerven der Hautdrüsen XII, 542.
- Costae des Mundes der Cocciden XIII, 35.
- Cothurnia arcuata, Bau XVI, 155, Fundort 156.
- nodosa XVI, 154, Bau, Fundort 155.
- Cotyledonenbildung bei Porcellio scaber XVII, 132.
- Craspedota, Nervensystem XIV, 401, Ringnerven 402, Spangennerv 403, Sinnesorgane 403, Gehörorgan 404.
- Craspedosoma, Anlage der Keimblätter und Furchung XIV, 11, 13.
- Crenilabrus fuscus und perspicillatus, Zotten des Mitteldarms XIII, 682.
- Cribrella labiata XVIII, 275.
- Crista acustica im Gehörorgan der Heteropoden V. Suppl. 82.
- — Epithel XIV, 289, Cuticularmembran 290, beim häutigen Labyrinth der Knochenfische, Nervenendigung 288.
- — des häutigen Labyrinth der Ganoiden, Nervenendigung XVIII, 505.
- — Ampullae frontalis des häutigen Labyrinth der Chelonii XX, 326.
- — Ampullae sagittalis 314, — Lagenae der Chelonii XX, 326 und Ophidia 327.
- — Partis basilaris der Chelonii XX, 323 und Ophidia 337.
- ampullae des häutigen Labyrinth der Batrachier XVII, 524.

- Crista lagenae, des häutigen Labyrinths der Knochenfische XIV, 296. der Batrachier XVII, 528.
- ligamenti spiralis VIII, 167.
- partis basilaris 531 und initialis cochleae 529, des häutigen Labyrinths der Batrachier XVII.
- spiralis der Gehörschnecke VIII, 150, Stellung zum Gewebe, zum Epithel des Ductus cochlearis 153, 170, Epithel 155, Blutgefäße 156.
- Crocodylina, Retina XII, 427, Stäbchenschicht 427.
- Crumena des Schnabels der Cocciiden XIII, 42.
- Crustacea, Ohr I, 145.
- Muskel, Bau IX, 514, Nerven-eintritt und Endigung 516, Kerne 515, Endplatten 518, Nerven-eintritt und Endigung 518.
- Bau und Thätigkeit der Leber XVII, 385, Litteratur 386.
- Hüllen der Geschlechtsstoffe, Vergleich der männlichen und weiblichen XVIII, 53.
- Farbenwechsel XIX, 591.
- amphipoda, Bau und Thätigkeit der Leber XVII, 423.
- decapoda, Bau und Thätigkeit der Leber XVII, 436, Funktion der Leber 443, Leberzelle, Bedeutung 448.
- isopoda, Fortpflanzung XVII, 125.
- isopoda XVII, 390, Bau und Thätigkeit der Leber.
- Cryptobranchus, Knochen des Gaumenbogens XI. Suppl. 17. Os palatinum.
- japonicus, Faltenbildung der Cutis XII, 161, Hauthöcker den Organen des VI. Sinnes entsprechend 163.
- Cryptomonas ovata VI, 424, Entwicklung und Zugehörigkeit zu Palmellaceen.
- Cucuyos VIII, 461, Beschreibung, Leuchtorgane 463, Tracheenstämme, Beziehung zu Leuchtzellen 467, Nerven des Leuchtorgans 469, Beziehung des Blutes zu den Leuchtorganen 469.
- Culturversuch der Vibrionen aus Schimmelpilzen III, 323, 324.
- Cunina Kollikeri, Otolithensäcke, Randbläschen I, 144.
- Cupula terminalis des häutigen Labyrinths der Knochenfische XIV, 290, 291, Bau und Bedeutung.
- Cupula terminalis der Seitenorgane von Chimaera, vordere Kopfregion XVII, 100.
- des häutigen Labyrinths der Batrachier XVII, 525.
- des häutigen Labyrinths der Chelonii XX, 316.
- Cuticula der Zähne der Schlangen IX, 8, der undurchbohrten und durchbohrten, Darstellung 21.
- streifige Sculptur IX, 754, bei *Tropidonotus natrix* 755, *Tr. tessellatus* 755, *Coluber flavescens* 756, *viridiflavus* und *carbonarius*, *Coronella laevis* 756, *Vipera berus* und *aspis* und *ammodytes* 757.
- der Ophidier, Einfluss auf Häutung IX, 763.
- der Chorda XI, 413.
- der Amphibienzähne XI. Suppl. 61.
- der Amphibien XII, 120, bei *Rana* 120, *Bufo vulgaris*, Leistenbildung an den Zellgrenzen 121, *Triton alpestris*, *cristatus*, *taeniatus* 121, *Salamandra maculosa*, feine Punktirung der Zellen und Bedeutung 122, der Extremitäten bei *Triton alpestris*, *cristatus*, *helveticus*, *taeniatus* 124, *Bombinator* 125, *Bufo calamita* und *variabilis* 124, der Daumenschwiele von *Rana platyrhinus* 124 und *esculenta* 125, *Bufo vulgaris* 125 und *calamita* 126, *variabilis* 126, *Bombinator igneus* 126, Höckerbildung bei *Triton taeniatus* 127, *Salamandrina perspicillata* 128, *Bombinator igneus* 128.
- bei Amphibien, vergleichend anatomisch XII, 230.
- des Haares XII, 696.
- der Tasthaare XV, 52.
- äussere, des unicornalen Tracheaten- und speziell des Arachnoideen- und Myriopoden-Auges XVII, 59.
- von *Distomum Westermanni* XIX, 531.
- der Hautdecke bei *Trichonisciden* XIX, 583, Matrix 583, Pigmentirung der Matrixzellen.
- Bildung bei Wirbelthieren V, 295.
- Bildung bei Mollusken und Verhältniss zur Matrix V. Suppl. 40.

- Cuticularbildung bei Amphibien V, 296, Coecilien 296, Wassersalamander 297, *Pipa dorsigera* 297, der Daumendrüse bei *Rana esculenta* 298, Amphibienlarven 299, Fischen 301, *Hippocampus brevisrostris*, *longirostris* und *comes* 301, im Epithel der Mundhöhle 306, bei Schlangen 306, Amphibien 307, Fischen 310, des Oesophagus 310, der Maginnenfläche 310, der Flimmerzellen 310.
- des Keimepithels bei Entwicklung des Eies von *Torpedo oculata* XI, 574.
- Cuticularmembran der *Crista acustica* des häutigen Labyrinths der Knochenfische XIV, 290.
- Cuticularsaum der Epidermiszellen des Froschlarvenschwanzes II, 497.
- Cuticularschicht der Cestoden I, 133, von *Phreoryctes Menkeana* 255, Matrix 256.
- von *Tetrapteron volitans* XV, 354.
- der Chorda bei Plagiostomen XV, 467, *Scyllien* 467, *Seymnus* 468, *Acanthias* 468, *Mustelus* 468, *Carcharias* 468, *Squatina* 468 und *Rajidae* 468.
- Cutis im Schwanz der Froschlarven II, 490, Bindegewebszellen 492, Nerven 494.
- des Schnepfenschnabels IV, 201, Nerven und Blutgefäße IV, 203.
- Entwicklung des fibrillären Bindegewebes V, 512.
- der Cephalopoden V, Suppl, 61, 62.
- der Flughaut der Fledermäuse VII, 5, elastische Balken 6, quer-gestreifter Muskel 8.
- Lymphgefässendothel VII, 369, Endothel der Nervenstämme 369.
- des Igelohres VIII, 299, Bindegewebskörperchen 299, sternförmige Pigmentzelle 299, elastisches Gewebe 300.
- der Amphibien XII, 148, Leisten kleine 148, grössere 149, 151, Blutgefäße 150, Papillen mit Tastkörperchen bei *Bombinator igneus* 152, *Bufo vulgaris*, Bau 153, Papillen ohne Tastkörperchen bei *Bombinator igneus* 154, *Rana* 155, *Hyla* 155, Papillen bei *Salamandrina perspicillata* 155, Papillen mit Drüsenöffnungen an der Kloake der Salamandrinen 157, Blutcapillaren in Form von Papillen 158, bei *Menopoma giganteum*, Bedeutung 158, Faltenbildung bei *Menopoma giganteum* 160 und *Cryptobranchus japonicus* 161, Hauthöcker den Organen des VI. Sinnes entsprechend 162, bei *Menopoma* 162, *Cryptobranchus japonicus* 163, Pigment, Farbe 175, Vertheilung 178, Kalkablagerungen bei *Bufo vulgaris* 191.
- Cutis der Amphibien XII, 234, Leistenbildung 239.
- der Haut der Reptilien und anderer Wirbelthiere XIII, 223, bei *Platydictylus guttatus*, Bindegewebe 223, obere Grenzschicht mit eigenthümlichen Gebilden 223, Lymphraum 224, Hauptmasse und Grenzschichten 241, Endothelzelle zwischen — und Epidermis 249, von *Dacypus novemcinctus*.
- Entwicklung bei *Siredon pisciformis* XIII, 778.
- der Reptilien XVII, 351, Schichten, Pigmentzellen 352.
- bei *Tropidonotus natrix* XVII, 345, von *Lacerta viridis* 359.
- der Brustdrüse XX, 145.
- Cutispapille zur Entwicklung der Schuppen der Reptilien und anderer Wirbelthiere XIII, 233.
- Anlage der Schuppen am Laufe des Hühnchens durch — XIII, 244.
- Cyathozoid von *Pyrosoma*, Entwicklung XI, 608, Eientwicklung 608, Embryobildung durch Furchung 608, Keimscheibe 611, Nervensystemanlage 611, 615, Perithoracalräume, Anlage 612, Keimblätter 612, Pericardium 615, Endostylanlage 615, Herzanlage 618, innere Follikel-epithelzellen 619, Keimscheibe, Theilung 619, Atrophirung 627, Weiterentwicklung 622, Ingestionsöffnung 629, Kloake 628.
- Cyclas, Wimperbewegung XII, 69.
- cornea, Samenkörper X, 503.
- Cyclops brevicaudatus, Vergleich mit den Muskeln der Milben VIII, 77.
- Cyclopterus lumpus, secundäre Wirbelkörper XVI, 126.
- Cyclostoma, Schleimhaut des Oesophagus XIII, 654, des Mitteldarms 674
- Wirbelsäule und Anhänge XV, 316, Nachtrag 428, Ursprung der Spinalnervenzurzeln 428.

- Cylindergebilde des Rüssels bei *Vanessa-Jo* und *Catocala*, Mittelstab XV, 12.
 — des Schmetterlingsrüssels XV, bei *Zygaena filipendula* 15, *Pieris* 16, *Agona Adonis* 16, *Epinephele Janira* 17, *Argyris* 17, *Arge Galathea* 18, *Catocala hymenea* 19, *Vanessa-Jo* 21, Entstehung 24.
- Cylinderzellenschicht der Tasthaare XV, 50.
- Cylindrus* XIII, 46, Beziehung zum Embolus 46, beim Schnabel der Cocciden.
- Cynthia*, Eier VIII, 360, Befruchtung und Entwicklung 361, Tunicazellen 360.
- Cyphoderia margaritacea* X. Suppl. 133, Schale, Körper mit Vacuolen 133, Pseudopodien 134.
 — — XI, Panzer 110, mit Ringraum 111, Weichkörper 112, mit Kern und pulsirender Vacuole, Pseudopodien 112.
 — *truncata* XI, 113, Panzer 114, Weichkörper 114, Pseudopodien 115.
- Cyphonautes*, Entwicklungsgeschichte V, 260, Bau 261, Species 263.
 — *compressus*, Umwandlung in *Membranipora pilosa* V, 264.
- Cyprinoidei*, Vorhandensein einer Urniere II, 485.
 — Faltenbildung der Schleimhaut des Mitteldarmes XIII, 681.
- Cyprinus carpio*, Doppelbrechung der Hornschuppen XI, 671.
 — — solitäre Follikel des Magens XIII, 671.
 — — Pürkinjesche Zellen der Kleinhirnrinde XIV, 219, Protoplasmafortsatz 224.
 — — häutiges Labyrinth XIV, 298, Sinus impar, Bedeutung 299.
 — — Leberzellenkerne, Bau XVI, 321.
 — — *erythrophthalmus*, Hüllen der Geschlechtsstoffe, Vergleich der männlichen und weiblichen XVIII, 45.
 — — Fontanascher Raum XIX, 174.
- Cypris*, Genese der Samenkörper X, 497.
- Cypselus apus*, Retina XII, 779.
- Cystenbildung bei *Labyrinthula macrocystis* III, 305.
- Cystenbildung bei *Clathrulina elegans* V, 472.
 — bei *Chromulina nebulosa* VI, 5 43.
 — bei *Amoeba terricola* X. Suppl. 31.
 — bei *Chlamydothryx stercorica* XII, 43.
- Cystenhaut, Bildung, Vergleich mit Follikelhaut XII, 799, 800, 820.
- Cysticercus taeniae gracilis*, freie Cestodenarme des Barsches VIII, 535.
- Cystophrys Haeckeliana* X. Suppl. 4, Bau 6, Schale 8, Cystophryszustand 7, Protoplasmakörper 10, Pseudopodien 10, Kern 11, contractile Blase 12, Pseudopodien 12, Physiologie 16, Ortsveränderungen 16, Nahrungsaufnahme 16.
 — *oculea* X. Suppl. 144.
 — — Vergleich mit *Acanthocystis spinifera* XI, 15.
 — — Ursprung für *Diplophrys Archeri* XI, 129.
- Cytoblasten VIII, 62.
- Cytoide Körper, Vorkommen XX, 426.
- Czernysche Macerationsflüssigkeit zur Untersuchung der Entwicklung der Muskeln und Nerven der Amphibien und Reptilien XI, 448.

Dactylosphaerium vitreum X. Suppl. 54, Bau, Pseudopodien 55, Bewegung 55, Vergleich mit *Amoeba radiosa* 56 und *Mastigamoeba aspera* XI, 584.

Dacypus novemcinctus, Haut ausgewachsener XIII, 249, Panzer 250, Hautschuppen, Anlage 251, Furchenschuppen 250, Gürtel 250, Hautknochen 250, Bau 251, Ernährungslöcher 251, Osteoblasten 254, Ursprung 255, Betheiligung an der Knochengrundsubstanz 255, Sharpey'sche Fasern 254, Ossificationsprocess, Epidermis, Pflasterepithel 251, Zellen 252, Haare 253.

Dämpfe, Untersuchung glühender VII, 227.

Dahlia, Anwendung in mikroskopischer Technik XIII, 263.

Daphniden, Hüllen der Geschlechtsstoffe, Vergleich der männlichen und weiblichen XVIII, 55.

Dapidius granulatus, Deckknochen der Mundhöhle, Beziehung zu

- den Deckknochen des Schädels XI. Suppl. 186.
- Darm von *Amphioxus lanceolatus* XII, 319.
- der Fische, Schleimhaut XIII, 651, Untersuchungsmethode 652, Litteratur 654, Blutgefäße 683.
- der Fische, Phylogenie XIII, 689.
- von *Anodonta*, Flimmerzellen XIV, 392.
- Darmanlage bei *Molgula simplex* VIII, 370, 373.
- bei *Nassa mutabilis* XIII, 114.
- bei *Fusus* sp. XIII, 129.
- Darmbildung bei *Ascidia canina* VI, 147.
- Darmblatt, Anlage bei der Unke IX, 411, beim Hühnerei X, 171.
- Darmcanal der Mollusken, Wimperepithel II, 469.
- der Vögel, Lymphnetze III, 417, Chylusbahnen 420.
- Entwicklung bei *Bombinator igneus* V, 110.
- Bildung bei den einfachen Ascidiern VII, 123.
- bei *Natica* XIII, 147.
- Doppelfärbung XV, 35.
- bei *Trichonisciden*, XIX, 618.
- Darmdrüsenblatt, Anlage bei *Nassa mutabilis* XIII, 110, bei *Torpedo* XIII, 472.
- Darmdrüsenblattrohr, erste Anlage beim Stolo von *Pyrosoma* XIII, 472.
- Darmdrüsenewebe bei Muscheln XIII, 849, Zellen.
- Darmfaserplatte beim Hühnerei, Antheil an der Bildung der Herzwand XVI, 587.
- Darmhöhle, embryonale bei *Torpedo* XIII, 472.
- Darmöffnungen der Echinodermen und Axen-Verhältnisse XII, 605, Vergleich der Entwicklung und Aussackungen 608.
- Darmrohr, Ganglien XI, 480.
- Zusammenhang mit Nerven bei Vertebratenembryonen XIII, 194, bei *Acanthias* 194, *Acipenser* 195, Unke 196, *Ascidien* 197.
- Darmschenkel von *Distomum Westermanni* XIX, 550, Basalmembran 550, Muskelschicht 550, Epithel 551, Körnerkolben 552, Bau und Bedeutung, Fähigkeit der Nahrungsaufnahme 553.
- Darmschlauch, Bildung bei *Phalusia canina* V, 460.
- Darmsystem beim Stolo von *Pyrosoma* XI, 603.
- Darmzotten, Epithel VIII, 148.
- Daumenschwiele, Cuticularbildung bei *Rana platyrhinus* XII, 125 und *esculenta* 125, *Bufo vulgaris* 125, *calamita* 126 und *variabilis* 126, bei *Bombinator igneus* 126.
- Daumenwarze des Frosches, nervöse Zellen der Papillen XIX, 526.
- Davinella aurea*, Schwamm mit sternförmigen Hornnadeln I, 344, Fasern 345, Hornnadeln und Verzweigungen 348.
- Decapoda, Gehörorgane V. Suppl. 88, Vergleich mit den Octopoden, Zoospermien 97.
- Keimbläschen XVII, 555.
- Deckknochen des Unterkiefers bei Amphibien XI. Suppl. 24, bei *Siredor* 26, *Triton* 27, *Salamandra* 27, *Rana esculenta* 28.
- der Anuren, Entstehung XI. Suppl. 136.
- der Mundhöhle bei Amphibien, Ursprung XI. Suppl. 151, phylogenetische und ontogenetische Entwicklung 156, Anzahl und Lage der Knochenstücke 159, 160, Veränderung im Zahnbesatz.
- der Mundhöhle der Amnioten, Beziehung zur embryonalen Zahnentwicklung XI. Suppl. 181.
- der Mundhöhle, Beziehung zu den Deckknochen des Schädels XI. Suppl. 183, 191 bei *Polypterus bisehir* 183, *Macropoma* 185, *Hypostomus* und *Loricaria* 186, *Dapidius granulatus*, *Megalichthys*, *Diplopterus* und *Haloptychius* 186.
- Decticus, Kerne der *Muscularis* des Rückengefäßes IX, 139.
- Degeneration, optische Erscheinungen bei den Nerven II, 35, beim Kaninchen 40, Verlauf 41.
- von Nerven XIII, 422.
- zerquetschter Nerven XVIII, 302, periphere 310, centrale 324.
- fettige, des Muskelgewebes, hervorgerufen durch *Argentum nitricum* I, 416.
- fettige, der Drüsenzellen des Froscheleiters XI, 377.
- fettige, der Eifollikel XIX, 491, des Eies 494.
- fibrinoide, bei Entzündungen, Bedeutung XVIII, 137.
- Degenerationsknötchen bei Degeneration der Nervenzellen II, 37.

- Degenerationskügelchen bei Nerven-
degeneration II, 36.
- der Ganglienkörper des Sympathicus X, 216.
- Courvoisier'sche, der Ganglienkörper der Spinalganglien XI, 159.
- Delphinus, Labdrüsen des Magens III, 178, Zellen.
- Demascella vagabunda, Vorkommen von Nesselzellen VIII, 283.
- Dendrocoelum lacteum, Nebenaugen XX, 164, 166.
- Dentale bei Siredon XI. Suppl. 26.
- Anlage bei den Urodelen XI. Suppl. 103, 104, Entwicklung 108.
- bei Anuren, Anlage XI, 137.
- bei Forellenembryonen, Entstehung durch Verschmelzung der Zähne XI. Suppl. 176.
- Dentin des primitiven Urodelenzahnes XI. Suppl. 98.
- des Haifiszahnes XI. Suppl. 65.
- Veränderungen bei unvollkommen gebildeten Zahnwurzeln XV, 366.
- des Hechtzahnes XX, 385.
- Dentinbildung, Verhalten zu den Odontoblasten XIX, 703.
- bei Trygon XX, 250.
- bei Spinax acanthias XX, 258.
- Dentinkeim der Ersatzzähne bei Salamandra maculata XI. Suppl. 73.
- der Zähne der Anuren XI, Suppl. 139.
- Derotremen, Quadratknorpel des Primordialcraniums XI. Suppl. 10.
- Knochen des Gaumenbogens 17, Fehlen des Os palatinum, Anordnung der Zähne auf den Knochen der Mundhöhle 37.
- Detritusbildungen im Blute I, 38, in einer alveolaren Gallertgeschwulst I, 341.
- Deutoplasma des Reptilieneies VIII, 431.
- Furchung bei Insecten XV, 635.
- Diaspis, Speicheldrüse des Verdauungskanal XIII, 61, unpaarige 76.
- Diatomeen, Protoplasmabewegungen 395, Bewegung I, 376, durch Stoffwechsel 378, Körnchenbewegung 385, 392, Raphe im Kieseltubus 387, 391, Typen 394, hyalines Protoplasma 392, Nahrungsaufnahme 394, Stellung im Weltreiche 400, 162.
- Probeplatte V, 291, Typenplatte 293.
- Polarisationserscheinungen VI, 503, Untersuchung im reflectirten Licht 501.
- Diatomeen, Vergleich mit Puxidicula operculata X. Suppl. 104.
- bilaterale II, 291.
- Dickdarm, Epithel III, 189, Becherzellen 190.
- Didelphys, embryonale Entwicklung der Milchdrüse XX, 493.
- Didemnum styliferum X, 443, Beschreibung, Knospung 447, Theilung 449, Weiterentwicklung 450 und Anlage der Organe, Kiemensack, Darm 451, Nervensystem 451, Muskelfäden, Entstehung 455, Herz 452, Kiemenspalte 455, Leibesöffnungen 453, Endostyl 456, Geschlechtsorgane 454.
- — Vergleich mit der Entwicklung bei Pyrosoma XI, 601.
- Didymgläser, Wirkung VII, 222.
- Diffugia X. Suppl. 105.
- acropodia X. Suppl. 107, Schale, Pseudopodien, Bewegung und Beziehung zu Radiolarien 108, — enchelys X. Suppl. 117, 118, 119, XI, 105.
- spiralis X. Suppl. 106.
- — Bau XVI, 193, Fundort 194.
- Solowetzki, Bau XVI, 194, Fundort 194.
- symmetrica — Quadrula symmetrica.
- Diffugiidae XIII, 26.
- Dinophrys arctica, Bau XVI, 177, Fundort 178.
- Dintenfisch — Sepia.
- Diodon, Untersuchung von Knochen der Mundhöhle gleicher Entstehung XI. Suppl. 171.
- secundäre Wirbelkörper XVI, 127.
- Diplophrys Archeri X. Suppl. 139, 145, Pseudopodien 140, Kern 141, mit contractilen Blasen, Hüllen, Entwicklung 141, Beziehung zu Acanthocystis spinifera 143, XI, 15.
- — XI, 127, Weichkörper mit Oeltropfen 128, Colonienbildung und Abstammung von Acanthocystis spinifera und Cystophrys oculatea, 128, 129, 130.
- stercorea, Bau XII, 44.
- Diplopoden XIV, 6 Anlage der Keimblätter, Litteratur 7.
- Dipneusten, Mundhöhlenskelett XI. Suppl. 166, Knochen gleicher Entstehung 169, 175.
- Dipnoi, Schleimhaut des Oesophagus XIII, 663.

Dipnoi, Histologie der Schuppen XVIII, 122, Seitenorgane XVIII, 365.

Diptera, Fettkörper IX, 178.

— Bau des Muskels IX, 494, Kern, Nerveneintritt und Endigung 497.

— Genese der Samenkörper X, 497.

— otocystenartige Sinnesorgane in den Antennen XVI, 37, Riechorgane 46.

— porifere Vorkommnisse der Chordotonalorgane an den Vorderflügeln XX, 595, Homologie zwischen Chordotonalorganen der Halteren und Hinterflügel XX, 615.

Discus proligerus im Wirbelthiere VIII, 17.

Distomum cylindricum, Schwinden des Keimflecks negirt XIII, 396.

— Westermanni, in den Lungen des Königstigers XIX, 529, Bau, mikroskopisch 530, Litteratur 532, Rindenschicht 531, Cuticula 531, Epidermis 531, Basalmembran 532, Hautmuskellage 537, Ringsfaserschicht, Längsfasern, Diagonalfasern 537, Hautdrüsenlage 538, Bau, Litteratur 538, Saugnäpfe, Bau 539, Muskelanordnung 539, Mittelschicht 540, reticuläres Bindegewebe derselben 540, 543, Zellen 542, Parenchym- oder Dorsoventralmuskeln 544, Nervensystem 544, Gehirn 544, Nervenstämmen 545, Ganglienzellen um den Pharynx 547, Verdauungsapparat 548, Vorhof mit Muskeln 549, Pharynx 549, innere Aequatorial- oder Radiärfaserschicht 549, äussere 550, Meridionalschicht 550, Oesophagus, Basalmembran 550, Muskelschicht 550, Darmschenkel, Basalmembran 550, Muskelschicht 551, Darmepithel 551, Körnerkolben 552, Bau und Bedeutung, Fähigkeit der Nahrungsaufnahme 553, Speicheldrüse 455, Excretionsapparat 555, Centralheil 555, Fortpflanzungsorgane 557, Sinus genitalis 557, Porus genitalis 558, Geschlechtsorgane, männliche 558, Hoden 558, Keimlager 559, Ursamenzelle 559, Follikelzelle 560, Samenfäden 560, Samenleiter 560, Samenblase 561, mit Epithel 561, Ductus ejaculatorius 561, Geschlechtsorgane, weibliche 562, Eifeld 562, Keimstock 562, Wandung 563, Keimgang 563, Keimlager mit Zellen 563, Dotter-

säcke 563, Dotterblase 564, Dottergang mit Epithel 564, Dotterzelle 565, Dotterballen 565, Uterus 566, Laurer'scher Gang oder Stieda'sche Scheide 567, 571, Receptaculum Seminis 567, Eibildungsraum 568, Schalendrüse, Bau 568, Secret 568, Befruchtungsvorgang 569, Art der Begattung 573.

Doppellauge bei Polycelis nigra XX, 172.

Doppelbrechung des Horngewebes XI, 661, der Knochenmasse 664, 674, der Fingernägel 664, der Hornschuppen der Reptilien und Fische 667, der Loricaten (Alligator lucius) 669, Serpentes Eyrystoni (Tropidonotus, Coluber natrix) 670, Malacopterygii abdominales (Corregonus, Maraena) 670, (Cyprinus carpio 671, Malacopterygii iugulares (Lepidolepsus tachyrhynchus) 671, Acanthopterygii Gobiacei (Blennius Gallonagine) 671, Labrini (Labrus turdus) 671, Sparini (Spurus Keffrei) 671), Percacei (Mullus barbatus) 672), Scleropacei (Scorpaena scropha) 672, Scrombini (Scomber) 673, Mygiloides (Mugil cephalus) 673, der Knochenchuppen von Fischen 674, bei Polypterus bischir 674, 680, des Querschnittes vom Froschenkel XI, 676, des Scheitelbeins vom Sperling 678, des Pferdeshulfschliffes 679, Präparationsweise 682. — unendlich dünner Oberflächenschicht XV, 101.

Doppelfärbung XV, 30, mit Eosin und Aniligrün, Einwirkung auf Zellen 33, Haut 34, Muskeln 34, Knochen 34, Knorpel 35, für den Ossificationsprocess 34, Nervensystem 35, Darmcanal 35, Leber 36, Respirationsorgane 36, Harnorgane 37, männliche Geschlechtsorgane 37, Spermatozoen 37, Blutgefässe 38, Blutgefässdrüsen 38, Sinnesorgane 38.

Doppelschutz-Canüle zur Injection von Gelenken XII, 661.

Dorcus, Muscularis des Rückengefässes IX, 137.

Doris, Haut V. Suppl. 53, becherförmige Sinnesorgane 83.

Dornfortsätze der Wirbelsäule der Ganoiden XV, 446.

Dornhai — Spinax.

Dorsch — Gadus callarias.

- Dorsoventralmuskeln von *Distomum Westermanni* XIX, 544.
- Dorthisia* XIII, Fundort 32, Mundtheile 34, 37.
- Vagina des Schnabels 44, Speicheldrüse 59, 64, Bau 73, Kerne 73.
- Malpighische Gefäße XIII, 80, Zellen 81.
- Dotter, gelber II, 517.
- weisser II, 518.
- bei Knochenfischen XV, 406.
- des reifen Säugethiereies XIX, 489.
- Dotterballen der Insecten XVII, 49, Centralräume 51, Vergleich mit den intravitellinen Elementen 53.
- bei *Distomum Westermanni* XIX, 565.
- Dotterbildung beim Reptilienei VIII, 221.
- beim Batrachier XV, 399.
- Dotterblase bei *Distomum Westermanni* XIX, 564.
- Auftreten bei Knochenfischen IV, 226.
- Dotterelemente XVI, 572, Beziehung zu Zellen des Keimwalls, Entwicklung und Ursprung XIX, 476, Betheiligung der Granulosazellen 476, Diffusion, Bedeutung 477.
- Dotterfurchung bei *Nassa mutabilis* XIII, 97, Vergleich mit *Modiolaria marmorata* 104, mit *Limnaeus stagnalis* 105.
- Dottergang bei *Distomum Westermanni* XIX, 564, Epithel.
- Dotterhaut VIII, 398, beim Huhn 399, Säugern 401, Fischen 401, Reptilien 403.
- Ursprung der *Zona radiata* 400, *Z. pellucida* 401.
- der Knochenfische VIII, 418.
- des Reptilieneies VIII, 231.
- Auftreten bei der Forelle IX, 692.
- des Eies bei *Anodonta* X, 262.
- bei Batrachiern XV, 402, Knochenfischen 407.
- Dotterkerne des Reptilieneies VIII, 225.
- Dotterkörner des reifen Säugethiereies XIX, 489.
- Dotterkugeln im Keimwall beim Hühnerrei XVI, 569.
- Dotterloch beim Stichling, Embryo, Verschwinden II, 476.
- Dotterplättchen bei *Torpedo oculata* XI, 577.
- bei *Siredon pisciformis*, Bedeutung XIII, 757, anormale 758, normale Veränderung 760, formative Differenzirungsrichtung 762, Auftreten eines kugelförmigen Netzgebildes 763, Stäbchen und Fäden 765, Neubildung der Zellkerne der Embryonalzelle aus — 772.
- Dottersack der Knochenfische, Blutbildung XIX, 144.
- Dotterstöcke bei *Distomum Westermanni* XIX, 563.
- Dottertheilung beim Hühnerrei X, 147.
- des Eies als Folge von Anziehungskräften XV, 108.
- Dotterwall bei *Torpedo* XIII, 467.
- Drachenfisch — *Trachinus*.
- Drachenkopf — *Scorpaena*.
- Drüsen, Binde substanz V, 334, sternförmige Zellen 336, Rundzellen 345, *Membrana propria* 352.
- Bau und Thätigkeit XIII, 721, Fermentbildung in — 721, Untersuchungsmethode 721.
- Bau und Thätigkeit XV, 119, Fermentbildung 119, Nachweis durch Ueberosmium 120, Aenderung des Fermentgehaltes nach Hunger oder Sättigung 126.
- Pepsingehalt, Messung XV, 129.
- sternförmige Zellen der *Membrana propria* XV, 200.
- Bau und Thätigkeit XVI, 532, Fermentbildung 532, 538.
- acinöse, sternförmige Zellen IV, 146, Epithel 147, in den *Papillis vallatis* 157.
- des Harnleiters XIII, 17, Entartung 18, beim Pferd 18, Function 19.
- der Amphibienhaut XII, 197, schlauchförmige bei *Triton* 201, *Salamandra maculosa* 201, Histologie 202, Bindegewebe 202, Pigment 202, Muskellagen 203, bei *Salamandra maculosa* 204, Spindelzellen 204, bei *Bufo vulgaris* 205, *Bufo cinereus* 206, *Bufo calamita* 206, Epithel 209, Cylinderzellen 209, Riesenzellen bei *Salamandra maculosa* 210, *Triton* 211, Secret bei *Bombinator igneus* 214, *Bufo vulgaris* 214, *Bufo variabilis* 217, *Rana typhonica* 218, Bedeutung 218.
- der Amphibienhaut, Bau und Bedeutung XII, 238.
- appendiculäre, pancreatische

- des Kanichens XIII, 753, Pepsin-
zellen 754.
- Drüsen der Augenlidbindehaut
des Menschen III, 361.
- Bauchspeichel — Pancreas.
- Blutgefäß-, hämoglobinhaltige
Zellen XIV, 381.
- — Doppelfärbung XV, 38.
- Brunner'sche, Vorkommen VIII,
97, im Duodenum, Ausführungsgang
100, Vertheilung der Drüsenzellen
beim Schwein 100 und Hund 115,
Veränderung der Drüsenzellen durch
Essigsäure 107, durch Chlorwasser-
stoffsäure 108, Kalilauge 108, Jod
109, Müller'sche Flüssigkeit 109,
Keulenzellen beim Hund 115, Mem-
brana propria, Beziehung zum
Lymphgefäßsystem 126, Blutge-
fäße 129, Vergleich mit anderen
Verdaungsdrüsen 130.
- — VIII, 279.
- Brust- weibliche, Histogenese
XX, 145, Epidermis und Cutis, Zu-
sammengehörigkeit 145, Unter-
suchungsmethode 148, Epithelien
149, 155, Bindegewebszellen 149,
Bildung der Acini 150, beim Ka-
nichen 148.
- — einer schwangeren Frau
XX, 153, Epithel 153, jungfräuliche
155, eines neugeborenen Knaben 157,
bei stillenden Frauen 157.
- der Darmschleimhaut von
Salamandern, Karyokinesis XX, 141.
- Daumen- von *Rana esculenta*,
Cuticularbildung V, 298.
- des Duodenum vom Kanichen
vom Bau des Pancreas VIII, 93.
- des Eileiters vom Frosch XI,
372, Drüsenzellen 372, Colloidkugeln
373 und ihr Einfluss auf die Imbi-
bitionsflüssigkeit, Kerne 375, Zell-
membran 376, Bedeutung bei Be-
reitung der Gallerte 377, Rückbil-
dung durch fettige Degeneration
der Drüsenzellen 377.
- einzellige bei Trichonisciden
XIX, 603, Function 606.
- der Epidermis, Zellen beim
erwachsenen Landsalamander XII,
145.
- Farb- in der Haut der Land-
gasteropoden V. Suppl. 56.
- Fundus- der Magenschleimhaut
des Menschen XX, 223, Drüsenaus-
gang 223, Drüsenhals 226, Drü-
senkörper 226, Belegzellen 224, 226,
227, 228, Hauptzellen 226, 227.
- Drüsen, Fuss- von *Loxosoma*, XII,
5, Entwicklung 10.
- Geschlechts-, Entwicklung bei
Bombinator igneus V, 107, 109.
- — Beziehung zur Körperhöhle
bei *Amphioxus lanceolatus* XIII,
193.
- — Anlage bei Batrachiern, XV,
390.
- — Entwicklung bei Batra-
chiern (*Rana fusca*) XIII, 2, Ge-
schlechtszelle 3, Peritonealzelle 3,
Anlage und Weiterentwicklung.
Entwicklung bei *Bufo cinereus* 9,
weibliche 11, männliche 14, maul-
beerförmige Kernteilung bei Ent-
wicklung 8, Keimepithel, Auftreten
10, Eibildung, Hoden, Verbindung
mit der Urniere 15, der *Telostier*
(Forelle) Entwicklung 21, 23, bei
Tinea chrysis 28, bei *Abramis*
bram, Entwicklung und Beziehung
zur Körperausbildung 30.
- — Analogie XVIII, 102.
- Gift- der Giftschlangen IX, 619.
- — der *Vipera ammodytes* IX,
627, Lage zu den Muskeln 628, Se-
cret 628.
- — der Ophidier IX, 641.
- — feinerer Bau bei *Naja haje*
XI, 561, Bindegewebe derselben 564,
Nervenfaser 565, Cylinderepithel
565, accessorische Schleimdrüsen als
Theil derselben 566, 567, Epithel
566, Ausführungsgang 567.
- Harderianische — Nickhaut-
drüse bei *Tropidonotus* natrix.
- Haut- in den äusseren Bedeck-
ungen der Anneliden I, 257.
- — von *Phreoryctes Menkeana*
I, 257.
- — der Fische III, 161.
- — Muskelemente der — IX,
635.
- — Nerven bei Insecten XII,
542, bei *Cossus ligniperda* 542, *Sat-
urnia Pernys* 543, *Phalaena hebrici-
pices* 543.
- — bei Trichonisciden XIX, 602.
- — der Salamandrin, Karyo-
kinese im Epithel XX, 141.
- — knäuelartige der Katze
XX, 109, Litteratur 109, am Ballen
der Katze 110, Vertheilung, mikros-
kopischer Bau 111, Epithelialzelle
111, Tunica propria 112, Ausfüh-
rungsgang 112, an behaarten Stellen
113, Bau, Epithelialzelle 114, Tunica

- propria 114, Ausführungsgang 115, Veränderungen während der Thätigkeit 117, 119, Litteratur 117, Untersuchungs-methode 118, Veränderung der Zellen 119.
- Drüsen, Hauttalg-, der Fischoberhaut III, 160.
- Keim-, bei *Torpedo oculata* XI, 572.
- Knäuel-, der Augenlidhaut und *Caruncula lacimalis* XIII, 794.
- Kopf-, von *Tropidonotus tessellatus* IX, 111.
- von *Coronella laevis* IX, 612.
- von *Coluber carbonarius* und *viridiflavus* IX, 615.
- der Giftschlangen IX, 617.
- der *Vipera ammodytes* IX, 627.
- einheimischer Ophidier IX, 598, allgemeiner Bau 629, bindegewebiges Gerüst, Eintheilung nach Bestimmung, Epithel, Bau 630, Intercellulargänge zwischen dem Epithel 632.
- Lab-, des Magens III, 177, des Delphins 178.
- Bau VI, 368, des Hundes, hungernd 370, Ausgang 371, Hals 371, Körper 371, Hauptzellen 372, Belegzellen 372, 537, Zellen 370, unverändert 376, mit *Aqua destillata* 376, Alkali 376, Säuren 377, *Ueberosmiumsäure* 378, doppelt-chromsaurer Kali 378, Schlauchmembran 378 und Zwischengewebe, Verschiedenheiten in verschiedenen Theilen des Magens 380, des gefütterten Thieres 381, der Katze 391, bei Pflanzenfressern 391, Schwein 393, Frosch 394, blasige Zellen 395, Triton 396, Untersuchung mit *Carmin* 402, mit *Anilin* 404, Hauptzellen, Verwandtschaft mit den Drüsenzellen der Magenschleimdrüsen 524.
- VII, 239, Vorkommen der Belegzellen in den Cylinderepithelien 240, Fortsetzung der Hauptzellen bis an das innere Schaltstück, Bedeutung 240, Veränderung durch Verdauung 241, beim Schwein, Lage der Belegzellen im mittleren Theile 242.
- des Magens der Fische, Auftreten XIII, 663, Anordnung und Form 665, Epithel 667, bei *Perca fluviatilis* 668, Differenzirung von Haupt- und Belegzellen 668, bei Teleostiern 669.
- Drüsen, Lab-, XIII, 732, Litteratur über Fermentbildung, Behandlung mit *Ueberosmiumsäure* 743, Zelle 744.
- der Säuger, fermentbildende Zellen XIII, 750.
- Lieberkühn'sche, Epithel III, 191, Becherzellen 191.
- VIII, 135, Drüsenzellen VIII, 136, *Membrana propria* 138.
- Lippen-, des Menschen, Verbindung zwischen Alvéolen und Ausführungsgängen VIII, 501.
- von *Tropidonotus tessellatus* IX, 611.
- bei *Coronella laevis* IX, 612.
- der Giftschlangen IX, 617, Lymphräume 618.
- der *Vipera ammodytes* IX, 628.
- einheimischer Ophidier IX, 639.
- Lymph-, Plasmazellen XIII, 275.
- lymphoide auf der Oberfläche des Herzens bei *Acipenser sturio* IX, 63, Vertheilung 64, Bau 65, Endothel 67, Stützsubstanz 67, Reticulum, Beziehung zu den Blutgefäßen 69, Zellen und ihr Bau 69, Blutgefäße, Ursprung von der Art. *coronaria* und *mammaria*, Verästelung 71, Venen, Verlauf 71, Entwicklung 72, Bildung der Umhüllungsmembran 75.
- Magen-, vom Frosch XIV, 187, Epithel, Schleimzellen 191.
- bei *Hyla arborea* XIV, 195, bei *Bufo* 197, Drüsenzellen 197.
- Pepsinbildner in denselben XV, 124.
- Hauptzellen, Bedeutung XVI, 541.
- XVII, 202, Untersuchungsmethode, Einwirkung von *Osmium* 203, auf Elemente der Drüsen, Belegzellen 205, Uebergang in Hauptzellen 206.
- Magenschleim-, zur Lehre vom Bau und physiologischer Bedeutung VI, 515, Lage in der *Regio pylorica* 516, 517 und Bau 523, Epithel 524, Drüsenzellen, Verwandtschaft mit den Hauptzellen

- der Labdrüsen 524, Bau nach Hungerkur 528 und bei Verdauung, nach Schwammfütterung 530, physiologische Bedeutung 532.
- Drüsen, Magenschleim-, Kanälchensystem VIII, 124, Drüsenzellen 125, 132.
- der Fische, Ursprung XIII, 690.
- Mantel-, der Muscheln XIII, 847.
- der Mollusken V, Suppl. 92.
- Montgomerysche beim Menschen XX, 470.
- Milch-, embryonale Entwicklungsgeschichte XX, 431, beim Kaninchen 433, hügelartige Anlage 434, linsenförmige Anlage 436, Warzenzone, Auftreten 437, Entwicklung 448, zapfenförmige Anlage 437, kolbenförmige Anlage 439, Knospenbildung 441, primäre Epithelanlage 435 (Rückbildung), sekundäre Epithelanlage 441 (weitere Entwicklung 444), Drüsenstroma 443, weitere Entwicklung 449, Kanalisierung 446.
- beim Menschen XX, 456, kolbenförmige Anlage 457, Sprossenbildung 459, Rückbildung der primären Epithelanlage 460, Brustwarze, Anlage 462, Kanalisierung 463, Kanäle, Eintheilung 465, Warzenzone 468, Drüsenstroma 469, Fettpolster 469, Drüse 470.
- bei Wiederkäuern XX, 471, hügelartige Anlage 471, linsenförmige Anlage 472, zapfenförmige Anlage 473, kolbenförmige Anlage 474, Warzenzone 473, Rückbildung und Weiterentwicklung 475, 477, Sprossenbildung 476, Zitenerhebung 480, Stromazone 481, Fettpolster 481. Haarbildung auf der Zitze 482.
- beim Schwein XX, 482, sekundäre Epithelanlage 484, bei *Mus domesticus* und *Mus decumanus* 487, Mammatasche 487, bei der weissen Ratte 488, der weissen Maus 489, Meerschweinchen 489, beim Maulwurf 490, Igel 491, Katze 492, Hund 493, Beutelhier 493, Didelphys 493, Känguruh 495, Mammataschenanlage 496.
- Mundspeichel-, Anfänge der Speichelgänge VIII, 498, 508.
- im Muskelmagen der Vögel, feinere Structurverhältnisse VIII, 435, Untersuchungsmethode 438, Bau 438, Reticulum 439, Secretbüschel, Bedeutung 439 und Beziehung zu den Secretzellen, bei Querschnitten 450, Pilasterepithel der Drüse 446, Cuticularbildung derselben; Querschnitte der Drüse bei Columba 448.
- Drüsen, Nasen-, der Schlangen VIII, 326.
- bei *Tropidonotus natrix* IX, 605, bei *Coronella laevis* 613, *Coluber carbonarius* und *viridiflavus* 616, bei Giftschlangen 618, bei Ophidiern, Entstehung 641.
- Nickhaut-, bei *Tropidonotus natrix* IX, 609, Litteratur, Lage, Form 610, Mündung 611.
- von *Tropidonotus tessellatus* IX, 611, bei *Coronella laevis* 614, *Coluber viridiflavus* 615, *carbonarius* 616, der Giftschlangen 618, der Ophidier 644.
- des Nierenbeckens IX, 653.
- Oberlippen-, von *Tropidonotus natrix* IX, 600, gelblicher Theil 600, zellige Elemente, Drüsenkörner 601, Ausführungsgang, Epithel 602, graue Portion 602.
- von *Coronella laevis* IX, 612, *Coluber viridiflavus*, *carbonarius* 615.
- des Oesophagus und Magens, Verhalten zu Nervenendigungen XI, 488, 492.
- vom Frosch XIV, 183, acinöse, Drüsenzellen 183, Aenderung nach physiologischer Thätigkeit 185, Epithel des Ausführungsganges 184.
- Orbital-, Bau der ruhenden XIII, 288, Untersuchungsmethode 289, Zellen 289, Einfluss von Reagentien 295, Chlorgold 296, Schleimzellen 290, schleimige Substanz 292, protoplasmatische Substanz 291, Kerne 293, Lunulazellen 294, Zellcomplex, Primitivzellen 294, 299, Lunulae 294, Arten 297, vielkernige Zellen und Entwicklung der Lunulae 300, Weiterentwicklung 301, Keimlunulae 300, Ursprung der vielkernigen Drüsenzellen, Vertheilung und Beziehung zur Umgebung 302, Pseudolunulae 302, intraalveoläre Bildungen, Bedeutung 304, 306, Zusammenhang mit Secretionskanälchen 310, Lunulasprossen, echte 304, grössere Kanälchen 312, Stäbchenepithel 312, Membran der Gänge und Alveolen 314, Korbzellen oder ästige Membranzelle 315, centroacinäre Zelle, Vorkommen 316, andere ästige Zellen 317, Zwischen-

- gewebe 317, Lymphzelle 317, Plasmazelle 318, Nerven und Endigung 318, Veränderung der Lunulae und Schleimzellen bei ruhender, etwas secretirender Drüse 320, Bau und Function der gereizten Drüse 321, Art der Reizung 321, Einfluss von Infusum Jaborandi 321, Reizung des N. buccinatorius und morphologische Veränderungen 326, erstes Stadium der Veränderung; makroskopisch 327, Schleimzellen, Kerne 327, Lunulae, Ausprägung 327, zweites Stadium 328, Lunulae, Anschwellen und Verschwinden 328, Schleimzellen, Verkleinerung 329. Substanz der Drüsen 329, Ansammlung v. Leucocyten, Bedeutung 329, makroskopisch 330, letztes Stadium 330, Lunulae, Verschwinden 330, Zellen ohne Schleim 330, Streifung derselb. 332, Neubildung der Elemente 332, Primitivzelle 333, der vielkernigen 333, Schleimzellen 334, Epithelzelle der Gänge 334, Veränderung bei reflectorisch gereizter Drüse 334, Schleimbildung durch Untergang der Schleimzellen 336, Lunulae, Neubildungsmaterial für die untergegangenen Schleimzellen 341, Schleimmetamorphose der aus den Lunulae hervorgegangenen Zellen 343, Lunulae, Theilnahme an der Neubildung von Acinis 344, Schleimbildung und Theilnahme der Schleimzellen 345, Kritik anderer Forscher 345, Theilnahme der Leucocyten 350, Drüsenveränderung beruhend auf Schleimentziehung 351, nervöser Einfluss und morphologischer Vorgang, Beziehung zu einander 355.
- Drüsen des Ostium pharyngeum laryngis XI, 500, 503, 506, des Pharynx 505.
- Pepsin-, einfache und zusammengesetzte, Wesen VI, 538.
 - pepsinbereitende des Oesophagus der Batrachier XIII, 746, Veränderung 748, Zellen, Beziehung zur Fermentbildung 748.
 - Pylorus-, XVI, 536, Schleimzellen 537, Pepsinzellen 538.
 - — der Magenschleimhaut XX, 231, Hauptzelle 231, 240, Belegzelle 234, Nussbaum'sche Zelle 231, 234, 239.
 - Schalen-, bei Distomum Westermanni, Bau XIX, 568, Secret 568.
 - Schleim-, des Magens, Epithel III, 176.
- Drüsen, Schleim-, in der Haut der Landgasteropoden V, Suppl. 56.
- — des Magens, Bau und Function VI, 519, Epithel 524.
 - — der Lippen, Drüsenzellen VIII, 133.
 - — Bedeutung XIII, 285.
 - — Verhalten bei Reizung der secretorischen Nerven XIII, 335.
 - — des Magens der Fische, Ursprung XIII, 670.
 - — des Magens von Tropidonotus matrix XVII, 212.
 - — accessorische, zur Giftdrüse von Naja haje XI, 566, 567.
 - — der Schleimhaut der Augenlider III, 361.
 - Schnauzen- von Tropidonotus matrix IX, 603, Lymphraum 603, Pigment 604.
 - — von Tropidonotus tessellatus IX, 611, bei Coronella laevis 613, bei Coluber viridiflavus, carbonarius 615.
 - Schweiss- der Schleimhaut des Augenlides III, 363.
 - — des Igelohres VIII, 307.
 - — modificirte des Lidrandes, zur Kenntniss XIII, 783, Zahl und Anordnung 785, Bau 786, Endothelhäutchen 787 mit elastischen Netzen, glatte Muskelfaser 787, Enchymzellen 789, Vacuolenbildung 789, Ausführungsgang 790, Lumen 791, Epithel 790, Cuticula 791 — im embryonalen Leben 792.
 - seröse der Mundhöhle XIII, 285.
 - Sexual-, Verhältniss zur Urniere bei den Säugethieren I, 158.
 - Speichel- bei Phreoryctes Menkeana und Egelu I, 274.
 - — Endigung der Absonderungsnerven V 193, Behandlung mit Ueberosmiumsäure 193, Cylinder-epithelzelle der Ausführungsgänge und Beziehung zur Endigung der Absonderungsnerven 194, multipolare Zellen 198.
 - — der Cephalopoden V, Suppl. 95.
 - — d. Octopoden V, Suppl. 95.
 - — Nerven VI, 100, Verhalten der Gefässe 105, Cylinderzellen der Ausführungsgänge und ihre Beziehung zu den Nerven 111, sternförmige Zellen und ihre Bedeutung 112.
 - Drüsenzellen VIII, 134.

- Drüse, Speichel, Anfänge der Speichelgänge in den Alveolen VIII, 481, Untersuchungsmethode 482.
- der Muscidenlarven, Verhältniss zwischen Nerv und Drüsenzellen IX, 388, bei *Blatta orientalis* IX, 390, 393.
- der Cocciden XIII, 57, Literatur 57, Deutung bei *Lecanium hesperidum* 58, 59, *Dorthisia* 59, *Diaspis* 61, *Lecanium depressum* 62, Lage bei *Chionaspis* 63, 66, *Aspidiotus* 64, *Aphidien* 64, *Lecanium*, *Coccus*, *Dorthisia* 64, Nerven 66. — Form bei *Chionaspis* 66, *Tunica propria* 66, *Intima* 68, Zellen 67, Bau bei *Aspidiotus* 69, *Tunica propria* 69, Kern 70, *Intima* 70, bei *Lecanium* 71, Zellkerne 72, bei *Coccus* 72, *Dorthisia* 73, Kern 73, *Aphis Sambuci* 73, *Tunica propria* 74, Zellen 74, *Intima* 74, bei *Schizoneura Ulmi* 74, bei *Chermes Abietis* 75.
- unpaarige XIII, 76, bei *Diaspis* 76, *Chionaspis* 76, *Aspidiotus* 76, Lage 76, Histologie 77, 78, *Tunica propria* 78, Zellen 78.
- Anatomie und Physiologie XIII, 281, Bau der ruhenden 283, Einteilung 283, Stäbchenepithel der Gänge und Beziehung zur Reizung der *Chorda Tympani* 356, Muskelfasern und ihre Beziehung zur Drüse 359, Untersuchungsmethode 359, Härtung und Tinction 360.
- XIII, 723, Bau, eintretende *Septa* verbunden mit der *Membrana propria* 728, fermenthaltige Zellen 729.
- bei *Distomum Westermanni* XIX, 555.
- der Spiralklappe des Mitteldarms der Fische XIII, 679.
- Talg- des Haares, Bildung beim Embryo IV, 286.
- des Igelohres VIII, 306, Zellen des Ausführungsganges 307.
- der Haare, Beziehung zu den Straten der Epidermis XV, 53, Literatur 54, Ursprung aus der äusseren Wurzelscheide.
- Thränen-, Bau IV, 146, Epithel 147, sternförmige Zelle 147, Nervenendigung 148.
- der Säugethiere, Bau V, 338.
- beim Menschen V, 351.
- der Ophidier IX, 645, bei Eidechse 646, Blindschleiche 646, Krokodil 647.
- Drüsen, Thränen- morphologische Veränderung bei der Thätigkeit XVII, 12.
- Unterkiefer- beim Kaninchen V, 335.
- — beim Hunde V, 339, Bau, Epithelzellen 339, secretorische Thätigkeit 340, Matrix der secretirenden Zellen 341.
- — des Meerschweinchens V, 346.
- — des Menschen V, 348.
- — des Hundes, Anfänge der Speichelgänge VIII, 498, Bau der Alveolen 499 und ihre Verbindung zu den Ausführungsgängen 500, Bau der sogenannten Speichelröhren, beim Kaninchen 501, Injectionsversuche 503, mit Berliner Blau und Oelen 505, Schleimzelle, Ursprung 509.
- — Werth und Bedeutung XIII, 286.
- beim Kaninchen XIII, 724, Untersuchung ungeretzter 724 und geretzter 725, mit Ueberosmiumsäure, beim Schwein 726, Schleimzellen 727, beim Hunde 727, Lunulae, Vorkommen und Bedeutung.
- — des Rindes, Leistungsfähigkeit des Fermentes XV, 121, Ueberosmiumsäure, verschiedene Einwirkung auf thätige und ermüdete Drüsen 123.
- vom Kaninchen VIII, 543, Ferment.
- Unterlippen- von *Tropidonotus natrix* IX, 604, Ausführungsgang, Epithel, Lymphräume 605.
- von *Tropidonotus tessellatus* IX, 611.
- Unterzungen- von *Anguis fragilis* IX, 360.
- — bei *Tropidonotus natrix*, vordere IX, 606, Form, Ausmündung 607, Muskeln 608, hintere 608, Lage 609, Ausmündung 609.
- — Korbzellen oder verästelte Membranzellen XIII, 315, 316.
- Verdauungs-, Vergleich mit Brunnerschen Drüsen VIII, 130.
- Winterschlaf-, Beziehung zur Thymus XIV, 375, Bau der embryonalen 378, der erwachsenen 378, Nachweis von Hämoglobin durch Eosin 380, Zellen 381, Bedeutung, Literatur 387.
- Zungen- der Giftschlangen IX, 618.

- Drüsen, Zungen- der *Vipera amodytes* IX, 628.
- — — der Ophidier, Bedeutung IX, 640.
- Drüsengänge des Pancreas, Verästelung V, 406.
- Drüsenkörner der Oberlippendrüse von *Tropidonotus natrix* IX, 601.
- Drüsenlage der Haut von *Distomum Westermanni*, Bau XIX, 538, Litteratur 548.
- Drüsenöffnungen der Epidermis bei Amphibien XII, 146, 214.
- Drüsenparenchym der Leber der Kellerassel XVII, 397, Zellen 398.
- Drüsenschläuche und die Abschnürung Graaff'scher Follikel im Eierstock V, 445, Inhalt 447.
- des Hodens der Ratte, Epithelmembran XI, 307, grobgranulirte Zelle des Epithels 308, freie Kernbildung 315, Rundzellen 315.
- Drüsige Theile des menschlichen Hodens XIV, 23.
- Ductus cochlearis, Epithel, Beziehung zur *Crista spiralis* der Gehörschnecke VIII, 153, epitheliale Auskleidung 170.
- ejaculatorius bei *Distomum Westermanni* XIX, 561.
- endolymphaticus des häutigen Labyrinths der Batrachier XVII, 513, — im Gehörorgan der Ganoïden XVIII, 492, — des häutigen Labyrinths der *Chelonii* XX, 361, *Hydrosaurii* 349, *Saurii* 340.
- perilymphaticus des häutigen Labyrinths der Batrachier XVII, 514.
- pneumaticus des Magens der Fische XIII, 672.
- Dünndarmzotten, Epithel III, 179, Becherzellen III, 181 als Resorptions- und Secretionsorgane 184.
- Dujardin'sche *Seearctiscoiden* I, 434.
- Duodenum bei *Bombinator igneus* V, 111.
- des Kaninchens VIII, 93, Drüsen vom Bau des Pancreas, Brunner'sche Drüsen in denselben 97.
- Dura mater, Bau der Innenseite, Beziehung zur *Arachnoidea* IX, 331, 333, Beziehung zu den Hüllen der peripheren Nerven 335.
- Nerven XI, 231, Gefässnerven 233.
- Anlage bei *Plagiostomen* XV, 499.
- Dura mater, Blutgefäße, Communication mit dem Subduralraum XVII, 365.
- Dytiscus, Muskelfasern, Ruhestadium XIX, 665, Nebenscheiben, Werth 666, Contraction 670, Zwischenstadium 670, Randsaum der kinetischen Substanz 672.
- homotopische Convergenz mit den abdominalen Chordotonalorganen von *Corethra* XX, 625, Homologie mit den tarsalen Chordotonalorganen von *Melolontha* 624.
- marginalis, Tracheen in der Nähe des Herzens IX, 182.
- E**au de Javelle zur Corrosion anatomischer Präparate XVI, 474.
- Echinidae, feiner Bau der Muskelfaser V, 215.
- Echiniscus *Sigismundi* I, 428, Verbreitung und Vorkommen 428, Krallen 430, Haut 431, Abweichungen in der Organisation 432, Lebensweise 432, Wiederbelebung eingetrockneter Thiere 435.
- Echinodermata, feiner Bau der Muskelfaser V, 210.
- Vergleich mit der Entwicklungsgeschichte der *Comatula mediterranea* XII, 603, *Gastrula*, Veränderung 604, Darmöffnungen, Lage 605 und Axenverhältnisse, gastroaxialer $\frac{1}{2}$. ventroaxialer Typus 606, Vergleichung der Entwicklung des Darmes und dessen Aussackungen 608, Entstehung der Strahlform 612, Mundbildung 615, Ordnungsunterschiede in der Metamorphose der Larven 617, 630, Antimeren, Bedeutung 622, Tentakelanlage, Vergleich 625, Armbildung 626, Ubereinstimmung im Bau der — 628, Gemeinsames aller — und Verschiedenheiten 631, Bildungsreihe 631, genetische Beziehungen 632, Stellung zu Coelenteraten und Würmern 638.
- Hüllen der Geschlechtsstoffe, Vergleich der männlichen und weiblichen XVIII, 57.
- Befruchtung und Theilung des Eies XX, 1, Objecte und Methoden 3, Ovarialei, Kenntniss 8, Eikern, Wesen 10, radiäre Anordnung 11, Befruchtungsvorgang 13, Samenkern, Auftreten 14, Vereinigung des

- männlichen Kernes mit dem weiblichen 20, indirekte Theilung des Kernes 21, achromatische Figur 23, Aequatorialplatte 24, Theilung der Zellen 25, Strahlungen im Eiprotoplasma 30, Litteratur 36.
- Echinus miliaris, Befruchtung und Theilung des Eies.
— Echinodermata.
- Eckflügler — Vanessa.
- Ectoderm von Spongicola fistularis mit polygonalen Zellen und Nesselkapseln XIII, 806.
— von Tetrapteron volitans XV, 352.
— Tethya lynceurium XVI, 642.
- Ectoderm bildung beim Huhn XX, 186.
- Ectosark der Heliozoen und contractilen Vacuolen X. Suppl. 160, 161.
- Eldelfink — Fringilla caelebs.
- Egel — Hirundinea.
- Egelschnecke — Limax.
- Egybolis Vaillantina, Cylindergebilde des Rüssels XIV, 312.
- Ei, Bau des unbebrüteten II, 516.
— Vibrionen im — III, 331.
— Ursprung V, 448.
— Behandlung mit Ueberosmiumsäure X, 201.
— Vergleich mit Samenfollikel XII, 821.
— Ursachen der Dottertheilung XV, 108.
— Keimbläschentheorie XVII, 43, 551, primäre und secundäre Zellen 552.
— Reife XIX, 474, Eintritt fester Stoffe 478.
— von Amphioxus, Auftreten von Furchungskugeln VI, 129.
— von Amphioxus lanceolatus, homolog dem Spermatoblast XII, 333.
— von Anodonta, Kernkörperchen X, 258, Nebenkörper 260, Dotterhaut 262, Mikropyle 263, Befruchtung 267, Uebertragung in die Kiembruttasche 267, erste Entwicklung 271, Richtungskörper 275, Ausbreitung, Theilung 279, Kernneubildung in Furchungszellen 286, Keimbläschen, Schwinden 289.
— der Aphiden, Schwinden des Keimflecks negirt XIII, 395.
— der Ascidien VIII, 360.
— von Ascidia canina, befruchtet VI, 126.
- Ei von Belone vulgaris, erste Entwicklung IV, 212.
— vom Bombinator igneus, V, 90, Ruskonischer After 91.
— von Chironomus, erste Entwicklung II, 387, Bildung des Schwanzwulstes 387, der Kopfkappe 388.
— bei Coronella laevis, Veränderung der Granulosazellen VIII, 414.
— von Cynthia, Befruchtung und Entwicklung VIII, 360.
— der Echinodermata XX, 1, Befruchtung und Theilung, Objekte und Methoden, Kern des Ovarialeies, Wesen 10, Befruchtungsvorgang 13, Samenkern, Auftreten 14, Vereinigung des männlichen und weiblichen Kernes 20, indirekte Theilung des Kernes 21, achromatische Figur 23, Aequatorialplatte 24, Zelltheilung 25, Strahlungen im Eiprotoplasma 30, Litteratur 36.
— der Eidechse, Keimbläschen VIII, 19.
— der grünen Eidechse VIII, 216.
— der Fische, Dotterhaut VIII, 401.
— der Fohle, Keimbläschen VIII, 3.
— der Gasterostei IV, 231.
— von Gobius minutus, erste Entwicklung IV, 212, 231.
— des Huhns, Dotterhaut VIII, 399, Chorion 415, Zona radiata 416.
— der Julineen, erste Entwicklung XIV, 8.
— der Knochenfische, Medullarplatte IV, 243.
— der Knochengsche, Zona pellucida VIII, 417, Dotterhaut 418, Chorion 419, Safrtröhren 420, Becherzellen 420.
— der Macrobioten II, 129.
— des Meerschweinchens, erste Entwicklung III, 500.
— von Molgula, Entwicklung VIII, 360, 364.
— von Molgula simplex VIII, 364, Tunicazellen 364.
— bei Paramaecium aurelia, sogenannte IX, 664.
— von Phallusia canina, Entwicklung V, 459.
— von Porcellio scaber, Neubildung XVII, 135.
— von Pyrosoma (Stolo), Entwicklung XI, 605.
— der Reptilien VIII, 216, Keimbläschen 216, Dotterbildung 221, Rindenschicht 222, Wachstum 224, Dotterkerne 225, Dotterkrumen 226,

- Granulosazellen 228, Zona pellucida 231, Eihüllen, Auftreten 231, Dotterhaut 231, Follikelepithel 233, Becherzellen 236, Schale des gelegten — 238.
- Ei der Reptilien VIII, 397, Unterschied zwischen holoblastischen und meroblastischen 397, Dotterhaut 398, 403, Embryonenmembran 411, Eihüllen 412, Wachstum 423, Follikelepithelzellen, Beziehung zum Wachstum 428, Deutoplasma 431, Entscheidung, ob mero- oder holoblastisch 433.
- der Ringelnatter VIII, 218, 221, 223, 226, Rindenschicht 228.
- der Säugethiere, Keimbläschen VIII, 20, Dotterhaut 401.
- der Säugethiere, reifes XIX, 482, Mikropyle 482, Radiärstreifung 485, Keimbläschen 488, Keimfleck 489, Dotter 489, Dotterkörner 489, Grösse des Eies 490, Degeneration 494, Einwanderung von Granulosazellen 496.
- der Schildkröte VIII, 218, 226.
- der Selachier, Entwicklungsgeschichte XI, 569.
- von *Silurus Glanis*, amöboide Veränderungen des Kernkörperchens XI, 325.
- von *Spinachia vulgaris*, erste Entwicklung IV, 211.
- von *Tethya lyneurium* XVII, 161.
- von *Torpedo*, Entwicklung XIII, 465, Befruchtung 465, Bewegungen des befruchteten 466, Furchung 466, in den Eileiter gelangend, Bau 466.
- von *Torpedo oculata*, Entwicklungsgeschichte XI, 569, Mittelplatte 569, Protoplasma 577, Keimbläschen 579, Dotterplättchen 577, Eiweisskugeln 576.
- der Trichonisciden, Erzeugung in der Samenblase XIX, 638.
- der Wirbelthiere, *Vesicula generativa* VIII, 15, *Lympha generatrix* 15, *Discus prolixus* 17.
- Eibildung bei *Amphioxus lanceolatus* XIII, 330.
- bei Batrachiern XVIII, 13.
- der Säuger, Beziehung zum Follikelepithel XIX, 464, Kornzellen 464.
- Eibildungsraum bei *Distomum Westermanni* XIX, 568.
- Eichhörnchen — *Sciurus*.
- Eidechse — *Lacerta*.
- grüne — *Lacerta viridis*.
- Eidechsen-Keimbläschen VIII, 19.
- Eientwicklung bei Batrachiern und Knochenfischen XV, 382, Literatur 382, über Primordialeier und Follikel, über Eientwicklung 385, 411.
- bei *Loxosoma* XII, 8.
- bei *Pyrosoma* (*Cyathozoid*) XI, 608.
- Eierstock (siehe auch Ovarium), Entwicklung im embryonalen Leben V, 445.
- Drüsenschläuche und Abschnürung Graaff'scher Follikel V, 445, Epithel der Schläuche 449.
- über Bau und Entwicklung X, 200, Untersuchungsmethode, Ueberosmiumsäure, Einwirkung 201, Hämatoxylin 201, Keimepithel 205.
- Morphologie XIX, 442.
- der Katze, *Membrana folliculi* int. I, 164, Bau 162, 163, amöboide Bewegung 163.
- der Knochenfische XV, 404, Keimepithel 405, Primordialeier 405, Pflüger'sche Schläuche 405, Follikelepithel 406, Dotter und Nebendotter 406, Keimbläschen 407, Dotterhaut 407.
- der Kuh, reifer I, 167, Parenchym 173, Hulusstroma 168, *Corpora lutea* 181, Lymphgefässe, Injection 199.
- der Säuger I, 151.
- des menschlichen Foetus, I, 152, Follikelanlage 153, Stroma 155.
- der Muscheln, Epithel XIII, 840.
- von *Pyrosoma* (*Stolo*) mit Ei XI, 600, 604.
- Regenerationsvorgänge XVIII, 66, bei Batrachiern 72, Teleostiern 77, *Gadus lota* 78, Reptilien 81, Säugern 82.
- Eierstocksei bei *Ascidia canina*, Entwicklung VI, 120.
- verschiedener Thiere, amöboide Bewegung I, 76.
- bei der Teichmuschel X, 258.
- Eifeld bei *Distomum Westermanni* XIX, 562.
- Eifollikel, Bildung bei Batrachiern XV, 395.
- der Reptilien, Epithel VIII, 233.
- bei *Torpedo oculata* XI, 574, Umwandlung des Epithels, Auftreten lymphoider Zellen 574, Cuticularbildung 574, Weiterentwicklung 575.

- Eifollikel, Vergleich mit Samenfollikel XVIII, 35.
- Eihaut, secundäre bei *Torpedo oculata* XI, 580.
- Eihüllen des Reptilieneies VIII, 231.
- Eikapsel bei *Fusus* sp. XIII, 122, *Nassa mutabilis* 97.
- Eileiter vom Frosch, Drüsen XI, 372.
- bei *Phreocytes Menkeana* I, 285.
- Einbettungsmethode von Flemming IX, 122, mit Transparentseife 122.
- Eingeweide von *Cobitis fossilis*, Topographie XV, 429.
- der Muscheln, Bedeutung eines sie umgebenden Sinus XIII, 842.
- Einschmelzungsmethode V, 164.
- Eintagsfliege — Ephemera.
- Eitheile, Deutung II, 61.
- Elaeorhanchis cincta* XI, 23, Vergleich mit diplophrysartigen Rhipidopoden 23.
- Elaster *Greiffii*, eine neue Süswasserradiolarie VIII, 551.
- Elastica ant. der Cornea, Vorhandensein IX, 269.
- Elastin, Einwirkung von Pepsin, Oxalsäure, Trypsin XVI, 30.
- Elatobranchier, Nervensystem XVI, 93, Anatomie 94, Ganglienzellen, Pigmentirung 95, Fortsätze, Grösse, Membran 96, Kern 96, Ganglien, Bau 95.
- Nervenstämme 97, fibrillärer Bau 98, spindelförmige Nervenzelle 98, Ursprung aus centralen Ganglien 99.
- Electrischer Strom auf *Paramaecium aurelia* II, 366, auf *Vibrionen* VIII, 518.
- Elementarkörperchen, Zimmermann'sche im Blute I, 39.
- Elementarkügelchen der Ganglienkörper XI, 157.
- Elementarröhrchen, Stilling'sche, der Nervenfasern durch Chloroform XIX, 236.
- Elemente, nervöse der Retina II, 261.
- Eleoblast bei *Pyrosoma (Stolo)* XI, bei *Pyrosoma (Ascidizoid)* 602, 625.
- Elysia viridis*, Embolie bei Entwicklung XIII, 156.
- Embolie, Bedeutung bei Gasteropoden XIII, 154, bei *Polyptera quadrilincata*, *Eolis*, *Elysia viridis*, *Paludina vivipara* 156.
- Embolus des Schnabels bei *Coccidenten* XIII, 46, Beziehung zu *Cylindrus* 46.
- Embryo der Gasterostei und *Gobius*, Anlage IV, 221, 223, Litteratur 225.
- Entwicklung beim Kaninchen III, 501.
- vom Schaf, Haarentwicklung IV, 277.
- vom Stichling, Entwicklung II, 475.
- von *Tethya lyncurium* aut. XVII, 126.
- Embryologie der Gasteropoden XIII, 95.
- bei *Nassa mutabilis* 97, *Fusus* sp. 122, *Natica* 144.
- Embryonalhülle von *Chironomus* II, 392.
- Embryonalgewebe, Doppelbrechung desselben VII, 140, beim Embryo von 3 Tagen, 7 Tagen 141, 9 Tagen 143, 11 Tagen 144, 16 Tagen 147.
- Embryonalsaum, Bedeutung bei Knochenfischen IV, 246.
- Embryonalscelett der Mundhöhle bei Urodelen XI. Suppl. 102, Entstehung, Umwandlung in das bleibende 112.
- Embryonalschicht bei Insecten XV, 640.
- Embryonalschild, Auftreten bei *Gasterosteus* IV, 222, bei *Gobius* 224, gegenseitige Unterschiede 229, Entwicklung immerhalb des — 230, Primitivstreif 231, Rückenfurche 234, Herzbeutel und Allantois, Anlage 239; Veränderung am Kopfe 241, Theilung in Blätter 243, Augenanlage 244.
- bei Huhn, Anlage, Wesen und Schicksal XX, 186.
- der Knochenfische IV, 230.
- bei *Torpedo* XIII, 471, 472.
- Emys, Verhalten der Knochen im tertiären System XV, 376.
- europaea, Epithel der Niere X, 29.
- Enaliosaurier, Brustbein und Schultergürtel XIV, 547.
- Enchelyodon farctus, contractile Behälter, Wandung V, 29, Beobachtungen 31, 37.
- Enchytraeus, äussere Bedeckungen I, 260.

- Encystirung von Actinosphaerium Eichhornii XIV, 168.
- Endapparat, acustischer der Säuger VIII, 172, Entwicklung 180, XIII, 497, XV, 341.
- Endausbreitung, terminale der Fühlernerven von *Helix pomatia* XVI, 89.
- Enddarm, Schleimhaut bei *Petromyzon fluviatilis* XIII, 688, bei *Ganoiden* 689, *Selachier* 688, *Teleostier* 689; Flimmerepithel der Zotten bei *Rhombus aculeatus* 689, bei *Zeus faber* 689.
- Endfaser, chordotonale der Insecten XX, 540.
- Endkapseln, Bau und Vorkommen XIX, 61.
- Endknospen der Pacinischen Körperchen IX, 371.
- Endkolben der *Coniunctiva* XI, 653, XVII, 381.
- in den Sehnen XVI, 617.
- cylindrische, Bau und Vorkommen XIX, 60.
- kuglige XIX, 73, Innenkolben 75, Terminalfaser 76.
- Endocardium des Rückengefässes der Insecten IX, 139.
- Veränderung bei Entzündung XVIII, 141, 144.
- Endoneuralscheide der Nervenfasern XIII, 434.
- Endoneurium IX, 344, Bedeutung, Beziehung zu Gefässen 348.
- Endorgane des Sehnerven im Auge der Gliedertiere III, 404.
- Endosark der Heliozoen mit Kern X. Suppl. 160, 161.
- Endschlingen bei sensiblen Nerven XVII, 371.
- Endostyl von *Pyrosoma* (*Cyathozoid*) XI, 615.
- Endothel der Ganglienzellen der Spinalganglien IV, 56.
- des Schlemmschen Canals V, 305.
- der Chorioidea des Auges nach Silberbehandlung VI, 5, 9, chemisches Verhalten 17, des Lymphraumes der Opticusscheiden 51, Verhältniss zu den umspinnenden Fasern 52.
- des Tenonschen Raumes des Auges VI, 41.
- der Descemetschen Haut, VI, 262.
- der vorderen Irisfläche VI, 283, der Descemetschen Haut 282, 284, beim Menschen, bei Ochs und Schwein 286, Uebergang auf die Iris 288, 294, — des Schlemmschen Canals 305.
- Endothel des Bindegewebes VII, 325.
- der Nervenstämme der Cutis VII, 369.
- der lymphoiden Drüsen des Störherzens IX, 67.
- , Neubildung X, 370, bei Hühnermembran, Methode, bei der Nabelschnur 372, der Lunge 372, dem Mesenterium 372, Riesenzellen bei der Gelenkkapsel und der Achillessehne 973, bei Muskelstückchen 373.
- Verhalten auf der Innenfläche der Sehne des *M. quadriceps* X, 416, Uebergang in Knorpelzellen 418, der Gelenke, ihre Theilnahme an dem Eiweiss- und Mucingehalt der Synovia, 410, 429, der Synovialhaut 401, des Knorpels 406, 414, des Lig. des Gelenkes 414. Beziehung zu Blutgefässen 421.
- der Ganglienkörper der Spinalganglien XI, 145.
- Trennung vom Epithel XI, 369.
- der Fibrillen des Interstitialgewebes XII, 394.
- der Lymphgefässe, Nachweis durch Verdauung XII, 655.
- der Gefässe bei *Anodonta cygnea* XIII, 560.
- der Gefässe bei *Pinna nobilis* und *Mytilus* XIII, 561.
- der Kieme bei *Unio margaritifera* XIII, 561.
- der Kiemenblutbahn bei *Mytilus* XIII, 587.
- der Gefässe der Thymus, Zusammenhang mit der Bildung der concentrischen Körper XIV, 363.
- Zelltheilung XVI, 394.
- der Capillaren der Malpighischen Körperchen der Säugethierniere XVI, 514.
- der Hornhaut bei Vertebraten XIX, 158.
- Peritoneal-, Verhältniss zum Keim-epithel der Säugethiere XIX, 457.
- Wucherungs- der Gelenke X, 405, der Zotten 430.
- Endothelhäutchen der Intima pia des Rückenmarks IX, 325.
- Endothelscheiden des Balkennetzes der Irisfortsätze des Auges VI, 288, des Fontanaschen Raumes 291, Pigmentzellen 293.
- Endothelzotten der Gelenke, ächte X, 426.

- Endplatten, gangliöse der Nerven-
 endigung Wirbelloser I, 115, mo-
 torische, Entladungshypothese XIII,
 170, beim Frosch 173, Terminal-
 fasern und Endigung 174; intrava-
 ginales Nervenetz, Beweis gegen
 das — 175, bei *Proteus anguineus*
 176, beim Frosch 177.
- nervöse, Verhältniss zum Muskel
 IX, 486, bei Krebsen 518, *Astacus*
 und *Palaemon* 519, *Rana temporaria*
 529.
- Endzellenapparat des acustischen
 Endapparates der Säuger XIII, 511.
- Engelhai — *Squatina*.
- Entartung, fettige des Muskelge-
 webes, experimentelle Studien I,
 415; willkürliches Hervorrufen durch
 Aetzmittel, besonders Arg. nitr. 416,
 durch parasitische Nematoden 426;
 Wesen der — 418, erstes Stadium
 421, zweites 421.
- fettige, beim Muskel der Anne-
 liden, Veränderung des *Sarcolemmas*
 I, 420, 423.
- körnige, der Muskel beim Typhus
 X, 313.
- wachsartige, der quergestreiften
 Muskelfibrille IX, 720.
- Entartungskörnchen, Entstehung
 bei fettiger Degeneration des Muskel-
 gewebes I, 422.
- Ente — *Anas*.
- Entkalkung von Knochen durch
 Salzsäure XIV, 481, Salpetersäure
 482, 483, Chromsäure 482.
- Entladungshypothese der moto-
 rischen Endplatten XIII, 170.
- Entoderm bei Gasteropoden, Be-
 ziehung zu Organen XIII, 158.
- bei *Nassa mutabilis*, Anlage XIII,
 112.
- bei *Spongiicola fistularis* XIII,
 806.
- bei *Tethya lyncurium* XVI, 642.
- von *Tetrapteron volitans* XV,
 354.
- Entodermbildung beim Huhn XX,
 186.
- Entodermstasack bei *Natica*, Entwick-
 lung XIII, 151.
- Entosolenia globosa* Bau XIII, 13,
 Kern 14.
- Entzündung der Fettzelle VII, 71,
 Fettzellenschwund 348.
- Veränderung der Bindegewebs-
 grundsubstanz XVIII, 134.
- Entzündungslehre, Anwendung
 von Picrocarmin XVIII, 130.
- Eolis*, Embolie bei Entwicklung XIII,
 156.
- *exigua*, Pinselzellen im Mantel
 VI, 459.
- Eosin als Tinctiionsmittel für mikro-
 skopische Präparate XII, 349.
- Reagens auf Haemoglobin XIII,
 479, bei roten 479, bei farblosen
 Blutkörperchen 481.
- zum Nachweis von Haemoglobin
 in der Winterschlagdrüse XIV, 380.
- Epeira*, feiner Bau der Spinnorgane
 II, 1.
- Formelemente der Retina XVIII,
 427.
- Ephemera*, Ostien und Verschluss-
 apparatus des Rückengefässes IX,
 148.
- Ephemeridae*, Tracheen in der
 Nähe des Herzens IX, 181.
- Ephippigera*, Rückengefäss, Ad-
 venticia IX, 141.
- Anatomie und Physiologie 144.
- *Vitium*, Rückengefäss, *Muscularis*
 IX, 136.
- Epibolie*, Bedeutung bei Gastero-
 poden XIII, 154.
- Epielintus auricularis*, Bau
 XVI, 164, Fundort 166.
- Epidermis, Beiträge zur Histologie
 und Entwicklungsgeschichte der
 menschlichen — und ihrer Anhangs-
 gebilde XII, 665, Hornschicht, Dif-
 ferenzirung und Ursachen 666, Pi-
 crocarmin zur Untersuchung; Mit-
 telschicht 666, Stratum superbasale
 Bedeutung 670, Uebergangsschicht
 zw. Str. corneum und Rete 670, Littera-
 tur 671, Oberflächenverhornung
 Wesen 681, 687, Körnerzellenschicht
 681, Schweissdrüsenanal, Beziehung
 zu den Schichten der — 683, nor-
 male Regeneration 687 durch Ab-
 schnürung der Zellen, Hauptschicht-
 ung 688.
- Verhalten der Schichten zu den
 Talgdrüsen des Hornes XV, 53;
 Strat. lucidum, die Matrix der Talg-
 drüsenelemente 55.
- Nervenendigung XX, 642.
- der Amphibien III, 138, 166.
- Riff- und Stachelzellen 166, ver-
 ästelte Pigmentzellen 168.
- der Amphibien, XII, 138, Höcker bei
Bombinator igneus 139, *Bufo varia-
 bilis* und *vulgaris* 139; Zellen 141,
 Poren 142, Bedeutung, Schleimzellen
 bei den Larven des Landsalamanders
 144, Drüsenzelle beim erwachsenen

- Salamander 145, Spaltzelle 145, Drüsenöffnungen 147, Chromatophoren 148.
- Epidermis der Amphibien, Drüsenöffnungen XII, 214.
- der Amphibien, vergleichend anatomisch XII, 232, Höckerbildung 233.
- der Brustdrüse XX, 145.
- bei *Comatula mediterranea* XII, 596, Zusammenhang mit der Innenmasse.
- bei *Distomum Westermanni* XIX, 331.
- der Fische, Riff- und Stachelzellen III, 138, Becherzellen 144, Kolben, Function 154, 160, Hauttalgdrüse 160, verästelte Pigmentzellen 165.
- der Flughaut der Fledermäuse VII, 3.
- des Froschlarchenschwanzes II, 496, Cuticularsaum der Epidermiszellen 497.
- des Horns von *Vipera ammodytes* IX, 789.
- des Igelohres VIII, 297.
- der Mollusken, haartragende Sinneszellen V, 415, pinselförmige Zellen 423, Tastzellen 438.
- vom Neunauge, Körnerzellen III, 162.
- der Ophidier, Bau IV, 764, Fettinhalt 764 und Betheiligung an der Häutung, lymphoide Körper, Beziehung zur Häutung 765.
- von *Petromyzon fluviatilis*, Körnerzellen III, 162.
- von *Pterotrachea* XIV, 172.
- von *Rana* und *Triton*, Karyokinese XX, 142.
- der Reptilien und anderer Wirbelthiere XIII, 209, Epitrichialschicht 215, Stratum corneum 217, Körnerschicht, Zelle 217, 222, Hornschicht, neue 218, Stratum lucidum 220, Rete Malpighii 221, — zweischichtig 228, 229; — eines neugeborenen Reptils 241, *Anguis fragilis* 242, Beziehung zur Häutung 242; — am Laufe des Hühnchens, Zellen der Epitrichialschicht 244, 246, Schleimschicht 246, Körnerschicht 245, 246, verzweigte Pigmentzelle 245; — des Laufes beim ausgewachsenen Hühnchen 247, Papille 248, homogene Grenzschicht 248, Endothelzelle zwischen Cutis und — 249, von *Daelypus novem-*
- cinctus, Pflasterepithel 251, Zellen 253, Epitrichialschicht 252.
- Epidermis der Reptilien, Schichtung XVII, 347.
- des Schnepfenschnabels IV, 203.
- des Schweinerüssels, Tastzellen XI, 642, Nerveneintritt 643, Fortsetzung der Schwannschen Scheide 643.
- bei *Siredon pisciformis*, Entwicklung XIII, 773.
- bei Unke, Bildung IX, 397.
- Epidermoidale Schicht der Froschhaut I, 295.
- Epiduralraum, Werth XVII, 366.
- Epiglottis, Blutgefäßvertheilung auf der hinteren Fläche VII, 172.
- Epinephele *Janira*, Cylindergebilde des Rüssels XV, 17.
- Epineurium, Bedeutung IX, 345, feiner Bau 359, Beziehung zu den Gefässen 358.
- Epineuralscheide der Nervenfasern XIII, 735.
- Episternalfortsatz des Schlüsselbeines bei Vögeln XIV, 555.
- Episternum bei *Cnemidophorus* sp. XIV, 515, 519.
- Epistylis *Balanorum*, Bau XVI, 159, Fundort 160.
- Epithelien, Untersuchung mit Silber VI, 20, Beziehung der Kittsubstanz zum Silber 21.
- Neubildung X, 351 bei der Hornhaut, Methode 352, Fibrinschicht 356, Entstehung 359; Epithelialschicht, neue 361, Fehlen 362, Contractilität 366, Veränderung der alten Epithelialschicht 363, Riesenzellen 365, 366, Kugelzellen 365.
- Trennung vom Endothel XI, 369.
- Corrosion XVI, 496.
- der Ampullen des häutigen Labyrinths der Knochenfische XIV, 286, bei *Batrachiern* XVII, 498.
- der *Appendices pyloricae* des Fischdarmes XIII, 672.
- der becherförmigen Organe des Kehlkopfes XIV, 160.
- der Schlangen VIII, 332, Epithelhügel 332, innere Zelle 336, Bau und Bedeutung.
- von *Beroe*, Nervenendigung VIII, 647.
- des Bindegewebes, Identität bei Amphibien XII, 229.
- der Blase von Salamander XIII, 715.

- Epithelien der Bogengänge des häutigen Labyrinths der Knochenfische XIV, 293.
- der Brustdrüse XX, 149, 155.
- der Cornea, Beziehung der Nerven VIII, 558.
- der Cornea, Nerven IX, 231, Nervenendigung zwischen den oberflächlichsten Schichten 234.
- der Cornea, Nervenendigung XV, 578.
- der Cornea des Auges der freilebenden marinen Borstenwürmer XVII, 243.
- der Cornea des Menschen, Kernteilung XX, 56.
- der Cristae acusticae des häutigen Labyrinths der Knochenfische XIV, 289.
- der Crista spiralis der Gehörschnecke VIII, 155.
- des Darmes, Psorospermien in dem — II, 512.
- des Darmes von *Amphioxus lanceolatus* VII, 319.
- des Darmes bei *Phreoryctes Menkeana* I, 271.
- des Darmes bei der Unke, Anlage IX, 411.
- der Darmzotten VIII, 138.
- des Dickdarmes III, 189.
- des Dotterganges bei *Distomum Westermanni* XIX, 564.
- der Drüsen der Amphibien, Riesenzellen, vergleichend anatomische Betrachtung XII, 229.
- acinöser Drüsen IV, 147.
- der Giftdrüse der Giftschlangen IX, 625.
- der Hautdrüse bei Amphibien XII, 209, Cylinderzellen 209, Riesenzellen bei *Salamandra maculosa* 210, Triton, Bufo 211.
- Hautdrüse von *Salamandra maculosa*-Larven, Karyokinese XX, 141.
- der Kloakendrüse bei Triton XII, 212.
- der Labdrüse XIII, 667 bei *Perca fluviatilis* 668.
- der Lieberkühnschen Drüsen III, 191.
- der Magendrüsen vom Frosch XIV, 187.
- der Magenschleimdrüsen VI, 524.
- der Oberlippendrüse von *Tropidonotus natrix* IX, 602.
- der Schleimdrüsen des Magens III, 176.
- Epithelien der Thränendrüse IV, 147.
- der Unterkieferdrüse des Hundes V, 339.
- der Unterlippendrüse bei *Tropidonotus natrix* IX, 605.
- der Drüenschläuche des Hodens der Ratte XI, 307, grobgranulirte Zellen 308, freie Kernbildung 315, Rundzellen 315.
- des Ductus cochlearis, Beziehung zur Crista spiralis der Gehörschnecke VIII, 153, 170.
- der Dünndarmzotten III, 179.
- des Eierstocks X, 200.
- des Eierstocks der Muscheln XIII, 840.
- des Eileiters, Beziehung zum Flimmerepithel und der Bauchhöhle des weiblichen Frosches XI, 354.
- der Follikel der Reptilien Eier VIII, 233.
- der Fühler der Landschnecken VI, 446, Verhältniss zu den Nerven, 448, Becherzellen 447, Cylinderzellen 447.
- der Ganglienzellen der Spinalganglien IV, 56.
- des Gehörorgans der Gastropoden V, Suppl. 74, VII, 211.
- des Gehörorgans der Heteropoden V, Suppl. 76, Beziehung zu Nerven 80.
- des Gehörorgans von *Pterotrachea Fridericii* XII, 109.
- der Gehörplatte der Octopoden V, Suppl. 85.
- der Geschmackswärzchen beim Frosch IV, 96.
- der Harncanälchen, Behandlung mit indigschwefelsaurem Natron X, 38, 41.
- des Harnleiters XVIII, 14, bei Mensch, Pferd 16, Rind 16.
- der Haut von *Amphioxus lanceolatus* XII, 302.
- der Haut der Cephalopoden V, Suppl. 60.
- der Hörleiste im Gehörorgan der Octopoden V, Suppl. 87.
- der Hypobranchialrinne von *Amphioxus lanceolatus* XII, 317.
- des Jacobsonschen Organs der Schlangen VIII, 324.
- der Kehlkopfschleimhaut V, 130, Matrix 133, Wanderzellen 133.
- der Kieme von *Amphioxus lanceolatus* XII, 315.
- der Kieme von *Unio* und *Ano-*

- donta XI, 542 Nervenfasern 544, Flaschenzellen 543.
- Epithelien der Kiemen der accephalen Mollusken XIV, 135, 156.
- der Körperhaut der Landschnecken VI, 450.
- des häutigen Labyrinths der Ganoiden XVIII, 495.
- des häutigen Labyrinths der Chelonii, Nervenendigung XX, 306.
- der Landschnecken, Beziehung der Becherzellen zur spongiosen Bindesubstanz VI, 462.
- der Lorenzinischen Ampullen der Selachier IV, 382.
- der Macula acustica beim Menschen III, 119, bei Fischen 120.
- der Macula acustica Utriculi, Verhalten der Nerven XVII, 520, bei Chelonii XX, 307, 311.
- des Magens III, 174.
- des Magens von *Cobitis fossilis* XV, 433.
- des Magens der Fische XIII, 663, 666, Schleimmetamorphose 666, Vergleich mit Becherzellen 666, Kittsubstanz 667, bei *Syngnathus acus* 667.
- des Magens vom Frosch XIV, 186, 188.
- der Mageninnenfläche und Magenrübchen VI, 518, nach Schwammfütterung 531, Cylinderzellen 518, Ersatzzelle 521.
- des Mantels von *Mytilus edulis*, Beziehung zu Nerven VI, 453.
- der Membrana vestibularis der Gehörschnecke VIII, 156.
- des Mitteldarmes von *Cobitis fossilis* XV, 435.
- des Mitteldarmes der Teleostier XIII, 684 mit Fortsätzen, Verhalten zum umgebenden Gewebe 684, Porenkanalsaum; — Fehlen im Mitteldarm von *Cobitis fossilis* 687, directer Uebergang des Chymus in das Blut 688.
- der Mollusken, Riff- und Stachelzellen V, Suppl. 37.
- der Mundhöhle von Amphibien V, 307, von *Amphioxus lanceolatus* XII, 308.
- der Mundhöhle von Froschlarven, Beziehung zur Nervenendigung in den Papillen VI, 415.
- der Mundhöhle des Menschen, Kern XVI, 323, Todesserscheinungen 324, indifferente Reagentien 326.
- Epithelien der Mundhöhle bei Schlangen, Cuticularbildung V, 306.
- der Mund- und Rachenhöhle der Amphibien III, 170, der Fische 169, der Reptilien 172, der Wirbelthiere 169.
- der Mundhöhlenschleimhaut, Beziehung zu Nerven VI, 385.
- der Mundhöhlenschleimhaut, Beziehung zur Entwicklung der Zähne der Schlangen, der durchbohrten IX, 22, der undurchbohrten 9.
- bei *Mytilus edulis*, Verhalten zu Nerven VI, 453.
- des Nebenhoden beim Menschen XI, 319, Flimmerzellen 319, Cilien 321, Rundzellen 320, Lage, Vergleich mit dem Epithel des Hodens 321.
- der Nervenknöpfe des Seitencanals des Kaulbarsches VI, 171.
- der Nickhaut des Frosches, Veränderung durch Silberinjection V, 62.
- der Niere der Säuger X, 2, der Malpighischen Kapseln und des Gefäßknäuels 2, Untersuchung 3, der gewundenen Harncanälchen der Säuger 4 und Vögel 20, trübes Epithel 4, Stäbchenepithel 4, Untersuchung frischer 5, erhärteter 8, Isolirung 11, der Niere der Ringelnatter 27, der Schildkröte (*Emys europaea*) 27.
- der Henleschen Schleife der Säuger 15 und Vögel 20, der Schaltstücke 16, der Sammelröhren 17, Ausflussröhren 18, der Kapsel beim Frosch 22, Flimmerzelle 22, Stäbchenstructur 23; der Malpighischen Kapsel beim Wassersalamander 24, Triton cristatus und taeniatus 24, Beziehung zu Samencanälchen 25.
- des Oberschnabels der Taube. Tastzellen XI, 642.
- des Oesophagus III, 174.
- des Oesophagus und Magens, Verhalten zur Nervenendigung XI, 488, 492.
- des Oesophagus von *Bufo* XIV, 196.
- des Oesophagus von *Cobitis fossilis* XV, 433.
- des Oesophagus bei Fischen XIII, 656.
- des Oesophagus beim Frosch XIV, 181, der Ausführungsgänge der Drüsen des Oesophagus 184.

- Epithelien des Oesophagus bei *Hyla arborea* XIV, 195.
 — des Oesophagus von *Torpedo ocellata* XIII, 657.
 — des Ohrkanals von *Succinea amphibia* VII, 216.
 — des Ostium pharyngeum laryngis XI, 500.
 — der Papillen der Mundhöhle der Froschlurven VI, 415.
 — der Papillae vallatae III, 504.
 — der Papillae vallatae beim Kalb IV, 99, Mensch 242, Reh 158.
 — des Peritoneum bei *Amphioxus lanceolatus* XII, 321.
 — —, Lagenbeziehung zu dem Flimmerepithel der Bauchhöhle des weiblichen Frosches XI, 359.
 — der Pulpahöhle bei Amphibien XI, Suppl. 64.
 — des Respirationscanals der Lungenathmer III, 192.
 — des Rete testis Halleri des menschl. Hodens XIV, 30.
 — der Retina, Vergleich mit Riechepithel XII, 745.
 — der Salamanderlarven, Structur der Zellschicht XVI, 342.
 — der Salamanderlarven, Zelltheilung XVI, 363, Veränderung des Protoplasmas 371, dicentrische Anordnung des Zellenleibes 372, Polkörner 372, Veränderung am Zellkern 363, Korbgerüst mit enggewundenen Fäden 364, Korbform der Mutterkerne 374, Sternform 376, Doppelstern 379, Äquatorialplatte 381, Trennung der Kernfigur 385, Sternform der Tochterkerne 387, Knäuelform 388, Zelltheilung 388, Gerüstform der Tochterkerne 390, Tochterkernfigur, erste Entstehung 392.
 — von *Salamandra-maculosa*-Larven, Karyokinese XX, 137.
 — der Samenblase von *Distomum Westermanni* XIX, 561.
 — der Samenkanäle bei *Rana temp.* bei Entwicklung der Spermatozoiden XI, 302.
 — der Scala cochlearis des häutigen Labyrinths der *Chelonii* XX, 300.
 — der Schleimhaut des Augenlides III, 361.
 — der Schleimhaut des Cavum laryngis V, 130.
 — des Schmelzes vom Zahn XIX, 713.
- Epithelien der Seitenorgane von *Chimaera*, gewöhnliches XVII, 107.
 — des Sulcus Ligam. spiralis VIII, 168.
 — der Tastkegel der Papillen der Maulwurfsechse VII, 184.
 — von *Tetrapteron volitans* XV, 355.
 — von Triton, kriechende Zellen, XVII, 185.
 — der Tube, Vergleich mit Flimmerepithel der Bauchhöhle des weiblichen Frosches XI, 361.
 — der Tubuli contorti der Säugethiere, Verbindung mit Glomerulis XVI, 521.
 — der Tubuli recti des menschlichen Hodens XIV, 29.
 — des Utriculus des häutigen Labyrinths der Knochenfische XIV, 272.
 — des Velum der Mundhöhle von *Amphioxus lanceolatus* XII, 309.
 — des Vestibulum membranaceum des häutigen Labyrinths der Batrachier XVII, 497.
 — der Zunge, Vorkommen von *Leptothrix buccalis* III, 332.
 — der Zungenpapillen, verästelte Pigmentzelle IV, 159.
 — des Zwischendarms der Fische 675, 676.
- Cylinderepithel einer Gallertgeschwulst I, 341.
 — der Mollusken V. Suppl. 40.
 — des Gehörorgans der Heteropoden, Bedeutung V. Suppl. 82.
 — der Labdrüsen, Belegzellen VII, 240.
 — der Giftdrüse von *Naja haje* XI, 565.
 — des Labmagens bei *Columba domestica* und *Rubicilla foenicurus* XIII, 745.
 — des Oesophagus der Ganoiden XIII, 660.
 — der Macula Utriculi des häutigen Labyrinths der Knochenfische XIV, 276, 302.
 — des Magens XVII, 201.
- Drüsenepithel der Amphibien, Riesenzellen, vergleichende Anatomie XII, 229.
 — der Brustdrüse XX, 155.
- Flimmerepithel, Neubildung X, 369, Umwandlung XX, 123, Flimmerkörper im Speichel 123.
 — der Appendices pyloricae des Darmes von *Rhombus aculeatus* XIII, 673.

- Flimmerepithel der Bauchhöhle des weiblichen Frosches, Beziehung zum Eileiterepithel XI, 354. Verbreitung auf der Leber 355, Untersuchungsmethode 356, Physiologie 357, Bedeutung als Keimepithel 359, Lage über dem Peritonealendothel 359. Vergleich mit dem Tubenepithel 361, mit Flimmerepithel und Becherzelle 361, 362, Entstehung zur Geschlechtsreife 365, aus Endothel 368.
- der Kieme von *Unio* und *Anodonta* XI, 542.
- des Mitteldarms bei *Rhombus aculeatus* und *Syngnathus acus* XIII, 685.
- im Oesophagus menschlicher Embryonen XII, 570. Umwandlung in Plattenepithel 571.
- des Oesophagus von Haien XIII, 657, *Raja clavata* 657, *Polypterus bichir* 660, *Lepidosteus* 660, *Petromyzon* 656.
- der Zotten des Enddarmes von *Rhombus aculeatus* XIII, 689 und *Zeus faber* 689.
- Follikel­epithel, Entstehung und Bedeutung XVIII, 84, 69.
- und Eibildung, XIX, 464, Ort derselben 466. Kornzellen 464.
- bei *Amphioxus lanceolatus* XIII, 331.
- von *Ascidia canina* VI, 121.
- bei Batrachiern XV, 399.
- beim Huhn, Bildung VIII, 415.
- bei Knochenfischen XV, 405.
- bei *Lacerta agilis* XIII, 237.
- der Reptilien XIII, 233, 414, Becherzellen 236, Beziehung zum Wachstum der Eier 428.
- Epithelien, geschichtete, Vertheilung blasser Terminalfaser XIX, 519.
- Keimepithel, Verhältniss zum Peritonealendothel XIX, 457, zum Stroma 458; Zusammenhang mit Wolfsfischen Canälen 461.
- Auftreten bei Batrachiern XVIII, 10, Frosch XI, 359, bei Knochenfischen XV, 405.
- Entwicklung X, 205.
- bei *Torpedo oculata* XI, 570, Umwandlung 574.
- Neuroepithelien der Mollusken V, Suppl. 47.
- des Gehörorgans der Ganoiden, XVIII, 500, Cylinderzelle 500, Fadenzelle 503, Stützzelle 504, Beziehung zur intrac epithelialen Nervenendigung 510.
- Oberflächenepithel des Ovariums, Verbindung mit Pflügerschen Schläuchen XIX, 465.
- Pflasterepithel auf der Oberfläche der Papillae vallatae IV, 159.
- der Drüsen im Muskelmagen der Vögel VIII, 446.
- der Epidermis bei *Daecypus novemcinctus* XIII, 351.
- Pigmentepithel der Kieme von *Amphioxus lanceolatus* XII, 316.
- Plattenepithel, Auftreten zur Bildung der Keimhaut der Knochenfische IV, 217, freie Zellbildung.
- der Kehlkopfschleimhaut, Nervenendigung VII, 169.
- Entstehung aus Flimmerepithel im Oesophagus menschlicher Embryonen XII, 571.
- Riechepithel, Vergleich mit Epithel der Retina XII, 745. — XVII, 141, Härchen 142, Membrana limitans olfactoria 142, Riechzellen 144; Beziehung zum Tractus olfactorius 146; sternförmige Zellen 148.
- Litteratur XI, 468, Riechzellen 469, Endigung 474, centrale Fortsetzung 470, bei *Salamandra maculosa* 471, Epithelialzellen 471, Endigung 474; subepitheliales Protoplasmanetz 473; Membrana limitans olfactoria 474.
- Epithel, seröses, Veränderungen beim bloßgelegten Froschmesenterium XVI, 111, trübe Schwellung 111, homogene Schwellung 113, Deutung 117.
- Sinnesepithelien der Mollusken V, 439.
- der Seitenorgane der Chimaera, vordere Kopfregion XVII, 103, Stützzellen 106.
- Epithelia spuria der Tastkegel der Maulwurfschnauze VII, 183.
- Stäbchenepithel der Orbitaldrüse XIII, 312, der Gänge der Speicheldrüse, Beziehung zur Reizung der Chorda Tympani XIII, 356.
- Wimperepithel der Mollusken, Beobachtungen II, 467, Trennung 468, des Mantels 468, der Kiemen 468, des Darmcanals 469, Eindringen der Wimpern in das Protoplasma 469.
- der Mollusken V, Suppl. 44, von *Calyptrea vulgaris* 52.
- Epithelanlage, primäre bei Ent-

- wicklung der Milchdrüse beim Kaninchen XX, 435, Rückbildung 444; beim Menschen 460, — secundäre beim Kaninchen 441, Entwicklung 444.
- Epithelialfasern des N. glosso-pharyngeus XIX, 357.
- Epithelialschicht der Haut, Nervenendigung V, 506.
- der Retina XII, 743 bei Amphibien 421.
- Epithelialwulst der Gehörschnecke, Entwicklung VIII, 179.
- Epithelgewebe der Mollusken V, Suppl. 37, der Haut der Cephalopoden 60, des Gehörganges der Gasteropoden 74 und Heteropoden 79, der Gehörplatte der Cephalopoden 85, Hörleiste der Octopoden 87.
- der Mollusken, Vergleich mit Wirbelthieren V Suppl. 37.
- Epithelregeneration und freie Kernbildung XVIII, 347, 359, Kritik der Litteratur; indirekte Kernteilung, Verbreitung 357.
- Epithelscheide der Ersatzzähne bei Rana XI, Suppl. 77, des primitiven Urodelenzahnes 99.
- Epithelzellenkerne der Schwanzflosse der Salamanderlarven XVI, 313, Einbuchtungen 314.
- Epithelialschicht der Haut der Reptilien und anderer Wirbelthiere XVII, 348, XIII, 210, bei *Platydictylus guttatus* 211, zellige Zusammensetzung 212, bei *Chamaeleon vulgaris* (Chamaeleonidae) 213, *Lacertina* 213, *Anguis fragilis*, *Pseudopus Palasii*, *Tropidonotus natrix* 213, *Ophidia* 213, *Vipera aspis*, *ammodytes* und *berus* 214, 216, *Triton taeniatus* und *cristatus* 215, *Pipa dorsigera* 215; — der Hornschuppen 234, — der Epidermis am Laufe des Hühnchens 244, Zellen 246; — der Haut von *Dacypus novemcinctus* 252.
- Eponychium des Nagels X, 730.
- Equus caballus*, Ciliarmuskel IV, 363, Lig. pectinatum 363.
- Papillen der Zunge VI, 240, 249, *Papilla vallata* 249, *foliata* 457.
- lymphatischer Apparat der Milz VIII, 568, spindelförmige Zellen der *Zona glomerulosa* der Nebenniere, Beziehung zum Bindegewebe 622.
- elastisches Gewebe des Ohrknorpels IX, 91, Schleimhautdrüsen des Nierenbeckens 654.
- Equus caballus*, Zahnschliff, Doppelbrechung XI, 679.
- Hohlräume der äusseren Körnerschicht der Retina XIII, 427.
- Verhalten der Knochen in prähistorischer Station XV, 377.
- Entartung der acinösen Drüsen des Harnleiters XVIII, 18.
- Erdwürmer — *Lumbricinae*.
- Erinaceus*, Samenkörper aus Nebenhoden III, 264.
- Papillen der Zunge VI, 241, 249, *Papilla vallata* 249, becherförmige Organe der Zunge 249.
- Ohr als Tastorgan VIII, 295.
- Tasthaare des Rüssels IX, 197, 209, Tastapparat an den Haaren 207, 208.
- Umbildungsprocess der Thymus XIV, 375.
- Spermatogenese XV, 303.
- embryonale Entwicklung der Milchdrüse XX, 491.
- europäus, embryonale Entwicklung der Milchdrüse XX, 491.
- Eristalis tenax*, porifere Vorkommen der Chordotonalorgane der Vorderflügel XX, 595.
- Ernährungsapparat von *Loxosoma* XII, 5, Entwicklung 20.
- Esox lucius*, Bildung und Veränderung der Rückenfurche IV, 237.
- erste Anlage von Herz und Herzbeutel 256.
- secundäre Wirbelkörper XVI, 125, untere Wirbelbögen 131.
- freie Seitenorgane XVIII, 379.
- Fontanascher Raum XIX, 174.
- Esperia*, polypoide Ernährungsthiere bei — XIII, 796.
- *Bauriana* XIII, 800, Vorkommen von *Spongicola fistularis*.
- Essigsäure, Einwirkung auf Samenkörper I, 327, auf Drüsenzellen der Brunnerschen Drüsen VIII, 107, auf Lichtzellen der Leuchtorgane von *Cucuyos* VIII, 466, auf Vibrionen VIII, 518, auf quergestreifte Muskeln IX, 303, zur Auffindung des Doyèreschen Hügels 305, auf Zellkern XVI, 333, auf Myelin XIX, 201 und Nervenmark 202.
- Etmoid der Orbitalregion des Primordialeraniums der Amphibien XI, Suppl. 8.

- Etmoidaltheil des Primordialerniums beim Frosch XI, Suppl. 8.
- Eucharis multicornis*, Tastapparate XVII, 342, Tastborsten 344, Sinneszellen 345.
- Euglena viridis* Bau XVI, 186, Fundort 187.
- Euglypha* XI, 24, Bestimmung der Arten X, Suppl. 121, Pseudopodien 122, Schale 122, Körper mit Kern und contractiler Blase 122.
- *ampullacea*, X, Suppl. 123, 132, Schale, Vergleich mit *compressa*.
- *alveolata* XI, 97, Panzer 97, Neubildung 99, Weichkörper 100, mit Kern und pulsirender Vacuole, Pseudopodien 101:
- — X, Suppl. 124, 132, Schale 124, Kern mit Nucleolus 126, Pseudopodien 127, Encystirung 127, Granuliforms cells 127.
- *compressa* X, Suppl. 124, XI, 101, Panzer 102, Weichkörper 102.
- *curvata* XI, 107.
- *globosa* X, Suppl. 129, 132, Schale 129, Pseudopodien, Kern 131.
- — XI, 102, Panzer und Weichkörper 103, Vergleich mit *Sphenoderia* 104.
- *margaritacea* XI, 108, X, Suppl. 133.
- *pleurostoma* XI, 105.
- *spinosa* XI, 104.
- Euglyphidae* XIII, 28.
- Eule*, Retina II, 208, gelbe Kugeln II, 174.
- Eunicea*, Auge XVII, 280, Retina 285.
- Eunice Harassii*, Auge XVII, 280.
- Euplectella*, Nadeln III, 211.
- Euprepia caja*, Adventicia des Rückengefäßes IX, 140.
- Eyryapteryx rheides*, Verhalten der Knochen in der prähistorischen Station XV, 378.
- Excretionsapparat bei *Distomum Westermanni* XIX, 555.
- Excretionsorgane bei *Trichonisciden* XIX, 608.
- Extremitäten, Entwicklung des fibrillären Bindegewebes VIII, 57.
- Entwicklung der Muskelsehnen der unteren — XIII, 57, Embryonalzellen desselben 58.
- Cuticularbildung bei *Triton alpestris*, *cristatus*, *helveticus*, *tacniatus* XII, 124, *Bombinator igneus* 124, *Bufo calamita* und *variabilis* 124.
- Extremitäten der Ratten, ein die Lymphgefäße umspinnendes Capillarnetz XVII, 339.
- Fadenbahn der Labyrinthula vittelina III, 297.
- Fadennetz des Sympathicus des Frosches IV, 142, des Zellkernes XIV, 102, Beziehung zu Körnenschale 105.
- Fadenplasmodien der Schimmelpilze III, 308.
- Fäces zur Kultur von *Penicillium crustaceum* II, 78.
- Falke, gelbe Kugeln der Retina II, 172, Stäbchen und Pigmentkugeln der Fovea centralis Retinae II, 206.
- Faltenblatt an den Embryonen der Gattung *Chironomus* II, 385, 392, parallelisirt mit der Amniosbildung der Vertebraten 396.
- Faltenmücke — *Ptychoptera*.
- Farbenperception, Theorie III, 248, Bedingung für 252, Beziehung zu Stäbchen und Zapfen 252, Untersuchung mit polarisirtem Licht 254.
- Farbenwechsel bei Amphibien XII, 179, *Hyla arborea* 180, *Rana esculenta* 182, *Rana platyrhinus* 182, *Alytes obstetricans* 183, *Bufo calamita* 184, — *variabilis* 184 und *vulgaris* 185, Ursachen 189. — bei Crustaceen XIX, 591.
- Farbstoff der Phycocromaceen III, 4, der Florideen 21, 56, der Algen 56.
- Farbstoffvertheilung bei *Chantranisii Dawiesii* III, 22.
- Färbungsmethode des Centralnervensystems durch pikrocarminsaures Natron XV, 38.
- Fasern bei *Sarcinella aurea* I, 345, Bau und Entstehung, — des sympathischen Gränzstranges, Verbindung mit Zellen II, 22.
- elastische, des Bindegewebes, Beziehung zur Quellung XII, 418.
- elastische, im verkalkten Gallertgewebe der Kieme der Acephalen XIII, 588.
- elastische des Lig. Nuchae unter Pepsin- und Trypsinwirkung XVI, 17, bei Ochs 20, Kalb 26, Rind 30.
- quergestreifte der Zonula ciliaris des Auges VI, 339.
- Remacksche, des sympathischen Gränzstranges II, 16 in den Papillis

- vallatis IV, 177, 179 Bildung beim Frosch XV, 5.
- Fasern, rückläufige der Kleinhirnrinde VI, 196, Verhältniss zu Nervenzellen 202.
- Sharpeysche I, 373, der Hautknochen von *Dacypus novemcinctus* XIII, 254.
- umspinnende der Opticusscheiden, Verhältniss zum Endothel des Lymphraumes VI, 52.
- Fasergerüste der Kehlkopfschleimhaut V, 133.
- Faserkörbe der Retina, Wesen und Bedeutung VII, 248.
- Fasernetz der Ganglienzelle IV, 68.
- elastisches, des Pericardialseptum der Insecten und Beziehung zur Pericardialzelle IX, 168, der Intima pia des Rückenmarks IX, 325.
- terminales, Bedeutung IV, 511.
- Faserschicht am gelben Fleck der menschlichen Retina II, 189.
- der Zona pectinata bei Reptilien, VIII, 201, der Membrana basilaris 201, Anheftung 203, Beziehung zu Cortischen Bogen 204.
- der Kleinhirnrinde XIV, 237, der Körnerschicht der Kleinhirnrinde 239.
- bei *Tethya lyncurium* XVI, 635.
- Faserstratum der Lamina basilaris VIII, 162.
- Faserverlauf im Rückenmark X, 471, in der grauen Substanz bei Querschnitten 475, Längsschnitten 481, in der weissen 483, 488, zwischen Hinter- und Vordersträngen 486.
- Faserzotten der Gelenke X, 428.
- Faulthier — *Bradypus*.
- Federn, Vergleich mit der Entwicklung der Schuppen der Reptilien XIII, 235; — des Pinguin XIII, 256, Schaft, Bau 256, Fehlen der Markzellen 257, Bau der Spuhle 257; äussere und innere Wurzelscheide der Hauttasche 257; Papilla, dauernde der —, Homologie mit Schuppen der Reptilien 257.
- Embryonalfeder, Vergleich mit den Schuppen am Lauf des Hühnchens XIII, 244.
- Federbuschschwämme III, 202.
- Feldheuschrecke — *Acridium*.
- Felis, Eierstock I, 162, amöboide Bewegung II, 63, Membrana Folliculi interna I, 164, Kornzellen derselben, Verhältniss zu den Blutgefässen 165, Keimfleck II, 57, Entwicklung der Retina II, 246, der Stäbchen und Zapfen 246, III, 373.
- Felis, Nervenendigung und Tasthaare II, 461, Ciliarmuskel IV, 360, Lig. pectinatum 360, Papillen der Zunge V, 241, 249. Membrana suprachorioides des Auges VI, 19, Labdrüsen VI, 391, primitive Anlage des Unterkiefers XII, 256, Betheiligung des Meckelschen Knorpels 257.
- ein die Lymphgefässe umspinnendes Capillarnetz des Mesenteriums XVII, 338, Primordialfollikel, nachträgliche Entwicklung XIX, 471, knäuelartige Hautdrüsen XX, 109.
- embryonale Entwicklung der Milchdrüse XX, 492.
- catus, Retina XII, 781, Membrana fenestrata, Spermatogenese XV, 302.
- Ferment, Verhalten gegen Ueberosmiumsäure XV, 119.
- der Gl. submaxillaris des Rindes XV, 121, des Kaninchen XVI, 543.
- Fermentbildung in Drüsen XIII, 721, XV, 119, XVI, 532, Ueberosmiumsäure zum Nachweis 120, in Labdrüsen XIII, 732.
- pepsinbereitenden Drüsen des Oesophagus der Batrachier, Beziehung zu den Zellen XIII, 748, im Magen XV, 538.
- Fermentgehalt der Drüsen, Aenderung bei Hunger und Sättigung XVI, 126.
- Fessler, eiertragender — *Alytes obstetricans*.
- Fett, zur Prüfung des heizbaren Objectisches I, 5, Einwirkung von Ueberosmiumsäure 301, Entstehung aus Albuminmasse bei Entartung des Muskelgewebes 924, Aufnahme in Zellen VII, 74, Verhalten bei atrophischen Fettzellen 335.
- Fettbildung bei Entstehung der Haare und deren Aufhören IV, 318, Beziehung zu Blutgefässen VII, 48, zu Wanderzellen aus der Bauchfellplatte der Fische 56, zu Bindegewebszellen 58, XI, 192, zum Knochenmark 64.
- Fettgewebe, Erörterungen über, Stellung zum Bindegewebe VII, 357.
- zur Anatomie und Physiologie XII, 391, Entwicklung von Fettzellen 441, insuläre Gefässbildung 442, morphologische Abgrenzung 443, Bau 444, Nerven 450, Lymphgefässe 450 im subcutanen —.

- Fettgewebe, Biologisches XII, 460, Atrophie 464, einfache 464, seröse 465, Färbungen 466, Wucheratrophie 467, Nebentropfen, Wesen und Vorkommen 470, Fetttröpfchen, freie im — 483.
- Anatomie XII, 434, Verbreitung in der Haut 434, Muskel 438, Beziehung zu Gefässen 437, Gefäßstrahlen, Bedeutung 437.
- Plasmazellen im — XIII, 273.
- Fettflosse, Bau XVII, 187, Stützglieder 190, Bau bei der Bachflosse 191.
- Fettimpletion XII, 485, 492.
- Fettimprägung, als Vorbereitung zur Corrosion XVI, 488.
- Fettinhalt der Epidermis der Ophidier, Beteiligung an der Häutung IX, 764.
- Fettinjection als Vorbereitung zur Corrosion XVI, 474.
- Fettinseln des Fettgewebes XII, 438.
- Fettkörper der Insecten IX, 177, bei Apiden 177, Dipteren, Hemipteren, Lepidopteren, Coliopteren, Orthopteren 178, bei *Adimonia tanacetii*, *Musca carinaria*, *Pediculinea*, *Pieris brassica*, harnsaure Krystalle in ders. 178, eingesprengte Zellen 178 bei *Scarabaeus*, *Phryganea striata* 179, Bedeutung 180.
- Fettkörper des Flossensaumes von *Menopoma giganteum* XII, 516, der *Trichonisciden*, Function XIX, 610.
- Fettkörperchen in Knorpelzellen und deren Bewegung XVI, 345.
- Fettlappchen im Fettgewebe VII, 438.
- Fettmark, Umbildung aus Knochenmark XVII, 31.
- Fettstränge im Fettgewebe XII, 438.
- Fettropfen, chemische Differenzierung durch Färbung XII, 462.
- eingesprengte mit Vacuolen XII, 463.
- freie im Fettgewebe XII, 483.
- Fettzotten der Gelenke X, 428.
- Feuerkröte — *Bombinator igneus*.
- Feuerscheide — *Pyrosoma*.
- Fibrillärzotten, endothellose X, 433.
- Fibrillen der Muskeln, Degeneration zu Entartungskörperchen I, 422.
- Fibrillenbildung in der Bindesubstanz der Acephalen XIII, 601.
- Fibrillenscheiden markhaltiger Nervenfasern IX, 357, Bau, Bedeutung und Beziehung zu andern Hüllen 356.
- Fibrinschicht, Bildung bei Neubildung von Epithel der Hornhaut X, 356.
- Filigera XIII, 27.
- Fingernägel, Doppelbrechung XI, 664.
- Fingerschnecke — *Pteroceras*.
- Finke — *Fringilla*.
- Firola coronata*, Gehörorgan XII, 104.
- Fische — *Pisces*.
- Fischeidechse — *Ichthyosaurus*.
- Fischreuse — *Nassa*.
- Flaconatl, Retina XII, 410, Stäbchen 411, Form 413, Limitans ext. 412, Zapfen 414, innere Körnerschicht 415, Ganglienzellschicht 415, Stützfasersystem 415.
- Flagellaten, über einige den *Palmellaceen* nahstehende Arten VI, 421, Zoosporen 422.
- Fleck, gelber, der Retina II, 167, bei Menschen und Falken 171, feinerer Bau und Ursache der Färbung, Untersuchung derselben mit Kobaltglas II, 172, Nutzen 173, Linderung der chromatischen Aberration 173, äussere Faserschicht 189, Zapfen bei dem Menschen an den — 223, Vertheilung der Zapfen 227.
- Fledermaus — *Vespertilio*.
- Flexilität der *Oscillarineen* III, 47, bei *Beggiatoa mirabilis* 53.
- Fliegen — Dipteren.
- Fliegenmade, neues Organ derselben XVI, 48, Lage und Bau, Muskeln 52, Nerven 52, Deutung 53.
- Fliegenmuskel, *Doyèrescher Hügel* IX, 498, 499.
- Flimmerbewegung Wirbelloser V, 256, der Kiemenfalte bei *Pterophora* 256, Veränderung durch Gase II, 372, durch Entziehung von sauerstoffreicher Luft 373, durch Kohlensäure 374, zur Lehre XIV, 390.
- Flimmergrube bei *Pyrosoma* XI, 603.
- Flimmerrinne der Kieme von *Unio* und *Anodonta* XI, 539.
- Flitterschicht der Haut der Cephalopoden V, Suppl. 72.
- Florideen, zur Physiologie III, 1, Farbstoff 21, 56, Untersuchung des Farbstoffes 23, systematische Bemerkungen 27, Verwandtschaft mit *Batrachospermum* 28, Verhältniss

- zu Lichenen und deren Spermogonien 38, Parasiten derselben 39, Samenkörper, Bewegungslosigkeit 39, Verhältniss zu Oscillariceen 46, 58.
- Flösselhecht — Polypterus.
- Flohfreund — Colacium.
- Flossenfüsser — Pteropoda.
- Flossensaum der Batrachier XII, 515, Triton helveticus 515, Monopoma giganteum 516.
- Flossenstachel von Spinax acanthias XX, 258.
- Flügelmuskeln der Insecten — Pericardialeptum.
- Flughaut der Fledermäuse VII, 1, Oberhaut 3, Stratum Malpighii 4, Lederhaut 5, elastische Balken 6, quergestreifte Muskel 8, alter Muskel 9, Blutgefässe 12, Arterien und Venen 12, Haare und Drüsen 14, Nerven und Nervenendigungen 17, 23, Terminalkörperchen 23.
- von Vesperugo serotinus VII, 1.
- Fluorescenz des Phycoerythrin III, 17, der Phycoerythrin 27.
- Flussbarsch — Perca fluviatilis.
- Flussbrasse — Abramis brama.
- Flusskrebis — Astacus.
- Flussschnecke — Unio.
- Flussschwimmuschnecke — Neritina.
- Foetus, menschlicher, Eierstock I, 152, Eierzellen 153.
- der Säuger, Urniere I, 158.
- Follikel von Ascidia canina VI, 120.
- , Graaffsche, Abschnürung im Eierstock V, 445, Inhalt 447, Maassverhältnisse XIX, 472, Reife 475, Atrophie 491, durch fettige Degeneration, Auftreten sternförmiger Zellen.
- solitäre des Magens beim Karpfen XIII, 671.
- Follikelanlage im foetalen, menschlichen Eierstock I, 153, Rückbildung ungeplatzter 197.
- Follikelhaut, Vergleich mit Cysten-
haut, XII, 799.
- Fontanascher Raum des Auges, Unterschied vom Can. Schlemmii VI, 272, Balkennetz 281, Endothelscheiden desselben 291, Vorkommen zelliger Elemente 291, Pigmentzellen 293, Zusammenhang mit der vorderen Augenkammer 307.
- bei Vertebraten XIX, 160, vergleichend-antonomische Untersuchung bei Säugern 168, Verhalten zur Membrana Descemetii 171.
- Fontanascher Raum bei Vögeln XIX, 172, Reptilien 173, Frosch 173, Triton 173, Fische 173, Esolucius 174, Gadus callarias 174, Cyprinus erythrophthalmus 174.
- Foramen ovale des häutigen Labyrinths der Batrachier XVII, 488.
- rotundum des häutigen Labyrinths der Batrachier XVII, 488.
- utriculosacculare des häutigen Labyrinths der Chelonii XX, 288, Hydrosaurii 348, Ophidia 333, Saurii 339.
- Foraminifera X, Suppl. 80, XI, 131, Kerne XIII, 9.
- Forelle — Salmo fario.
- Forellenei zur Untersuchung des Keimbläschen VIII, 3.
- Entwicklungsgeschichte IX, 679, Keim 679, 683, Deckschicht, Bedeutung und Auftreten 685, 697, Veränderung 693, Keimhöhle 686, Keimrand 686, Randwulst 688. Embryonaltheil desselben 688, Embryonaltheil der Keimhöhlendecke 691, Veränderungen 694, Dottersackhaut 692, Vermehrung des Keimes durch Ernährung 692, Keimschicht, primäre 693, secundäre 694, Keimblätter 699, Bildung 700 und Literatur.
- Forellenembryonen, Entstehung des Mundhöhlensceletts durch Verschmelzung von Zähnen XI, Suppl. 176.
- Entstehung des Dentale 176, Ossa pharyngea 177.
- Entwicklung der Seitenorgane XVIII, 384.
- Forellenei, Schichtung V, 356, Analogie mit Vogelkeim 357, Weiterentwicklung 359.
- Deckschicht XV, 143, Axenplatte, Wesen und Umwandlung 145, Wirbelsaite 190.
- Formatio reticularis der Schleife XIX, 209.
- Formicidae, subgenuales Chordotonalorgan XX, 572, homotopische Convergenz mit den subgenualen Chordotonalorganen der Orthoptera 627.
- Fortpflanzung bei Clathrulina elegans III, 313, V, 471, durch Theilung, Encystirung und Schwärmerbildung X, Suppl. 231.
- bei Acanthocystis V, 488, bei Vampyrella Spirogyrae X, Suppl. 64, bei Arcella vulgaris X, Suppl. 97, XI, 459, bei Hedriocystis pelu-

- cida X, Suppl. 226, durch Theilung und Eneystirung 227, bei *Actinosphaerium Eiehornii* X, 342, bei *Gromia paludosa* XII, 33, bei *Microgromia socialis* XII, 35.
- Fortpflanzung isopoder Crustaceen XVII, 125, bei *Porcellio scaber* XVII, 125.
- Fortpflanzungsorgane von *Phreocytes Menkeana* I, 289, bei *Amoeba terricola* II, 310, bei *Distomum Westermanni* XIX, 557.
- Fossa Rosenmülleri IV, 3.
- Fovea cardiaca bei *Vogelembryonen* XIV, 464.
- centralis Retinae, Stäbchen II, 168, bei Krähe 207, Falke 206, Zapfen derselben beim Menschen 223, Vertheilung derselben 226, 249, Zapfenstäbchen, Durchmesser II, 232, 226.
- centralis Retinae bei *Rana* XII, 766, bei *Chamaeleon vulgaris* 767.
- Frauenhoferscher Schraubenmikrometer I, 80.
- Fringilla, Samenkörper I, 316.
- caelebs, Modell der roten Blutkörperchen VIII, 475.
- Frosch — *Rana*.
- Froschhaut, epidermoidale Schicht I, 295.
- Froschlarven, Objectträger für die Untersuchung II, 378.
- zur Entwicklung der Gewebe im Schwanz 490.
- Cutis 490, Nerven derselben 494, Oberhaut 496, Rückenmark IV, 118, Nervenendigungen 121.
- Geschmacksorgane VI, 407, Untersuchungsmethode 408, Papillen der Mundhöhle 408, Nervenfasern der Papillen der Mundhöhle 414, Epithel der Mundhöhle, Beziehung zu den Nervenendigungen in den Papillen 415, Sinneszellen der becherförmigen Organe der Mundhöhle 416.
- becherförmige Sinnesorgane der Mundhöhle VIII, 348, Vergleich mit den Schlangen.
- Froschlarvenschwanz, Entstehung der Bindegewebszelle II, 492, Epidermiszelle, Cuticularsaum 497.
- Nerven IV, 112, Lympfgefäße 112, Schwanzplatten und deren Gewebe IV, 114, Gallertsubstanzzelle 115, Cutiszelle 115, Basalmembran 155, Nerven 116, Verlauf 117, Präparation 117.
- Gefässentwicklung V, 64, Bedeutung von Sternzellen für dieselbe 65, 74, Capillaren, Behandlung mit Inductionsströmen 71, Gallertgewebe, Beziehung zur Gefäßbildung 75, Silberinjection 80, Spindelclemente der Gefäße 80.
- Fruchtfleisch, Hefebildung III, 337.
- Fühler vom Hirschkäfer, Chitinhaut IV, 90, von *Carinaria* V, Suppl. 59, der Landschnecken, Bau und Nervenapparat VI, 439, Untersuchungsmethode 441, Epithel, vorderes 446, Bedeutung 462, Nervenapparat, Ganglien 443, Becherzellen des Epithels 447.
- Fühleranlage bei *Fusus* sp. XIII, 143.
- Fühlerendblatt beim Hirschkäfer, Tracheen IV, 90.
- Fühlerwürmer — Anneliden.
- Functionscentrum für Nervenfasern II, 34.
- Funiculus olivaris XIX, 264, 268.
- Furchenkrebs — *Peneus*.
- rother — *Caramote*.
- Furchenmolch — *Menobranchus*
- Furchung bei *Natica* XIII, 144.
- Furchungsprozess bei Knochenfischen IV, 213, bei *Fusus* sp. XIII, 123, Furchungskugeln 125, bei Gasteropoden XIII, 154.
- Fussanlage bei *Nassa mutabilis* XIII, 112, *Fusus* sp. 130, *Natica* 146.
- Fussganglien, Anlage bei *Fusus* sp. aus dem Mesoderm XIII, 141, 143.
- Fusus* sp. Entwicklung XIII, 122, Eierkapseln 122, Furchungsprozess 123, Keimscheibenentwicklung 124, Urniere 124, 132, Furchungskugel 125, Keimhautblase — *Blastosphaera* 126, Verdauungshöhle, Anlage 127, Mesodermanlage 127, Schalengrube 125, Oesophagusanlage, Schalenanlage 129, Verdauungshöhle, Weiterentwicklung 129, 134, Darmanlage 129, Segelanlage 130, Fussanlage 130, Kopfblase 130, Ectodermzelle und Veränderungen 130, Gehörbläschen 133, Augenanlage 133, Magen- zelle 134, 135, Zelle des Oesophagus, Veränderung 130, Lebersack und Leberzellen 136, Kiemenhöhle, Anlage 138, Niere, bleibende, Anlage 138, 139, Larvenherz 139, Bau, Muskelzellen desselben 139, Kiemen- vene 139, Leberzelle, Veränderung

- und Vergleich mit *Paludina vivipara* 140, Nervenganglienanlage 140, 143, Fussganglion, Anlage 141, 143, Gehörganglion 142, 143, Auge 142, Fühleranlage 143, Zungenscheide 144, Magenhöhle 160.
- Gadus callarias**, Fontanascher Raum XIX, 174.
- *lota*, Spiralklappe XIII, 680.
- —, Regenerationsvorgänge im Eierstock XVIII, 78.
- *morrhua*, häutiges Labyrinth XIV, 300.
- Gährung, Nährstoffe für — III, 324, 332, Versuche mit Rohrzucker 324, 333.
- Galle, *Corpuscula amyacea*, II, 510.
- Gallencapillaren der Leber III, 423, bei Wirbelthieren 423, Injection 424, blinde Endigung derselben 426, Verlauf bei Fischen, Schlangen und Vögeln 426, Membran 428.
- Gallengänge, Vertheilung in der Leber III, 89, bei *Coluber natrix* III, 93, beim Frosch 95, bei *Salamandra maculata* 96, Kaninchen 99, Membran 108, Uebergang der interlobulären in intralobuläre 111, Injection 424.
- Beginn an den Leberzellen XIII, 415.
- Mündung am Ende des Oesophagus der Fische XIII, 662.
- Gallertgeschwulst, *alveolare* I, 336, *Cylinderepithel* derselben 341, *Zellendetritus* 341.
- Gallertgewebe, Entstehung und Beziehung zur Gefäßbildung im Froschlärvenschwanz V, 75.
- der *Acephalen* XIII, 567, Arten 594, Wesen 599, Pigment 568, Zellen 568, elastische Fasern 572.
- der Darmleiste von *Anodonta* XIII, 572.
- des rothbraunen Organs von *Anodonta* XIII, 573, Zelle 573, Schleimzellen Deutung 575, 576, Verlauf des Blutes im — 574.
- des Mantels der *Acephalen* XIII, 578.
- zwischen den Organen des Eingeweidesackes der *Acephalen* XIII, 580, Pigment 580, Zellen 580.
- der Muscheln XIII, 844.
- der Kiemen der *acephalen* Mollusken XIV, 141.
- Gallertgewebe, verkalktes der Kieme der *Acephalen* XIII, 581.
- Gallina*, Entstehung der Niere I, 234, II, 473.
- *Retina* II, 203, Entwicklung der Zapfen 221, Stäbchen 241, Zwillingzapfen, Pigmentirung III, 233, embryonale Anlage der Stäbchen- und Zapfenschicht III, 376.
- *Dotterhaut* VIII, 399, Bildung des *Follikelepithels* 415.
- quergestreifte Muskelfibrille IX, 713.
- Neubildung von Endothelien beim Embryo X, 370.
- Veränderung der Chorda während Abschnürung des Hypophysensäckchens XI, 411, Hypophysensäckchen, Umwandlung in Drüsen-schläuche 415.
- *Tastzellen* des Oberschnabels XI, 642.
- Schuppenentwicklung am Laufe XIII, 243, *Epidermis* 244, Zellen der *Epitrichialschicht* 244, der *Schleimschicht* 244, Anlage aus *Cutispapillen* 244, Weiterentwicklung und Vergleich mit der *Embryonalfeder* 244, *Körnerschicht* 245, verzweigte Pigmentzelle 245, ritzellenartige Zellen unter der *Körnerschicht* 247, — ausgewachsen, *Epidermis* des Laufes 247, *Papillen* 248, *homogene Grenzschicht* 248, *Endothelzelle* zwischen *Cutis* und *Epidermis* 249.
- erste Anlage der *Thymus* XIV, 384.
- Entstehung des *Wolff'schen Ganges* XIV, 442.
- Gallus*, *Samenkörper* I, 316.
- *Kamm*, III, 412, *Blutgefäßverlauf* im *Kamm* 414.
- Gammariden*, Bau und Thätigkeit der Leber XVII, 423, *Litteratur* 423, *Tunica serosa* 425, *Muscularis* 426, *Drüsenzellen* 427, *Secretionszellenband* 428, *Ferment- und Leberzellen* 429, *Reservezellenband* 431, *Tunica intima* 434.
- Ganglien* des sympathischen Grenzstranges II, 13, *Stroma* 19, *Form* 21, *Wurzelfäden* 24, *Commissurfasern* 26.
- des Fühlers der *Landschnecken* VI, 443.
- der peripheren Nerven, Bau IX, 338, *interstitielles Gewebe* 338,

- Ganglienzelle mit Kapsel 339, Injectionen 340, Lymphnetz 341.
- Ganglien des sympathischen Nervensystems, Injection IX, 363.
- des Hörnerven der Acridier XI, 200.
- des Darmrohres XI, 480, 484.
- der Ureteren XV, 65.
- bei Elatobranchiern, Bau XVI, 95, als Ursprung für Nervenstämme 99.
- Ganglienkörper, Kerntheilung IV, 487, Membrana propria 450, Zusammenhang der Kerne mit Nervenfasern 459, 506, Kernröhren 461, Kernkörperchenfäden 461, 476.
- Entwicklung beim Kaninchen V, 320.
- des sympathischen Gränzstranges, Hüllen II, 18, Netzbildung 24.
- des sympathischen Gränzstranges X, 208, Untersuchungsmethoden, Grundsubstanz 212, Degenerationskügelchen 216, Kerne mit Kernkörperchen 221, Fortsätze derselben 224 und ihre Beziehung zur Central- und Lateralsubstanz, deren Bildung und Unterschied 235, 236, 228, Beizelle, Wesen 234, Entwicklung 229, apolare, Wesen 238, unipolare 235, 239, multipolare 239.
- der Grosshirnrinde des Menschen IV, 421, Spitzenfortsatz und Verlauf 422, Lagerungsverhältnisse 427, zu Nervenfasern und Basalfortsätzen 428, Zusammenhang mit dem Rindenkörper 430, kleinere — Bedeutung 431, Spitzenfortsatz, Verlauf und Uebergang in Nervenfasern 433, Bildung aus Neuroglia Neugeborener 441.
- Entwicklung in der Gehirnrinde Neugeborener 446, Vorhandensein einer Hülle 450, Streifung 452, Kern 473, 481, Fortsätze 492, in Grosshirnrinde 492, im Kleinhirn 492, der Substantia nigra Peduncul. Cerebri 493, Untersuchungsmethode 494, Verbindungen unter sich 503 und Ursachen, Bedeutung 509.
- der Grosshirnrinde des Menschen, Verästelung VI, 173, Verbindung mit Nervenfasern, Untersuchung 174.
- der Spinalganglien XI, 140, Untersuchungsmethode 141, Lagerung 141, Kapsel 143, Endothel 145, Capsula vaginalis com. /. propria 146, Grösse und Gestalt 146, Fortsätze, Ursprung 149, Scheide 150, Verlauf 150 und Endigung 153, Mark 156, Beizelle o. apolare — 154, Verkümmern der — 154, Substanz 157, Elementarkörperchen der Ganglienkörpersubstanz 157, Courvoisiersche Degenerationskügelchen 159, Pigment 160, chemische Reaction 161, Kern 163, Polarkerne 165.
- Ganglienkugeln, Bau im Centralnervensystem der Lungenschnecken I, 46.
- der Haut der Batrachier XII, 519.
- terminale der becherförmigen Organe der Schlangen VIII, 334.
- Ganglienzellenkerne, Netzbildung XIII, 712.
- der Retina XVIII, 423.
- Ganglienzellengruppen des Rückenmarks X, 474.
- Ganglienzellschicht der Retina des Flaconatl XII, 415, der Amphibien 420.
- der Retina, Entwicklung XV, 625.
- Ganglienwurzel, Bedeutung IV, 511.
- Ganglion cochleare des häutigen Labyrinths der Chelonii XX, 305, 322.
- Ganglion spirale der Schneckenerven des acustischen Endapparates der Säuger XIII, 525.
- Ganoidei. Schleimhaut des Oesophagus XIII, 666 (Cylinderepithel), des Mitteldarmes 680, des Enddarmes 689.
- Wirbelsäule und Anhänge XV, 442, Chorda 442, obere Bögen 445, Dornfortsätze 446, untere Bögen 449.
- Pleuralbögen XV, 459, Spinalbögen 459, untere Basalstümpfe 459, Hämalfortsätze 460.
- Seitenorgane XVIII, 367.
- Gehörorgane XVIII, 486, Topographie 487, häutiges Labyrinth 488, Utriculus 489, Recessus Utriculi 489, Ampullen 489, Septum transversum 490, Plana semilunata, 490, 495, Canales semicirculares 490, Sacculus 491, Ductus endolymphaticus 492, häutiges Labyrinth, Structur der Wand 493, Epithel 495, Verlauf des N. acusticus im Labyrinth 496, Ramus vestibularis 497, Ramus cochlearis 497, Otolith

- 498, N. acusticus, Endapparat 499, Neuroepithel 500, Cylinderzellen 500, Fadenzelle 503, Stützzelle 504, Nervenendigungen in den Cristae und Maculae acusticae 505, Nervenfasern, Structur 506, intraepitheliale Endigung 508, Beziehung zum Neuroepithel 510.
- Gans — Anser.
- Gase, Einwirkung auf Flimmerbewegung II, 372.
- Gaskammer für mikroskopische Zwecke III, 366, zur Blutuntersuchung 366.
- Gasteropoda, Glaskörper des Auges II, 409.
- feiner Bau der Muskelfaser V, 237, des Fussmuskels 240, Mundmuskels 237.
- Bindegewebe, Uebereinstimmung mit den Wirbelthieren V, Suppl. 4, Pigmentirung der Schlundkopfmuskulatur 36, Haut 52, Gehörorgan 73, VII, 202, Epithel V, Suppl. 74, Kalksack 92, Nieren 92, Nierenzellen 93, Zoospermien 96.
- Gehirn VII, 205.
- embryonale Entwicklung XIII, 95, 153, Keimblätterbildung 154, Furchungsprozess 154, Bildungspole und Stellung zu den Organen 155, Mundbildung 155, Epibolie und Embolie, Bedeutung 154, Entoderm, Beziehung zu den Organen 158, Nahrungsdotter, Beziehung zur primitiven Magenöhle 158, Vergleich mit Cephalopoda 159, mit *Purpura lapillus* 160, mit Pulmonaten (Nahrungs- und Bildungszellen 161), Segelbildung 161, Nervenganglienanlage, Beziehung zu den Keimblättern, Vergleich mit Cephalopoda 162.
- Nervenlemente XVI, 66, Ganglienzelle 67, (Polarität 69), sympathische 70, 71, Multipolarität, Fortsätze und Verlauf 71, Kerne 72, Kernfortsätze 73, Kernkörperchen 74, Pigmentirung 75, Membran 76, Nervenstämme 76, Scheide mit Schleimzellen 76, fibrilläre Structur 77, Magendarmnerven, sympathische 81, Ganglienzelle 82, Nervenfasern 82, Membran 82, Centralganglien, Bau 83, Commissuren zwischen centralen Ganglienzellen 83, Nervenfasern, centraler Ursprung aus Ganglien 85.
- Gasterosteus, Entwicklung des Embryo und der Allantois II, 475, Dotterloch, Verschwinden 476.
- Gasterosteus, Embryonalanlage IV, 221, Keimsaum 221, Begründung 228, Embryonalschild 222, Auftreten, Vergleich mit *Gobius* 229 und Weiterentwicklung, Augenanlage 244, Herzbeutel und Allantois 239, Ei bis zur Bildung des Embryonalschildes 231, Auftreten der Primitivrinne im Embryonalschild 231.
- — *aculeatus*, freie Seitenorgane XVII, 378.
- — *pungitius*, freie Seitenorgane XVII, 378.
- Gastraetheorie der Spongien XIV, 249.
- Gastrobranchus, Bau der Retina XII, 750.
- — Schleimhaut des Oesophagus XIII, 656, des Mitteldarmes 675, Peyersche Plaques 676.
- Gastrula der Kalkschwämme XII, 551.
- der Echinodermen, Veränderung XII, 604.
- der Insecten XV, 632.
- Gastrulahöhle bei *Natica*, Beziehung zu Mundöffnung und Vorderdarm XIII, 146.
- Gaumenbogen der Amphibien, Knochen XI, Suppl. 14, bei *Siredon pisciformis* (Vomer, Palatinum, Pterygoid) 15, bei *Siren lacertina* 15, (Fehlen des Pterygoid) 16, bei *Menobranchius lateralis* und *Proteus anguineus* 16, (Vomer und Palatinum 17), bei *Derotremes*, *Amphi-uma*, *Menopoma*, *Cryptobranchus* 17 (Fehlen des Os palatinum 17), bei Salamandrinen, Landsalamander 17, Tritonen 19 (Os vomero-palatinum 20), bei Anuren 20 (Palatinum, Pterygoid 20).
- Gaumenknochen, primäre Anordnung bei Urodelen XI, Suppl. 118.
- Gaumenzahnstreifen bei Urodelen XI, Suppl. 95.
- Gefäße, Entwicklung bei *Bombinator igneus* V, 112.
- Verhalten in Speicheldrüsen VI, 105.
- Anlage bei der Unke IX, 406.
- Beziehung zum Bindegewebe des Corium der Ophidier IX, 772.
- Neubildung X, 368.
- Verhalten der Leber nach Injection der — XI, 91.

- Gefäße, Kittschichten in der Wandung XI, 282.
- Beziehung zum Fettgewebe XII, 437.
- Fettgewebe der Adventicia XII, 455.
- Rückbildung im atrophischen Fettgewebe XII, 492, atretischer Schwund XII, 494.
- Plasmazellen der Wandung XIII, 272.
- des Blutegels, Nervenendigung XIII, 331.
- des Frosches, Nervenendigung in der Muscularis XIV, 327.
- des Froschlarvenschwanzes, Spindel-elemente V, 80.
- des Kammes des Vogelauges IX, 593.
- der Kieme von Anodonta und Unio, Verhalten am freien Rande XI, 529.
- des Knochenmarks XVII, 3, 7, Wandungslosigkeit, arterielle 3, venöse 4.
- des Magens, Nerven XI, 490, beim Frosch XIV, 193.
- Malpighische der Cocciden, Beziehung zur Theilung des Verdauungscanals 51, XIII, 80, bei Dorthesia 80, Lecanium, Aspidiotus 80, Coccus Ulmi 80, Membrana propria 80, Zellen 80, bei Aspidiotus, Coccus Ulmi 81, Dorthesia 81, Lecanium Hesperidium 81.
- Malpighische, Zusammenhang der Secretionszellen mit Drüsen-nerven bei Insecten XII, 543.
- der Milz, Beziehung zur Lymphscheide VI, 550.
- des Oesophagus, Nerven XI, 488 und Endigung.
- des Oesophagus vom Frosch XIV, 186.
- der Retina der Fische XVIII, 480.
- wirkliche, der Muscheln XIII, 862, 839.
- Gefässanlage beim Hühnerlei XVI, 584.
- Gefässbildung II, 523.
- aus den Gliakernen und Gliareisern der Neuroglia Neugeborener IV, 440.
- im Gehirn IV, 513.
- im Froschlarvenschwanz, Beziehung zum Gallertgewebe V, 75.
- in Fettlagern XII, 442, im Omentum.
- bei Entwicklung der Retina, Einwirkung auf die Retina selbst XV, 608.
- Gefässentwicklung im Froschlarvenschwanz V, 64, Sternzellen, Beziehung zur Gefässbildung 65, Einwirkung der Silberinjection 80.
- Gefässintima, Veränderung bei der Entzündung XVIII, 141.
- Gefässknäuel der Niere, Epithel bei Säugern X, 2.
- Gefässnetz, subepitheliales der Kehlkopfschleimhaut, Beziehung zu den Papillen VII, 173.
- Gefässplatte beim Hühnerlei XVI, 583.
- Gefässsprossenbildung bei Entwicklung des Glaskörpers der Vertebraten XIX, 154.
- Gefässsystem der Kieme bei Unio und Anodonta XI, 522, 525.
- von Loxosoma XII, 6.
- von Amphioxus lanceolatus XII, 346.
- der Muscheln XIII, 862.
- Gefässverlauf an den Tasthaaren II, 455.
- in Vater-Pacinischen Körperchen V, 155.
- im Ostium pharyngeum Laryngis XI, 500, 503, im Ostium tracheale Laryngis 513.
- Gefässvertheilung der Milz VI, 547.
- Gefässwände, Entstehung bei Knochenfischen IV, 260.
- der Muscheln XIII, 818, 861.
- Gehirn, Entstehung der Nervenfasern, mit Oxalsäure untersucht IV, 499.
- Gefässbildung IV, 513.
- Plasmazellen XIII, 277.
- Ganglienzellen an der Convexität XVI, 614.
- Lymphräume, Beziehung zu Lymphgefäßen der Nasenschleimhaut XVII, 366.
- von Distomum Westermanni XIX, 544.
- von Helix, Commissuren VII, 206.
- der Gasteropoden VII, 205, Oberhirn, Unterhirn, Seitencommissuren 215, feinerer Bau 207, Neurilemma 207.
- Neugeborener, Untersuchung mit Arg. nitric. IV, 444.
- von Paludina vivipara VII, 207.
- der Saurier, Schleifenbildung der Gefäße XV, 60.
- Wirbelloser, Punktsubstanz I, 48.

- Gehirn der Wirbelthiere, Vergleich mit Wirbellosen XIII, 201.
- Gehirnentwicklung bei einfachen Ascidien VII, 116.
- Gehirnganglien, Anlage bei *Fusus* sp. VIII, 142, 143.
- Gehirnrinde Neugeborener untersucht mit Chlorgold-Natrium IV, 445, Kornzellen 446.
- Gehörbläschen der Knochenfische, Anlage XII, 251.
- Anlage bei *Fusus* sp. XIII, 193.
- Gehörabyrinth, Function im acustischen Endapparat der Säugethiere XIII, 540.
- Gehörorgane, Uebersicht der wichtigsten XVI, 55.
- der *Aceridier* XI, 195, 197; Trommelring 197, Stigma 197, Trommelfell 197, Hervorsprung desselben 198, Vereinigungshöcker, Seitenjoch 198, Hörnerv 200, Ganglion 200, Bedeutung 201, Zwischenganglion 201, Tracheenblase 202, Vergleich mit den *Locustinen* 211.
- der Amphibien, häutiges Labyrinth XVII, 479.
- der einfachen Ascidien VII, 117.
- von *Carinaria* XII, 103.
- der *Cephalopoden* V, Suppl. 82, Bindegewebswulst 88.
- von *Cleodora cuspidata* V, Suppl. 76.
- der *Craspedota* XIV, 404.
- der *Decapoden* V, Suppl. 88, Vergleich mit den *Octopoden*.
- bei *Pirola coronata* XII, 104.
- der *Ganoiden* XVIII, 486, Topographie 487, Utriculus 489, Recessus Utriculi 489, Ampullen 489, Septum transversum 490, *Plana semilunata* 490, 495, Canales semicirculares 490, *Sacculus* 491, *Ductus endolymphaticus* 492, *Neuroepithel* 500, *Cylinderzellen* 500, *Fadenzelle* 503, *Stützzelle* 504, intraepitheliale Nervenendigung 508, Beziehung zum *Neuroepithel* 510.
- der *Gasteropoda* V, Suppl. 73, Epithel 74.
- der *Gasteropoda* VII, 202, Untersuchungsmethode 204, Lage und Grösse 209, Form 210, Gewebe 211, Epithel 211, Otolith, Bewegungen 213, Ohranal und Hörnerv, Verlauf 214.
- von *Helix*, Lage und Grösse VII, 209, Form 210, Ohranal und Gehörnerv 215.
- Gehörorgane der *Heteropoden* V, Suppl. 76, 80, Nervenverbindung, Borstenhaare 77, Polsterzellen und Verbindung mit Nervenfasern 77, 81, *Crista acustica* 82.
- der *Heteropoden* XII, 103, XV, 341.
- des *Hirschkäfers* IV, 88, Nervenverlauf 91, *Ganglienzelle* 88, 92.
- kleinerer Thiere, Untersuchung mit einem Gemisch von Chrom- und Osmiumsäure XVI, 300.
- der *Locustinen* XI, 203, *Trommelfell* 204, *Tracheenblase* 204, *Steg* 204, *Nervenapparat* 205, *Hörleiste* 205, *Deckzelle* 206, *Seitenzelle* 207, *Basalzelle* 207, 210, *Hörstift* 207, *Chorda* 208, *Basalganglienzelle* 210, *Seitenganglienzelle* 211, Vergleich mit den *Aceridiern* 211.
- der *Mollusken* V, Suppl. 73, 90.
- der *Octopoden* V, Suppl. 84, *Nervenendausbreitung* 84, *Hörleiste* mit Nerven 87, *Epithel* 87, Vergleich mit den *Decapoden* 88.
- von *Paludina impura* VII, 210.
- von *Paludina vivipara* VII, 210.
- der *Pteropoda* V, Suppl. 75.
- der *Pterotrachea coronata* XII, 106, 107, *Hörzelle* 107, 110, *Nervenendigung* 108, *Gehörnerv* 108, *Polsterzelle* 108, 113.
- von *Pterotrachea Fridericii* 107, XII, 109, *Hörzelle*, *Epithel*, *Centralzelle* 111, 115, Beziehung zum Nerven, *Gehörvorgang* 114.
- Bildung bei der *Unke* IX, 401.
- bei *Vitrina diaphana*, *Ohrkanal* VII, 215.
- Gehörplatte* der *Cephalopoden*, *Epithel* V, Suppl. 85.
- der *Octopoden* V, Suppl. 85, *Verbindung* mit Nerven, *Epithel* 85.
- Gehörschnecke* der Säugethiere und des Menschen, feinerer Bau. VIII, 146, *Lamina spiralis ossea* 148, *Periost* 150, *Lamina spiralis membranacea* 150, *Lamina basilaris* 162, *Entwicklung*, *Lamina reticularis* 189, *Crista spiralis* 150, *Membrana vestibularis* VIII, 156, *Canalis Sulci spiralis* VIII, 161, *Crista Ligamenti spiralis* 167, *Canalis cochlearis* 206, *Membrana tectoria* 186, *Membrana*

- basilaris 162, 200, Sulcus spiralis internus 161, Sulcus Ligamenti spiralis 168, Stratum semilunare 166, Ligamentum spirale VIII, 167, Stria vascularis 170, innere Körnerschicht 175, 181, Haarzelle innere 174, äussere 176, Entwicklung des Epithelialwulstes 179, Stützzellen 186, Spiralfasern 211.
- Gehörstäbchen — Cortisches Organ.
- Gehörzähne, Bedeutung VIII, 150.
- Griffelinfusorien — Flagellata.
- Griffelkammer bei *Tethyalyncurium* XII, 55.
- Geko — *Platydictylus guttatus*.
- Gekoarten, Retina, Stäbchenschicht XII, 434.
- Gekotidae, Hautknochen XII, 194, Hautsecret und Fussblätter 219, Phosphorescenz 221.
- Gelenke, zur Histologie X, 401, Synovialhaut, Intima 401, Bau 408, Endothel 401, 408, Endothel des Knorpels 406, 414, Untersuchungsmethode 407, Wucherungsendothel 408, der Zellen 430, des Ligamentum des Gelenkes 414, Synovialkapsel 420, subendotheliales Bindegewebe 421, Gefässvertheilung 421, Beziehung zum Endothel, Lymphgefässe 424, Zotten 425, Vorkommen, Endothelzotten, echte 426, *Lipoma arborescens* 427, Endothel 428, Entstehung 431, Gefässe 431, Tochterzotten, Entstehung 430, endothellose oder falsche Zotten (Knorpelzotten) 432, Entstehung, endothellose Fibrillärzotten 433, Synovia 436, Entstehung.
- Endothel, Beziehung zur Synovia X, 420, 429.
- Lymphgefässe XII, 649, Doppelschutz-Canüle zur Injection 661.
- Gelenkkapsel, Neubildung von Endothelien X, 373.
- Gelenknervenkörperchen beim Frosch XVI, 615, in dem Bindegewebe der Beugesehnen der Hand. — XIX, 81.
- Gemeinfliege — *Musca*.
- Genitalanlage bei *Tetrapteron volitans* XV, 356.
- Genitalnervenkörperchen XIX, 78, Terminalfaser 79.
- Genitalöffnung, weibliche bei *Porcellio scaber* XVII, 128.
- Genitalstrang I, 247.
- Georyctes* I, 250.
- Gephyreen, feiner Bau der Muskelfaser V, 220.
- Entwicklungsgeschichte und Stellung V, 260, Stellung zu Bryozoen 274.
- Gerbstoffe, Einwirkung von Ueberosmium I, 304.
- Geruchsorgan bei den Arctiscoiden I, 108.
- Bildung bei der Unke IX, 401.
- von *Amphioxus lanceolatus* XII, 306,
- Geruchsplatte, Bildung bei der Unke IX, 397.
- Geschlecht, Differenzierung im Thierreich XVIII, 1.
- Indifferenzstadium des — XIX, 460.
- Geschlechtsapparat der Macrobiotien II, 128.
- Geschlechtscharaktere bei Trichonisciden XIX, 643, bei *Trichoniscus roseus* 643, *Asellus* 643.
- Geschlechtsknospen V, 277; Arten.
- der Cestoidea V, 279.
- bei *Rhabdocoela* V, 279.
- Geschlechtsorgane, Plasmazellen XVIII, 94.
- männliche, Doppelfärbung XV, 37.
- weibliche, Doppelfärbung XV, 38.
- von *Amphioxus lanceolatus* XII, 325.
- von *Ascidia canina* VI, 119.
- bei *Distomum Westermanni*, männliche XIX, 558, weibliche 562.
- Entstehung beim Kaninchen aus dem Müller'schen Gange XX, 97.
- von *Loxosoma* XII, 7.
- Anlage bei *Pyrosoma*, Stolo XI, 605.
- bei Unke, Anlage IX, 408.
- der Trichonisciden, weiblich XIX, 623, männliche äussere 624, innere 634.
- Geschlechtsstoffe, Hüllen XVIII, 31, 37, bei Vögeln 37, Reptilien 40, Amphibien 41, *Bombinator igneus* 42, Teleostiern 44, *Cyprinus erythrophthalmus* 45, Plagiostomen 47, *Petromyzon* 47, Wirbellosen 49, Cephalopoda 49, Insecten 50, *Tenebrio molitor* 51, Crustaceen 53, *Astacus fluviatilis* 53, Daphniden, Phyllopoden, *Sida crystallina* 55, Copepoden 56, Würmern 56, Mollusken 57, Echinodermen 57.

- Geschlechtsstoffe, Regeneration XVIII, 58, im Hoden bei *Rana fusca* 58, maulbeerförmige Kerntheilung 63, Regenerationsvorgänge im Eierstock 66, (Müller'scher Gang, Entstehung 67, Follikel epithel, Entstehung und Deutung 69, 84), bei Batrachiern 72, Teleostiern 77, *Gadus lota* 78, Reptilien 81, Säugthieren 82, Zellnatur 98, Homologie ders. 100, Eigenschaften 108.
- Geschlechtsunterschied bei *Ampioxus lanceolatus* XII, 327.
- Geschlechtsverhältnisse von *Saprolegnia monoica* V, 183.
- Geschlechtsverschiedenheiten, äussere, Ausbildung XVIII, 100.
- Geschmacksknospen der Papillae vallatae des Kalbes IV, 101.
- Geschmacksorgane, zur Kenntniss VIII, 455.
- der Froschlärven VI, 407, Untersuchungsmethode 408.
- der Säuger und des Menschen IV, 154.
- der Unke IX, 401.
- Geschmackswärzchen der Zunge IV, 96, beim Frosch 96.
- Geschmackszwiebeln beim Kalb der Papillae vallatae IV, 101, Stützzellen 102, Geschmackszellen 106.
- Gesichtorgane bei Trichonisciden XIX, 601, Umänderung bei Höhlenthieren 601, Pigment 601.
- Gewebe, Entwicklung beim Froschlärvenschwanz II, 490, der Schwanzplatte IV, 114.
- Bau und Entwicklung VII, 275.
- Karyokinese bei *Salamandraculosa*-Larven XX, 136.
- adenoides der Pars nasalis des menschlichen Schlundkopfes IV, 1.
- des Harnleiters XVIII, 17.
- elastisches der Lederhaut des Igelohres VIII, 300.
- im Netzknorpel IX, 80, 97, Untersuchungsmethode 82, Verhältniss zu den Zellen des Knorpels 83, bei Kaninchen-Embryonen im Ohrknorpel 88, bei Pferden 91, Rind 92, Mensch 93, Schaf 94.
- fibrilläres der Kiemen von *Unio* und *Anodonta* XI, 531.
- intravasculäres der Kieme von *Unio* und *Anodonta* XI, 530.
- lacunäres der Kieme der accephalen Mollusken aus embryonalem Bindegewebe XIV, 148.
- Gewebe netzförmiges der Milz VI, 553.
- thierische, Einwirkung von Ueberosmium I, 299.
- Gewebelehre, zur höheren XV, 97.
- Giftbehälter der einheimischen Ophidier IX, 632.
- Giftkanal der durchbohrten Zähne der Schlangen IX, 14, Bildung.
- Giftgang der einheimischen Ophidier, Beziehung zu dem Giftzahne IX, 631.
- Giftrinne der durchbohrten Zähne der Schlangen, Entwicklung IX, 26.
- Giftschlangen, Kopfdrüsen IX, 617, Lippendrüsen 617, Lymphräume 618, Nasendrüse 618, Zungendrüse 618, Niekhautdrüse 618, Giftdrüse 619, Jochband 621, Lage und Bau 622, Hülle 623, Lymphräume 624, Epithel 625, Ausführungsgang 626.
- Gitterspectralfarbe, Erscheinungen bei Untersuchung der Diatomeen in reflectirtem Lichte VI, 501.
- Glandulae aciniformes II, 6.
- aggregatae II, 9.
- ampullaceae II, 8.
- cylindricae, Bau und Einwirkung von Reagentien II, 8.
- piriformes II, 6, Bau und Einwirkung von Reagentien.
- tuberosae II, 10.
- tubuliformes II, 8.
- Glanzkörper bei *Pelomyxa palustris*, Bedeutung X, 65.
- Glashaut des Haarsackes der Tastaare II, 440.
- der Haarbälge des Igelohres VIII, 301.
- der Tastaare des Igelrüssels, Zusammenhang mit der Nervenendigung IX, 209.
- der Tastaare, äussere XV, 49, innere 50.
- Glaskörper des Auges von Pteroceras II, 408, bei Gasteropoden 409.
- Lymphbahnen VI, 56.
- Bildung bei der Unke IX, 401.
- Begrenzungsschichten gegen die Retina 542, 584, beim Kaninchen 542, beim Menschen 547, Genese 545 und Erklärung seiner Beziehung zur Retina.
- Verhältniss zur Linsenkapsel 549, 585, beim Kaninchen 549, beim

- Menschen 556, hintere Glaskörper-
spalte 557.
- Glaskörper des Scolopendriden-
Auges, Beziehung zur Hypodermis
XVIII, 434.
- Entwicklung bei Vertebraten
XIX, 153, Gefäßsprossenbildung
154.
- Glasmicrometer I, 80.
- Glasschnecke — Vitrina.
- Glatthai — Mustelus.
- Glaucoma Wrzesniowskii XVI,
169, Fundort 171, Bau.
- Gliakerne und Gliareisernetz der
Neuroglia, Umbildung IV, 433.
- Gliederspinnen, Bildung durch
Kulturversuche mit Milch und Kar-
toffeln II, 77, Boden für die Ent-
wicklung aus Pinselsporen und Um-
bildung in Mucor 82, 84.
- Gliederstäbchen — Bacterium.
- Gliederthiere — Arthrozoa.
- Glimmer zur Untersuchung doppelt-
brechender Platten VII, 231.
- Glires, Ciliarmuskel IV, 365.
- Bau der Selme ausgewachsener
Schwänze VII, 282.
- Globigerinidae XIII, 29.
- Glockenapparat, gangliöser der
Harnblase XX, 368.
- Glockenform von Nervenzellen des
sympathischen Gränzstranges II, 27.
- Gloeocystis, Entstehung aus Chroo-
coccus VI, 23.
- Glomeris, Auge XVIII, 447, Retina
448, Stäbchen 448, Leistung 462.
- Glomerulus der Säugethierniere,
Anlage XVI, 514, Membrana propria
515, Locomotion 516, Verbindung
mit dem Epithel der Tubuli contorti
521.
- Entwicklung XVII, 113, Litter-
atur 114.
- Glycerin zur Untersuchung thieri-
scher Gewebe I, 311, für Samen-
körper 311.
- Glycerinleim zur Einschmelzung
mikroskopischer Präparate V, 165.
- Glycogen als Bildungsmittel der
Marksubstanz der Muskelfaser Wir-
belloser V, 220.
- Gobio fluviatilis, Retina XII, 757,
Stäbchen und Zapfen 758.
- Gobius, freie Seitenorgane XVIII,
373.
- Embryonalanlage IV, 233, Keim-
saum 224, 229, Embryonalschild
224, Vergleich mit Gasterostei 229,
Auftreten des Primitivstreifen 231,
Herzbeutel und Allantois 239, Augen-
anlage 244.
- melanostomus, Zotten des
Mitteldarms XIII, 682.
- minutus, Embryo II, 484 Al-
lantois.
- erste Entwicklung der Eier
IV, 212, Embryonalanlage 223,
Keimsaum 224, Embryonalschild
224, Begründung für den Keimsaum
229, Ei bis zur Bildung des Em-
bryonalschildes 231.
- Seitenorgane VI, 70.
- Gold, Einfluss auf Muskelfäden XIII,
369, bei Vögeln 372, bei Amphibien,
Darstellung der Endplatten als
Nervenendigung im quergestreiften
Muskel 366.
- Goldchlorid, Einwirkung auf Nerven
XIV, 333, Zellkern XVI, 333.
- Goldreaction zur Untersuchung
der Nerven IV, 117, der Spiral-
fasern des Sympathicus 141.
- Goliodon, freie Seitenorgane XVIII,
377.
- Gonostoma, Spiralklappe XIII, 680.
- Gorilla, Tastkörperchen XIX, 129.
- Gradflügler — Orthoptera.
- Gränzstrang des Sympathicus,
anatomisch-histologischer Bau II,
13, Nervenzelle der Ganglien 13,
21, Ganglienzellen 13, Nervenfasern
14, Remaksche Fasern 16, Hüllen
der Nervenzelle 17, und Nervenfaser
19, Stroma der Ganglien 19, Binde-
gewebe 20, Hüllen 20, Verbindung
zwischen Nervenzelle und Faser 22,
Wurzelfäden der Ganglien 24, Netz-
bildung in dem Ganglienkörper 24,
Commissurfasern der Ganglien 26,
Pole der Nervenzelle 29, Spiralfaser
26, Nervenzelle 27.
- Gräten von Polypterus XV, 460.
- Grammatophoren, Skulptur der
Kieselschale III, 81.
- Granatkrebs — Palaemon.
- Grandrysche Körperchen Ner-
venendigung XVII, 379.
- XX, 82, einfache 84, Innenkolben
85, zusammengesetzte 89, Zwilling-
körperchen 89, Terminalfaser 90,
Kolbenzelle, Verbindung durch Raphe
91, Terminalscheibe 93, Unter-
suchungsmethode 93.
- Granuliforms cells bei Euglypha
alveolata X, Suppl. 127.
- Gregarina Blattarum, Einschluss
amyloider Körper IX, 671.

- Gromia fluviatilis*, Vergleich mit *G. granulata* XI, 118.
- *granulata* XI, 117, Hülle 117, Weichkörper mit Kern 117, Pseudopodien 118, Vergleich mit *G. fluviatilis* 118.
- *hyalina* II, 141, Verhältniss der Kerne zu den Individuen 143, Structur der Kerne 144, Bewegungerscheinungen im Innern 145, Hüllen 158, Körnchenbewegung 159.
- — X, Suppl. 117.
- *oviformis* II, 141, XI, 116.
- *paludosa* XII, 32, Bau und Fortpflanzung 33.
- *socialis* 118, XI, Hülle 120, Weichkörper mit Kern 120 und Vacuolen 121, Pseudopodien 121, Colonienbildung 121.
- Gromiae*, Bewegung im Innern II, 145, Hülle 158, Körnchenbewegung 159.
- Stellung zu *Amoeba terricola* X, Suppl. 33.
- Gromidae*, XIII, 28.
- Grosshirn, Härtung IX, 105.
- Grosshirnrinde des Menschen, Architectonik IV, 407, Schichten 407, Verhalten der Blutgefässe 408, Schichtung bei Neugeborenen 418, Ganglienkörper 421, Neuroglia, Veränderungen 425, Solitärzellen 416, Trugpyramiden 421, Entwicklung der Ganglienkörper bei Neugeborenen 446, Fortsätze der Ganglienkörper 492.
- des Menschen, Architectonik V, 317.
- des Menschen, Ganglienkörper VI, 173, Methode 174.
- des Menschen, Architectonik XIII, 441, Schichtung 441, 446, Neuroglia, Vertheilung 442, Behandlung zu microscopischer Untersuchung 445, mit Carmin 446, Kali 451, Oxalsäure 452, Ganglienzellen 442, 444, 447, 448, 449, 452, Isolirung 459, Nervenfasern, Verlauf 448, 450, 451, freie Kerne der — 467, Anordnung und Vertheilung der Blutgefässe 470.
- bei Kaninchen V, 317.
- Uebergang der Axencylinderfortsätze in markhaltige Nervenfasern V, 375.
- Gründling — Gobio.
- Gürtel von *Dacypus novemcinctus* XIII, 250.
- Gürtelring der Orbitalregion des Primordialcranium der Amphibien XI, Suppl. 8.
- Guminea, Zusammenhang mit Halisarcineen III, 390.
- Gurkenqualle — Beröe.
- Gymnamoebae X, Suppl. 81.
- Gymnodactylus gekoides, Phosphorescenz XII, 221.
- Gymnodonten, Untersuchung von Knochen der Mundhöhle gleicher Entstehung XI, 170, 174.
- Gymnophrys cometa XII, 31.
- Gyps zur Untersuchung doppeltbrechender Platten VII, 231.
- Gyrosigma, Sculptur II, 287.
- H**aare, Erkrankung durch *Leptothrixschwärmer* II, 72, Achorionbildungen auf den — II, 73.
- Morphologie IV, 273, erste Bildung im embryonalen Leben 274, beim Schaf 277, Papillen, erste Bildung im Embryo 274, Balg beim Embryo 281, Knopf 283, Scheiden, Textur 284, Durchbruch der — 285, Talgdrüsenbildung 286, Bildung im extrauterinen Leben 286, beim Schaf 287, Kaninchen 289, Schwein 291, Mensch 293, primäre und Schalthaarbildung 295, Kräuselung und Ursachen 300, Pigment 301, Oberhäutchen 301, Papillen 301, ausgewachsene des Menschen, Ausfallen derselben 302, des Rehes 304, Haar Kolbenbildung 303, Arten der — und ihr morphologischer Werth 314, 317, Fettbildung bei der Entstehung der — 318.
- der Seitenorgane der Fische VI, 66, Beziehung zu den Zellen 67, bei Triton taeniatus 78.
- des Seitencanal-systems vom Kaulbarsch VI, 72.
- der Flughaut der Fledermäuse und Drüsen VII, 14, Bälge 15, Glas-haut 16.
- der Säuger, Terminalkörperchen VIII, 274, 654.
- des Igelohres VIII, 302.
- mit Wurzelzellkörper, Wesen IX, 204.
- des Igels, Tastapparat an — IX, 207.
- angebliche Terminalkörperchen, Deutung IX, 795.
- Histologie und Entwicklungsgeschichte XII, 689, innere Wurzel-

- scheide und Oberhäutchen 689, Hüllen 690, Genese, Henlesche Scheide 690, Huxleysche Scheide 691, innere Wurzelscheide 690, 701, Verhornung 701, äussere 693, Verhornung 694, Cuticula der — 696, Wurzelscheideneuticula 697, Beethaar und Wechsel 702, 721, Umwandlung aus Papillenhaar 715, beim Foetus, Haarbett, Bedeutung 704, beim Foetus 716, Schalthaar 704, Veränderung vor dem Ausfallen mit Verdickung der homogenen Membran 707, Atrophie der inneren Wurzelscheide 712, Wucherung der äusseren 712, Papillenhaare, junge, Ursprung 720, bei Haarwechsel. Wimperhaare, Entstehung bei alten Individuen 722, 724.
- Haare, innere Wurzelscheide, Färbung mit Jodviolett XII, 755.
- Vergleich mit der Entwicklung der Schuppen der Reptilien XIII, 235.
- des acustischen Endapparates der Säuger, Beziehung zur Membrana reticularis und der Cortischen Membran XIII, 516, Bedeutung 543.
- des Rüssels der Lepidopteren XV, 14.
- secundäre, Bildung beim Menschen IV, 299, in den Wimpern des Kalbes 308, Mark derselben beim Schaf 309
- Borsten- auf der Leibesfläche der Cephalopoden V, 416, Bedeutung 435.
- im Gehörorgan der Heteropoden V, Suppl. 77.
- Kopf- des Hirschkäfers IV, 88.
- Schalt- beim Menschen, Bildung IV, 295, Vorkommen 302, Bildung beim Reh 306, Entwicklung 316.
- Sommer- beim Reh, Ausfallen IV, 304.
- Tast- zur Kenntniss des anatomischen Baues II, 436, Wurzelscheide 443, Papille 444, Haarbulbus 446, spongiöser Körper 446, Ringwulst 453, Gefässverlauf 455, Nervenendigung 456, Untersuchungsmethode 463.
- Nervenendigung II, 456, bei Katze 461.
- der Säugethiere IX, 197, Nervenendigung und feinerer Bau 204, Litteratur 198, Glashaut und ihre Verbindung mit dem Nervenring 207, im Rüssel des Igels 209, schwammiger Körper 212.
- Haare, Tast-, Bau IX, 798.
- der Batrachier, Nervenendigung der Wurzelscheiden XII, 520.
- zur Anatomie XV, 41, Nervenendigung in der Kaninchenschnauze 45, secundäre Tasthärchen 48, Querschnitt 48, 49, Glashaut, äussere 49, innere 50, Haarbalgscheide, äussere 49, Wurzelscheide, äussere 50, innere 51, Cylinderzellenschicht 50, Riff- und Stachelzellenschicht 50, Mark 51, Rinde 51, Pigmentbildung 52, Cuticula 52, Verhältniss der Talgdrüse zu den Straten der Oberhaut 53, Ursprung aus der äusseren Wurzelscheide 54, Stratum lucidum, Matrix der Talgdrüsenelemente 55, Verhalten der Wurzelscheide und Haarbalgscheide am unteren Ende des Haares 56, Wurzelscheiden, Uebergang in Papillen 57.
- bei Trichonisciden XIX, 600.
- Winter- beim Reh, Bildung IV, 306.
- Haaranlage, erste XII, 732.
- Haarbälge des Igelohres VIII, 303, Glashaut 301, Zellen 304, Nervenknäuel 304, 311, Nerven 306.
- Haarbalgscheide äussere, der Tasthaare XV, 49, innere 50, Verhalten am unteren Ende des Haares 56, Uebergang in die Papille 57.
- Haarbildung im extraterinen Leben beim Schaf IV, 287, Kaninchen 289, Schwein 291, Mensch, Rindenzellen 293, Litteratur 311.
- bei Trichonisciden XIX, 598.
- auf der Zitze der Wiederkäufer XX, 482.
- Haarbulbus der Tasthaare II, 446.
- Haarentwicklung bei Schafembryonen IV, 277, Haarschaft und innere Scheide 278, Papillen 274, des Haarbalges 281, Haarknopfes 283
- Haarpapille der Tasthaare II, 444.
- Haarsack der Tasthaare II, 439, Glashaut 440.
- Haarschaft und innere Scheide, erste Anlage IV, 278.
- Haarscheide, Textur IV, 384.
- Haarwechsel, periodischer IV, 310.
- Habenula perforata des acustischen Endapparates der Säuger XIII, 502, Structur.

- Haeckelina** Bau XVI, 213, Fundort 210.
 — borealis Bau XVI, 211, Fundort 214.
- Hämalfortsätze** der Ganoiden XV, 460, Plagiostomen 506.
- Hämatoblasten**, Heitzmannsche XI, 169, 170, Kern.
 — bei Vögeln XII, 251.
 — Formen bei Blutbildung XIII, 484, 485.
 — des Knochenmarks XVII, Kerne 24, Umwandlung zu kernlosen Blutkörperchen 33, Verhalten der Kerne 33, 37.
 — bei Thieren mit kernhaltigen Blutkörperchen XVII, 40.
- Hämatoblastennetze**, primitive XIII, 486, secundäre 486.
- Haematochrom**, Farbstoff der Algen III, 44.
- Hämatoxylinfärbung** IV, 345.
- Hämoglobin**, als Substanz der roten Blutkörper I, 93.
 — erkannt durch Eosin XIII, 479, XIV, 380.
 — Nachweis in der Winterschlagdrüse durch Eosin XIV, 380.
- Häärchen** und **Stiftchen** der Schmeckebecher IV, 164.
- Häringskönig**, — Zeus faber.
- Haftkiefer**, — Plectognathi.
- Hahn**, — Gallus domesticus.
- Hahnenkamm**, Lymphwege III, 415, Nerven 415.
- Hai** — Carcharias.
- Haliotis tuberculata**, Haut V, Suppl. 52.
- Halisarcinen**, Structur III, 390, Zusammenhang mit Gummineen.
- Halitherium Studeri**, Verhalten der Knochen im tertiären System XV, 376.
- Haloptychius**, Deckknochen der Mundhöhle, Beziehung zu den Deckknochen des Schädels, Integumentossification XI, Suppl. 186.
- Halmaturus**, embryonale Entwicklung der Milchdrüse XX, 495, Mammaraschenanlage 496.
- Halsthierehen** — Trachelius.
- Hand** vom Frosch, Gelenknervkörperchen an Beugeschnen XVI, 615.
- Haplophthalmus Mengii**, Anatomie XIX, 579, allgemeine Körperform 580, Hautdecke 583, Pigmentirung 585.
- Haplotaxis Menkeana** I, 249.
- Harnblase**, Anlage und Entstehung bei Knochenfischen IV, 268.
 — Entwicklung bei Bombinator igneus V, 115.
 — des Frosches, Verhalten zw. glatten Muskelfasern und Nerven V, 509.
 — des Erdsalamanders, Zellkern XIII, 696, Netzbildung 704, 711, nach Chronkali 699, Alkohol 700, Chromsäure 700, Osmiumsäure 701, Anilin 702, Aqua destillata 704.
 — des Salamanders, Epithelzellenkerne, Beziehung zur Netzbildung im Protoplasma XIII, 711, Vergleich mit Ganglienzellenkernen 712.
 — Nervenendigung XIV, 326.
 — Innervation XX, 361, Ganglienzelle 364, Sympathicus, Vertheilung 363, Glockenapparat, gangliöser 368, Beziehung zu Cerebrospinalnerven 369, Litteratur 371.
- Harnkanälchen**, erste Anlage I, 244.
 — Entwicklung bei Bombinator igneus V, 108.
 — gewundene und gerade, mit indigschwefelsaurem Natron X, 38, 41.
- Harnleiter**, Histologie XVII, 14, Epithel bei Mensch 14, (Regeneration und Bindegewebszellen 15), beim Pferd 16, Rind 16, adenoides Gewebe 17, acinöse Drüsen 17, Entartung 18, beim Pferd 18, Function 19.
- Harnorgane**, Doppelfärbung XV, 37.
- Harnsecretion**, Theilnahme der einzelnen Theile XI, 77.
 — erste beim Embryo XVI, 517.
- Harnstofflösung**, Wirkung auf Frochblut I, 33.
- Harn- und Geschlechtssystem**, Entwicklung I, 233, II, 474.
- Hase** — Lepus.
- Hausmaus** — Mus musculus.
- Hauschwimmvögel**, Tastkörperchen der Zunge und des Schnabels XI, 639, Nerveneintritt und Lage 640.
- Hausaugethiere**, Ciliarmuskel IV, 353.
- Haut**, Nervenendigung in der epithelialen Schicht V, 506.
 — spindelförmige Zellen, Beziehung zur Nervenendigung VI, 226.
 — Vertheilung des Fettgewebes XII, 434.

- Haut, Färbung mit Jodmethylanilin XII, 734.
- Doppelfärbung XV, 34.
 - von *Aeolis* V, Suppl. 54.
 - der Amphibien, Bindegewebe XII, 222, weiches 222, derberes 223, Verhältniss von Blutgefässen und Nerven 223, Lymphraum 224, Bedeutung 224 und Vertheilung 226, Wanderzellen 227, Kerne 229, Muscularis 238, Kalkablagerungen 238, Drüsen 238.
 - von *Amphioxus lanceolatus* XII, 301.
 - von *Ancyclus lacustris* V, Suppl. 52.
 - von *Anguis fragilis* XVII, 359, Sculptur 761.
 - von *Aphysia punctata* V, Suppl. 53.
 - von *Arion ater* V, Suppl. 55.
 - der Batrachier, Nervenendigung XII, 519 mit Ganglienkugeln.
 - von *Calyptraea vulgaris* V, Suppl. 52.
 - der Cephalopoden, Epithel V, Suppl. 60, Pseudochromatophoren 71, Flitterschicht 72.
 - von *Doris*, becherförmige Sinnesorgane V, Suppl. 53.
 - von *Echiniscus Sigismundi* I, 431.
 - des Frosches, Corrosion XVI, 481.
 - der Gasteropoden V, Suppl. 52.
 - von *Haliotis tuberculata* V, Suppl. 52.
 - der Heteropoden V, Suppl. 57, wimpernde Sinnesorgane 58.
 - der Insecten, fibrilloides Gewebe, Bedeutung X, 124.
 - der Kuhzitze, Langerhans'sche Körperchen VIII, 643, Nervenendigung 643.
 - von *Lacerta viridis*, Sculptur IX, 761, XVII, 357, Anhangsgebilde am Unterkiefer 350, am Oberschenkel 358.
 - der Landgasteropoden, Farbdrüse V, Suppl. 54, 56, Schleimdrüse 56.
 - von *Limax*, secernierende Zellen III, 204.
 - der Meeresgasteropoden V, Suppl. 52.
 - der Mollusken V, Suppl. 38, Schmeckbecher 50, Pigmentirung 51.
 - der Ophidier, einheimischer IX, 753, Cuticula 754, streifige Sculptur, Kiel 758, Kopfschilder und Brustschienen, Sculptur, Farbenverschiedenheit bedingt durch Sculptur 760, höckerige Sculptur 760, Entstehung, streifige Sculptur 761, Bedeutung für Systematik 762, Einfluss auf Häutung 763, Epidermis, Bau 764, Fettinhalt, Betheiligung an der Häutung 764, Amyloidkörper, Beziehung zur Häutung 765, Hornschuppen 766, becherförmige Sinnesorgane, Verbreitung 766, eine andere Art von Sinnesorganen 767, Vertheilung, histologisches Verhalten 769.
 - von *Pterotrachea*, Nervenendzelle XIV, 174.
 - von *Python javanicus* XVII, 353.
 - der Reptilien und anderer Wirbelthiere XII, 205, Litteratur, Zusammensetzung 209, Schuppenentwicklung 227, Epidermis 217, Cutis 241, von *Tropidonotus natrix*, Embryo 228, von *Dacypus novemcinctus*, ausgewachsen 249, Embryo 252.
 - der Reptilien, Bau XVII, 346, Pneumaticität 352, Nerven 352, Endigung in Epidermiszellen 353.
 - der *Salamandra-maculosa*-Larve IX, 745, Epithelzelle 745, Cuticularbildung 745, Schleinzellen 746, Lage, Vertheilung, Bedeutung 748, Seitenorgan, Verhältniss zur Cuticula 748.
 - der Saurier, Sculptur IX, 761.
 - der Süßwasserrhizopoden V, Suppl. 52.
 - von *Tropidonotus natrix* XVII, 355.
- Häute des Bulbus des Cephalopoden-
 auges XVI, 217, 223, *Argentia* ext. 216, int. 217.
- des Rückenmarks IX, 310.
 - seröse, Veränderung bei der Entzündung XVIII, 138.
 - des sympathischen Nervensystems IX, 361.
- Hautbedeckung von *Loxosoma* XII, 3.
- Hautdecke von *Haplophthalmus Mengii* XIX, 583.
- der Insecten, Farbe XII, 536, von *Saturnia Pernyi* 537, *Argynnis paphia* 538.
 - der Trichonisciden XIX, 583, Cuticula 583, Matrix, Pigmentirung der Matrixzelle, Pigmentzelle, Verän-

- derung bei farblosen Thieren 587, Häutung 598.
- Hautdecke von *Trichoniscus batavus*, Pigmentirung XIX, 583, 586, von *Trichoniscus Leydigii*, Pigmentirung 583, 585, *Tr. pusillus*, Pigmentirung 583, 585, von *Tr. roseus* 583, Pigmentirung 585.
- Hautdrüsenlage von *Distomum Westermanni* XIX, 538, Bau und Litteratur.
- Hautflügler — Hymenoptera.
- Hauthöcker von *Carinaria* V, Suppl. 10.
- Hautknochen der Amphibien, Beziehung zur Befestigung der Zähne XI, Suppl. 50.
- bei Amphibien XII, 193, Reptilien 193, *Ceratophrys dorsata* 193, *Gekotidae* 194, *Platydictylus mauritanicus* 194 und *aegyptiacus* 195.
- bei *Dacypus novemcinctus* XIII, 251, Ernährungslöcher 251, Osteoblasten 254, Ursprung 255, Betheiligung an der Knochengrundsubstanz 255, Sharpey'sche Fasern 254, Ossificationsprocess 254.
- Hautmuskellage von *Distomum Westermanni* XIX, 537, Ringfaser-schicht, Längsfaser, Diagonalfaser 537.
- Hautnervenendigung VI, 225.
- bei *Pterotrachea* XIV, 171, 174.
- Hautpapillen mit Tastkörperchen bei Schlangen VIII, 349, Vorkommen, Bau 350, Nervenendigung 351.
- Hautpigment der Mollusken V, Suppl. 51, bei Amphibien XIX, 594.
- Hautschild eines Sauriers, Verhalten im Jurassischen System XV, 375.
- Hautsecret der Gekotiden XII, 219, *Platydictylus mauritanicus* 220 und *europaeus* 221.
- Hautsinnesorgane bei *Pterotrachea* XIV, 175.
- Häutung der Amphibien, Beziehung zu einer besonderen Zellenart der Haut III, 168.
- bei *Porcellio scaber* XVII, 131, Frühjahr, Herbst 137.
- Hautzähne der Selachier, Dentinbildung XX, 246, Schwanzstachel 247, Interglobulärräume 249, Dentinbildung 250, Odontoblasten 250.
- bei *Spinax acanthias*, XX, 258, Flossenstachel Dentinbildung 258, Odontoblasten 261.
- Hautzähne beim *Trygon* XX, 247.
- Haversian spaces bei Kaninchen, Wesen XI, 64.
- Heberwurm, nackt — *Sipunculus*.
- Hechelthierchen — *Oxytricha*.
- Hecht — *Esox lucius*.
- Hechtkrokodil — *Alligator lucius*.
- Hedriocystis* XIII, 28.
- *pellucida* X, Suppl. 225, 227, Schale 226, Skelettbildung 226, Weichkörper 226, mit Kern und Vacuolen 226, Pseudopodien 226, Fortpflanzung durch Theilung und Encystirung 226.
- Hefebildung aus Schimmelsporen III, 332, aus Vibrionen 336, im Fruchtfleisch 337, Nährstoffe 324, 332, in Samen 338, durch Rohrzucker 324, 333.
- Heilungsprocess bei Muskelverletzung im Zustande der paralytischen Atrophie IV, 333.
- Helicidae, haartragende Sinneszellen in der Oberhaut, Zusammenhang mit Nervenfasern V, 434.
- Heliophrys *variabilis* XI, 28, XIII, 27.
- Heliosphaeridae, Gattung V, 467, 481.
- Heliozoa X, Suppl. 81, 147, Werth 151, Verwandtschaft mit Radiolarien, Vorhandensein der Centralkapsel 153 und der gelben Zelle 154, Körperform 156, 160, Scelett 157, 162, Entwicklung 159, Endosark mit Kern 161 und Ectosark 160, mit contractiler Vacuole, Pseudopodien 161.
- Einiges über — XII, 29.
- XIII, 27.
- *asceleta* X, Suppl. 162, 163, Fortpflanzung 164.
- *chalerotheraca* X, Suppl. 193, Scelett 209.
- *desmotheraca* X, Suppl. 225.
- *sceletophora* X, Suppl. 209, 189, Bedeutung der Rinde $\frac{1}{2}$ Mark 190, Pseudopodien 190.
- Helix, feiner Bau der Muskelfaser V, 239.
- Gehirn VII, 206, Gehörorgan 209, Muskel und Nerven des Herzens XIV, 317.
- *arbutorum*, Nierenzelle V, Suppl. 93.

- Helix hortensis*, Nierenzelle V, Suppl. 94.
 — pomatia, Nierenzelle V, Suppl. 93.
 — — Fühlernerv, XVII, 87, Fühlerganglion 89, terminale Endausbreitung 89, Zellenhaufen im Fühlerknopf 90, spindelförmige Zellen im Fühler 93.
Helmichthys, freie Seitenorgane XVIII, 386.
Helomyza, otocystenartige Sinnesorgane der Antennen XVI, 42.
Hemipol, Bedeutung II, 29.
Hemiphractus, Vertheilung der Zähne XI, Suppl. 539.
Hemiptera, Fettkörper IX, 178.
 Hengst, Spermatogenese XV, 292.
Hepatopancreas der Onisciden XVII, 422.
 — der Trichonisciden XIX, 622.
 Herbsteische Körperchen XIX, 70, Vergleich mit den Key-Retzischen Körperchen 67, Innenkolben 70, Kolbenzelle 70, Längskolbenzelle, Bedeutung 72.
 Hermannsche Anilinfärbung zur Tinktion des Zellkernes XVI, 339.
 Hermannsches Kernfärbungsverfahren XIX, 317.
Hermione hystrix, Auge XVII, 308.
Hernirhamphus, secundäre Wirbelkörper XVI, 123.
 Herz, erste Anlage II, 522.
 — Beschaffenheit der Nervenfasern XIII, 386.
 — Ganglienzelle bei Mensch und Thieren XIV, 470.
 — von *Amphioxus lanceolatus* XII, 336.
 — der Ascidien V, 228.
 — beim Barsch, Anlage IV, 256.
 — bei *Bombinator igneus*, Entwicklung V, 112.
 — bei *Bufo cinereus*, Bildung VII, 157, Lage 158, Untersuchungsmethode 158, Pericardialhöhle 160, Mesocardium, Vorkommen 161, 162, Inhalt der — und Entwicklung 163, Verhältniss zur Pericardialhöhle 164.
 — von *Corethra plumicornis*, Bau X, 295.
 — der Forelle, Anlage IV, 257, beim Hecht, Anlage IV, 256.
 — von *Helix*, Muskeln und Nerven XIV, 317.
 Herz und Herzbeutel bei Knochenfischen, erste Anlage IV, 252, Auftreten der Pulsation 257, Eintritt der Circulation 267.
 — bei *Molgula simplex*, Anlage VIII, 377.
 — der Mollusken XIV, 59, Muskeln 60, bei *Pecten maximus* 60, des Ventrikels 60, der Vorhöfe 61, bei Salpen 61, Nerven bei *Pecten maximus* 62, apolare Nervenzelle 63, Blutcirculation 63, Herzcontraction 63.
 — der Mollusken, Muskeln und Nerven XIV, 317, XV, 95.
 — bei *Phallusia canina* V, 461, Bildung.
 — bei *Pyrosoma* (Cyathozoid), Anlage XI, 618.
 — des Störes, lymphoide Drüsen der Oberfläche IX, 62.
 — bei Unke, Anlage IX, 411.
 — bei Vogelembryonen, Anlage XIV, 459, Darstellung 462, Fovea cardiaca, Bildung 464.
 Herzbeutel, Anlage bei Knochenfischen, *Gobius* und *Gasterosteus* IV, 239, Entwicklung 252.
 Herzkammer der Insecten IX, 143.
 — des Maikäfers, Anatomie und Physiologie IX, 643.
 Herzmuschel — Cardium.
 Herzmuskel, Nervenendigung beim Hund XIII, 385, Frosch 387.
 Herzschlag, Regulirung durch Blutgeflecht bei Mollusken XIV, 318.
 Herzthätigkeit des Maikäfers durch electricische Versuche erläutert IX, 189.
 Herzwand beim Huhn, Bildung der Darmfaserplatte XVI, 587.
Hesione pantherina Risso, Auge XVII, 305.
Heteromita adunca Bau 190, Fundort 191, XVI.
 — *cylindrica* Bau 190, Fundort 190, XVI.
 — *sulcata* Bau 189, Fundort XVI, 190.
Heterophrys X, Suppl. 211, Scelett 212.
 — *marina* X, Suppl. 213, Scelett, Weichkörper 213, mit Mark (Kern) und Rinde (Blasen) 213, Pseudopodien 214.
 — *myriopoda* XI, 21, Pseudopodien 22.
 — *spinifera* X, Suppl. 215, 217, Scelett 215.

- Heterophrys varians** X, 386, Kerne 386, pulsirende Vacuole 387, Pseudopodien 387, Hülle 388, Ruhezustand 389.
 — — — XIII, 27.
- Heteropoda**, Stäbchen der Retina V, 18, Zusammenhang mit Nervenfasern 20.
 — — — Stäbchenschicht V, 383.
 — — — Bindegewebe V, Suppl. 6, Bindegewebskörper 7, Zellen 7, Haut 57, wimpernde Sinnesorgane 58, der Rüsselspitze 59, Gehörorgan 76, Polsterzellen 77, Zusammenhang mit Nervenfasern 81, Borstenhaare im Gehörorgan 77, Epithel 79, Nervenverbindung 80, Crista acustica 82, Zoospermien 97.
 — — — Gehörorgan XII, 103, XV, 341.
 — — — acustischer Apparat XV, 341.
- Heupferdchen** — *Locusta viridis-sima*.
- Heuschrecke** — *Locusta*.
- Hilusstroma** des Eierstockes der Kuh I, 168.
- Hinterdarm**, Entwicklung bei *Bombinator igneus* V, 111.
- Hinterhirn**, Bildung bei der Unke IX, 400.
- Hippocampus brevirostris**, comes und longirostris, Cuticularbildung V, 301, Flammzellen 305.
- Hippopotamus**, Verhalten der Knochen im tertiären System XV, 376.
- Hirnanhang**, Bildung XI, 389, bei Unke IX, 398.
- Hirnausbildung** beim Forellenkeim XV, 179.
- Hirnbildung** bei Unke IX, 398.
- Hirnhaut** bei der Unke IX, 401.
- Hirnnerv** bei *Amphioxus lanceolatus* XII, 296.
- Hirnplatte**, Bildung bei der Unke IX, 397.
- Hirnrinde**, Nervenendigung VIII, 453.
 — — — Zusammensetzung XV, 613.
- Hirschkäfer** — *Lucanus cervus*.
- Hirudinea**, Speicheldrüsen I, 274, Rückengefäß 282, Schleifenanäle 286.
 — — — feiner Bau der Muskelfaser V, 218.
 — — — Neurilemma IX, 777.
- Hirudo**, Retina XII, 779.
 — — — Nervenendigung in Muskeln des Chylusmagens XIV, 328, in Gefäßen 331.
 — — — Ganglienzelle XVI, 102.
- Hirudo medicinalis**, feiner Bau der Muskelfaser V, 218.
 — — — *rustica*, Retina XII, 779.
- Histologische Mittheilungen** XV, 30.
- Hoden**, Anwesenheit von Lymphkörperchen I, 74.
 — — — amöboide Zellen I, 403.
 — — — ungestielte Hydatide XIII, 278, Deutung als Ovarium masculinum negirt, erklärt als Pars infundibuliformis Tubae 279.
 — — — Keimnetz von *Ebner* XV, 207.
 — — — von *Ascidia canina* VI, 120.
 — — — bei *Batrachiern*, Verbindung mit Urniere XVIII, 15.
 — — — von *Bufo variabilis* XV, 403.
 — — — bei *Distomum Westermanni* XIX, 558, Keimlager 558, Follikelzelle 560, Ursamenzelle 559.
 — — — des Menschen, Vergleich des Epithels mit dem des Nebenhodens XI, 321.
 — — — der Muscheln, Bau XIV, 17, Untersuchungsmethode 19, Corpus Highmori 20, Fortsätze 20, Bindegewebe des —, Bau 21, Zellen der Zwischensubstanz des — 22, drüsige Bestandtheile 23, Tubuli contorti 23, Wandung 24, Membrana propria 26, Inhalt 28, Bedeutung 31, Aenderung beim Uebergang in die recti 23, 28, Tubuli recti 28, Länge 29, Wand 29, Epithel 29, Bedeutung 31, Rete Testis Halleri 30, Epithel 30.
 — — — bei *Phreoryctes Menkeana* I, 289.
 — — — bei *Salamandra*, Theilung der Epithelzellen XVIII, 189.
 — — — der Urodelen, Theilung der Epithelzelle XVIII, 170.
- Hodencanälchen**, sternförmige Zellen XV, 203.
 — — — beim Stier XV, 286, Lage der Zellelemente 290.
 — — — beim Widder XV, 291.
- Hodeneierstock** bei *Bufo cinereus* XII, 808.
- Hodenfollikel** der *Trichonisciden* XIX, 637, Follikelzelle 638.
- Hodenschläuche** der *Trichonisciden*, Bau XIX, 634, Tunica propria 635, Zellen 636.
- Hodenzwischensubstanz**, Bedeutung XVIII, 85, bei *Sciurus vulgaris* 89, Beziehung zur Bildung des *Corp. luteum* 90.

- Höhle, Bäersche, bei *Nassa mutabilis* XIII, 107, 108.
- Höhlenbär — *Ursus spelaeus*.
- Höllensteinlösung zur Entfernung des Epithels der Cutis des Froschlärvenschwanzes II, 493.
- Hörhäärchen beim Menschen III, 123, Beziehung zu den Nerven 125.
- Hörleiste im Gehörorgan der Octopoden und ihre Verbindung mit Nerven V, Suppl. 87, Epithel 87.
- Hörstäbe im Ohr von *Pterotrachea* XII, 568.
- Holophrya Kessleri*, Bau XVI, 171, Fundort 172.
- Holopol, Bedeutung II, 29.
- Holzessig zur Untersuchung des Ciliarmuskels IV, 368.
- Horizontalfaser der Kleinhirnrinde VI, 199.
- Hormoceras, Farbstoffvertheilung III, 22.
- Horn der *Vipera ammodytes* IX, 787, Bau, Blutgefäße 788, Nerven 788, Corium, Pigmentirung 789, Epidermis 789, Cuticula 789, Wesen 789, Litteratur 790.
- Hornfisch — Balistes.
- Horngerüst der markhaltigen Nervenfasern XIX, 225, nach Behandlung mit Alkoholätherextract 226, Verdauung 227, Chloroform 227, glycocholsaures Natron 229, Wasser 229.
- Horngewebe, Doppelbrechung XI, 661.
- Horngräten des Mundes der *Cocciden* XIII, 35.
- Hornhaut — Cornea.
- Hornhautkörperchen VIII, 542, 547.
- Hornhecht — Belone.
- Hornnadeln bei *Davinella aurea* I, 348, Bau und Verästelung.
- Hornschuppen, Doppelbrechung bei *Acanthopterygii* Gobiacei XI, 671, bei *Blennius* Gallonagine 671, bei *Labrini* (*Spurus Keffrei*) 671, bei *Percacei* (*Mullus barbatus*) 672, *Scleropacei* (*Scorpaena scropha*) 672, *Scobrini* (*Scomber*) 673, *Mugiloides* (*Mugil cephalus*) 673.
- der Ophidien, Bedeutung IX, 766.
- der Reptilien und Fische XI, 667, Doppelbrechung bei *Loricaten*, *Alligator lucius* 669, *Serpentes Eyrystomi* (*Tropidonotus*, *Coluber natrix*) 670, *Malacopterygii* abdomi-
- nales (*Corregonus maraena*) 670 und *Cyprinus carpio* 671; *Serpentes iugulares* (*Lepidolepsus tachyrynchus*) 671.
- Hornschuppen der Reptilien und anderer Wirbelthiere, Anlage XIII, 234, Epitrichialschicht 234.
- Hornzähne der Anuren VI, Suppl. 136.
- von *Petromyzon* V, 310.
- Hoswshippische Lacunen der Knochen XI, 36.
- Hüllen der Nervenzellen des sympathischen Gränzstranges II, 17, der sympathischen Ganglienkörper 18.
- der Gromien II, 158.
- der peripheren Nerven IX, 334, Beziehung zur Dura 334, Arachnoidea 335, zum Subarachnoidealgewebe 335.
- des Rückenmarks, Beziehung zu den Nervenwurzeln IX, 337.
- der markhaltigen Nervenfasern, Beziehung zur Fibrillenscheide IX, 356.
- der Leber von *Astacus fluviatilis* XVII, 439.
- der Geschlechtsstoffe XVIII, 31, Vergleich der männlichen und weiblichen 37, bei Vögeln 37, Reptilien 40, Amphibien 41, *Bombinator igneus* 42, *Teleostier* 44, *Cyprinus erythrophthalmus* 45, *Plagiostomen* 47, *Petromyzon* 47, *Wirbellosen* 49, *Cephalopoden* 49, *Insecten* 50, *Tenebrio molitor* 51, *Crustaceen* 53, *Astacus fluviatilis* 53, *Daphniden*, *Phyllopoden*, *Sida crystallina* 55, *Copepoden* 56, *Würmer* 56, *Mollusken* 57, *Echinodermen* 57, *Schwämme* 57.
- Hüllhaut des Auges von *Pteroceras* II, 407, von *Pterotrachea* 426.
- Hüpfertling — *Cyclops*.
- Huhn — *Gallina*.
- Hühnerei, Keimbläschen VIII, 17, Chorion 415, *Zona radiata* 416.
- Bildung der Keimblätter und des Blutes X, 145, Dottertheilung 147, Keimböhle 149, Keimböhlenboden, Vermehrung der Elemente 150, Keim, Dotterzellen, Bedeutung 155, Keimschichtung 153, 159, Entwicklung des bebrüteten Hühnerkeimes 163, Keimblätter 163, 169, Primitivstreif, Bedeutung und Bildung 164, 172, Axenstrang 164, 172, Primitiv und Querrinne 165, 172, Darmblatt 171, mittleres Keim-

- blatt 171, Wirbelsaite, Segmentplatte 178, 179, Dotterzellen, Bedeutung zur Bildung des embryonalen Blutes 180, Keimwall, Veränderungen 181, Nebenkeim 192.
- Hühnerei, eigenthümlicher Einschluss in dem — XII, 359.
- Entwicklung des mittleren Keimblattes XV, 67, Untersuchungsmethode 68, 78, Chromsäure zur Härtung, Werth 68, Keimhöhle, Entstehung 69, 77, Keimhöhleninhalt 70, Umbildung weisser Dotterelemente in gelbe 72, Ursachen der Umbildung 73, Dotter, Verhalten gegen Chromsäure 74, Keimhöhlenboden 77, Keimblattbildung, Vorgänge bis zur Vollendung 79, Keimschicht und Randwulst 80, erste Umwandlung 83, Entwicklung des dritten Keimblattes aus demselben 85, Zellen am Boden der Keimhöhle, Ursprung 83, Primitivstreif 86, Primitivrinne 89, Mesoblast, Vergrößerung durch Zellvermehrung 89, Randwulst, Veränderungen 87, 89, Litteratur 91.
- erste Entstehung des Blutes und der ersten Gefäße XVI, 545, Randwulst, Veränderungen 561, Primitivstreif 562, Keimwall 564, Verhältniss zu den Keimblättern, Zellen derselben 570, Veränderungen derselben 566, distale Zone 567, proximale Zone 568, Dotterkugeln 569, Isolirung des gehärteten Keimwalles 570, Zellen, Verhältniss zu Dotterelementen 572, zur Area pellucida 575, Zellvermehrung 579, Mesoblast, Auftreten 580, in der Area opaca mit Veränderungen des Keimwalles 580, erste Blut- und Gefässanlage 582, 584, Gefässplatte 583, Herzwand, Betheiligung der Darmfaserplatte an der Bildung 587, Litteratur 596.
- Hühnerembryonen zur Untersuchung der Entwicklung des fibrillären Bindegewebes VIII, 44.
- Blutbildung XIII, 483.
- Blutgefässbildung XIII, 490, 492.
- Hühnerhabicht — *Astur palumbarius*.
- Hühnerkeim, Blätterbildung XX, 174, Kritik der Litteratur 175, Untersuchungsmethode 181, unbrütete Keimscheibe 183, Zwischenstadium 185, Entoderm- und Ectodermbildung 186, Embryonalschild, Anlage, Wesen und Schicksal 186, Primitivstreif, vorbereitende Anlage 189, Anlage 193, Sichelrinne 189, Mesodermbildung 190, 197, 202, intermediäre Zelle, Bedeutung 191, Primitivrinne 199, Vergleich mit Reptilien 204, Säugern 207.
- Humor aqueus, Formelemente VI, 287, Ausscheidung und Aufsaugung VI, 351.
- Hund — *Canis*.
- Hundeei, Keimbläschen VIII, 20.
- Hundshai, — *Scyllium*.
- Huxleysche Scheide des Haares, Genese XII, 691.
- Hyalodiscus Korotnewi Bau XVI, 194, Fundort 200.
- *rubicundus* X, Suppl. 49, Kern 51, Fortbewegung 49, 52, Bau 50, Vacuolen 50.
- Hyaloidea des Auges und ihr Verhältniss zur *Limitans Retinae* VI, 320, 322, Spaltung an der *Ora serrata* VI, 322.
- Hyalolampe X, Suppl. 220, 225, Skelett 220, Weichkörper 221.
- *exigua* X, Suppl. 222, 225, Beziehung zu den Radiolarien 224.
- *fenestrata* X, Suppl. 221, 225, V, 501.
- Hyalonema, Wesen III, 206, Kiesel-fäden 208, parasitischer Polyp auf — 208.
- *longissimum*, Vergleich mit *H. Sieboldi* XI, 290.
- *mirabilis* III, 214.
- *Spongiae*, Nadeln III, 209.
- *Sieboldi* III, 214.
- XI, 286, Kiesel-fäden 288, Vergleich mit *H. longissimum* 290.
- Hyalosphenia XI, 335.
- *lata* XI, 335, Schale 335, Weichkörper 336 mit Kern und Vacuole, Pseudopodien 337.
- Hyalosphenidae XIII, 26.
- Hydatide, ungestielte des Hoden, Bedeutung XIII, 278.
- ungestielte o. Morgagnische XVI, 15.
- beim Kaninchen XX, 103.
- Hydra, Neuromuskelzelle, Nervenendigung und intravaginales Nervenfaser-netz XIII, 384.
- Hydreen, Conservierungsflüssigkeit XIII, 868.
- Hydroiden, Stellung zu Medusoiden V, 277.

- Hydroidquallen, Randbläschen I, 143.
- Hydrophilus, Vergleich seiner Muskeln mit denen der Milben VIII, 72.
- piceus, optisches Verhalten der quergestreiften Muskelfaser V, 139.
- Hydrorhachis int. cystica, Entwicklung des Ventriculus terminalis des Rückenmarks XI, 222.
- Hydrosaurii, Gehörorgan XX, 343, inneres Ohr 343, knöchernes Labyrinth 343, häutiges Labyrinth 345, Foramen utriculo-sacculare 348, Utriculus 348, Sacculus 349, Ductus endolymphaticus 349, Canalis reuniens 349, Cochlea 349, Pars basilaris 349, Lagena 349, Membrana basilaris 350 und Reissneri 350, 352, Scala cochleare 351, Nervus acusticus 352, Papilla Retzii 353.
- Hyla, Papille der Cutis ohne Tastkörperchen XII, 155.
- arborea, Farbenwechsel XII, 180.
- — Vorderdarm XIV, 195, Oesophagus, Epithel 195, Magendrüsen 195.
- Hygiostomus XI, Suppl. 186, Deckknochen der Mundhöhle, Beziehung zu Deckknochen des Schädels, Integumentossification.
- Hymenoptera, Nervenendigung im quergestreiften Muskel IX, 502.
- Verbreitung der Chordotonalorgane XX, 554, porifere Vorkommnisse der Chordotonalorgane auf den Flügeln 593.
- Hypotamus Gresslii, Verhalten der Knochen im tertiären System XV, 377.
- Hypodermis des unioornealen Tracheaten und speziell des Arachnoiden- und Myriopoden-Auges XVII, 61, hypodermale Grenzhaute 63.
- Beziehung zum Glaskörper des Scolopendriden-Auges XVIII, 434.
- Hypoglossuskern, kleinzelliger XIX, 383, Zellen 383, Verbindung mit dem grosszelligen Kerne 389, Bedeutung 389, accessorischer Kern 390, Zusammenhang mit Nucleus lateralis medius 392.
- Hypophysensäckchen, Veränderung der Chorda während der Abschnürung des — XI, 411, beim Hühnchen, Umwandlung in Drüsen-schläuche 414 bei Vogel, Huhn 415, Kaninchen 416, 417, 419 Säugern.
- Hypophysis cerebri, Trichterfortsatz XI, 420, Bildung 436, Physiologie 438.
- J**acobsmantel — Pecten Jacobaei.
- Ichthyosaurus, Brustbein und Schultergürtel XIV, 547.
- Igel — Erinaceus.
- Igelfisch — Diodon.
- Iltis — Mustela putorius.
- Imbibitionsflüssigkeit, blau I, 150.
- Imbibitionspräparate, Herstellung I, 149.
- Imperforata XIII, 28, 29.
- Imprägnation der Kalksalze bei der Ossification I, 366.
- Indifferenzstadium der Geschlechter XIX, 460.
- Indigocarmin zur Injection der Gallengänge III, 424.
- Inductionsströme zur Untersuchung von Trichocysten V, 44, Einwirkung auf die Wandungen der Capillaren des Frosches 55, auf die Capillaren des Froschlarvenschwanzes 71.
- Infundibulum des Schnabels der Cocciden XIII, 45.
- Infusoria, Vergleich mit den Zuständen der Monaden I, 207.
- zur Naturgeschichte II, 332, contractile Blase 332 mit Circulations- und Excretionsorganen, Athmungsprocess 338, contractile Behälter 351, Wasseraufnahme 356, Eintheilung nach dem Wassergefäßssystem 359, Tod nach Abschluss von Sauerstoff 364.
- geformte Sarcode der — III, 393.
- zur Anatomie der, V, 25, contractile Behälter 25.
- Conjugationsvermittler IX, 657, Nucleolus und Nucleus 658, Einschlüsse desselben 658, Hülle 659, ältere Ansicht der Conjugation 661, Samenkapsel 664, 665, Nucleus, Veränderung 665, Eier, sogenannte 666, Samenfäden, Vorhandensein 668 und Entstehung aus Nucleoleus, Körperstreuung und Beziehung zu den Wimpern 672.
- Bewegungsorgane XII, 51, Muskulatur 54, Verhalten gegen Essigsäure 54, gegen Ueberosmiumsäure

- 55, 65, Pigmentirung 58, Sarcolemma 59.
- Infusoria**, Conservirungsflüssigkeit für — XIII, 869.
- geographische Verbreitung XVI, 215, Vergleich der marinen mit Süßwasserinfusorien 215, der verschiedenen Meere, Vergleich 219, des weissen Meeres und der norwegischen Küste 219, morphologische Bemerkungen 234, Asymmetrie 234.
- Infusum Jaborandi**, Wirkung auf Orbitaldrüse XIII, 321.
- Ingestionsöffnung** des Stolo von *Pyrosoma* XI, 602, des *Cyathozoids* von *Pyrosoma* 629.
- Injection** der Gallencapillaren III, 424.
- unter messbarem Druck V, 167.
- Injectionssmasse**, durchsichtige I, 148, blaue 148, 150, gelbe, transparente 149, III, 136.
- von Berliner Blau II, 87.
- Injectionstechnik** bei Wirbellosen XV, 252.
- Innenkolben** der Vaterschen Körperchen des Schnepfenschnabels IV, 197.
- der terminalen Körperchen XIX, 55, der Kolbenkörperchen bei Reptilien 59, der Vaterschen Körperchen 65, der Herbstschen Körperchen 70, der kugeligen Endkolben 75, der Grandrysehen Körperchen 85, der zusammengesetzten Grandrysehen Körperchen 96, der Meissnerschen Tastkörperchen 100.
- Innervation** der Seitenorgane bei *Scyllium gatulus* XVII, 468 und *Mustelus laevis* 475.
- glatter Muskelfasern XX, 361.
- Inoblasten** bei *Siredon pisciformis* XX, 779.
- Insecta**, propulsatorischer Apparat IX, 129, untersuchte Gattungen 130, Rückengefäss 131, Histologie 131, Litteratur 131, Muscularis 135, Querstreifung 137, Kerne 139, Isolirung der Fasern 139, Endocardium 139, Adventicia 140, Anatomie und Physiologie 142, Herzkammer 143, Ostien und Verschlussvorrichtungen 146, Befestigungsapparat 151, Pericardialseptum 152, dessen Anatomie und Physiologie 155 und Histologie 160, Muskel, Verlauf 160, Untersuchungsmethode 162, Massverhältnisse 163, Bindegewebe 164, streifiges Sehngewebe 164, Verhalten gegen Reagentien 166, Zellenarten 167, elastisches Fasernetz und Beziehung zur Pericardialzelle 168, reticuläres Bindegewebe 170, Pericardialgewebe, Morphologisches 171, Pericardialzelle 172, Kerne 175, Pigmentirung und Grössenverhältniss 174, Bedeutung 173, 182, Formen 173.
- Insecta**, propulsatorischer Apparat IX, 177, Fettkörper 177.
- Doyèrescher Hügel IX, 508.
- Beziehung der motorischen Nerven zu Muskeln IX, 509, der sensiblen 510.
- fibrilloides Gewebe der Haut, Bedeutung X, 124.
- Tracheen X, 130.
- Integument X, 125, 141.
- Genese der Samenkörper X, 437.
- Keimkugeln X, 500.
- Farbe der Hautdecke XII, 536, Bildung als Hautsecret, Chromatophoren 541, Drüsenerven der Hautdrüsen 542, Zusammenhang mit Secretionszellen der Malpighischen Gefässe 543, Endigung 544, Drüsenzellen, Streifung 546.
- pulsirender Bauchsinus XII, 575.
- vergleichende Embryologie XV, 630, vorläufige Mittheilung, Entstehung der Keimzelle 631, Gastrula 632, Keimblätter 632, Keimzelle, innere 633, Wanderzellen, Vorkommen bei I-embryonen 634, Deutoplasma, Furchung 635, Keimhüllen 636, Blastodermfalten, dorsale 636, ventrale 636, Rückenschluss 636, Veränderungen der Hüllen bei diesen Vorgängen 638, der inneren Hüllen 638, der äusseren Hüllen 639, Keimhülle, neue, cuticulare 639, Embryonalschichten, Uebersicht in einem bestimmten Stadium 640.
- otocystenartige Sinnesorgane XVI, 36.
- Blastodermelemente XVII, 43, Dotterballen 49.
- Keimbläschen XVII, 553, 572.
- Hüllen der Geschlechtsstoffe, Vergleich der männlichen und weiblichen XVIII, 50.
- chordotonale Sinnesorgane XX, 506, Litteratur 506, Scolopophoren 510, Untersuchungsmethode 515, Bau 516, scolopale Nervenend Körperchen 516, Inhalt 524, Stifte, mononematische 518, conocephale 520, apicocephale 521, conoace-

- phale 521, cylindrocephale 521, amphinematische 523, Bau der Scolopophoren 538, Litteratur, chordotonale Endfaser 540, Scolopophorensystem, Bau 543, Zahl 543, Anordnung und Verbindung 544, Chordotonalligament 546, Histologie 548, Chordotonalorgane, allgemeine Lagerungsweise 549, Verbreitung 552 in den Ordnungen der —, in Körperteilen 557, Chordotonalorgan, truncale 557, monozyge, Verbreitung 560, polyzyge 560, membrale 563, am Fühler 563, an Mundtheilen 564, Beinen 564, polytopisches und monotopisches Vorkommen 565, Chordotonalorgane, membrale am Bein 564, monotopisches, tarsales 565, subgenuales 567, porifere Vorkommnisse der Halteren 573, Gestaltung 579, Zahl und Anordnung 575, porifere Vorkommnisse der Flügel 485, Hinterflügel 585, Nervenendigung 591, an Vorderflügeln 594, genetische Beziehung zwischen den einzelnen Vorkommnissen 602, bei denselben Thieren 605 und bei verschiedenen 607, Ursachen ihrer Entwicklung 604, heterotopische Vorkommnisse 607, homotopische 609, Homologie 612, der Flügel 612, der Halteren 615, subgenuale, tympanal differenzirt 619, homotopische Convergenz einzelner Fälle 625.
- Insectenlarven, Muskel IX, 506, Nerveneintritt 507, Beziehung zu motorischen 509, zu sensiblen Nerven 510.
- Instrument für mikroskopische Präparation II, 46, von Schmidt II, 47, von Hensen 48.
- Integument der Insecten, Hautlager X, 125, 141, Basalmembran 126, 128, einer Phascolosoma 127, Kern der Matrix 128, Untersuchungs-methode.
- trichogenes der Insecten, Zellen X, 129, Vergleich mit Schichtung der Tracheen 133.
- Integumentossification bei *Polypterus bischir* XI, Suppl. 183, *Macropoma* 185, *Hypostomus* und *Loricaria* 186, *Dapidius granulatus* 186, *Megalichthys*, *Diplopterus* und *Haloptychius* 186.
- Interambulakralkmuskeln, feinerer Bau bei *Ophiothrix fragilis* V, 210.
- Intercellulargänge zwischen dem Epithel der Kopfdrüse einheimischer Ophidier IX, 632.
- Interglobularraum im Knochen I, 372.
- Intermaxillare, erste Anlage bei den Anuren XI, Suppl. 137, Entwicklung bei Urodelen XI, 109, Suppl.
- Intermediäre Zone des Magens XVI, 535.
- Interstitialgewebe, Bau XII, 391, 421, Vergleich mit lamellibranchiaten Mollusken 423, Grundsubstanz 393, 396, 410, Endothel der Fibrillen 394, Lymphwurzeln 399, Bau 404, Zelle 407, Fettzelle in derselben 408, Bedeutung der Räume 409.
- Intervertebralligament bei Plagiostomen XV, 479.
- Intervertebrallringe, Gewebe der — bei *Mustelus laevis* und *Squatina* XV, 479, 490, 492.
- Intima pia IX, 324, Bedeutung, Endothelhäutchen und elastisches Fasernetz 325, Bau und Schichtung 327, Beziehung zu Neuroglia 329 und Blutgefäßen 330, Injection und Erfolg 330.
- Intima der Synovialhaut der Gelenke X, 401, 408.
- Intranucleare Bildungen des Zellkernes XVI, 348.
- Involution der Thymus XIV, 368.
- Jochband von *Tropidonotus natrix* IX, 604.
- Jod, Einwirkung auf Samenkörper I, 327, auf Drüsenzellen der Brunnerschen Drüsen VIII, 109, auf Vibrionen VIII, 518.
- Jodmethylanilin zur Färbung der Haut X, 734.
- Jodreaction der Knorpel- und Chordazellen XIV, 54, chemische Begründung 58.
- Jodserum zur Untersuchung frischer Gewebe I, 18, der Samenkörperchen I, 311, des Keimfleckes II, 57, der Retina II, 272, zur Trennung von Wimperzellen II, 468, der Retina III, 216, zur Untersuchung des Zusammenhangs der Aussen- und Innenglieder der Retina-Stäbchen III, 221, Einwirkung auf Stäbchen III, 223, unter Zusatz von Essigsäure 226, von Glycerin 227.
- Jodviolett zur Darstellung der inneren Wurzelscheide der Haare X, 735.

- Iris des Auges der Cephalopoden XV, 225, 236.
- Verbindung mit der Descemetischen Haut VI, 273.
- vordere Fläche, Endothel VI, 283, Uebergang auf Descemetische Haut 288.
- Muskulatur IX, 286, Dilator Pupillae, Vorhandensein 286, bei Vögeln 289, spindelförmige Zellen und deren Bedeutung 289, Bruchsehe Begrenzungsschicht und Bedeutung 290.
- des Menschen, hintere Begrenzungsschicht IX, 726, Vorkommen des M. Dilator Pupillae 726, 727, Untersuchungsmethode 727, Faserzellen und Bedeutung 726.
- Veränderung bei der Accommodation XV, 570, Schichten 567, Pigmentzelle 569, Uebergang in Chorioidea 566, 567, Eintheilung 570, bei Mensch, Litteratur 583.
- Corrosion bei *Testudo graeca* XVI, 450.
- Nervenendigung in der — XVII, 324, Plexusbildungen 326, myelinhaltige Fasern, Uebergang in Fibrillen 328, Endigung der motorischen 329 (Fehlen in der Membrana Bruchii 331) der sensiblen 331, der Vasomotoren 332, Nerven der Capillaren 332, der Arterien 332, Ganglienzelle der — 333.
- Irisfortsätze und ihre Anheftung in der Descemetischen Membran VI, 273, beim Ochsen 274, beim Hund 277, 279, beim Menschen 277, Endothelscheiden des Balkennetzes der — 288.
- Irrigationsmesser zur Anfertigung mikroskopischer Präparate XIX, 315.
- Ischnurus caudicula, Formelemente der Retina XVIII, 421.
- Isolationsmethode des Ciliarmuskels IV, 368.
- Isoperimetrische Gestalten XV, 104.
- Isopteryx, Verbreitung der Chordotonalorgane XX, 552, Chordotonalorgan, subgenuales 567.
- Isopoda, Keimfleck II, 59.
- Iulinea, Keimblätteranlage und Furchung XIV, 8, Eier 8, Blastodermbildung 9, Mittelblattbildung 10, Larvenbildung 12.
- Iulus, Auge XVIII, 445, Retinazellen 445, Stäbchen 446, Leistung 462.
- Jurassisches System, Verhalten der Knochen bei *Strophodus subreticulatus* XV, 373, bei *Pycnodus Hugii* 374, *Madriosaurus* und *Machinosaurus*, *Lepidotus* 374.
- Verhalten des Hautschildes der Saurier XV, 375, des Rückenschildes von *Plesiochelys solodurensis* 375.
- K**äferschnecke — Chiton.
- Känguruh — Halmaturus.
- Käse, Vibrionenkeime im — III, 330.
- Kalb, Papillae vallatae IV, 98, Epithel 99, Geschmackszwiebeln und Knospen 101, Nerven 106, Geschmackszelle 105, Stütz- und Deckzelle 102, Papillae fungiformis 107.
- Bildung secundärer Haare in den Wimpern IV, 308.
- Sternzellen des Kleinhirns V, 332, Axencylinderfortsatz der Nervenzellen im Kleinhirn 332, Entstehung markhaltiger Nervenfasern 332.
- Einwirkung von Pepsin, Oxalsäure und Trypsin auf elastische Fasern des Lig. Nuchae XVI, 26.
- Kali bichromicum, Einwirkung auf Wimperzellen II, 468, zur Untersuchung der Grosshirnrinde III, 451, Untersuchung der Schmeckbecher IV, 171, Einwirkung auf Zellen der Labdrüsen des Magens VI, 378.
- causticum, Einwirkung auf Samenkörper I, 328.
- essigsäures zum Aufbewahren mikroskopischer Präparate VII, 180.
- Kalilauge, Anwendung bei den Leuchtorganen von *Lampyrus splendula* I, 30, bei Stäbchen der Retina III, 227.
- Einwirkung auf Drüsenzellen der Brunnerschen Drüsen VIII, 108, auf Lichtzellen der Leuchtorgane von *Cucuyos* VIII, 466.
- Kalkablagerungen in der Amphibienhaut XII, 328.
- Kalkconcremente der Kieme von *Unio* und *Anodonta* XI, 536.
- Kalkkörperchen der Cestoden I, 141.
- Kalksack der Gasteropoden V, Suppl. 92.
- Kalkschwämme, über Canäle derselben III, 391.
- Gastrula XII, 551, Olynthusform 553.

- Kalkspath zur Untersuchung doppeltbrechender Platten VII, 230.
- Kamm des Hahnes, Bau III, 412, Blutgefäßverlauf 414, Nerven 415, Lymphwege 415.
- des Vogelauges IX, 591, Verhältniss zu den häutigen Theilen, Bau 592, Gefässe 593, Entwicklung 593, Bedeutung 596.
- des Vogelauges, Bau und Function XIX, 735.
- Kammer, feuchte von Recklinghausen zur Verhütung der Verdunstung bei mikroskopischen Untersuchungen I, 4, 7, zur Untersuchung von Flimmerzellen mit Gasen II, 372, zur Untersuchung des Blutes III, 368.
- trockene für Beobachtung trockener Objecte bei bestimmter Temperatur I, 4.
- Kammuschel — Pecten.
- Kammschnecke — Firola.
- Kaninchen — *Lepus cuniculus*.
- Kaninchenembryo, Mark- und Rindensubstanz der Nebenniere VIII, 635.
- Atrophie des Meckelschen Knorpels XI, 251.
- Entwicklung der Retina XV, 601, Tapetum 602.
- Kapsel der Niere beim Frosch X, 22.
- Hensensche an den Endzellen des acustischen Endapparates der Säuger XIII, 541.
- Karmoisin-Schildlaus — *Lecanium*.
- Karpfen — *Cyprinus carpio*.
- Karyokinesis bei Knorpelzellen XVI, 261, Verbreitung 265, Locomotion 267, Drehung 268, Dauer 268, Verhalten des Protoplasma 270, Zweck 288.
- der Zellen, Bedeutung XVIII, 151.
- bei *Lilium Crocum* im Wandbeleg des Embryonalsackes XX, 41.
- Vorkommen XX, 127, Untersuchungsmethode zur leichten Auffindung 133, bei Larven von *Salamandra maculosa* 135, im Gewebe 136, in Organen 137, Epithel 137, Blut 138, Nervensystem 139, bei erwachsenen Salamandern 141, Epithel der Hautdrüse 141, Drüsen der Darmschleimhaut 141, Epidermis von *Rana* und *Triton* 142, Säugern 142.
- Karyokinesis der Kerne der Krystallinse XX, 416, Nachweis durch Chromsäure 420.
- Katze — *Felis domestica*.
- Katzenembryonen, Meckelscher Knorpel, Beziehung zur Bildung des knöchernen Unterkiefers XI, 295.
- Kauapparat, provisorischer der Anuren XI, Suppl. 135.
- Kaulbarsch — *Accrina*.
- Kaudalkanal der Plagiostomen XV, 506.
- Kehlkopf des Menschen, Anatomie XI, 497.
- eigentlicher XI, 507, willkürliche Muskeln 508, *M. arytaenoideus*, *M. thyreoaryepiglotticus* 509, *M. thyreoarytaenoideus* ext. und int. und *cricoarytaenoideus lateralis*, Beziehung 510.
- becherförmige Organe XIV, 158, beim Hund 162, Mensch 163.
- Kehlkopfschleimhaut, Epithel V, 130, subepitheliale Schicht 131, Wanderzellen 133, Fasergerüst 133, mit Bindegewebskörperchen 134, Blutgefässe 134, Nerven 135.
- zur Kenntniss der Nerven, Blut- und Lymphgefässe VII, 166, Nervenverzweigung und Endigung 167, im Plattenepithel 169, Blutgefäßvertheilung 171, 172, Untersuchungsmethode, Schleimhautpapillen und ihre Beziehung zum epithelialen Gefässnetz 173, Lymphgefässe 174, Untersuchungsmethode und Verlauf.
- Keim der Forelle, Entwicklungsschichte IX, 679.
- der Forelle XV, 143, Deckschicht, Axenplatte, Wesen und Umwandlung 145, Bildung des Centralcanals 145, Hirnausbildung 179.
- des Hühnereies X, 155, Dotterzellen, Bedeutung, Schichtung 158, 159, Entwicklung nach Bebrütung 163 und Veränderungen 181.
- der Knochenfische IV, 210.
- Keimanlage bei *Torpedo oculata* XI, 578.
- Keimbläschen des Eies, Theorie XVII, 43, Werth XVII, 551, primäre und secundäre Zellen, Unterschied 552, amöboide Bewegung 558, Endsicksale 559, Persistenz 573, amöboide Theilung 560, Befruchtungerscheinungen 565, Pronucleus masculinus 565 und femininus 566.

- Keimbläschen der Eier von Anodonta, Schwinden X, 289.
 — bei Batrachiern XV, 402.
 — bei Decapoden XVII, 555.
 — bei Eidechsen VIII, 19.
 — bei Forellen VIII, 3, beim Huhn 17 Hund 20, bei Insecten XVII, 553, primäre Zelle bei Knochenfischen XV, 407, der Reptilien VIII, 216, bei Säugern VIII, 20, XIX, 488, *Torpedo oculata* XI, 579, bei *Vespertilio murinus* VIII, 23, der Wirbelthiere VIII, 1.
- Keimblätter, Bildung bei einfachen Ascidien VII, 105.
 — bei *Bombinator igneus*, Entstehung V, 91.
 — Anlage bei Chilognathen XIV, 6, *Craspedosoma* 111.
 — bei *Comatula mediterranea* XII, 587.
 — bei der Forelle IX, 699.
 — bei Gasteropoden XIII, 154, Bildung, Beziehung zur Nerven ganglienanlage 162.
 — Bildung beim Hühnerei X, 145, 163, 169, 187, Beziehung zum Keim wall XVI, 564.
 — Bildung beim Huhn XX, 174.
 — bei Insecten XV, 632.
 — Anlage bei Julineen XIV, 8.
 — bei *Loxosoma* XII, 8.
 — Anlage bei *Nassa mutabilis* XIII, 112.
 — Bildung bei *Natica* XIII, 145.
 — Anlage bei Polydesminen XIV, 13, bei *Polydesmus complanatus*.
 — bei *Pyrosoma* (Cyathozoid) XI, 612.
 — der Spongien-Larve XIV, 261.
 — bei *Torpedo*, Betheiligung am Chordastrang XIII, 474.
 — Betheiligung bei Zahnbildung der Urodelen XI, Suppl. 97.
 — Betheiligung an Zahnbildung IX, 30, des Zahnbeines 31, Schmelz 32.
 — drittes, Entstehung aus der Keimschicht beim Huhn XV, 85.
 — mittleres, Vergrößerung XV, 89.
 — — Bildung beim Huhn X, 171, Entwicklung XV, 67, Vorgänge bis zur Vollendung.
 — — Anlage bei *Nassa mutabilis* XIII, 109.
 — — im Rumpftheile der Unke, Anlage IX, 402, im Kopfe 409.
- Keimblätter, oberes, der Unke, Entwicklung IX, 396.
 — — unteres, Zellen bei *Torpedo* XIII, 473.
- Keimepithelinseln bei Batrachiern XV, 397.
- Keimfäden von Schimmelpilzen zur Vibronenerzeugung III, 320, Vorkommen.
- Keimfleck II, 56, Wesen 59, beim Kätzchen 57, Schafembryo 57, Libellenlarven 57, Isopoden 59, Behandlung mit Jodserum 57.
 — bei Aphideneiern XIII, 395, nicht schwindend.
 — bei *Distomum cylindricum* XIII, 396.
 — des reifen Säugethiereies XIX, 489.
- Keimgang bei *Distomum Westermanni* XIX, 563.
- Keimhaut, obere II, 519, untere 519.
 — der Knochenfische IV, 216, 217.
- Keimhautblase bei *Fusus* sp. XIII, 126.
- Keimhöhle, Auftreten bei der Forelle IX, 686, Rand 686.
 — des Hühnereies X, 149, Anlage XV, 69, 77, Inhalt 78.
 — bei *Torpedo* XIII, 468.
- Keimhöhlenboden beim Hühnerei X, 150, Vermehrung seiner Elemente XV, 77, Zellen 83.
- Keimhülle, cuticulare bei Insecten XV, 636, 639.
- Keimkugeln, Entwicklung X, 498 und Hüllen-Bildungszellen 499, Zellenkerne 500.
 — bei *Actinosphaerium* Eichhornii X, 346, bei Insecten X, 500, 501, *Locusta viridissima* 500 und *Stenobothrus dors.* 500.
- Keimlager XII, 800, 820.
 — beim Stier XV, 287.
 — des Hodens von *Distomum Westermanni* XIX, 559, 563.
- Keimlunulä der Orbitaldrüse, Ursprung XIII, 300.
- Keimnetz der Ratte XI, 307, 314, 322.
 — von Ebner im Hoden XV, 207.
- Keimsaum, Auftreten bei den Gasterostei IV, 221, *Gobius* 224, Begründung seines Vorhandenseins beim Stichling 228, *Gobius* 229.
- Keimscheibe II, 517, 518.
 — Entwicklung bei *Fusus* sp. XIII, 124.
 — un befr ü t e t e beim Huhn XX, 183.

- Keimscheibe bei *Nassa mutabilis*, Weiterentwicklung XIII, 112.
- bei *Pyrosoma* (Cyathozoid), Theilung XI, 611, 619.
- bei *Torpedo*, Veränderung XIII, 466, 469.
- Keimschicht bei der Forelle IX, primäre 693, secundäre 694.
- beim Huhn, Entwicklung des III. Keimblattes aus derselben XV, 85, erste Umwandlung 83.
- Keimstock bei *Distomum Westermanni* XIX, 562.
- Keimstoffproduction und deren Zusammenhang mit der periodischen Leberpigmentirung bei Salamandrinen und Fischen III, 436.
- Keimstreifen, Bildung beim Ei von *Chironomus* II, 388.
- Keimwall beim Huhn XVI, 564, Verhältniss zu den Keimblättern, Zellen 570, Veränderung 566, distale Zone 567, proximale 568, Isolirung nach Härtung 570, Dotterkugeln 569, Zellen, Verhältniss zu Dotterelementen 572, Verhältniss zur *Area pellucida* 575, Zellvermehrung 579, Veränderung 580.
- bei *Torpedo ocellata* XI, 570.
- Keimwallgewebe II, 522.
- Kellerassel — *Oniscus*.
- Kern der amöboiden Hodenzellen, Umwandlung in Samenkörper I, 73.
- bei *Gromia oviformis* und *hyalina*, Bedeutung II, 143, bei *Noctiluca miliaris* II, 164.
- in der Marksubstanz von *ctinophrys Eichhornii* III, 396, Theilung 398.
- freie, der Grosshirnrinde III, 67.
- der glatten Muskelfaser IV, 95, beim Frosch mit umgebendem Protoplasma 399.
- der Ganglienkörper, Zusammenhang mit Nervenfasern IV, 459, 506.
- der Ganglienkörper der Grosshirnrinde IV, 473, 481.
- freie, der *Membrana suprachorioidea* des Auges VI, 16.
- der Pericardialzelle des Pericardialseptum der Insecten IX, 175.
- Vorkommen bei Nerven der *Cornea* IX, 320.
- der Schwannschen Scheide markhaltiger Nervenfasern IX, 350, Theilung 354.
- der Muskeln der Fliege IX, 494, beim Krebs 515.
- Kern des Muskels von *Rana temporaria* IX, 526.
- der Ganglienkörper des *N. Symptathicus* X, 221.
- bei *Radiophrys pallida* X, 380, *Heterophrys varians* 386.
- bei *Cystophrys Haeckeliana* X, Suppl. 11.
- von *Arcella vulgaris* X, Suppl. 97.
- der Ganglienkörper der Spinalganglien XI, 163.
- bei *Mastigamoeba aspera* XI, 590, *Amoeba polypodia* 593.
- im Bindegewebe der Amphibienhaut XII, 229.
- der Meissnerschen Tastkörperchen XII, 379, 386.
- der markhaltigen Nervenfasern, Verhalten XIII, 3.
- der Foraminiferen XIII, 9, *Eutocolenia globosa* 14, *Polystomella striatopunctata* 18.
- der Speicheldrüse der Cocciden XIII, 70, *Aspidiotus* 70, *Lecanium* 72, *Dorthisia* 73.
- bei *Nassa mutabilis* XIII, 101, Bildung, Veränderungen 97, 98.
- der Orbitaldrüse XIII, 293, der Schleimzellen bei Reizung 327.
- rother Blutkörperchen XIII, 391, Vorhandensein bei *Sipunculus* 392, *Phascolosomen* 392, 396, Warmblütern 393, *Blatta*, Contractilität 393, *Rana temporaria* 394.
- der Deiterschen Zellen des acustischen Endapparates der Säuger XIII, 514.
- Veränderung bei Organoblasten, sei *Siredon pisciformis* XIII, 775, 776, Stäbchenfädenbildung.
- der Kleinhirnrinde XIV, 209, der Deiterschen Zellen 209, der stäbchenförmigen Zellen 211, der Purkinjeschen Zellen 216.
- rother Blutkörperchen XIV, 333, Auftreten nach Behandlung mit Alkohol, Essigsäure und Sublimat 333, bei Mensch XIV, 79, Kameel 85, Frosch 90.
- der Ganglienzellen bei Gastropoden XVI, 72, *Elatobranchiern* 96, Würmern 102.
- theilungsfähiger Knorpelzellen XVI, 258, 260, Beginn der Theilung 264, Umwandlung der Membran 264, Theilung 274, intranucleare Bildungen, Neubildungen 279.
- freie, im Froschblut XVI, 313.

- Kern**, amöboide Bewegung XVII, 568, Zusammenhang mit Kernvermehrung 570.
- der Krystalllinse, Karyokinesis XX, 416.
- motorischer, des *N. glossopharyngeus* XIX, 367.
- Kernbildung**, freie, im Epithel der Drüenschläuche des Hodens der Ratte XI, 315.
- bei Degeneration zerquetschter Nerven XVIII, 318.
- bei Epithelregeneration XVIII, 347.
- Kernfortsätze** der Ganglienzellen der Gasteropoden XVI, 73.
- Kernkörperchen**, active Formveränderungen X, 505, bei *Blatta orientalis*.
- amöboide Bewegungen XI, 325, der Eier von *Silurus Glanis*.
- der Ganglienzelle der Würmer XVI, 103, Gasteropoden 74.
- Verhalten bei Zelltheilung XVIII, 195, Nervenendigung in — 197.
- Kernkörperchenfäden** der Ganglienkörper IV, 461, Arten 476.
- Kernmembran** lebender Bindsbstanzkerne XVI, 308.
- Kernneubildung** in Furchungszellen bei Entwicklung der Eier von *Anodonta* X, 286.
- Kernröhren** der Ganglienkörper IV, 461.
- Kernsaft** theilungsfähiger Knorpelzellen XVI, 292.
- Kernspindel**, Bedeutung und Wesen XVII, 561.
- Kerntheilung** in den Ganglienkörpern IV, 487.
- bei Epithelzellen der Tritonlarven XVI, 438, an todtten Objekten 438, an lebenden 440, fadenförmig differenzirter Zellen 441, Ursache 451, Veränderung bei Theilung der Netzzellen im Schwanz der Tritonlarve 445.
- und Schwannsche Scheide XVII, 172, 181.
- maulbeerförmige, bei Entwicklung der Geschlechtsdrüse der Batrachier XVIII, 8, bei Regeneration der Samenkörper von *Rana fusca* 62.
- indirekte, Bedeutung XVIII, 154, Verbreitung 158, bei Amphibien, Axolotl, *Siredon*, *Proteus anguineus*, Litteratur 164, Krötenlarven 174, Pflanzen, *Nothoscorodon fragilis*, *Allium Odorum* 176, Säugern 183, der thierischen Eizelle 186, der Eizelle von *Toxopneustes lividus* 186.
- Kerntheilung**, indirekte, bei Epithelregeneration XVIII, 357.
- der Eizelle der Echinodermen XX, 21, achromatische Figur 23, Aequatorialplatte 24, im Wandbeleg des Embryonalsackes von *Lilium Crocum* 41, Bau des Kernes 52, achromatische Fadenspindel 48, Karyokinesis 48, beim Menschen 55, am Cornealepithel 56, im Blut eines Leucämischen, Beziehung zur Zelltheilung 78.
- Kernvermehrung** bei mehrkernigen Zellen, bei Hodeneptithelien von *Salamandra* XVIII, 189.
- Key-Retziussche Körperchen** XIX, 67, Vergleich mit Herbstschen Körperchen.
- Kieferbogen**, knorpeliger des Unterkiefers bei Amphibien XI, Suppl. 245.
- Kieferknochen** bei *Lepidosteus osseus*, Beweis für die gemischte Abstammung XI, Suppl. 189.
- Kieferzähne** der Amphibien, Befestigung auf *Processus dentalis* XI, Suppl. 51.
- Kiel** der Ophidier, Sculptur IX, 758.
- Kielfüßer** — Heteropoda.
- Kielschnecke** — *Carinaria*.
- Kiemen** von *Amphioxus lanceolatus* XII, 311.
- Entwicklung bei *Botrylloides rubrum* VIII, 383.
- der Knochenfische IV, 210.
- der Mollusken, Flimmerepithel II, 468, Wimperzellen 468.
- der acephalen Mollusken, histologische Studien XIV, 132, Epithel 135, 156, Anordnung 135, Höhenzelle 136, Eckzelle 137, 135, 136, Schaltzelle 136, Seitenzelle 136, 138, Bindegewebe 139, Verhältniss zur Blutbahn 156, Arten 141, 156, Gallertgewebe, Wesen 141, Schultzes Zellentheorie, Bedeutung 145, Bindegewebe, embryonales, Wesen 148, Umwandlung von lacunären Gewebe, Kiemenseptum 150, Stäbchenkanal 152, 157, Chitinstäbchen 152, 157, Morphologie 154, 157.
- der Najaden, Bau XI, 517, von *Unio* und *Anodonta* 518, Litteratur, größerer Bau 519, Beziehung zur Befruchtung 519, Kiemengefäße 520, geschlossenes Gefäßsystem

- 522, 525, Kiemencapillaren, Verlauf 523, Kiemenleiste 523, Bau und Entstehung 536, Stäbchencanal 524, Wassercanäle 525, Verhalten der Gefässe am freien Rande 529, Kreislauf 530, das intravasculäre Gewebe 530, Wimperepithelzellen 530, fibrilläres Gewebe, Deutung 531, Entstehung der Bluträume 535, 537, Kalkconcremente, Bedeutung 536, Chitinstäbchen 539, Flimmerrinne 539, Chitin, Wesen 540, Conchiolin 541, Muskeln 542, Epithel 542, Nervenfasern 544, Flimmerzellen 542, Flaschenzellen 543.
- Kiemen der Seemuscheln XI, 547, Veränderungen der Kiemenleiste bei *Scrobicularia* 551, *Pholas* 551, *Venus* 552, *Mya* 552, *Ostrea* 552, *Solen* 553, *Solenocurtus* 553, *Pinna* 253, *Pecten* 554, *Mytilus* 554, Chitinstäbchen 555, historische Entwicklung 556.
- Bildung bei der Unke IX, 411.
- Kiemenbögen, Entwicklung bei *Bombinator igneus* V, 117.
- Kiemenbruttasche bei *Anodonta*, Uebertragung der Eier in — X, 267.
- Kiemenhöhle bei *Amphioxus lanceolatus* XIII, 190.
- Anlage bei *Natica* XIII, 147, *Fusus* sp. 138.
- Kiemenkreislauf der *Acephalen* XIII, 584.
- Kiemen sack, Anlage bei *Molgula simplex* VIII, 370, 372.
- Kiemenpalte bei *Torpedo oculata* XI, 570, 571.
- Kiemenvene bei *Fusus* sp. XIII, 139.
- Kiesel fäden von *Hyalonema* III, 208.
- Kieselgebilde bei *Tethya lyncarium* aut. XVII, 154.
- Kiesel schale der *Grammatophora* III, 81.
- Kitt zum Einschliessen mikroskopischer Präparate I, 435.
- Kittschichten in der Wandung der Gefässe XI, 282.
- Kittsubstanz des Bindegewebes, Bedeutung zur Quellung XII, 415.
- Klaffmuschel — *Mya*.
- Kleinhirn, Fortsätze der Ganglienkörper IV, 492.
- Härtung IX, 104.
- beim Kalb, Axencylinderfortsätze der Sternzellen V, 332, Uebergang des Axencylinderfortsatzes in Nervenfasern 332.
- Kleinhirn, Bildung bei der Unke IX, 400.
- Kleinhirnrinde des Menschen VI, 191, Ganglienzellenverästlung 194, Untersuchungsmethode 196, Horizontalfasern 199, Stützfaser 199, rückläufige Fasern 196, Verhältniss zu den Nervenzellen 202, Verhalten der Schichten 203.
- Bau bei verschiedenen Klassen der Wirbelthiere XIV, 203, Litteratur 204, Untersuchungsmethode 205, molekuläre Schicht 207, Fasern 226, körnige Substanz 207, Vorkommen, Bedeutung 208, Kern 209, Zellen der Blutgefässe 209, Kerne der Deiterschen Zellen 209, stäbchenförmige Zelle 210, Kerne eigener Art in derselben 211, ungefärbt in Hämatoxylin, Ganglienzellen 214, runde Zellen 214, Purkinjesche Zellen 215, mit Kern und Kernkörperchen 216, Hüllen 218, 220, bei Vögeln 217, Frosch 218, Eidechse 219, Karpfen 219, Protoplasmafortsatz 221, bei Säugern 221, Vögeln 222, Frosch 223, Karpfen 224, Endigung 225, Körnerschicht 227, Hämatoxylinzelle 227, Bau, Bedeutung 229, Purpurin zur Untersuchung des Bindegewebes des — 231, Eosinzellen 231, Ganglienzelle 233, Fasern der Körnerschicht 234, Verlauf, Axencylinderfortsatz der Purkinjeschen Zellen 236, Faserschicht 237.
- Kloakenwulst bei Triton, Muskel XII, 208.
- Knochen, Bildung der knorpelig nicht präformirten I, 368 und der knorpelig präformirten, Ossification 359, Interglobularräume 372.
- und Knochengewebe, Entwicklung XI, 235, Beziehung zum Knorpelgewebe 235, Litteratur 235, intermembranöse, intercartilaginöse und periostale Knochenbildung 237, primäre Periostlamelle 238, normale metaplastische Ossification 242, normale Resorption beim Wachs thum 258, Ostoblasten, Bedeutung 259, Grundsicht des perichondralen Knochens 261.
- ungleichmässiges Wachsthum als formbildendes Princip XII, 254.
- Wachsthumsmodus XII, 271, bei endochondralem 272, periostalem 273, Markkräme, endochondrale und periostale 273.

- Knochen**, Lymphwurzeln XIII, 87, Endothelzellenrohr um die Blutgefäße der Haversschen Canäle 87, Versuch, den Zusammenhang mit Lymphgefäßen nachzuweisen 89, perivasculäre Lymphräume 92.
- unter der Epidermis, Vorkommen XIII, 224, bei *Pseudopus Palasii*, *Anguis fragilis*, *Anguilla vulgaris* 225, Untersuchungsmethode 224, Ernährung durch Markcanäle 225.
- Doppelfärbung XV, 34.
- fossile und Zahngewebe, histologisches Verhalten XV, 371, im Steinkohlensystem 373, bei *Polyrhizodus radicans* 373, *Psephodus magnus* 373, im jurassischen System 373, bei *Strophodus (Psammodus) subreticulatus* 373, *Pycnodus Hugii* 374, bei *Madriosaurus* und *Machinosaurus* 374, *Lepidotus* 374, Hautschild eines Sauriers 375, Rückenschild von *Plesiochelys solodurensis* 375, in der Kreide 375, bei *Plesiosaurus* 375, tertiäre Bildungen 375, *Lamna* 375, bei *Carcharodon polygratus* 375, *Zygobates Studeri* 375, *Emys* 376, Säuger 376, *Aceratherium (Rhinoceos)* 376, *Halitherium Studeri* 376, *Mastodus* 376, *Hippopotamus* 376, *Hypotamius Gresslii* 377, *Ursus spelaeus* 377, *Megatherium Cuvieri* 377, *Miles taxus* 377, in prähistorischen Stationen 377, *Equus caballus*, *Bos taurus*, *Cervus tarandus* 377, Mensch 377, *Euryapteryx rheides* 378.
- der Amphibien, Beziehung zur Befestigung der Zähne XI, Suppl. 50, Verhältniss der perichondrostischen zu enchondrostischen 192.
- der Batrachier, Genese und Architektur XIX, 1.
- des Jacobson'schen Organs der Schlangen VIII, 318.
- der Mundhöhle, Anordnung der Zähne auf denselben bei Perennibranchiaten XI, Suppl. 36, *Siren lacertina*, *Plethodon glutinosus* 36, *Siredon pisciformis* 37, *Derotremes*, Salamandrinen, Batrachieren 37.
- der Mundhöhle gleicher Entstehung, Untersuchung bei Amphioxus XI, Suppl. 167, Roehen 167, *Ceratodus* 169, 173, Cestracionten 168, 172, Chimären 168, *Dipneusten* 169, 173, *Lepidosiren* 169, 173, Teleostiern 170, Gymno-
- donten 170, 174, *Diodon* 171, *Scaroiden* 171, 174, *Myliobates* 172.
- Knochen** des Mundhöhlensceletts bei Urodelen, Umbildung aus Zahnplatte und Zahncement XI, Suppl. 120.
- des Primordialeranium bei Amphibien XI, Suppl. 31, Zusammensetzung, Fehlen der Haversschen Canäle 32, Pünktchenkreise der Grundsubstanz.
- enchondrostische, des Schädels der Amphibien XI, Suppl. 6, perichondrostische 6, 12.
- Knochenbildung**, selbstständige, bei Umwandlung des Embryonalsceletts der Mundhöhle der Urodelen in das bleibende — XI, Suppl. 115, 121.
- Knochenfische** — *Osteocanthi*.
- Knochenganoiden**, Wirbelsäule und Anhänge XV, 453, *Chorda* 453, obere 455, untere Bögen 456.
- Knochengeriüst** des Schnepfenschnabels IV, 200.
- Knochengewebe**, Bildung aus Markgewebe bei Vögeln XII, 247. — über die Bildung des — XII, 557, 563.
- Knochengrundsubstanz**, Entstehung I, 357, aus Osteoblasten 363, 366, Wesen derselben 373.
- der Hautknochen von *Dacypus novemcinctus*, Beziehung zu Osteoblasten XIII, 255.
- Knochenhecht** — *Lepidosteus*.
- Knochenkerne** der Wirbel XVI, 600.
- Knochenkörperchen** I, 359, zackige, Entstehung aus Osteoblasten 366, mit eigenthümlichen Kapseln in der Zahnpulpa II, 349.
- ohne Einfluss auf Doppelbrechung XI, 675.
- Theilungsvorgänge bei Batrachiern XIX, 41.
- Knochenlamelle**, Entstehung I, 373.
- Knochenmark** als Herd der Fettbildung VII, 64, Bildung der Fettzelle 64.
- Beziehung zur Bildung des Blutes und der Blutkörperchen XII, 793.
- Umwandlung der Ostoklasten XVI, 618.
- und Blutbildung XVII, 1, 21, Injection 2, Blutbahn 3, Arterien 3, Venen 4, Wandungslosigkeit der Gefäße 7, Capillaren 8, arterielle 8,

- venöse 9, Textur des — 21, Zellen 22, Kerne 22, Beziehung zum Protoplasma 23, Hämatoblasten 24, Kern, grosszellige Elemente 26, farblose Blutkörperchen 26, Riesen- zellen 27, Entstehung 27, rothe, kernlose Blutkörperchen 28, mit sternförmigen Gebilden 28, Fett- zelle 28, 30, Umwandlung zu Fett- mark 31, zu Schleimmark 32, Hä- matoblasten, Umwandlung zu kern- losen Blutkörperchen 33, Verhalten der Kerne 33, 37, Hämatoblasten bei Thieren mit kernhaltigen Blut- körperchen 40.
- Knochenmasse, Doppelbrechung** XI, 661, 674.
- Knochenschuppen, Doppelbrechung** bei Fischen XI, 674, Polypterus bischir 674, 680, Lepidosteus 674.
- Knochensubstanz, über Zellen und Nerven der compacten** VI, 182, Untersuchungsmethode 182, Zellen 183.
- Knochen-system, Beziehung zum Zahnsystem der Amphibien** XI, Suppl. 167.
- Knochenuntersuchung, mikros- kopische, zur Technik** XIV, 480, zur Entkalkung, Salzsäure 481, Salpetersäure 482, 483, Chromsäure 482, Einbettungsmasse 484, Wall- rath, Färbemittel 486, Einlegemasse 488, Schliff 489.
- Knochenwachstum** XI, 33, Resorption 33, Beweise 34, 36, Ex- pansionfähigkeit 35, 43, 68, Hos- shipsche Lacunen 36, Myeloplaxen, vielkernige Zellen 36, 37, endo- chondraler Knochen, Beziehung zum Wachstum 38, 39, 43, Halb- monde 39, 49, endochondrale Grenz- linie 38, 46, perichondrale Grund- schicht 38, periostale Grundschicht 42, endochondraler Knochen, Ueber- gang in periostalen 44, 49, verkalkte Knorpelreste 46, Schicksal, perichondraler Knochen 50, aplasti- sche Flächen, nicht Resorptions- flächen 56, Endlamelle 54, Krapp- fütterung 59, 61, proliferierende Knotenpunkte der Knochenbalken 60, Knochenkörperchen, Beziehung zum Wachstum 59, 60, Haverssche Canäle 61, Stadien des Längswach- sthums 61, des Dickenwachstums 62, Haverssche und generelle Streifen 63, 65, 66, Haversian spaces, Wesen 64, Saftcanalgeflecht 65, 66, canali- culäre Knochenterritorien 67, inter- canaliculäre Knochenterritorien 67, interterritorialer Saftcanal 67, ter- ritoriale Linien 71, aplastisches Stadium 69, Stadium der Senescenz 69.
- Knochenwachstum durch Appo- sition und Resorption** XVI, 622, Beziehung zu Osteoklasten 618.
- Knorpel, Begründung der Jodreac- tion** XIV, 54.
- **Structur** XIV, 492, Canälchen der Knorpelgrundsubstanz als Ver- bindung der Zellen bei Cephalo- poden 493, Säugern 495, Selbstin- jection 495, 496, mit Indigcarmin, Vorhandensein von Saftbahnen 499, Injection mit Kaliumeisencyanür.
- **Doppelfärbung** XV, 35.
- **Zelltheilung** XVI, 395, Corro- sion 495.
- **des Primordialcranium der Am- phibien** XI, Suppl. 29, Zellen, Anastomosirung bei Larven von Pelobates.
- **Umwandlung zu Röhrenknochen** der Batrachier XIX, 7, pilzförmig 9.
- **wandständiger, bei Batrachiern** XIX, 32.
- **der Achillessehne des Frosches** VII, 301, Wesen, Zellen 302.
- **des Jacobsonschen Organs der Schlangen** VIII, 322.
- **hyaliner, Ossification** I, 359.
- **Anlage bei der Unke** IX, 404.
- **Zellkern** XIII, 704, Zwi- schenkörner der Zelle, Wesen 708.
- **Saftbahnen** XIV, 65, XVI, 1.
- **Meckelscher, Beziehung zur Bildung des knöchernen Unterkiefers** XI, 244, bei Katzenembryonen 245, Atrophie 247, bei Mäuseembryonen 249, Kaninchenembryonen 251, Schweinen 252.
- **Schicksal** XII, 259, Bethei- ligung an der Bildung des Unter- kiefers 259, bei der Katze 259, Maus 260, Kaninchen 260.
- Knorpelphophysen, Wachstum** XII, 274, Markraumbildung 274, endochondrale Grenzschicht 275.
- **und Knochenwachstum** XII, 275, endochondrale Grenzschicht, Schwinden 276, Apposition 276,

- aplastische Fläche 276, interstitielles Wachstum 277.
- Knorpelfische — Chondracanthi.
- Knorpelgewebe, Beziehung zum Knochengewebe XI, 235.
- mit eigenthümlich grossen Zellen XVI, 462.
- Knorpelgrundsubstanz, Auffaserung X, 433.
- Knorpelhaut des Cephalopodenauges XVI, 217.
- Knorpelige Bögen der vorderen Schwanzgegend der Chorda von *Petromyzon Planeri* und *fluviatilis* XV, 324.
- Knorpelkerne, accessorische, bei Bildung des knöchernen Unterkiefers XI, 246, 248, 253.
- Knorpelreste, verkalkte, beim Knochenwachsthum XI, 46.
- Knorpelsehne, bindegewebige, des *M. quadriceps* X, 418, der Synovialkapsel 420.
- Knorpelzellkerne, Bau XVI, 318, postmortale Veränderung 319.
- Knorpelzelltheilung XVI, 248, Historisches 249, Untersuchungsmethode 254, Contractilität des Protoplasmas, Aggregatzustand desselben 259, der Zellen 258, Fadenetz der — 259, Kern 258, 260, Vorbereitung zur Karyokinesis 261, Beginn der Kerntheilung 262, Umwandlung der Kernmembran 264, Locomotion bei Karyokinesis 265, 267, rechtwinklige Drehungen 268, Dauer 268, Verhalten des Protoplasmas 271, Theilung 274, internucleare Fäden 276, Bildung des neuen Kernes 279, der Scheidewand 283, theoretische Betrachtungen 284, Zweck der Karyokinesis 288, die protoplasmatischen Gebilde, Entstehung 290, Kernsaft 292, Scheidewandbildung 294, Litteratur 297.
- Knorpelzotten der Gelenke, X, 432.
- Knospenbildung bei Heilung von Muskelverletzungen IV, 326.
- bei Bryozoen V, 267.
- Knospung bei *Aurelia aurita* VI, 364.
- der Ascidien X, 441, 465.
- bei *Pyrosoma* XI, 598.
- Kobaltglas, dunkles, zur Untersuchung des gelben Flecks der Retina II, 172.
- Kochsalz, Einwirkung auf Myelin XIX, 207, Nervenmark 207.
- Kochsalzlösungen, Einwirkung auf Amöben V, 158.
- Köcherhaft — *Phryganca*.
- Königstiger, *Distomum Westermanni* in der Lunge des — XIX, 529.
- Körnchen der quergestreiften Muskelfibrille, Bedeutung IX, 717.
- interstitielle, Auftreten I, 421, Wesen 425.
- Körnchenbewegung in Pseudopodien von *Vampyrella* I, 206.
- bei Diatomeen I, 385, *Pleurosigma balticum* 392.
- bei Gromien II, 159, *Gromia oviformis* und *hyalina* 159.
- bei *Spirostomum* XII, 60.
- Körnchenschale des Zellkernes XIV, 94, 99, Beziehung zum Fadenetz 105.
- Körnchenströmung bei *Actinosphaerium Eichhornii* X, 332.
- Körner, äussere, der Retina der *Chelonia* XII, 426, der *Ophidier* 430.
- der äusseren Körnerschicht der Retina bei Wirbelthieren, Beschaffenheit XIII, 399, Anordnung und Menge 402, 411, Querstreifung 405.
- Körnerassel — *Porcellio*.
- Körnerkolben des Darmepithels von *Distomum Westermanni* XIX, 552, Bau und Bedeutung.
- Körnerschicht der Retina beim Menschen II, 183, bei Vögeln 213, Reptilien 214, Frosch 215.
- der Retina, äussere, von Triton V, 88.
- der Retina, äussere, bei Amphibien VII, 84.
- der Retina, äussere, beim Frosch VII, 84, Salamander 87, Triton 88.
- der Retina, äussere, Entwicklung XV, 623.
- der Retina, äussere, der Wirbelthiere XIX, 395, Untersuchungsmethode 395, Beziehung zur Membrana limitans ext. 397, zur Zwischenkörnerschicht 398, Körner, Beschaffenheit 399, Stäbchen- und Zapfenkörner 400, Anordnung 402 und Menge 411, Querstreifung 405, Umhüllungsmembran 419, Hohlräume in — 423, Grösse, Form und Lagerung 423, bei Säugern 424, Hohlräume 424, beim Hasen 425, Schwein 426, Affen 424, Mensch 426, Pferd 427, Vogel 427, Adler 427, Taube 428, Huhn 429, Perlhuhn 429, Nachtteule 429, bei

- Fischen 430, Neunauge 430, Forelle 431, Barsch 431, *Salmo lovaretus* 431, Hecht 432, mit Faserschicht, Bley 436, Schleie 436, bei Amphibien 436, Reptilien 437, Frosch 437, *Salamandra maculata*, Triton *cristatus* 437, der grünen Eidechse und *Tropidonotus natrix* 438, *Chamaeleon* 435, Alligator und Schildkröte 438.
- Körnerschicht der Retina, innere, des Flaconatl XII, 414, Amphibien 421.
- der Retina, innere, Vergleich mit der Dicke der äusseren XIII, 413.
- der Retina, innere, Entwicklung XV, 624.
- des acustischen Endapparates der Säger XIII, 522, Zellen 523, Faserbildung 523.
- der quergestreiften Muskeln der Milben VIII, 71.
- innere, der Gehörschnecke VIII, 175, Entwicklung 181.
- der Kleinhirnrinde XIV, 227, Hämatoxylinzellen 227, Bau und Bedeutung 229, Eosinzellen 231, Ganglienzellen 233, Fasern, Verlauf 234.
- der Haut der Reptilien und anderer Wirbelthiere XIII, 217, 222, Zellen, — bei Schuppenentwicklung 240, am Laufe des Hühnchens 245.
- Körnerzellenschicht der Oberhaut XIII, 679, 681.
- Körper, amöboide, im Perimysium int. bei Typhus X, 316.
- Körperbedeckungen der Macrobioten II, 125.
- Körperform, allgemeine, der Trichonisciden XIX, 580, Kopf 580, Thorax 581, Abdomen 581, Beine 581, Schwanzgriffel 582, Antennen 582.
- Körperhaut der Landschnecken, Epithel VI, 450, Cylinderzellen 450, Sinneszellen 450, Haarzellen 452, 460.
- Kohlensäure, Einwirkung auf Flimmerbewegung II, 374.
- Kolben der Fischeoberhaut II, 154, Function 160.
- des Schnabels der Cocciden XIII, 46, Beziehung zum Cylinder 46.
- Kolbenkörperchen, Bau und Vorkommen bei Reptilien XIX, 57, Innenkolben 59.
- Kolbenmolch — Axolotl.
- Kolbenwasserkäfer — Hydrophilus.
- Kopf, Entwicklung beim Bombinator igneus V, 116.
- Kopfbeuge bei Kaninchenembryonen XI und Kopftheil der Chorda nach derselben 399.
- Kopfblase bei *Fusus* sp. XIII, 130, Ectodermzellen, Veränderung 130.
- Kopfeingeweidesystem, Nagelglieder IX, 1.
- Kopffalte beim Ei von *Chironomus* II, 388, Blätter 391.
- Kopfkappe, Bildung beim Ei von *Chironomus* II, 388.
- Kopfknochen der Amphibien, primäre und sekundäre XI, Suppl. 192.
- Kopfknochen der Cephalopoden, Knorpelzellen V, Suppl. 14.
- von *Sepia* V, Suppl. 15.
- Kopfmuskeln, glatte, von *Corethraplumaticornis*-Larven, totale Zusammenziehung X, 302.
- bei *Musca*, Contractionserscheinungen XIX, 679.
- Kopfschilder der Ophidier, Sculptur IX, 758.
- Kopfschimmel — Mucor.
- Kopfwiechthiere — Cephalopoda.
- Krähe — *Corvus corone*.
- Kräuselung der Haare IV, 300.
- Krappfütterung beim Knochen, Bedeutung XI, 59, 61.
- Krebse — Crustacea.
- Kreide, Verhalten der Knochen von *Plesiosaurus* in — XV, 375.
- Kreislauf der Kieme von Anodonta, Unio XI, 530.
- Kreismundschnecke — Cyclostoma.
- Kreosot zur Anfertigung mikroskopischer Präparate II, 430.
- Einwirkung auf Vibrionen VIII, 518.
- Kreuze, lateinische, der markhaltigen, peripheren Nervenfasern, Darstellung XIII, 441.
- Kreuzkröte — *Bufo calamita*.
- Kreuzschnecke — *Doris*.
- Krokodil, *Glandula lacrimalis* IX, 647.
- Brustbein und Schultergürtel XIV, 545.
- Kröte — *Bufo*.
- Krötenlarven, indirekte Kerntheilung XVIII, 174.
- Krystalle im Blute bei Leucaemie

II, 507, Verhalten gegen Reagentien 508.
 Krystalle in den Zellen von *Bornetia* III, 24.
 — Harnsäure- im Fettkörper von *Pierris brassica* IX, 178.
 Krystallisation des Blutes vom Meerschweinchen bei Temperatursteigerung I, 31.
 Krystallkörper von *Squilla Mantis*, Plättchenstructur IV, 16, *Peneus caramota* 17, *Scyllarus* 18.
 — des Auges von *Scutigera* XVIII, 450.
 Krystalllinse, Entwicklungsgeschichte XX, 413, Wachsthum 417, Linsenfasern, Umwandlung der Kerne 414, Fasergerüst der Kerne 416, Karyokinesis 416, 419, Nachweis durch Chromsäure 420.
 Krystallstiel im Magen der Muscheln XII, 135.
 Kugelmuschel — *Cyclas*.
 Kuh, reifer Eierstock I, 167, Parenchym 173, Hilusstroma 168, Lymphgefäße und Injection 199, Membrana folliculi int. 177, Corpora lutea 181.
 Kuhzitze, Nervenendigung in der Haut VIII, 643, Langerhanssche Körperchen derselben 643.
 Kulturversuche von Pilzsporen II, 69.
 Kupferacetat, Verhalten im monochromatischen Lichte I, 96.
Labialknorpel der Anuren XI, Suppl. 155.
 Labmagen der Vögel, Drüsen XIII, 744, 745, Cylinderepithel bei *Columba domestica* und *Rubicilla foenicurus* 745.
 Labrini, Doppelbrechung der Hornschuppen XI, 671.
 Labrum tympanicum cristae spiralis, Nervendurchtritt VIII, 158, 159.
 — vestibulare cristae spiralis VIII, 158, Nervendurchtritt 159.
 — vestibulare des acustischen Endapparates der Säuger, Endothelzellen XIII, 506.
 Labrus turdus, Doppelbrechung der Hornschuppen XI, 671.
 Labyrinth, häutiges, der Batrachier XVII, 490, Pars sup. seu Vestibulum membranaceum, Lage 490, feiner Bau 497, Epithel 497, Utri-

culus 493, Ampullen und Bogengänge 494, Epithel 498, Pars inferior, Lage 500, Sacculus hemielipticus, Lage und Bau 502, Lagena 503, Pars basilaris Cochleae 505, Membrana basilaris 507, Tegmentum sacculosum 508, Pars initialis Cochleae 509, Ductus endolymphaticus 513, perilymphaticus 514, N. acusticus, Verästelung 515, Ramus vestibularis 517, N. Utriculi 517, Macula acustica Utriculi 518, Basalzelle 518, Cylinderzelle 519, Nerv, Verhalten zum Epithel 520, Otolith des Utriculus 522, N. Ampullae sagittalis 523, N. Ampullae horizontalis 523, Crista Ampullae 524, N. Ampullae frontalis 524, Cupula terminalis 525, N. Sacculi 526, Macula acustica Sacculi 526, Otolith 528, N. Lagenae 527, Crista Lagenae 528, N. Partis initialis Cochleae 528, Crista 529, N. Partis basilaris Cochleae 530, Crista 531.
 Labyrinth, häutiges, der Ganoiden XVIII, 488, Structur der Wandung 493, Epithel 495, Verlauf des N. acusticus im — 496.
 — — der Knochenfische XIV, 264, Litteratur, mikroskopische Beschreibung 269, Utriculus 271, Recessus Utriculi 273, Epithel 272, Macula Utriculi 274, Basalzelle 274, 302, Fadenzelle 275, 302, Cylinderepithelien 276, 302, N. acusticus, Verlauf 278, Bau 279, Portio cochlearis 278, Endigung in Fadenzellen 280, Lapillus, Otolith 283, Membrana tectoria der Macula 284, Appendix Utriculi 284, Ampullen 285, Epithel 286, Planum semilunatum 286, Nervenendausbreitung in den Cristae acusticae 288, Cristae acusticae, Epithel 289, Cuticularmembran 290, Cupula terminalis 290, 291, Bau und Bedeutung, Bogengänge 292, 293, Verlauf, Grösse, Bau, Epithel 293, Sacculus 294, Macula Sacculi 295, Sagitta, Otolith 295, Lagena 296, Crista Lagenae 296, Asteriscus, Otolith der Lagena 296.
 — — bei Muraeniden XIV, 297, Nervenausbreitung 298, bei *Cyprinus carpio* und *Chondrostomus nacus* 298, Sinus impar, Bedeutung 299, Solea vulgaris, *Gadus morrhua* 300, *Pereca fluviatilis* 300, Untersuchungsmethode 302.

- Labyrinth, häutiges, der Reptilien XX, 271.
- der Chelonii XX, 279, Pars superior 282, Utriculus 282, Recessus Utriculi 283, Ampulla sagittalis 285, sagittaler Bogengang 286, Amp. horizontalis 287, Canalis semicircularishorizontalis 287, Amp. frontalis 287, frontaler Bogengang 288, Foramen utriculo-sacculare 288, Pars inferior 289, Sacculus 289, Recessus Sacculi 291, Cochlea 291, Pars basilaris 295, Lagena 294, Membrana basilaris 295 und Reissneri 297, Scala cochlearis 298, Epithel 300, Ductus endolymphaticus 301, Cavum perilymphaticum 302, Canalis lymphaticus 303, Scala Tympani et Vestibuli 304, Nervus acusticus 304, Ramus vestibularis 304, 306 und cochlearis 304, 307, 310, Ganglion cochleare 305, Endigung im Epithel 306, N. Utriculi 307, Macula acustica Utriculi, Epithel 307, Basalzelle 309, Cylinderzelle 310, Nervenendigung 311, Otolith 313, N. Ampullae sagittalis 314, Crista acustica Ampullae sagittalis 314, Planum semilunatum 315, Cupula terminalis 316, N. Ampullae horizontalis 318, N. Sacculi 320, Macula acustica Sacculi 320, Otolith 321, N. Partis basilaris 322, Ganglion cochleare 322, Crista acustica Partis basilaris 323, Membrana Corti 324, N. Lagenae 325, Crista acustica Lagenae 326, N. Ampullae frontalis 326, Crista acustica Amp. frontalis 326, Papilla Retzii 326, 329.
- der Hydrosaurii XX, 345, Foramen utriculo-sacculare 348, Utriculus 348, Sacculus 349, Ductus endolymphaticus 349, Canalis reuniens 349, Cochlea 349, Lagena 349, Pars basilaris 349, Membrana basilaris 350 und Reissneri 350, 352, Scala Cochleae 351, N. acusticus 352, Papilla Retzii 353.
- der Ophidii XX, 332, Pars superior 333, Utriculus 333, Pars inf. 333, Sacculus 333, Foramen utriculo-sacculare 333, Cochlea 334, Pars basilaris 334, Lagena 335, N. acusticus 336, Ramus vestibularis 336 und cochlearis 336, Papilla Retzii 337, Crista acustica Partis basilaris 337, Crista acustica Lagenae 337.
- Labyrinth, häutiges, der Saurii XX, 338, Foramen utriculo-sacculare 339, Sacculus 339, Ductus endolymphaticus 340, Cochlea 340, Pars basilaris 340, Lagena 340, N. acusticus 342, Papilla Retzii 345.
- knöchernes, der Batrachier XVII, 486, Periost 492, Foramen ovale 488, F. rotundum 488, Apertura Aquaeductus Vestibuli 489, Meatus auditorius int. 489.
- der Chelonii XX, 277, Hydrosaurii 343, Ophidia 330, Saurii 338.
- Labyrinthula macrocystis III, 304, Spindel, Wohnort 305, Cystenbildung 305.
- vitellina III, 275, Spindeln, Bau und Veränderung durch Zusatzflüssigkeit 277, Fadenbahn 297, Wohnort 303.
- Labyrinthulae, Bau und Entwicklung III, 274, Stellung im Weltreiche 307.
- Lachs — Salmo.
- Lacerta, Retina II, 209.
- Verlauf der Nervenfasern in den Spinalganglien IV, 52, 54.
- motorische Nervenendigung IX, 553, Nerven Hügel 554.
- Glandula lacrimalis IX, 646.
- intravaginaler Nervenplexus, Beziehung zur Längsstreifung der Muskeln XIII, 410.
- Vorderdarm XIV, 199.
- Purkinjesche Zellen der Kleinhirnrinde XIV, 219.
- Thymus, Bau XIV, 347.
- Schleifenbildung der Gefäße im Gehirn und Rückenmark XV, 61, dem Tractus olfactorius 61, Vorderhirn 61, Rückenmark 62, Mittelhirn 62, Medulla oblongata 62.
- agilis, Retina, Pigmentierung der Zwillingszapfen III, 233.
- — Follikelepithel VIII, 237.
- — Chorion VIII, 406.
- — Modell der rothen Blutkörperchen VIII, 475.
- — Nervenendigung im Muskel, sensible IX, 548, motorische 553.
- — Sculptur der Haut IX, 761, 762.
- — Retina, Stäbchen und Zapfen XII, 768.
- viridis, Eier VIII, 216, Wachs thum derselben 225, 226.
- — Haut XVIII, 357, Cutis 359, Membrana Tympani 357, Anhangs-

- gebilde der Haut 358, im Unterkiefer 358, im Oberschenkel 358.
- Lacertina, Epithrichialschicht der Haut XIII, 213.
- Lacune der Binde substanz der Acephalen, Bedeutung XIII, 564, 566, 821.
- Hoswshipsche, der Knochen XI, 36.
- Lagena des häutigen Labyrinths der Batrachier XVII, 503, Lage und Bau, N. Lagenae 527, Crista 528.
- des häutigen Labyrinths der Knochenfische XIV, 296, Crista 296. Asteriscus, Otolith, 296.
- des häutigen Labyrinths der Chelonii XX, 294, Nervus 325, Crista acustica 326.
- des häutigen Labyrinths der Hydrosaurii XX, 349.
- des häutigen Labyrinths der Ophidia XX, 335, Crista acustica 337.
- des häutigen Labyrinths der Saurii XX, 340.
- Lagenidae XIII, 29.
- Lagynis baltica X, Suppl. 132, XI, 107.
- Lama — Auchenia.
- Lamellibranchiata, feiner Bau der Muskelfaser V, 229.
- haartragende Sinneszellen der Oberhaut V, 420.
- Lamina basilaris der Gehörschnecke VIII, 162, Entwicklung 163, spindelförmige Zellen 164, Faserstratum 162.
- membranacea der Gehörschnecke VIII, 150, 162, Theilung in Crista spiralis und Lamina basilaris.
- reticularis der Gehörschnecke VIII, 189.
- des acustischen Endapparates der Säuger XIII, 503, 507, Abdrücke der Endzellenhärechen 507, 508.
- spiralis ossea der Gehörschnecke VIII, 148, Periost 150.
- Lamna, Verhalten der Knochen im tertiären System XV, 375.
- Lamprete — Petromyzon.
- Lampyrus, Tracheenzelle, Endigung der Tracheen in Leuchtorganen I, 131.
- splendidula, Leuchtorgane I, 124, Uratzellen 130, Tracheenzelle, als Tracheenendigung in Leuchtorganen 131, Parenchymzellen 130, Veränderung der Tracheenzelle durch Osmiumsäure 132, Nervenendigung in Leuchtorganen 135, Tracheenverästelungen, Einwirkung von Ueberosmiumsäure 299, Leuchtorgane behandelt mit Kalilauge 301, Aehnlichkeit der Tracheenendzelle mit peripherischen Ganglienzellen von Phyllirrhöe bucephala VIII, 649, 652 und Beziehung zu den Langerhansschen Körpern.
- Landgasteropoden, Haut V, Suppl. 54, Becherzellen 56, Farbdrüsen 56, Schleimdrüsen 56.
- Landisopoden, Differenzirung der Copulationsorgane bei verschiedenen Arten XIX, 633.
- Landnatter — Coluber.
- Landsalamander, Knochen des Gaumenbogens XI, Suppl. 17.
- Larven, Schleimzellen der Epidermis XII, 144.
- erwachsene, Drüsenzelle der Epidermis XII, 145.
- Landschildkröte, griechische — Testudo graeca.
- Landschnecken, Bau und Nervenapparat der Fühler VI, 439, 442, 443, Fühlerepithel 446, Beziehung zum Nerv 448, Becherzellen 447, Cylinderezellen 447, Nervenendkölbchen 448.
- Epithel der Körperhaut VI, 450, Sinneszellen 450, Cylinderezellen 450, Becherzellen 452, Haarzellen 452, 460, spongiöse Binde substanz, Beziehung zu den Becherzellen 462, Schleimdrüsenzelle 463, Farbdrüsenzelle 465.
- Langerhanssche Körperchen in der Haut der Kuhzitze VIII, 643, Beziehung zu peripherischen Ganglienzellen der Beröe 647, Beziehung zur Tracheenzelle von Lampyrus splendidula 652.
- Langersche Blase bei Muscheln XIII, 821, Zellnatur bei Mytilus edulis, Kern 824, Grundsubstanz, Darstellung bei Anodonta 829, Membran 830.
- Lantermannsche Einkerbungen der markhaltigen Nervenfasern XIII, 445, Beziehung zu den Ranvierschen Schnürringen 450.
- Lanzettfisch — Amphioxus.
- Lapillus, Otolith der Macula Utriculi des häutigen Labyrinths der Knochenfische XIV, 283.

- Larven von *Corethra plumicornis* X, 295, Herz, Muskeln 295, Nervenendigung 297, amöboide Körper 298, Querstreifung 299, Veränderung in ruhenden 299, totale Zusammenziehung 302, platte Kopfmuskeln 302, Knotenbildung 303, Zerreißen 305.
- Larvenbildung bei Julineen XIV, 12, bei *Polydesmus complanatus* 15.
- Larvenherz bei *Fusus* sp. XIII, 139, Bau, Muskelzellen 139.
- bei *Nassa mutabilis* XIII, 119.
- Larvenstadium von *Ascetta primordialis* und *clathrus* XIV, 249.
- Lateralplatte der Mundtheile der Trichonisciden XIX, 617, 618.
- Laubfrosch — *Hyla*.
- Laufkäfer — *Carabus*.
- Lauerscher Gang bei *Distomum Westermanni* XIX, 566, 571, Litteratur 572.
- Läuse — *Pediculina*.
- Leber der Wirbelthiere III, 88, 423. Gallengänge 89, Zellen 89.
- von *Coluber natrix* III, 92, Injection 92, vom Frosch 92, Injection 94, vom Kaninchen 97, Blutgefäße 97.
- Entscheidung über die Art der Drüse III, 112, Gallencapillaren 423, bei Wirbelthieren, Fischen, Schlangen, Vögeln 426, Pigmentirung und Wechsel bei Amphibien 429.
- nach *Batrachiertypus* III, 430, Corticalschicht.
- von Salamandrin III, 430, farblose amöboide Zellen in dem corticalen Theile aus den centralen Inseln 432.
- von *Proteus* III, 432, centrale pigmentirte Zelleninseln.
- der *Cocilia* III, 433.
- des *Bombinator igneus* und junger Frösche III, 433.
- von erwachsenen Fröschen und Kröten III, 433, der corticale Theil und die centralen Inseln, Bedeutung 430, 434.
- Pigmentirung bei Triton und Salamandrin 434, Vertheilung des Pigmentes in der Corticalschicht von Triton *taeniatus* 434, Melanose der — bei Salamandrin und Fröschen 435, periodisches Auftreten der Pigmentirung bei Salamandrin und Fröschen 435, Wechsel der Pigmentirung 436, Pigmentirung bei Salamandrin und Fröschen, Zusammenhang mit Keimstoffproduction 436.
- Ausführungsgang bei *Bombinator igneus* V, 111.
- Bindsesubstanz V, 349, beim Frosche 349, beim Menschen 350, Gewebsveränderung bei Entzündung 367.
- Anlage bei der Unke IX, 412.
- Verhalten bei Injection der Gefäße XI, 91, Verhalten des Peritoneum 91.
- bei *Torpedo oculata* XI, 570, 571.
- Sternzelle XII, 353.
- Plasmazelle XIII, 276, Sternzelle, Zugehörigkeit zur Plasmazelle 276.
- Histologie XIII, 415, Beginn der Gallengänge an den Leberzellen 415, Verlauf der Nerven 417, 418.
- Doppelfärbung XV, 36.
- der Crustaceen, Bau und Thätigkeit XVII, 385, Litteratur 386, bei Isopoden 390, Function 414, Secret 414, Onisciden 390, Leberzellen 417, Fermentzelle 417, bei der Kellerassel 391, Drüsenschlauch, Bau 393, Tunica propria 394, 397.
- serosa 394, Muscularis 394, feinerer Bau 396, Drüsenparenchym 397, Zellen 398, helle Zelle 399, Fermentzelle 399, 400, Einfluss von Reagentien 402, Aqua destillata 403, Aether 403.
- von *Typhonicus Steini*, XVII 404, Muscularis 405.
- der *Asellidae* XVII, 407, bei *Asellus aquaticus* 407, Drüsenschläuche 408, Tunica serosa 408, Muscularis 409, Drüsenzelle 411, Fermentzelle 411, bei *Asellus cavaticus* 412, Drüsenschläuche 412, Drüsenzelle 418, bei Amphipoda 423, Gammarien 423, Tunica serosa 425, T. muscularis 426, Drüsenzelle 427, Secretionszellenband 428, Ferment- und Becherzellen 429, Reservzellenband 431, Tunica intima 434, bei Decapoden, bei *Astacus fluviatilis* 436, Hüllen 439, Tunica serosa 439, Muscularis 439, Drüsenzelle 439, Leber und Fermentzelle 440.
- bei Crustaceen, Function XVII, 443, Leberzellen 448, Bedeutung.
- Lebercarcinom, invaginirte Zellen IV, 188.
- Lebersack bei *Fusus* sp. XIII, 136.

- Leberzellenkern des Karpfen, Bau XVI, 321.
- Lecanium Fundort XIII, 33, Vagina des Schnabels 44, Verdauungscanal 51, Speicheldrüsen 64, Zellkerne 72, Malpighische Gefäße 80.
- depressum, Speicheldrüse XIII, 62.
- Hesperidum XIII, Speicheldrüse 58, 59, Malpighische Gefäße 81.
- Lecythium, Vergleich mit Amoeba terricola X, Suppl. 32.
- hyalinum X, Suppl. 117, 118, Schaale 117, Körper mit Vacuolen und Kern 118.
- XII, 38, Bau und Colonienbildung 39.
- Lederhaut — Cutis.
- Leionata fasciola, contractile Behälter V, 34.
- Leibeshöhle bei Nais, Umwandlung I, 283.
- Lemania, Florideengattung III, 30, Sporen 30.
- Lemniscus Reilii — Schleife.
- Lepadogaster, secundäre Wirbelkörper XVI, 124.
- Lepamoebae X, Suppl. 81, Zugehörigkeit von Amphizonella und Cochliopodium zu — 87, 88.
- Lepidoleptus tachyrhynchus, Doppelbrechung der Hornschuppen XI, 671.
- Lepidoptera, Fettkörper IX, 178.
- Entstehung des Schmetterlingsrüssels XV, 13, 23, Haare 14.
- Verbreitung der Chordotonalorgane XX, 553.
- Lepidosiren, Untersuchung von Knochen der Mundhöhle gleicher Entstehung XI, 169, 173.
- Schleimhaut des Oesophagus XIII, 663.
- Seitenorgane XVIII, 366.
- annectens, Spiralklappe des Mitteldarms XIII, 679.
- Schuppen, Vergleich mit Ceratodus XVIII, 123.
- Lepidosteus, Doppelbrechung der Hornschuppen XI, 674.
- Schleimhaut des Oesophagus, Flimmerepithel XIII, 660.
- Zwischendarm XIII, 680, Spiralklappe 680.
- Wirbelsäule und Anhänge XV, 453, Chorda, obere Bögen 455, untere 456.
- Seitenorgane XVIII, 368.
- Lepidosteus osseus, Beweis für die gemischte Abstammung der Kieferknochen XI, Suppl. 189.
- Lepidotus, Verhalten der Knochen im jurassischen System XV, 374.
- Leptophrys X, Suppl. 57, 60, Protoplasma mit Vacuolen, Kern, Pseudopodien, Fortbewegung, Nahrung 58.
- cinerascens, Stellung XII, 25.
- elegans X, Suppl. 58, 61, Stellung XII, 25, XIII, 27.
- Leptis, porifere Vorkommnisse der Chordotonalorgane an den Vorderflügeln XX, 599.
- Leptoplana tremellaris, Auge XX, 168.
- Leptothrix buccalis, Vorkommen in der Mundhöhle und dem Epithel der Zunge, Zugehörigkeit zu Vibrionen III, 322.
- Leptothrixschwärmer und ihr Verhältniss zu den Vibrionen II, 67, Veränderung 72, Sporenbildung, Haarkrankheit durch — hervorgeufen 72, Einleitung der Fäulniss durch — 84, Entstehung 84.
- Lepus, Hohlräume der äusseren Körnerschicht der Retina XIII, 425.
- cuniculus, optische Erscheinungen bei Degeneration der Nerven II, 40.
- Entwicklung der Stäbchen und Zapfen der Retina II, 246, III, 375.
- — Leber III, 97, Blutgefäße 97, Gallengänge 99.
- — Bau der Samenkörper III, 265.
- — embryonaler Ursprung der Stäbchen- und Zafenschicht der Retina III, 375.
- — Entwicklung des Embryo III, 501.
- — Structur der Ganglienzellen der Spinalganglien IV, 61, des Sympathicus 62.
- — Haarbildung im extrauterinen Leben IV, 289.
- — Ciliarmuskel IV, 365.
- — zur Untersuchung der Grosshirnrinde V, 317.
- — Entwicklung der Ganglienkörper V, 320.
- — Bau der Submaxillaris V, 335, Zellen 336.
- — Papillen der Zunge VI, 241, 250, Papilla foliata 251, Stäbchenzellen 254, Deckzellen 254, becherfö-

- mige Organe der Zunge 252. Beziehung zu Nerven 255.
- Lepus cuniculus*, Drüsen vom Bau des Pancreas im Duodenum VIII, 93.
- Bau der Submaxillaris VIII, 501.
- elastisches Gewebe des Ohrknorpels IX, 88.
- Nerven der Cornea IX, 242, subepitheliale Schicht 231, 266, subbasale Nervenschicht 242.
- Nervenbügel IX, 560.
- Entwicklung der Spermatozoiden XI, 316.
- embryonale Anlage der Augenlinse XI, 380.
- Kopftheil der Chorda nach Kopfbeuge XI, 399, Ursachen der Kopfbeuge 400.
- Anlage der Hypophyse XI, 402, Durchriss der Rachenhaut und Beginn des Hypophysensäckchens 408, Hypophysentasche, Bildung 407, Abschnürung 408, Umwandlung des Hypophysensäckchens in Drüsen-schläuche 416, 417, 419, letzte Veränderungen der Chorda an der Schädelbasis 422, des Sphenoo-cipitalknorpels 433.
- primitive Anlage des Unterkiefers XII, 256, Betheiligung des Meckelschen Knorpels 260.
- Retina XII, 780.
- Bau der Submaxillaris XIII, 724.
- appendiculäre, pancreatische Drüse XIII, 753, Pepsinzellen 754.
- Schnauze, Nervenendigung in Tasthaaren XV, 45, 41.
- Ureter XV, 256, Peristaltik, Ganglienzellen 256, Faserzellen der Muscularis 257.
- Spermatogenese XV, 293.
- Begrenzungsschichten zw. Glaskörper und Retina XV, 542, Verhältniß zw. Glaskörper und Linsenkapsel 549.
- Corrosion des Periosts vom Schädel XVI, 486.
- Ferment der Glandula submaxillaris XVI, 543.
- Ganglienzelle der Arachnoidealbekleidung des Riechkolbens XVI, 614.
- Degeneration und Regeneration zerquetschter Nerven XVIII, 338.
- zur Kenntniss der Wolffschen und Müllerschen Gänge XX, 95, Ausmündung 95, Verschmelzung 96, in den Geschlechtsorganen 97, Verschwinden 101.
- Lepus cuniculus*, Uterus masculinus XX, 100, ungestielte Hydatide 103.
- Brustdrüse, Bildung der Acini XX, 148.
- embryonale Entwicklung der Milchdrüse XX, 431.
- Leucaemie*, Krystalle im Blute bei — II, 507.
- Kernteilung im Blute XX, 57.
- Leuchtkäfer — *Lampyris*.
- bei *Vera-Crux* vorkommend, Leuchtorgane VIII, 461.
- Leuchtorgane von *Lampyris splendidula* I, 124, Parenchymzellen 130, Uratzellen 130, Tracheenzelle, als Endigung der Tracheen 131, Veränderung der Tracheenendzelle durch Osmiumsäure 132, mit Kalilauge 131, Nervenendigung 135.
- bei *Lampyris splendidula* VIII, 652.
- der bei *Vera-Crux* vorkommenden Leuchtkäfer VIII, 461, bei *Cucujos* 461, Beschreibung 463, Schichtung 465, leuchtende Schicht 463, Leuchtzelle 465, Einwirkung von Schwefelsäure 466, Essigsäure 466, Kalilauge, Alkohol 466, Osmiumsäure 468, Tracheenstämme und Beziehung zu Leuchtzellen 467, nicht leuchtende Schicht, Bedeutung 469, Nerven 469, Beziehung zum Blute 470.
- Verbreitung bei Fischen XIX, 147.
- bei *Porichitys porosissimus* XIX, 149.
- Leuciscus alburnus*, secundäre Wirbelkörper XVI, 124.
- Leucocyten*, Ansammlung in der gereizten Orbitaldrüse XIII, 329, Theilnahme an der Schleimbildung 350.
- Theilung XX, 60, Sternform 70, Knäuelform 72, achromatische Fäden, Werth 75.
- Levator Ani* XIX, 727, äussere Schicht 727, innere 728.
- Leydigsche Körperchen XIX, 114.
- Libellenlarven, Keimfleck II, 57.
- Libellula depressa*, pulsirender Bauchsinus XII, 578.
- Lichenen, systematische Stellung III, 36, Spermogonien, Verhältniß zu Antheridien der Florideen 38.
- Licht, Perception III, 241.
- monochromatisches, Verhalten der Blutkörper und einiger Farbstoffe im — II, 92, Verhalten des

- Murexid 96, Kupferacetat 96, Anwendung bei der Microphotographie III, 69, 74, bei sehr starken Vergrößerungen III, 85.
- Licht, polarisirtes, zur Untersuchung der Farbenperception III, 254.
- Contractionsvorgang quergestreifter Muskeln in — IX, 293.
- Lichtquelle für Microphotographie III, 71, 273.
- Lidrand, modificirte Schweissdrüsen XIII, 783.
- Liberkühnia Wagneri XIII, 28.
- Ligamentum denticulatum des Rückenmarks IX, 313, Verhältniss zur Arachnoidea 314, feiner Bau 326.
- der Kieme von Amphioxus lanceolatus XII, 313.
- des Gelenkes, Endothel X, 414.
- intercapsulare der Pacinischen Körperchen IX, 369.
- Nuchae, elastische Fasern unter Pepsin- und Trypsineinwirkung XVI, 17, Altersverhältnisse 19, beim Ochsen mit Pepsin 20, Oxalsäure 24, Trypsin 25, beim Kalb mit Pepsin 26, Trypsin 29, beim einjährigen Rind 30, Verdauung des Elastin mit Pepsinoxalsäure 31, Trypsin 32.
- pectinatum des Ciliarmuskels der Katze IV, 360, des Pferdes 363.
- des Auges VI, 272.
- quadratum der Knochenfische XIX, 168.
- spirale der Gehörschnecke VIII, 167.
- des acustischen Endapparates der Säuger, Zelle XIII, 503.
- thyreo-epiglotticum, Bildung XI, 502.
- zygomaticum der Giftschlangen IX, 621.
- Lilium Crocum, Kerntheilung im Wandbeleg des Embryonalsackes XX, 41, Karyokinesis 48, achromatische Fadenspindel 48, Zellkern, Bau 52.
- Limax, secernirende Zellen der Haut III, 204.
- carinatus und variegatus, Chromatophoren XII, 541.
- marginatus, Cuticula XII, 137.
- Limitans Retinae in seinem Verhältniss zur Hyaloidea VI, 320, 322, Zusammenhang mit der Zonula ciliaris 328, Structur 329, Endigung 334.
- Limitans Retinae, externa von Amphibien VII, 90.
- , externa, Beziehung zum Fadenapparat der Stäbchen VII, 247.
- , externa des Flaconatl XII, 412.
- Limnaeus stagnalis, Vergleich mit Dotterfurchung bei Nassa mutabilis XIII, 105.
- Linse, Verbindung mit Corpus ciliare durch die Zonula Zinnii und Ansatz an die letztere III, 495.
- Veränderung bei der Accommodation XV, 560.
- des Auges der Cephalopoden XVI, 217.
- Anlage bei Knochenfischen IV, 249.
- der Mollusken, Riff- und Stachelzellen V, Suppl. 38.
- des Auges von Pteroceras II, 408, Entwicklung bei Paludina.
- des uniconnealen Tracheaten- und speziell des Arachnoiden- und Myriopoden-Auges XVII, 59.
- Bildung bei der Unke IX, 401.
- Linsenförmiger Körper der Stäbchen und Zapfen der Retina III, 220, 230, Darstellung durch Ueberosmiumsäure.
- Körper der Zapfen der Retina bei Macacus cynomolgus III, 231.
- Körper der Retina VII, 97, bei Amphibien 97.
- Körper der Retina der Chelonier XII, 425, Beziehung zu Zapfenkernen 426.
- Linsenkapsel, Verhältniss zum Glaskörper beim Kaninchen XV, 549, Mensch 556, 585.
- Linsenoberfläche, Verhalten zum Ciliarkörper XV, 574.
- Lippe der Octopoden V, Suppl. 61.
- Drüsenzellen der Schleimdrüsen VIII, 133.
- Lippenkarasche — Crenilabrus.
- Lippenzähnen — Chilodon.
- Lipoma arborecens X, 427.
- Lippfisch — Labrus turdus.
- Liquor Amnii, Bildung VII, 196.
- Lithobius, Auge XVIII, 441, Retina 443, Stäbchen 443, Leistung 463.
- Lithocolla globosa X, 389.
- Lituolidae XIII, 28.
- Lobocephala, Bedeutung V, 276, Stellung zu Rhynchocephala 277.

- Locusta**, Gehörorgan XI, 195.
 — Adventicia des Rückengefäßes IX, 140, 141.
 — *viridissima*, Untersuchung des Rückengefäßes IX, 135, Muscularis, Kerne derselben 136, 139, Adventicia 140.
 — — Keimkugel X, 500.
 — — Verbreitung des Chlorophylls XII, 540.
 — — subgenuales Chordotonalorgan XX, 569.
Locustidae, Rückengefäß IX, 151.
 — Tracheen in der Nähe des Herzens IX, 180.
 — Crista XX, 619.
Locustinae, Gehörorgan XI, 203.
Lophobranchier, Schleimhaut des Oesophagus, Becherzellenepithel XIII, 661.
Loricaria XI, Suppl. 186, Deckknochen der Mundhöhle, Beziehung zu den Deckknochen des Schädels, Integumentossification.
Loricata, Doppelbrechung der Hornschuppen XI, 669.
Loupen, Steinheilsche II, 282.
Loxosoma singulare XII, 1, Bau 3, Vorkommen 2, Gattungs- und Art-Charakter 3.
 — *raja* XII, 3.
 — *cochlear* XII, 3, Hautbedeckung 3, Muskulatur 4, Fuss 4, Fussdrüse 5, Entwicklung 10, Ernährungsapparat 5, Entwicklung 10, Gefäßsystem 6, Geschlechtsorgane 7, Samenfäden 7, Entwicklung 7, Keimblätter 8, Eientwicklung ohne Metamorphose 8, Schwärmerbildung 12.
Lucanus cervus, Gehörorgan IV, 88, Kopfnerven 88, Chitinhaut der Fühlerlamelle 90, Tracheen des Fühlerendblattes 90, Ganglienzellen des Gehörorgans 92, Nervenverlauf 91.
 — — Muscularis des Rückengefäßes IX, 137.
Luftpumpe für mikroskopische Zwecke V, 288.
Lumbricinen, äussere Bedeckung I, 258, Hautdrüsen 259, Schleifenkanäle 286.
 — — Neurilemma IX, 777.
Lumbriculus, äussere Bedeckungen I, 260.
Lumbricus äussere Bedeckungen I, 258.
 — — feiner Bau der Muskelfaser V, 227.
 — — Genese der Samenkörper X, 496, 502.
Lumbricus, Vergleich mit Amphioxus, Anlage der Medullarplatte XIII, 198, Homologie mit der Medullarplatte der Amphibien und Folgerung 200.
 — *agricola*, Ganglienzellen und Nervenfasern XVI, 105.
 — *terrestris*, feiner Bau der Muskelfaser V, 225.
Lunge, Neubildung von Endothel X, 372.
 — Injection und Verhalten der Niere XI, 87.
 — Verhalten zu Lymphgefässen XI, 92.
 — des Königstigers, Distomum Westermanni, in — XIX, 529, Bau 529.
 — tuberkulöse, Veränderung bei der Entzündung XVIII, 141.
Lungenathmer, Epithel des Respirationsscanals III, 192, Flimmerzellen 192.
Lungenfische — Dipnoi.
Lungenschnecken — Pulmonata.
Lungenvenen, quergestreifte Muskelfasern XIV, 243.
Lunula des Nagels, Bedeutung X, 728.
 — der Orbitalis, XIII, 294, Arten 297, Veränderung bei der ruhenden, schwach secernirenden Drüse 320, Veränderung durch Reizung 327, Ausprägung, Anschwellen und Schwinden 328, Verschwinden 330, Neubildungsmaterial für die untergegangenen Schleimzellen 341, Theilnahme an der Neubildung von Acinis 344.
 — der Submaxillaris des Hundes XIII, 727.
Lunulasprossen, echte, der Orbitalis, XIII, 304 und ihr Zusammenhang mit intraalveolärer Bildung. Lurche — Batrachia.
Lyaena Adonis, Cylindergebilde des Rüssels XV, 16.
Lychas americanus, Formelemente der Retina XVIII, 421.
Lydella I, 429, 434.
Lymnaeus, haartragende Sinneszellen der Oberhaut V, 431, siehe Limnaeus.
Lympha generatrix im Ei der Wirbelthiere VIII, 15.
Lymphbahnen des Auges und ihre Begrenzungen VI, 1, Eintheilung, die hinteren 33, der Retina 55, des Glaskörpers 56, Beziehung zur

- intraoculären Drucksteigerung 57, vordere 261.
- Lymphbahnen des sympathischen Nervensystems IX, 361.
- des Centralnervensystems XVII, 362, Prüfung der Ansichten von Axel-Key und Retzius, Untersuchungsmethode 364.
- Lymphcapillarnetz der Chorioidea, Corrosion XVI, 500, der Retina 503.
- Lymphgebiet, perivasculäres der Milz und Beziehung zur Arteria VIII, 571, 574, Verlauf 588, 610.
- Lymphgefäße des Eierstocks I, 199, der Kuh, Injection 199.
- des Froschlarvenschwanzes III, 112.
- der Milz VI, 575.
- der Cutis, Darstellung des Endothels VII, 369.
- der Brunnerschen Drüsen, Verhältniss zur Membrana propria VIII, 126.
- der Gelenke X, 424.
- Verhalten zur Lunge XI, 92.
- im subcutanen Fettgewebe XII, 450, Omentum 451, 454.
- Anatomie der kleineren XII, 507, Verlauf und Vertheilung im subcutanen Gewebe 508, Bau 509, Entwicklung mit Hilfe der Binde substanzzelle 510.
- der Gelenke XII, 649, Behandlung 650 mit Berliner Blau, der Synovialmembran 654, Beziehung zu Blutgefäßen, Verdauungsmethode zum Nachweis des Endothels der Lymphgefäße 655, Befestigungen mit dem Bindegewebe 656, topographische Anordnung 658, Versuch mit gefärbter Gelenkflüssigkeit 659.
- periostale, Zusammenhang mit den Saftbahnen des hyalinen Knorpels XIV, 71.
- der Thymus XIV, 357.
- ein dieselben umspinnendes Capillarnetz XVII, 335, im Ohr der Ratte, dem Mesenterium von Hund und Katze 338, den hinteren Extremitäten der Ratte 339.
- der Nasenschleimhaut, Füllung von den Lymphräumen des Hirns aus, XVII, 366.
- Lymphgefäßsystem, Entwicklung bei Bombinator igneus V, 115.
- und Beziehung zur Membrana propria der Brunnerschen Drüsen im Duodenum des Kaninchens VIII, 126.
- Lymphkörperchen, Vorhandensein im Hoden I, 74.
- Lymphnetz des Darmcanals der Vögel III, 417.
- der Ganglien der peripheren Nerven IX, 341.
- zwischen den Opticusscheiden VI, 47, Communication mit dem Arachnoidealraum 49, Endothel 51.
- der Milz, Hüllen VIII, 581.
- der Schnauzendrüse von Tropidonotus natrix IX, 603, der Gland. Labii inf. 605.
- des fibrillären Bindegewebes, Anlage bei der Unke IX, 406.
- der Lippendrüse IX, 617.
- der Giftdrüse der Giftschlangen IX, 624, einheimischer Ophidier 637, bei Vipera ammodytes und berus 637, Tropidonotus natrix 637.
- Vertheilung im Corium einheimischer Ophidier IX, 780, Vipera ammodytes und berus, Ophidia inocua 780, Umwandlung in lymphdrüsige Masse 780, bei Tropidonotus natrix.
- perivasculäres im Centralnervensystem und Retina XI, 272, Isolationsmethode 274, Advententialscheide mit Endothel 274, Fortsätze derselben 275, 276, Inhalt 278.
- des Bindegewebes der Amphibienhaut XII, 224, 226.
- des Flossensaumes der Batrachier XII, 516.
- wandungslose, im Bindegewebe der Schleimhaut des Fischdarmes XIII, 682, 683.
- des Hirns, Beziehung zu Lymphgefäßen der Nasenschleimhaut XVII, 366.
- Lymphraum der Cutis bei Platydactylus guttatus XIII, 224.
- Lymphscheide der Milz, Beziehung zu den Malpighischen Körperchen VI, 550, 552, zu Milzgefäßen 550.
- Lymphsystem des Auges, Verlauf VI, 351.
- identisch mit Blutsystem bei Muscheln XIII, 852.
- trabeculäres der Milz VIII, 594.
- Lymphwege der Vögel III, 409, der Körperoberfläche 412, im Kamm des Hahnes 415, des Darmcanals 417, subseröse 417, intermuskuläre 419, submucöse 419.

Lymphwurzeln des Interstitialgewebes XII, 399, Bau 404, Zellen 407.

— der Knochen XIII, 87.

— Corrosion XVI, 481.

Macacus cynomolgus, linsenförmiger Körper der Zapfen der Retina III, 231.

Machinosaurus, Verhalten der Knochen im jurassischen System XV, 374.

Macrobiotus II, 102, 105, Arten 112, Bau 115.

— Hufelandii, Bau und Vorkommen II, 116.

— macronyx II, 120.

— Oberhäuseri, Bau und Vorkommen II, 117.

— tetradactylus, Bau und Vorkommen II, 119, Scheintodt und Wiederbelebung II, 121, Nahrung 124, Körperbedeckungen 125, Blut 125, Verdauungsapparat 126, Geschlechtsapparat 128, Nervensystem 127, Spermatozoiden 129, Eier 129.

Macroconidien, Bildung II, 79, Mucorkapseln aus — 80, Copulation mit Thecosporen 81, Schicksal in Milch 81, Boden für die Bildung 82.

Macrocytis, Spindel III, 304.

Macropoma XI, Suppl. 185, Deckknochen der Mundhöhle, Beziehung zu Deckknochen des Schädels, Integumentossification.

Macrosporen, Bildung aus den Kettenträgern bei Penicillium crustaceum II, 74, Copulation 76, Boden für Bildung 81.

Mactodon, Verhalten der Knochen im tertiären System XV, 376.

Macula acustica, Epithel beim Menschen III, 119, Verhalten zum Utriculus 115 und Sacculus 118, Epithelialzelle beim Menschen 119, Fisch 120, Nerven 124.

— acustica Sacculi des häutigen Labyrinths der Chelonii XX, 320, Otolith 321.

— Sacculi des häutigen Labyrinths der Batrachier XVII, 526, der Knochenfische XIV, 295, Otolith 295.

— Utriculi des häutigen Labyrinths der Knochenfische XIV, 274, Basalzelle 274, 302, Faden-

zelle 275, 302, Endigung des Acusticus im Cylinderepithel 276, 280, 302.

— acustica Utriculi des häutigen Labyrinths der Batrachier XVII, 518, Basalzelle 518, Cylinderzelle 519, Verhalten der Nerven zum Epithel 520.

— Utriculi des häutigen Labyrinths der Chelonii XX, 307, Epithel, Basalzelle 309, Cylinderzelle 310, Nervenendigung 311, Otolith 313.

Madriosaurus, Verhalten der Knochen im Jurassischen System XV, 374.

Magen, Epithel und Drüsenzellen III, 174, Schleimdrüsen und Epithel 176, Labdrüsen und Zellen 177.

— Zellen der Labdrüsen VI, 370, unverändert 376, mit destillirtem Wasser 376, Alkali 376. Säuren 376, Ueberosmium 378, doppelchromsaurem Kali 378.

— Zellen der Labdrüsen bei Pflanzenfressern VI, 391.

— Regio pylorica als Sitz der Magenschleimdrüsen, äusserer Habitus und Reaction VI, 517, Epithel der Innenfläche und Grübchen 518.

— Gefässnerven, Endigung XI, 490.

— Plasmazellen XIII, 273.

— Vorkommen von Pepsin im Pylorustheil XVI, 534.

— intermediäre Zone XVI, 535.

— Drüsenzellen XVII, 193, beim Menschen 199, Cylinderepithel und Lymphzellen 201.

— Epithelzellen XVIII, 408, Flimmerzellen 410.

— Pylorusdrüsen XX, 231, intermediäre Zone 237, Haupt- und Belegzellen 238.

— von Cobitis fossilis, Epithel XV, 430, 433.

— von Coluber natrix XIV, 200.

— Labdrüsen beim Delphin III, 178.

— der Fische, Schleimhaut XIII, 663, Epithel 663, 666, Labdrüsen, Auftreten 663, Anordnung 665 und Form, Blut- und Lymphgefäße 665, Schleimmetamorphose des Epithels 666, Vergleich mit Becherzellen 666, Kittsubstanz zw. denselben 667, bei Syngnathus acus 667, Labdrüsen, Epithel bei Perca fluviatilis 668, Differenzirung in Haupt- und Belegzellen 668, Labzellen 668, Lab-

- drüsen bei Teleostiern 669, Magenblindsack 671, Schleimdrüsen 670, Ductus pneumaticus 671, Bindegebe 671, quergestreifte Muskelfaser bei Syngnathus, Valvula Pylori 671, solitäre Follikel beim Karpfen 671, Schaltstück bei Selachiern, Teleostiern und Rhombus aculeatus 671.
- Magen, Nervenendigung XI, 487, Verhalten zum Epithel und Drüsen 492, beim Frosch 488.
- vom Frosch XIV, Epithel 188, 186, Drüsen 187, Epithel, Schleimzellen 191, Fundus, Drüsenzellen 192, Gefäße und Nerven 193.
- des Frosches, Nachweis der Pepsinbereitung XV, 125.
- des Menschen, Schleimhaut XX, 221, Fundusdrüsen 223, Drüsenausgang 223, Belegzellen 224, 228, Drüsenhals 226, Haupt- und Belegzellen 226, Drüsenkörper 226, Haupt- und Belegzellen 227, Zusammenhang 230, Fortsätze 228, Pylorusdrüsen 231, Hauptzellen 231, 240, Belegzellen 234, Nussbaumsche Zellen 234, 249, intermediäre Zone 237, Haupt- und Belegzellen 238, Tunica propria 241, 242.
- der Muscheln, Krystallstiel XII, 135.
- und Darmanlage bei *Nassa mutabilis* XIII, 114.
- bei *Pyrosoma* (Stolo), Anlage XI, 602.
- der Trichonisciden XIX, 622.
- von Triton, Schleimhaut XIV, 198.
- von *Tropidonotus natrix*, Schleimdrüsen XVII, 212.
- Magenhöhle der Gasteropoden XIII, 158, Vergleich mit Cephalopoden 159, mit *Purpura lapillus* 160, *Nassa* 159, *Natica* 160, *Fusus* 160, Pulmonaten 161.
- Mageninnenfläche, Cuticularbildung V, 310.
- Epithel VI, 518, Ersatzzellen 521.
- Magenschleim XVII, 201.
- Magnesium als Lichtquelle bei Microphotographie III, 73.
- Mahlzähne der Ratte, unvollkommene Schmelzbildung XVII, 241.
- Maikäfer — *Melolonthus vulgaris*.
- Makrele — *Scomber*.
- Malacopterygii abdominales, Doppelbrechung der Hornschuppen XI, 670.
- jugulares, Doppelbrechung der Hornschuppen XI, 671.
- Malapterurus, elektrische Platten X, 242.
- Malpighische Kapsel der Niere, Beziehung zu indigschwefelsaurem Natron X, 36, Epithel beim Wassersalamander, Triton cristatus und taeniatus 24, Beziehung zu Samenkanälchen 25, Epithel beim Frosch 22, Flimmerzelle 22 mit Stäbchenstructur 23, Epithel bei Säugern 30.
- Körperchen bei Bombinator igneus V, 106.
- der Milz, Beziehung zur Lymphscheide VI, 550, 552, Beziehung zur Art. 556 und Vene 557.
- der Säugethierniere, Endothel der Capillaren XVI, 514.
- Mammartasche bei *Mus domesticus* und *decumanus* XX, 487, beim Känguruh 496.
- Mandibulae der Trichonisciden XIX, 613, Processus molaris und incisivus 613.
- Mantel der Mollusken, Wimperepithel II, 468.
- Mantelanlage bei *Nassa mutabilis* XIII, 114.
- Manteleier bei *Mytilus edulis* XIII, 848.
- Mantelthiere — Tunicata.
- Mark der Tasthaare XV, 51.
- Markbildung bei Vögeln XII, 246.
- Markanäle zur Ernährung der Knochen unter der Epidermis bei Reptilien und anderen Vertebraten XIII, 248.
- Markgerinnung bei Degeneration von Nerven II, 35.
- der Nerven XIX, 183, und postmortale Veränderungen 212.
- Markgewebe, junges I, 362, Matrix für Osteoplasten 364, Zwecke 365.
- Uebergang in Knochengewebe bei Vögeln XII, 247.
- Markkerne der markhaltigen, peripheren Nervenfasern bei *Torpedo* XIII, 442, 443.
- Markmyelinformation des Nervenmarks, Intensität der Entwicklung XIX, 209.
- Markräume, primäre I, 360, Inhalt 361.

- Markräume des Knochens XII, 273, des enchondralen und periostalen, des epiphysären Knorpels, Bildung 274.
 — primordiale Bildung bei Ossification der Röhrenknochen der Batrachier XIX, 5.
- Markstrom, der Nervenfaser XIX, 185, 194.
- Marksubstanz der Nebenniere VIII, 623.
- Mastdarm, Längsfaserschicht, Beziehung zu Sphincteren XIX, 725.
- Mastigamoeba aspera XI, 583, Vergleich mit Dactylosphaerium vitreum 584, Körper mit Pseudopodien 585 oder Geißeln 586, Körperbedeckung durch Bacterium termo 588, Vergleich mit Amoeba princeps 589, Rindenschicht und Central-schicht 590, Vacuolen und Kerne 590, Bewegung 592.
- Matrix der Cuticula bei Phreoryctes Menkeana I, 256, Hautdrüsen 257, bei Lumbricinen 259.
 — der Cuticula der Hautdecke bei Trichonisciden XIX, 583, Pigmentirung der Zellen 583.
 — des Nagels X, 728, 733.
 — der Retina des unicornalen Tracheaten-, speziell des Arachnoiden- und Myriopoden-Auges XVII, 83.
- Mauerschwalbe — Cypselus.
- Maulwurf — Talpa.
- Maus — Mus.
- Mäuseembryonen, Atrophie des Meckelschen Knorpels XI, 249.
- Maxillare, erste Anlage bei Anuren XI, Suppl. 137.
 — Entwicklung bei Urodelen XI, Suppl. 109.
- Maxillae priores der Trichonisciden XIX, 614.
 — posteriores der Trichonisciden XIX, 615.
- Meatus auditorius int. des knöchernen Labyrinths der Batrachier XVII, 489.
- Meconema varium, Sieboldsches Organ XX, 529.
- Medulla oblongata, Verlauf des N. glossopharyngeus in den oberen Partien XIX, 375.
 — der Eidechse, Schleifenbildung der Gefäße XV, 62.
 —, Bildung bei der Unke IX, 400.
- Medullarfurche, bei Torpedo XIII, 475.
- Medullarplatte, Anlage bei Knochenfischen IV, 243.
 — bei Bombinator igneus V, 94.
 — Bildung bei der Unke IX, 396.
 — Bau XIII, 197, beim Lumbricus-Embryo, Vergleich mit Amphioxus 198, Homologie zw. Lumbricus und Amphibien 200, Folgerung.
- Medullarrohr, Entstehung V, 521.
- Medusae, Knospung VI, 264.
 — künstliche Theilbarkeit XIV, 394, Absterben 396, nach Durchschneidung der Muskelhaut 397.
- Medusoiden, Stellung zu Hydroiden V, 277.
- Meeräsche, breitköpfige — Mugil cephalus.
- Meeresgasteropoden, Haut V, Suppl. 52.
- Meergrundel — Gobius.
- Meerheuschrecke — Squilla Mantis.
- Meernadel — Syngnathus.
- Meerschweinchen — Cavia cobaya.
- Megalichthys Diplopterus Deckknochen der Mundhöhle, Beziehung zu Deckknochen des Schädels, Integumentossification XI, Suppl. 186.
- Megatherium Cuvieri, Verhalten der Knochen im tertiären System XV, 377.
- Mehlkäfer — Tenebrio molitor.
- Melanose der Leber, bei Salamandrinen und Fröschen, Ursachen III, 435.
- Meliagriss gallopavo, Papille der Epidermis des Laufes XIII, 248.
- Melolontha, Bau des Muskels VIII, 78.
 — Adventicia des Rückengefäßes IX, 140, 141.
 — Anatomie und Physiologie der Herzkammer IX, 143.
 — Ostien und Verschlussapparat des Rückengefäßes IX, 146.
 — Herzschläge, Abnahme bei isolirtem Herzen IX, 185.
 — electriche Versuche zur Untersuchung der Herzthätigkeit IX, 189.
 — Homologie mit den tarsalen Chordotonalorganen von Dytiscus XX, 624.
- Membrana basalis Retinae, Bedeutung bei Säugern XIX, 164, Vögeln 165.
 — basilaris, Wesen der Streifung VIII, 162, 200, Faserschicht 201, Beziehung zu Cortischem Bogen 204.

Membrana basilaris des acustischen Endapparates der Säuger XIII, 499, Schichtung, Beziehung zum Bogenapparat 501.
 —, Vibrationsdecke im acustischen Endapparat der Säuger XIII, 541.
 — des häutigen Labyrinths der Batrachier XVII, 507.
 — des häutigen Labyrinths der Chelonii XX, 295, Hydrosaurii 350
 — der lebenden Binde-substanzkerne XVI, 308.
 — Bowmannsche, bei Vertebraten XIX, 159.
 — Bruchii, Fehlen motorischer Nerven XVII, 331.
 — der Deiterschen Zellen des acustischen Endapparates der Säuger XIII, 513.
 — Demoursiana, der Cornea, Bedeutung IX, 264.
 — Descemetii des Auges und ihre Verbindung mit der Iris VI, 273, beim Ochs 274, Hund 277, Mensch 277, Fortsetzung des Endothels 282, Grenzring 278, hintere Grenze 301.
 — bei Vertebraten XIX, 159, Verhalten zum Fontanaschen Raum 171.
 — eboris, Entstehung und Wesen IV, 79, 80.
 — fenestrata Retinae IV, 347, XII, 743, 747, Beziehung zur Sehnervenendigung 787, bei Felis catus 781.
 — folliculi int. Bildung I, 164, im Eierstock der Katze, dem reifen Eierstock der Kuh, Schichten 177.
 — folliculi des Eierstocks, Verödung XIX, 501.
 — der Gänge und Alveolen der Orbitaldrüse XIII, 314.
 — der Ganglienzelle bei Gastropoden XVI, 76.
 — der Ganglienzelle der Magendarmnerven XVI, 81, bei Gastropoden, Elatobranchiern 96, Würmern 101.
 — granulosa des Eierstocks, Ursprung V, 449.
 — limitans ext., Bildung und Verhältniss zur Stäbchen- und Zapfenbildung der Retina II, 241, Beschreibung 263, entsprechend der Membrana fenestrata 427.
 — ext. Retinae des Menschen V, 393.

Membrana limitans ext. Retinae XII, 745.
 — int. Retinae XII, 748.
 —, Entwicklung bei Vertebraten XIX, 156.
 — ext., Beziehung zur äusseren Körnerschicht der Retina der Wirbelthiere XIX, 397.
 — olfactoria XI, 474, XVII, 142.
 — der Milchkügelchen VIII, 269.
 — Nasmythsche des Zahnes, Genese XIX, 711.
 — perforata, entsprechend der Limitans ext. II, 427.
 — perforata Retinae von Petro-myzon fluviatilis XII, 754.
 — praeformativa des Zahnes, Existenz XIX, 708, Bedeutung 717.
 — propria der Ganglienkörper IV, 450.
 — des Pancreas V, 200.
 — der Drüsen V, 352, Bau.
 — der Drüsenzellen der Brunnerschen Drüsen beim Schwein VIII, 111, beim Kaninchen 126, Beziehung zum Lymphgefässsystem.
 — der Lieberkühnschen Drüsen VIII, 138.
 — der Alveolen des Pancreas, Beziehung zu Zellen der Ausführungsgänge VIII, 490.
 — der Subarachnoidealbalken des Rückenmarks IX, 322.
 — der Drüsen, sternförmige Zellen XV, 200.
 — des Glomerulus der Säugethierniere XVI, 515.
 — pupillaris, Begrenzung XV, 552.
 — Reissneri des häutigen Labyrinths der Chelonii XX, 297, Hydrosaurii 350, 352.
 — reticularis Retinae XII, 745.
 — des acustischen Endapparates der Säuger, Beziehung zu Härchen XIII, 516.
 — structurlose, Vorkommen bei Acephalen XIII, 587.
 — suprachorioidea des Auges VI, 3 Structur 11, Pigmentzelle 12, Beziehung zur Accommodation 13, Entwicklung 13, freie Kerne 16, farblose Zellen 18, Structur bei Hund und Katze 19.
 — tectoria der Gehörschnecke VIII, 186, Zonen 187, Entwicklung 189.

- Membrana tectoria* des acustischen Endapparates der Säuger XIII, 535.
- der *Macula Utriculi* des häutigen Labyrinths der Knochenfische XIV, 284.
- *Tympani* von *Lacerta viridis* XVII, 357.
- *vestibularis* der Gehörschnecke VIII, 156, Epithel 156, Bindegewebe 157.
- Membranipora pillosa* Entstehung aus *Cyphonautes compressus* V, 264.
- *Flemingii*, Ovicellen und Embryo V, 271.
- Vergleich mit *Actinotrocha* V, 274.
- Menobranchus*, Quadratknorpel des Primordialcranium XI, Suppl. 10.
- Vertheilung der Zähne XI, Suppl. 35.
- *lateralis*, Knochen des Gaumenbogens XI, Suppl. 16, Vomer und *Pterygopalatinum* 17.
- Menopoma*, Knochen des Gaumenbogens XI, Suppl. 17, Fehlen des *Os palatinum*.
- Hauthöcker der *Cutis*, den Organen des VI. Sinnes entsprechend XII, 162.
- *giganteum*, Faltenbildung der *Cutis* XII, 160, Blutcapillaren in Form von Papillen 158.
- Flossensaum XII, 516.
- Nervenorgane XII, 523.
- Mensch, Eierstock des Foetus I, 152, Follikelanlage 153, Stroma 155, Eizellen 153.
- Körnerschicht der *Retina* II, 183, äussere Faserschicht am gelben Fleck der *Retina* 189, Zapfen am gelben Fleck und der *Fovea centralis* 223, Pigmentkugeln der Zapfenfaser im gelben Fleck und der *Fovea centralis* 223, Entwicklung der Stäbchen und Zapfen 247.
- Nerven des *Utriculus* III, 116, Epithelialzelle der *Maculae acusticae* 119, Hörhärchen 123 und Beziehung zu Nerven 125, Verhalten des Otolithen 127.
- Samenkörper, Bau III, 264.
- Architectonik der Grosshirnrinde III, 441, Vertheilung der Neuroglia 442, Ganglienzellen 442, 444, 447, 452, 458, Isolirung 459, freie Kerne 467, Blutgefässe 470.
- Ciliarmuskel III, 477.
- Mensch, adenoides Gewebe der *Pars nasalis* des Schlundkopfes IV, 1.
- Haarbildung im extrauterinen Leben IV, 293, Ausfallen ausgewachsener 302, Rindenzellen bei Haarbildung 293, Bildung von Schalthaaren 295, Papillen der Haare 301 und Pigmentvertheilung 301.
- Architectonik der Grosshirnrinde IV, 407, Blutgefässverlauf 408, solitäre Zellen 416, 417, Ganglienkörper 421, Trugpyramide 421, Neuroglia 425.
- Architectonik der Grosshirnrinde V, 317.
- *Submaxillaris*, Bau V, 348.
- Binde substanz der Leber V, 350.
- Thränen drüse V, 351.
- *Retina* V, 393, *Membrana limitans ext.* 393, Stäbchen und Zapfen 394.
- *Membrana suprachorioidea* des Auges VI, 11.
- *M. Dilator Pupillae* VI, 89.
- Ganglienkörper der Grosshirnrinde VI, 173.
- Kleinhirnrinde VI, 191.
- Papillen der Zunge VI, 239, 242, becherförmige Organe 242, *Papilla vallata* 242, Stäbchenzelle 242, 243, Deckzelle 243, *Papilla foliata* 247.
- Irisfortsätze und Anheftung an die Descemetische Membran VI, 277.
- Endothel der Descemetischen Haut VI, 282, 284.
- Schlemmischer Canal des Auges VI, 299.
- Milz, Bau VI, 541.
- *Retina* VII, 244.
- Gehörschnecke VIII, 146, Schneckenkapsel 147, Bau und Entwicklung.
- *Papilla foliata* der Zunge VIII, 456.
- Modell der rothen Blutkörperchen VIII, 475.
- Lippendrüse VIII, 501.
- lymphatischer Apparat der Milz VIII, 608.
- elastisches Gewebe des Ohrknorpels IX, 93.
- Nerven der *Cornea* IX, 225.
- Nerven hügel IX, 562.
- Schleimhaut der Drüsen des Nierenbeckens IX, 655.
- hintere Begrenzungshaut der *Iris* IX, 726.
- Entwicklung der Spermatozoiden

- XI, 318, Epithel des Nebenhoden 319, Flimmerzelle 319, Cilien 321, Rundzellen, Lage 324, Vergleich mit Epithel des Hodens 321.
- Mensch, Tastkörperchen XI, 646, Nervenendigung 646, 648, Tastzellen 647, Vergleich mit Langerhansschen Zellen 648, 649.
- Asymmetrie der grauen Substanz des Rückenmarks XII, 88.
- Retina XII, 781.
- Haut, Entwicklung XIII, 229, Hornschicht und Schleimschicht, Hornblatt, Schicksal 230.
- Hohlräume der äusseren Körnerschicht der Retina XIII, 426.
- Bau des Hodens XIV, 20.
- rothe Blutkörperchen XIV, 75.
- becherförmige Organe des Kehlkopfes XIV, 163.
- quergestreifte Muskelfaser der Lungenvenen XIV, 244.
- erwachsen, Spermatogenese XV, 304, Kind 304, Litteratur 305.
- Architectur unvollkommen getheilte Zahnwurzeln XV, 360.
- Verhalten der Knochen in prähistorischen Stationen XV, 377.
- Begrenzungsschicht zw. Glaskörper und Retina XV, 547, Verhältniss zw. Glaskörper und Linsenkapsel 556.
- vordere Augenhälfte XV, 579, Litteratur 580, über Begrenzung des Glaskörpers gegen Retina, über Chorioidea 582, Iris 583, anatomische Veränderungen bei Accommodation 583, Vorhandensein der hinteren Augenkammer 575.
- Kerne des Mundepithels, Bau XVI, 323, Todeserscheinungen 324.
- Muskulatur der Mundspalte XVI, 651.
- Drüsenzellen des Magens XVII, 199.
- Epithel des Harnleiters XVIII, 14, Regeneration aus Bindegewebszellen 15.
- Schlemmscher Canal XIX, 175.
- Primordialfollikel, nachträgliche Entwicklung XIX, 471.
- Kernteilung des Cornealepithels XX, 56.
- Kernteilung im Blute eines Leucämischen XX, 57.
- Schleimhaut des Magens XX, 221.
- embryonale Entwicklungsschichte der Milchdrüse XX, 456,
- Anlage der Brustwarze 462, Warzenzone 468, Montgomerysche Drüse 470.
- Merotricha bacillata* XVI, Bau 186, Fundort 186.
- Mesenterium, Bildung der Fettzelle im — VII, 62.
- Neubildung von Endothelien X, 372, Riesenzellen 373.
- von *Cobitis fossilis* XV, 430.
- Bildung bei *Comatula mediterranea* XII, 591.
- vom Frosch, Veränderung des serösen Epithels am blossgelegten — XVI, 111.
- vom Frosch, Corrosion XVI, 486.
- von Hund und Katze, ein die Lymphgefässe umspinnendes Capillarnetz XVII, 338.
- Mesoderm zur Anlage des Fussganglion bei *Fusus* sp. XIII, 141, 143.
- Mesodermanlage bei *Fusus* sp. XIII, 127.
- bei *Natica* XIII, 147.
- Mesodermbildung beim Huhn XX, 190, 197, 202.
- Metallkäfer — *Cetonia*.
- Metaplasie bei Batrachiern XIX, 21, 33.
- Microgonidien, Umwandlung bei *Chlamydococcus pluvialis* I, 207.
- Micrographische Mittheilungen V, 281.
- IX, 801.
- Microgromia socialis* X, Suppl. 1.
- XII, 34, Bau, Fortpflanzung 35.
- Micrometer — Schrauben — I, 79, Beschreibung 91.
- Glas — I, 80.
- Frauenhofersches I, 80.
- Micrometes paludosa* XII, 46, Bau und Vermehrung.
- Microphotographie III, 61, Apparat für 63, Beleuchtungsapparat 70, Lichtquelle 71.
- Lichtdruck in seiner Bedeutung für die — VII, 269, Verfahren nach der Grüneschen Methode 270, durch Galvanoplastik 271, von Woodbury 271, durch Joddämpfe 272, lithographischen Druck 272, Gelatineverfahren 272.
- von Woodward XVIII, 260.
- von *Amphipleura pellucida* XVIII, 260, von *Pleurosigma angulatum* 268.

- Micropyle der Eier von Anodonta X, 263.
 — des reifen Säugethiereies XIX, 482.
- Microscop, compendiöses von Prof. Harley I, 440.
 — gute und billige I, 443, Oberhäuser, von Hartnack verbesserte 445, Mersch 445, Zeiss 447, Pillechers 448.
 — Universal — von Smith, Beck und Reck I, 449.
 — Wärmemessungen an demselben IV, 334.
 — und Nebenapparate V, 281, von Gundlach 285, Bénèche 286, Zeiss 286, Wasserlein 287.
 — Polarisation — V, 287.
 — Nordamerikas VI, 205.
 — binoculares mit verschiebbarem Prisma VI, 581, zur Untersuchung von Krystallen 592.
 — Ocularspectroscop des — VII, 230.
 — von R. Winkel in Göttingen IX, 126.
 — die Construction auf Grund der Theorie IX, 413, dioptrische Bedingungen 418, Strahlengang im — 419, Object und Öffnungsbilder 419, wesentliches Princip der — 421, Zerlegung der Gesamtwirkung 423, Theorie der Aberration 424, Anomalien der Vergrößerung 424, chromatische 424 und sphärische Aberration 428, 458, Besserung bei Immersion 426, Diffraction und Wirkung 432, Prüfungsmethode 434, Beleuchtung 437, Lichtstärke 438, physicalische Bedingungen für die Abbildung feiner Structuren 440, Öffnungswinkel 440, optisches Vermögen 456, Wesen des mikroskopischen Bildes 457, zur Prüfung und Beurtheilung 460, Probeobjecte 464, Abhängigkeit der Leistungsfähigkeit 466.
 — neuer Beleuchtungsapparat IX, 469, Condensatoren, Wirkung 472.
 — von Schick IX, 801, Seitz, Winkel 805, Zeiss 809.
 — zusammengesetztes XVIII, 391.
- Microscopie II, 132.
 — Beiträge zur — VII, 220, XI, 661.
- Microscopische Präparate V, 291.
- Microscop spectrum, Bedeutung VII, 221.
- Microscopstativ, Seibert und Krafts — Verbesserungen XX, 504.
- Microtom von Hiss, Beschreibung VI, 229.
 — von Rivet VII, 174.
 — zur Untersuchung des Centralnervensystems IX, 110.
 — XI, 227.
 — von Schiefferdecker XII, 91, 96, 791, Leyser 92.
 — von Krause XII, 92, Erwiderung XIII, 180, James Smith 96.
 — von Rivet-Leiser, Verbesserungen XV, 134.
- Mieschersche Schläuche. zur Kenntniss III, 345, Structur 346, Membran 346, Wimperbesatz 347, Inhalt 347, Bewegungen 349, Verhalten gegen Reagentien 350, Vorkommen 350, Zeit 351, Weiterentwicklung 351, Einwanderung 353.
- Miessmuschel — Mytilus.
- Milbe — Acarina.
- Milch, Culturversuche von *Penicillium crustaceum* auf — II, 71.
 — mit Kartoffeln zur Bildung von Gliederpflanzen II, 77.
 — Vorhandensein von Vibrionen in — III, 330.
- Milchkügelchen, Membran VIII, 269.
- Miles taxus, Verhalten der Knochen im tertiären System XV, 377.
- Miliolidae XIII, 28.
- Milz, Entwicklung bei *Bombinator igneus* V, 115.
 — des Menschen und einiger Säugethiere, Untersuchungsmethode VI, 541, Anatomie 545, Kapsel, Trabekel 546, Gefäßvertheilung 547, Parenchym 568, Verlauf der Arterien 548, der Venen 548, Beziehung zu den Malpighischen Körperchen 557, Capillarhülle 561, 562, lymphoide Zellen 553, 568, Lymphscheide, Beziehung zu Gefäßen 550, netzförmiges Gewebe 553, an den hyperplastischen Stellen 554, Gefäßverzweigungen 555, Beziehung der Lymphscheiden zu Malpighischen Körperchen 550, 552, Elemente der Venencapillaren 565, Spindelzellen 565, Neubildung farbloser Blutkörperchen 577, Lymphgefäß 575, Verlangsamung der Blutbewegung in der — 576, Gründe.
 — Untersuchungen über den lymphatischen Apparat VIII, 568, des Pferdes, perivascuäres Stromgebiet 571, seine Beziehungen zu Arterien 574, Lymphräume, Hüllen 581,

- Deckzellen der Bahnen 583, Verlauf der perivasculären Bahn 588, zweites die Trabekel durchziehendes Lymphsystem 594, erster Typus 602, zweiter Typus 603.
- Milz des Rindes, Lymphgefäße VIII, 603, des Schweines 605, des Menschen 608, perivasculäre Bahn 610, Bau und Unterschied der beiden Gewebsarten 611, physiologische Bedeutung 614.
- Anlage bei der Unke IX, 412.
- Milzbrandkörperchen — Bacteriden.
- Mistkäfer — Scarabaeus.
- Mitraria, Entwicklungsgeschichte und Umwandlung V, 271.
- Mitteldarm, Schleimhaut bei Fischen XIII, 674, bei Cyclostomen 674, Myxine 675, Ammocoetes 675, Peyer'sche Plaques 676, bei Ganoiden 680, Teleostiern 680, Faltenbildung bei Cyprinoiden 681, bei Pleuronectes solea 681, Zotten bei *Corvina nigra*, *Gobius melanostomus*, *Balistes*, *Crenilabrus fuscus* und *perspicillatus* 682, *Mugil cephalus* 682.
- der Teleostier XIII, 684, Epithel mit Fortsätzen, Beziehung zu dem umgebenden Gewebe 684, Porenkanalsaum 684, 685.
- Flimmerepithel bei *Rhombus aculeatus* XIII, 685 und *Syngnathus acus* 685.
- Becherzellen, Vorkommen XIII, 685, Nervenzutritt 686.
- von *Cobitis fossilis* XIII, 687, Fehlen des Epithels, directer Uebergang des Chymus in das Blut.
- von *Cobitis fossilis* XV, 429, microscopischer Bau 434, Untersuchungsmethode 434, Epithel 435, 436, Capillarverzweigung 435, respiratorische Thätigkeit des — 438, Litteraturverzeichniss 440.
- der Trichonisciden XIX, 622.
- Mittelhirn der Eidechse, Schleifenbildung der Gefäße XV, 62.
- Mittelschicht von *Distomum Westermanni* XIX, 540, reticuläres Bindegewebe 540, Zellen 542, Parenchym- oder Dorsoventralmuskeln 544.
- des Stratum corneum der Oberhaut XII, 666.
- Modiolaria marmorata*, Vergleich mit Dotterfurchung bei *Nassa mutabilis* XIII, 104.
- Molecularbewegung bei farblosen Blutkörperchen I, 14.
- Molecularschicht der Kleinhirnrinde XIV, 207, Fasern, körnige Substanz 208, Vorkommen.
- der Retina, Entwicklung XV, 624, innere 624, graue 625.
- Molgula, Entwicklung VIII, 358, Eier 360, 364, Befruchtung und Entwicklung 361.
- *macrocephalia* VIII, 362, Beschreibung.
- *simplex*, Beschreibung VIII, 363, Ei 364, Tunicazellen, Ursprung 364, Entwicklung 370, Reservokugeln 371, Zottenbildung 371, Kiemensack und Darmanlage 370, 373, Nervensystementstehung 374, 376, Siphonanlage 374, Muskeln 375, Blutkörperchen 375, Herz und Herzbeutel 377, Niere 377, Blutcirculationsapparat 380.
- Mollusken, Wimperepithelien II, 467, des Darmcanals 469, Mantels 468, Kiemen 468.
- feiner Bau der Muskelfaser V, 227.
- haartragende Sinneszellen der Oberhaut V, 415, pinselförmige Zellen 423, Tastzellen 438.
- Uebereinstimmung des Bindegewebes mit dem der Wirbelthiere V, Suppl. 3, Nervengewebe 18, Ganglienzelle 19, Verästelung der Nervenfasern 19, Muskelgewebe 20, Vergleich mit dem der Wirbelthiere 30, Endigung motorischer Nerven im Muskel 36, Epithelgewebe 37, Uebereinstimmung mit Wirbelthieren, Riff- und Stachelzellen 37, Haut 38, Cylinderepithelien verschiedener Form 40, mit cuticularer Ausscheidung 40, Wimperepithelien 44, Becherzellen 46, Neuroepithelien 47, Schmeckbecher der Haut 50, Hautpigment 51, Gehörorgan 73, 90, Drüsen 92, Systematik und Verbindung mit Wirbelthieren 101.
- Sinnesepithelien VI, 439, Gefühlszellen 460.
- Nervenganglienanlage XIII, 162.
- Muskeln und Nerven des Herzens XIV, 59, 317, XV, 95.
- Hüllen der Geschlechtsstoffe, Vergleich der männlichen und weiblichen XVIII, 57.
- *acephale*, Studien über Kiemen XIV, 132.
- Retina, Stäbchen VII, 256.

- Mollusken, lamelibranchiate, Vergleich mit dem Interstitialgewebe XII, 423.
- Moloch horridus, Zona pellucida und radiata VIII, 404, Chorion 406.
- Monacanthus penicilligerus, secundäre Wirbelkörper XVI, 126, Rippen 142.
- Monadcn, zur Kenntniss I, 203, Theilung in 2 Gruppen 205, Blase, morphologische Bedeutung 207, Vergleich mit Infusorien 207 und Amphileptus 208, Eintheilung 213, Wesen 212.
- Monas amyli I, 213.
— prodigiosa, systematische Stellung III, 28.
- Monera, Bedeutung X, Suppl. 37.
— Theilungsvorgang XVI, 179, Bau 210, Fundort 213.
- Monothalamia X, Suppl. 79, Classificationsversuche, ältere nach Dujardin, Grundform 84, monaxon und bilateral, verschiedene Art des Aufbaues und der Oeffnung, darnach Theilung in Monostomata und Amphistomata 85, Weichkörper mit Vacuolen 85, Kern 85, Pseudopodien 85, wonach Theilung in Rhizopoda und lobosa 86, Fortbewegung 86, Fortpflanzung 86, Vergleich mit denen von Schultze 87.
— XII, 32.
— amphistomata X, Suppl. 137, Schale, reines Secretionsproduct des Organismus 139.
— mit Schale aus Fremdkörpern gebildet X, Suppl. 145.
— monostomata X, Suppl. 90, Schalenform, Weiterentwicklung und Werth für Systematik.
— lobosa, Pseudopodien X, Suppl. 93.
— XIII, 28.
- Mooskoralle — Bryozoa.
- Morphologie der Kiemen der cephalen Mollusken XIV, 154, 157.
— des Ovariums XIX, 492.
- Moschus javanicus, Modell der rothen Blutkörperchen VIII, 475.
- Mucor, Entstehung bei Culturversuchen von Penicillium crustaceum auf Faeces II, 78, Mucorkapseln und Macroconidien 80, Aussaat auf Milch, Erfolg 81, Boden für Bildung aus Macroconidien 82, 84.
— mucedo II, 76.
- Müllersche Flüssigkeit, Einwirkung auf Drüsenzellen der Brunnerschen Drüsen VIII, 109.
- Müllerscher Gang, Entstehung XVIII, 67.
— Gang bei Säugern XX, 92, Ausmündung 95, beim Kaninchen, Verschmelzung 96, Umwandlung zu Geschlechtsorganen 97, Schwinden 101.
- Mugil cephalus, Doppelbrechung der Hornschuppen XI, 673.
— Zotten des Mitteldarmes XIII, 682.
- Mugiloides, Doppelbrechung der Hornschuppen XI, 673.
- Mullus barbatus, Doppelbrechung der Hornschuppen XI, 672.
- Mundbildung bei Bombinator igneus V, 118.
— bei Comatula mediterranea XII, 599.
— bei Echinodermen XII, 615.
— bei Gasteropoden XIII, 155.
- Mundhöhle, Epithel bei Wirbelthieren III, 169, Fischen 169, Amphibien 170, Reptilien 172.
— Vorkommen von Leptothrix buccalis III, 322.
— Cuticularbildung des Epithels bei Schlangen V, 306, Amphibien 307.
— von Froschlarven, Papillen VI, 408, Nervenfasern 414, von Pelobates fuscus, Papillen 409, der Froschlarven, Beziehung des Epithels zur Nervenendigung in den Papillen 415, Sinneszellen der becherförmigen Organe 416, Stützzellen 416.
— Nerven der Schleimhaut VII, 382.
— der Blindschleiche, becherförmige Organe VIII, 338.
— von Scheltopusick, becherförmige Organe VIII, 341.
— der Froschlarven, becherförmige Organe VIII, 348, Vergleich mit Schlangen.
— der Amphibien, phylogenetische und ontogenetische Entwicklung der Deckknochen XI, 151, 156, Anzahl der Knochenstücke 159, Lage, Veränderungen, Zahnbesatz 164.
— Deckknochen, Beziehung zu Deckknochen des Schädels XI, 183, 191, bei Polypterus bishir 183, Macropoma 185, Hypostomus und Loricaria 186, Dapidius granulosus

- 186, Megalichthys, Diplopterus und Haloptychius 186.
- Mundhöhle, Genese des Sceletts der —, Beziehung zum Zahnsystem der Amphibien XI, Suppl. 1.
- Schleimhaut, Beziehung zu den Zähnen bei den Amphibien XI, Suppl. 55, bei Batrachiern $\frac{1}{2}$ zu Salamandrinen 56.
- der Urodelen, Embryonalscelett, Entstehung XI, Suppl. 102, Umwandlung des Embryonalsceletts in das bleibende 112, Resorptionsvorgänge 112, Lageveränderung, Vergleich mit dem Zahnwechsel der Selachier 113.
- Veränderungen bei Axolotl XI, Suppl. 114, bei Salamandra maculata 115, Triton 116, selbstständige Knochenbildung 115, 121, Beziehung zw. phylogenetischer und ontogenetischer Entwicklung des —sceletts, Entstehung eines Theiles aus Zahnplatte und Cement bei Urodelen 120.
- Knochen gleicher Entstehung, Untersuchung bei Amphibien XI, Suppl. 167, Rochen 167, Cestracionten 168, 172, Chimären 168, 172, Dipneusten 169, 173, Lepidosiren 169, 173, Ceratodus 169, 173, Teleostiern 170, Gymnodonten 170, 174, Diodon 171, Scaroiden 171, Myliobates 172.
- der Amnioten, Beziehung der Zahnentwicklung zu den Deckknochen XI, Suppl. 181.
- von Amphioxus lanceolatus XII, 307.
- des Menschen, Kerne des Epithels, Bau XVI, 323, Todeserscheinungen 324.
- Mundhöhlenscelett der Amphibien, embryonale Entstehung XI, Suppl. 85.
- der Amphibien, im Vergleich zu den übrigen Wirbelthieren XI, Suppl. 165, der Knorpelfische, Dipneusten und Knochenfische 166.
- der Anuren, Entwicklung XI, Suppl. 133.
- Mundöffnung bei Natica, Beziehung zur Gastrulahöhle XIII, 146.
- Mundspalte, menschliche, Muskulatur XVI, 651, Eintheilung 652, M. orbicularis 653, Verhalten des M. triangularis 656, zygomaticus 657, risorius 658, M. rectus Labii 659, physiologische Bedeutung 662.
- Mundtheile der Cocciden, XII, 33, bei Aspidiotus 36, 37.
- der Trichonisciden XIX, 612, Mandibulae 613, Processus molaris und incisivus 613, tasterartige Gebilde 613, Maxillae priores 614 und posteriores 615, Pedes maxillares 616, morphologische Deutung 617, bei Asellus, Basalplatte 616, 618, Lateralplatte 617, 618.
- Muränidae, häutiges Labyrinth XIV, 297, Nervenausbreitung 298.
- Murexid, Verhalten im monochromatischen Lichte II, 96.
- Mus, Samenkörper III, 265.
- äusseres Ohr als Tastorgan VII, 260.
- Beziehung zwischen Nerv und Schwanzmuskel IX, 41.
- primitive Anlage des Unterkiefers XII, 257, Betheiligung des Meckelschen Knorpels 260.
- Spermatogenese XV, 302.
- albus, embryonale Entwicklung der Milchdrüse XX, 489.
- decumanus, Spermatogenese XV, 294.
- — embryonale Entwicklung der Milchdrüse XX, 487, Mammartasche 487.
- domesticus, embryonale Entwicklung der Milchdrüse XX, 487, Mammartasche.
- musculus, quergestreifte Muskelfaser der Lungenvenen XIV, 247.
- rattus, Ciliarmuskel IV, 365.
- Papillen der Zunge VI, 241, 255, Papilla vallata 255.
- — Bau der Sehnen IX, 284.
- — Entwicklung der Spermatozoiden XI, 304, Betheiligung der runden Zellen $\frac{1}{2}$. Stützzellen 305, Untersuchungsmethode 306, Keimnetz 307, 314, 322, Epithelmembran der Drüsenschläuche 307, grobgranulirte Zellen des Epithels, freie Kernbildung 315, Cylinderzellen 315.
- — quergestreifte Muskelfasern der Lungenvenen XIV, 246.
- — über unvollkommene Schmelzbildung auf den Mahlzähnen XVII, 241.
- — ein die Lymphgefäße umspinnendes Capillarnetz XVII, 335, 339, im Ohr 335, hinteren Extremitäten 338.
- — albus, embryonale Entwicklung der Milchdrüse XX, 488.

- Musca, Muskelfasern, Ruhe XIX, 678, Contractionserscheinungen der Aftermuskeln 679, der Kopfmuskeln 679, Thoraxfibrillen 681.
 — *carinaria*, Fettkörper IX, 178.
 Muscheln — *Acephala*.
 Muschelkrebs — *Cypris*.
 Muschelthierechen — *Stylonychia mytilus*.
 Muscidenlarven, Verhältniss der Drüsenerven und Drüsenzellen der Speicheldrüsen IX, 388.
 Muskeln der Tentakeln der Lungenschnecken I, 54.
 — Wirbelloser, Nervenendigung I, 114, 117.
 — der Arctiscoiden I, 112, *Sarcolemma* 119, Nervenendigung 113.
 — Nervenendigung bei Nachtschnecken I, 437.
 — der Anneliden, Veränderung bei fettiger Entartung I, 264, 420, 423.
 — zur Entwicklungsgeschichte bei Spinnen II, 504.
 — quergestreift, Uebergang in Purckinjesche Fäden IV, 37.
 — der Mollusken, motorische Nervenendigung V, Suppl. 36.
 — quergestreift, der Cutis der Fledermäuse VII, 8.
 — der Milben VIII, 69, Körnerschicht 71, Vergleich mit *Hydrophilus* 72, Verhalten im polarisirten Licht 71, Vergleich mit *Cyclops brevicaudatus* 77, Contractionswelle 78.
 — des Maikäfers VIII, 78.
 — quergestreift VIII, 244.
 — Anlage bei *Molgula simplex* VIII, 375.
 — Verhältniss zum Nerv IX, 36.
 — des Hundes und Frosches, Beziehung zum Nerv IX, 40.
 — des Pericardialseptums der Insecten IX, 160.
 — quergestreift IX, 293, Contractionsvorgang im polarisirten Licht nach Färbung mit Blauholzextract 302, nach Behandlung mit Essigsäure 303.
 — quergestreift, Nervenendigung IX, 481, Beziehung der Endplatten zu — 486.
 — der Fliege, Kerne, Bedeutung, Nerveneintritt und Verlauf IX, 497, Nervenendigung bei Hymenopteren 502, bei Coleopteren, Nerveneintritt bei Insectenlarven 507.
 — der Insecten, Beziehung zu motorischen IX, 509 und sensiblen 510 Nerven.
 Muskeln der Spinnen, Bau IX, 511, Nerveneintritt und Endigung 512.
 — der Krebse, Bau IX, 514, Kerne 514, Nerveneintritt und Endigung 516, bei *Astacus* 518, *Palaemon* 519, *Oniscus* und *Porcellio* 520, Arthropoden 520, 521.
 — von *Rana temporaria* IX, Nervenendigung 523, Kerne und Bedeutung 526.
 — von Triton XI, 546, *Salamandra maculata* 545.
 — Endplatte bei Krebsen IX, 518, *Astacus* und *Palaemon* 519, *Rana temporaria* 529, Nerven Hügel bei *Rana temporaria* 530, *Salamandra maculata* 545.
 — sensible Nervenendigung bei *Rana temporaria* IX, 533, *Lacerta agilis* 548.
 — der *Gland. sublingualis* ant. von *Tropidonotus natrix* IX, 608.
 — Structur bei *Ascaris* X, 92.
 — der Tracheen der Insecten X, 142.
 — von *Corethra-plumicornis*-Larven X, 295, Nervenendigung 297, Querstreifung 299, Veränderung im ruhenden — 299, totale Contraction 302, Knotenbildung 303, Zerreißen 305.
 — Verhalten im Typhus X, 311, Neubildung 311, Querstreifung von Bündeln in der Nähe zerstörter — 312, körnige Entartung 313, *Perimysium* int. bei Typhus 316, mit amöboiden Körpern, wachsartige Form 317, *Sarcolemma* und Muskelneubildung aus Zellen 318, Unterscheidung jüngerer und älterer Muskelbündel 319.
 — Neubildung von Endothel X, 373.
 — der Amphibien und Reptilien, Entwicklung der quergestreiften — XI, 442, Litteratur 445, Untersuchungsmethode 448, *Sarcolemma*, Bildung 453, Sehnenbildung 454, Muskelnervenendigung, Anlage 456.
 — willkürliche, des Kehlkopfes XI, 508.
 — der Kiemen von *Unio* und *Anodonta* XI, 542.
 — der Drüsen bei Amphibien XII, 203, *Salamandra maculosa* 204, *Bufo vulgaris* 205, *cinereus* 204 und *calamita* 206.

Muskeln des Kloakenwulstes bei Triton XII, 208.

— der Kiemen von *Amphioxus lanceolatus* XII, 314.

— quergestreift, Nervenendigung bei Wirbelthieren XIII, 365, 380, Säuger 366, Vögel 368, Reptilien 370, Amphibien 371, Frosch 376, Fischen 379, Hydra 384.

— Verhältniss der nervösen und contractilen Substanz XIII, 399, Untersuchungsmethode 400, Cohnheimsche Felder 403, Muskelkörperchen, Form 405, Längsstreifung der Muskelfäden nach modificirter Goldbehandlung 401, intravaginale Nervenfasern, Beziehung zu Muskelfäden 407, beim Frosch 408, intravaginaler Nervenplexus 409, Beziehung zu Längsstreifen 409.

— des Herzens der Mollusken XIV, 60, 317.

— Nervenendigung bei *Pterotrachea* XIV, 174.

— des Herzens von *Helix* XIV, 317.

— des Chylusmagens des Blutegels, Nervenendigung XIV, 328.

— Doppelfärbung XV, 34.

— und Nerven des Herzens einiger Mollusken, Entgegnung XV, 95.

— der Schuppen bei *Tropidonotus natrix* XVII, 355.

— quergestreift, bei Amphibien, Nervenendigung XIX, 331, Nervenverlauf 340, bei Knochenfischen 342, Reptilien 342, Vögeln und Säugern 345.

— Anordnung an den Saugnapfen von *Distomum Westermanni* XIX, 549.

— des Vorhofs des Verdauungscanals bei *Distomum Westermanni* XIX, 549.

— Brusthaut-, des Frosches, Nervenendigung XIX, 335.

— Schwanz-, bei *Astacus* XIX, 686, Ruhe, Contraction-687.

Muskelemente der Arthropoden VIII, 244, membranöse Hüllen 255, contractile Substanz 256, Contractionsvorgang 257, Aggregatzustand 264.

Muskelfaser, Stadien der Veränderung bei Degeneration I, 420.

— Wirbelloser, feinerer Bau V, 205, Theilung in Muskelzellen und Muskelprimitivbündel und Werth 206, Untersuchungsmethode 208, bei

Coelenteraten 208, Echinodermen 210, *Ophiolithrix fragilis* 210, *Asteracanthus ruber* 215, Echiniden 215, Würmern 216, Nemertineen, Turbellarien 216, Cestoden und Trematoden 217, Nematoden und Hirudineen 218, *Hirudo medicinalis* 218, Gephyreen 220, Marks Substanz aus Glycogen bestehend 220, contractile Substanz und Differenzirung 243.

Muskelfaser, Entwicklung an unteren Extremitäten VIII, 57.

— der Speicheldrüse, Beziehung zur Drüse XIII, 359.

— bei *Spongicola fistularis* XIII, 806.

— glatte, zur Kenntniss IV, 392, Untersuchungsmethode 392, mit Chromsäure 393, Bestandtheile 394, Kerne 395, Protoplasma 298, beim Frosch 399, contractile Substanz 402, Form 405.

— — der Froschharnblase, Verhalten zu Nerven V, 509.

— — der Schweißdrüsen des Lidrandes XIII, 787.

— — Innervation XX, 361.

— quergestreifte, optisches Verhalten V, 137, bei *Hydrophilus piceus* 139.

— — von *Trombidium* VIII, 69, *Tr. holosericeum* 75.

— — des Magens bei *Syngnathus* XIII, 671.

— — in der Wand der Lungenvenen von dem Herzen aus XIV, 243, Litteratur 243, Vorkommen bei Menschen 244, Hund 245, Meeresschweinchen 246, Affe 246, Maulwurf 246, Ratte 246, Fledermaus und Hausmaus 247, feiner Bau 247.

— — Zelltheilung XVII, 172.

— — Contraction XIX, 649, 692, ruhender Muskel, Bau 649, Bau der Fibrille 649, der Muskelemente 649, Endscheibe 650, 651, Nebenscheibe 650, 652, Mittelscheibe 650, 652, Seitenmembran 651, 653, contrahirter —, Litteratur 654, Untersuchungsmethode 661, disdiaklastische Substanz 663, 694, plasmatische 663, 695, Bedeutung, kinetische 663, 693.

— bei *Dytiscus*, Ruhe XIX, 665, Nebenscheiben 666, Werth, Contraction 670, Zwischenstadium 670, Randsaum der kinetischen Substanz 672.

- Muskelfaser bei *Musca* XIX, 678, Ruhe, Contractionserscheinungen der Aftermuskulatur 679, der Kopfmuskeln 679, Thoraxfibrillen 681.
- bei *Astacus*, breitgestreifte — XIX, 685, Contraction, Muskel der Schere, Ruhe 686, Contraction 687, des Schwanzes 688, der Kiemegegend 689, Untersuchungsmethode 689, Zwischenstadium 690, Litteratur 670.
- verästelte, bei *Arion ater* V, Suppl. 33.
- Muskelfibrille, quergestreift IX, 712, als letzter Bestandtheil des Organs ersichtlich bei *Corethra plumicornis* 713, Auftreten der Querstreifung 712, beim Hühnchen 713, bei Arthropoden 715, Gliedertieren 715 (Längsstreifung), Körnchen derselben 717, Bedeutung, Contractions-Erscheinungen 719, wachsartige Entartung 720.
- Muskelfortsatz bei *Ascaris*, Beziehung zu Nervenfasern X, 79, 89.
- Muskelgefühl, Nervenendigung II, 531.
- Muskelgewebe, experimentelle Studien über die fettige Entartung I, 415, Hervorrufung durch *Argemone* 416, 418, Ansicht über die ursprüngliche Zusammensetzung 417, zwiefache Veränderung nach Aetzmitteln 418, verschiedene Entwicklungsstufen in der Veränderung 420, Umwandlung in Entartungskörner 421, 422, besondere Brechbarkeit $\frac{1}{2}$ zu andern Geweben 423, Umwandlung der Albuminmasse in Fett im letzten Stadium der Entartung 424.
- der Mollusken V, Suppl. 20, mikroskopischer Bau, Verhältniss zu den Wirbelthieren 30, Membran 31, Sarcocolemma 32, contractile Substanz 34, Nervenendigung 36.
- Fettgewebe im — XII, 438.
- Plasmazellen XIII, 276.
- Muskellager der Haut von *Distomum Westermanni* XIX, 537, Ringfaserschicht, Längsfaser, Diagonalfaser 537.
- Muskelmagen der Vögel, Drüsen VIII, 435.
- Muskelplatte bei der Unke IX, 403.
- Muskelschicht des Oesophagus von *Distomum Westermanni* XIX, 550, der Darmschenkel 550.
- Muskelsehnen der unteren Extremitäten VIII, 57, Embryonalzelle 58.
- Muskelsehnenendorgane, nervöse XVI, 616.
- Muskelsinn und seine nervösen Elemente IX, 511, 584.
- Muskelsubstanz, contractile, Corrosion XVI, 494.
- Muskelsystem von *Phreoryctes Menkeana* I, 261, Vertheilung im Körper 263, Sarcocolemma 264.
- Bildung bei einfachen Ascidien VII, 119.
- von *Amphioxus lanceolatus* XII, 291.
- Muskelverletzungen, Heilungsprocess nach — IV, 323, im Zustande paralytischer Atrophie 333.
- Muscularis des Rückengefässes der Insecten IX, 135, *Locusta viridissima* 136, *Platyceles grisea* 136, 137, *Odontura sericea* 136, *Lucanus cervus* 137, *Dorcus* 137, *Smerinthus quercus* 137, *Silpha obscura* 137, Querstreifung 137, Kerne 139, Isolirung der Fasern 139.
- der Haut der Amphibien XII, 238.
- der Gefässe des Frosches, Nervenendigung XIV, 327.
- Muskulatur des Schlundkopfes, Pigmentirung bei Gasteropoden V, Suppl. 36.
- der Iris IX, 286.
- glatte, Nervenendigung XI, 492, XIV, 321.
- von *Loxosoma* XII, 4.
- der Infusionsthiere XII, 54, Verhalten gegen Essigsäure 54, Ueberosmiumsäure 55, Pigmentirung 58, Sarcocolemma 59.
- bei *Spirostomum* XII, 60.
- der Mundspalte des Menschen XVI, 651.
- Musculus arytaenoides* des Kehlkopfes XI, 509.
- ciliaris des Menschen III, 477, Litteratur über den anatomischen Bau 481, Beziehung zum *Corpus ciliare* 487, zur *Sclerotica* 489, Vertheilung der Fasern 489, Richtung derselben 490, gegenseitige Verbindung 491, Wirkung auf die Accommodation 494, 495.
- der Haussäugethiere, Litteratur IV, 353, Ansatzpunkte 357, 358, bei der Katze 360, *Ligamentum pectinatum*, des Hundes 361,

- Schweines 362, Pferdes 363, Lig. pectinatum, Wiederkäuer 364, Rind 365, Schaf 365, Nagethiere 365, Kaninchen 365, Ratte 365, Affe 366, Untersuchungsmethode 366, Isolationsmethode 368, Untersuchung mit Chlorpalladium 366 und Carmin 367, Holzessig und Oxalsäure 368.
- Musculus ciliaris bei Vertebraten XIX, 161.
- Constrictor Veli von *Amphioxus lanceolatus* XII, 293.
- *ericoaryaenoideus lateralis* des Kehlkopfes XI, 510.
- Dilator Pupillae bei Säugern und Menschen VI, 89, Untersuchungsmethode 91, bei Vögeln 95.
- IX, 286, beim Menschen 726, 727.
- *orbicularis* der menschlichen Mundspalte XVI, 653.
- *postorbito-mandibularis* bei *Naja haje* XI, 562.
- *quadriceps*, Endothel der Innenfläche der Sehne X, 416, bindegewebiger Knorpel der Sehne 418.
- *recto-coecygeus* des Menschen XIX, 729, 730.
- *rectus Labii* der menschlichen Mundspalte XVI, 659.
- *risorius* der menschlichen Mundspalte XVI, 658.
- *thyreoaryepiglotticus* des Kehlkopfes XI, 509.
- *thyreoaryaenoideus ext.* und *int.* des Kehlkopfes XI, 510.
- *triangularis* der menschlichen Mundspalte XVI, 657.
- Mustacides, Verbreitung der Chordonalorgane XX, 552.
- Mustela putorius, Retina XII, 780.
- Mustelus, Cuticularschicht der Chorda XV, 468.
- Wirbelbögen und Rippen XV, 520.
- *laevis*, Gewebe der Chordascheide XV, 477, 492, Gewebe der Innenzone der Chorda 478, Zellen 478, Intervertebralarbände 479, 490, 492.
- Seitenorgane XVII, 472, Innervierung 475, eigenthümliche Schuppen 475.
- Mya, Kiemenleiste XI, 552.
- Myodictyum XIII, 28.
- Myelin, Wesen XIX, 183.
- von Virchow XIX, Orientierungsversuche 189, Behandlung mit Wasser 190, 191, Säuren, Schwefelsäure 198, Chromsäure 200, Essigsäure 201, Picrinsäure 202, Alkali 204, Salz 206, Kochsalz 207.
- Myelinogene Körper, Wesen XIX, 191, Behandlung mit Osmium 215.
- Myelinformation, Charakter XIX, 208.
- Myeloplaxen, Zusammenhang mit Osteoblasten I, 362.
- beim Knochenwachsthum XI, 36, 37.
- Bedeutung bei Vögeln XII, 247.
- Myliobates, Untersuchung von Knochen der Mundhöhle gleicher Entstehung XI, Suppl. 172.
- Myoxus, Modell der rothen Blutkörperchen VIII, 475.
- Myriopoda, Auge XVII, 58, äussere Cuticula 59, Cornea, Linse 59, Porencanäle 60, Hypodermis 61, Glaskörperzelle 61, Pigmentzelle 62, hypodermale Grenzhaute 63, Selera 63, präretinale Zwischenlamelle 64, Retina 67, Ganglien- und Stäbchenzellenschicht 67, Retinalschläuche, Axialgebilde derselben 78, stemmale Retinafasern. Vergleich mit den Endschläuchen der tympanalen Sinnesorgane der Orthopteren 80, parietale Pigmentzone der Retina 83, Matrix.
- Auge einiger XVIII, 415, Rhabdom 417, Formelemente der Retina 417, Leistung 460.
- Myrmecina, subgenuales Chordotalorgan XX, 572.
- Mytilus, Kiemenleiste XI, 554.
- Gefäßendothelien XIII, 561, Endothel der Kiemenblutbahn 587, structurlose Membran der Kiemen mit Stäbchen 590.
- *edulis*, haartragende Sinneszellen der Oberhaut V, 429.
- — Nerven im Mantel, Verhältniss zu Epithelien VI, 454, angebliche Augen 455, Becherzellen am Mantelrande 456, 464, 465, Pinselzellen 456, 458.
- — Werth der Langerschen Blasen XIII, 823.
- — Manteleier XIII, 48.
- *galloprovincialis*, pigmentirte Rundzellen im Gallertgewebe des rothbraunen Organs XIII, 571.
- Myxastrum radians XIII, 27.
- Myxilla, polypoide Ernährungsthiere bei — XIII, 796.
- *fascicularis*, XIII, 800, Vorkommen von *Spongicola fistularis*.

- Myxilla rosacea*, Vorkommen III, 392.
- Myxine* — Gastrobranchus.
- N**abelschnecke — *Natica*.
- Nabelschnur, Entwicklung des fibrillären Bindegewebes V, 512.
- Neubildung von Endothel X, 372.
- Nachtschnecke, Nervenendigung im Muskel I, 437.
- Nacktzähner — Gymnodonten
- Nadeln von *Hyalonema-Spongie* III, 209, Bau.
- von *Tethya lyncurium* XVI, 637, Scheidenzelle 638, Entstehung 639.
- Nadelströmungen, Bedeutung bei *Tethya lyncurium* XVI, 643.
- Nährstoffe und deren Mischung III, 324, zur Vibrionenerzeugung, Hefebildung 324, 332, zu Versuchen über Gährung 324.
- Nagel XII, 728, Matrix 729, Bedeutung der Lunulae, Entstehung durch Verhornung 729, Periode der Entwicklung 730, Eponychium, Bedeutung 730, Nagelzellen, erste Entstehung 730, Nagelbett, embryonal 731, nach Geburt 731.
- Nagelglieder des Kopfeingeweidesystems IX, 1.
- Nahrung von *Phreocytes Menkeana* I, 254.
- der Macrobioten II, 124.
- Nahrungsaufnahme der Amöben I, 206, 209, bei *Colpodella pugnax* 210, 215, bei *Vampyrella Spirogyrae* 211, 220, *V. pendula* 222, *V. vorax* 224, bei *Nuclearia delicatula* 225, bei Diatomeen 394.
- bei *Rhyncheta Cyclopus* II, 347.
- bei *Vibrioniden* IX, 118.
- bei *Acanthocystis aculeata* X, 202.
- bei *Cystophrys Haeckeliana* X, Suppl. 16.
- bei *Distomum Westermanni*, Fähigkeit XIX, 553.
- Nahrungsdotter bei *Comatula mediterranea* XII, 593.
- Beziehung zum primitiven — bei *Gasteropoden* XIII, 158.
- Nahrungsschlauch, Nerven XI, 479.
- Nahrungsweise bei *Phreocytes Menkeana* I, 254.
- Najaden, Kieme, Bau XI, 517, Entstehung 546.
- Najaden, verkalktes Gewebe der Kiemenleiste XIII, 582.
- Naja haje*, Giftdrüse XI, 561, *Musculus postorbito-mandibularis* 562.
- Nais*, äussere Bedeckungen I, 260, Umwandlung der Leibeshöhle 284, Wasseraufnahme 282.
- Napu* — *Moschus javanicus*.
- Nardoa*, Vorhandensein von *Osculis* III, 392.
- Nasengruben, Anlage bei *Teleostiern* XV, 164.
- Nasenschleimhaut der Rochen, Becherzellen III, 196.
- Lymphgefässe, Beziehung zu Lymphräumen des Hirns XVII, 366.
- Nashorn, hornloses — *Aceratherium*.
- Nasmythische Membran des Zahnes, Genese XIX, 711.
- Nassa mutabilis*, Embryologie XIII, 97, Eiernkapseln 97, Dotterfurchung 97, Vergleich mit *Modiolaria marmorata* 104, mit *Limnaeus stagnalis* 105, Kerne und Veränderungen 97, 98, Bildungsweise 101, Furchungszellen 102, Segmentations- oder Bärsche Höhle 107, 108, mittleres Keimblatt, Anlage 109, Darmdrüsenblatt, Anlage 110, Vergleich mit *Pteropoda thecosomata* 111, Anlage der Organe 112, Schalen-grube 112, Fussanlage 112, Entoderm 112, Keimscheibe, Weiterentwicklung und Anlage der Keimblätter, Anlage des Mantels 114, Magen- und Darmanlage 114, Anlage des Deckels 115, Segels 116, der Urniere 116, Larvenherz 119.
- Magenöhle XIII, 159.
- Nassula*, Schlund, Streifung IX, 672.
- Natica*, Embryologie XIII, 144, Furchung 144, Keimblätterbildung 145, Gastrulahöhle, Beziehung zur Mundöffnung und Vorderdarm 146, Fussanlage 146, Mesodermbildung 147, Schalen-grube 147, Kiemenhöhle 147, Darmcanal 147, Entodermisack 151, Entwicklung 153, Magen-zellen 151, Leberzellen 152, Vergleich mit *Vermetus* 153.
- Magenöhle XIII, 160.
- Natter* — *Coluber*.
- glatte — *Coronella laevis*.
- Natron*, glycocholsaures, zur Darstellung des Horngerüsts der markhaltigen Nerven-faser XIX, 229.
- indigschwefelsaures, zur Injection der Gallengänge III, 424.

- Natron, indigschwefelsaures, Beziehung zur Niere X, 32, 34, zur Malpighischen Kapsel 36, zu experimentellen Untersuchungen der Niere, Bereitung 32, Kapsel 36, zum Epithel der gewundenen Harn-canalchen 38, der geraden 41.
- phönicinschwefelsaures, Beziehung zur Niere X, 42.
- picrocarminsäures, zur Färbung XV, 38.
- Navicula amphibaena VI, 505, 512.
- fulva, Bewegungsorgane I, 376.
- gemma, Bewegungsorgane I, 377.
- Nebenaugel bei *Planaria polychroa* Schmidt XX, 162 und *Dendrocoelum lacteum* 164, 166.
- Nebendotter bei Knochenfischen XV, 406.
- Nebenhoden beim Menschen, Epithel XI, 319, Flimmerzellen 319, Cilien 321, Rundzellen, Lage 320, Vergleich mit Hodenepithel 321.
- Nebenkeim beim Hühnerci X, 192.
- Nebenniere, feiner Bau und Entwicklungsgeschichte VIII, 618, Zona glomerulosa, fasciculata, reticularis 618, Schichten, Rindensubstanz 620, Bindegewebsgerüst, Rindenzellen 621, Parenchymzellen 621, spindel-förmige Zelle beim Pferd, Beziehung zum Bindegewebe 622, Bedeutung 626, Marksubstanz 623, Markzellen bei Vögeln, besonders Tauben 625, Spindelzellen, Markzellen, Gefäße 626, Verlauf in den Schichten, speziell der Zona glomerulosa bei Vögeln 628, Wandungen 628 und Beziehung zu den Parenchymzellen.
- Bindegewebszelle XI, 191.
- Nebenplatte, Bedeutung II, 520.
- Nebentropfen des Fettgewebes XII, 470.
- Nelkenöl, Anwendung bei mikroskopischer Untersuchung I, 138.
- Nemathelminthen, Begründung ihrer systematischen Stellung V, 279.
- Nematoden, parasitisch zur Hervorrufung fettiger Degeneration des Muskelgewebes I, 416.
- feiner Bau der Muskelfaser V, 218.
- Nervensystem X, 74, Untersuchungsmethode 76, Schlundring, Lage 77, Nervenfasern, Bau und Zahl 77, 78, Scheide derselben 78, Beziehung zum Muskelfortsatz 79, 89, Submediannerven 80, Zellen im Umkreise des Oesophagus 81, Seitennerven 82, Medianlinien 85, Ganglienzellen in der Nähe des Schlundringes 86, Längslinie, Bau 89, Seitengefäß 91, Muskelstructur 91, nervöse Apparate des Hinterendes 92, beim Weibchen und Männchen 93, N. bursalis, sensitive Fasern der Subcuticula 93, Nervenfasern, Beziehung zu Schwanzpapillen 94, Schwanzende, Bau 97, bei Weibchen, Männchen 98, Bau des Oesophagus 99.
- Nematoden, Conservierungsflüssigkeit XIII, 868.
- Nematophora, Bedeutung VIII, 288.
- Nematus viminalis, Verbreitung der Chordotonalorgane XX, 554.
- Nemertina, feiner Bau der Muskelfaser V, 216.
- Neoplasie bei Batrachiern XIX, 21.
- Nephthidea, Auge XVII, 289, Retina 293.
- Nephthys, Axenfaden der Retina XVII, 278.
- margaritacea, Auge XVII, 289.
- Nereis, feiner Bau der Muskelfaser V, 225.
- Axenfaden der Retina XVII, 278.
- Costae, Auge XVII, 294.
- Neritina fluviatilis, Zungenknorpel V, Suppl. 4.
- Fühler mit Flimmerhaaren VI, 469.
- Nerv, Verhalten im Tentakel der Lungenschnecken I, 53.
- der Arctiscoiden, Neurilemma I, 108.
- von *Phreoryctes Menckena*, Neurilemma I, 268.
- der Flughaut der Fledermäuse II, 17.
- optische Erscheinungen bei Degeneration II, 35, beim Kaninchen 40, Markgerinnung 35.
- der Cutis des Froschlärvenschwanzes II, 494.
- im Utriculus des Ohres vom Menschen III, 116, im Sacculus 119, im Epithel der Maculae acusticae 124 und Beziehung zu den Hör-

- häärchen beim Menschen und niederen Thieren 125.
- Nerv, motorische, periphere Endigung III, 262.
- im Hahnenkamm III, 415.
- des Gehörgorgans vom Hirschkäfer IV, 91.
- der Papillae vallatae des Kalbes IV, 106.
- der Schwanzplatte der Froschlarven IV, 116, Anastomosen, Goldreaction 117, Verlauf 117, Theilung 119, Lagerung 120.
- der Papillae vallatae IV, 175.
- des Schnepfenschnabels IV, 203.
- der Lorenzinischen Ampullen, Verlauf bei *Torpedo marmorata* IV, 389.
- Entwicklung bei *Bombinator igneus* V, 100.
- der Kehlkopfschleimhaut V, 135, des *Cavum Laryngis* 135.
- der Froschharnblase, Verhalten zu glatten Muskelfasern V, 509.
- der Speicheldrüsen VI, 100, Untersuchungsmethode 104, 107, Endigung 109, Beziehung zu den Cylinderzellen der Ausführungsgänge 111.
- Verbindung mit Ganglienkörpern der Grosshirnrinde des Menschen VI, 173.
- der compacten Knochensubstanz VI, 182, Verlauf und Verbindung mit Knochenzellen 186.
- Beziehung zu becherförmigen Organen der Zunge bei Kaninchen VI, 225.
- der Fühler der Landschnecken, Beziehung zum Epithel VI, 448.
- im Mantel von *Mytilus edulis*, Verhältniss zum Epithel VI, 453.
- Verbindung mit der Gehörplatte der Octopoden VI, Suppl. 85.
- der Flughaut der Fledermäuse VII, 5, Schichten 17, Netzbildung 18, Untersuchungsmethode 21.
- Verlauf in den Papillen der Maulwurfschnauze VII, 184.
- der Mundhöhlenschleimhaut VII, 382, Untersuchungsmethode 383, geschichtetes Epithel, Beziehung zu Nerven 385.
- des Igelohres VIII, 309, der Haarbälge 306.
- des Jacobson'schen Organs der Schlangen VIII, 323.
- der becherförmigen Organe der Schlangen VIII, 330, Verlauf und Endigung 334.
- des Leuchtorgans von *Cucuyos* VIII, 469.
- der Cornea, Verbindung mit Hornhautkörperchen VIII, 551, Beziehung zum Saftcanalsystem 553 und Endigung 557, Beziehung zur Epithelialbekleidung 558.
- der Nebenniere VIII, 631.
- von Beröe, Endigung im Epithel VIII, 647.
- Verhältniss zum Muskel IX, 36, zu Augenmuskeln, Untersuchungsmethode 37, Zahlenverhältnisse 39, abhängig von der Function anderer Muskeln 40, bei Hund und Frosch 40, zu Schwanzmuskeln der Maus 41, Verlauf innerhalb des Muskels 42, Theilung 43, zu Augenmuskeln des Schafes, Fasertheilung 44.
- der *Sclera* IX, 226, 277.
- der Cornea IX, 220, Untersuchungsmethode 221, bei Kaninchen 242, Meerschweinchen 243, Mensch und Säugern 225, Verlauf und Ursprung 225, Kerne, Vorkommen und Bedeutung 230.
- des Epithels der Cornea IX, 231, subepitheliale Schicht 231, 266, beim Kaninchen 243, Endigung zwischen den oberflächlichen Lagen des Epithels 234, in der Hornhaut selbst 236, subbasale Schicht 236, 239, 266, beim Kaninchen 242, Lage und Beziehung zu Corneazellen 272, Endgeflecht der Cornea 240, bei Vögeln 244, Amphibien und Reptilien 246, Frosch 246, Ursprung und Verlauf, subbasale 247, subepitheliale Schicht 248, Endigung im Epithel 249, *Contraction* 249, *Litteratur* 251, *Varicositäten*, *Wesen* 267, bei Fischen 250, freie Endigung 269.
- periphere, Häute IX, 334, *Arachnoidea* 335 und *Subarachnoidealgewebe*, Beziehung der — Wurzeln, motorische und sensible zu den Häuten des Rückenmarks 337, Bau der Ganglien 338, interstitielles Gewebe 338, Ganglienzelle mit Kapsel 339, *Injectionen* und Erfolg 340, *Lymphnetz* 341, *Injection* der sie umgebenden Räume 342, 347, *Perineurium* 343, *Bedeutung* 344, *Bau* 343, *Verlauf* 360, *Schichten* 345, *Endoneurium* 344, *Bau* 348, *Beziehung* zu Gefässen.
- Bau der markhaltigen — IX, 349, Kerne der Schwann'schen Scheide

- 350, Einschnürungen 351, Bedeutung, Theilung 353, Bau der marklosen — 352, Fibrillenscheiden, Verbindung der Fasern 354, Bau, Beziehung zu anderen Umhüllungen, Bedeutung 356, Epineurium, feiner Bau 357, Verhältniss zu Gefässen 358.
- Nerv, Injection IX, 360.
- Verlauf in Pacinischen Körperchen IX, 368.
- Endigung im quergestreiften Muskel IX, 481, Litteratur 481, Eintritt und Verlauf bei den Muskeln der Musciden 497 (doppelte Endigung), 498, bei Hymenopteren 502, Coleopteren 502, bei Insectenlarven 507, für motorische 509 und sensible 510, bei Spinnen 512 (sensible, Netzbildung 513, 514), bei Krebsen 518, Astacus 518, Palaemon 519, Oniscus und Porcellio 520, Arthropoden 520, Endigung im Muskel bei *Rana temporaria* 523, 579, Triton 546, Salamandra maculata 545, Endplatten bei Krebsen 518, Astacus u. Palaemon 519, *Rana temporaria* 529, Nervenbügel bei *Rana temporaria* 530 u. Salamandra maculata 545.
- des Kopfes von *Coronella laevis*, Vorkommen und Endigung IX, 613.
- der Giftdrüse einheimischer Ophidier IX, 636.
- Verlauf in Tastkörperchen und Endigung IX, 731.
- des Hornes von *Vipera ammodytes* IX, 788.
- des Corium einheimischer Ophidier, Beziehung zu Chromatophoren IX, 779.
- der Dura mater XI, 231, der Gefässe 233, eigene — der Dura 234.
- Entwicklung bei Amphibien und Reptilien XI, 442, 454, Litteratur 447, Untersuchungsmethode 448, Schwansche Scheide 456, Muskelnervenendigung, Anlage 456.
- des Nahrungsschlauches XI, 479, Auerbachscher Plexus 480, des Mesenterium 481, Meissnerischer Plexus submucosus 482, Verbindung mit Plexus Auerbachs 482, Zellen und Verbindung mit Fasern 485, 486, Endigung in Speiseröhre und Magen 487, des Frosches 487, Verhalten zu Epithel und Drüsen 488, Gefäss- des Oesophagus, Endigung 488, Endigung im Magen des Frosches 490, in Epithelien 492, der Magendrüsen 492, Gefäss- 490, Endigung in der glatten Muskulatur 492.
- Nerv des Gehörorgans von Pterotrachea *Fridericii* XII, 115.
- im Bindegewebe der Haut der Amphibien XII, 223.
- periphere von *Amphioxus lanceolatus* XII, 298.
- des Fettgewebes XII, 450.
- der Hautdrüsen der Insecten, Zusammenhang mit Secretionszellen der Malpighischen Gefässe XII, 543, bei *Coccus ligniperda* 542, *Saturnia Pernyi* 543, *Phalaena lubricipes* 543.
- der Speicheldrüse der Cocciden XIII, 66.
- und Darmrohr, Zusammenhang bei Embryonen der Vertebraten XIII, 194, *Acanthias* 194, *Acipenser* 195, Unke 196, Ascidien 197.
- der Orbitalis und Endigung XIII, 318.
- secretorische, Einfluss der Reizung auf Schleimdrüsen XIII, 335.
- der Leber, Verlauf XIII, 417.
- Verwachsen peripherischer XIII, 420, Naht durch Katgut 420, Litteratur über histologische Veränderungen beim Verwachsen 421, Degeneration 422, spindelförmige Zellen 424, Regeneration 424, bei Nerven-naht.
- Zutritt zu Becherzellen im Epithel des Teleostierdarmes XIII, 686.
- der Blase vom Salamander XIII, 714.
- des Herzens von Mollusken XIV, 62, 317, von *Helix* 317.
- des Oesophagus vom Frosch XIV, 186, des Magens 193.
- der Thymus XIV, 357.
- Entwicklung aus Plasmazellen beim Frosch XIV, 1, 4, Plasmazellen 2, Remacksche Fasern, Bildung 5, Uebergang markloser in markhaltige 6, Untersuchungsmethode 7.
- der Ureteren XV, 64.
- des Herzens einiger Mollusken XV, 95.
- des Fühlers von *Helix pomatia* XVI, 87, terminale Endausbreitungen 89, Ganglien des Fühlers 89, Knopf des Fühlers, Zellenhaufen im — 90, spindelförmige Zellen 93.
- der Capillaren der Iris XVII, 332, der Arterien 332.

- Nerv der Haut von Reptilien XVII, 352, Endigung zwischen Epidermis, Zellen 353.
- sensible, Endigungen XVII, 367, Eintheilung 368, Litteratur 368, einfache, freie Endigung 370, in der Cornea 378, knopfförmige freie Endigung 370, Endschlinge 371, terminale Netze 371, der Hornhaut 378, Endigung in oder mit einer Zelle 371, der Hornhaut 378, Endapparat 374, Grandryische Körperchen, Endigung 374, 379.
- Degeneration und Regeneration zerquetschter — XVIII, 302, bei Fischen 309, Kaninchen 338, makroskopische Veränderungen 304, mikroskopischer Befund 306, periphere Degeneration 310, freie Kernbildung 318, Veränderungen der Quetschstelle 321, centrale Degeneration 324, Regeneration 328.
- Beziehung zum Farbenwechsel bei *Philoscia* XIX, 593.
- der Cornea XX, 373, Markhaltigkeit, freie Endigung 374, Netzbildung 375, Schwannsche Scheide 375.
- sensible, Endigung XX, 641, in Epidermis 642.
- Nerven, Absonderungs-, Endigung in den Speicheldrüsen V, 193, 196, Verlauf in den Ausführungsgängen 193 und Beziehung zu Cylinderepithelien 194, Untersuchung mit Osmiümsäure 193.
- des Pancreas, Endigung V, 199.
- Drüsen-, Verhältniss zu Drüsenzellen IX, 387, bei Speicheldrüsen der Muscidenlarven 388, Bau, Zellen 388, Verlauf mit den zur Drüse tretenden Tracheen und Verlauf der letzteren 389, bei der Speicheldrüse von *Blatta orientalis* 390, 393.
- Gefäss- der Dura mater XI, 233.
- Geschmacks- Radix descendens XIX, 377.
- Magendarm- bei Gasteropoden XVI, 81, Ganglienzelle 82, Nervenfasern 82, Membran 82.
- Mesenterial- XI, 481.
- Radial- im acustischen Endapparat der Säuger XIII, 526 und umgebogenen — 527, Uebergang in Spiralnerven 530, Verbindung mit der Endzelle, Stabzelle 529, Vertheilung der inneren, äusseren und Zapfenzelle 530.
- Nerven, Ring- der Craspedoten XIV, 402.
- Schnecken- des acustischen Endapparates der Säuger, Vertheilung und Endigung XIII, 523, markhaltige Fasern, Schnürringe, 524, Axencylindermembran 524, Ganglion, spirale 525, Verästlung 525, in Radialnerven 526 und Spiralnerven 531.
- Seiten- bei *Ascaris* X, 82.
- Spangen- bei Craspedoten XIV, 403.
- Spinal-, Neurotomie ober- und unterhalb der Rami communicantes bei Fröschen II, 39, 40.
- — bei *Ascidia mentula* VIII, 492.
- — stamm, Anlage bei der Unke IX, 403.
- Spiral- von *Petromyzon* XV, 332, Ursprung aus dem Rückenmark 333.
- des Schneckenerven im acustischen Endapparat der Säuger XIII, 531, Verlauf 527, 532, Entstehung aus Radialnerven 530, Verbindung mit Zapfenzelle 532, Unterscheidung vom tympanalen Bindegewebsstratum 534.
- Submedian- von *Ascaris* X, 80.
- N. acusticus der Gasteropoden VII, 214, 216, *Helix* 215, *Succinea amphibia* 216.
- — Endausbreitung VIII, 190.
- — der *Acridier* XI, 200.
- — von *Pterotrachea* XII, 108.
- — Verlauf im häutigen Labyrinth der Knochenfische XIV, 278, Bau 279, Portio cochlearis 278, Endigung in Fadenzellen des Utriculus 280.
- — Verästlung im häutigen Labyrinth der Batrachier XVII, 515, Ramus vestibularis 517.
- — aufsteigende Wurzel XVIII, 403.
- — Verlauf im häutigen Labyrinth der Ganoiden XVIII, 496, Ramus vestibularis 497, cochlearis 497, Endapparat 499.
- — Radix descendens XIX, 281.

- N. acusticus des Gehörorgans der Chelonii XX, 304, Ramus vestibularis 304, 306 und cochlearis 304, 307, 310, Endigung im Epithel 306.
- des Gehörorgans der Hydrosaurii XX, 351.
- der Ophidia XX, 336, Ramus vestibularis und cochlearis 336.
- der Saurii XX, 342.
- Ampullae frontalis XVII, 524, horizontalis 523 und sagittalis 523, des häutigen Labyrinths der Batrachier.
- XX, 326, horizontalis 318 und sagittalis 314, des häutigen Labyrinths der Chelonii.
- buccinatorius, Reizung der Orbitaldrüse durch — XIII, 324.
- bursalis bei Ascaris X, 93.
- glossopharyngeus, centraler Verlauf XIX, 347, Geschichte, Beginn der aufsteigenden Wurzel 353, beim Aufsteigen im Mark 363, Beginn des unteren Herdes 357. Epithelialfasern 357, 360, Nucleus lateralis medius, motorischer Kern des — 367, vasomotorische Bedeutung 374, Verlauf in der oberen Partie der Medulla oblongata 375, Radix descendens 377, Litteratur 381.
- Lagenaе des häutigen Labyrinths der Batrachier XVII, 527, der Chelonii XX, 325.
- opticus, Endorgane im Auge der Gliedertiere III, 404.
- Bildung bei der Unke IX, 401.
- Endigung, Beziehung zur Membrana fenestrata XII, 787.
- Endigung in der Retina, Litteratur XV, 597, 614.
- des Scolopendridenauges XVIII, 439, Pigmentumhüllung.
- Endigung bei Scutigera XVIII, 454.
- centrale Endigung XVIII, 468, Chiasma 472, Tractus opticus, Verlauf und Theilung 473, absteigende Wurzel 478.
- Beziehung zur Schleife XIX, 188, 292, 294, zum Corp. geniculatum mediale 295.
- Partis basilaris des häutigen Labyrinths der Chelonii XX, 322.
- initialis und basilaris Cochleae, im häutigen Labyrinth der Batrachier XVII, 528, 530.
- N. Sacculi des häutigen Labyrinths der Chelonii XX, 320.
- Utriculi des häutigen Labyrinths der Batrachier XVII, 517, Verhalten zum Epithel und Endigung 520.
- des häutigen Labyrinths der Chelonii XX, 307.
- Nervenanlage bei Bombinator igneus V, 100.
- Nervenapparat der Fühler der Landschnecken VI, 439, 442, Zutritt zu Epithelien 448.
- des Gehörorgans der Locustinen XI, 205.
- Nervendegeneration, Bildung von Degenerationskügelchen II, 36.
- Nerveneintritt im Muskel der Fliege IX, 494, Insectenlarven 507, Spinnen 512, Krebsen 516, Astacus 516, Palaemon 519, Rana temporaria 523.
- in Tastkörperchen der Zunge und des Schnabels der Hausschwimmvögel XI, 640, bei Tastkörperchen 641, Tastzellen der Epidermis des Schweinerüssels 643, Endigung in Tasthaaren 643, in Tastkörperchen beim Menschen 646, Tastzellen beim Menschen 648, Endigung, freie 650.
- in Endkolben der Coniunctiva XI, 658.
- Nervenelemente Wirbelloser, fibrilläre Structur XVI, 57, bei Gastropoden 66, Untersuchungsmethode, Elatobranchiern 93, Würmern 99.
- Nervenausbreitung im Rete Malpighii V, 506, im Gehörorgan der Mollusken V, Suppl. 84.
- in Cristae acusticae des häutigen Labyrinths der Knochenfische XIV, 288, der Muränen 298.
- Nervenendigungen in den Muskeln der Arctiscoiden I, 113, in den Muskeln Wirbelloser I, 115, 117, mit gangliösen Endplatten 115.
- in Leuchtorganen von Lampyrus splendidula I, 135.
- in den Hautdrüsen der Anneliden I, 253, 259.
- in Muskeln kleiner Nacktschnecken I, 437.
- in der Flughaut der Fledermäuse II, 17.
- in der Retina II, 179.
- in Tasthaaren II, 456.

- Nervenendigungen in Zahnpulpa IV, 73, untersucht mit Chromsäure 75.
- in Froshlarvenschwanz IV, 121.
 - in der Thränendrüse IV, 149.
 - in Speicheldrüsen V, 193, im Pankreas 199.
 - in der Netzhaut des Auges bei Mensch und Thier V, 379.
 - in der epithelialen Schicht der Haut V, 506.
 - motorisch, in den Muskeln der Mollusken V, Suppl. 36.
 - in der Haut, Beziehung zu spindelförmigen Zellen VI, 226.
 - in Papillen der Mundhöhle des Frosches, Beziehung zum Epithel VI, 415.
 - in der Flughaut der Fledermäuse VII, 1, 17, 23.
 - in Tastkörperchen der Hautpapillen der Schlangen VIII, 351.
 - in der Hirnrinde VIII, 453.
 - in der Haut der Kuhzitze VIII, 643.
 - in den Tasthaaren der Säuger IX, 197, an Haaren des Rüssels vom Igel, Zusammenhang mit Glashaut der Tasthaare 219.
 - sensible, in Muskeln von *Rana temporaria* IX, 533, bei *Lacerta agilis* und anderen Echten 548, bei höheren Thieren 548, 549.
 - motorische bei Fischen IX, 550, 577, Reptilien 552, Eidechse 553, *Lacerta agilis* 553, Nervenbügel bei der Eidechse 554, Vogel 557, Säugern 559, Kaninchen 560, Hund 561, Mensch 562, Kritik der älteren Autoren 564, Nervenbügel, kleine, Bedeutung 582.
 - der electrischen Platten bei *Malapterurus* X, 247.
 - im Muskel von *Corethra plumicornis* X, 297.
 - bei *Pterotrachea* XII, 110.
 - in der Haut des *Amphioxus lanceolatus* XII, 304.
 - der Retina XII, 742.
 - im quergestreiften Muskel des Wirbelthieres XIV, 365, 380, Endplatte 366, Darstellung durch Gold 366, bei Säugern 366, Vögeln 368, (Gold, Einfluss auf Muskelfaden 369), bei Reptilien 370, bei Amphibien, Frosch 371, 376, Fischen 379, Muskelfaser nach Goldbehandlung 372, Auftreten von Längsfasern, nicht im Zusammenhang mit Nervenfasern 373, Deutung als intravaginales Nervenetz 374, negirt 376 intravaginales Nervenfasernetz bei Hydra 384, im Herzmuskel beim Hund 385, Frosch 387, Nervenfasern des Herzens, Beschaffenheit 386.
- Nervenendigungen in Endzellen des acustischen Endapparats der Säuger XIII, 538.
- im Muskel bei *Pterotrachea* XIV, 174.
 - in glatten Muskelfasern XIV, 321, 326, Litteratur, Untersuchungsmethode 325, Goldchlorid, Erklärung der Einwirkung auf Nerven 325, in Harnblase 326, der Muscularis der Gefäße des Frosches 327, in Muskeln des Chylusmagens des Blutegels 328, der Gefäße des Blutegels 331, Beziehung der Fasern zu Ganglienzellen 331.
 - in Tasthaaren der Kaninchenschnauze XV, 45, 41.
 - in Tastzellen der Ente XV, 417, 420.
 - im Cornealepithel XV, 578
 - der Iris XVII, 324, der motorischen 329, sensiblen 331 und Vasomotoren 332.
 - im Kernkörperchen der Zellen XVIII, 197.
 - der Cristae XVIII, 505 und Maculae acusticae 513, der Ganoiden.
 - im Gehörorgan der Ganoiden XVIII, 508, intraepitheliale, Beziehung zu Neuroepithel 510.
 - innerhalb der terminalen Körperchen XIX, 53.
 - der Meissnerschen Tastkörperchen XIX, 107.
 - im quergestreiften Muskel XIX, 331, bei Amphibien 332, im lebenden Muskel 332, Isolirung im natürlichen Zusammenhange am Brusthautmuskel des Frosches 335, Untersuchung mit Goldchlorid 337, Silberlösung 336, Picrinsäure 339, schwefelige Säure 340, Verlauf im Muskel 340, bei Knochenfischen 342, Reptilien 342 und Säugern 345.
 - sensible XIX, 513, dargestellt durch Goldchlorid 513, in Meissnerschen Tastkörperchen 514, Vertheilung blasser Terminalfasern im geschichteten Epithel 519.
 - in terminalen Körperchen XIX, 523.
 - in Chromatophoren XIX, 589.
 - in Tastkörperchen XX, 212,

- nach Langerhans 214, Ranvier 215, Meissner 216.
- Nervenendigungen der *Maculae acusticae Utriculi* des häutigen Labyrinth der *Chelonii* XX, 311.
- in der *Cornea* XX, 374.
- freie, sensible XX, 377, markhaltiger Fasern 377, Endschiicksal der Schwannschen Scheide 380.
- in poriferen Vorkommnissen der Chordotonalorgane der Hinterflügel der Insecten XX, 585.
- Nervenendkölbchen der Landschneckenfühler VI, 448, Untersuchungsmethode.
- Nervenendkörperchen, scolopale, der Insecten XX, 516, Inhalt 524.
- Nervenendorgane der Schwanzflosse der Batrachier XV, 513.
- Nervenfasern des sympathischen Gränzstranges II, 14, Remacksche 16, markarme, kernführende 17, Hüllen 19.
- Functionscentrum II, 34, Nutritionscentrum 34.
- Verlauf in der Grosshirnrinde III, 448, 450, 452.
- Litteratur über Verlauf in Spinalganglien IV, 48, 51, bei der Eidechse 52, 54, Frosch 51, 53, 130, Zusammenhang mit Ganglienzellen bei *Arion empiricorum* 64, Frosch 64, 68, mit Nervenzellen beim Frosch 134.
- Uebergang markhaltiger in marklose in der Zahnpulpa IV, 75.
- Zusammenhang mit Geschmackszellen der Schmeckbecher IV, 175.
- Verlauf in den Lorenzischen Ampullen IV, 387, bei *Torpedo marmorata* 389, Bildung der — aus Neuroglia Neugeborener 441.
- Beziehung zu Ganglienkörpern der Grosshirnrinde IV, 428, Uebergang in Spitzenfortsatz der Ganglienkörper 433.
- Zusammenhang mit den Kernen der Ganglienkörper IV, 459, 506.
- Entstehung der centralen — IV, 496.
- Verbindung mit den Stäbchen der Cephalopoden-Retina V, 16, der Heteropoden 18, 20, bei *Pterotrachea coronata* und *mutica* 19, 21.
- Anlage bei *Bombinator igneus* V, 95.
- markhaltige, Entstehung aus Axencylinderfortsatz der Nervenzelle beim Kleinhirn des Kalbes V, 332, der Grosshirnrinde 375.
- Nervenfasern der Heliciden, Zusammenhang mit haartragenden Sinneszellen V, 434.
- der Mollusken, Verästlung V, Suppl. 19.
- Verbindung mit Polsterzellen im Gehörorgan der Heteropoden V, Suppl. 81.
- markhaltige, Vertheilung in den Nervenknöpfen des Seitencanal-systems vom Kaulbarsch VI, 73, Beziehung zu Zellen.
- der Papillen der Mundhöhle der Froschlarven VI, 414, Endigung 415.
- Zusammenhang mit Stäbchen der Retina bei Wirbellosen VII, 257.
- im *Canalis cochlearis* VIII, 206, Beziehung zum Cortischen Bogen 212.
- bei *Ascaris*, Zahl und Bau X, 77, 78, Scheiden 78, Beziehung zur Muskelsubstanz 79, 89.
- sensitive, der Subcuticula bei *Ascaris* X, 94.
- der electricischen Platten von *Torpedo*, Verlauf X, 106.
- Verbindung mit Nervenzellen XI, 485, 486.
- des Epithels der Kieme von *Unio* und *Anodonta* XI, 544.
- der Giftdrüse von *Naja haje* XI, 565.
- der Meissnerschen Tastkörperchen XII, 370, Endigung 373.
- Zusammenhang mit Zapfenzelle der Retina bei *Alligator lucius* XII, 770.
- markhaltige, Bau XIII, 1, Faserglieder 2, Darstellungsmethode 2, 8, Verhältniss der Kerne zu denselben 3, der Schwannschen Scheide 3, Litteratur 3, Beziehung zu Ranvierschen Schnürringen 4, lateinische Kreuze 5, Bedeutung 6, Stäbchenstructur des Markes 7.
- intravaginale, im Muskel bei *Hydra* XIII, 374, 376, Beziehung zu Muskelfäden 407, beim Frosch 408.
- peripherische, markhaltige XIII, 427, Litteratur, Querstreifung 434, Perineural-, Epineural- und Endoneuralscheide 434, 435, Stärke der Faser 435, functionelle Verschiedenheit 435, marklose Fasern 436,

- Form der frischen — 437, Schwannsche Scheide 438, Ranviersche Schnürringe 439, 445, lateinische Kreuze, Entstehung 441, Darstellungsweise 441, Markkerne 442, bei Torpedo 443, Myelintropfen 444, Nervenmark 444, Lantermannsche Einkerbungen 445, Varicositäten 448, Negation der Stäbchenstructur 448, Beziehung zu Ranvierschen Schnürringen 450, chemisches Verhalten des Markes 450, Scheide des Axencylinders 451, Darstellungsweise 452, Axencylinder 453, Negation des fibrillären Baues 453, chemische Beschaffenheit 455, periaxiale Flüssigkeit 454, Querstreifung 454.
- Nervenfasern, Zusammenhang mit Geisselzellen XIV, 116.
- der Magendarmnerven bei Gasteropoden XVI, 82, centraler Ursprung aus Ganglien 85.
- bei *Lumbricus agricola* XVI, 105.
- Kerne XVI, 311.
- markhaltige, Corrosion XVI, 493.
- myelinhaltige, Uebergang in Fibrillen XVII, 328.
- des Gehörorgans der Ganoiden, Structur XVIII, 506.
- Untersuchungen XIX, 183, Myelin und Nervenmark, Wesen 183, Markgerinnung 183, Markstrom 185, 194, Myelin von Virchow 187, Orientierungsversuche 189, Behandlung mit Wasser 190, 191, myelinogene Körper, Wesen 191, Nervenmark, Behandlung mit Wasser 193, mit concentrirten Säuren, Schwefelsäure 199, Chromsäure 200, Essigsäure 202, Picrinsäure 203, Alkalien 205, Salzen 206, Kochsalz 207, Myelinformation, Charakter 208, Myelin, Behandlung mit Säuren, concentrirten, Schwefelsäure 198, Chromsäure 200, Essigsäure 201, Picrinsäure 202, Alkalien 204, Salzen 206, Kochsalz 207, Nervenmark, Myelinformation, Intensität der Entwicklung 209, Markgerinnung und postmortale Veränderungen 212, Bau der lebenden — 214, Nervenmark, Osmiumbilder 216, Anordnung der Versuche 216, myelinogene Körper, Behandlung mit Osmium 216.
- markhaltige, Horngerüst XIX, 225, nach Behandlung mit Alkohol
- Aetherextract 226, durch Verdauung 227, mit Chloroform 227, phycocholsaurem Natron 229, Wasser 229, chemische Natur 232, Stillingsche Elementarröhrchen 234, Darstellung durch Chromsäure 236.
- Nervenfaserkerne, Bau XVI, 311.
- Nervenganglienanlage bei *Fusus* sp. XIII, 140, 143.
- bei Gasteropoden, Beziehung zu Keimblättern XIII, 162, Vergleich mit Cephalopoden 162, Mollusken 162.
- Nervengewebe der Mollusken V, Suppl. 18.
- Nervenhügel beim Eintritt der Nerven in den Muskel von Doyère I, 113.
- Entdeckung IX, 484, 485, bei Fliegenmuskeln 498, 499, Auffindung durch Contraction 504, durch Chlorgoldnatrium und Essigsäure 505, bei Insecten 508, Spinnen 512, Krebsen 518, Bedeutung und Wesen 580.
- XIX, 332.
- Nervenknäuel im Ohr der Mäuse VII, 265.
- der Haarbälge des Igelohres VIII, 304, 311.
- Nervenköpfe des Seitencanals des Kaulbarsches VI, 71, Epithel 71, Haare 72.
- Nervenmark, Einwirkung von Ueberosmiumsäure I, 302.
- Stäbchenstructur XIII, 7.
- der markhaltigen Nervenfasern XIII, 444, chemisches Verhalten 450.
- Wesen XIX, 183.
- Behandlung mit Wasser XIX, 193, Säuren 199, concentrirter Schwefelsäure 199, Chromsäure 200, Essigsäure 202, Picrinsäure 203, Alkalien 205, Salz 206, Kochsalz 207.
- Nervennetz, intravaginales, bei *Proteus anguineus* XIII, 176, Frosch 177.
- Nervenplexus der Mundhöhle von *Amphioxus lanceolatus* XII, 308.
- intravaginaler XIII, 409, Beziehung zu Längsstreifen 409, bei der Eidechse 410.
- Nervenringe im Ohr der Mäuse VII, 265.
- Nervenrohr, Anlage bei *Pyrosoma* (Stolo) XI, 600, 602.
- Anlage bei *Amphioxus lanceo-*

- latus, Beziehung zum Darmrohr XIII, 184, bei *Acanthias* 185.
- Nervenscheide, Verhalten in Tastkörperchen IX, 739.
- Nervenschicht der Retina von *Pteroceras* II, 402, Zusammenhang mit Zellenschicht 404.
- des Ohres der Mäuse VII, 261.
- Nervenstämmе der Cutis, Endothel VII, 369.
- der Gasteropoden XVI, 76, Scheide mit Schleimzellen 76, fibrilläre Structur 77, bei *Elatobranchiern* 97, fibrilläre Structur 98, Würmern 103, Neurilemma 104.
- Nervensystem, centrales, der Lungenschnecken I, 44, Erklärung der einzelnen Theile 45, feinerer Bau 46, Punktsubstanz 48, Neurilemma 51, zwei Arten.
- Beziehung zum Ohr der Lungenschnecken I, 44, 58.
- der *Aretiscoiden* I, 107.
- von *Phreocytes Menkeana* I, 265, Lagenverhältnisse, Histologie 267.
- der *Macrobieten* II, 127.
- Bildung bei *Phallusia canina* V, 461.
- erste Anlage bei *Ascidia canina* und *mammillata* VI, 131.
- Anlage bei einfachen *Ascidien* VII, 111, 113.
- Anlage bei *Molgula simplex* VIII, 374, 376.
- der Larven von *Ascidia mentula* VIII, 385.
- Anatomie IX, 308.
- der *Nematoden* X, 74, 96.
- von *Ascaris megaloccephala* und *lumbricoides* X, 74.
- Anlage bei *Pyrosoma* (*Cyathozoid*) XI, 611, 615.
- von *Amphioxus lanceolatus* XII, 295.
- Vergleichung der Vertebraten und Anneliden an der Hand von *Amphioxus* XIII, 194, 199, 201.
- Strickleiter- bei *Vaginulus Pannaysi* XIV, 123.
- der *Acraspedoten* XIV, 398, der *Craspedoten* 401.
- Doppelfärbung XV, 35.
- sympathisches, Lymphbahnen IX, 361, Häute 361, Ganglienzelle mit Kapsel und Kapselzelle 362, Injection der Ganglien 363.
- der *Elatobranchier*, Anatomie XVI, 93.
- Nervensystem von *Beroë ovatus* XVII, 225.
- von *Distomum Westermanni* XIX, 544.
- cerebrosproinales der Urodelen, Blutgefäße XX, 139.
- von *Salamandra-maculosa*-Larven, Karyokinese XX, 139.
- Nervenverbindung im Gehörorgan der Heteropoden V, Suppl. 80 und Orthopoden 84.
- Nervenverlauf im Sacculus des menschlichen Ohres III, 119.
- im Gehörorgan des Hirschkäfers IV, 88.
- in der Schnauze des Maulwurfs VII, 183.
- Nervenverzweigung und Endigung in der Kehlkopfschleimbaut 167, im Plattenepithel VII, 169.
- Nervöse Apparate des Hinterendes bei *Ascaris* X, 92, Weibchen 93, Männchen 93.
- Elemente der Retina II, 261.
- Nesselkapseln bei *Polykrikos Schwartzii* IX, 675.
- des Schwammkörpers, Bedeutung XII, 799.
- des Ectoderm bei *Spongicola fistularis* XIII, 806.
- Netz, Arnoldsches, Bedeutung VIII, 558.
- Netzbildung in den Ganglienkörpern des sympathischen Grenzstranges II, 24.
- Netzknorpel, elastisches Gewebe IX, 80, 97, Verhältniss der Zellen bei *Kaninchenembryonen* 83.
- Neugeborene, Schichtung der Grosshirnrinde IV, 418, Neuroglia 437.
- Neunauge — *Petromyzon fluviatilis*.
- Neurilemma des Nervensystems der Lungenschnecken I, 51.
- Vorhandensein bei Nerven der *Aretiscoiden* I, 108.
- bei *Phreocytes Menkeana* I, 268.
- des Gehirns der Gasteropoden VII, 202.
- der Hirudineen und Lumbricineen, Bau IX, 772.
- der Nervenstämmе der Würmer XVI, 104.
- Neuroglia, Vertheilung in der Grosshirnrinde des Menschen III, 442.
- der Grosshirnrinde des Menschen, Veränderungen IV, 425, bei Neugeborenen 438, Untersuchungsmethode 437, 442, Gliakerne und Gliareiser-

- netz und Umbildung 433, Gefäßbildung aus Gliakernen und Gliareisern bei Neugeborenen 441, Umbildung zu Ganglienkörpern der Grosshirnrinde, zu Nervenfasern 441.
- Neuroglia, Beziehung zur Intima pia des Rückenmarks IX, 329.
- Neuroptera, Verbreitung der Chordotonalorgane XX, 552, porifere Vorkommnisse derselben an den Flügeln 593.
- Neurotomie der Rami communicantes und Folgen II, 37, der Spinalnerven unterhalb und oberhalb der Rami communicantes 39, 40.
- Nickhaut des Frosches, Epithel V, 62.
- Niere, Wasseraufnahme bei Lungenschnecken durch die — I, 61.
- Entstehung bei Schafembryonen I, 233, beim Hühnchen I, 234, II, 473, Umbildung und Urnierengang 475.
- erste Anlage I, 241.
- Entwicklung bei *Bombinator igneus* V, 107, 109.
- Bindsesubstanz V, 350.
- der Gasteropoden V, Suppl. 92, Secretionsvorgang 93.
- der Cephalopoden V, Suppl. 94.
- Anlage bei *Molgula simplex* VIII, 377.
- Anlage bei der Unke IX, 408.
- mikroskopische Beiträge zur Anatomie und Physiologie X, 1, der Säuger, Epithelien 2, der Malpighischen Kapsel und Gefässknäuels, Untersuchungsmethode 3, der gewundenen Harncanälchen 4, trübes Epithel, Stäbchen derselben 4, Untersuchungsmethode frischer 5 und gehärteter 8, Isolationsmethode 11, Epithel der Henleschen Schleife 15, der Schaltstücke 16, Sammel- 17 und Ausflussröhren 18, Vergleichend anatomische Bemerkungen 20, 26, der Vögel 20, Epithel der gewundenen Canäle und der Henleschen Schleife 20, des Frosches 22, Epithel der Kapsel, Flimmerzellen 22, Stäbchenstructuren 23, des Wassersalamanders 24 (*Triton cristatus* und *taeniatus*), Epithel der Malpighischen Kapsel 24, Beziehung zu Samencanälchen 25, der Ringelnatter 27, Epithel, der Schildkröte (*Emys europaea*), experimentelle Beobachtungen 30, Methoden 30, Behandlung mit indigschwefelsaurem Natron 32, 34 und phöniciansaurem Natron 42, Einwirkung auf die Malpighische Kapsel 36, Secretion 34, Albuminurie 46, Bedeutung der Stäbchen 47.
- Niere, Beiträge zur Physiologie XI, 75, untersucht mit Carminammoniak, Harnsecretion, Theilnahme der einzelnen Theile der — 77, Schnelligkeit der Absonderung von Farbstoffen durch die — 79, Injection von Farbstoff 80, Gewebsveränderung von den Blutgefässen aus 82, Verhalten des Farbstoffes zu den Drüsenzellen 82, 92, Doppelinjection mit Carmin und Indigo, Erfolg 84, nach Injection der Lunge 87 und des Oesophagus 87 durch Carmin, ungleichzeitiges Functioniren derselben 89, nach Injection von Indigo in die Trachea 89.
- von *Amphioxus lanceolatus* XII, 322.
- bleibende bei *Fusus* sp. XIII, 138.
- Plasmazellen XIII, 277, Stäbchenzellen 313.
- der Plagiostomen, Flimmerzellen XIV, 390.
- Corrosion XVI, 478.
- der Säugethiere, Entwicklungsgeschichte XVI, 507, Litteratur 507, Anlage des Pelvis renalis 512, Pseudoglomerulus, Bedeutung 513, Anlage der ersten Glomeruli 514, Endothelien der Capillaren des Malpighischen Körperchens 514, Membrana propria des Glomerulus, Ursprung 515, Papillenbildung 516, Trennung von Mark und Rinde 516, erste Harnsecretion beim Embryo 517, secretorische Canäle des Embryo, Umwandlung 518.
- Nierenartiges Organ bei *Phalusia mammillata* VIII, 378.
- Nierenbecken, Drüsen IX, 653, Wandung 654, Schleimhaut des Rindes 654, Schweines 654, Pferdes 654, Mensch 655.
- und Harnleiter, Histologie XVIII, 14, Epithel beim Mensch 14, Pferd 16, Rind 16.
- Nierenblase von *Ascidia complanata* VIII, 378.
- Nierenanal, Wesen I, 239.
- Nilpferd — Hippopotamus.
- Nobertsche Platte I, 86, 93, 305.
- Noctiluca miliaris, Verhalten gegen Ueberosmiumsäure II, 163, Kern 164.
- — IV, 351.

- Noctiluca miliaris*, Schwärmerbildung VII, 131, Copulation 138.
 — anatomischer Bau IX, 47, Geißel, Verhalten 48, 50, 59, Zahn, Wimper 48, Staborgane 49, Nucleus 49, Nucleolus 59, Vermehrung durch Theilung 50 und Knospung 51, Regeneration 52, 59, Zoosporenbildung 53, 59, Schwärmer, Bau 55, Copulation 56, Bedeutung 57, 59, systematische Stellung 59.
 — Vergleich mit *Accella vulgaris*, Fortpflanzung XI, 465.
Nothoscorodon fragilis, indirekte Kerntheilung XVIII, 176.
Nuclearia delicatula, Beschreibung I, 225, Nahrungsaufnahme 235.
 — Vergleich mit *Leptophrys elegans* und *Vampyrella* XIII, 58.
 — *simplex*, Beschreibung I, 207, 226, Ruhezustand 226, Arten 218.
 — XIII, 27.
Nucleolus bei *Amoeba terricola* II, 315.
 — der lebenden Bindsustanzkerne XVI, 309.
 — Tinctionsfähigkeit XVI, 331, Wesen 355.
 — Verhalten bei Zelltheilung XVIII, 195, 196, Nervenendigung in — 197.
Nucleus von *Amoeba terricola* als Fortpflanzungsorgan II, 310.
 — von *Amphizonella violacea* II, 326.
 — von *Acineta ferrum equinum* II, 341.
 — von *Rhyncheta Cyclopus* II, 346.
 — von *Noctiluca miliaris* IX, 49, 59.
 — der Infusorien, Vermittler der Conjugation IX, 657, Einschlüsse des — 658, Hüllen 659.
 — Verminderungen bei *Paramaecium aurelia*, Conjugation IX, 665.
 — bei *Urocyta grandis* IX, 670.
 — *Lemnisci*, *centralis* XIX, 260, Zellen, *lateralis* 278 und *medialis* 278.
 — *lateralis medius* des *N. glosopharyngeus*, Bedeutung XIX, 367, 374, Zusammenhang mit Hypoglossuskern 392.
Nuctootherus ovalis, Einschluss amyloider Körper IX, 671.
Nummulinidae XIII, 29.
Nutritionscentrum für Nervenfasern II, 34.
Oberflächenverhornung der Oberhaut, Wesen XII, 681, 687.
 Oberhaut — Epidermis.
 Oberhäutchen des Haares IV, 301, — Entstehung XII, 689.
 Oberkieferbogen der Amphibien, Knochen IX, Suppl. 12, Os intermaxillare 12, Os maxillare.
 Oberkieferzahnstreifen bei Urodelen XI, Suppl. 95.
 Oberlippe bei Trichonisciden XIX, 619, Function 623.
 Oberschenkel von *Lacerta viridis*, Anhangsgebilde der Haut des — XVII, 358.
 Oberschnabel des Huhnes, Tastzellen XI, 642, der Taube, Tastzellen 642, Lage im Epithel 642.
 Objectivsystem des Mikroskops und sein Einfluss auf Wärmedifferenzen bei Untersuchungen mit dem heizbaren Objecttisch IV, 335.
 — von Gundlach V, 284, Bénécke 284.
 Objecttisch, heizbarer von Max Schultze I, 2, Prüfung durch Fette, Paraffin oder in Wasser gelöstem Paraffin 6, Anwendung zum Studium der Bestandtheile des menschlichen Blutes 8, Prüfung durch rothe Blutkörperchen 28.
 — Wärmedifferenzen und deren Ursachen IV, 334.
 — neue Construction IV, 342.
 Objectträger, neue Art II, 160, zur Untersuchung lebender Froschlärven II, 378, Einfluss auf Wärmedifferenzen bei der Untersuchung mit dem heizbaren Objecttisch IV, 338.
 Ochs — Bos.
 Octopoda, Lippe V, Suppl. 61, Gehörorgan 84, Nervenverbindung im G. 84, mit Gehörplatte 85, Hörleiste im Gehörorgan mit Nerven und Epithel 87, Vergleich mit dem Gehörorgan der Decapoda 88, Speicheldrüsen 95, Zoospermien 97.
Octopus macropus, Stäbchen der Retina V, 10.
 — *vulgaris*, Stäbchen der Retina V, 8.
 Ocularschraubenmikrometer von Ramsden I, 90.
 Ocularspectroskop des Mikroskops VII, 220, zur Untersuchung glühender Dämpfe 227, zur Darstellung Talbotscher Linien 227.

- Odontoblasten, Entstehung und Structur IV, 80.
- bei Zahnbildung der Urodelen XI, Suppl. 95.
- Anordnung, Verhalten zu Blutgefäßen und Beziehung zur unvollkommenen Theilung der Zahnwurzeln XV, 368.
- Verhalten zur Dentinbildung XIX, 703.
- bei Trygon XX, 250, bei Spinax acanthias 261.
- Odontoblastenschicht im Gegensatz zu Osteoblasten und Cementmembran bei Amphibien XI, Suppl. 64.
- Odontura, Ostien und Verschlussapparate des Rückengefäßes IX, 150.
- *serricauda*, Muscularis des Rückengefäßes IX, 136.
- Oedem, künstliches VII, 368, Hervorrufung.
- Oedipoda, Befestigungsapparat des Rückengefäßes IX, 151.
- Oele zum Aufhellen mikroskopischer Präparate II, 433.
- Oeltropfen der Retina, Entstehung XV, 619.
- bei Vögeln, Beziehung zur Farbentheorie XII, 770, bei *Astur palumbarius* 773.
- Oesophagus, Epithel III, 174.
- Cuticularbildung V, 310.
- von *Ascaris*, Zelle im Umkreise der — X, 81.
- Injection und Verhalten der Niere XI, 87, Gefäßnerven und Endigung 488.
- menschlicher Embryonen, Flimmerepithel XII, 570.
- der *Cocciden* XIII, 51, 54, Histologie 56, (*Structura cardiaca* 54), *Tunica propria* und *intima* 56.
- der Fische, Schleimhaut XIII, 655, Epithel 656, Becherzelle 656, bei *Cyclostomum* 656, *Myxine* 656, *Petromyzonetes*, *Petromyzon pluvialis* und *Planeri*, *Ammocoetes* 656, Flimmerepithel bei *Selachiern* 656, *Torpedo aculeata* 657. Epithel, Haien 657, *Raja clavata*, Flimmerepithel, Mündung des Gallenganges am Ende 662, bei Ganoiden 660, Cylinderepithel, *Polypterus* desgl. 660, Stör, Flimmer- und Becherzellen 660, Teleostiern 660, 663, Cylinderepithel und Becherzellen, Lophobranchiern, *Syngnathus*, Becherzellenepithel, *Plectognathen* 661, *Balistes*, *Physostomen* 661, *Anguilla fluviatilis*, *Symbranchus marmoratus* 661, Becherzellenepithel, *Perca fluviatilis* 662, *Dipnoi* 663, *Ceratodus*, *Lepidosiren* 663, Teleostiern, Papillen 662.
- Oesophagus der Batrachier, Pepsin bereitende Drüsen XIII, 746, Bau 747.
- beim Frosch XIV, 181, Epithel 181, Becherzelle 181, Ersatzzelle 183, Flimmerzelle 183, Drüse 183, acinöse, Aenderung nach ihrer physiologischen Thätigkeit 185, Epithel des Ausführungsganges 184, Gefäße und Nerven 186.
- von *Hyla arborea*, Epithel XIV, 195, *Bufo*, Epithel 196, Triton 197, *Coluber natrix*, *Vipera berus* 200.
- Epithel bei *Cobitis fossilis* XV, 430, 433.
- von *Distomum Westermanni* XIX, 550, Basalmembran 550, Muskelschicht 550.
- Oesophagusanlage bei *Fusus* sp. XIII, 128, Zellen derselben und Veränderungen 130.
- Oesophagusorgane bei *Selachiern* XIII, 658, Zelle 658, Gittervorrichtung bei *Spinax acanthias*, *Selache* 659.
- Ohr der Lungenschnecken I, 58, Verbindung mit dem Nervensystem 58, der Krebse 145.
- des Menschen, Verhältniss des *Sacculus* zur *Macula acustica* III, 118, Nerven des *Sacculus* 119, perilymphatischer Raum, Beziehung zur Schallfortpflanzung 132.
- äusseres, der Mäuse als Tastorgan III, 260, Nervenschichten 261, Verlauf und Verbindung unter einander, Nervenringe und Nervenknäuel, Vorkommen und Vertheilung 265, blasses Terminalnetz, Lage und Verästlung 266.
- des Igels, als Tastorgan VIII, 295, Untersuchungsmethode 296, Oberhaut 297, *Stratum Malpighii* 298, Lederhaut 299, Bindegewebskörperchen, Pigmentzellen, sternförmige, elastisches Gewebe 300, Glashaut des Haarbalges 301, Haare 302, Haarbälge 303, Zellen 304, Nervenknäuel an denselben 304, Bedeutung 311, Nerven 306, Talgdrüsen 306, Zellen des Ausführungsganges 307, Schweißdrüsen 307, Blutgefäße 308.

- Ohr von Pterotrachea, acustisches Organ im — XII, 565.
- der Ratte, ein die Lymphgefäße umspinnendes Capillarnetz XVII, 335.
- inneres, der Batrachier XVII, 486.
- — der Chelonii XX, 277, Hydrosaurii 343, Ophidia 330, Saurii 338.
- Ohrbläschen, Bildung bei der Unke IX, 397.
- Anlage bei Teleostiern XV, 161.
- Ohrblase, Gang bei Lungenschnecken I, 60.
- Ohranal bei Vitrina diaphana VII, 215, Epithel bei Succinea amphibia 216, bei Planorbis corneus 217.
- Ohrkapsel der Lungenschnecken, Form und Bau I, 59.
- Ohrknorpel, elastisches Gewebe beim Kaninchen IX, 88, Pferd 91, Rind 92, Mensch 93, Schaf 94. Porenkanälchen 95, Hund, Sepia, Ochs 96.
- Olive, obere XIX, 271.
- Olivenbildung XIX, 259, 300.
- Olivenöl zur Corrosion anatomischer Präparate XVI, 474.
- Olm — Proteus.
- Omentum, Bindegewebszelle XI, 186.
- Lymphgefäße XII, 451, 454, Gefäßbildung 442.
- Onchidium, Penisdrüsenstachel XIV, 122.
- Onisciden, Bau und Thätigkeit der Leber XVII, 390, Hepatopancreas 422, Function der Leber 414, Secret 414, Leberzellen, Bedeutung 417, Cementzellen 417.
- Oniscus, Nerveneintritt und Endigung im queren Muskel IX, 520.
- Bau und Thätigkeit der Leber XVII, 391, Bau der Drüsenschläuche 393, Tunica propria 397, Tunica serosa 394, Tunica muscularis 394, feiner Bau 396, Drüsenparenchym 397, Zellen 398, helle Zellen 399, Fermentzelle 399, 400, Leberzelle 399, 400, Einfluss von Reagentien 402, destillirtes Wasser 403, Aether 403.
- Oogonien, Entwicklung bei Saprolegnia monoica V, 185.
- Operculare bei Siredon XI, Suppl. 26, Salamandra 27, Rana esculenta 28, Anlage bei Urodelen 103, 104, Bethheiligung der Ersatzleisten 107, Umwandlung bei Urodelen 115, erste Anlage bei Anuren 137.
- Ophideres fullonica, Cylindergebilde des Rüssels, Umwandlung zu Zähnen XIV, 311, 314.
- Anwendung des Rüssels XV, 9.
- Verschluss des Rüssels auf der dorsalen Seite 28.
- Ophidia, Retina II, 211.
- Gallencapillaren der Leber III, 426.
- zur Kenntniss der Sinnesorgane VIII, 317, Nasendrüse 326.
- Jacobsonsche Organe VIII, 318, Beziehung zu Knochen 318, Concha 318, Vomer 319, Knorpel 322, Weichtheile 323, Nerv 323, Epithel 324, Mündungsstelle 326, Vergleich mit dem — der Säuger 327, Bedeutung 329.
- becherförmige Sinnesorgane VIII, 329, Vorkommen, Nerven 330, Verlauf und Endigung 334, Epithel und Epithelhügel 332, Schleimzellen derselben 332, 336, terminale Ganglien kugeln 334, Blutgefäße 335, innere Zelle des Epithelhügels, Bau und Bedeutung 336, Vergleich mit anderen Thierklassen 345.
- Hautpapillen mit Tastkörperchen VIII, 349, Vorkommen, Bau 350, Nervenendigung 351.
- Zähne, undurchbohrte IX, 3, Form 3, Zahl 4, feinerer Bau 8, Cuticula 8, Zahnbein 8, Entwicklung aus der unteren Schicht des Epithels der Mundhöhlenschleimhaut 9, Ersatzzähne 4.
- Zähne, durchbohrte IX, 11, Zahl 13, Form 14, Giftkanal 14, feinerer Bau 17, Pulpahöhle 17, Giftcanal, Bildung 18, Zahnbein 20, Schmelz 20, Cuticula 21, Pulpa 21, Entwicklung aus Epithel der Schleimhaut 22, Entwicklung der Giftrinne 26, Zahnbein als Cuticularbildung, Vergleich mit den Säugern 27.
- Kopfdrüsen einheimischer IX, 598, Allgemeines über den Bau 629, Eintheilung 629, Giftgang und Beziehung zum Giftzahn 631, Giftbehälter 632, Interzellulargänge zwischen dem Epithel der Kopfdrüse, Bedeutung 632, Muskelelemente der Giftdrüse 633, Nerven der Giftdrüse 636, Lymphräume und ihr Verhältniss zur Drüse 637, lymphdrüsenartige Substanz, Wesen und Vorkommen 638.
- Gl. labiales, Bedeutung 639,

- Gl. linguales, Bedeutung 640, Gl. nasalis, Bedeutung 641, Gl. venenata, Bedeutung und ihre allmälige Entwicklung 641, Gl. Membranae nictitantis 644, Gl. lacrimales 645.
- Ophidia, Haut, einheimischer IX, 753, Lederhaut 769, Schuppen 769, Entstehung, Bindegewebe 770 und Beziehung zu Gefässen 772, Pigment, Vertheilung 774, Pigmentzelle oder Chromatophore, Wesen 775, Farbenänderung 776, Nerven, Beziehung zu Chromatophoren 779, Lymphräume, Vertheilung 780, Umwandlung in lymphdrüsige Masse, Litteratur 781.
- Retina XII, 429, Stäbchenschicht 429, äussere Körner 436, Zapfenfasern 430, Zwischenkörnerschicht 431.
- Epitrichialschicht der Haut XIII, 213.
- Bauchschiene, Entwicklung XIII, 236.
- Thymus XIV, 347.
- Schlemmscher Canal XIX, 175.
- inneres Ohr XX, 330, knöchernes Labyrinth 330, häutiges Labyrinth 332, Pars superior 333, Utriculus 333, Pars inferior 333, Sacculus 333, Foramen utriculo-sacculare 333, Cochlea 334, Pars basilaris 334, Lagena 335, N. acusticus 336, Ramus vestibularis 336 und cochlearis 336, Papilla Retzii 337, Crista acustica Partis basilaris 337, Crista acustica Lagena 337.
- inoëua, Lymphräume im Corium IX, 780.
- Ophiothrix fragilis, feinerer Bau der Muskelfasern V, 210, der Interambulakralmuskeln 210.
- Opticusscheiden, Lymphraum der — VI, 47, Endothel desselben und Beziehung zu den umspinnenden Fasern 47, 51, Zusammenhang mit dem Arachnoidealraum des Auges 49.
- Optische Erscheinungen bei Nervendegeneration II, 35.
- Optisches Verhalten quergestreifter Muskelfasern V, 137, von Hydrophilus piceus 139.
- Orbicularis ciliaris, Wesen VI, 326.
- des Cephalopodenauges XVI, 234.
- Orbitalmasse der Cephalopoden V, Suppl. 17.
- Ordensband — Catocala.
- Organe des VI. Sinnes bei Salamandrinen XII, 166, bei Salamandra maculosa 168, 171, Triton helveticus 167, Geschichte und Kritik 170, bei Fischen 170, Proteus 171, Axolotl 171, Formen 172, Histologie 173, Deckzelle 173, Stützzelle 174, Sinneszelle 175, bei Amphibien 223, vergleichend anatomisch.
- Anlage bei Nassa mutabilis XIII, 112.
- der Gasteropoden, Beziehung zu Entoderm XIII, 158.
- bei Larven von Salamandra maculosa, Karyokinese XX, 137.
- acustische, im Ohr von Pterotrachea XII, 565.
- becherförmige, der Zunge VI, 237, bei Menschen 242, Bau 243, bei Wiederkäuern 248, Rind 248, Schaf 249, Igel 249, Kaninchen 252, Verhältniss zu den Nerven 255, Bedeutung 256, Untersuchungsmethode 258.
- der Mundhöhle des Froschlärvenschwanzes VI, 416, Sinneszellen und Stützzellen 416.
- der Schlangen VIII, 329, Vorkommen, Nerven 330, Verlauf und Endigung 334, Epithel und Epithelhügel 332, innere Zelle der letzteren, Bau und Bedeutung 336, Blutgefässe 335, Schleinzelle 332, 336, terminale Ganglienkugeln 334.
- des Kehlkopfes XIV, 158, Untersuchungsmethode 159, Epithel bei Hund 160 und Menschen 160, Vertheilung beim Hund 162 und Menschen 163, Bau 164, Mantelschicht 164, Innenkörper 165.
- Jacobsonsche, der Schlangen VIII, 318, Beziehung zu Knochen 318, Knorpel 322, Weichtheile 323, Nerv 323, Epithel 324, Mündung 326, Vergleich mit Säugern 327, Bedeutung 329.
- von Tropidonotus natrix VIII, 318.
- nierenartige, bei Phallusia mammillata VIII, 378.
- rothbraune, bei Anodonta, Mytilus galloprovincialis, Arca pillosa XIII, 571, Pigment der Rundzellen des Gallertgewebes 571.
- Sieboldsches, bei Meconema varium XX, 529.
- Organoblasten bei Siredon pisci-

- formis XIII, 773, Kernveränderung 775, 776, Stäbchenfädenbildung 774.
- Orthoptera, Fettkörper IX, 178.
- Endschlächte der tympanalen Sinnesapparate, Vergleich mit stemmalen Retinastrahlen des uniconnealen Tracheaten-, insbesondere Arachnoiden- und Myriopoden-Auges XVII, 80.
- porifere Vorkommnisse der Chordotonalorgane der Flügel XX, 594, subgenuale Chordotonalorgane 617, homotopische Convergenz mit den subgenualen Chordotonalorganen der Formicidae 627, subgenuale Tracheen 628.
- Ortsbewegung farbloser Blutkörperchen bei Körpertemperatur I, 2.
- Oscillarineen, Stellung zu Florideen III, 35, Bewegungserscheinungen 46, 58.
- Oscillatorien, Bewegung I, 399.
- Os coracoideum, Ossification bei Batrachiern XIX, 35.
- en Ceinture des Primordialcranium der Amphibien XI, Suppl. 8.
- intermaxillare des Oberkieferbogens der Amphibien XI, Suppl. 12, Processus dentalis, palatinus, nasalis, intermaxillaris 13.
- maxillare des Oberkieferbogens der Amphibien XI, Suppl. 13, Processus frontalis, nasalis, maxillaris 13.
- maxillaires temporels bei Urodelen XI, Suppl. 122.
- palatinum des Gaumenbogens der Anuren XI, Suppl. 20, Fehlen bei Derotremen, Amphiuma, Menopoma, Cryptobranchus 17, bei Siredon pisciformis 15.
- pterygoideum bei Siredon pisciformis XI, Suppl. 15, Fehlen bei Siren lacertina 16, bei Anuren 20.
- pterygopalatinum bei Menopoma lateralis und Proteus anguineus XI, Suppl. 17.
- pharyngeum bei Forellenembryonen, Entstehung durch Verschmelzung der Zähne XI, Suppl. 177.
- quadratum des Primordialcranium der Amphibien XI, Suppl. 10.
- quadratojugale des Primordialcranium der Amphibien XI, Suppl. 10.
- vomero-palatinum bei Amphibien XI, Suppl. 20.
- Osmium, Einwirkung auf das Ei X, 201, auf Magendrüsen XVII, 203, auf Nervenmark XIX, 216, auf myelinogene Körper 216.
- Osmiumsäure, Wirkung auf die Tracheenzellen in den Leuchtorganen von Lampyris splendidula I, 132.
- Wirkung auf Leuchtorgane von Cucuyos VIII, 468.
- Wirkung auf den Zellkern der Harnblasenwandung des Erdsalamanders XIII, 701, auf Zellkern XVI, 328.
- Ossification, Imprägnierung der Kalksalze I, 366.
- der Phalangen bei Batrachiern XIX, 24, Wirbelsäule 26, Wirbelkörper 27, 31, 32, Wirbelbögen 33, Schwanzwirbel 34, Os coracoideum 35, Clavicula 35, Scapula 35.
- metaplastische, XII, 264, Vorkommen an Spina scapulae 270, dem Processus condyloideus des Unterkiefers 267, bei Bildung des Unterkiefers 561.
- bei Batrachiern XIX, 11, 13.
- neo- und metaplastische XI, 242.
- periostale I, 370, bei Batrachiern XIX, 15, 20.
- Ossificationsprozess I, 354, des hyalinen Knorpels 359 und der knorpelig präformirten Knochen, der knorpelig nicht präformirten Knochen aus bindegewebigem Blastem 368.
- der Sehnen I, 369.
- bei Vögeln XII, 243.
- der Hautknochen bei Dacypus novemcinctus XIII, 254.
- Doppelfärbung XV, 35.
- Osteacanthi, Retina II, 199, Alantois 475.
- Entwicklung IV, 209, Keim 210, Bildung, Furchungsprozess 213, Embryonalzelle, Entstehung 214, Höhle im Keimbügel 214, Keimhaut 216, Plattenepithel zur Bildung der Keimhaut 217, freie Zellenbildung beim Auftreten des Plattenepithels der Keimhaut 218, Dotterblase, Auftreten 226, Embryonalschild, Entwicklung innerhalb derselben 230, Auftreten der Rückenfurche 234, erste Anlage des Herzbeutels 239, der Alantois 239, 267, Medullarplatte 243, Anlage und Entwicklung des Central-Nervensystems 243, der

- Augen 244, Embryonalsaum 246, Anlage der Riechgrube 251, des Gehörbläschens 251, der Urwirbel und Chorda dorsalis 252, des Herzens und Herzbeutels 252, Blutbildung 260, Gefäßbildung 260, Blutkörperchen, erste Entstehung 261, Pigmentzellen, erste Entstehung Beginn der Blutcirculation 266, Anlage der Harnblase 268.
- Osteacanthi, Eier VIII, 417, Zona pellucida 417, Becherzellen im Ei 420.
- Blutbildung X, 196.
- Mundhöhlenscelett XI, Suppl. 166.
- häutiges Labyrinth XIV, 264, Litteratur, makroskopische Beschreibung 269, Utriculus 271, Epithel 272, Recessus Utriculi 273, Macula Utriculi 274, Basalzelle 274, 302, Fadenzelle 275, 302, Cylinderepithel 276, 302, N. acusticus, Verlauf 278, Bau 279, Portio cochlearis 278, Endigung in Fadenzellen 280, Lapillus, Otolith des Utriculus 283, Membrana tectoria der Macula Utriculi 284, Appendix Utriculi 284, Ampullen 285, Epithel 286, Planum semilunare 286, Cristae acusticae, Epithel 289, Nervenendausbereitung 288, Cuticularmembran 290, Cupula terminalis, Bau und Bedeutung 290, 291, Bogengänge 292, 293, Verlauf, Grösse, Bau, Epithel 293, Sacculus 294, Macula Sacculi 295, Sagitta, Otolith der Macula Sacculi 295, Lagena 276, Macula Lagena 296, Asteriscus, Otolith 296.
- Thymus XIV, 348.
- Eierstock XV, 404, Keimepithel 405, Primordialeier 405, Pflügersche Schläuche 405, Follikel-epithel 406, Dotter und Nebendotter 406, Keimbläschen 407, Dotterhaut 407.
- Würfelzellen der Pleura- und Peritonealhöhle XVI, 526.
- Seitenorgane XVIII, 364, 370.
- Zonula ciliaris XIX, 167, Accommodation 167, Lig. quadratum 168.
- Blutbildung auf Dottersack XIX, 144.
- Nervenendigung in quergestreiften Muskeln XIX, 342.
- Osteoblasten I, 356, Abstammung, Zusammenhang mit Myeloplaxen 362, Neubildung 364, aus Zellen des jungen Markgewebes, als Bildungsmaterial für Knochengrundsubstanz 357, 363, 366 und für zackige Knochenkörperchen 366.
- Osteoblasten bei Vögeln, Werth XII, 248.
- der Hautknochen von *Dacypus novemcinctus* XIII, 254, Ursprung 255, Betheiligung an der Knochengrundsubstanz 255.
- Entstehung bei Ossification der Batrachier XIX, 11, 23, 40.
- Osteoblastenschicht im Gegensatz zur Odontoblastenschicht der Amphibien XI, Suppl. 64.
- Ostien- u. Verschlussapparate des Rückengefässes der Insecten IX, 146.
- Ostium pharyngeum Laryngis XI, 498, Schleimhaut 500, Epithel 500, Drüse 500, 503, 506, Gefässverlauf 500, 503.
- tracheale Laryngis XI, 512, Schleimhaut, Gefässverlauf 513.
- Ostoklasten, Bedeutung bei normaler Resorption des Knochengewebes XI, 259.
- Vergleich mit den vielkernigen Zellen bei Resorption der Zähne der Amphibien XI, Suppl. 82, bei Umwandlung des Embryonalsecletts der Mundhöhle der Urodelen in das bleibende — 114.
- Vorkommen und Bedeutung XII, 281.
- Umwandlung im Knochenmark XVI, 618, Zusammenhang mit dem Knochenwachsthum 621.
- Ostrea, Kiemenleiste XI, 552.
- *edulis*, feiner Bau der Muskelfaser V, 230.
- structurlose Membran der Kieme mit Stäbchen XIII, 590.
- Otocysten, aciliöse, bei Ptychoptera contaminata XVI, 48.
- Otolith, Verhalten beim Menschen III, 127.
- des häutigen Labyrinths der Knochenfische, der Macula Utriculi XIV, 283, der Macula Sacculi 295 und der Lagena 296.
- des häutigen Labyrinths der Batrachier XVII, 522, des Sacculus 526.
- bei Ganoiden XVIII, 498.
- der Macula acustica Utriculi des häutigen Labyrinths der Chelonii XX, 313.
- Otolithensäckchen bei *Cunina Köllikeri* I, 144.

- Ovarium, Stroma des foetalen, menschlichen I, 155, Acinus 157.
- der Katze, Kornzellen, ihr Verhältniss zu den Blutgefässen I, 165.
- der Kuh, Hilusstroma I, 168, Parenchym 173, Lymphgefässe 199.
- Abschnürung Graaffscher Follikel V, 446, Ursprung der Membrana granulosa 449.
- von *Ascidia canina* VI, 119.
- der Batrachier, Wachstum und definitiver Bau XV, 394, Pflügersche Schläuche 395, Eifollikelbildung 395, Keimepithelinseln 397, Primordialfollikel 398, Follikelepithel 399, Dotterbildung 399.
- bei *Porcellio scaber* XVII, 128.
- Morphologie des — XIX, 442, 492.
- Follikelepithel der Säuger, Beziehung zur Eibildung XIX, 464, Kornzellen 464.
- Verbindung der Pflügerschen Schläuche mit dem Oberflächenepithel XIX, 465, Primordialeier 466, Primordialfollikel 468, Entwicklung beim Hund 470, Katze 471, Mensch 471, Granulosazellen und Eizelle, Ernährung und Wachstum 469.
- *Corpus luteum*, Bildung und Rückbildung XIX, 449, Granulosazellen, Uebergang in Luteinzellen 501, Veränderung der Membrana Folliculi 501, Lutein, Pigment, Ursprung 505.
- Ovarialei der Echinodermen, Kenntniss XX, 10, radiäre Anordnung 11, Wesen der Eikerne 10.
- Ovis, Entstehung der Niere I, 232, beim Embryo II, 1, Keimfleck II, 57, Entwicklung der Retina II, 245, Entwicklung der Purkinjeschen Fäden IV, 40, Haarbildung beim Embryo IV, 277, im extrauterinen Leben IV, 287, Mark sekundärer Haare 309, Ciliarmuskel IV, 365, Papillen der Zunge VI, 239, 248, Papilla vallata 249, becherförmige Organe der Zunge 249, Augenmuskel, Beziehung zum Nerven IX, 36 und Fasertheilung 44, elastisches Gewebe im Ohrknorpel 94.
- aries, Spermatogenese XV, 291, Hodenkanälchen 291.
- Oxalsäure zur Untersuchung der Grosshirnrinde III, 452.
- zur Untersuchung des Ciliarmuskels IV, 368, Untersuchung der Entstehung der Nervenfasern im Gehirn mit — 499.
- Oxalsäure, Einwirkung auf elastische Fasern des Lig. Nuchae beim Ochs XVI, 24, auf Elastin 31.
- Oxyhämoglobin, Verhalten im monochromatischen Lichte II, 96, Probe mit demselben für das Aufhören der Flimmerbewegung nach Abschluss von Sauerstoff 374.
- Oxytricha *Wrzesniowkii* XVI, 162, Bau, Fundort 163.
- Pacinische Körperchen IX, 365, Bau und Scheiden, Ursprung 368, Verlauf der Nerven 368, Ligamentum intercapsulare, Wesen 369, Terminalfaser, Bau 369, Endknospen 371.
- Nervenendigung XVII, 374, 380.
- Palaeomon, Muskel, Bau IX, 519, Nerveneintritt und Endigung 519.
- Palatins transitaires bei Urodelen XI, Suppl. 123.
- Palatinum, erste Anlage bei Anuren XI, Suppl. 137, Erklärung für die Bildung des — 146.
- Anlage bei Urodelen XI, Suppl. 105, Betheiligung der Ersatzleiste 107, Umwandlung 115
- Palmella prodigiosa III, 28.
- Palmellaceae, Verhalten der Schwärmer I, 207.
- einiges über die Entwicklung VI, 421, Verwandtschaft mit *Cryptomonas ovata* 424 und *Vacuolaria virescens* 426.
- Paludina, Entwicklung der Augenlinse II, 409.
- impura, Gehirn und Commissuren VII, 207, Gehörorgan 210.
- vivipara, Gehörorgan VII, 210.
- Vergleich mit Leberzellen-Anlage bei *Fusus* sp. XIII, 140.
- Embolie bei der Entwicklung XIII, 156, Leberzellen, Ursprung 161.
- Palythoa, parasitischer Polyp auf *Hyalonema* III, 208, andere Deutung 213.
- Pampholyxophrys — Hyalolampe.
- punicea — — fenestrata.
- Pancreas, Endigung der Absonderungsnerven V, 199, Membrana propria, Bau und Untersuchung 200.
- Bindsbstanz V, 348, feinerer Bau 404, Untersuchungsmethode

- 405, Verästlung und Ursprung der Drüsengänge 406, centroacinäre Zelle 409 und Beziehung zu den Ausführungsgängen.
- Pancreas**, Drüsen vom Bau des — im Duodenum des Kaninchens VIII, 93.
- Anfänge der Speichelgänge in den Alveolen VIII, 484, beim Kaninchen 484, Frosch 486, Bau der Alveolen 488, centroacinäre Zelle 488, Beziehung der Ausführungsgänge zu den Alveolen 489, Membrana propria der Alveolen und Beziehung zu den Zellen der Ausführungsgänge und centroacinären Zellen 490, Wandungen der Speichelcapillaren 497.
- Plasmazellen XIII, 276.
- vom Frosch, Behandlung mit Ueberosmiumsäure XIII, 752, farblose Blutkörperchen, Veränderung 753.
- Anlage bei der Unke IX, 412.
- Pantoffelthierchen** — *Paramaecium*.
- Panzer** von *Dacypus novemcinctus* XIII, 250.
- Panzereidechse** — *Lacerta*.
- Panzerfisch** — *Loricaria*.
- Panzerkrebs** — *Locustina*.
- Panzermonade** — *Cryptomonas*.
- Papillae** der Cutis der Amphibien XII, 152, mit Tastkörperchen bei *Bombinator igneus* 152 und *Bufo vulgaris* 153, ohne Tastkörperchen 154, bei *Bombinator igneus* 154, *Rana* 155, *Hyla* 155, *Salamandrina perspicillata* 155, mit Drüsenöffnungen an der Kloake von *Salamandrina* 157, aus Blutcapillaren bei *Menopoma giganteum* 158.
- dauernde, der Feder vom Piguin XIII, 257.
- der Daumenwarze des Frosches, nervöse Zellen XIX, 526.
- der Epidermis des Laufes des Hühnchens XIII, 248, bei *Meleagris gallopavo* 248.
- *foliatae*, beim Menschen VI, 247, Kaninchen 251, Deckzellen 254, Stäbchenzellen 254, 243.
- der Zunge beim Menschen, Lage VIII, 456, Pferd 457, Hund 457, Epithelzellen 458, Geschmackszellen 459.
- *fungiformes* des Kalbes IV, 107, Anordnung secundärer Papillen 157, Schmeckbecher auf denselben 183.
- Papillae** des Haares, Anlage IV, 274, 301.
- des Haares, Uebergang in Haarbalsgscheide XV, 57.
- der Kehlkopfschleimhaut, Beziehung zum subepithelialen Gefäßnetz VII, 173.
- der Maulwurfschnauze, Tastkegel VII, 183, Stachelzellen der Schleimschicht 189.
- der Mundhöhle von *Amphioxus lanceolatus* XII, 308.
- der Mundhöhle von Froschlurven, Anordnung VI, 408, feinerer Bau, Untersuchungsmethode 413, Nervenfasern 414 und Endigung, Epithel 415, Stützzellen der becherförmigen Organe 416.
- des Oesophagus der Teleostier XIII, 662.
- der Niere der Säugethiere, Bildung XVI, 516.
- *Retzii* des häutigen Labyrinths der *Chelonii* XX, 353, *Hydrosaurii*, *Ophidia* 337, *Saurii* 342.
- *secundäre*, Vertheilung auf *Pap. vallatae* und *fungiformes* IV, 157.
- *vallatae*, Epithel III, 158.
- der Zunge, Schmeckbecher III, 505, 508, IV, 161.
- des Kalbes IV, 98, Epithel 99, Geschmackszwiebeln und Knospen 101, Stütz- und Deckzellen 102, Geschmackszellen 105, Nerven 106, bei verschiedenen Säugern 155, Reh 156, acinöse Drüsen in — 157, Anordnung secundärer Papillen 157, Epithel 158, Pflasterepithelien 159, Basalzelle 159, Schmeckbecher 161, 163, Nervenverlauf 175, Remacksche Fasern 177, 179, Vorkommen auf den *Pap. fungiformes* 183.
- Bau beim Menschen VI, 242, Stäbchenzelle 243, Deckzelle 243, bei Wiederkäuern 248, Rind 248, Schaf 249, Schwein 249, Pferd 249, Igel 249, Ratte 255.
- der Zunge, verästelte Pigmentzellen im Epithel VI, 237, beim Menschen 239, 242, Rind und Schaf 239, 248, Schwein und Pferd 240, 242, Igel, Hund und Katze 241, 249, Kaninchen 256, Eichhorn 256, Ratte 241, 250, 255.
- Paraffin**, rein und gelöst, zur Prüfung des heizbaren Objectisches I, 6.

- Paramaecium aurelia*, contractile Behälter II, 354, 362, Wirkung des electricischen Stromes III, 366.
 — Beobachtungen über den Austritt von Trichocysten V, 44.
 — Conjugation IX, 661, Samenkapsel 664, 665, Nucleus, Veränderungen 665, sogenannte Eier 666.
 — colpoda, Conjugation IX, 667, Samenkapsel 667.
Paramylonähnliche Körper bei *Bornetia secundiflora* III, 25.
Parasiten auf *Phreoryctes Menkeana* I, 290, auf *Florideen* 39. III, 42, *Aglaophyllum ocellatum* 41, *Antithamnion plumula* 41.
Parasphenoid der Schädelbasis der Amphibien XI. Suppl. 23, bezähnt bei *Plethodon glutinosus* 23.
 — erste Anlage bei Anuren XI, Suppl. 137.
 — Entwicklung bei Urodelen XI, Suppl. 111.
Parenchym des Eierstocks der Kuh, *Zona* I, 173.
 — der Milz VI, 568, intervaskuläres Gewebe 569.
Parenchymmuskeln von *Distomum Westermanni* XIX, 544.
Parotis, Verbindung zwischen Alveolen und Ausführungsgängen VIII, 502, Injectionsversuche 506, mit Berliner Blau und Oel 506.
 — Plasmazellen XIII, 276.
Pars basilaris Cochleae des häutigen Labyrinths der Batrachier XVII, 505, Nervus 530, Crista 531.
 — des häutigen Labyrinths der *Chelonii* XX, 292, Nervus 322, *Crista acustica* 323, der *Hydrosaurii* 340, der *Ophidia* 334, *Crista acustica* 337, der *Saurii* 340.
 — ciliaris Retinae von *Pteroceras* II, 407, Zusammenhang mit Retina 427.
 — initialis Cochleae des häutigen Labyrinths der Batrachier XVII, 513, Nervus 528, Crista 529.
 — nasalis des menschlichen Schlundkopfes, adenoides Gewebe IV, 1, Vorbereitung zur Untersuchung 2.
Passer, Doppelbrechung des Scheitelbeins IX, 678.
Patella zur Untersuchung des hyalinen Knorpels, Saftbahnen XVI, 8.
Pecten, Auge II, 426.
 — Kiemenleiste XI, 554.
Pecten Jacobaeae, structurlose Membran der Kieme XIII, 589, Stäbchen 590.
 — maximus, Muskel und Nerven des Herzens XIV, 60, 62.
Pedes maxillares der *Trichonisciden* XIX, 616, morphologische Deutung 617, bei *Asellus*.
Pediculidae, amphinematistische Stifte der chordotonalen Sinnesorgane XX, 536.
Pediculineae, Fettkörper IX, 178.
Pediculus, Homologie mit den femoralen Chordotonalorganen von *Phthirius* XX, 624.
Pedunculata XIII, 28.
Pedunculus Cerebri, Fortsätze der Ganglienkörper der *Subst. nigra* IV, 493.
Pellucida, Haut des Auges von *Pteroceras* II, 401, 407, Analogon der Cornea 419.
Pelobates-Larven, Anastomosirung der Knorpelzellen des Primordialcranium XI, Suppl. 29.
 — fuscus, Papillen der Mundhöhle VI, 409.
Pelomyxa palustris X, 51, Vorkommen, Bewegung und Bau 52, Kerne 63, Glanzkörper, Bedeutung 65, Entstehung und Vermehrung 66, Weiterentwicklung 67, Stäbchen 69, systematische Stellung 70.
 — XI, 342, Pseudopodien 342, Weichkörper aus Rinde und Marksubstanz 343, mit Stäbchen Glanzkörper 344, Bewegung 344.
Pelomyxidae XIII, 26.
Pelvis renalis, Anlage bei Säugern XVI, 512.
Penes der *Trichonisciden* XIX, 627, Verbindung mit *Vas deferens* 626, bei *Trichoniscus batavus* 631, roseus 632, *Leydigii* 632.
Peneus caramote, Plättchenstruktur der Krystallkörper IV, 17.
Penicillium crustaceum, Kulturversuche auf der Milch II, 71, Umbildung in *Macrosporten* 74, Bildung von Finselzweigen 74, Cultur auf *Faeces* 78 und Erzielung von *Mucor*, Boden für die Entwicklung 84.
 — glaucum, Sporen III, 320.
Penisdrüsenstachel bei *Onchidium* XIV, 122.
Pepsin, Bereitung und Beziehung zu Drüsenzellen des Vorderdarms

- bei Amphibien und Reptilien XIV, 194.
- Pepsin, Einwirkung auf elastische Fasern des Lig. Nuchae XVI, 17, beim Ochs 20, Kalb 26, Rind 30, Elastin 32.
- im Pylorustheil des Magens XVI, 534, Schwankung des Gehaltes 539.
- Pepsinbereitung im Magen des Frosches, Nachweis XV, 125.
- Pepsinbildner der Magendrüsen XV, 124.
- Pepsingehalt der Drüsen, colorimetrische Messung XV, 129.
- Pepsinlösung, dialysirt, Verhalten gegen Ueberosmiumsäure XV, 119.
- Perca fluviatilis*, Herz- und Herzbeutelanlage IV, 256.
- — freie Cestodenname von — VIII, 535.
- — Labdrüsenepithel XIII, 668. Schleimhaut des Oesophagus 662.
- — häutiges Labyrinth XIV, 300.
- Percacei*, Doppelbrechung der Hornschuppen XI, 672.
- Perception des Lichtes III, 241, der Farbe 248, bedingt durch Zapfen und Stäbchen und Entstehung stehender Wellen 252 — der Farbe, bedingt durch die Aussenglieder 257.
- Perennibranchiata*, Quadratknorpel des Primordialcranium XI Suppl. 10.
- Anordnung der Zähne auf den Knochen der Mundhöhle XI, Suppl. 36.
- Pericardialgewebe des Pericardialseptum der Insecten XI, 171, Morphologie 171.
- Pericardialhöhle, Entstehung bei *Bufo cinereus* VII, 160.
- Pericardialseptum der Insecten IX, 152, Litteratur, Anatomie und Physiologie 155, Histologie 160, Muskel 160, Untersuchungsmethode 162, Massverhältnisse 163, Bindegewebe 164, 166, Sehngewebe, streifiges 164, Verhalten gegen Reagentien 166, Zellen 167, elastisches Fasernetz und Beziehung zur Pericardialzelle 167, Bindegewebe, reticuläres 170, Pericardialgewebe 171, Morphologie, Pericardialzelle 172, Bedeutung 173, 182, Form 173, Kern 175, Pigment 174, Grösse 174.
- Pericarditis, Veränderung der Bindegewebsgrundsubstanz XVIII, 141.
- Pericardium, Anlage bei *Pyrosoma* (*Cyathozoid*) XI, 615.
- Perichorioidealraum, Zusammenhang mit dem Tenonschen Raum VI, 37, 41, dem Arachnoidealraum 44 und Lymphgefäße 28, Injection 29, Ausdehnung 31, Beziehung zu den Venae vorticosae 34.
- Perilymphatisches Capillarnetz XVIII, 345.
- Perilymphatischer Raum, Lagenverhältnisse im Ohre des Menschen und Beziehung zur Schallfortpflanzung III, 132.
- Perimysium, Veränderung bei Muskelverletzung IV, 330.
- int. bei Typhus X, 316, amöboide Körper in —.
- Perineuralscheide der Nervenfasern XIII, 434.
- Perineurium, Hülle der Nervenfasern des sympathischen Gränzstranges II, 19.
- Injection IX, 343.
- Periost der Lamina spiralis ossea der Gehörschnecke VIII, 150.
- des Schädels vom Kaninchen, Corrosion XVI, 486.
- des knöchernen Labyrinths der Batrachier XVII, 492.
- des Labyrinths der *Chelonii* XX, 279.
- Periostlamelle, primäre XI, 238.
- Perisarc bei *Spongiocola fistularis* XIII, 802, Beziehung zum Schwammkörper 803.
- Peristaltik, zur Theorie XV, 255, des Ureter vom Kaninchen 256, Ganglienzellen, Betheiligung 256, Faserzellen der Muscularis 257.
- Perithoracalräume, Anlage bei *Pyrosoma* (*Cyathozoid*) XI, 612.
- Perithoracalrohr bei *Pyrosoma* (*Stolo*) Anlage XI, 600, 603.
- Peritoneum, Verhalten der Leber nach Injection XI, 91.
- von *Amphioxus lanceolatus* XII, 321.
- Perlenthierchen — Glaucoma.
- Perlmutterfalter — *Argynnis*.
- Perophora, Flimmerbewegung V, 256, an den Kiemenfalten.
- Petalopus diffluens* XIII, 27.
- Petitischer Raum bei Vertebraten XIX, 614.
- Petromyzon, Horngerüst V, 310.

- Petromyzon, Hüllen der Geschlechtsstoffe, Vergleich der männlichen und weiblichen XVIII, 47.
- Bau des Rückenmarks II, 525, graue Substanz 525, weisse 529, Bindegewebe 525, Centralcanal 525, Nervenzellen 526, 529.
- Oberhaut III, 162, Körnerzellen 162.
- fluviatilis, Retina XII, 751, Stäbchen und Zapfen 754, Membrana perforata 754.
- — Spiralklappe des Darms XIII, 675, 676.
- — Schleimhaut des Oesophagus, Flimmerepithel XIII, 656 und des Enddarmes 688.
- Planeri, Schleimhaut des Oesophagus XIII, 662.
- Planeri u. fluviatilis, Chorda XV, 317, skeletogene Schicht 318, Sehnenhaut 319, knorpelige Bögen der vorderen Schwanzgegend 324, Spinalnerven 332, Ursprung vom Rückenmark 333.
- Petromyzoneten, Schleimhaut des Oesophagus, Flimmerepithel XIII, 656.
- Peyersche Plaques der Schleimhaut des Mitteldarms von Myxine und Ammocetes XIII, 676.
- Pfeiler, Cortische, des acustischen Endapparates der Säuger XIII, 503, Pigmentirung.
- Pferd — Equus caballus.
- Pflanzen, indirecte Kerntheilung XVIII, 176.
- Pflanzenfresser, Labdrüsen des Magens VI, 391, Zellen, Hauptzellen 391.
- Pflanzenläuse — Aphidina.
- Pflügersche Schläuche, Verbindung mit Oberflächenepithel XIX, 465.
- bei Batrachiern XV, 395, Knochenfischen 405, Triton und Salamandern 403.
- Pflugscharbein — Vomer.
- Phaeophyll, Farbstoff der braunen Algen III, 43.
- Phalaena lubricipes, Nerven der Hautdrüse XII, 543.
- Phalangen, Ossification bei Batrachiern XIX, 24.
- Phallusia canina, Entwicklung des Eies V, 459, Bildung des Darm-schlauches 460, des Nervensystems 461, Herzens 462.
- Phallusia mammillata, Bildung eines nierenartigen Organs VIII, 378.
- Pharynx XI, 503, 512, 514, Beziehung zum Vestibulum Laryngis, Schleimhaut 505, Drüse 505 beim Menschen.
- bei Cocciden XIII, 47.
- Ganglienzellen des — bei Distomum Westermanni XIX, 547, innere Aequatorialschicht oder Radiärschicht 549, äussere 550, Meridionalschicht 550.
- Phascolosoma, Integument X, 127.
- Kerne der rothen Blutkörperchen XIV, 392, 396.
- elongatum, feiner Bau der Muskelfaser V, 221, Blut 249.
- Philoscia, Farbenwechsel, Beziehung zu Nerven XIX, 593.
- Pholansterium consociatum VI, 429, Entwicklung und Vermehrung.
- intestinum VI, 430, Bau u. Entwicklung,
- Pholas, Kiemenleiste XI, 551.
- Phosphorescenz bei Gymnodactylus gekoides XII, 221.
- Phratora vitellina, doppelschwänzige Samenkörper X, 503.
- Phreoryctes Menkeana, über I, 249, Gattung der Anneliden, Gestalt 251, Stachelborsten 251, Lebensweise 253, Nahrung 254, äussere Bedeckungen 255, Cuticula, Matrix derselben 256, Hautdrüsen 257, Muskelsystem 261, Nervensystem 265, Neurilemma der Nervenfasern 268, Verdauungsorgane 269, Darmepithel 271, Leberzelle 273, Blutgefässsystem 275, Bauchgefäss 274, Speicheldrüse 274, Rückengefäss 276, Schleifencanäle 283, Eileiter 285, Fortpflanzungsorgane 289, Samentasche 289, Hoden 289, Parasiten 290.
- Phryganea, Adventicia des Rücken-gefässes IX, 141.
- Fettkörper, Bedeutung IX, 179.
- striata, thermische Versuche zur Untersuchung der Herzschläge IX, 186.
- Prygenidae, Tracheen in der Nähe des Herzens IX, 181.
- Phthirius, Homologie mit den femoralen Chordotonalorganen von Pediculus XX, 624.
- Phycochrom, Farbstoff der Algen III, 7, 56, Eigenschaften 11, Veränderung nach Absterben der Zellen 12.

- Phycobrom, Untersuchung bei *Spirulina versicolor* III, 8.
- Phycobromaceae, zur Physiologie III, 1, Bewohner der heissen Quellen 2, Farbstoff 4, Anwesenheit von Chlorophyll 14, schematische Bemerkungen 27.
- Phycocyan, Farbstoff der Algen III, 6, 56, Untersuchung 15, optische Eigenschaften 17, Fluorescenz 17, chemische Eigenschaften 18.
- Phycocrythin, Farbstoff der Florideen III, 21, 56, chemische Eigenschaften 26, Fluorescenz 27.
- Phyllirhöe bucephala, periphere Ganglienzellen, Aehnlichkeit mit den Tracheenzellen der Leuchtorgane von *Lampyrus splendidula* VIII, 625, 649.
- Phylloclactyllus europaeus, Hautsecret und Fussblätter XII, 221, Bindegewebe der Haut 222.
- Phyllopora, Hüllen der Geschlechtsstoffe, Vergleich der männlichen und weiblichen XVIII, 55.
- Physostomen, Schleimhaut des Oesophagus, Becherzellenepithel XIII, 661.
- Pia mater, Entstehung IV, 519.
- Anlage bei Plagiostomen XV, 496.
- spinalis, Bau 323, Schichten 324.
- Pieris, Cylindergebilde des Rüssels XV, 16.
- brassica, Fettkörper, harnsaure Krystalle in — IX, 178.
- Pierwurm — *Arenicola*.
- Pigment der Retina von *Pterocera* II, 405, der Lungenschnecken, Bedeutung 414.
- der Leber III, 429, bei Salamandrinen und Frosch 434, periodischer Wechsel 436.
- der Haare IV, 301.
- der Haut der Mollusken V, Suppl. 51.
- der Schnauzendrüse von *Tropidonotus natrix* IX, 603.
- des Corium einheimischer Ophidier IX, 774, Vertheilung bei *Vipera berus* 774, *Coluber carbonarius* 775, *Tropidonotus natrix* 775, Beziehung der Zellen zum Nerven 779.
- der Ganglienkörper der Spinalganglien XI, 160.
- der Epidermis von Amphibien XII, 147.
- Pigment der Cutis der Amphibien XII, Farbe 175, Vertheilung 178, Farbenwechsel 179.
- der Drüsen der Amphibienhaut XII, 202.
- Auftreten in den Schuppen der Reptilien und anderer Wirbelthiere XIII, 237.
- des Gallertgewebes bei Anodonta, *Arca Noae*, *Unio margaritifer* XIII, 568, der Zellen bei Acephalen 570, der Rundzellen im Gallertgewebe des rothbraunen Organs bei Anodonta, *Mytilus galloprovincialis*, *Arca pillosa* 571, des Gallertgewebes in den Organen des Eingeweidetasches der Acephalen 581.
- der Larve von *Ascetta clathrus* XIV, 255.
- Auftreten bei Tasthaaren XV, 52.
- der Luteinzellen des Eierstocks, Ursprung XIX, 505.
- des Gesichtsorgans bei Trichonisciden XIX, 601.
- Pigmentaufnahme der Zellen der Retina XV, 561.
- Pigmentirung der Corpora lutea des Eierstocks der Kuh I, 189, 195.
- der Zwillingszapfen der Retina beim Frosch III, 233, bei *Lacerta agilis* und dem Huhn 233.
- der Leber, Wechsel besonders bei Amphibien III, 429, Vertheilung bei Tritonen und Salamandern 434, periodisches Auftreten, Ursachen 435, bei Fröschen und Salamandern.
- der Schlundkopfmuskulatur von *Chiton squamosus* V, Suppl. 36, der Gasteropoden 36.
- der Pericardialzellen des Pericardialseptum der Insecten IX, 174.
- des Corium des Horns von *Vipera ammodytes* IX, 789.
- der Muskulatur der Infusionsthiere XII, 58.
- der Cortischen Pfeiler des acustischen Endapparates der Säuger XIII, 503.
- der Thymus, Auftreten XIV, 371.
- der Ganglienzellen bei Gasteropoden XVI, 75 und Elatobranchiern 95.
- der Corpora lutea XIX, 508.
- der Matrixzellen der Hautdeckencuticula der Trichonisciden XIX, 583.
- von *Haplophthalmus Mengii* XIX, 585.

- Pigmentirung der Hautdecke von *Trichoniscus batavus* XIX, 586, *Tr. Leydigii* 585, *Tr. pusillus* 585 und *roseus* 585.
- Pigmentkugeln der Zapfen der Retina bei Vögeln II, 202, in der Fovea centralis des Falken 206, im gelben Fleck des Menschen 223.
— der Retina der Saurier XII, 433.
- Pigmentschicht des Auges III, 377.
— der Retina VIII, 84, des Frosches, der Vögel 84, der Säuger 84, Verhalten der Stäbchen und Zapfen 86, bei Amphibien 88.
- Pigmentumhüllung des N. opticus des Scolopendridenauges XVIII, 440.
- Pigmentvertheilung in den Haaren des Menschen IV, 301.
- Pigmentzellenkerne, Bau XVI, 311.
- Pigmentzone, parietale, der Retina des unioornealen Tracheaten, besonders des Arachnoiden- und Myriopodenauges XVII, 83.
- Piguin, Federn XIII, 256, Bau des Schaftes 256, Fehlen der Markzellen 257, Spuhle 257, Wurzelscheide der Hauttasche, äussere und innere 257, dauernde Papille 257, Homologie mit Schuppen 257.
- Pikrinsäure, Einwirkung auf den Zellkern XVI, 328.
— auf Myelin XIX, 202, Nervenmark 203.
- Pikrinsaure Salze auf den Zellkern, Einwirkung XVI, 333.
- Picrocarmin zur Untersuchung der Schichten der Oberhaut XII, 667.
— Anwendung bei der Entzündungslehre XVIII, 130.
- Pilgermuschel — *Pecten maximus*.
Pilzsporen, Culturversuche II, 69.
- Pinaciophora fluvialis*, Kieselerüst XI, 26.
- Pinacocystis rubicunda* XI, Suppl. 209, 211, Sclett, Weichkörper 210, Pseudopodien 210.
- Pinna*, Kiemenleiste XI, 553.
— *nobilis*, Gefässendothelien XIII, 561.
- Pinselschimmel — *Penicillium*.
Pinselsporen, Umbildung in Gliederpflanzen II, 82, 84.
- Pinselszweige, Bildung bei Kulturversuchen von *Penicillium crustaceum* II, 74, Boden für die Bildung 82.
- Pintinnus Ursowi* XVI, Bau 160, Fundort 162.
- Pipa dorsigera*, Cuticularbildung V, 297.
— Epitrichialschicht der Haut XIII, 215.
- Pisces, Entwicklung der Samenkörper I, 410.
— Entwicklung des Urnierenganges II, 483.
— Epithel der *Maculae acusticae* III, 120.
— Oberhaut III, 138, Riff- und Stachelzellen 138, Becherzellen 144, Secretion 151, Geschmackszellen 153, Hauttalgdrüsen 161, Körnerzellen 162, Kolben 154, Function 160, Pigmentzellen, verästelte 165, Mund- und Rachenhöhlenepithel 169.
— Zwillingszapfen der Retina III, 232.
— Gallencapillaren, Verlauf III, 426.
— Cuticularbildung V, 301, 310.
— Analogie mit dem Keime der Vögel V, 357.
— Sinnesorgane der Seitenlinie VI, 62.
— Seitenorgane VI, 62, Epithel 65, Haare 66.
— Seitenorgane, Anatomie XVII, 95, 458, XVIII, 364.
— Tastapparat VI, 86.
— Bildung der Fettzelle im subcutanen Gewebe VII, 55.
— Wanderzellen der Bauchfellplatte, Beziehung zur Fettbildung VII, 56.
— Dotterhaut VIII, 401.
— Nerven der Hornhaut IX, 250, Ursprung und Verlauf, Nervenendigung 249.
— motorische Nervenendigung IX, 550, 577.
— Entwicklungsgeschichte des Keimes IX, 679.
— embryonale Anlage der Augenlinse XI, 385.
— Doppelbrechung der Hornschuppen XI, 667, der Knochenschuppen 674.
— Organe des VI. Sinnes XII, 170.
— Entwicklung der Haut, Epidermis, zweischichtig, Hornblatt und Nervenblatt XIII, 229.
— Nervenendigung im quergestreiften Muskel XIII, 379.
— Schleimhaut des Darmes XIII,

- 651, Untersuchungsmethode 652, Objecte 653, Litteratur 654.
- Pisces**, Schleimhaut des Vorderdarms XIII, 655, des Oesophagus 655, Epithel 656, Becherzellen 656, Mündung des Gallenganges am Ende des Oesophagus 662, des Magens 663, Epithel 663, 666, Schleimmetamorphose 666, Vergleich mit Becherzellen, Labdrüsen 663, Anordnung 665, Blut- und Lymphgefäße 665, Kittsubstanz 667, Epithel der Labdrüsen 667, Labzellen 668, Differenzirung in Haupt- und Belegzellen 668, Magenblindsack 671, Ductus pneumaticus, Vorkommen 672, Bindegewebe des Magens 671, Valvula Pylori 671, solitäre Föllikel 671, Schaltstück 671, quergestreifte Muskelfaser 672, Appendices pyloricae 672, Bau, Epithel 672, Bedeutung 690, Zwischendarm, Epithel 675, 676, 680, Mitteldarm 674, Spiralklappe 675, Peyersche Plaques 676, Faltenbildung 681, Zotten 682, Epithel 684, Blutgefäße des Darms 683, Bindegewebe der Schleimhaut des Darms 682, wandungslose Lymphräume 682, 683, Enddarm 688, Magenschleimdrüsen 690, Phylogenie des Darmrohres 698.
- Thymus, Lage XIV, 346, Bau des primären Lappchens 353.
- Anatomie der Retina XIV, 439.
- Vergleich mit dem häutigen Labyrinth der Amphibien XVII, 539.
- Gefäße der Retina XVIII, 480.
- Leuchtorgane XIX, 147.
- Fontanascher Raum XIX, 173, Schlemmscher Canal 175.
- Placenta**, Bindegewebszelle XI, 192.
- Blutbildung am Rande XIII, 483.
- Placopus ruber** XI, 348, Pseudopodien 349, 351, Weichkörper 349, mit Kern und Vacuolen 350.
- Plagiophrys** X, Suppl. 112, 115, XI, 126.
- *cylindrica* XI, 126.
- *sacciformis* X, Suppl. 114.
- 116, Schale, Körper mit Kern 115, Pseudopodien 115, Grösse 115.
- *scutiformis* X, Suppl. 115, 117.
- Plagiostomen**, Flimmerzellen der Niere XIV, 390.
- XV, 461, Wirbelsaite, Wirbelsäule und Anhänge 461, Cuticularschicht 467, äussere, zellige Chordascheide 471, Chordascheide, Umwandlung 474, Wirbelanlage 474, 492, Gewebe der Chordascheide 477, 492, der Innenzone 478, Zellen 478, der Intervertebrallringe 479, 490, 492, Intervertebralligamente 479, Wirbelkörper, Formverhältnisse 482, bedingt durch Wirbelbögen 488, secundäre Verkalkungen 488, 482, secundäre Wirbelkörper 491, 492, Wirbelbögen, obere 500, untere 503 und Rippen 495, 507, Formbedingung für die Entstehung 511, Scelettschicht 496, Anlage der Pia mater 496, der Dura mater 499, obere Schlusstücke 501, Kaudalcanal 506, Hämalfortsätze 506.
- Rückbildung der Wirbelsäule XV, 528.
- Hüllen der Geschlechtsstoffe, Vergleich der männlichen und weiblichen XVIII, 47.
- Plana semilunata** des Gehörgangs der Ganoiden XVIII, 490, 495.
- Planaria polychroa**, Schmidt, Auge XX, 162, Nebenaugel 164.
- Planorbis corneus**, Farbe des Blutes I, 67.
- Ohrcanal oder Gehörnerv mit Epithel VII, 217.
- Planum semilunare** des häutigen Labyrinths der Knochenfische XIV, 286.
- *semilunatum* des häutigen Labyrinths des Chelonii XX, 315.
- Platessa vulgaris**, Entwicklung des Seitencanalsystems VI, 69.
- Platoum parvum** XI, 115, Schale 115, Weichkörper 116.
- Plattbauch** — *Libellula depressa*.
- Platten**, doppelbrechende, untersucht mit dem Amicischen Prisma VII, 230, Kalkspath 230, Quarz 231, Glimmer 231, Gyps 231, Zucker 232.
- elektrische, von Torpedo X, 101, Structur, Untersuchungsmethode 104, Nervenfasern erster Ordnung, Verlauf 106, und zweiter Ordnung 106, Kerne zw. denselben, Bedeutung 107, Terminalnetz 108, Structur 110, Beziehung zu Terminalnetzen 117, Schichtung und deren Werth 114, 119.
- bei Malapterurus, Structur X, 242, Nervenendigung 247, Vergleich mit Torpedo 248, Beziehung des Nerveneintritts zur Art der Elektrizität 249.
- Nobertsche, I, 86, 93, 305.
- Plattstern** — *Asteriscus*.

- Plattwurm — Planaria.
 —, schwarzer — *Polycelis nigra*.
Platyceles, porifere Vorkommnisse der Chordotonalorgane auf den Vorderflügeln XX, 601.
 — *grisea*, Muscularis des Rückengefäßes IX, 136, 137, Kerne 139.
Platydaetylus aegyptiacus, Hautknochen XII, 195.
 — *fascicularis*, Schleifenbildung der Gefäße im Gehirn und Rückenmark XV, 63.
 — *guttatus*, Epitrichialschicht der Haut XIII, 211, zellige Zusammensetzung 212, Cutis 223, Bindegewebe, obere Grenzschicht mit eigenthümlichen Gebilden 223, Lymphraum 224.
 — *mauritanicus*, Hautknochen XII, 194.
 —, Hautsecret und Fussblätter XII, 220.
Platyelminthen, Grund für ihre systematische Stellung V, 279.
Plebothamnium corymbosum, Farbstoffvertheilung III, 22.
Plectognathen, Schleimhaut des Oesophagus XIII, 661.
Plesiochelys solodurensis, Verhalten des Rückenschildes in dem Jurassischen System XV, 375.
Plesiosaurus, Verhalten der Knochen in der Kreide XV, 375.
Plethodon glutinosus, Rückbildung des Os palatinum und Gaumenbogens XI, Suppl. 20, Parasphenoid, bezähnt, 23, Anordnung der Zähne auf den Knochen der Mundhöhle 36.
Pleuralbogen der Ganoiden XV, 459.
Pleuronectes solea, Faltenbildung der Schleimhaut des Mitteldarms XIII, 681.
Pleuroperitonealhöhle, Würfelzellen bei Embryonen von Batrachiern und Knochenfischen XVI, 526.
Pleurophrys XI, 122.
 — *amphitrematoides* XI, 123.
 — *angulata*, Bau XVI, 192, Fundort 193.
 — *compressa* XI, 125.
 — *fulva*, Conjugationsvorgänge XI, 124.
 — *lageniformis* XI, 135.
 — *sphaerica* X, Suppl. 135, 137, Schale 136, Pseudopodien 136.
Pleurosigma, Untersuchungen über die Structur der Zellwand VI, 472, Querschnitte, Untersuchungs-
 thode 473, Polarisationserscheinungen 503, Doppelbrechung bei Verlust von Wasser, ohne Verlust von Wasser, bedingt durch Molecularanordnung 506, Fähigkeit, natürliches Licht theilweise zu polarisiren 506.
Pleurosigma angulatum, Panzerzeichnung I, 86, 307, innere Organisation 382, farbige Bänder und Oelkugeln im Innern 384, Bewegung 385, Sechsecke 291.
 — VI, 474, Structur, Rückenfurche 478, porenlose Streifen 479, VI, 480, 485, Pigment 501.
 — Erklärung der Zeichnungen IX, 453.
 — Mikrophotographie XVIII, 268.
 — *balticum*, Körnchenbewegung I, 392.
 — VI, 481, Nebenrippe 481, Mittelrippe 488.
 — VI, 505, Polarisationserscheinungen.
 — Flensburger VI, 474, Structur.
 — Polarisationserscheinungen VI, 505.
 — französische, Structur VI, 480, Polarisationserscheinungen 504.
Plexus arteriosus ciliaris annuliformis des Cephalopodenauges XVI, 235.
 — Auerbachscher, XI, 480, Verbindung mit Meissnerschem Plexus submucosus 482.
 — chorioideus Ventriculi der Urodelen XX, 89.
 — submucosus, Meissnerscher XI, 482, Verbindung mit Auerbachschem Plexus.
 — venosus triangularis medius der Urodelen XX, 89.
Plexusbildungen der Iris XVII, 326.
Podophrya conipes, Bau XVI, 173, Stiel 174, Fundort 176.
 — *cylindrica*, Bau XVI, 172, Fundort 173.
 — *fixa*, Theilung V, 160.
Podostoma filigerum XIII, 26.
 Polarisationserscheinungen bei Diatomeen VI, 503, bei *Pleurosigma* 503.
 Polarisationsmikroskop von Wasserlein V, 287.
 Polarkerne der Spinalganglien des Frosches IV, 132.

- Polarkerne der Ganglienkörper der Spinalganglien XI, 165.
 — der Spinalganglien XVIII, 298.
- Pole der Nervenzellen des sympathischen Gränzstranges II, 29.
- Polycelis nigra*, Auge XX, 170. Doppelaugel 172.
- Polycera quadrilineata*, Embolie bei der Entwicklung XIII, 156.
- Polydesminen, Furchung und Blätterbildung XIV, 13.
- Polydesmus complanatus*, XIV, 14, Mittelblattbildung, Larvenbildung 15.
- Polykrikos Schwartzi* n. sp. IX, 673, Bau, Nesselkapseln 675.
- Polynoe areolata*, Auge XVII, 308.
 — *elegans* XVII, 307.
- Polytypen, parasitische bei *Reniera* XIII, 796.
- Polypterus*, Zwischendarm, Schleimhaut XIII, 680.
 — Wirbelsäule und Anhänge XV, 453, Chorda, obere Bögen 455, untere 456.
 — Gräten XV, 460.
 — Seitenorgane XVIII, 369.
 — bischir, Doppelbrechung der Knochenschuppen XI, 674, 680.
 — XI, Suppl. 183, Deckknochen der Mundhöhle, Beziehung zu Deckknochen des Schädels, Integumentossification, Vorhandensein von Schmelz 185.
 — Schleimhaut des Oesophagus XIII, 660, Flimmerepithel.
- Polyrhizodus radicans*, Verhalten der Knochen im Steinkohlensystem XV, 373.
- Polysiphonia violacea* III, 39, über Samenkörper.
- Polystoma uvella* XVI, Bau 182, Fortpflanzung 183, Fundort 184.
- Polystomella striatopunctata* XIII, 14 Bau, und *strigillata* 15, Verbindungsstränge der Weichkörpersegmente 16, Kern 18.
- Polythalamien X, Suppl. 80.
- Pomphalyxophrys punicea* XI, 18, Rindensubstanz 19, Encystirung mit doppelter Cyste 20.
- Porcellio*, Nerveneintritt und Endigung im quergestreiften Muskel IX, 520.
 — *scaber* XVII, 125, weibliche Genitalöffnung 128, Receptaculum Seminis 128, Ovarium und Oviduct 128, Begattung 129, Befruchtung 131, Frühjahrshäutung 131, Cotyle-
- donenbildung 132, Brutplatten 133, Unfruchtbarkeit 134, Spermatozooiden, Bewegungsfähigkeit 135, Neubildung der Eier 135, Bildung der zweiten Brut ohne Begattung 136, Herbsthäutung 139.
- Porencanälchen im Ohrknorpel IX, Hund 95, Sepia 96, Ochs 96.
 — des unioornealen Tracheaten- und speziell des Arachnoiden- und Myriopodenanges XVII, 60.
- Porencanalsaum des Epithels des Darmes der Teleostier XIII, 684, 685.
- Porenhaut von *Tethya lyncurium* aut. XVII, 152, Plattenepithelzellen.
- Porenmembran bei *Siredon pisciformis* XIII, 774.
- Porichthys porosissimus*, Leuchtorgane XIX, 149.
- Porus genitalis* bei *Distomum Westermanni* XIX, 558.
- Prähistorische Station, Verhalten der Knochen XV, 377, bei *Equus caballus* 377, *Bos taurus* 377, Mensch 377, *Euryapteryx rheides* 378, *Cervus tarandus* 377.
- Präparation, mikroskopische, Instrument für II, 46.
- Präparationsmikroskop XVII, 165.
 — von Zeiss (W.) VI, 234.
- Präretinale Zwischenlamelle des unioornealen Tracheaten-, speziell des Arachnoiden- und Myriopoden-Auges XVII, 64.
- Primitivrinne, Anlage beim Hühneri X, 165, 172.
 — XV, 89, Vorbereitung beim Huhn XX, 189, Anlage 193, 199.
- Primitivstreifen, Auftreten im Embryonalschild von *Gasterosteus* und *Gobius* IV, 231.
 — Bildung und Bedeutung beim Hühneri X, 164, 172, XV, 86, XVI, 562.
- Primordialcranium der Amphibien, Basis mit endochondrostischen Verknöcherungen XI, 7, Litteratur 7, Etmoidaltheil bei *Siredon*, Frosch 8, Orbitalregion 8, Etmoid o. Os en Ceinture, Gürtelring 8, Labyrinthregion 9, Quadratknorpel 9, Os quadratum 10, Os quadrato-jugale bei Perennibranchiaten, *Siredon*, Menobranchien, *Siren lacertina*, Doretremen, Salamandrinen und Anuren 10, Veränderungen durch Vergrößerung des Augapfels 11, (Vergleich

- zwischen Axolotl und Salamandra maculata 11) und durch Rückbildung des Visceralsceletts 11, Occipitalregion 9.
- Primordialcranium der Amphibien, histologische Zusammensetzung XI, Suppl. 29, Knorpel 29, Zellen, Anastomosirung bei den Larven von Pelobates, Knochen 31, Belegknochen, Zusammensetzung 31, Fehlen Haverscher Canäle 32, Pünktchenkreise der Grundsubstanz 32.
- der Urodelen XI, Suppl. 91.
- Primordialeier der Batrachier XV, 392, der Knochenfische 405.
- XIX, 466, Bildung.
- Primordialfollikel bei Batrachiern XV, 397.
- XIX, 648, nachträgliche Entwicklung 470, beim Hund 470, Katze 471, Mensch 471.
- Prisma, Amicisches, zur Untersuchung doppeltbrechender Platten VII, 230.
- Probjecte für Mikroskope IX, 464.
- Processus condyloideus des Unterkiefers, Ossification XII, 267.
- coronoideus des Unterkiefers bei Rana esculenta XI, Suppl. 28.
- dentalis bei Amphibien, Befestigung der Kieferzähne XI, Suppl. 51, Gaumenzähne, Bildung 53 und Einfluss auf die äussere Form der Zähne 55.
- Entstehung bei Urodelen XI, Suppl. 121.
- incisivus der Mandibulae der Trichonisciden XIX, 613.
- Infundibuli Cerebri XI, 420.
- molaris der Mandibulae der Trichonisciden XIX, 613.
- nasalis, Entstehung bei Urodelen XI, Suppl. 119, 121.
- palatinus, Entstehung bei Urodelen XI, Suppl. 121.
- Promyellium, Bildung II, 75.
- Pronucleus femininus und masculinus, Bedeutung XVII, 565, 566.
- Prosobranchier, haartragende Sinneszellen der Oberhaut V, 430.
- Protamoeba Grimmii XVI, 214, Bau.
- Proteus, Leber, centrale pigmentirte Zelleninseln III, 432.
- Vertheilung der Zähne XI, Suppl. 35.
- Proteus, Organe des VI. Sinnes XII, 171.
- anguineus, Modell der rothen Blutkörperchen VIII, 475.
- Knochen des Gaumenbogens XI, Suppl. 16, Vomer und Pterygopalatinum 17.
- Retina XII, 758, Zapfen- und Stäbchenzellen 759.
- intravaginale Nervenetze XIII, 175, 176.
- häutiges Labyrinth XVII, 534, Pars initialis Cochleae 535.
- indirecte Kerntheilung XVIII, 164.
- Protoblasten bei langsamer Atrophie der Fettzellen VII, 346.
- Protomyxa XIII, 28.
- Protoplasma, Temperaturgrenze für Lebensfähigkeit I, 23.
- Einwirkung von Chinin auf Bewegung III, 383.
- der glatten Muskelfaser IV, 398.
- der Fettzelle, Nachweis VII, 370.
- theilungsfähiger Knorpelzellen XVI, 256, Contractilität 258, Aggregatzustand 259, Fadennetz 259, Verhalten bei Karyokinesis 271, Entstehung 290.
- des Zellkernes, Wesen XVI, 358.
- des Eies der Echinodermen, Strahlungen nach Kern- und Zelltheilung XX, 30.
- hyalines der Raphe der Diatomeen I, 392.
- Protoplasmabewegungen bei Diatomeen I, 395.
- Veränderung durch Chinin III, 382.
- Protoplasmafortsatz der Purkinjeschen Zellen der Kleinhirnrinde XIV, 221, bei Säugern 221, Vögeln 222, Frosch 223, Karpfen 224, Endigung 225.
- Protoplasmafüsse, Bedeutung V, 190.
- Protoplasten X, Suppl. 81.
- Protozoen des nördlichen Russland XVI, 153.
- Prüfung des heizbaren Objectisches durch Fett und Paraffin I, 5, durch rothe Blutkörperchen 28.
- Psephodus magnus, Verhalten der Knochen im Steinkohlensystem XV, 373.

- Pseudochlamys patella* X, Suppl. 100, 103, Schale, Körper 101, Fortbewegung 101, Fortpflanzung durch Encystirung, Vergleich mit *Amphizonella flava* 102.
- — — XI, 332, Schale 332, Weichkörper 333, mit Kern und pulsirender Vacuole, Pseudopodien 334.
- Pseudochromatophoren in der Haut der Cephalopoden V, Suppl. 71.
- Pseudoglomerulus, Bildung in der Säugethierniere XVI, 513.
- Pseudolunulä, der Orbitaldrüse XIII, 302.
- Pseudoneuroptera Chordotonalorgane, Verbreitung XX, 552, an den Flügeln 594.
- Pseudopus Palasii, becherförmige Sinnesorgane VIII, 341.
- — — Epitrichialschicht der Haut XIII, 213, neue Hornschicht 218, Stratum lucidum 221, Knochen unter der Epidermis 225, Neubildung der Epidermis bei der Häutung 243.
- — — Serpentinum, becherförmige Sinnesorgane VIII, 341.
- Pseudospora, Gattung der Monaden, Arten I, 213.
- — — volvolis, Beschreibung I, 214, Schwärmer 214.
- Psorospermien im Darmepithel, Entwicklung II, 512.
- Pteroceras, Auge II, 400, Retina 401, Membrana pellucida 401, 407, 409, Basalmembran 402, Zellschicht 402, Nervenschicht 402, Pigment 405, Stäbchenschicht 407, Pars ciliaris 407, Hüllhaut des Auges 407, Glaskörper 408, Linse 408.
- Pteropoda, Gehörorgan V, Suppl. 75.
- — — thecosomata, Vergleich mit der Entwicklung bei *Nassa mutabilis* XIII, 111.
- Pterotrachea, Hüllhaut des Auges II, 426.
- — — Zungenknorpel V, Suppl. 12.
- — — Gehörorgan XII, 106.
- — — acustisches Organ des Ohres XII, 565, Hörzelle, Gruppierung 566, Puffer im Ohre, Bedeutung 567, Hörstäbe 568.
- — — Endigung der Hautnerven XIV, 171, 174, Becherzellen zwischen den Epithelien 172, Muskelnervenendigung 174, Nervenendzelle der Haut 174, Seitenscheiben der Haut, Bau und Bedeutung 176, Hautsinnesorgane 175.
- Pterotrachea coronata*, Gehörorgan XII, 107.
- — — Stäbchen der Retina, Verbindung mit Nervenfasern V, 29.
- — — Hörzelle XV, 343.
- — — Fridericii, Gehörorgan XII, 107.
- — — mutica, Stäbchen der Retina, Verbindung mit Nervenfasern V, 21.
- — — peripherische Ganglienzellen VIII, 648.
- Pterygoid, erste Anlage bei Anuren XI, Suppl. 137.
- — — Anlage bei Urodelen XI, Suppl. 104, Entwicklung 111.
- — — inneres oder wahres bei Urodelen XI, Suppl. 124.
- Pterygopalatinum bei Axolotllarven XI, Suppl. 112, bei Urodelen 120.
- Ptychoptera contaminata, aciliöse Otocysten XVI, 48.
- Pünktchenkreise der Knochengrundsubstanz des Primordialcranium der Amphibien XI, Suppl. 32.
- Pulmonata, zur Anatomie I, 43, centrales Nervensystem 44, Auge 54, Ganglienkugeln im Centralnervensystem 44, Neurilemma 51, Wasseraufnahme und Abgabe durch die Niere 61, Ohr 58, Punktsubstanz im Gehirn 48, Sinnesorgane 52, Schlundring 44, Tentakeln 52.
- — — Retina II, 412, Centralzelle 413, Pigment 414.
- — — Sinneszellen der Körperhaut VI, 450.
- — — Vergleich mit der Magenhöhle der Gasteropoden XIII, 161.
- Pulpa der durchbohrten Zähne der Schlangen IX, 21.
- Pulpaöhle der durchbohrten Zähne der Schlangen IX, 17.
- — — bei Amphibien XI, Suppl. 63, Epithel und Spindelzellen 64.
- Punktsubstanz im Gehirn Wirbelloser, Lungenschnecken I, 48.
- Punktthierchen — Monas.
- Pupillarmembran XIX, 158.
- Purkinjische Fäden IV, 26, Literatur, Vorkommen 28, Lagenverhältnisse 30, mikroskopischer Bau 31, Zwischensubstanz 31, Uebergang in quergestreifte Muskelbündel 37, Scheide 38, Entwicklungsgeschichte beim Schaf 40, Function 43.
- — — Körner IV, 34.
- Purpura lapillus*, Vergleich mit

- Magenhöhle der Gasteropoden XIII, 160.
- Purpurin zur Untersuchung des Bindegewebes des Kleinhirns XIV, 231.
- XVI, 470.
- Puxidicula operculata* X, Suppl. 103, 105, Schale 104, Vergleich mit Diatomeen 104.
- Pycnodus Hugii*, Verhalten der Knochen im jurassischen System XV, 374.
- Pylorus* des Magens, Vorkommen von Pepsin XVI, 534.
- Pyrosoma*, Knospung, Vergleich mit Ascidien X, 467.
- Entwicklungsgeschichte XI, 597, Knospung 598, erste Anlage 598, Stolo 599, Darmdrüsenblattrohr 600, Perithoracalrohr 600, 602, Nervenrohr 600, 602, Eierstock mit Ei 600, 604, Vergleich mit *Didemnum styliferum* und *Amoroecium* 601, Magen 602, Ingestionsöffnung 602, Eleoblast 602, Darmsystem 603, Flimmergrube 603, Geschlechtsorgane, Anlage beim Stolo 605, Ei, Entwicklung 605, Follikelepithelzelle 605, Testazelle, Entstehung 606, Entwicklung des *Cyathozoids* 608, Eientwicklung 608, Bildung des Embryo 608, durch Furchung, Keimscheibe 611, Nervensystem, Anlage 611, 615, Perithoracalräume, Anlage 612, Keimblätter 612, Anlage des Pericardium des *Cyathozoids* 615, Endostyl, Anlage 615, Herzanlage 618, Follikelepithelzelle, innere 619, Keimscheibe, Theilung 619, Anlage der 4 Embryonen des *Pyrosoma* oder der 4 *Ascidizoids* 621, *Cyathozoid*, Weiterentwicklung 622, Atrophie 627, Ingestionsöffnung 629, Cloake 628, *Ascidizoid*, Weiterentwicklung 623, Eleoblast 625.
- Python javanicus*, Haut XVII, 353.
- Q**uadratknorpel des Primordialcraniums der Amphibien XI, Suppl. 9, bei *Perennibranchiaten*, *Siredon*, *Menobranchus*, *Siren lacertina*, *Detrotremes*, *Salamandrin*en und *Anuren* 10.
- Veränderung bedingt durch die Vergrößerung des Augapfels XI, Suppl. 11, Vergleich zwischen *Axolotl* und *Salamandra maculata* 11 und Rückbildung des Visceralsceletts 11.
- Quadratknorpel bei Tritonenlarven XI, Suppl. 111.
- Stellung bei Urodelen XI, Suppl. 123, primäre Anordnung bei Urodelen 119.
- Quadrula symmetrica* XI, 329, Panzer 330, Marginalplatte 331, Weichkörper 331.
- Quadrulidae XIII, 26.
- Quarz zur Untersuchung doppeltbrechender Platten VII, 231.
- Querder — *Ammocoetes*.
- Quermäuler — *Plagiostomi* und *Selachii*.
- Quineloculina fusca* XI, 134, Schale mit Kern 135.
- R**achenhaut. Durchriss beim *Kaninchen* XI, 404, und Beginn des Hypophysensäckchens.
- Radialfaser der Retina XV, 615.
- Radiärfaser des Zellkernes XIV, 112.
- Radiaria* XIII, 27.
- Radiolaria* und radiolarienartige Rhizopoden des süßen Wassers V, 464, Verwandtschaft mit *Acanthocystis* 490.
- Schwärmerbildung VII, 372, Bau der zusammengesetzten 373, gelbe Zellen, Bedeutung 378.
- eine neue des süßen Wassers VIII, 531.
- Beziehung zu *Diffugia* X, Suppl. 108, Verwandtschaft mit *Heliozoa* 151, Werth der Centralkapsel zur Marksubstanz 180, Beziehung zu *Hyalolampe exigua* 224.
- und radiolarienartige Rhizopoden des süßen Wassers XI, 1.
- XIII, 28.
- Radix descendens* N. acustici XIX, 281.
- descendens des Geschmacksnerven XIX, 377.
- Radspinner — *Epeira*.
- Raja, Wirbelbögen und Rippen XV, 523, 524.
- *clavata*, Schleimhaut des Oesophagus, Flimmerepithel XIII, 657.
- Rajacei, Becherzellen der Nasenschleimhaut III, 196.
- Untersuchung von Knochen der

- Mundhöhle gleicher Entstehung XI, Suppl. 167.
- Rajacei, Seitenorgane des Kopfes XVII, 476.
- Rajidae, Cuticularschicht der Chorda XV, 468.
- Wirbelsäule und Anhänge XV, 489, vorderste Wirbelanlage 489.
- Rami communicantes, anatomisches Verhalten II, 30, bei gesunden 31, degenerierten 34, Neurotomie derselben 37 und deren Folgen bei Fröschen.
- Ramus cochlearis N. acustici bei Ganoiden XVIII, 497.
- vestibularis N. acustici bei Ganoiden XVIII, 497.
- Rana, granulirte Körperchen im Blute unter Temperatureinflüssen I, 29, durch Harnstofflösung 31.
- Neurotomie der Rami communicantes II, 37, der Spinalnerven ober- und unterhalb der Rami communicantes 39.
- Körnerschicht der Retina II, 215.
- Leber III, 94, Gallengänge 95.
- Pigmentirung der Zwillingzapfen der Retina III, 233.
- Leber III, 433, Melanose der Leber 435, periodischer Wechsel des Leberpigmentes, Grund 436, Zusammenhang desselben mit der Keimstoffproduction 436.
- Spinalganglien IV, 51, 53, Verlauf der Nervenfasern 53, Epithel der Ganglienzellen der Spinalganglien 57, und Zusammenhang der Nervenfasern mit Ganglienzellen 68.
- Geschmackswärzchen der Zunge, Epithel IV, 96.
- Spinalganglien IV, 130, Nervenzelle 131, Zusammenhang mit Nervenfasern 134, Polarkerne 132, Beizellen 136.
- Sympathicus IV, 136, Membran der Nervenzelle 138, Uebergangsfaser des S. 138, Fadennetz des S. 142, Commissurfasern des S. 143.
- Protoplasma um die Kerne glatter Muskelfasern IV, 399, Nachweis 400.
- Bau und Entwicklungsgeschichte der Capillargefäße V, 49, Spindel-elemente derselben 51, Behandlung mit Inductionsströmen 55.
- Epithel der Nickhaut, Veränderung durch Silberinjection V, 62.
- Entwicklung der Lymphgefäße V, 85.
- Rana, Bindesubstanz der Leber V, 349.
- Harnblase, Verhalten der glatten Muskelfasern zu den Nerven V, 509.
- Labdrüsen VI, 394, blasige Zellen 395, Belegzellen 398.
- Retina VII, 81, Stützgewebe, äussere Körnerschicht 84.
- Knorpel der Achillessehne VII, 301.
- Pigmentschicht der Retina VIII, 81.
- Anfänge der Speichelgänge in den Alveolen des Pancreas VIII, 486.
- Beziehung zwischen Nerv und Muskel IX, 40.
- Nerven der Hornhaut IX, 246, Ursprung und Verlauf subbasale, Schicht 247, subepitheliale 248, Endigung im Epithel.
- Auswanderung der Blutkörperchen aus den Gefässen IX, 709.
- Epithel der Malpighischen Kapsel der Niere X, 22, Flimmerzelle 22, Stäbchenstructur 23.
- Bindegewebszelle des intramuskulären Bindegewebes XI, 187, der Zunge 187.
- Flimmerepithel der Bauchhöhle beim Weibchen XI, 354.
- Entwicklung der Tube XI, 366, Drüsen des Eileiters 372.
- Nervenendigung in der Speiseröhre XI, 487, Verhalten zwischen Epithel und Drüsen 488, im Magen 490, Verhalten zwischen Epithel und Drüsen 492.
- Doppelbrechung des Querschnittes vom Schenkel XI, 676.
- Zahl der Zähne XI, Suppl. 37, Grenze zwischen Zahnkrone und Sockel 47.
- Ersatzzähne, Entwicklung XI, Suppl. 74, Ersatzleiste 74, Schmelzmembran 75, Ausscheidung der festen Zahnschubstanz 75, Schmelz und Schmelzoberhäutchen 75, Basalmembran der Schmelzzellen, Epithelscheide 77, Zahnsockel 77, Cementanlage 77 durch spindelförmige Zellen.
- Cuticula XII, 120.
- Papillen der Cutis ohne Tastkörperchen XII, 155.
- motorische Endplatte, Entladungshypothese XII, 170.
- Samenkörper, Entwicklung und Bau XII, 815, 818.
- intravaginale Nervenetze XIII, 177.
- Nervenendigung im Herzmuskel

- XIII, 387, im quergestreiften Muskel 376.
- Rana*, intravaginale Nervenfasern, Beziehung zur Muskelfaser XIII, 408.
- Pancreas, nach Behandlung mit Ueberosmiumsäure XIII, 752.
- rothe Blutkörperchen XIV, 87, Kerne 90.
- Vorderdarm XIV, 181, größerer Bau, Epithel 181, Becherzelle 181, Ersatzzelle 183, Flimmerzelle 183, Drüsen 183, acinöse, Drüsenzelle 183, Aenderung nach den Stadien ihrer physiologischen Thätigkeit 185, Epithel des Ausführungsganges 184, Gefäße und Nerven des — 186, Magen, Epithel 186, 188, Magendrüsen 187, Epithel, Schleimzellen in denselben 191, Drüsenzellen des Magenfundus 192, Gefäße und Nerven des Magens 193.
- Purkinjesche Zellen der Kleinhirnrinde XIV, 218, Protoplasmafortsatz 223.
- Nervenendigung in der Muscularis der Gefäße XIV, 327.
- Thymus, Lage XIV, 347.
- Ganglienzellen des Herzens XIV, 474.
- Nervenfasern und Plasmazellen XV, 1, 4, Remacksche Fasern, Bedeutung 5.
- Nachweis der Pepsinbereitung im Magen XV, 125.
- Veränderung des bloßgelegten serösen Epithels des Mesenteriums XVI, 111.
- freie Kerne im Blute XVI, 313, Bau.
- Corrosion der Haut XVI, 481, des Mesenterium 486, der entzündeten Cornea 500.
- Gelenknervenkörperchen in den Beugesehnen der Hand XVI, 615.
- Degeneration und Regeneration zerquetschter Nerven XVIII, 302.
- Fontanascher Raum XIX, 173.
- Nervenendigung im Brusthautmuskel XIX, 335.
- nervöse Zellen der Papillen der Daumenwarze XIX, 526.
- Karyokinesis der Epidermis XX, 142.
- *esculenta*, Samenkörper I, 312, III, 266.
- — Cuticularbildung der Daumendrüse V, 298, XII, 125.
- Rana esculenta*, Bau der Samenfäden $\frac{1}{2}$. — temporaria XI, 294.
- — Unterkiefer XI, Suppl. 27, Fehlen des Operculare 28, Processus coronoides.
- — Larvenzähne XII, 129.
- — Farbenwechsel XII, 182.
- — Retina XII, 762, Stäbchen 762, Zapfen 765, Fovea centralis, Entstehen und Vorkommen 766.
- — Samenkörper, Umwandlung aus Spermatoocyten XII, 805.
- *fusca*, Entwicklung der Geschlechtsdrüse XVIII, 2.
- — Regeneration der Samenkörper XVIII, 58, maulbeerförmige Kerntheilung 62.
- *platyrrhinus*, XII, 125, Cuticula der Daumendrüse.
- — Farbenwechsel XII, 182.
- *temporaria*, Modell der rothen Blutkörperchen VIII, 475.
- — Nervenbügel IX, 530, Endplatte der Muskeln 529, Nervenendigung im Muskel 523, Muskel, Bau 523, Nerveneintritt und Endigung 523, Kerne 526, sensible Nervenendigung im Muskel 533.
- — Entwicklung der Samenfäden XI, 292, Bau $\frac{1}{2}$. zu — *esculenta* 294, Bedeutung der Theile 294, Entwicklung 295, Untersuchungsmethode 297, Spermatoblasten 298, 299, 314, Vertheilung 301, runde Zellen des Hodens bei der Entwicklung 298, Spindelzellen und Veränderung 299, Vertheilung 301, Epithel der Samencanälchen, 302, Reduction der Spermatozoiden 303.
- — Retina XII, 762, Stäbchen 762, Zapfen 765, Fovea centralis, Entstehung und Vorkommen 766.
- — Genese der Samenkörper XII, 797, 819.
- — Contractilität der Kerne der rothen Blutkörperchen XIII, 394.
- *typhonica*, Secret der Hautdrüse XII, 218.
- Randassel — Polydesmus.
- Randbläschen der Hydroidqualle I, 143, bei *Tetrapteron volitans* XV, 353.
- Randkörper der *Aerapedoten* XIV, 398.
- Randwulst, Veränderungen beim Hühnerei XV, 83, 87, 89, XVI, 561.
- Raphe im Kieselgange der Diato-

- meen als Bewegungsorgan I, 387, 391, Typen 394.
- Raphidiophrys X, 377, Bau X, Suppl. 217, 220.
- *elegans*, Bau X, Suppl. 218, 220, Skelett 218, Weichkörper 218, mit Kern 218 und Pseudopodien 219.
- *pallida* X, 377, 378, Kern 380, inneres Skelett 381, äusseres Skelett 382, pulsirende Blase 382.
- *viridis*, Bau V, 482, X, 377, XI, 4, Vergleich mit *Acanthocystis turfacea*.
- Ratte — *Mus rattus*.
- Rauchschwalbe — *Hirudo rustica*.
- Reagentien, indifferente, gegen Zellkern XVI, 326.
- Einfluss auf Leberzellen der Kellerassel XVII, 402.
- Receptaculum Seminis bei *Porcellio scaber* XVII, 128.
- bei *Distomum Westermanni* XIX, 567.
- Recessus Utriculi des häutigen Labyrinths der Knochenfische XIV, 273.
- des Gehörorgans der Ganoiden XVIII, 489.
- Rectum der Cocciden XIII, 51, 55, Histologie 56, Intima 56.
- Reflexion der Lichtstrahlen durch Zapfen und Stäbchen III, 241, 251.
- Regenwurm — *Lumbricus*.
- Regio pylorica des Magens als Sitz der Magenschleimdrüsen, äusserer Habitus und Reaction VI, 516, 517.
- Reh — *Cervus capreolus*.
- Regula des Schnabels der Cocciden XIII, 46.
- Reissnersche Membran — *Membrana vestibularis*.
- Remacksche Fasern des sympathischen Gränzstranges II, 16.
- in den Papillis vallatis IV, 177, 179.
- Bildung beim Frosch XV, 5.
- Reniera, parasitischer Polyp bei — XIII, 796.
- *accommodata*, Vorkommen von Nesselkapseln VIII, 284.
- *fibulata* XIII, 800, Vorkommen von *Spongicola fistularis*.
- — Vorkommen von Nesselkapseln bei einer verwandten Art VIII, 283.
- *informis*, Vorkommen von Nesselkapseln VIII, 284.
- Rennthier — *Cervus tarandus*.
- Reptilien, Retina II, 202, 209, Körnerschicht 214.
- Mund- und Rachenhöhlenepithel III, 172, Becherzellen 172.
- Eier VIII, 216, Rindenschicht 222, Granulosazellen 228, Bildung der Zona pellucida 231, Epithel der Follikel des Eies 233, Becherzellen 236.
- Eier VIII, 397, Wachsthum 423, Wesen 433, Follikel-epithel 414, Beziehung zu den Eiern 428.
- Dotterhaut VIII, 403, Chorion 403, Zona radiata 403, 407.
- Nerven der Hornhaut IX, 246.
- motorische Nervenendigung IX, 552.
- Doppelbrechung der Hornschuppen XI, 667.
- Mundhöhlenskelett, Vergleich mit Amphibien XI, Suppl. 178.
- Hautknochen XII, 193.
- Retina XII, 423, 434, Stäbchenschicht 436.
- Haut XIII, 205, Litteratur 205, Zusammensetzung 209, Epitrichialschicht der Epidermis 216, Hornblatt 232, Epidermis, zweischichtig 230.
- Epidermis der Neugeborenen mit Rücksicht auf die Häutung XIII, 241.
- Nervenendigung im quergestreiften Muskel XIII, 370.
- Vorderdarm einiger XIV, 179.
- Lage der Thymus XIV, 346, Bau des primären Lappchens 353.
- Brustbein und Schultergürtel XIV, 507.
- Bau der Haut XVII, 346, Schichtung der Epidermis 347, Stratum corneum, Schichten 347, intermedium 349, Beziehung zur Häutung 349, Malpighianum 347, 351, Epitrichialschicht 348, Str. granulosum sup. 348, corneum compactum 348, relaxatum 349, Cutis, Schichten 351, Pigmentzellen 352, Pneumaticität der Haut 352, Nerven 352, Endigung in Epidermiszellen 353.
- Hüllen der Geschlechtsstoffe, Vergleich der männlichen und weiblichen XVIII, 40.
- Regenerationsvorgänge im Eierstock XVIII, 81.
- Schlemmscher Canal XIX, 175,

- Fontanascher Raum 173, Zonula ciliaris 166.
- Reptilien, Nervenendigung im quergestreiften Muskel XIX, 342.
- Vergleich mit Keimblattbildung beim Huhn XX, 204.
- häutiges Labyrinth, Litteratur XX, 271.
- Reservezellenband der Leber der Gammariden XVII, 431.
- Resorptionsorgane der Dünndarmzotten III, 181.
- Respirationscanal der Lungenathmer, Epithel III, 192, Flimmerzelle 193, Becherzelle 193.
- Respirationsorgane, Doppelfärbung XV, 36.
- Rete Malpighii, Nervenendausbreitung in demselben V, 506, Untersuchungsmethode 506.
- — Beziehung zum Stratum corneum IX, 741.
- — Uebergangsschicht zwischen Str. corneum und — XII, 670, Litteratur 671.
- — der Haut der Reptilien und anderer Wirbelthiere XIII, 221, innere, Cylinder- oder Häutungszone 222.
- — Testis Halleri des menschlichen Hodens, Epithel XIV, 30.
- Reticularia XIII, 28.
- Reticulum der Thymus XIV, 355.
- Retina, Einwirkung von Ueberosmiumsäure I, 303.
- Anatomie und Physiologie II, 165, 175, Stäbchen 166, 176, 219, in der Fovea centralis 168, bei Säugethieren 198, Vögeln 202, Falten in der Fovea centralis 206, beim Hühnchen 241, Zapfen 166, 176, Anordnung 170, Zapfenfasern und Bedeutung 187, 216, Unterschied von Stäbchenfasern 249, beim Affen 195, bei verschiedenen Säugethieren 196, Vögeln, Pigmentkugeln in denselben 202, 250, in der Fovea centralis des Falken 206, dem gelben Fleck und der Fovea centralis des Menschen 223, Vertheilung der Zapfen 226, 249 in Fovea centralis, Länge und Dicke 227 in der Fovea centralis, Vertheilung im gelben Fleck 227, Theilung in Innen- und Aussenglieder und Function der Theile 235, Entwicklung 237, beim Hühnchen 241, Unterschied von Stäbchen 247, bei der Eule 208, Function 251.
- Retina, Untersuchungsmethode II, 270, gelber Fleck II, 171, untersucht mit Kobaltglas 271, gelber Fleck zur Linderung der chromatischen Aberration 173, der Eule II, 174, Nervenendigung 179, äussere Faserschicht am gelben Fleck 189, Körnerschicht beim Menschen 183, Affen 194, Säugern 195, Knochenfischen 199, Vögeln 201, Reptilien 202, 209, Huhn 203, Taube 205, Krähe 207, Eule 208, Schildkröte 209, Eidechse 209, Ringelnatter 209, Chamäleon 209, Lacerta 210, Schlangen 211, Amphibien 212, Pigmentzelle der — 220, Beziehung zu Stäbchen und Zapfen.
- Entwicklung der Stäbchen und Zapfen beim Huhn II, 238, Säugern 244, Menschen 247, Kaninchen 246, Katze 246, Schaf 245, Rinds-embryonen 245, Blutgefässe 269, nervöse Elemente 261, bindegewebige Grundlage 269.
- Stäbchen- und Zapfenbildung, Beziehung zur Membrana limitans ext. II, 241.
- Behandlung mit Jodserum II, 272, III, 216.
- Einwirkung von Ueberosmiumsäure II, 183, 270, III, 221, zur Untersuchung des linsenförmigen Körpers der Stäbchen.
- des Auges von Pteroceras II, 401, Schichten, Zellschicht 402, Nervenschicht 402, Basalschicht 402, Zellen 403, Pars ciliaris 407, 427, Pigment 407.
- der Lungenschnecken II, 412, Centralzelle 413, Pigment 414, Homologie mit Gehirn 423.
- linsenförmiger Körper der Stäbchen und Zapfen III, 220, 230.
- Zusammenhang der Aussen- und Innenglieder der Stäbchen III, 221, Behandlung der Stäbchen mit Chlorwasserstoffsäure 226 und Kalilauge 227.
- Zapfen, Unterschied von Stäbchen III, 229, Innenglieder 230, Aussenglieder 235, linsenförmiger Körper bei *Macacus cynomolgus* 231, Zwillingzapfen 231, bei Fischen 232, Pigmentirung beim Frosch 233, *Lacerta agilis* 233, Huhn 233, Stellung zwischen Stäbchen und Zapfen 237.
- Bau und Entwicklung III, 371,

- embryonaler Ursprung der Stäbchen und Zapfenschicht 371, bei Katze 373, Kaninchen 375, Huhn 376, Zwischenkörnerschicht 379.
- Retina, Stäbchen und Zapfen IV, 10, Zapfen, Plättchenstructur der Aussenglieder 16, Stäbchen bei Amphibien 12, Vögeln 13, Neubildung von Zapfen 14, Zwischenkörnerschicht 18, Epithelzelle 20.
- Ritterscher Faden IV, 347, Membrana fenestrata 347.
- der Cephalopoden, Stäbchen V, 2, bei Octopus vulgaris 8 und macropus 10, Stäbchenanäle bei Cephalopoden 13, Stäbchenkörner 14, Zusammenhang der Stäbchen mit Nervenfasern bei Cephalopoden 16, Heteropoden 18, 20, Pterotrachea coronata 19 und mutica 21.
- äussere Körnerschicht bei Triton V, 88.
- Nervenendigung bei Menschen und Thieren V, 379, Pigmentzelle 392, Untersuchungsmethode 393, Membrana limitans ext. 393, Stäbchen und Zapfen 394.
- Lymphbahnen VI, 55.
- Limitans und Verhältniss zur Hyaloidea VI, 320, 322 und zur Zonula ciliaris 328.
- von Amphibien VII, 81, Stützsubstanz bei Frosch und Salamander 83, äussere Körnerschicht beim Frosch 84, Salamander 87, Triton 88, Limitans ext. 90, bei Amphibien, Aussenglieder, Hüllen 92, Stützgewebe und Verhältniss zu den anderen Theilen 94, Wesen 95, Untersuchungsmethode 98, linsenförmiger Körper 97.
- des Menschen VII, 244, nach Behandlung mit Ueberosmiumsäure, Structur des Innern der Zapfenkörper und Stäbchen 245, Fadenapparat derselben, Bedeutung 246, 252, und sein Verhältniss zu den äusseren von der Limitans externa kommenden Fasern 247, Faserkörbe, Wesen und Bedeutung 248, Endigung der Sehnervenfasern 251, Zapfen- und Stäbchenkörner, Bedeutung 252, Innenglieder der Stäbchen und Zapfen, Bedeutung 252, Zusammenhang zwischen Innen- und Aussenglied der Stäbchen und Zapfen 253, Aussenglieder, Bedeutung als Reflexionsapparate 254, — bei Gliedertieren und Mollusken, Vor-
- kommen der Stäbchen 256, — der Wirbellosen, Zusammenhang der Stäbchen mit Nervenfasern 257.
- Retina, Pigmentschicht VIII, 81, Verhalten der Stäbchen und Zapfen zu Pigmentzellen 86, bei Amphibien 88.
- Bildung bei der Unke IX, 404.
- Vergleich der Stäbchen und Zapfen mit den Cilien des Ventriculus terminalis des Rückenmarks XI, 224.
- perivascularer Lymphraum XI, 277.
- Anatomie XII, 409, der Amphibien 410, des Flaconatl 410, Stäbchen 411, Formen 413, Limitans ext. 412, Zapfen 414, innere Körnerschicht 414, Ganglienzellenschicht 415, Stützfasersystem 415, — des Axolotl 416, Stäbchenschicht, Hüllen 418, Stäbchen, Formen 417, Zapfen 418, Stützfasersystem 418, — der Amphibien 419, Ganglienzellenschicht 420, innere granulirte Schicht 420, innere Körnerschicht 421, äussere granulirte 421, epitheliale Schicht 421, Stäbchenformen 421, Zapfenformen 422, Stützfasersystem 422, — der Reptilien 423, 434, Stäbchenschicht 436, — der Chelonier 423, Zapfen 423, Kugelzapfen 423, Zapfen ohne Kugel 425, linsenförmiger Körper 425, Beziehung zum Zapfenkorn 426, äussere Körner 426, Stützfasern 427, — der Crocodilina 427, Stäbchenschicht 427, — der Ophidier 429, Stäbchenschicht 429, äussere Körner 430, Zapfenfasern 430, Zwischenkörnerschicht 431, — der Saurier 431, Stäbchenschicht 432, Kugelzapfen 432, Pigmentkugeln 433, Stützfasersystem 433, — bei Geckotiden 434, Stäbchenschicht 434.
- Nervenendigung in — XII, 742, Schichten 743, epitheliale Schicht 743, Werth 743, Stäbchenzelle (Lichtzelle) 743, und Zapfenzelle (Farbenzelle) 743, Membrana fenestrata 743, Vertheilung der Blutgefässe in — 743, Art. centralis Retinae 744, Epithel, Vergleich mit Riechepithel 745, Membrana reticularis bei beiden 745 (Limitans ext.), M. fenestrata 747 und Limitans int. 748, Schema des Baues der — 749, bei Amphioxus lanceolatus 749, Farben- und Lichtzelle noch nicht differenzirt 750,

bei *Myxine glutinosa* 750, *Petro-myzon fluviatilis* 751, Stäbchen und Zapfen 851, Dimensionen 755, *Membrana perforata* 754, *Stratum lacunosum* 754, bei *Scyllium canicula* 756, Teleostiern 757, *Str. lacunosum* 757, bei *Gobio fluviatilis* 757, Stäbchen und Zapfen 758, bei *Proteus anguineus* 759, Zapfenzelle 759, Stäbchenzelle 759, Dimensionen 760, Aussenglieder, Bedeutung 760, bei *Siredon pisciformis* oder *Amblystoma mexicanum* 761, Zapfen und Stäbchen, Dimensionen 761, bei *Rana temporaria* und *esculenta* 762, Stäbchen, Aussenglieder, axialer Faden 762, Nebenzapfen und Zapfen 765, Dimensionen 766, paraboloidische Körper in denselben, *Fovea centralis*, Entstehen und Vorkommen 766, bei *Chamaeleon vulgaris* 767, *Fovea centralis* 767, radiale Stützfasern widerlegt 768, bei *Lacerta agilis* 768, Stäbchen und Zapfen, bei *Anguis fragilis*, Zapfen und Stäbchen 769, Dimensionen 770, bei *Alligator lucius* 770, Zusammenhang der Zapfenzelle mit Nervenfasern widerlegt, bei *Platydictylus Theonyx* behauptet, der Vögel 770, Oeltropfen, Beziehung zur Farbentheorie, Beweis des Nichtvorhandenseins einer Veränderung der — durch Sonnenlicht 772, bei *Astur palumbarius*, Oeltropfen, Vertheilung 773, radiale Stützfasern oder Radialzelle 773, Zapfen und Stäbchen, Beziehung zur Licht- und Farbenempfindung 775, bei Schwalbe, *Cypselus apus*, *Hirudo rustica* 779, Säugern 779, *Vespertilio murinus* 779, *Cavia cobaya* 780, *Lepus cuniculus* 780, *Mustela putorius* 780, *Felis catus* 781, *Membrana fenestrata*, Mensch 781, Sehnervenendigung nicht in Stäbchen und Zapfen der — 782, Beziehung des *M. fenestrata* zur Endigung 787.

— Anatomie XIV, 409, der Vögel 437, Stäbchenschicht 437, Oelkugeln 437, der Fische 439.

— Begrenzungsschicht mit Glaskörper XV, 542, erklärt aus der Genese des Glaskörpers 545, bei Kaninchen 542, Mensch 547.

— beim Uebergang ins Tapetum XV, 560, Pigmentaufnahme der Zellen 561.

Retina, Histogenese XV, 596, Litteratur 596, über Eintheilung der Retina 796, über Opticusendigung in — 597, über Stützgewebe der — 598, Entwicklung der — 599, eines Kaninchenembryos 601, Embryonalzelle 602, Tapetum 602, Stäbchen und Zapfen, Aussenglieder, Anlage 603, Innenglieder 605, Rundzellen 603, (Uranlagezelle) *Membrana limitans* 606, äussere Körnerschicht 606, *Stratum intergranulosum* 606, Vascularisation und Einwirkung auf Veränderung der — 608, Schichten, Vergleich mit Schichten des Centralnervensystems 609, Eintheilung mit Rücksicht auf das Centralnervensystem 611, Opticusendigung im — 614, Radialfasern 615, Stäbchen und Zapfen, Entwicklung 615, Aussenglieder 615, Innenglieder 617 der Zapfen, der Stäbchen 619, Oeltropfen, Entstehung 619, Vergleich mit Entwicklung des *Sinus rhomboidalis* 620, Trennung der Stäbchen und Zapfen, Ursache 620, äussere Körner 623, innere Körnerschicht 624, innere Molecularschicht 624, graue Molecularschicht 625, Ganglienzellenschicht 625.

— des Auges der Cephalopoden XVI, 218, 225.

— Corrosion der Lymphcapillaren XVI, 503.

— des unicornalen Tracheaten und speziell des Arachnoiden- und Myriopoden-Auges XVII, 67, Ganglienzellen- und Stäbchenzellenschicht 67, parietale Pigmentzone 83, Matrix 85.

— der Aleiopiden XVII, 259, der *Eunicea* 285, der *Nephtyidea* 293, *Sycoridea* 302, *Scyllidea* 306.

— der freilebenden marinen Borstenwürmer XVII, 312, Vergleich mit Tracheatenstemma 314.

— des Auges einiger Myriopoden XVIII, 417.

— Ganglienzellenkerne XVIII, 423.

— Formelemente bei Spinnen XVIII, 425, *Epeira* 427, Scorpionen 421, *Buthus afer* 421, *Lychas americanus* 421, *Ischnurus caudicula* 421.

— des Scolopendriden-Auges XVIII, 436, Zelle und Stäbchen 437.

- Retina von *Lithobius* XVIII, 443, Stäbchen 443.
 — von *Glomeris* XVIII, 448.
 — der Fische, Gefäße XVIII, 480.
 — nächtlicher Thiere, Zapfen XIX, 309.
 — vom Aal, Verhalten der Stäbchen und Zapfenschicht XIX, 311.
 — äussere Körnerschicht bei Wirbelthieren XIX, 395.
- Retinalpigment, Bedeutung II, 223.
 Retinalschläuche, Axialgebilde derselben XVII, 78.
- Retinalstrahlen, stemmale, Vergleich mit Endschläuchen der tympanalen Sinnesapparate der Orthopteren XVII, 80.
- Retinula des Auges von *Scutigera* XVIII, 452, Stäbchen 456.
 Retinulaartige Gruppierung der Retinalstrahlen beim *Scorpionstemma* XVII, 85.
- Retroperitonealraum, Entstehung bei *Bombinator igneus* V, 104.
- Rhabdocoela, Geschlechtsknospen V, 279.
- Rhabdom des Auges einiger Myriopoden XVIII, 417.
- Rhizaxinella clavigera XVIII, 272, Wurzelschopf 273, Stielabschnitt 274, Individuum 274.
 — XVIII, 282.
- Rhizopoda, in der Erde lebende II, 299, mit Schalenbildung 323.
 — des Süsswassers, Actinophrys nahestehend, Theilung III, 401, Samenelemente 402.
 — radiolarienartige des süßen Wassers V, 464, XI, 1.
 — X, Suppl. 35, Formwerth 35, Lebenserscheinungen 36, Locomotion, Nahrungsaufnahme und Verdauung 37, Nucleus und Nucleolus 38, Vacuolen 38, Sceletttheile 38, Vermehrung 39, Encystirung 39, Beschränkung des Gebietes nach dem Charakter 41.
 — Wesen X, Suppl. 79, 86.
 — testacea und nuda X, Suppl. 80.
 — sphygmica X, Suppl. 81.
 — X, Suppl. 86, Fortbewegung und Fortpflanzung 86.
 — diplophrysartige, Vergleich mit *Elaeorhynchus cincta* XI, 23.
 — XI, 94.
 — Werth XII, 15.
 — nuda XII, 31.
- Rhizopoda, hypothetischer Stamm-
 baum XIII, 21.
 — innucleata $\frac{1}{2}$ nucleata XIII, 22, Pseudopodien, Veränderung und Unterscheidungscharakter 23.
 — Bau XVI, 191, Fundort 192, Vacuolen 206.
 Rhizopodenstudien X, 328, XI, 94, 329, 583, XIII, 9.
- Rhodophyll, rother Farbstoff der *Bornetia secundiflora* III, 25.
 — Farbstoff der Florideen III, 56.
- Rhodospermum, Krystalle im Zellkern von *Bornetia* III, 24.
- Rhombidium sulcatum, Einschluss amyloider Körper IX, 671.
- Rhombus aculeatus, Schaltstück des Magens XIII, 671.
 — — Flimmerepithel der Appendices pyloricae, Bedeutung XIII, 673, des Darmes 689.
- Rhynchota Cyclopus II, 345, Nucleus 346, pulsirende Blase 346, Nahrungsaufnahme durch den Rüssel 347, systematische Stellung 347.
- Rhynchocephala, Bedeutung V, 276, Stellung zu *Lobocephala* 277.
- Rhynchota, Chordotonalorgane, Verbreitung XX, 554, porifere Vorkommnisse auf den Flügeln 594.
- Richtungskörper, Wesen und Ausbreitung bei Eiern von *Anodonta* X, 275.
- Riechbein der Schlange — Concha.
 Riechgrube der Knochenfische, erste Anlage IV, 251.
 — der *Acraspedota* XIV, 399.
- Riechkolben des Kaninchens, Ganglienzelle in der Arachnoidealbekleidung XVI, 614.
 — am Endglied der inneren Antennen der *Trichonisciden* XIX, 599.
- Riechorgan in den Antennen der Dipteren XVI, 46.
- Riesensalamander — *Cryptobranchus*.
- Rind — Bos.
- Rindsembryonen, Entwicklung der Retina II, 245.
- Rinde der Tasthaare XV 51.
 — von *Distomum Westermanni* XIX, 531, Litteratur 532.
- Rindenlaus — *Schizoneura*.
- Rindenschicht der Eier der Reptilien VIII, 222.
 — innere VIII, 223, der Ringelnatter 228.

- Ringelnatter — *Tropidonotus natrix*.
- Ringcanal, Anlage bei *Comatula mediterranea* XII, 592, 598.
- Ringgefäße des Cephalopodenauges XVI, 235.
- Ringwulst der Tasthaare II, 453, Function 463.
- Rippe, Anlage bei der Unke IX, 405.
— der Plagiostomen XV, 495, 507, der Scyllien 495, *Mustelus* 520, *Dornhai* 521, *Carcharias* 521, *Squatina* 521.
— der Teleostier XVI, 140, bei *Monacanthus penicilligerus* 142. Urodelen 143, Litteratur 147.
- Ritterscher Faden der Retina, Vorhandensein IV, 347, V, 385.
- Rivet-Leyser's Microtom, Modificationen von Dr. Long XIV, 501.
- Rochen — Rajacei.
- Röhrenknochen der Batrachier XIX, Genese aus präformirten Knorpel 3, periostale Knochenbildung 15, 20.
- Rohrzucker zu Versuchen über Gährung und Hefebildung III, 324, 333.
- Rubicilla foenicurus*, Cylinder-epithelien des Labmagens XIII, 745.
- Rücken, Entwicklung bei *Bombinator igneus* V, 93.
- Rückenfurche, Auftreten im Embryonalschilde der Knochenfische IV, 234, Litteratur über weitere Veränderungen 235, beim Hecht 237.
- Rückengefäß bei *Phreoryctes Menkena* I, 278, bei den Egelu I, 282.
— Befestigungsapparat bei *Acridiern* IX, 151.
— von *Chironomus plumosus*, Ostien und Verschlussapparat IX, 148.
— von *Decticus*, Kerne der *Muscularis* IX, 139.
— von *Ephemera*, Ostien und Verschlussapparat IX, 149.
— von *Ephippigera Vitium* IX, 136.
— der Insecten IX, 131, Histologie, Litteratur 131, *Muscularis* 135, Querstreifung 137, Kerne 139, Isolirung der Fasern 139, Endocardium 139, Adventicia 141, Anatomie und Physiologie 142, Herzkammer 143, Ostien und Verschlussapparat 146, Befestigungsapparat 151.
— von *Locusta viridissima* IX, 135.
— von *Melolontha*, Ostien und Verschlussapparat IX, 150.
— von *Platyceles grisea*, Kerne der *Muscularis* IX, 139.
- Rückengefäß von *Stenobothrus lineatus*, Ostien und Verschlussapparat IX, 150.
- Rückenmark der Neunauge, II, 525, graue 525 und weisse 529, Substanz, Bindegewebe 525, Centralcanal 525, Nervenzellen 526, 529, untere Commissur 526, untere Wurzel 527, obere Commissur 529, obere Wurzel 529.
— des Froschlärvenschwanzes IV, 118.
— Anlage bei *Bombinator igneus* V, 95.
— Härtung IX, 101.
— Häute IX, 310, Arachnoidea spinalis 310, Bau 319, Subarachnoidealraum 312, 315, vorderer, spinaler 312, Ligamentum denticulatum 313, Septum posticum 315, Subarachnoidealbalken, Bau 319, Pia spinalis 323, Intima pia 324, Dura 332.
— Beziehung der Hüllen zu den Nervenwurzeln IX, 337.
— Bildung der weissen und grauen Substanz bei der Unke IX, 402.
— Demonstration der Axencylinderfortsätze der Ganglienzellen X, 255.
— Faserverlauf im — X, 471, Methode 472, mit Palladiumchlorür und Goldchlorid, Eintheilung der weissen 473 und grauen 474 Substanz, Ganglienzellengruppen 474, 475, Faserverlauf in der grauen Substanz bei Querschnitten 475 und Längsschnitten 481, in der weissen 483, zwischen Hinter- und Vordersträngen 486, in der weissen Substanz 488, Ursprung der vorderen Wurzelfaser aus Ganglienzellen 490. *Ventriculus terminalis* XI, 216, Obliteration des Centralcanals 218.
— Bindegewebszellen XI, 277.
— Asymmetrie der grauen Substanz XII, 87, beim Hund 87, Mensch 88.
— bei Batrachiern XII, 513, *Salamandra-maculosa*-Larven 514, *Triton helveticus* 514.
— Ganglienzellen des Vorderhorns XIV, 125.
— der Saurier, Schleifen der Gefäße XV, 60, 62.
— Ursprung der Spinalnerven, bei *Petromyzon* XV, 333.
- Rückenschild von *Plesiochelys solodurensis*, Verhalten im Jurassischen System XV, 375.
- Rüssel des Schweins, Tastzellen XI,

- 642, in Epidermis, Nerveneintritt 643, Fortsetzung der Schwannschen Scheide 643.
- Ruhezustand der Amöben I, 206, *Vampyrella Spirogyrae* 221, *pendula* 222, und vorax 224, *Nuclearia simplex* 226, *Actinophrys sol* 227 und *Eichhornii* 229.
- Rundwürmer — Nematoda.
- Rusconischer After am Ei des *Bombinator igneus* V, 91.
- S**acculus im Ohr des Menschen, Verhältniss zur *Macula acustica* III, 118, Nervenverlauf im — 119, Lagenverhältnisse 130.
- des häutigen Labyrinths der Knochenfische XIV, 294, *Macula des —* 295, *Sagitta*, *Otolith des —* 295.
- hemiellipticus des häutigen Labyrinths der Batrachier XVII, 502, Nervus 526, *Macula acustica* 526, *Otolith* 526.
- des Gehörorgans der Ganoiden XVIII, 491.
- des häutigen Labyrinths der *Chelonii* XX, 289, Recessus 289, Nervus 320, *Macula acustica* 320, *Otolith* 321.
- der *Hydrosaurii* XX, 349, der *Ophidia* 323, der *Saurii* 339.
- Saenuris, äussere Bedeckungen I, 260.
- Säugethiere, Eierstock I, 151, Entwicklung der Urniere und Beziehung zu Sexualdrüsen 158, Samenkörper I, 318, Entwicklung 406.
- Retina II, 195, Zapfenfasern 196, Stäbchen 198.
- Homologon der Allantois II, 487.
- Spinalganglien IV, 47, kleinere 54, grössere 54.
- Geschmacksorgane IV, 154, *Papillae vallatae* 155.
- Bau der Thränendrüse V, 338, Zellen 338.
- *Musculus Dilatator Pupillae* VI, 89.
- Milz VI, 541.
- Bildung der Fettzelle im subcutanen Gewebe VII, 49.
- Keimbläschen des Eies VIII, 20.
- Pigmentschicht der Retina VIII, 84.
- Gehörschnecke VIII, 146, 200, Schneckenkapsel, Bau 147, Spiralfasern der Schnecken 211.
- Säugethiere, Terminalkörperchen der Haare einiger — VIII, 274, 654.
- Vergleich mit dem Jacobsonschen Organ der Schlangen VIII, 327.
- becherförmige Sinnesorgane auf Zungenpapillen VIII, 348, Vergleich mit Schlangen.
- Dotterhaut VIII, 401.
- Gallertgewebe des Zahnes, Vergleich mit der Entwicklung des Zahnbeines der Schlangen IX, 23, 27.
- Nerven der Cornea IX, 225.
- Nervenbügel IX, 559.
- Niere, Anatomie und Physiologie X, 2, Epithelien 2, der Malpighischen Kapsel und des Gefässknäuels, Untersuchungsmethode 3, der gewundenen Harncanälchen 4, trübes Epithel, Stäbchenepithel 4, Untersuchungsmethode frischer 5, gehärteter 8, Isolationsmethode 11, Epithel der Henleschen Schleife 15, der Schaltstücke 16, Sammelröhren 17 und Ausflussröhren 18, Vergleichend-anatomische Bemerkungen 20, 26.
- Umwandlung des Hypophysensäckchens in Drüenschläuche XI, 416.
- Vergleich mit Zähnen der Amphibien XI, Suppl. 64, mit der Entwicklung der Zähne 79, Vergleich mit Mundhöhlenscelett der Amphibien 178.
- Retina XII, 779.
- Haut, Entwicklung XIII, 229, Epidermis zweischichtig 228.
- Nervenendigung im quergestreiften Muskel XIII, 366.
- äussere Körnerschicht der Retina, Hohlräume XIII, 424.
- acustischer Endapparat XIII, 497.
- fermentbildende Zellen der Labdrüsen XIII, 751.
- Thymus, Bau und Entwicklung XIV, 343, Litteratur 344, Halstheil 345, Brustheil 345, Lage 345, Bau des primären Läppchens 354, erste Anlage 384.
- Canälchen der Knorpelgrundsubstanz XIV, 495.
- Schlüsselbein XIV, 558, Sternum 560, 570, Schultergürtel 569.

- Säugethiere, Verhalten der Knochen im tertiären System XV, 376.
- Blutbildung XVIII, 483, Blutgefäßbildung 490, 492.
- Niere, Entwicklungsgeschichte XVI, 517, Anlage des Pelvis renalis 512, Pseudoglomerulus, Bildung 513, Glomerulus, erste Anlage 514, Endothel der Capillaren des Malpighischen Körperchens 514, Membrana propria des Glomerulus, Ursprung 515, Papillenbildung 516, Trennung von Mark und Rinde 516, erste Harnsecretion beim Embryo 517, secretorische Canäle des Embryo, Umwandlung 518, Locomotion der Glomeruli 516.
- Chorda XVI, 597, Litteratur über das Vorhandensein von Resten der Chorda bei Erwachsenen — 597, über das Verhalten der Chordascheide 598, Bau des Chordarestes bei jugendlichen und erwachsenen — 598.
- Spermatogenese XVIII, 31.
- Regenerationsvorgänge im Eierstock XVIII, 82.
- indirecte Kerntheilung XVIII, 185.
- Schlemmscher Canal XIX, 175.
- Bedeutung der Membrana basalis Retinae XIX, 167, Fontanascher Raum, vergleichend anatomische Studien 168, Verhalten zur Membrana Descemetii 167.
- Nervenendigung im quergestreiften Muskel XIX, 345.
- Entwicklung des Eies XIX, 442, Litteratur.
- Verhältniss des Keimepithels zum Peritonealendothel XIX, 457, Eibildung und Beziehung zum Follicelkelepitel des Ovariums 464, Kornzellen 464, reifes Ei 482.
- Kenntniss der Wolffschen und Müllerschen Gänge XX, 92, Litteratur 92.
- Karyokinesis XX, 142.
- Vergleich mit Keimblattbildung bei Hühnern XX, 207.
- Säulenglöckchen — Epistylis.
- Säuren, Einwirkung auf die Zellen der Labdrüsen des Magens VI, 377, auf Myelin XIX, 198, Nervenmark 199.
- Saftbahnen im hyalinen Knorpel XIV, 65, Litteratur 65, Untersuchungsmethode 68, Asphalt und Bryol zur Injection 70, Zusammenhang mit periostalen Lymphgefässen 71.
- Saftbahnen des Knorpels XIV, 499.
- des hyalinen Knorpels XVI, 1, Isolirung 2, durch Chromsäure 5.
- der Patella von Embryonen XVI, 8, Untersuchungsmethode 9, Litteratur 12.
- Saftanälchen der Cornea VIII, 539.
- interterritoriale, des Knochens, XI, 67, Haverssche oder generelle 66.
- Saftcanalgeflecht des Knochens XI, 65, 66.
- Saftröhren des Eies der Knochenfische VIII, 420.
- Sagitta, Vergleich mit Bildung der Leibeshöhle bei Amphioxus lanceolatus XIII, 190.
- Otolith der Macula Sacculi des häutigen Labyrinths der Knochenfische XIV, 295.
- Salamandra, Corticalschicht der Leber vom Batrachiertypus III, 434.
- Retina VII, 83, Stützsubstanz 83, 94, äussere Körnerschicht 87, Kolben 88.
- Thymus, Lage XIV, 347.
- Keimepithelinseln und Pflügersche Schläuche XV, 403.
- Bau des ruhenden Zellkernes bei Larven XVI, 304.
- Epithelzellenkerne der Schwanzflosse der Larve XVI, 313, Einbuchtung 314.
- Structur der Zellsbstanz des Epithels der Larven XVI, 342.
- Zelltheilung in Epithelien der Larven XVI, 363, Veränderung im Kern 363, Korbgerüst mit enggewundenen Fäden 364, Korbform des Mutterkerns 374, Sternform 376, Doppelstern 379, Aequatorialplatte 381, Kernfigur, Trennung 385, Sternform der Tochterkerne 387, Knäuelform 388, Zelltheilung 388, Gerüstform der Tochterkerne 390, Tochterkernfigur, erste Entstehung 392, Veränderung im Protoplasma 371, Polkörner 372, dicentrische Anordnung des Zellenleibes 372.
- Maasse von Zellkernen XVI, 425, Epithel, erwachsener, Zelltheilung 397.
- Entwicklung der Samenfäden XVIII, 233, indirecte Kerntheilung 234, Bau der fertigen — 240, Ur-

- sprung aus Samencysten 249, Literatur 253.
- Salamandra, Theilung der Hodenepithelzellen XVIII, 170.
- Kernvermehrung der mehrkernigen Hodenepithelzellen XVIII, 188.
- atra, Bau der Samenkörper III, 266.
- Erd-, Harnblase, Zellkerne XIII, 696, Netzbildung 707, 711, nach Chromkali 699, Alkohol 700, Anilin 702, Chromsäure 700, Osmiumsäure 701, Aqua destillata 704.
- maculata, amöboide Bewegung der Hodenzellen I, 305.
- Gallengänge der Leber III, 96.
- Samenkörper III, 266.
- Nervenbügel der Muskeln IX, 545, Endigung der Nerven im Muskel 545.
- XI, Suppl. 26, Unterkiefer 26, Rückbildung des Operculare 27.
- Grenze zwischen Zahnkrone und Sockel XI, Suppl. 47.
- Ersatzzähne, Entwicklung XI, Suppl. 71, Ersatzleiste, Basalmembran 71, jüngste Zahnanlage 72, Dentinkeime 72, Schmelzmembran 73.
- Veränderung des Mundhöhlenskeletts XI, Suppl. 115.
- Cuticula, feine Punktirung der Zellen, Bedeutung XII, 122.
- Samenkörper, Umwandlung aus Spermatoocyten XII, 805.
- maculosa, Haut der Larve IX, 745.
- Riechzellen XI, 471.
- Organe des VI. Sinnes XII, 168, 171.
- schlauchförmige Drüse der Haut XII, 201.
- Muskel der Hautdrüse XII, 204, Spindelzellen 204, Riesenzellen des Epithels 210, der Hautdrüse
- Rückenmark und Chorda dorsalis der Larven XII, 514.
- Nervenendorgane XII, 523.
- Brustbein und Schultergürtel XIV, 603.
- Larven, Karyokinesis XX, 135, im Gewebe 136, in Organen 137, Epithel 137, Blut 138, Nervensystem 139, im Epithel der Hautdrüse 141, der Drüsen der Darmschleimhaut 141.
- Salamandrina, Leber III, 430, farblose, amöboide Zellen in corticalen und centralen Theilen 432, Vertheilung des Pigmentes in der corticalen Schicht und den centralen Inseln 434, Melanose der Leber 435, periodischer Wechsel der Pigmentirung 436 und Zusammenhang mit Keimstoffproduction 436.
- Quadratknorpel des Primordialcranium XI, Suppl. 10, Knochen des Gaumenbogens 17.
- Vertheilung der Zähne XI, Suppl. 35, 39, Anordnung auf den Knochen der Mundhöhle 37. Beziehung der Mundschleimhaut zu den Zähnen $\frac{1}{2}$ zu Batrachiern 56, Zellen des Zahnsockels 62.
- Papillen mit Drüsenöffnungen an der Kloake XII, 157.
- Organe des VI. Sinnes XII, 166.
- häutiges Labyrinth XVII, 538.
- perspicillata, Höckerbildung der Cuticula XII, 128, Papillen der Cutis 155.
- Salmo, embryonale Anlage der Augenlinse XI, 386.
- fario, Anlage des Herzens und Herzbeutels IV, 257.
- peripherer Theil der Urwirbel XI, 266, Umwandlung zu Fascien der Rückenmuskeln.
- Wirbelbögen, untere XVI, 134.
- Bau der Fettflosse XVII, 191.
- Entwicklung der Geschlechtsdrüse XVIII, 21.
- salar, Wirbelbögen, untere XVI, 135.
- Salpen, Vergleich mit Ascidienknospung X, 468.
- Muskeln des Herzens XIV, 482.
- Salpetersäure zur Entkalkung der Knochen XIV, 482.
- Salze, Einwirkung auf Myelin und Nervenmark XIX, 206.
- Salzsäure, Einwirkung auf Samenkörper I, 326.
- Veränderung der Stäbchen der Retina durch — III, 226.
- Einwirkung auf Drüsenzellen der Brunnerschen Drüsen VIII, 108.
- zur Entkalkung der Knochen XIV, 481.
- Samen zur Hefebildung III, 338.
- Samenblase bei Distomum Westermanni XIX, 561, Epithel 561.
- der Trichonisciden XIX, 638,

- Bau, Zellen 639, Erzeugung von Eiern in — 638.
- Samencanälchen, Beziehung zur Malpighischen Kapsel des Wassersalamanders, Triton cristatus und taeniatus X, 25.
- der Ratte, Tunica propria XI, 316.
- Samenelemente der Süßwasser-rhizopoden III, 401.
- Samenfäden, Entwicklung I, 408.
- Vorkommen bei Amphileptus anas IX, 668, Entstehung aus Nucleolus.
- von Loxosoma XII, 7.
- von Salamandra, Entwicklung XVIII, 233, indireete Kerntheilung 234, Bau der fertigen 240, Ursprung aus Samencysten 240, Modus der Entwicklung 249.
- bei Distomum Westermanni XIX, 560.
- Samenfollikel, Vergleich mit Ei XII, 821.
- Vergleich mit Eifollikel XVIII, 35.
- Samenkapsel bei Paraemaecium aurelia IX, 664, 665, bei P. colpoda 667.
- Samenknospen beim Stier XV, 288.
- Samenkörper, Entstehung aus Kernen amöboider Hodenzellen I, 73, Bedeutung der Brutzellen 79.
- Entwicklung I, 309, Untersuchungsflüssigkeiten 311, Glycerin 311, Jodserum 311, Färbung durch Carmin 312, 326, Anilin 312, der Amphibien 312, Rana esculenta 312, Triton taeniatus 314, Vögel 315, Haushuhn 316, Finke 316, Säuger 318, Grenzschicht der — 328, beim Meerschweinchen 330, Veränderung durch Chlorwasserstoffsäure 326, Jod 327, Essigsäure 327, Kali causticum 328, Genese 403, aus Hodenzellen, Entwicklung bei Frosch, Meerschweinchen und mehreren Säugethieren 406, Vögeln 409, Amphibien 409, Fischen 410, Bewegung der — 411.
- der Florideen III, 39, Polysiphonia violacea 39.
- Genese III, 263, 267, Bau beim Menschen 264, beim Igel 264.
- vom Hund im Hoden und Nebenhoden III, 265, bei der Maus 265, Meerschweinchen 265, Kaninchen 265, Wasserfrosch, grüner 266, Salamander, gefleckter 266, Alpen-salamander 266, Genese beim Mehlkäfer 270.
- Samenkörper, Genese X, 495, Literatur, beim Regenwurm 496, 502, Scorpion 496, Flusskrebs 496, Fliege 497, Cypris 497, Insecten 497, Entstehung des Fadens 502, doppelschwänzig, bei Phratora Vitellinae 503, Cyclas cornea 503.
- Entwicklungsgeschichte XII, 528.
- Genese XII, 797, bei Amphibien 797, 819, Rana temporaria 798, Spermatozysten 798, Entstehung 801, 820, Cystenhaut 820, Vergleich 799, mit Follikelhaut 799, Bildung der letzteren 800, Keimlager 800, 820, Spermatogonie oder Ursamenzelle 801, 820, Spermatozyten oder Samenzelle, Umwandlung zum — 802, bei Rana esculenta 805, Triton punctatus 805, Salamandra maculata 805, Bombinator igneus 806, Bufo cinereus 806.
- Kopfbildung 807, Historisches und Kritisches 812.
- Genese XV, 261, Gesetz für dieselbe 308.
- Regeneration bei Rana fusca XVIII, 58, maulbeerförmige Kerntheilung 62.
- Samenleiter bei Distomum Westermanni XIX, 560.
- bei Trichonisciden XIX, 599, 629, bei Trichoniscus roseus 629, Tr. Leydigii 629, Tr. batavus 630.
- Samentasche bei Phreoryctes Menkeana I, 259.
- Sammelröhren der Niere, Epithel bei Säugern X, 17.
- Sammetschwalbe — Trombidium.
- Sandmuschel — Solen.
- Sandvipere — Vipera ammodytes.
- Saprolegnia monoica, Geschlechtsverhältnisse V, 183, Oogonienentwicklung 185, Antheridienbildung 187, Spermatozoiden 189.
- Sarcoode, geformte, der Infusorien III, 393.
- bei Actinosphaerium Eichhornii, Beziehung zu Pseudopodien X, 340.
- Sarcodina, Bedeutung X, Suppl. 43.
- Sarcolemma der Muskeln der Arctiscoiden I, 119, der Anneliden 264, Phreoryctes Menkeana 264, Veränderung bei fettiger Entartung des Muskelgewebes 420, 423.
- der Muskeln der Mollusken V, Suppl. 52.
- Neubildung X, 318.

- Sarcolemma der Infusionsthierc XII, 59.
- Saturnia Pernyi, Farbe der Hautdecke XII, 537, Nerven der Hautdrüse 543.
- Sauerstoff, Absterben der Infusorien nach Abschluss II, 364, Einwirkung auf Flimmerbewegung 373, Probe der Wirkung durch Oxyhämoglobin 374.
- Saugapparat bei Aspidiotus XIII, 46.
- Saugnapfe der Cephalopoden V, Suppl. 60.
- bei Distomum Westermanni, Bau XIX, 539, Muskelanordnung 539.
- Saugvorgang bei Chionaspis XIII, 45.
- Saugwürmer — Trematoda.
- Saurii, Sculptur der Haut IX, 761.
- Retina XII, 431, Stäbchenschicht 432, Kugelzapfen 432, Pigmentkugeln 433, Stützfasersystem 433.
- Brustbein und Schultergürtel XIV, 507, 533, 535.
- Schleifenbildung der Gefäße im Gehirn und Rückenmark XV, 60.
- Verhalten des Hautschildes im Jurassischen System XV, 375.
- inneres Ohr XX, 338, knöchernes Labyrinth 338, häutiges Labyrinth 338, Foramen utriculo-sacculare 339, Sacculus 339, Ductus endolymphaticus 340, Cochlea 340, Pars basilaris 340, Lagena 340, N. acusticus 342, Papilla Retzii 342.
- Scala cochlearis des häutigen Labyrinths der Chelonii XX, 298, Epithel 300.
- des häutigen Labyrinths der Hydrosaurii XX, 351.
- Tympani des häutigen Labyrinths der Chelonii XX, 304.
- Vestibuli des häutigen Labyrinths der Chelonii XX, 304.
- Scapula, Bildung der knöchernen XI, 257.
- bei Anguis fragilis XIV, 532.
- bei Säugern XIV, 558.
- Ossification bei Batrachiern XIX, 35.
- Scapulocoracoideum bei Cnemidophorus sp. XIV, 512, 521.
- Scarabaeus, Fettkörper, Bedeutung IX, 79.
- Scaroidei, Untersuchung von Knochen der Mundhöhle gleicher Entstehung XI, Suppl. 171, 174.
- Scelett bei Raphidiophrys pallida, inneres X, 381, äusseres 382.
- Scelett der Mundhöhle bei Amphibien, Beziehung zum Zahnsystem XI, Suppl. 1, embryonale Entstehung 85, Vergleich mit den übrigen Wirbelthieren 165, den Knorpelfischen, Dipneusten, Knochenfischen 166, mit Amnioten, Reptilien, Vögeln, Säugern 170.
- der Mundhöhle der Knorpelfische, Forellen-embryonen, Entstehung durch Verschmelzung von Zähnen XI, Suppl. 175.
- Scelettanlage bei Comatula mediterranea XII, 594.
- Sceletogene Schicht der Chorda von Petromyzon Planeri und fluviatilis XV, 318.
- Scelettschicht der Wirbelbögen und Rippen der Plagiostomen XV, 496.
- Scelettstachel der Radiolarien, Vergleich mit den Pseudopodien bei Actinosphaerium Eichhornii X, Suppl. 184.
- Scelettsystem der Wirbelthiere, zur vergleichenden Morphologie XIV, 502, XV, 315, 442, XVI, 117.
- Schabe — Blatta.
- Schädel bei Bombinator igneus V, 118.
- der Amphibien, knorpeliger und knöcherner Theil XI, Suppl. 5, Belegknochen, perichondrostische /- zu enchondrostischen 6, Basis, Belegknochen 12, Knochen des Oberkiefer- 12 und Gaumenbogens 14 und Parasphenoid 23.
- der Wirbelthiere, Theorie XI, Suppl. 196, Entstehung der Knochen 200, Wirbelzusammensetzung 196.
- der Kaninchen, Corrosion des Periostes XVI, 486.
- Schädelbasis, primitive XI, 397.
- chordaloser Theil XI, 433, letzte Veränderungen der Chorda in der — 421.
- Schädeldeckknochen, Beziehung zu Deckknochen der Mundhöhle bei Polypterus bichir XI, Suppl. 183, Macropoma 185, Hypostomus und Loricaria 186, Dapidius granulatus 186, Megalichthys Diplopterus und Haloptychius 186.
- Schädelhaut, Entwicklung des subcutanen Bindegewebes VIII, 56.
- Schädelknochen, histologische Zusammensetzung bei Amphibien XI, Suppl. 29.

- Schädelwirbeltheorie, Beitrag zur — XI, 434.
- Schaf — Ovis.
- Schale des Reptilieneies VIII, 238.
- Schalenanlage bei *Fusus* sp. XIII, 129.
- Schalengrube, Anlage bei *Nassa mutabilis* XIII, 112, bei *Fusus* sp. 125, *Natica* 147.
- Schaltplättchen, Wesen im Auge VI, 6, 26.
- Schaltstück der Niere, Epithel bei Säugern X, 16.
- des Magens bei Selachiern XIII, 671, Teleostiern, *Rhombus aculeatus*.
- Schattenkäfer — *Tenebrio*.
- Scheibenschnecke — *Planorbis*.
- Scheide, Henlesche, des Haares, Genese XII, 8, 690.
- Huxleysche, des Haares, Genese XII, 691.
- Stiedasche, bei *Distomum Westermanni* XIX, 561, 571.
- Schwannsche, markhaltiger Nervenfasern, Kern IX, 350, Einschnürungen 351, Bedeutung, Theilung 354, der marklosen Fasern 352.
- — Fortsetzung auf die Tastzellen der Epidermis des Schweinerüssels XI, 643.
- — Verhalten bei markhaltigen Nervenfasern XIII, 3.
- — der markhaltigen peripheren Nervenfasern XIII, 438.
- — und Kernteilung XVII, 172.
- — der Nerven der Cornea XX, 375.
- — Endschicksal bei freier Nervenendigung XX, 380.
- Scheitelbein des Sperlings, Doppelbrechung XI, 678.
- Schellackmasse zu anatomischer Untersuchung, zu Corrosionspräparaten XIII, 645, unter Anwendung von Salzsäure.
- Scheltopussick, becherförmige Sinnesorgane VIII, 341.
- Schienenexese — *Cnemidophorus*.
- Schiffchen — *Navicula*.
- Schildassel, spinnenartige — *Scutigera*.
- Schildkröte — *Chelonii*.
- Schildlaus — *Aspidiotus*.
- Schimmelpilze, Fadenplasmidien III, 308, Sporen und Keimfäden zur Vibrionenerzeugung 319, Culturversuche und deren Nährstoffe 323, Register z. Archiv f. mikrosk. Anatomie.
- Erzeugung von Vibrionen aus — 325, zur Hefebildung 332.
- Schizoneura Ulmi, Bau der Speicheldrüsen XIII, 74.
- Schlammpeitzger — *Cobitis fossilis*.
- Schlamm Schnecke — *Lymnaeus*.
- Schlangen — *Ophidia*.
- Schlauchmembran und Zwischengewebe der Labdrüsen VI, 378.
- Schleife XIX, 240, Geschichtliches 240, Untersuchungsmethode 251, Vorderstranggrundbündel 252, mediale — 252, weiterer Verlauf 271, hinteres Längsbündel 259, Olivenbildung 259, 300, Nucleus centralis 262, Zellen 263, Schleife oberhalb desselben 264, Vorder- und Seitenstrang, Ventralwindung 264, Funiculus olivaris 264, 268, Seitenstrang 269, *Formatio reticularis* 269, obere Olive 271, *Corpus trapezoides* 271, *Taenia Pontis* 272, interni 277, laterale — 277, 301, lateraler Schleifenheerd 279, weiterer Verlauf 283, 297, Bündel vom Pes zur Haube 283, Verbindung mit dem Bindearm 283, Verlauf innerhalb der Vierhügel 288, Verbindung mit *Opticus* 288, 292, 294, Beziehung zum *Corp. geniculatum med.* 295, Litteratur 307.
- Henlesche, der Nieren, Epithel bei Säugern X, 15, Vögeln 20.
- Schleifencanäle von *Phreoryctes Menkeana* I, 283, als Eileiter 285, von anderen *Lumbricinen* und *Hirudineen* 286.
- Schleihe, gew. — *Tinca chrysis*.
- Schleimbildung durch Untergang der Schleimzellen XIII, 336, 345, Theilnahme der *Leucocyten* 350.
- Schleimentziehung, Wirkung auf Drüsen XIII, 351.
- Schleimfaserzotten der Gelenke X, 428.
- Schleimfisch — *Blennius*.
- Schleimgewebe der Trommelhöhle, Entwicklung des fibrillären Bindegewebes V, 515.
- Schleimgewebsschicht des Zahnes XIX, 717.
- Schleimhaut der Nase bei Rochen, Becherzellen III, 196.
- des menschlichen Augenlides III, 360, Epithel 361, Drüsen 361, Schweissdrüsen 363, Schleimzellen 364.
- des *Cavum Laryngis* V, 126,

- Epithel 130, subepitheliale Schicht 131, Fasergerüst 133, Blutgefäße 134, Nerven 135.
- Schleimhaut des Kehlkopfes, zur Kenntniss der Nerven, Blut- und Lymphgefäße VII, 166.
- der Mundhöhle, Nerven VII, 382.
- — Beziehung des Epithels zur Entwicklung der Zähne der Schlangen, undurchbohrter 9 und durchbohrter IX, 22.
- der Drüsen des Nierenbeckens IX, 654.
- des Ostium pharyngeum Laryngis XI, 500.
- des Pharynx XI, 505, des Ostium tracheale Laryngis 513.
- des Mundes, Beziehung zu Zähnen bei Amphibien XI, Suppl. 55, Batrachiern $\frac{1}{2}$ zu Salamandrinen 56.
- Zahnscelett XI, Suppl. 130.
- Ossification bei Wirbelthieren XI, Suppl. 183.
- des Fischdarmes XIII, 651, Untersuchungsmethode 652 und Objecte 653, Litteratur 654, Vorderdarm 655, des Oesophagus 655, Epithel 656, Becherzellen 656, bei Cyclostomen (Myxine) 656, Petromyzonetten 656, (Petromyzon fluviatilis, Planeri und Ammocoetes) Flimmerepithel 656, bei Selachiern 656, Torpedo aculeata 657, Epithel, Haien 657, Raja clavata, Flimmerepithel, bei Ganoiden 660, Cyliinderepithel, Polypterus bischir 660, Flimmerepithel, Lepidosteus, Flimmerepithel 660, Stör, Flimmer- und Becherzellen 660, bei Teleostiern 660, 663, Cyliinderepithel und Becherzellen, bei Lophobranchiern (Syngnathus) 661, Becherzellenepithel, bei Plectognathen (Balistes) 661, Physostomen 661, (Anguilla fluviatilis, Symbranchus marmoratus) Becherzellenepithel, Perca fluviatilis 662, Dipnoi 663 (Ceratodus, Lepidosiren) Teleostiern, Papillen 662, des Magens 663, Epithel 663, 666, Labdrüsen, Auftreten 663, Anordnung und Form 665, Blut- und Lymphgefäße 665, Schleimmetamorphose des Epithels 666, Vergleich mit Becherzellen 666, Kittsubstanz des Epithels 667 bei Syngnathus acus 667, Magendrüsen bei Teleostiern 669, Schleimdrüsen 670, Vorkommen, Magenblindsack 671, des Magens, Bindegewebe 671, bei Syngnathus, quergestreifte Muskelfasern 671, solitäre Follikel beim Karpfen 671, des Schaltstückes bei Selachiern 671, Teleostiern (Rhombus aculeatus) 671, — der Appendices pyloricae 672, Epithel 672, Bedeutung 690, Flimmerepithel bei Rhombus aculeatus 673, Bedeutung 673, — des Zwischendarms, Epithel 675, 676, — des Mitteldarmes 674, bei Cyclostomen 674, der Spiralklappe 675, bei Petromyzon fluviatilis, — des Mitteldarmes, bei Myxine 675, bei Ammocoetes, Peyersche Plaques, Spiralklappe bei Squatina angelus 677, Torpedo Galvani 677, Bedeutung bei Selachiern 678, bei Ceratodus, Lepidosiren annectens 679, des Mitteldarmes der Ganoiden 680, bei Teleostiern 680, Faltenbildung bei Cyprinoiden 681, Pleuronectes solea 681, — des Zwischendarmes 680, bei Lepidosteus, Polypterus, Zotten der — bei Corvina nigra, Gobius melanostomus, Balistes, Crenilabrus fuscus und perspicillatus 682, Mugil cephalus 682, — Bindegewebe 682, wandungsloser Lymphraum 682, 683, — des Teleostierdarmes, Epithel 684 mit Fortsätzen, Verhalten zum umgebenden Gewebe 684, Porencanalraum 684, 685, Flimmerepithel bei Rhombus aculeatus 685, Syngnathus acus 685, Becherzellen, Vorkommen 685, Nervenzutritt zu — 686, — des Mitteldarmes von Cobitis fossilis 687, Fehlen des Epithels, directer Uebergang von Chynus ins Blut 688, — des Enddarmes bei Petromyzonetten 688, Ganoiden 689, und Teleostiern, Flimmerepithel der Zotten bei Rhombus aculeatus 689, bei Zeus faber 689, Magenschleimdrüsen, Ursprung 690.
- des Magens von Triton XIV, 198.
- der Nase, Beziehung der Lymphgefäße zu Lymphräumen des Eies XVII, 366.
- Veränderung bei Entzündung XVIII, 149.
- des Darmes von Salamandra, Karyokinesis in den Drüsen XX, 141.
- des Magens vom Menschen XX, 221, Tunica propria 242.

- Schleimhautzähne der Amphibien, Umwandlung zu definitiven Zähnen XI, Suppl. 41.
- der Selachier, Vergleich mit primitivem Urodelenzahn XI, Suppl. 101.
- Schleimmark, Entstehung aus Knochenmark XVII, 32.
- Schleimmembran junger Tritonen, Zahnscelett XI, Suppl. 125.
- Schleimmetamorphose in der Submaxillaris des Meerschweinchens V, 346.
- der aus Lunulae hervorgegangenen Zellen XIII, 343.
- Schleimzotten der Gelenke X, 428.
- Schlinger — Python.
- Schlüsselbein bei *Cnemidophorus* sp. XIV, 509, 513, 516, 517, bei *Anguis fragilis* 532, Vögeln 552, Episternalfortsatz 555, bei Säugern 559.
- Schlundkopf des Menschen, adenoides Gewebe der Pars nasalis IV, 1, 17.
- Schlundkopfgewölbe, Anfang IV, 4, Structur 5.
- Schlundkopfmusculatur von *Chiton squamosus*, Pigmentirung, Ursache V, Suppl. 36, bei Gastropoden, Pigmentirung V, Suppl. 36.
- Schlundring bei *Ascaris*, Lage X, 77, Ganglienzellen in der Nähe des — 86.
- Schmeckbecher der Papillae vallatae der Zunge III, 505, 508, IV, 161, Untersuchung mit Ueberosmiumsäure IV, 16, mit Kali bichromicum 171, Vertheilung auf den Papillen 168, beim Schwein 168, mikroskopischer Bau 172, Härchen und Stiften 164, Deckzellen 172, Geschmackszellen, Zusammenhang mit Nervenfasern 173, 175, Stab- und Stiftenzelle, Werth 175, der Papillae fungiformes des Kalbes 183.
- in der Haut der Mollusken V, Suppl. 50.
- Schmelz der Zähne, Ursprung IX, 2, Entwicklung und Beziehung zu Keimblättern 32, der durchbohrten Zähne der Schlangen 20.
- der Amphibienzähne XI, Suppl. 59, Schichtungsstreifen 60.
- des Haifiszahnes XI, Suppl. 65.
- Entstehung bei Ersatzzähnen von *Rana* XI, Suppl. 75.
- der Zähne der Anuren XI, Suppl. 139.
- Schmelz, Vorhandensein bei Polyp-terus bischir XI, Suppl. 185.
- des Hechtzahnes XX, 385, 409.
- Schmelzmembran des Zahnes der Anuren XI, Suppl. 139.
- der Ersatzzähne bei *Salamandra maculata* XI, Suppl. 73, bei *Rana* 75.
- Schmelzoberhäutchen, der Ersatzzähne von *Rana* XI, Suppl. 75.
- des Hechtzahnes XX, 385, 409.
- Schmelzorgan des Zahnes, Verhalten des nicht zur Schmelzbildung verwandten Restes XIX, 710.
- Schmelzröhren der Amphibienzähne XI, Suppl. 61.
- Schmelzspitzen des primitiven Urodelenzahnes XI, Suppl. 98.
- Schmetterlinge — Lepidoptera.
- Schmetterlingsflügel, porifere Vorkommnisse der Chordotonalorgane XX, 601.
- Schmetterlingsraupe, Tracheen in der Nähe des Herzens IX, 182.
- Schmetterlingsrüssel, neue Untersuchungen XIV, 308, Cylindergebilde des — 310, bei *Vanessa Jo* 310, *Catocala* 311, *Ophideres fullonica*, Umbildung 311, 314, *Egybolis Vaillantina* 312.
- Untersuchungen XV, 8, von *Ophideres fullonica*, Anwendung 9, von *Achaea Chamaeleon* 9, *Egybolis Vaillantina* 10, Umbildung aus anderen Organen 11, 13, 21, Mittelstab im Cylindergebilde des — bei *Vanessa Jo*, *Catocala* 12, bei Lepidopteren 13, 23, Haare 14, bei *Zygaena filipendula* 15, Cylindergebilde und Bedeutung, bei *Pieris*, Cylindergebilde 16, *Lucaena Adonis*, Cylindergebilde 16, *Epinephele Janira*, Cylindergebilde 17, *Argynnis*, Cylindergebilde 17, *Arge Galathea*, Cylindergebilde 18, *Catocala Hymeneae*, Cylindergebilde 19, *Vanessa Jo*, Cylindergebilde 21, Entstehung der Cylindergebilde, *Ophideres fullonica*, Verschluss des — 28.
- Schmuckvogel — *Ampelis garrula*.
- Schnabel der Waldschnepfe, Vaterische Körperchen IV, 195, Knochengestüst 200, Lederhaut 201, Epidermis 203, Verhalten der Nerven 203 und Blutgefäße 203.
- der Hausschwimmvögel, Tastkörperchen XI, 639, Nerveneintritt 640, Lage 640.
- bei *Coccyzus* XIII, 37, *Conus* 38,

- Borsten 38, Hervortreibung 39, Vagina 39, Schlingenbildung 39, Tasche, Crumena 42, Bau und Bedeutung 43, Vagina bei Dorthesia 44, Coccus Adonium 44, Lecanium 44, Infundibulum 45, Embolus, Beziehung zu Cylindrus 46, Regula 46, Stapes 46, Uva, Zapfen 47.
- Schnabelkerfe — Hemiptera.
- Schnauze vom Kaninchen, Nervenendigung in den Tasthaaren XV, 45.
- Schnecken — Gasteropoda.
- Schneckenauge, Bau II, 399.
- von Wirbelthiertypus XIV, 118.
- Schneckenaxe der Lamina spiralis ossea VIII, 148, Periost 150.
- Schneckenanal, äussere Wand — Stratum semilunare.
- Schneckenkapsel bei Menschen und Säugethieren, Bau VIII, 147, Entwicklung 148.
- Schnellfärbung von Obersteiner XV, 136, durch Erwärmen 527.
- Schnellgefriermicrotom von Charles Roy XIX, 137.
- Schnepfenschnabel, Vatersche Körperchen IV, 195, Innenkolben derselben 197, Knochengerüst 200, Lederhaut 201, Epidermis 203, Verhalten der Nerven und Blutgefässe 203.
- Schnirckelschnecke — Helix.
- Schnürringe, Ranviersche, der markhaltigen peripheren Nervenfasern XIII, 439, 445, Beziehung zur Nervenfasern 4, Beziehung zu Lantermannschen Einkerbungen 450.
- der Schneckenerven des acustischen Endapparates der Säuger XIII, 524.
- Schnurwürmer — Nemertina.
- Schönauge — Euglena.
- Scholle — Platessa.
- Schopfstern — Comatula.
- Schraubenmicrometer von Mohl, neue Einrichtung I, 79, 91, von Frauenhofer 80, Ocular — von Ramsden I, 90, Fehlerquellen 81, Messung mit — 94.
- Schultergürtel bei Amnioten XIV, 507, Reptilien 507, Sauriern 507, Cnemidophorus sp. 508, 512, 515, 517, Anguis fragilis 227, 230, 231, Cheloniern 536, Krokodilen 545, Enaliosauriern 547, Ichthyosaurus 547, Vögeln 557, Säugern 569, Amphibien 570, Anuren 571, Urodelen 600, Salamandra maculosa 603, Triton 604.
- Schuppen, Entwicklung bei Reptilien und anderen Wirbelthieren XIII, 227, erste Anlage aus Cutispapillen 233, Vergleich mit Haar und Federn 235, Weiterentwicklung 236, Entwicklung am Laufe des Hühnchens 243, Epidermis 244, Zellen der Epitrichialschicht 244, 246, der Schleimschicht 244, Anlage aus Cutispapillen 244, Weiterentwicklung und Vergleich mit der Embryonalfeder 244, Körnerschicht 245, verzweigte Pigmentzellen 245, ritzzellenartige Zellen unter der Körnerschicht 247, Haupt — bei Dacypus novemcinctus 250; Anlage 251, Epidermis 252, Zellen, Epitrichialschicht 252, Cutis 253, Furchen 250, Homologie mit Federn 257.
- des Corium einheimischer Ophidier, Entstehung IX, 769.
- der Dipnoer, Histologie XVIII, 122, von Lepidosiren annectens 123, Zähne 126, Vergleich mit Ceratodus 127.
- Schuppenmolch — Lepidosiren.
- Schuppenwurm — Polynoe.
- Schwämme — Spongiae.
- Schwärmer, der Zoosporeae I, 205, Palmellaceae 207, Chlamydomonas 207, von Pseudospora volvocis 214, Colpodella pugnax 214, Bodo 217.
- von Lepthothrix, Verhältnis zu Vibrionen II, 67, Bewegung 69.
- aus Vibrionenkeimen, Weiterentwicklung III, 322.
- Bildung bei Noctiluca miliaris VII, 131, IX, 55.
- Bildung bei Radiolarien, VII, 372, Collosphaera spinosa 374, Collozoum inerme 376.
- von Amoeba terricola X, Suppl. 21, 26.
- Bildung bei Loxosoma XII, 12.
- Bildung bei Cystophrys Infusio-num XII, 29.
- Schwalbe, Retina XII, 779.
- Schwammkörper, Nesselkapseln, Bedeutung XIII, 799.
- Schwanzende bei Ascaris, Bau X, 97, der Männchen 98, Weibchen 97.
- Schwanzpapillen, Beziehung zu Nervenfasern bei Ascaris X, 94.
- Schwanzfalte, Bildung II, 387, Blätter 390.
- Schwanzflosse der Batrachier, Tastkörperchen und Endorgane der Nerven XII, 513.

- Schwanzflosse der Salamanderlarven, Epithelzellenkerne XVI, 313, Einbuchtungen 314.
- Schwanzmonade — Bodo.
- Schwanzmuskel der Maus, Beziehung zum Nerven IX, 41.
- Schwanzstachel von Trygon XX, 247.
- Schwanzwirbel, Ossification bei Batrachiern XIX, 34.
- Schwanzwulst, Bildung II, 387, beim Ei von Chironomus.
- Schwebfliege — Syrphus.
- Schwefelsäure auf Leuchtzellen der Leuchtorgane von Cucuyos VIII, 466.
- Einwirkung auf Vibronen VIII, 518.
- Wirkung auf Myelin XIX, 198, Nervenmark 199.
- Schwefelwasserstoff, Bildung durch Beggiatoa III, 54.
- Schwein — Sus.
- Schweissdrüsen canal, Beziehung zu Schichten der Oberhaut XII, 683.
- Schwellgefäße bei Muscheln XIII, 851, 859.
- Schwellgefässnetze der Muscheln XIII, 820, 831.
- lacunäre XIII, 842, 861.
- Schwellgewebe der Muscheln XIII, 818, Schleimzelle 820, Uebergangsbahnbahn 831, Zellen 846.
- Schwellnetz der Acephalen XIII, 565.
- lacunäres XIII, 566.
- Schwimmbeutler — Chironectes.
- Schwimmkäfer — Dytiscus.
- Schwimmen des Seidenschwanzes, Bau der rothen Blättchen VIII, 639.
- Sciurus, Papillen der Zunge VI, 241, 256.
- vulgaris, Hodenzwischensubstanz XVIII, 89.
- Sclera des Auges und Function, durch die Thierreiche verfolgt II, 417.
- Nerven IX, 226, 277.
- des unioornealen Tracheaten- und speciell des Arachnoideen- und Myriopoden-Auges XVII, 63.
- Scleralrinne des Auges, Wesen VI, 297.
- Scleropacei, Doppelbrechung der Hornschuppen XI, 672.
- Sclerotica, Beziehung zum Ciliarmuskel III, 489.
- Verhalten zur Chorioidea VI, 4.
- Scobicularia, Kiemenleiste XI, 551.
- Scolopendridae, Auge XVIII, 434, Glaskörper, Beziehung zu Hypodermis 434, Retina 436, Retinazellen 437, Stäbchen 437, Nervus opticus 439, Pigmentumhüllung desselben 440, Auge, Leistung 461.
- Scolopophoren der Insecten XX, 510, Bau 538.
- Scolopophorensystem der Insecten XX, 543, Bau, Zahl 543, Anordnung und Verbindung 544.
- Scomber, Doppelbrechung der Hornschuppen XI, 673.
- Scobrini, Doppelbrechung der Hornschuppen XI, 673.
- Scorpaena scropha, Doppelbrechung der Hornschuppen XI, 672.
- Scorpion, Genese der Samenkörper X, 496.
- Formelemente der Retina XVIII, 421.
- Scorpionstemma, retinulaartige Gruppierung der Netzhautstrahlen XVII, 85.
- Scutigera, Auge XVIII, 449, Leistung 463, Krystallkörper 450, Retinula, Bedeutung 452, Stäbchen 456, Opticusendigung 454, Pigmentzelle 456.
- Scyllarus, Krystallkörper IV, 18.
- Scyllidea, Auge XVII, 305, Retina 306.
- Scyllien, Cuticularschicht der Chorda XV, 467.
- Wirbelbögen und Rippen XV, 495.
- Scyllium canicula, Bau der Retina XII, 756.
- catulus, Seitenorgane, Lage XVII, 466, Kolbenzelle 467, Innervation 468.
- Seymnus, Cuticularschicht der Chorda XV, 468.
- Scyphistoma, Bau VI, 364.
- Sechsnapf — Polystoma.
- Secret der Drüse bei Amphibien XII, 214, Bombinator igneus 214, Bufo vulgaris 214, Bufo variabilis 217, Rana typhonica 218, Bedeutung 218.
- der Leber der Onisciden XVII, 414.
- der Schalendrüse von Distomum Westermanni XIX, 568.
- Secretbildung, Beziehung zu Drüsenzellen XIII, 730.
- Secretbüschel der Drüsen des Muskelmagens der Vögel, Bedeutung und Beziehung zu Secretzellen VIII, 439.

- Secretion der Becherzellen der Fischoberhaut III, 151.
- Secretionscanälchen der Orbitaldrüse XIII, 310, Beziehung zu interalveolären Bildungen.
- Secretionsorgane der Dünndarmzotten III, 184.
- Secretionszellenband der Leber der Gammaride XVII, 428.
- Seebarbe, gemeine — *Mullus barbatus*.
- Seedrache — Chimaera.
- Seeigel — Echinidea.
- Seekröte — *Chironectes*.
- Seemuscheln, Kieme XI, 547, Kiemenleiste 550.
- Seepferdchen — *Hippocampus*.
- Seeraupen — *Aphroditea*.
- Seescheiden — *Ascidia*.
- Seeschwämme — *Spongiae*.
- Segelanlage bei *Fusus* sp. XIII, 130, *Nassa mutabilis* 116.
- Segelbildung bei Gasteropoden XIII, 161.
- Segmentalorgane bei *Torpedo oculata*, Umbildung XI, 571.
- Segmentationshöhle bei *Nassa mutabilis* XIII, 107, 108.
- Segment, Bildung bei der Unke IX, 409.
- Segmentblatt der Unke IX, 407, 403.
- Segmentplatte, Anlage bei Unke IX, 403, innere und äussere.
- beim Hühneri X, 179.
- Sehne, Ossification I, 369.
- Bau VII, 277, im embryonalen Leben aus *Centrum tendineum* 278, Zellen mit elastischen Streifen 280, 281, — der Schwänze ausgewachsener Nagethiere 282, elastische Streifen, Eigenthümlichkeiten 286, Vorhandensein einer Scheide 293 in der verknöchern — der Vögel 296, Litteratur 299, Donderssche Bänder 289.
- des *Musculus quadriceps*, bindegewebiger Knorpel X, 418.
- Endkölbchen der — XVI, 617.
- Sehnengewebe, streifiges des Pericardialseptum der Insecten IX, 164, Verhalten gegen Reagentien 166, Zellen 167.
- Sehnenhaut der Chorda von *Petromyzon Planeri* oder *fluviatilis* XV, 319.
- Sehnenkörper, Ranviersche IX, 282, Untersuchungsmethode, Form 283, Bau in der Rattensehne 284.
- Sehnenverknöcherung I, 369.
- Seidenschwanz — *Bombycilla garulus*.
- Seitencanalsystem, Beziehung zu Seitenorganen bei Fischen und Amphibien VI, 69, 75.
- von *Platessa vulgaris*, Entwicklung VI, 69, vom Kaulbarsch, Nervenknöpfe, Epithel 71, birnförmige Zellen 72, Vertheilung markhaltiger Fasern in Nervenknöpfen 73, Beziehung zu Seitenorganen 75.
- Seitengefäss bei *Ascaris* X, 91.
- Seitenorgane bei Fischen und Amphibien VI, 62, Bau 64, Cylinderzellen 65, Epithelzellen 65, Haare 66, Beziehung zu Seitencanalsystem 67, zum Seitencanalsystem 69, 75.
- von *Gobius minutus* VI, 71, Kaulbarsch, Beziehung zum Seitencanalsystem 75, bei Amphibien 76, *Triton taeniatus* 77, Bau 79, Haare 78, Bedeutung 80.
- der Haut der Larven von *Salamandra maculosa* IX, 748.
- der Fische, Anatomie XVII, 95, Chimaera 95, Litteratur 98, Untersuchungsmethode 101, — der vorderen Kopfreion 102, Sinnesepithel 103, Stützellen des Epithels 106, Zwischenfeiler 106, Basalzellen 106, gewöhnliches Epithel 107, *Cupula terminalis* 109, — primäre Form 110, — Hartgebilde 111.
- der Fische XVIII, 458, der Seelachier 458, Haie 466, *Scyllium catulus* 466, Lage, Kolbenzellen 467, Innervation 468, bei *Acanthias vulgaris* 470, *Mustelus laevis*. Innervation 475, Schuppen 475, der Rochen, Kopf 476.
- der Fische XVIII, 364, der Knochenfische 364, 370, der *Dipnoi* 365, *Ceratodus* 365, *Lepidosiren* 366, *Ganoidei* 367, *Acipenser* 367, *Amia* 367, *Lepidosteus* 368, *Polypterus* 369, freie bei *Gobius* 373, *Gobiodon* 377, *Gasterosteus pungitius* und *aculeatus* 378, Hecht 379, *Carpio Kollarii* 382, Entwicklungsgeschichtliches 383, bei Forellenembryonen 384, Bildung des Kanalsystems 386, freie, *Helmichthys* 386, in Kanälen bei *Aserina cernua* 387.
- Seitenplatte, Anlage bei der Unke IX, 408.
- Seitenstrang der Schleife XIX, 264, 269.

- Selache, Organe des Oesophagus, Gittervorrichtung XIII, 659.
- Selachii, Lorenzische Ampullen IV, 375, untersucht mit Ueberoximsäure 381.
- Abstammung der Chordazellen XI, 392.
- Entwicklungsgeschichte des Eies XI, 569.
- Vergleich mit Zähnen der Amphibien XI, Suppl. 64, Basalplatte, Homologie mit dem Zahnsockel der Amphibien 66, Vergleich mit Zahnentwicklung bei Amphibien 79.
- Schleimhautzähne, Vergleich mit primitivem Urodelenzahn XI, Suppl. 101.
- Zahnwechsel, Vergleich mit Lageveränderung bei Umwandlung des Embryonalceletts der Urodelen in das bleibende XI, Suppl. 113.
- Schleimhaut des Oesophagus XIII, 656, Organe des Oesophagus 658, Zellen 658.
- Schaltstück des Magens XIII, 678, Bedeutung der Spiralklappe des Mitteldarms 678.
- Schleimhaut des Enddarmes XIII, 688.
- Seitenorgane XVII, 458, Literatur 459.
- Hautzähne XX, 246.
- Selandria serva, porifere Vorkommnisse der Chordotonalorgane an den Vorderflügeln XX, 600.
- Selbstinjection des Knorpels XIV, 395, 396.
- Sellio caucasicus, Farbenänderung IX, 778.
- Sepia, Kopfknochen V, Suppl. 14, Aequatorialring 15, Knorpelzellen desselben 15.
- Porencanälchen im Ohrknorpel IX, 96.
- Anordnung der Blutgefäße des Auges XVI, 225.
- officinalis, Flitterschicht V, Suppl. 72.
- Septum posticum des Rückenmarks, Bedeutung IX, 315.
- transversum des Gehörorgans der Ganoiden XVIII, 489.
- Serpentes Eyrystomi, Doppelbrechung der Hornschuppen XI, 670.
- Sharpey'sche Fasern I, 373.
- Sicus ferrugineus, otocystenartige Sinnesorgane der Antennen XVI, 41.
- Sida crystallina, Hüllen der Geschlechtstoffe, Vergleich der männlichen und weiblichen XVIII, 55.
- Siebenschläfer, Modell der rothen Blutkörperchen VIII, 475.
- Silber, zur Untersuchung des Epithels VI, 20.
- salpetersaures zur Untersuchung der Gehirnrinde Neugeborener IV, 444.
- Silberammoniak zur Gefäßinjectionen XIII, 649.
- Silberbehandlung zur Untersuchung von Epithelien im Auge VI, 5, 9, 20.
- Silberinjection, Einwirkung auf Capillargefäße des Frosches, verglichen mit der der Inductionsströme V, 61, auf Epithel der Nickhaut des Frosches 62, auf Froschlarsvenschwanz 80.
- Silpha obscura, Muscularis des Rückengefäßes IX, 137.
- Silurus Glanis, amöboide Bewegungen des Kernkörperchens des Eies XI, 325.
- Sinnesapparate, tympanale der Orthopteren, Vergleich der Endschläuche mit den stemmalen Retinastrahlen des unioornealen Tracheaten, speziell des Arachnoiden- und Myriopoden-Auges XVII, 80.
- Sinnesbecher an den durchbohrten Zähnen der Schlangen IX, 12.
- Sinnesorgane der Lungenschnecken I, 52.
- der Rüsselspitze der Heteropoden V, Suppl. 59.
- der Seitenlinie bei Fischen und Amphibien VI, 62, Bau 64.
- Entwicklung bei einfachen Ascidien VII, 116.
- eigenthümliche, Entwicklung aus Pigmentflecken bei Ascidia canina VI, 143, 152.
- der Schlangen VIII, 317.
- von Tropidonotus natrix VIII, 318.
- der Haut bei Pterotrachea XIV, 175.
- der Acraspedoten, percipirende Elemente XIV, 400, XV, 38, der Craspedoten XIV, 403.
- der Trichonisciden XIX, 599.
- becherförmige, in der Haut von Doris V, Suppl. 53.
- der Schlangen VIII, 329, Vorkommen, Nerven 330, Verlauf und Endigung 334, Epithel und Epithelhügel 332, Schleinzellen 332, 336, terminale Ganglien kugeln

- 334, Blutgefäße 335, innere Zelle der Epithelhügel, Bau und Bedeutung 336.
- Sinnesorgane, becherförmige, bei der Blindschleiche VIII, 338, Innenzellen 339, bei Scheltopusick 340, *Pseudopus Palasii* 341, *Branchiosstoma lubricum* 344, Vergleich mit anderen Thierklassen 345, aus der Mundhöhle der Froschlarven 348, aus den Zungenpapillen der Säuger 348.
- der Haut der Ophidier IX, 766, 767, bei *Coluber viridiflavus* 766, histologisches Verhalten 769.
- in der Mundhöhle von *Amphioxus lanceolatus* XII, 311.
- chordotonale, der Insecten XX, 506, Litteratur 506, Untersuchungsmethode 515, Bau 516, Stifte, mononematische 518, conocephale 520, apicocephale 521, conacocephale 525, cylindrocephale 521, amphinemathe 523.
- Jacobsonsche VIII, 318, bei Schlangen, Beziehung zu Knochen 318, Concha 318, Vomer 319, Knorpel 322, Weichtheile 323, Nerv 323, Epithel 324, Mündungsstelle 326, Vergleich mit dem der Säuger 327, Bedeutung als Geruchsorgan 329.
- otocystenartige, der Insecten XVI, 36, Litteratur, in den Antennen der Dipteren 37, bei *Syrphus balteatus* 38, 40, Bau 38, 40, Haarplatte 40, bei *Sicus ferrugineus* 41, bei *Pelomyza* 42.
- wimpernde, in der Haut der Heteropoden V, Suppl. 58.
- Sinnesplatte, Bildung bei der Unke IX, 397.
- der Teleostier XV, 157, Beziehung zur Axenplatte 157, Grenz-furchen 159.
- der Amphibien XV, 172.
- Sinus der Binde substanz der Acephalen, Bedeutung XIII, 563.
- genitalis bei *Distomum Westermanni* XIX, 557.
- perilymphaticus Vestibuli III, 132.
- rhomboidalis der Vögel, Vergleich mit *Ventriculus terminalis* des Rückenmarks XI, 221.
- Vergleich mit Entwicklung der Stäbchen und Zapfen der Retina XV, 620.
- Siphonanlage bei *Molgula simplex* VIII, 374.
- Siphoniden, haartragende Sinneszellen der Oberhaut V, 429.
- Sipunculus, Kerne der rothen Blutkörperchen XIII, 392.
- Siredon, Etmoidaltheil des Primordialeranium XI, Suppl. 8, Quadratknoorpel 10, Entstehung des primitiven Zahnes 13, Knochen des Gaumenbogens 14, Vomer, Palatinum, Pterygoid.
- Unterkiefer XI, Suppl. 26, Meckelscher Knorpel 26, Deckknochen, Dentale, Operculare, Angulare 26.
- indirecte Kerntheilung XVIII, 158.
- pisciformis, Knochen des Gaumenbogens XI, Suppl. 15, Vomer, Palatinum, Pterygoid.
- Anordnung der Zähne auf den Knochen der Mundhöhle XI, Suppl. 37.
- Grenze zwischen Zahnkrone und Zahnsockel XI, Suppl. 48, Zellen des Zahnsockels 62.
- Bau der Retina XII, 761, Stäbchen und Zapfen.
- Embryonalzelle, formative Differenzirungen XIII, 756, Dotterplättchen, Bedeutung 757, anormale 758 und normale Veränderungen 760, formative Differenzirungsrichtung 762, Auftreten eines kugelförmigen Netzgebildes mit Beziehung zu denselben 763, Stäbchen und Fäden 765, Veränderung des Zellkernes der Embryonalzelle 768, Körnchenphase 770, Stäbchenphase 771, Fadennetz 771, Neubildung aus Dotterplättchen 772, Organoblasten 773, 774, Deckzelle der embryonalen Haut 769, Bildung einer Contactmembran 774, Riff- und Stachelzellen 775, Organoblasten, Kernveränderung 775, 776, Stäbchen-Fädenbildung 776 (Fadennetz zelle 777), Cutis, Entwicklungsgeschichte 778, Inoblasten 779, Dotterplättchen, Bedeutung 780.
- häutiges Labyrinth XVIII, 536.
- Siren, Vertheilung der Zähne XI, Suppl. 35, 39.
- *Iacertina*, Quadratknoorpel des Primordialeranium XI, Suppl. 10, Knochen des Gaumenbogens 15, Fehlen des Pterygoid 16.
- Anordnung der Zähne auf

- den Knochen der Mundhöhle XI, Suppl. 36.
- Smerinthus quereus*, Muscularis des Rückengefäßes IX, 137.
- Solea vulgaris*, häutiges Labyrinth XIV, 300.
- Solen, Kiemenleiste XI, 553.
- *vagina*, feiner Bau der Muskelfaser V, 233.
- Solenocurtus, Kiemenleiste XI, 553.
- Solenopus fugax*, subgenuales Chordonalorgan XX, 572.
- Sonnenthierchen — *Actinophrys*.
- Spanner — *Phalaena*.
- Sparini, Doppelbrechung der Hornschuppen XI, 671.
- Spectrum, Einfluss des Blutes auf das — VII, 226.
- Speichel, Flimmerkörper XX, 123.
- Speichelcapillaren des Pancreas, Wandungen VIII, 497.
- Speichelgänge, Anfänge in den Alveolen der Speicheldrüsen VIII, 481.
- des Pancreas, Beginn in den Alveolen beim Frosch VIII, 484, 486.
- Anfänge in Mundspeicheldrüsen VIII, 498, 508.
- der Submaxillaris des Hundes, Anfänge VIII, 498.
- Speicheldrüsen, Bau oder Bedeutung IV, 152.
- Sperling, Scheitelbein, Doppelbrechung XI, 678.
- Sperma von *Tethya lyncurium* aut. XVII, 161.
- Spermatoblasten und Spermatozoenbildung bei *Amphioxus lanceolatus* XII, 328, Vergleich mit höheren Thieren 332.
- Spermatocysten XII, 798, Entstehung 801, 820, Umwandlung zu Samenkörpern 802, bei *Rana esculenta* 805, *Triton punctatus*, *Salamandra maculata* 805, *Bombinator igneus* 806, *Bufo cinereus* 806.
- Spermatogemmen beim Stier XV, 288.
- Spermatogenese bei Amphibien XII, 797, 819, bei *Rana temporaria* 798, *Spermatocysten* 798, Entstehung 801, 820, Cystenwand 820, Follikelhaut 799, Bildung 800, Keimlager 800, 820, Spermatogonie oder Ursamenzellen 801, 820, Spermatozyten — Samenzellen, Umwandlung zu Samenkörpern 802, bei *Rana esculenta* 805, *Triton punctatus* 805, *Salamandra maculata* 805, *Bombinator igneus* 806, *Bufo cinereus* 806, Kopfbildung beim Samenkörper 807, bei Fröschen 815.
- Spermatogenese bei Säugern und Menschen, Gesetz für die — XV, 308, Untersuchungsmethode 285, beim Stier 286, Hüllen der Hodencanälchen 286, Ursamenzelle — Spermatogonie 287, Follikelzelle 287, Keimlager 287, Spermatozemmen 288, Lage der Zellenelemente in den Canälchen 290, bei Widder 291, Hodencanälchen, beim Hengst 292, Kaninchen 293, Meerschweinchen 293, Wanderratte 294, Ratte 295, Litteratur 298, Wandschicht, Bedeutung 298, Maus 302, Kater 302, Igel 303, Hund 303, Mensch 304, Litteratur 305, Kind 304, Erwachsenen 304.
- bei Säugern XVIII, 31. Vögeln 37.
- der Trichonisciden XIX, 634.
- Spermatogonie, Bedeutung XII, 801, 820.
- beim Stier XV, 287.
- der Trichonisciden XIX, 637, Theilung 637.
- Spermatozoiden, Form bei Macrobioten II, 129.
- von *Saprolegnia monoicea* V, 189.
- bei Seeschwämmen VIII, 289, Entwicklung 290.
- Entwicklung XI, 292, bei *Rana temporaria* 292, Beschreibung 292 $\frac{1}{2}$. zu *Rana esculenta* 294, Bedeutung der Theile 294, Entwicklung 295, Untersuchungsmethode 297, Spermatoblasten 298, 299, 314, runde Zellen (Veränderung) und Spindelzellen 299, Vertheilung 301, Epithel 302, Reduction des — 303.
- Entwicklung bei der Ratte XI, 304, Betheiligung der runden Zellen $\frac{1}{2}$. Stützzellen 305, Untersuchungsmethode 306, Tunica propria der Samencanälchen 306, Keimnetz 307, 314, 322, Epithelmembran der Drüsensschläuche 307, grobgranulirte Zelle des Epithels 308, freie Kernbildung 315, Rundzellen 315, bei Kaninchen 316, Spermatoblasten und Rundzellen, beim Menschen 318, Epithel des Nebenhodens 319, Flimmerzellen 319 mit Cilien 321, Rundzellen, Lage 320, Vergleich mit Hodene epithel 321.

- Spermatozoiden, Doppelfärbung XV, 37.
 — bei *Porcellio scaber*, Bewegungsfähigkeit XVII, 135.
- Spermogonien der Lichenen und Beziehung zu Antheridien der Florideen III, 38.
- Sphaerastrum conglobatum* XI, 29.
- Sphaerechinus brevispinosus*, Befruchtung und Theilung des Eies XX, 1.
- Sphaerometer von Hermann und Pfister, Beschreibung VII, 229.
- Sphenoderia*, Vergleich mit *Euglypha globosa* XI, 104.
- Sphenooccipitalknorpel* beim Kaninchen, Anlage XI, 453.
- Spincter Ani ext. u. int.* beim Menschen XIX, 723, 722, Beziehung zur Längsfaserschicht des Mastdarms 725.
- Spina Scapulae*, metaplastische Ossification XII, 270.
- Spinachia vulgaris*, erste Entwicklung des Eies IV, 211.
- Spinalbögen der Ganoiden XV, 459.
- Spinalganglien, Bau IV, 45, Untersuchungsmethode 46, bei Säugern 47, sensible Wurzel 47, Litteratur über Ganglienzellen und Faserverlauf in — 48, Untersuchung mit Chlorpalladium und Ueberosmiumsäure 46, Ganglienzellen der — 48, Epithel 56, Frosch 57, bei Maulwurf 60, und Kaninchen 61, Endothel der Ganglienzelle 56, der Eidechse, Nervenverlauf 52, 54, des Frosches 53, Nervenverlauf 51, kleinerer Säuger 54, grösserer Säuger 54, bei *Arion empiricorum*, Ganglienzelle 63, Zusammenhang mit Nervensystem 64, Zellen 125, Litteratur, des Frosches 130, Nervenfasern 131, Polarkerne derselben 132, Zusammenhang mit Zellen 134, Nervenzellen 131, Beizellen 136.
 — und Nervenanlage bei *Bombinator igneus* V, 100.
 — Anlage bei der Unke IX, 403.
 — Ganglienkörper XI, 140
 — Bau XVIII, 283, Zellen 283, unipolare 292, apolare 294, Spiralfaser, Wesen 297, Polarkern 298.
- Spinalnervenzurzel, Ursprung bei *Cyclostomen* XV, 428.
- Spinax*, Wirbelbögen und Rippen XV, 521.
- Spinax acanthias*, Organe des Oesophagus XIII, 659, Gittervorrichtung.
 — Hautzähne XX, 258.
- Spindeln der *Labyrinthula vitellina*, Veränderung durch Zusatzflüssigkeit III, 277, Bewegung III, 278.
 — der *Labyrinthula macrocystis* III, 304, Vermehrung.
- Spindelelemente der Capillarwandungen des Frosches V, 51, Veränderung 53 durch Inductionsströme 54.
 — der Gefässe des Froschlarvenschwanzes V, 80.
- Spindelschnecke — *Fusus*.
- Spinnen — *Arachnoidea*.
- Spinnmuskeln, Entwicklung II, 505.
- Spinnorgane von *Epeira* II, 1.
- Spinnröhren II, 1, Bau und Verhalten des Ausführungsschlauches, auch nach Behandlung mit Reagentien.
- Spiraldarm bei *Torpedo aculata* XI, 570, 571.
- Spiralfasern im sympathischen Gränzstrang II, 26.
 — des Sympathicus, Vorkommen IV, 139 und Nervosität, Untersuchungsweise 141, Goldreaction 141.
 — des fibrillären Bindegewebes, Bedeutung VII, 305.
 — der Gehörschnecke der Säugethiere VIII, 211.
 — der Spinalganglien XVIII, 297.
- Spiralklappe des Mitteldarms bei *Petromyzon fluviatilis* XIII, 675, bei *Squatina angelus* 677, *Torpedo Galvani* 677, Selachier, Bedeutung 678, *Ceratodus*, *Lepidosiren annectens* 679, *Lepidosteus*, Stör, *Gadus lota*, *Gonostoma* 800.
- Spirillen, Theilungsvorgang IX, 121.
- Spirillum undula*, Kettenbildung VIII, 523.
 — *volutans* VIII, 517, Kettenbildung, Bewegungserscheinungen 521.
- Spiroloculina hyalina*, Schale mit Kammern XI, 137.
- Spirogyrae*, Beschreibung I, 208.
- Spirostomum*, Muskulatur XII, 60, Körnchenbewegung, Ciliarbewegung 65, Cilien, Werth 65.
 — *ambiguum*, contractile Behälter, Wandungslosigkeit V, 29, 41.
- Spirulina versicolor* zur Untersuchung des Phycochrom III, 8, nach Behandlung mit Wasser 13.

- Spongelia pallescens*, Vorkommen von *Spongicola fistularis* XIII, 803.
- Spongia*. Nesselzellen oder Samen VIII, 291, Spermatozoen 289.
- polypoide Ernährungsthiere der — XIII, 796.
- zur Gasträatheorie XIV, 249, Keimblätter der Larven und Beziehung zur späteren Körperschicht 261.
- Hüllen der Geschlechtsstoffe, Vergleich der männlichen und weiblichen XVIII, 57.
- *adriatica* VIII, 292.
- Spongicola fistularis* XIII, 795, polypoide Ernährungsthiere 796, bei *Esperia* und *Myccilla*, bei *Reniera* 796, vorkommend bei *Reniera fibulata* 800, *Suberites flavus*, *Esperia Bauriana*, *Myccillafascicularis*, *Spongelia pallescens*, *Perisark* 802, Beziehung zum Schwammkörper 803, Weichkörper 804, Theilung, *Coenosark* 805, Ectoderm mit polygonalen Zellen und Nesselkapseln 806, Muskelfasern 806, hyaline Stützlamelle 806, Entoderm 806, Geisselzellen 806, pseudopodienartige Fortsätze 807, Faltenbildung 807, *Hydranth* 808, Körper 808, mit Ectoderm (Nesselkapsel mit Geissel) Muskelzelle 809, Ectoderm 809, Tentakelkerne 809, Tentakel 809, Bau 810, Entodermzelle, Cnidocils, Verhältniss zu Microconidien und Macroconidien 810, Nesselkapseln 811, Geissel der Tentakel 811, hyaline Stützlamelle, Wesen des Thiers 813, Vergleich mit *Stephanoscyphus mirabilis* 813, mit *Scyphistoma* 814, Classification 814.
- Spongiöser Körper der Tastaare II, 446, Gefässverlauf 455.
- Sporen, Bildung bei *Leptothrixschwämmern* II, 72.
- von *Lemania* III, 30, von *Bangia subaequalis* 32.
- von Schimmelpilzen zur Vibrienerzeugung III, 319.
- von *Penicillium glaucum* III, 320.
- von *Acanthocystis* XI, 13.
- Entwicklung bei *Tethya lynceurium* XVI, 641.
- Spumella vulgaris*, Monade VI, 432, Nahrungsaufnahme 433, Cystenbildung 434.
- Spurus Keffrei*, Doppelbrechung der Hornschuppen XI, 571.
- Squalini*, Zähne XI, Suppl. 65, Structur, Dentin, Schmelz, Cement, Homologie zw. Basalplatte und Zahnkrone 65.
- Squalini*, Schleimhaut des Oesophagus, Flimmerepithel XIII, 657.
- Seitenorgane des Rumpfes XVII, 466.
- Squatina*, Wirbelbögen und Rippen XV, 52.
- Cuticularschicht der Chorda XV, 468.
- Gewebe der Chordascheide XV, 477, 492, der Innenzone 478, Zelle 478, der Intervertebralringe 479, 490, 492.
- *angulus*, Spirakklappe des Mitteldarms XIII, 677, Art. und Vena mesaraico-intestinalis, Verlauf 678.
- Squilla* Mantis, Plättchenstructur des spindelförmigen Krystallkörpers IV, 16.
- Staborgan von *Noctiluca miliaris* IX, 49.
- Stabthierchen — *Bacillaria*.
- Stachelborsten bei *Phreocyctes Menkeana* I, 252, feiner Bau und Entstehung 255.
- Stachelflosser — *Acanthopterygii*.
- Stachelhäuter — Echinodermata.
- Stachelroche — *Raja clavata*.
- Stäbchen und Zapfen der Retina, Bau II, 166, 176, 219, in der Fovea centralis 168, bei Säugethieren 198, Vögeln 202, in der Fovea centralis des Falken 206, bei der Eule 208, Beziehung zur Pigmentzelle 220, Vertheilung 226, 249, Theilung in Innen- und Aussenglieder 234, Entwicklung 237, beim Hübchen 241, Katze 246, III, 357, Kaninchen II, 246, III, 375, Beziehung zur Membrana limitans ext. 241, Unterschied von Zapfen 247, Function 251.
- der Retina von *Pteroceras* II, 407.
- und Zapfen der Retina III, 217, Theilung und Bedeutung derselben, Endigung der — 219, linsenförmiger Körper 220, 230, Untersuchung mit Ueberosmiumsäure 221, Innencylinder, Bau 220, centraler Faden derselben 222, Zusammenhang mit Aussengliedern 221, Bau der Aussenglieder 223, Veränderung durch Jodserum 223 und Chlorwasserstoffsäure 226, Länge der — 228, Unterschied von Zapfen 229, gegenseitige Stellung, wie die der Aussen- und Innenglieder 237, Einfluss auf den Gang der Lichtstrahl-

- len 241, Reflexion der Lichtstrahlen durch — 241, 251, Beziehung zur Perception des Lichtes 252, und der Farbe 257, Brechungsindex 259.
- Stäbchen und Zapfen der Retina, embryonaler Ursprung III, 371, bei der Katze 373, Kaninchen 375, Huhn 376.
- der Retina der Amphibien IV, 12, Vögel 13, Unterschied von Zapfen 23.
- der Retina der Cephalopoden V, 2, Pigmentirung 3, Untersuchungsmethode 7, bei *Octopus vulgaris* 8, und *Octopus macropus* 20, Zusammenhang mit Nervenfasern 16, der Heteropoden 18, Zusammenhang mit Nervenfasern, Pterotrachea coronata 19 und mutica 21.
- und Zapfen und ihre Beziehung zum Schakt V, 379, bei Cephalopoden und Heteropoden 383, Triton 388, beim Menschen 394.
- der Retina, Structur VII, 245, Fadenapparat derselben und Beziehung zu der Limitans ext 246, 252, Innenglieder, Bedeutung 252, Zusammenhang zwischen Aussen- und Innengliedern 253, bei Gliedertieren 256, Mollusken 256, Wirbellosen, Zusammenhang mit Nervenfasern 257.
- und Zapfen der Retina, Verhalten zu Pigmentzellen VIII, 86, bei Amphibien 88.
- der Niere, Bedeutung X, 47.
- der Retina, Vergleich mit den Cilien des *Ventriculus terminalis* des Rückenmarks XI, 224.
- der Retina des Flaxonatl XII, 411, Form 423, bei Axolotl 417, Hüllen 418.
- der Retina bei Amphibien, Formen XII, 421.
- der Retina der Reptilien XII, 436, der *Crocodylina* 427, von *Petromyzon fluviatilis* 754, von *Gobio fluviatilis* 758, *Siredon pisciformis* 761, bei *Rana* 762, axialer Faden der Aussenglieder, bei *Lacerta agilis* 768, *Anguis fragilis* 769, bei *Astur paambarius*, Beziehung zur Licht- und Farbenempfindung 774.
- der Retina, Anlage der Aussenglieder XV, 603, 619, und Innenglieder 605, Trennung von Zapfen 620.
- der Retina des *Scolopendriden-Auges* XVIII, 437, von *Lithobius* 443, von *Julus* 446, *Glomeris* 448, *Scutigera* 456.
- Stäbchen der Retina des Aals, Innenglieder XIX, 311.
- Stäbchenkanäle der Retina der Cephalopoden V, 13.
- der Kieme von *Unio* und *Anodonta* XI, 524.
- der Kieme der acephalen Mollusken XIV, 152, 157.
- Stäbchenfaser, Bedeutung II, 186, 216, Unterschied von Zapfenfasern 249, Function 251.
- Stäbchenkörner II, 185, Querstreifung 218.
- der Retina der Cephalopoden V, 14.
- der Retina VII, 252.
- der Retina beim Aal XIX, 312.
- Stäbchenschicht der Retina der Ophidier XII, 429, der Saurier 432, der Geckoarten 434.
- der Retina der Vögel XIV, 437.
- Stäbchenstructur des Epithels der Malpighischen Kapsel der Niere beim Frosch X, 23.
- Stapes des Schnabels der Cocciden XIV, 47.
- Steatemplase XII, 492.
- Stechroche — *Trygon*.
- Steckmuschel — *Pinna*.
- Steinbutte — *Rhombus*.
- Steinkatze — *Felis catus*.
- Steinkohlensystem, Verhalten fossiler Knochen im — von *Polyrhizodus radicans* XV, 373, *Psephodus magnus* 373.
- Steinkriecher, brauner — *Lithobius*.
- Stelletta carbonaria* XVIII, 280.
- *fibulifera* XVIII, 281.
- Stellio caucasicus*, Hornschicht, neue der Epidermis XIII, 248.
- *cyanogaster*, Schleifenbildung der Gefäße im Gehirn und Rückenmark XV, 63.
- Stenobothrus*, *Adventicia* des Rückengefäßes IX, 131.
- Keimkugel X, 500.
- subgenuales Chordotonalorgan XX, 570.
- *lineatus*, Ostien und Verschlussapparate des Rückengefäßes IX, 150.
- Stentor*, Wassergefäßsystem II, 356.
- Muskulatur XII, 80.
- Stephanoscyphus mirabilis*, Bau XIII, 797, Vergleich mit *Spongicola fistularis* 813.

- Stichling — Gasterosteus.
 Stier — *Bos taurus*.
 Stimmbänder, wahre, Blutgefäßvertheilung VII, 172.
 Stockfisch — *Gadus morrhua*.
 Stör — *Acipenser*.
 Stolo von *Pyrosoma*, Anlage XI, 599, Darmdrüsenblattrohr 600, Perithoracalrohr 600, 603, Nervenrohr 600, 602, Eierstock mit Ei 600, 604, Vergleich mit *Didemnum styliferum* und *Ammoraecium* 601, Magen 602, Ingestionsöffnung 602, Eleoblast 602, Darmsystem 603, Flimmergrube 603, Geschlechtsorgananlage 605, Ei, Entwicklung 605, Follikel epithelzelle 605, Tastzellen, Entstehung 606.
 Strahlbäumchen — *Acineta*.
 Stratum chorio-capillare der Chorioidea XV, 565.
 — corneum, Ursprung IX, 741.
 — — Beziehung zum Rete Malpighii IX, 741.
 — — der Oberhaut, Differenzierung und Ursache XII, 666, Untersuchung mit *Picrocarmin* 667, Mittelschicht 666, Uebergangsschicht 670, Litteratur 671, Oberflächenverhornung, Wesen 681, 687.
 — — der Epidermis der Reptilien und anderer Wirbelthiere XIII, 217, bei *Pseudopus Palasii*, *Stellio caucasicus* 218.
 — — der Reptilienhaut XVII, 347.
 — — compactum der Reptilienhaut XVII, 348.
 — granulosum sup. der Reptilienhaut XVII, 348.
 — intermedium der Reptilienhaut XVII, 349, Beziehung zur Häutung.
 — intervasculare der Chorioidea XV, 565.
 — lacunosum der Retina bei *Petromyzon fluviatilis* XII, 754, bei Teleostiern 757.
 — lucidum des Rete Malpighii IX, 741.
 — — der Epidermis der Reptilien und anderer Wirbelthiere XIII, 220, bei *Pseudopus Palasii* 221.
 — — der Epidermis, Matrix der Talgdrüsenelemente XV, 155.
 — Malpighii der Flughaut der Fledermäuse VII, 4.
 — — des Igelohres, Zellen VIII, 298.
 Stratum Malpighii der Reptilienhaut XVII, 347, 351.
 — — mediale des acustischen Endapparates der Säuger XIII, 499.
 — — pigmentosum der Chorioidea XV, 565.
 — — relaxatum der Reptilienhaut XVII, 349.
 — — semilunare der Gehörschnecke VIII, 166.
 — — superbasale der Oberhaut, Bedeutung XII, 670.
 — — vasculosum der Chorioidea XV, 565.
 Stria vascularis der Gehörschnecke VIII, 170.
 Stroma des foetalen menschlichen Eierstocks I, 155.
 — — des Hilus des Eierstocks der Kuh I, 168.
 — — der Ganglien des sympathischen Gränzstranges II, 19.
 — — der roten Blutkörperchen XIV, 90, Contractilität 91, Formveränderung 91.
 — — der Milchdrüse, Anlage beim Kaninchen XX, 443, weitere Entwicklung 449, bei dem Menschen 469.
 Strongilosoma, Furchung XIV, 15.
 Strophodus subreticulatus, Verhalten der Knochen im Jurassischen System XV, 374.
 Structura cardiaca des Oesophagus der Cocciden XIII, 54.
 Strudelwürmer — Turbellaria.
 Stützapparat des acustischen Endapparates des Säuger XIII, 504, perpendiculärer Theil 519.
 Stützfasern der Kleinhirnrinde VI, 199.
 — — der Retina der Chelonier XII, 427, der Saurier 433.
 — — radiale, der Retina bei *Astur palumbarius* XII, 773.
 Stützfasersystem der Retina des *Flaconatl* XII, 415, des *Axolotl* 418, der Amphibien 422.
 — — Deitersches des acustischen Apparates der Säuger XIII, 509.
 Stützgewebe der Retina, Litteratur XV, 598.
 Stützsubstanz der Retina bei Amphibien VII, 81, beim Salamander 83, Verhältniss zu anderen Theilen 94, Wesen 95.
 Stumpffuss — *Pseudopus*.
Stylonychia mytilus, contractile Behälter, Wandung V, 27.
 Subarachnoidealgewebe, Bezie-

- hung zu den Hüllen der peripheren Nerven IX, 335.
 Subarachnoidealraum des Rückenmarks IX, 312, 315, vorderer spinaler — 312.
 des Rückenmarks, Bau IX, 319, Endothel oder Häutchenzellen der Scheiden 320, Balken 321, mit Membrana propria 322, Bau.
 — Beziehung zu Hirnventrikeln XVII, 365, zum Subduralraum 364.
 Subcuticularschicht der Cestoden I, 139.
 — sensitive Fasern der — bei *Ascaris* X, 94.
 Subduralraum, Beziehung zum Subarachnoidealraum XVII, 364, zu Blutgefäßen der Dura 365.
Suberites flavus XIII, 800, Vorkommen von *Spongicola fistularis*.
 Sublimatvergiftung, Einwirkung auf das Blut XIV, 83.
Substantia nigra der *Pedunculi Cerebri*, Fortsätze der Ganglienkörper IV, 493.
Substanz, contractile der Muskelfaserwirbelloser, Differenzirung V, 243.
 — dichroitische II, 98.
 — disdiaklastische des Muskels XIX, 663, 698.
 — graue, des Rückenmarks der Neunaugen II, 525.
 — — X, 474, Eintheilung, Faserverlauf bei Querschnitten 475, bei Längsschnitten 481.
 — — Asymmetrie XII, 87, beim Hund 87, Mensch 88.
 — interfibrilläre des fibrillären Bindegewebes VIII, 64.
 — kinetische des contrahirten Muskels XIX, 663, Randfaden bei *Dytiscus* 672.
 — lymphdrüsenartige, Wesen und Vorkommen bei einheimischen Ophidiern IX, 638.
 — plasmatische des contrahirten Muskels XIX, 663, 695.
 — protoplasmatische der Orbitaldrüse XIII, 291.
 — schleimige der Orbitaldrüse XIII, 292.
 — weisse des Rückenmarks X, 473, Eintheilung, Faserverlauf 483, 488.
Succinea amphibia, Gehörnerv oder Ohr canal mit Epithel VI, 216.
 Süßwasseramöben, Chininwirkung III, 384.
 Süßwassergasteropoden, Haut V, Suppl. 52.
 Süßwasserplasmodien XII, 21, Züchtung, Bewegung 22, Nahrung 22, Ruhe 23, Systematik 24.
 Süßwasserradiolarien, neue VIII, 531.
 — Wesen X, Suppl. 47, Verwandtschaft mit Meeresradiolarien 149.
Suleus Ligamenti spiralis der Gehörschnecke VIII, 167, Epithel 167.
 — spiralis int. der Gehörschnecke VIII, 161.
 Sumpfschildkröte — *Emys*.
 Sumpfschnecke — *Paludina*.
Surirella bifrons und *spendula*, Bewegungsorgane I, 377.
 — biseriata, Raphe und innere Bewegungserscheinungen I, 390.
Sus, Vertheilung der Schmeckebecher auf den *Papillis vallatis* der Zunge IV, 168.
 — Haarbildung im extrauterinen Leben IV, 291.
 — Ciliarmuskel IV, 362.
 — Papillen der Zunge VI, 240, 249, *Papilla vallata* 249.
 — Descemetsche Haut, Endothel VI, 286, Schlemmscher Canal 295.
 — Labdrüsen VI, 393, Hauptzellen 393, sternförmige Zellen 393.
 — Vertheilung der Belegzellen der Labdrüsen VII, 242.
 — Drüsenzellen der Brunnerschen Drüsen, Vertheilung und Bau VIII, 100.
 — lymphatischer Apparat der Milz VIII, 605.
 — Schleimhaut der Drüsen des Nierenbeckens IX, 654.
 — Atrophie des Meckelschen Knorpels bei Embryonen XI, 252.
 — Tastzellen der Epidermis des Rüssels XI, 642, Fortsetzung der Schwannschen Scheide 643, Nerveneintritt 643.
 — primitive Anlage des Unterkiefers XII, 256.
 — Fruchtschmiere, Ursprung XIII, 231.
 — Hohlräume der äusseren Kornerschicht der Retina XIII, 426.
 — Bau der *Submaxillaris* XIII, 726.
 — embryonale Entwicklung der Milchdrüse XX, 432.
Sycoridae, Auge XVII, 294, Retina 302.
Sympathicus, anatomisch-histologischer Bau des Gränzstranges II, 13, Ganglienzellen 13, Nervenzellen 13, Nervenfasern 14, Remacksche Fa-

- sern 16, Hüllen der Nervenzelle 17, der Ganglienkörper 18, der Nervenfasern 19, Stroma der Ganglien des — 19, Bindegewebe 20, Wurzelfäden der Ganglien des — 24, Commissurfasern 26, Spiralfasern 26, Nervenzellen 27, Pole der Zellen 29, Netzbildung der Ganglienkörper III, 24.
- Sympathicus, Ganglienzellen beim Kaninchen IV, 62, 70, beim Frosch 136, Uebergangsfasern 138, Zellmembran 138, Spiralfasern 139, Goldreaction 141, Fadennetz 142, Commissurfasern 142.
- bei *Bombinator igneus* V, 107, 109.
- Bindegewebszelle IX, 191.
- der Harnblase XX, 365, Beziehung zu Cerebrospinalnerven 369.
- Symbranchus marmoratus*, Schleimhaut des Oesophagus, Becherzellenepithel XIII, 661.
- Syncytium, Bedeutung XII, 423.
- Syngnathus, Urniere II, 486.
- Schleimhaut des Oesophagus, Becherzellenepithel XIII, 661.
- quergestreifte Muskelfasern des Magens XIII, 671.
- acus, Fehlen der Urniere II, 486.
- , Kittsubstanz zw. Epithelzellen des Magens XIII, 667.
- Flimmerepithel des Darms XIII, 685.
- Synovia der Gelenke, Beziehung zu Endothel X, 410, 429, Bildung 436.
- Synovialhaut der Gelenke, Intima X, 401, Bau 408.
- Veränderung bei Entzündung XVIII, 144.
- Synovialkapsel der Gelenke X, 420.
- Synovialmembran, Lymphgefäße und Beziehung zu den Blutgefäßen XII, 654.
- Syrphidae, porifere Vorkommnisse der Chordotonalorgane an den Vorderflügeln XX, 598.
- Syrphus, amphinematische Stifte der Chordotonalorgane XX, 535.
- *balteatus*, otocystenartige Sinnesorgane der Antennen XVI, 38, 40.
- Syzygites, Entwicklung II, 83.
- T**abenus, Chordotonalorgane XX, 561.
- Taenia Pontis XIX, 276, interni 277.
- Talpa, Structur der Ganglienzellen der Spinalganglien IV, 60.
- quergestreifte Muskelfaser der Lungenvene XIV, 246.
- embryonale Entwicklung der Milchdrüse XX, 490.
- Schnauze, als Tastwerkzeug VII, 181, Papillen 182, Tastkegel derselben 183, Epithelia spuria derselben 188, Stachelzellen der Schleimschicht der Papillen.
- Talbotsche Linien, Darstellung VII, 277.
- Tannenlaus — Chermes.
- Tarsometatarsus der Vögel, Beschreibung der Knochenbalken XII, 282.
- Tasche des Schnabels der Cocciden XIII, 42.
- Tastapparat bei Fischen und Amphibien VI, 86, bei den Haaren des Igels IX, 207, bei *Eucharis multicornis* XVII, 342.
- Tastborsten bei *Eucharis multicornis* XVII, 342.
- Tasterartige Gebilde der Mundtheile der Trichonisciden XIX, 316.
- Tastkegel der Papillen der Maulwurfschnauze VII, 183, Epithel 184, Nervenverlauf und Endigung 184, Epithelia spuria 188, bei Trichonisciden XIX, 600, Trichoniscus Leydighii 600 und roseus 600.
- Tastkörperchen in Hautpapillen der Nattern XII, 522 und Schlangen VIII, 349, Bau 350, Nervenendigung 351.
- Untersuchungsmethode IX, 730, Nervenverlauf und Endigung 731, Bau derselben 735, 737, Nervenscheiden, Verhalten 739.
- bei Hausthieren und Menschen XI, 636, einfache und zusammengesetzte 638, Untersuchungsmethode 638, Nerven Eintritt 641, bei Menschen 646, Nervenendigung.
- Meissnersche, Bau XII, 364, Litteratur 364, Querstreifung 364, 380, 384, Wesen derselben 367, Untersuchung mit Chlorgold 366, Zusammenhang mit Nervenfasern, Bau derselben im Tastkörper 370, Endigung 373, Kerne 379, 386, Grundsubstanz 381.
- der Schwanzflosse der Batrachier XII, 513, 518.
- Meissnersche XIX, 98, Innenkolben 100, Kolbenzellen 101, Kol-

- benzellenzzeichnung 111, Nervenendigung 107, 514, Terminalfaser 110.
- Tastkörperchen beim Gorilla XIX, 129.
- Tastkolben XIX, 94, Historisches 94, Innenkolben 96, Kolbenzellen 96.
- Tastscheibe als Nervenendigung, Entwicklung XVII, 380.
- Taube — Columba.
- Tausendfüßler — Myriopoda.
- Tausendfüßler — Chilognatha.
- Tausendfüßler — Julus.
- Tegmentum vasculosum des häutigen Labyrinths der Batrachier XVII, 508.
- Teichmuschel — Anodonta.
- Teich-Napfschnecke — *Ancylus lacustris*.
- Teichunke — *Pelobates*.
- Teleostier, Untersuchung der Knochen der Mundhöhle XI, Suppl. 170.
- Bau der Retina XII, 757.
- Schleimhaut des Oesophagus, Cylinderepithel und Becherzellen XIII, 660, 662, Papillen der Schleimhaut 662, Labdrüsen 669, Schaltstück des Magens 671, Schleimhaut des Mitteldarms 680, Epithel des Darms mit Fortsätzen 684, Beziehung zum umgebenden Gewebe 684, Porenkanalsaum 684, 685, Schleimhaut des Enddarms 689.
- Wirbelsäule XV, 190, Vergleich mit Anlage der Vertebraten 193.
- Wirbelsäule und deren Anhänge XVI, 117, Litteratur 117, Chorda, Entwicklung 119, Chordascheide 121, Wirbelkörper, primäre 122, sekundäre 123, Wirbelbögen 127, obere 127, untere 129, Rippen 140.
- Entwicklung der Geschlechtsdrüsen XVIII, 21, Hüllen der Geschlechtsstoffe, Vergleich der männlichen und weiblichen 44, Regenerationsvorgänge im Eierstock 77, Seitenorgane 370.
- Entwicklung des Centralnervensystems XV, 139, Litteratur 139, erste Anlage 145, Ursprung 141, Sinnesplatte 157, mediale und laterale Grenzfurche 159, Beziehung zur Axenplatte 157, Anlage des Ohrbläschens 161, Augenblase 162, Nasengruben 164.
- Temperaturgrenze für die Lebensfähigkeit des Protoplasmas I, 23.
- Tenebrio molitor*, Adventicia des Rückengefäßes IX, 141.
- Tenebrio molitor*, Genese der Samenkörper III, 270.
- Hüllen der Geschlechtsstoffe, Vergleich der männlichen und weiblichen XVIII, 51.
- Tenonscher Raum, Beziehung zum Perichorioidealraum des Auges VI, 37, 41, Bau 37, Begrenzung und Injection 39, Endothel 41.
- Tentakeln der Lungenschnecken I, 52, Verhalten der Nerven 53, Muskel und Bewegung 54, Form der Spitze 58.
- von *Aurelia aurita*, Bau VI, 364.
- Anlage bei *Comatula mediterranea* XII, 592, Zahl 600.
- Anlage bei Echinodermen XII, 625.
- Terminale Endausbreitung des Fühlernerven von *Helix pomatia* XVI, 89.
- Terminales Fasernetz, Bedeutung IV, 511.
- Terminalfaser der Vater-Pacinschen Körperchen V, 148.
- der Pacinischen Körperchen IX, 369.
- der motorischen Endplatten beim Frosch XIII, 174.
- der Meissnerschen Tastkörperchen XIX, 110, bei zusammengesetzten Gandryschen Körperchen 90, der Genitalnervkörperchen 79, der kugeligen Endkolben 76, der Vaterschen Körperchen 66.
- im geschichteten Epithel, Vertheilung XIX, 519.
- Terminalkörperchen in der Flughaut der Fledermäuse VII, 23, Bedeutung 28.
- angebliche an den Haaren einiger Säger VIII, 654, 274, IX, 795, Bedeutung.
- der Clitoris, Bau XVII, 381.
- Nervenendigung innerhalb der — XIX, 53, Eintheilung 56, Kolbenzellen 53, Innenkolben 55, Physiologie 124.
- Nervenendigung innerhalb der — XIX, 523, Innenkolben 524, Tastzellen 525.
- Terminalnetz, blasses, im Ohr der Mäuse VII, 266.
- der electrischen Platten von Torpedo X, 106.
- Terminalnoduli der terminalen Körperchen XIX, 129.
- Terminalscheibe bei zusammenge-

- setzen Gandryschen Körperchen XIX, 93.
- Tertiäres System, Verhalten der Knochen im — von Lamna XV, 375, *Carcharodon polygyratus* 375, *Zygobates Studeri* 375, *Emys* 376, Säugern 376, *Aceratherium* 376, *Halitherium Studeri* 376, *Mastodon* 376, *Hippopotamus* 376, *Hypopotamus Gresslii* 377, *Ursus spelaeus* 377, *Megatherium Cuvieri* 377, *Milestaxus* 377.
- Testudo graeca*, Corrosion der Iris XVI, 481.
- Tethyae*, Histologie und Sprossentwicklung, Untersuchungsmethode XVI, 626.
- Tethya lyncurium* XVI, 628, Literatur, Beschreibung 633, 648, Epithelzelle 634, Faserschicht 635, Markzelle 634, 635, Wassergefäßsystem 636, Gangzelle und Canalzelle der Wassergänge 634, Nadeln 637, Bau, Scheidenzellen 638, Entstehung 639, kleine Sterne 633, Umwandlung 634, Lage und Grösse 639, Entwicklung 640, grosse Sterne 640, Sprossenentwicklung 641, Entoderm 642, Ectoderm 642, Nadelströmungen 643, Litteratur 643.
- Anatomie XVII, 151, Makroskopische Anatomie 152, Porenhaut 152, Siebplatte, Osculum 153, Centralkörper 153, histologische Untersuchung 154, Kieselgebilde 154, Plattenepithelzellenlager der Porenhaut 155, Magenzelle 155, Geisselkammer 155, Bindesubstanzschicht 156, Wassergefäßsystem 159, Richtung des Wasserstromes 159, Entwicklungsgeschichte 160, Sprossenentwicklung 160, Sperma 161, Eier 161, Embryonen 162.
- *caudata* XVI, 648.
- *laevis* XVI, 647.
- *villosa* XVI, 647.
- aus Triest XVI, 648.
- Tethyophaena silifica* XVIII, 281.
- Tetramorium cuspidatum*, subgenuales Chordotonalorgan XX, 572.
- Tetraplastae* I, 205, Eintheilung 218.
- Tetrapteron volitans* XV, 349, Zugehörigkeit zu den Coelenteraten 350, Bau 350, Flügelplatten 351, Mundöffnung 351, Gastralhöhle 351, Ectoderm 352, Wimperzellen desselben, Drüsenzellen 352, der äusseren Bedeckung, Cnidoblasten 353,
- Randbläschen, Bedeutung 353, Cuticulärschicht 354, Entoderm 354, Epithel 355, Genitalanlage 356, nähere Bestimmung seiner Stellung unter den Coelenteraten 357.
- Textur der Haarscheiden IV, 284.
- Thalamorpha* XIII, 30.
- Thalassicolla nucleata*, Centralkapsel V, 475, Bedeutung der gelben Zellen VII, 379.
- Thamnotripon*, Adventicia des Rückengefässes IX, 141.
- Thecasporen, Copulation mit Macroconidien II, 81, Schicksal derselben in Milch 81, Umwandlung derselben auf dem richtigen Boden 82.
- Thecomedusae* XIII, 797.
- Theilbarkeit, künstliche, bei *Beroë ovatus* XVII, 313.
- Theorie der Farbenperception III, 248.
- Thierreich, Differenzirung der Geschlechtsstoffe XVIII, 1.
- Thoraxfibrille der Arthropoden VIII, 247, Seitenmembran 251, Mittelscheibe 251, Endscheibe 251, Contractionserscheinungen 252, contractile Substanz 251, — bei *Musea*, Contractionserscheinungen XIX, 681.
- Thymus bei *Bombinator igneus* V, 120.
- concentrische Körper XIV, 1, Deutung als Gefässendothelien 3.
- der Säugethiere, Bau und Entwicklung XIV, 343, Form und Lage 344, bei Säugern 345, Vögeln 346, Reptilien 346, Amphibien und Fischen 346, Schildkröten 346, Schlangen 347, Eidechsen 347, Frösche 347, Triton 347, Salamander 347, Knorpelfische 348, Bau des primären Lappchens 348, bei Fischen und Amphibien 353, Reptilien und Vögeln 353, Säugern 354, Bau des Follikels 354, interfolliculäres Bindegewebe 354, Reticulum 355, Blutgefässe 356, Lymphgefässe 357, Nerven 357, Lymphzellen 358, Veränderungen im Verlauf des extraterinen Lebens 358, concentrische Körper, Litteratur 359, Form und Vertheilung 362, Entwicklung, Rückbildung und Zusammenhang mit Endothel der Gefässe 363, Involution derselben 368, rothe Blutkörperchen, Mitwirkung bei Verödung derselben 371 und Bildung der Pig-

- mentirung beim Igel, Umbildungsprozess 373, Beziehung zur Winterschlagdrüse 375, erste Anlage 383, Litteratur bei Hühnerembryonen 384, Säugethieren 384, Litteraturverzeichnis 385.
- Thymus, litterarische Angabe über concentrische Körper XIV, 408.
- Tinca Chrysitis, Modell der rothen Blutkörperchen VIII, 475.
- Entwicklung der Geschlechtsdrüse XVIII, 28.
- Tinctionstechnik, einiges über XVI, 463, — zur Kernfärbung.
- Tintenbeutel der Cephalopoden V, Suppl. 95.
- Topographie der Eingeweide von *Cobitis fossilis* XV, 427.
- Torficulidae, subgenuales Chordotonalorgan XX, 571.
- Torpedo, electriche Platten X, 101, Vergleich mit den electricchen Platten von *Malapterurus* X, 248, Markkerne der markhaltigen, peripheren Nervenfasern XIII, 443.
- Entwicklungsgeschichte des Eies XIII, 465, Befruchtung 465, Bewegungen des befruchteten 466, Furchung 466, Keimscheibe, Veränderung 466, 469, Bau des in den Eileiter gelangenden Eies 466, Keim 467, 468, Dotterwall 467, Keimhöhle 468, Zellenbildung aus freien Kernen 470, secundäre Keimzelle 470, Embryonalschild 471, embryonale Darmhöhle 472, Darmdrüsenblatt 472, unteres Keimblatt, Zellen 473, Chordastrang 474, Bethheiligung der Keimblätter 474, Medullarfurche 475, Seitenplatte 476, embryonales Blut 476.
- Wirbelbögen und Rippen XV, 523, 526.
- Galvani, Spiralklappe des Mitteldarms XIII, 677, Art. und Vena meseraico-intestinalis 678.
- marmorata, Nervenfasern IV, 389, Verlauf in den Lorenzinischen Ampullen 389.
- oculata, Entwicklung des Eies XI, 569, Mittelplatte, Urnierengang 570, Keimwall und Keimepithel 570, Kiemenspalte, Spiraldarm 570, 571, Segmentalorgane 571, Umbildung, Keimdrüse 572, Keimzelle, bleibende 573, indifferente 573, Eizelle 576, Eifollikel 576, lymphoide Zellen des Keimepithels 574, Cuticularbildung derselben 574, Eihaut, secundäre 580, Eiweisskugeln 576, Dotterplättchen 577, Eiprotoplasma 577, Keimanlage 578, Keimbläschen 579.
- Torpedo oculata, Schleimhaut des Oesophagus, Epithel XIII, 657.
- Tortrix scrophulariana, Verbreitung der Chordotonalorgane XX, 553.
- Toxopneustes lividus, indirecte Kerntheilung der Eizelle XVIII, 186, Befruchtung und Theilung des Eies XX, 1.
- Trachea, Plasmazellen XIII, 276.
- Tracheatenauge, uniconneales, und speziell Arachnoideen- und Myriopodenaug XVII, 58, äussere Cuticula 59, Cornea, Linse 59, Porenkanäle 60, Hypodermis 61, Glaskörperzelle 61, Pigmentzelle 62, hypodermale Grenzhaat 63, Sclera 63, präretinale Zwischenlamelle 64, Retina 67, Ganglienzellen- und Stäbchenzellenschicht 67, Retinalschläuche, Axialgebilde der — 78, stemmale Retinastrahlen, Vergleich mit den Endschläuchen der tympanalen Sinnesorgane der Orthopteren 80, Retina, parietale Pigmentzone 83, Matrix.
- Tracheatenstemma des Scorpions, retinulaartige Gruppierung der Netzhautstrahlen XVII, 85.
- Vergleich mit der Retina der freilebenden marinen Borstenwürmer XVII, 314.
- Vergleich mit Annelidenstemma XVII, 94.
- Tracheen, Endigung in den Leuchtplatten von *Lampyrus* I, 130, Verhalten der Zellen gegen Osmiumsäure 132, 299.
- des Fühlerndblattes des Hirschkäfers IV, 90.
- in der Nähe des Herzens bei Locustinen IX, 180, Acridiern 180, Phryganiden, Ephemeriden, Caraliden, Blattiden 181, *Dytiscus marginalis*, bei Schmetterlingsraupen 182, Physiologie 182.
- der Speicheldrüse der Muscidenlarven, Verhältniss zu Nerven und Verlauf IX, 389.
- der Insecten, Schichtung X, 130, Intima 131, chitinogene Matrix 131, 132, Basalmembran, Vergleich mit Integumentlagern 133.
- subgenuale der Orthoptera XX, 628.

- Tracheenblase der Acridier XI, 202, der Locustinen 204.
- Tracheenmuskel X, 142.
- Tracheensuspensorium X, 136.
- Trachelius Ovum, Communicationsöffnung zur Wasseraufnahme II, 356, Wassergefäßsystem 357, contractile Behälter, Vorhandensein einer Wandung V, 28.
- Trachelophyllum apiculatum, contractile Behälter, Wandung V, 30, Beobachtung 33.
- Trachinus, sekundäre Wirbelkörper XVI, 124.
- Tractus olfactorius der Eidechse, Schleifenbildung der Gefäße XV, 61.
- Beziehung zum Riechepithel XVII, 146.
- opticus, Verlauf und Theilung XVIII, 473.
- Transparentseife zur Einbettung IX, 122.
- Trematoden, feiner Bau der Muskelfaser V, 217.
- zur Kenntniss XIX, 529.
- Trichinen, Beziehung zur Mikroskopie II, 132.
- Trichocysten V, 41, Untersuchungsmethoden 42, mit Inductionsströmen 44, Austritt bei Paramaecium aurelia 44.
- Trichoniscidae, Anatomie XIX, 579, allgemeine Körperform 580, Kopf 580, Thorax 580, Abdomen 581; Beine 581, Schwanzgriffel 582, Antennen 582, Hautdecke 583, Cuticula 583, Matrix, Pigmentirung der Matrixzelle, Pigmentzelle, Umwandlung bei farblosen Thieren 587, Häutung 598, Bildung der Haare 598, des Samenleiters 599, der Zähne 599, Sinnesorgane 599, Riechkolben am Endgliede der inneren Antennen 599, Tasthaar und Tastkegel 600, Gesichtorgane 601, Umänderungen bei Höhlenthieren 601, Pigment derselben 601, Hautdrüsen 602, einzellige Drüse 603, Function 606, Secretionsorgane 608, Fettkörper, als Niere functionirend 610, Verdauungssystem 612, Mundtheile 612, Mandibulae 613, Processus molaris und incisivus 613, tasterartige Gebilde, Maxillae priores 614, posteriores 615, Pedes maxillares 616, morphologische Deutung 617, Basalplatte 616, 618, Lateralplatte 617, 618, Darmkanal 618, Vorderdarm 619, Oberlippe 619, Function, Unterlippe 621, Function, Magen 622, Mitteldarm 622, Hepatopancreas 622, Geschlechtsorgane, weiblich 623, männlich 624, Copulationsorgan 625, Samenleiter 626, 629, Penes 627, Verbindung mit Vas deferens 626, Geschlechtsorgane, innere 634, Hodenschläuche, Bau 634, Spermatogenese 634, Hoden 634, Tunica propria 635, Zellen derselben 636, Hodenfollikel 637, Spermatogonie 637, Follikelzelle, Ursprung 638, Samenblase 638, Zellen 639, Eibildung in derselben 638, Vas deferens, Bau 642, Geschlechtscharakter 643.
- Trichoniscus batavus, Anatomie XIX, 579, siehe Trichonisciden, allgemeine Körperform 580, Hautdecke 583, Pigmentirung 586, Samenleiter 630, Penes 631.
- Leydigii, Anatomie, siehe Trichonisciden XIX, 579, Samenleiter 629, Penes 632.
- pacillus, Anatomie XIX, 579, siehe Trichonisciden.
- roseus, Anatomie XIX, 579, siehe Trichonisciden, Samenleiter 629, Penes 632, Geschlechtscharaktere 643, Umformung des 7. Beinpaars beim Männchen, beim Weibchen 645.
- Trichterfortsatz der Hypophysen XI, 420, Bildung 405.
- Trichterorgan der Cephalopoden V, Suppl. 97.
- Tridactylus, Fruchtschmiere, Ursprung XIII, 231.
- Trinema, Vergleich mit Amoeba terricola X, Suppl. 32, Schale und Körper 119, Acinus 104, Panzer 105, Weichkörper 106 und Pseudopodien, Fortpflanzung durch Encystirung und Theilung mit Schwärmerbildung 119—120.
- Tristomum coccineum, Auge XX, 169.
- Triton, Vertheilung des Leberpigmentes III, 433, Corticalschicht der Leber vom Batrachiertypus 434.
- Retina VII, 88, äussere Körnerschicht 88, Kolben 88, Stäbchenschicht V, 388, Labdrüsen VI, 396, Nerven der Hornhaut IX, 249, Nervenendigung im Muskel 546.
- Knochen des Gaumenbogens XI, Suppl. 19, Unterkiefer 26, Grenze zwischen Zahnkrone und Sockel 47,

- Bedeutung des Zahnsockels als Cement 63, Veränderung des Mundhöhlensceletts 116, Zahnscelett der Schleimmembran 125.
- Triton, schlauchförmige Hautdrüsen XII, 201, Muskel des Kloakenwulstes 208, Riesenzellen des Epithels der Hautdrüsen 211, Epithel der Kloakendrüse 212.
- Oesophagus XIV, 197, Magenschleimhaut 198, Lage der Thymus 347, Brustbein und Schultergürtel 604.
- Keimepithelinseln XV, 403, Pflügersche Schläuche 403.
- Zonula ciliaris XIX, 166, Fontanascher Raum 173.
- Karyokinesis der Epidermis XX, 142.
- *alpestris*, Cuticula XII, 121, 123.
- *cristatus*, Epithel der Malpighischen Kapsel der Niere X, 24, Beziehung zu Samenkanälchen 25, Cuticula XII, 121, 123.
- Epitrichialschicht der Haut XIII, 215.
- *helveticus*, Organe des VI. Sinnes XII, 167, Rückenmark und Chorda dorsalis 514, Flossensaum 515.
- *palustris*, Cuticularbildung V, 297, Epithel der Malpighischen Kapsel der Niere X, 24, Beziehung zu Samenkanälchen 25.
- *punctatus*, Samenkörper, Umwandlung aus Spermatoocyten XII, 805.
- *taeniatus*, Samenkörper I, 314, Corticalschicht der Leber, Beziehung zur Pigmentirung derselben III, 434, Seitenorgane VI, 77, Haare derselben 78.
- Epithel der Malpighischen Kapsel der Niere X, 24, Beziehung zu Samenkanälchen 25.
- Zahl der Zähne XI, Suppl. 37, Cuticula XII, 121, Höckerbildung auf derselben 127.
- Epitrichialschicht der Haut XIII, 215.
- Tritonenlarven, Quadratknorpel XI, Suppl. 111.
- Theilung der Epithelzellen XVI, 437, Kerntheilung bei todtm und lebendem Präparat 440, Netzzelle im Schwanz XVI, 445, Kernveränderung 445, Umwandlung aus Epithelzellen 447, Theilungsvorgang 448.
- Tritonlarven, Theilung der Bindegewebszelle XVII, 168, kriechende Zelle im Epithel 185.
- Trombidium, quergestreifte Muskelfaser VIII, 69.
- *holosericeum*, quergestreifte Muskelfaser VIII, 75.
- Trommelhöhle, Entwicklung des fibrillären Bindegewebes des Schleimgewebes V, 515.
- Trompeterthierchen — Stentor.
- Tropidonotus natrix, Retina II, 209.
- Ei VIII, 218, 221, 223, 226, Rindenschicht 228.
- Sinnesorgane, Jacobsonsches Organ VIII, 318.
- Zahl der undurchbohrten Zähne IX, 4.
- Kopfdrüsen IX, 599, Oberlippen-drüse 599, Litteratur, Theilung in 2 Partien 600, gelbliche Drüse, zellige Elemente 601, Drüsenkörner, Ausführungsgang, Epithel 602, graue Drüsenpartie 602, Schnauzendrüse 603, Lymphraum, Pigment 603, Jochband 604, Unterlippen-drüse 604, Ausführungsgang, Epithel, Lymphraum 605, Nasendrüse 605, untere Zungendrüse, vordere 606, Form und Beschaffenheit, Ausmündung 607, Muskeln 608, Unterzungendrüse, hintere 608, Lage 609, Ausmündung 609, Nickhautdrüse 609, Litteratur, Lage, Form und Substanz 610, Ausmündung 611.
- Lymphraum und Beziehung zur Giftdrüse IX, 637, streifige Sculptur der Hautcuticula 755, Pigmentvertheilung im Corium 775, Uebergang der Lymphräume des Corium in lymphdrüsige Masse 780.
- Epithel der Niere X, 27.
- Doppelbrechung der Hornschuppen XI, 670.
- Epitrichialschicht der Haut XIII, 213, 215, Embryo, Haut 228, Epidermis, Zelle, Cutis 228.
- Schleimdrüsen des Magens XVII, 212, Haut 355, der dorsalen Schuppen, der ventralen Schuppen 355, Cutis 355, Muskeln und Sehnen der Schuppen 355.
- *tessellatus*, Kopfdrüse IX, 611, Lippendrüse, Oberlippe mit Schnauzendrüse, Unterlippendrüse, Nickhautdrüse.

- Tropidonotus tessellatus*, streifige Sculptur der Hautcuticula IX, 755.
- Trugpyramiden in der Grosshirnrinde des Menschen IV, 421.
- Trygon, Hautzähne XX, 247.
- Trypsin, Einwirkung auf die elastischen Fasern des Lig. Nuchae XVI, 17, beim Ochs 24, Kalb 29, Rind 30, Elastin 32.
- Taba Fallopieae, Bau II, 530.
- Tube, Entwicklung beim Frosch XI, 366.
- Tuberella, XVIII, 276, tethyoides 277, — papillata 279.
- Tubuli contorti des menschlichen Hodens XIV, 23, Inhalt 28, Bedeutung 31, Wandung 24, Membrana propria 26, Uebergang in T. recti 23, 28, Epithel 29.
- — — — — der Säugethierniere. Epithel, Verbindung mit Glomerulis XVI, 521.
- Tubus medullaris, Bedeutung bei Batrachiern XIX, 43.
- Tunica propria und intima Oesophagi der Cocciden XIII, 56, des Chylusmagens der Cocciden 56, Zellen, intima des Rectum 56, propria der unpaarigen Speicheldrüsen bei *Aspidiotus* 70, 78, bei *Aphis Sambuci* 74, Cocciden 66, 68.
- — — — — der Samenkanälchen der Ratte XI, 306, der Leberschläuche der Kellerassel XVII, 397, — serosa 394, — muscularis 394, bei *Typhoniscus Steini* 396, 405.
- — — — — serosa der Leberdrüsen-schläuche bei *Asellus aquaticus* XVII, 408, — muscularis 409.
- — — — — intima der Leber der Gammariden XVII, 424, — serosa 425, — muscularis 426.
- — — — — serosa der Leber von *Astacus fluviatilis* XVII, 439, — muscularis 439.
- — — — — propria des Hodens der Trichonisciden XIX, 635, Zellen 636.
- — — — — der knäueiförmigen Hautdrüse der Katze am Ballen XX, 112, an behaarten Stellen 114.
- — — — — der Magenschleimhaut XX, 242.
- Tunicaten, feiner Bau der Muskelfaser V, 228.
- Turbellarien, Auge XX, 160.
- Typhoniscus Steini*, Leber, Bau und Thätigkeit XVII, 404, Muscularis 405.
- Typhus, Veränderung des Muskels X, 311.
- Uebergangsfasern des Sympathicus des Frosches IV, 138.
- Uebergangsschicht zwischen Stratum corneum und Rete Malpighii der Oberhaut XII, 670, 671.
- Ueberosmiumsäure, Einwirkung auf thierische Gewebe I, 299, auf *Lampyrus splendidula* 132, auf Tracheenverästelungen derselben 299, auf Fett 301, Nervenmark 302, Retina 303, Blutkörper 304, Gerbstoffe 304, auf *Noctiluca miliaris* II, 163, zur Untersuchung der Stäbchen und Zapfen der Retina II, 183, 270, zur Trennung von Wimperzellen 468, zur Untersuchung der linsenförmigen Körper der Stäbchen der Retina III, 221, zur Untersuchung der Spinalganglien IV, 46, der Schmeckbecher 161, der Lorenzinischen Ampullen der Selachier 381, der Endigung des Absonderungsnerven der Speicheldrüsen V, 193, auf Zellen der Labdrüsen des Magens VI, 378, Einwirkung auf Retina VII, 244, zur Untersuchung des Baues und der Thätigkeit der Drüsen XIII, 725, der Labdrüsen 743, des Pancreas vom Frosch 752, Veränderung farbloser Blutkörperchen 753, Einwirkung der Fermente XV, 119, auf dialysirte Pepsinlösung 119, zum Nachweis der Fermentbildung in den Drüsen 120, Einwirkung auf thätige oder ermüdete Drüsen 123.
- Um-spinnende Fasern in den Opticusscheiden des Auges, Beziehung zum Endothel VI, 52.
- Umwandlung, adenoide, kleiner Arterien der Milzen VI, 550.
- Unio, Kiemen, Bau XI, 518, gröbere Bau 519, Beziehung zur Befruchtung 519, Kiemengefässe 522, 525, Kiemen-capillaren 523, Kiemenleisten 523, Blutraum 537, Stäbchenkanal 524, Wassercanäle 525, Verhalten der Gefässe am freien Rande der Kieme 529, Kreislauf der Kiemen 530, intravasculäres Gewebe der Kieme 530, Wimperepithelzellen der Kieme 530, fibrilläres Gewebe der Kieme, Bedeutung 531, Bluträume, Entstehung 535, Kalkcon-

- cremente 536, Chitinstäbchen 539, Flimmerrinne 539, Chitin, Wesen 540, Conchiolin 541, Muskeln 542, Epithel 542, Nervenfasern des Epithels 544, Fläschenzellen 543, Flimmerepithel 542.
- Unio margaritifera, Kiemenendothelien XIII, 561, Pigment des Gallertgewebes 568, Wandung des Darm-schlauches 573, verkalktes Gallertgewebe der Kieme 581.
- Unionidae, verkalktes Gallertgewebe der Kiemensepten XIII, 585.
- Unke — Bombinator.
- Unterhautgewebe bei Embryonen, Bildung von Fettzellen XII, 443, bei Erwachsenen 443.
- Bedeutung bei *Amphioxus lanceolatus* XIII, 191.
- Unterkiefer, Anlage bei den Urodelen XI, 103.
- Bildung des knöchernen XI, 243, 252, Beziehung zum Meckelschen Knorpel 244, an Katzenembryonen 245, mediale und laterale Lamellen 246, Auftreten accessorischer Knorpelkerne 246, 248, 253, Atrophie des Meckelschen Knorpels 247, bei Mäuseembryonen 249, Schweinsembryonen 252, Kaninchen 251.
- bei Amphibien XI, Suppl. 23, knorpelige Kieferbögen 24 und Deckknochen 24, Fusion primordiale et secondaire, Verschmelzung der Knochen 25, bei Sirenon 26, Meckelscher Knorpel 26, Deckknochen, Dentale, Operculare, Angulare 26, bei Triton und *Salamandra maculata* 26, Rückbildung des Operculare 27.
- bei *Rana esculenta* XI, Suppl. 27, Deckknochen, Fehlen des Operculare, Processus coronoideus.
- primitive Anlage XII, 255, bei Kaninchen, Schwein, Katze 256, Mäusen 257, Meckelscher Knorpel, Schicksal 259, Beteiligung an der Bildung desselben 259, bei Katze 259, Maus 260, Kaninchen 260, metaplastische Ossification 264, Processus condyloideus, Ossification 267.
- Anlage und Bildung XII, 558, 563, Beziehung des Meckelschen Knorpels 559, metaplastische Ossification bezweifelt 561.
- von *Lacerta viridis*, Anhangsgebilde in der Haut XVII, 358.
- Unterlippe bei Trichonisciden XIX, 621, Function.
- Urceolaria — Lecythium.
- Urceolus Alenizini XVI, 188, Bau, Fundort 189.
- Ureter, Trennung vom Wolffschen Gange I, 245, Nerven XV, 64, Ganglien 65.
- Urniere bei Säugethierembryonen I, 158, Entwicklung und Beziehung zu Sexualdrüsen, Vorkommen bei den Cyprinoiden II, 485, Fehlen bei *Syngnathus acus* 486.
- Anlage bei der Unke IX, 408, bei *Nassa mutabilis* XIII, 116, bei *Fusus* sp. 124, bei *Fusus* 132, Verbindung mit dem Hoden bei Batrachiern XVIII, 15.
- Urnierengang, Fortentwicklung zur bleibenden Niere II, 475, Entwicklung bei Fischen 483, Lage und Entstehung bei *Bombinator igneus* V, 105, beim Ei von *Torpedo oculata* XI, 570.
- Urodelen, Vertheilung der Zähne XI, Suppl. 39.
- Entwicklung der embryonalen Zähne und des Skeletts der Mundhöhle XI, Suppl. 90, Untersuchungsmethode 91, Beschaffenheit des Primordialcranium 91, Entstehung der primitiven Zähne 93, Verbreitung der Zahnanlagen 95, äussere, innere Zahnstreifen, Oberkiefer und Gaumenzahnstreifen 95, Zahnpapille, Odontoblast 97, Beteiligung der Keimblätter 97, Bildung einer Fussplatte 98, Bau des primitiven Zahnes 98, Schmelzspitzen, Dentin, Cement, Epithelscheide 99, Ersatzleiste, Entwicklung 99, Vergleich mit den ausgewachsenen 100, Vergleich mit den Schleimhautzähnen der Selachier 101, Zeit des embryonalen Auftretens 101, Embryonalskelett der Mundhöhle, Entstehung 102, 103, Unterkiefer 103, Dentale, Angulare, Operculare, Anlage 103, 104, Entwicklung 105, Vomer, Palatinum 105, Pterygoid 104, Vergleichung der Mundhöhlenknochen 105, Ersatzleiste, Beteiligung an der Entwicklung des Vomer, Palatinum und Operculare 107, Zahnknochen und Zahnselett 108, Dentale, Intermaxillare 109, Maxillare 109, Entwicklung 108, Parasphenoid, Pterygoid, Angulare, Entwicklung 111, Quadratknorpel 111, Pterygopalatinum 112, Umwandlung des Embryonalskeletts in das bleibende

- 112, Resorptionsvorgänge 112, durch Ostoklasten 114, Lageveränderungen, Vergleich mit dem Zahnwechsel der Selachier 113, selbstständige Knochenbildung 115, 121, Vomer, Palatinum, Operculare 115, Beziehung zwischen der phylogenetischen und ontogenetischen Entwicklung der Mundhöhle 117, Vielreihigkeit als Urform 118, primäre Anordnung der Gaumenknochen 118, des Quadratknorpels 119, Os pterygopalatinum, ursprünglich für die getrennten Knochen 120, Entstehungsart eines Theiles der Knochen des Mundhöhlenseletts 120, aus Zahnplatte oder Zahncement, Entstehung des Processus palatinus, dentalis, nasalis 121, geschichtlicher Ueberblick 122, Os maxillaires temporaels 122, Palatins transitoires $\frac{1}{2}$ zu ächtem Palatinum 123, Quadratknorpel, Stellung 123, 124, inneres oder wahres Pterygoïd 124.
- Urodelen, Vergleich mit der Zahnbildung bei Anuren XI, Suppl. 141.
- Brustbein und Schultergürtel XIV, 600.
- häutiges Labyrinth XVII, 532, größerer Bau 532, Cavum perilymphaticum mit Ductus 533.
- Theilung der Hodenepithelzelle XVIII, 170.
- Blutgefäße des cerebrospinalen Nervensystems XX, 87, Art. carotis vertebralis 87, Verästelung, Art. Lobi optici 88, A. spinalis 88, Venen 89, Plex. venosus triangularis medius 89, Plex. choroideus Ventriculi IV, XX, 89.
- Urogenitalsystem bei Bombinator igneus, Enten V, 104.
- Uroleptus piscis, contractile Behälter V, 35.
- Urostyla grandis, Kerne IX, 670.
- Weissei, Bau XVI, 166, Fundort 166.
- Ursus spelaeus, Verhalten der Knochen im tertiären System XV, 377.
- Urwirbel, Bildung II, 521.
- und Chorda dorsalis der Knochenfische, erste Anlage IV, 252.
- von Bombinator igneus, Entwicklung V, 98.
- Vergrößerung durch aus der Blutbahn getretene Elemente VII, 199.
- peripherer Theil XI, 266, 271, bei Forellen, Umwandlung zu Bindegewebszügen der Fascien der Rückenmuskeln.
- Urwirbel, Entstehung bei Amphioxus laeucolatus XIII, 187.
- Urwirbelhöhle bei Huhn und Gänsen, Verhalten bei der Bildung des Wolffschen Ganges XIV, 455.
- Urwirbelplatte bei Bombinator igneus V, 94.
- Uterus bei Distomum Westermanni XIX, 566.
- masculinus beim Kaninchen XX, 103.
- Utriculus, Stellung der Macula acustica zu demselben III, 115, Nervenverlauf in demselben 116, Lagenverhältnisse 128.
- des häutigen Labyrinths der Knochenfische XIV, 271, Recessus Utriculi 273, Epithel 272, Macula Utriculi 274, Basalzellen 274, 302, Fadenzellen 275, 302, Cylinderepithel 276, 302, Endigung des N. acusticus in Fadenzellen 280, Lappillus, Otolith der Macula Utriculi 283, Membrana tectoria 284.
- des häutigen Labyrinths der Batrachier XVII, 493, N. Utriculi 517, Macula Utriculi 518, Basalzelle 518, Cylinderepithel 519, Nerv, Verhalten zum Epithel 520, Otolith 522.
- des Gehörorgans der Ganoiden XVIII, 489, Recessus 489.
- des häutigen Labyrinths der Chelonii XX, 282, Recessus 283, Nervus 307, Macula acustica, Epithel 307, Basalzelle 309, Cylinderepithel 310, Nervenendigung 311, Otolith 313.
- des häutigen Labyrinths der Hydrosaurii XX, 348, — der Ophidia 333.
- Uva des Schnabels der Cocciden XIII, 47.
- Uvea des Cephalopodenauges XVI, 232.
- Uvealtractus bei Vertebraten, vorderer, Bau und Entwicklung XIX, 152.
- Uvellina, Bau und Fundort XVI, 178.
- V**acuolaria virescens VI, 426, Zugehörigkeit zu den Palmellaceen und Entwicklungsgang.

- Vagina, Hülle des sympathischen Gränzstranges II, 20.
 — des Schnabels der Cocciden XIII, 39, Schlingenbildung 34, bei Dorthesia 44, Coccus Adonium 44, Lecanium.
- Vaginulus Taunaysi, Strickleiternervensystem XIV, 123.
- Valvae des Anus der Cocciden XIII, 55.
- Valvula Pylori der Fische XIII, 671.
- Vampyrella I, 205.
 — cinerea X, Suppl. 58, 61, Vergleich mit Nuclearia delicatula 58.
 — pendula, Nahrungsaufnahme I, 221, Ruhezustand 221, Zellzustand 222.
 — Spirogyrae, Körnchenbewegung in den Pseudopodien I, 206, Nahrungsaufnahme 211, Zellzustand 221, Ruhezustand 221.
 — X, Suppl. 61, 65, Bau, Vergleich mit Actinophrys 62, Nahrungsaufnahme und Verdauung 62, Encystirung und ihr Zusammenhang mit der Fortpflanzung 63, Zugehörigkeit zu Monadinae tetraplastae 65.
 — vorax, Nahrungsaufnahme I, 223, Ruhezustand 224, Zellzustand 224.
 — X, Suppl. 60.
 — Färbung XII, 20, 26, Encystirung 24.
- Vanessa, Adventicia des Rückengefäßes IX, 141.
 — Jo, Cylindergebilde des Rüssels XIV, 310, XV, 21, Mittelstab der Cylindergebilde des Rüssels XV, 12.
- Vas deferens der Trichonisciden, Verbindung mit dem Penis XIX, 626, Bau 642.
- Vasodentin des Hechtzahnes XX, 385.
- Vatersche Körperchen des Waldschneppenschnabels IV, 195, Kapsel 197, Innenkolben 197.
 — Bau und Vorkommen XIX, 63, Lamelle 63, Innenkolben 65, Terminalfaser 66.
- Vater-Pacinische Körperchen, zur Histologie V, 145, Entwicklung 146, Terminalfaser und deren Wesen 148, Untersuchung der Kapsel und deren Bau 152, Gefäßverlauf 155, bei der Taube 155.
- Venen, Communicationswege mit dem Schlemmschen Canal VI, 310.
 — der Milz, Verlauf VI, 548, Beziehung zu den Malpighischen Körpern 557, Anfänge derselben 563, Typen der Anfänge 567, Zusammenhang mit Arterien 570, Regulirung der Blutbewegung in denselben durch Verbindung mit Muskeltrabekeln der Kapsel 577.
 — der Flughaut der Fledermäuse VII, 12.
 — Verlauf in den lymphoiden Drüsen des Störherzens IX, 71.
 — directer Uebergang von Arterien in — XIII, 603, Bau 610.
 — des cerebrospinalen Nervensystems der Urodelen XX, 89.
- Venencapillaren der Milz, Elemente VI, 565.
- Venenschenkel bei Bombinator igneus V, 113.
- Venae vorticosae und ihre Beziehungen zum Perichorioidealraum VI, 34.
- Ventriculus der Cocciden XIII, 51, Ansa minor et maior 52.
 — Laryngis XI, 501, 506, Schleimhaut 501, 503.
 — terminalis des Rückenmarks, Anatomie XI, 216, vergleichende Anatomie 221, Varietäten 220, Vergleich mit Sinus rhomboidalis der Vögel 221, Entwicklungsgeschichte 222, Entwicklung zur Hydrorhachis interna cystica 222, Historisches 223, Function 224, Cilien desselben und Vergleich mit Stäbchen und Zapfen der Retina 224, Untersuchungsmethode 225.
- Venus, Kiemenleiste XI, 552.
- Verbindung zwischen Nervenzellen und Fasern im sympathischen Gränzstrang II, 22.
- Verdauung bei Clathrulina elegans X, Suppl. 230.
 — zum Nachweis des Horngerüstes der markhaltigen Nervenfaser XIX, 227.
- Verdauungsapparat der Macrobieten II, 126.
 — von Distomum Westermanni XIX, 548, Vorhof mit Muskeln 549.
- Verdauungshöhle bei Fusus sp., Anlage XIII, 127, Weiterentwicklung 129, 134.
- Verdauungskanal der Cocciden XIII, 48, bei Coccus Hesperidum 49, Lecanium 51, Theilung und Be-

- ziehung zu den Malpighischen Gefäßen bei Cocciden 51, Anhangsorgane 57, Speicheldrüse 57, bei Lecanium Hesperidum 58, 59, bei Dorthesia 59, Diaspis 61. Lecanium depressum, Chionaspis 63, 66, Aspidiotus 63, Aphiden 64, Lecanium, Coccus, Dorthesia 64, Nerven derselben 66, Form bei Chionaspis 66, Tunica propria 66, intima 68, Zelle 67, Bau der Speicheldrüse bei Aspidiotus 69, Tunica propria 69, Kern 70, intima 70, bei Lecanium 71, Zellkerne 72, bei Coccus 72, Dorthesia 73, Kern 73, bei Aphis Sambuci 73. Tunica propria 74, Zelle 74, intima 74, bei Schizoneura Ulmi 74, Chermes Abietis 75, unpaarige Speicheldrüse 76, bei Diaspis 71, Chionaspis 76, Aspidiotus 76, Lage 76, Histologie 77, 78, Tunica propria 78, Zelle 78.
- Verdauungsorgane bei Phreocytes Menkeana im Allgemeinen I, 269, feinerer Bau 270.
- der Macrobieten II, 126.
- Verdauungssystem bei Phreocytes Menkeana I, 269.
- bei Trichonisciden XIX, 612.
- Verdauungsversuche, künstliche, Art und Erfolg VI, 534.
- Vergleichungsspectrum, Bedeutung VII, 221.
- Verhütung der Verdunstung bei mikroskopischen Untersuchungen durch die feuchte Kammer von Recklinghausen I, 7.
- Vermes, feiner Bau der Muskelfaser V, 216, Eintheilung nach denselben 216.
- Stellung zu den Echinodermen XII, 638.
- Nervenlemente, Untersuchungsmethode XVI, 99, Ganglienzelle 100, Membran 101, Kern 102, Kernkörperchen 103, Nervenstämme 103, Neurilemma 104.
- Hüllen der Geschlechtsstoffe, männlich und weiblich XVIII, 56.
- Vermetus, Vergleich mit Leberzellen bei Natica XIII, 153.
- Vertebrata, amöboide Bewegung der Hodenzellen I, 403.
- Vergleich des Amnions mit dem Faltenblatt der Embryonen von Chironomus II, 396.
- Leber III, 88, 423, Zellen 89, Gallengänge 89, Gallencapillaren 423.
- Vertebrata, Epithel der Mund- und Rachenhöhle III, 169.
- , über cuticulare Bildungen und Verhornung von Epithelzellen V, 295.
- Stammverwandtschaft mit Ascidien V, 459, VI, 115.
- Bindegewebe in Uebereinstimmung mit dem der Mollusken V, Suppl. 3, mit dem der Gasteropoden 4.
- Muskelgewebe mit dem der Mollusken V, Suppl. 30.
- Vergleich mit dem Epithelgewebe der Mollusken V, Suppl. 37.
- Stellung zu den Mollusken V, Suppl. 101.
- Leberzellen VI, 89.
- zur Geschichte des Keimbläschens VIII, 1.
- Eider—, Lymphageneratrix VIII, 15, Vesicula germinativa 15, Discus proligerus 17.
- Modelle der rothen Blutkörperchen VIII, 472.
- Beiträge zur Entwicklungsgeschichte IX, 679, X, 145, XV, 139.
- Schleimhautossification XI, Suppl. 183.
- Theorie des Schädels XI, Suppl. 196, Entstehung der Schädelknochen 200.
- Vergleich mit der Chorda von Amphioxus lanceolatus XI, 428.
- Zusammenhang zwischen Nerven- und Darmrohr XIII, 194.
- Nervensystem, Vergleich mit dem der Anneliden an der Hand des Amphioxus XIII, 194, 199, 201.
- Vergleich mit Gehirn der Wirbellosen XIII, 201.
- Haut XIII, 205, Litteratur, Zusammensetzung 209.
- Nervenendigung im quergestreiften Muskel XIII, 365, 380, Endplatten 366, durch Gold dargestellt.
- Vergleich der Anlage der Wirbelsäule sämmtlicher — XV, 193.
- vorderer Uvealtractus, Bau und Entwicklung XIX, 152, Augenblase, primäre 152, secundäre 153, Glaskörper, Entwicklung 153, Gefäßsprossenbildung 154, Membrana limitans, Entwicklung 156, Zonula ciliaris, Entwicklung 157, vergleichend anatomische Untersuchung 163, Hornhaut, Entwicklung 157, Endothel 158, Pupillarmembran 158,

- Bowmannsche Membran 159, Membrana Descemetii 159, Vorderkammer 160, Fontanascher Raum 160, vergleichend anatomische Studien 168, Ciliarmuskel 161, Schlemmischer Canal 163.
- Vertebrata, äussere Körnerschicht der Retina XIX, 395.
— niedere, Cornea II, 419, Choroida 420.
- Verwendung des heizbaren Objectisches zur Untersuchung des Blutes I, 1.
- Vesicula germinativa des Wirbelthiereies VIII, 15.
- Vespertilio, Flughaut, namentlich Nervenendigung VII, 1, Oberhaut 3, Stratum Malpighii 4, Cutis 5, Zellen der Oberfläche 5, elastische Balken 6, quergestreifter Muskel 8, M. Corrugator Plagiopatagii 9, Blutgefässe 12, Arterien 12, Venen 12, Haare 14, Nerven 17, Endigung 17, 23, Terminalkörperchen 23.
— quergestreifter Muskel der Lungenvenen XIV, 247.
— murinus, Keimbläschen VIII, 23, Retina XII, 779.
- Vesperugo serotinus, Flughaut VII, 1.
- Vestibulum Laryngis des Menschen XI, 498, Beziehung zum Pharynx 503, 512.
— membranaceum des häutigen Labyrinths der Batrachier XVII, 490, Epithel 497.
- Vibrio lineola, Abstammung und Entwicklung III, 317.
- Vibrionen, Verhältniss zu Leptothrixschwärmern II, 67, Bewegung 69.
— Erzeugung aus Schimmelsporen und Keimfäden III, 319, 325, Keime, Entwicklung 3, zu Schwärmern 322, Verwandtschaft mit Leptothrix buccalis 322, Nährstoffe für die — 324, Untersuchung in Nährstoffen 325, zur Hefebildung 336, Einfluss erhöhter Temperatur auf — 326, Vorhandensein im Blute lebender Thiere 328, 343, in der Milch 330, Käse 330, Eiern 331, zur Hefebildung 336.
— zur Naturgeschichte VIII, 514, Gattungen, Einwirkung chemischer Reagentien 517, Schwefelsäure, Salzsäure, Essigsäure 518, Kreosot, Jod, electrische Ströme 519, Bewegungsercheinungen 519, deren Aufhören 521, Kettenbildung 523, Bau 524.
- Vibrioniden, Nahrungsaufnahme IX, 118, Bewegung 119, Copulationsprozess 120, Bildung von Vibrionenhäuten 121, systematische Stellung 122.
- Vierhügel, Verlauf der Schleife im — XIX, 288.
- Vipera ammodytes, Kopfdrüsen IX, 627, Glandula venenata 627, labiales 628, linguales 628, Nickenhautdrüse 629.
— — Horn IX, 787, Lymphräume, Beziehung zur Giftdrüse 637, Lymphräume im Corium 780.
— — Giftzähne IX, 11, streifige Sculptur der Cuticula der Haut IX, 757.
— — Epitrichialschicht der Haut XIII, 214.
— aspis, streifige Sculptur der Cuticula der Haut IX, 757.
— — Epitrichialschicht der Haut XIII, 214.
— berus, Giftzähne IX, 11, Lymphräume und Beziehung zur Giftdrüse IX, 637, streifige Sculptur der Cuticula der Haut 757, Pigmentvertheilung im Corium 774, Lymphräume im Corium 780.
— — Epitrichialschicht der Haut XIII, 216.
— — Vorderdarm XIV, 200, Oesophagus, Magen 200.
- Vitriana diaphana, Ohrkanal des Gehörorgans VII, 215.
- Vögel — Aves.
- Vogelembryonen, Herzanlage XIV, 459.
- Vogelkeim, Analogie mit Fischkeim, Forellenkeim V, 357.
- Vomer, erste Anlage bei Anuren XI, Suppl. 137, Erklärung der Bildung des — 146.
— des Gaumenbogens der Amphibien XI, Suppl. 15, bei Siredon pisciformis 15, Menobranchus lateralis und Proteus anguineus 16.
— der Schlangen VIII, 319, Beziehung zum Jacobsonschen Organ.
— erste Anlage bei Urodelen XI, Suppl. 105, Betheiligung der Ersatzleiste 107, Umwandlung 115.
- Vorderdarm der Cocciden-Oesophagus der Cocciden.

Vorderdarm, Entwicklung bei *Bombinator igneus* V, 110.

— bei *Natica* XIII, 146, Beziehung zur Gastralhöhle, der Fische, Schleimhaut 655.

— einiger Amphibien und Reptilien XIV, 179, Lokalisierung der den Magensaft bereitenden Elemente 201, bei Frosch 181, Drüsenzellen und ihre Bedeutung zur Pepsinbereitung 194.

— von *Hyla arborea* 195, von *Bufo* 196, *Triton* 197, *Kröte* 198, *Lacerta* 199, *Coluber natrix* 200, *Vipera berus* 200.

— der *Trichonisciden* XIX, 619.

Vorderhirn bei der Unke IX, 398, der Eidechse, Schleifenbildung der Gefäße XV, 61.

Vorderhorn des Rückenmarks, Ganglienzellen XIV, 125.

Vorderkammer bei Vertebraten XIX, 160.

Vorderstrang der Schleife XIX, 264.

Vorhof des Verdauungsapparates von *Distomum Westermanni* XIX, 549, mit Muskeln.

Vorrichtung zum Wiederauffinden wichtiger Stellen in mikroskopischen Präparaten XX, 502.

Vorticella campanula, Einwirkung von Chinin auf Bewegung III, 383.

— *Pyrum*, Bau XVI, 156, Fundort 157.

Vorticellenstiel II, 344.

Wabenkröte — *Pipa*.

Wärmemessung am *Microscop* IV, 334.

Wärmestarre, bleibende und vorübergehende I, 24.

Wärmetetanus, vorübergehende Starre I, 24.

Wagneria cylindroconica X, 122, Bau, systematische Stellung 123.

Waldassel — *Philoscia*.

Walzenspirale — *Spirillum*.

Wanderhai — *Selache*.

Warzenzone, Auftreten bei Entwicklung der Milchdrüse XX, 437, weitere Entwicklung 448, Anlage beim Menschen 468, bei der Milchdrüse der Wiederkäufer 473.

Wasser, zur Darstellung des Horngerüsts der markhaltigen Nervenfasern XIX, 229.

Wasser, Einwirkung auf Myelin XIX, 190, 191, auf Nervenmark 193.

— destilliert, Einfluss auf die Leberzellen der Kellerassel XVII, 403.

Wasserassel — *Asellus*.

Wasseraufnahme bei den Lungenschnecken I, 61, bei den Ammeliden, *Nais* I, 282, bei den Infusorien II, 356.

Wasserbärchen — *Macrobiotus*.

Wasseranäle der Kiemen von *Anodonta* und *Unio* XI, 525.

Wasserfrosch, grün — *Rana esculenta*.

Wassergänge bei *Tethyalyncurium*, Gangzellen XVI, 634, Canalzellen 634.

Wassergefäßsystem, Anlage bei *Comatula mediterranea* XII, 592, von *Stentor* II, 356, von *Tethyalyncurium* XVI, 636, XVII, 159, von *Trachelius Ovum* II, 357.

Wasserkröte — *Pelobates fuscus*.

Wassermolch — *Triton*.

Wasserpulmonaten, haartragende Sinneszellen der Oberhaut V, 431.

Wassersalamander — *Triton palustris*.

Wechselthierchen — *Amoeba*.

Wegschnecke — *Arion*.

Weichthiere — *Mollusca*.

Weidenbohrer — *Cossus ligniperda*.

Weinbergschnecke — *Helix pomatia*.

Welle, stehende, ihre Entstehung durch Reflexion der Zapfen und Stäbchen und Bedingung der Farbenperception III, 252.

Wels — *Silurus*.

Widder — *Ovis aries*.

Wiederkäufer, Ciliarmuskel IV, 364, becherförmige Organe der Zunge VI, 248, *Papilla vallata* 248, embryonale Entwicklung der Milchdrüse XX, 471, Warzenzone 473, Haarbildung auf den Zitzen 482.

Wimperbewegung bei *Cyclas* XII, 69.

Wimperhaare — *Haar*.

Wirbel, Knochenkerne XVI, 600.

Wirbelanlage bei *Plagistomen* XV, 474, 492, vorderste bei *Rajidae* XV, 489.

Wirbelbildung bei *Batrachiern* XIX, 30.

Wirbelbögen, Entstehung aus Chorda V, 103.

— Anlage bei der Unke IX, 404.

- Wirbelbögen der Plagiostomen, Einfluss auf die Form der Wirbelkörper XV, 488.
- und Rippen der Plagiostomen XV, 495, 507, Formbedingung für Entstehung derselben 511, obere 500, untere 503. Scelletschicht 496.
- bei Scyllien XV, 495, Mustelus 520, Dornhaien 521, Carcharias 521, Squatina 521, Raja 524, Torpedo 526, bei Teleostiern XVI, 127, obere 127, untere 129, bei *Esox lucius* 131, bei *Anguilla vulgaris* 132, *Salmo salar* 134, *Salmo fario* 134.
- Ossification bei Batrachiern XIX, 33.
- bei Chimaera XV, 534.
- Wirbelkörper, Anlage bei der Unke IX, 404.
- der Plagiostomen, Formverhältnisse XV, 482.
- sekundäre, Verkalkung 488, 491, 492, Einfluss der Wirbelbögen auf die Form derselben XV, 488, primäre bei Teleostiern XVI, 122, sekundäre 123, bei *Hemirhamphus*, *Tracheilus*, *Leuciscus alburnus*, *Lepadogaster* 124, *Esox lucius*, *Anguilla vulgaris* 125, *Cyclopterus lumpus*, *Chironectes*, *Monacanthus penicilligerus* 126, *Diodon* 127.
- Knochensubstanz bei Batrachiern XIX, 27.
- Wirbellose — Avertebrata.
- Wirbelquerfortsatz bei der Unke IX, 405.
- Wirbelsaite — Chorda.
- Wirbelsäule und ihre Anhänge bei Cyclostomen XV, 428, 315, Ursprung der Spinalnervenwurzeln 428, Litteratur 316, bei Ganoiden 442, Dornfortsätze 446, bei *Acipenser sturio* 442, Knochenganoiden, *Lepidosteus*, *Polypterus*, *Amia* 453, Plagiostomen 461, Rajidae 469.
- Rückbildung bei Plagiostomen XV, 528.
- Verhältniss zur Chorda XVI, 601, Knorpelzellen derselben 603, 607.
- Ossification bei Batrachiern XIX, 26.
- häutige und knorpelige bei den Batrachiern XIX, 28.
- Wirbelsystem bei *Bombinator igneus* V, 121, bei Chimaera XV, 531.
- Wirbelthiere — Vertebrata.
- Wirbelzusammensetzung des Schädels der Wirbelthiere IX, 196.
- Wollfscher Gang, Trennung vom Ureter I, 245, Anlage X, 202, Entstehung bei Hühnern und Gänsen XIV, 442, Litteratur 442, 457, Darstellung 445, erste Anlage und Entwicklung 447, Bildung des Lumens 451, Loslösung 452.
- bei Säugern, zur Kenntnis XX, 92.
- Körper bei *Bombinator igneus* V, 105, Stäbchenzellen XIII, 313.
- Wucheratrophie des Fettgewebes mit Zellenvermehrung XII, 467.
- Wucherung, atrophische, Fettzellenschwund bei — VII, 330.
- Würfelnatter — *Tropidonotus tessellatus*.
- Würmer — Vermes.
- Wundermonade — *Monas prodigiosa*.
- Wurzel, absteigende des N. opticus XVIII, 478.
- aufsteigende des N. acusticus XVIII, 403.
- Wurzelfäden in den Ganglien des sympathischen Gränzstranges II, 24.
- Wurzelfasern, vordere, des Rückenmarks, Ursprung aus Ganglienzellen X, 490.
- Wurzelfüsse — Rhizopoda.
- Wurzelscheide der Tasthaare II, 443.
- der Tasthaare der Batrachier, Nervenendigung XII, 520.
- der Feder vom Piguin, äussere und innere XIII, 257.
- äussere XII, 693, Verhornung 694, Wucherung beim Ausfallen der Haare 712, Ursprung für die Talgdrüse der Haare XV, 54, Verhalten am unteren Ende des Haares XV, 56.
- äussere der Tasthaare XV, 50.
- innere des Haares, Färbung mit Jodviolett X, 735, Genese XII, 689, 690, Verhornung 701, Atrophie beim Ausfallen der Haare 712.
- innere, der Tasthaare XV, 51.
- Wurzelscheidencuticula XII, 697.
- Wurzelzellkörper der Haare IX, 204.

Xanthelasma, Entstehung XI, 193.
 Xenomorphidae II, 109, 115.
 Xylol zur Untersuchung des Centralnervensystems XIV, 621.

Zackenschwärmer — Smerinthus.

Zahn, Wesen, Nagelglieder des Kopfcingeweidesceletts, Begründung IX, 1, Schmelz, Ursprung 2, Zahnbein, Ursprung 2, als Cuticularbildung, der Schlangen, undurchbohrte IX, 3, Form 3, Zahl 4, bei *Tropidonotus natix* 4, Ersatz — 4, feinerer Bau 8, Cuticula 8, Zahnbein 8, Entwicklung 9, aus den unteren Schichten des Schleimhautepithels 9, durchbohrte oder Gift — 11, von *Vipera berus* und *ammodytes*, Sack mit besonderen Organen, Sinnesbechern 12, Zahl der — 13, Form 14, Giftcanal 14, feinerer Bau 17, Pulpahöhle 17, Bildung des Giftcanals 18, Zahnbein 20, Schmelz 20, Cuticula, Darstellung 21, Pulpa 21, Entwicklung 22, aus dem Epithel der Schleimhaut, Entwicklung der Gifträume 26, Zahnbein, Cuticularbildung, Vergleich mit Säugern 27, embryonale Keimblätter für Entwicklung der — 30, des Zahnbeines 31, Schmelz 32, Gallertgewebe des —, bei Säugern 33.

— des Pferdes, Doppelbrechung des Schliffes XI, 679.

— der Amphibien XI, Suppl. 33, Form, Befestigung 34, Vertheilung auf Knochen der Mundhöhle 34, bei Urodelen 39, Perennibranchiaten 35, 39, Salamandrinen 35, 39, Batrachiern, Hemiphractus 39, Siren 39, *Proteus*, *Menobranchus*, *Derotremen* 35, Anordnung auf den Knochen der Mundhöhle 36, Vielreihigkeit bei Perennibranchiaten, Siren *lacertina*, *Plethodon glutinosus* 36, mehrreihig — *Siredon pisciformis* 37, einreihig bei *Derotremen*, Salamandrinen, Batrachiern 37, Zahl bei Frosch, Triton *taeniatus* 37, Begründung der ungleichmässigen Vertheilung 41, Rückbildung und Ursachen 42, ursprüngliche Bezeichnung 44.

— der Amphibien, verschiedene Grösse, Begründung XI, Suppl. 45,

äussere Form 46, Krone und Sockel 47, Grenze bei Frosch, *Salamandra maculata*, Triton, *Siredon pisciformis* 48, Spitze der Krone 48, Befestigung auf Knochen 49, mehrreihiger 50, durch sogenannte Hautknochen, einreihiger 50, der Kieferzähne auf *Processus dentalis* 51, Nahtlinie 52, Befestigung der Gaumen — 53, auf *Proc. dentalis* 53, Bildung des letzteren 53, 54, und Einfluss auf äussere Form des — 55, Lagerung zur Mundschleimhaut 55, in Epithelhülsen 55, bei Batrachiern $\frac{1}{2}$ zu Salamandrinen 56, histologische Zusammensetzung 56, Litteratur, der Krone 58, aus Zahnbein mit Interglobularräumen und Zahnbeinröhrchen, Schmelz 59, Schichtungsstreifen 60, *Zahncuticula* 61, Schmelzröhrchen 61, Sockel, histologische Zusammensetzung 61, Zellen darin bei Batrachiern 62, Salamandrinen 62, *Siredon pisciformis* 62, Bedeutung des Gewebes als Cement 63, bei Batrachiern, Tritonen 63, Axolotl 63, Zahnknochen 63, Pulpahöhle 63, Epithel 64, mit Spindelzellen, Odontoblastenschicht $\frac{1}{2}$. Osteoblasten oder Cementmembran 64, Vergleich mit Selachiern und Säugern 64, der Hai-fische 65, Structur, Dentin, Schmelz, Cement, Basalplatte und Zahnkrone, Homologie der Bildungen 65, Homologie der Basalplatte der Selachier und Zahnsockels der Amphibien 66, Cement verschiedener — sorten 66, Vergleich der Lage 67, Befestigungsweise 67, Form 67, Urform 67.

Zahn der Amphibien XI, Suppl. 78, Lagenveränderungen durch Weiterentwicklung, Vergleich mit der Entwicklung der Selachier und Säuger 79, Vergleich der Anzahl der neuentstandenen 78, der Lage 79, Resorption 80, Verhalten der Weichtheile 81, vielkernige Zellen 81, Vergleich mit Ostoklasten 82, Ursache der Resorption und Neubildung 83, embryonale Entstehung des — und Mundhöhlensceletts 85, Entwicklungsgeschichte und Beziehung zur vergleichenden Anatomie 86.

— der Amnioten XI, Suppl. 179, Verbreitung 179, Befestigung 180, embryonale Entwicklung und Be-

- ziehung zu Deckknochen der Mundhöhle 181.
- Zahn, Entwicklung des embryonalen bei Urodelen XI, Suppl. 90, primitive Entstehung bei Triton 93, Verbreitung der Anlage 95, Betheiligung der Keimblätter 97, Fussplatte, Bildung 98, — primitiver, Bau 98, Schmelzspitzchen, Dentin, Cement, Epithelseide 99. Ersatzleiste, Entwicklung 99, Vergleich mit ausgewachsenem — 100, Zeit des embryonalen Auftretens 101, Vergleich mit den Schleimhautzähnen der Selachier 101.
- erste Entwicklung bei Anuren XI, Suppl. 138, Dentinkeim 139, Schmelzmembran 139, Basalmembran 139, Zahnbein und Schmelz 139, Ersatzleiste 139.
- Entwicklung bei Anuren, Erklärung XI, Suppl. 146.
- der Amphibien, phylogenetischer Ursprung und Vertheilung XI, Suppl. 153, Bau und Entwicklung 154, Ersatzleiste 155, Zahnplatte 157, — besatz, Veränderung auf Deckknochen 161, phylogenetisch älter, als Scelettknochen 166, Verbreitung 166, — zusammengesetzter 172, Entstehung des Mundhöhlensceletts durch Verschmelzung der — bei den Knochenfischen, entwicklungsgeschichtlich nachgewiesen 175, bei Forellenembryonen 176, für das Dentale 176, für Ossa pharyngea 177, — Befestigung 180, embryonale Entwicklung 181, Beziehung zu Deckknochen der Mundhöhle.
- der Larven der ungeschwänzten Batrachier XII, 129, *Rana esculenta* 129, *Bombinator igneus* 129.
- bei *Ophideres fullonica*, Entstehung aus Cylindergebilden des Rüssels XIV, 311, 314.
- zur Kenntniss XIX, 703, Odontoblasten, Verhalten zur Bildung des Dentin 703, Litteratur 703, Membrana praeformativa, Existenz 708, Litteratur 708, Schmelzorgan, Verhalten des nicht zur Schmelzbildung verwandten Restes 710, Nasmythische Membran, Genese 711, Schmelzepithel 713, Befestigung in den Alveolen 715, Litteratur 715, Bedeutung der Membrana praeformativa 717, Schleimgewebsschicht 717.
- Zahn des Hechtes, Structur XX, 382, Befestigung 383, Schmelzoberhäutchen, Schmelz 385, Wurzelstück 384, Structur 386, Zahnkrone 385, Structur 391, Vasodentin 385, 391, o. Osteodentin, Schmelzröhrchen 397, Dentin 385, 400, Fasern 402, Zellen 403, Schmelz 405, Schmelzoberhäutchen 405.
- Ersatz-, der Amphibien, Entwicklung XI, Suppl. 68, bei Salamandra maculosa 71, Ersatzleiste, Basalmembran, jüngste Zahnanlage 72, Dentinkeim 73, Schmelzmembran 73, bei Frosch, Ersatzleiste 74, Schmelzmembran 75, Ausscheidung der festen Zahnschubstanz 75, Schmelz, Entstehung 76, Schmelzoberhäutchen 75, Basalmembran und Schmelzzellen 75, Epithelseide 77, Zahnsockel 77, Cementanlage 77, durch spindelförmige Zellen.
- Sphenoidal-, der Amphibien XI, Suppl. 154, 161.
- Zahnbein, Bildung IV, 78, 85.
- Ursprung IX, 2, als Cuticularbildung 2, der undurchbohrten Zähne der Schlangen 8, der durchbohrten 20, als Cuticularbildung, Vergleich mit Säugern 27, Entwicklung und Beziehung zu Keimblättern 31.
- der Anurenzähne XI, Suppl. 139.
- Zahnbesatz, Veränderung auf Deckknochen der Amphibien XI, Suppl. 161.
- Zahnbildung bei Trichonisciden XIX, 599.
- Zahncement, Umbildung zu Knochen des Mundhöhlensceletts bei Urodelen XI, Suppl. 120.
- Zahngewebe, fossiles, histologisches Verhalten XV, 371.
- Zahnknochen und Zahnscelett bei Urodelen XI, Suppl. 108.
- Zahnpapille bei Urodelen XI, Suppl. 97, Odontoblast 95.
- Zahnplatte, Umbildung zu Knochen des Mundhöhlensceletts bei Urodelen XI, Suppl. 120.
- bei Amphibien XI, Suppl. 157.
- Zahnpulpa, Knochenkörperchen mit eigenthümlichen Kapseln in — II, 349, Endigungsweise der Nerven in — IV, 73, Untersuchungsmethode 74, Uebergang markhaltiger Nervenfasern in marklose 75, Untersuchung mit Chromsäure 75.

- Zahnpulpa, Neubildung, Vorkommen von Knochenkörperchen verneint V, 377.
- Zahnscelett der Schleimhaut XI, Suppl. 130, der Schleimmembran der Tritonen 125.
- Zahnscheiden, Vorhandensein IV, 83.
- Zahnstreifen, äussere, innere bei Urodelen XI, Suppl. 35, Oberkiefer- und Gaumenzahnstreifen 95.
- Zahnsystem der Amphibien und seine Bedeutung für die Genese des Sceletts der Mundhöhle XI, Suppl. 1. — der Amphibien XI, Suppl. 45, XI, Suppl. 68. — der Amnioten XI, Suppl. 179.
- Zahnwurzeln, unvollkommene Theilung, Erklärung 367, Architectur unvollkommen getheilte XV, 360, bei Menschen, Entwicklungsstufe 360, Veränderung des Dentin 362, bei Thieren 366.
- Zangenwurm — Eunice.
- Zapfen der Retina II, 166, 176, Anordnung 170, Vertheilung in Fovea centralis 226, 249, Lage und Dicke 227, Vertheilung im gelben Fleck 227, Theilung in Innen- und Aussenglieder, Function 235, Entwicklung 237, beim Huhn 241, Unterschied von Stäbchen 247. — der menschlichen Retina am gelben Fleck und Fovea centralis II, 228, 232. — der Retina III, 229, Unterschied von Stäbchen, Innenglieder 230, Aussenglieder 235. — der Retina von *Macacus cynomolgus*, linsenförmige Körper III, 231. — der Retina IV, 11, Dreitheilung, Neubildung 14, Aussenglieder, Plättchenstructur 16. — der Retina, Innenglieder, Zusammenhang mit Aussengliedern VII, 252, 253. — der Retina, Vergleich mit den Cilien des *Ventriculus terminalis* des Rückenmarks XI, 224. — der Retina des *Flaconatl* XII, 414, *Axolotl* 418. — der Retina, Form bei Amphibien XII, 422. — der Retina der *Chelonier* XII, 423, mit Kugel 423, ohne Kugel 425, mit Korn, Beziehung zum linsenförmigen Körper 426.
- Zapfen mit Kugel der Retina der Saurier XII, 432. — der Retina von *Petromyzon fluviatilis* XII, 754, bei *Gobio fluviatilis* 758, *Siredon pisciformis* 761, bei *Rana* 765, Nebenzapfen, bei *Lacerta agilis* 768, *Anguis fragilis* 769, 770, bei *Astur palumbarius*, Beziehung zur Licht und Farbenempfindung 776. — des Schnabels der *Cocciden* XIII, 47. — der Retina, Anlage der Aussenglieder XV, 603 und Innenglieder 605. — der Retina, Entwicklung XV, 615, Aussenglieder, Innenglieder 617, Trennung von Stäbchen 620. — der Retina nächtlicher Thiere XIX, 309, des Aales 310, Verhalten der Blutgefässe und Schichten 311.
- Zapfenfasern der Retina, Bedeutung II, 187, 216, Unterschied von Stäbchenfasern 249. — der Retina der *Ophidier* XII, 430.
- Zapfenkorn als Fortsetzung des Zapfenkörpers II, 184. — der Retina, Bedeutung VII, 252. — der Retina des Aales XIX, 312.
- Zapfenkörper der Retina, Structur VII, 245.
- Zapfenspitzen, Durchmesser II, 231.
- Zapfenstäbchen, Durchmesser in der Fovea centralis II, 226, 232.
- Zapfenqualle — *Eucharis*.
- Zehnfüsser — *Decapoda*.
- Zellen, amöboide, eine neue Art I, 68, verschiedene Art der Bewegung 69, verschiedene Reaction auf künstliche Mischung 71, Theilnahme an Entwicklung der Samenkörper 74, frühere Beobachtungen über amöboide Bewegung 74. — der Leber von *Phreoryctes Menkeana* und anderer Anneliden I, 273. — des Markgewebes, Umwandlung in Osteoblasten I, 364. — der Retina von *Pteroceras* II, 403, Arten. — von *Bornetia*, Krystall in — III, 24, mit paramylonähnlichen Körpern 25. — der *Reggiatoa mirabilis* III, 54. — der Leber der Wirbelthiere III, 89.

- Zellen der Amphibienhaut, Beziehung zur Häutung III, 168.
- der Labdrüsen des Magens III, 177.
- der Spinalganglien IV, 125, beim Frosch 130, Zusammenhang mit Nervenfasern 134.
- der Chorda V, 101.
- der Thränen-drüse des Menschen V, 338.
- der Seitenorgane der Fische, Beziehung zu Haaren VI, 67.
- der compacten Knochensubstanz VI, 182.
- der Zonula ciliaris des Auges VI, 340.
- der Labdrüsen des Magens VI, 370, unverändert 376, nach Behandlung mit destillirtem Wasser 376, Alkalien 376, Säuren 377, Ueberosmiumsäure 378, doppelt-chromsaurer Kali 378, Untersuchung bei Pflanzenfresser 391.
- der äusseren Flughautoberfläche der Fledermäuse, der inneren VII, 5.
- des Bindegewebes VII, 322.
- des Stratum Malpighii des Igelohres VIII, 298.
- der Haarbälge des Igelohres VIII, 304, des Ausführungsganges der Talgdrüsen 307.
- des Ausführungsganges des Pancreas, Beziehung zur Membrana propria der Alveolen VIII, 490.
- des Netzkorpels, Verhältniss zu elastischen Fasern bei Embryonen IX, 83.
- des Sehngewebes des Pericardialseptum der Insecten IX, 167.
- im Umkreise des Oesophagus von *Ascaris* X, 81.
- des fibrilloiden Gewebes der Insectenhaut X, 737.
- des Knorpels des Primordialcranium bei Amphibien, Anastomosirung bei Larven von *Pelobates* XI, Suppl. 29.
- des Zahnsockels bei Batrachiern XI, Suppl. 62, Salamandrinen 62, *Siredon pisciformis* 62.
- der Epidermis bei Amphibien XII, 141.
- der Niere von *Amphioxus lanceolatus* XII, 323.
- der Lymphwurzeln des Interstitialgewebes XII, 407.
- Fettaufnahme XII, 485.
- der Tunica propria des Chylusmagens der Cocciden XIII, 56.
- Zellen der Speicheldrüse bei Cocciden XIII, 67, bei *Aphis Sambuci* 74, der unpaarigen Speicheldrüse der Cocciden 78.
- der Malpighischen Gefässe der Cocciden XIII, 80, *Aspidiotus* 80, *Coccus Ulmi* 81, *Dorthisia* 81, *Lecanium Hesperidum* 81.
- Wesen bei Muscheln XIII, 87.
- des Oesophagus bei *Fusus* sp. XIII, 130, Veränderungen.
- der Körnerschicht der Haut der Reptilien und anderer Wirbelthiere XIII, 217, 222, bei Schuppenentwicklung 240.
- der Orbitaldrüse XIII, 289, Einfluss von Reagentien 295, Chlorgold 296.
- der Schleimschicht der Schuppen am Laufe des Hühnchens XIII, 244.
- des acustischen Endapparates der Säuger XIII, 503, des Lig. spirale 503, der Körnerschicht 523.
- des Gallertgewebes der Acephalen XIII, 568, Pigment 570, des rothbraunen Organes bei *Anodonta* 573, zwischen den Organen des Eingeweidesackes der Acephalen 580.
- der Oesophagusorgane bei Selachiern XIII, 658.
- des hyalinen Knorpels, Zwischenkörner XIII, 708.
- der Labdrüsen XIII, 744.
- der Pepsin bereitenden Drüsen des Oesophagus der Batrachie, Beziehung zur Fermentbildung XIII, 748.
- des Schwellgewebes der Muscheln XIII, 846, fixe 846.
- des Darmdrüsen-gewebes der Muscheln XIII, 849.
- der Blutgefässe der Kleinhirnrinde XIV, 209.
- Doppelfärbung XV, 33.
- am Boden der Keimhöhle beim Huhn XV, 83.
- der Innenzone der Chorda XV, 478, bei *Mustelus laevis* und *Squatina*.
- der Retina, Pigmentaufnahme XV, 561.
- und ihre Lebenserscheinungen XVI, 302, Bewegungserscheinungen im Innern 344, Structur der Zellsubstanz 341, bei zweischichtigem Epithel der Salamanderlarven 342, Knorpelzellen 344, mit Fettkörper-

- chen und deren Bewegung 345, 346, Protoplasma, Wesen 358.
- Zelle, Theilung der thierischen — XVI, 437, an Tritonenlarven, todten 438 und lebenden Präparaten 440, Theilung des Zellenleibes 443, abweichende Theilungsvorgänge 450, Untersuchungsmethode 453.
- des Keimwalls beim Hühnerei XVI, 570, Verhältniss zu Dotterelementen 572, Zellvermehrung 579.
- des Knochenmarks XVII, Kern 22, Beziehung zum Zellprotoplasma 23.
- thierische, Theilung XVII, 168, der quergestreiften Muskelfaser 172.
- Nervenendigung in oder mit einer — in Hornhaut XVII, 371.
- des Drüsenparenchyms der Leber der Kellerassel XVII, 398.
- des Eies, primäre und sekundäre XVII, 552.
- zur Kenntniss der — und ihrer Lebenserscheinungen XVIII, 151.
- der Spinalganglien XVIII, 283, unipolare 292, apolare 294.
- des Nucleus centralis der Schleife XIX, 263.
- der Mittelschicht von Distomum Westermanni XIX, 542, des Keimlagers 563.
- der Samenblase der Trichonisciden XIX, 630.
- der Tunica propria des Hodens der Trichonisciden XIX, 636.
- und ihre Lebenserscheinungen, zur Kenntniss XX, 1.
- der knäuel förmigen Hautdrüse der Katze, Veränderung und Thätigkeit XX, 119.
- des Dentins des Hechtzahnes XX, 404.
- ästige, der Orbitalis XIII, 317.
- amöboide des Hodens, eine neue Art I, 68, 403, verschiedene Arten der Bewegung 69 und Reactionen auf künstliche Mischungen 71, frühere Beobachtungen über dieselben 74.
- Basal-, der Papillae vallatae IV, 159.
- des Gehörorgans der Locustinen XI, 207, 211.
- der Macula Utriculi des häutigen Labyrinths der Knochenfische XIV, 274, 302, der Batrachier XVII, 518.
- der Seitenorgane der Chimaera, vordere Kopfregeion XVII, 166.
- Zelle, Basal-, der Macula acustica Utriculi des häutigen Labyrinths der Chelonii XX, 309.
- Basalganglien-, des Gehörorgans der Locustinen XI, 210.
- Becher-, der Fischoberhaut III, 144, Membran 147, Lage und Bedeutung 148, 150, als Geschmacksorgane 153.
- in Mund- und Rachenhöhle der Fische III, 170, der Amphibien 171.
- Secretion der — bei Amphibien III, 177, bei Reptilien 172.
- des Magens III, 176, der Dünndarmzotten 181, des Dickdarms 189, 190, der Lieberkühschen Drüsen 191, des Respirationscanals 193, der Nasenschleimhaut der Rochen 196.
- der Mollusken V, Suppl. 46, der Landgasteropoden 56.
- des Landschneckenfühler-epithels VI, 447, der Körperhaut der Landschnecken 452, im Mantelrand von *Mytilus edulis*, Bedeutung 456, Wesen 464, 465.
- des Epithels der Landschnecken, Beziehung zur spongösen Bindesubstanz VI, 462.
- im Follikelepithel der Reptilieneier VIII, 236, der Knochenfische 420.
- des Oesophagus der Fische XIII, 656, vom Stör 660, der Teleostier 660, 663, der Lophobranchier, *Syngnathus* 661, *Physostomon* 661, *Anguilla fluviatilis*, *Symbranchus marmoratus*, Vergleich mit dem Epithel des Magens der Fische 666.
- im Epithel des Teleostierdarmes XIII, 685, Nervenzutritt 686.
- zwischen dem Epithel von Pterotrachea XIV, 172.
- des Oesophagus vom Frosch XIV, 181.
- Bei-, in den Spinalganglien des Frosches IV, 136.
- der Ganglienkörper des N. Sympathicus X, 234, polare 238, unipolare 235, 239, multipolare 239.
- der Ganglienkörper der Spinalganglien XI, 154.
- Beleg-, der Labdrüsen VI, 372, Veränderungen 388, beim Frosch 398, physiologische Bedeutung 396, 399.

- Zelle, Beleg-, der Labdrüsen, Function VI, 537.
- — Vorkommen im Cylinder-epithel der Labdrüsen VII, 240, Lage beim Schwein 242.
- — der Labdrüsen des Magens der Fische, Trennung von Hauptzellen XIII, 668.
- — der Labdrüsen der Säuger XIII, 750, 751.
- — der Magendrüsen XVII, 205, Uebergang in Hauptzellen 206.
- — der Fundusdrüsen der Magenschleimhaut des Menschen XX, 224, 226, 227, 228.
- — der Pylorusdrüsen des Magens XX, 234, der intermediären Zone des Magens 238.
- — Bildungs-, nervöse der Ganglienkörper des N. Sympathicus X, 235.
- — der Keimkugel X, 499.
- — Bindegewebs-, der Cutis des Froschlarvenschwanzes II, 492.
- — Arten und Bau VII, 39, Untersuchungsmethode, Beziehung zur Zwischensubstanz 44, Entwicklung 44, Bedeutung 47, Beziehung zur Fettbildung 58.
- — fixe, Reproduction bei Fettzellenschwund VII, 333, 346, 356.
- — XI, 176, grosse protoplasmareiche 186, aus dem Omentum, dem intermusculären Bindegewebe des Frosches 187, der Zunge des Frosches 189, der Nebenniere 191, dem Corp. luteum 192, dem Sympathicus 191, der Placenta 192, Beziehung zur Fettbildung 192.
- — im Rückenmark XI, 277.
- — intralobuläre, Zusammenhang mit Fettzellen XII, 446.
- — wandernde, Ursprung für verzweigte Pigmentzellen der Schuppen der Reptilien und anderer Wirbelthiere XIII, 237.
- — Theilung XVI, 394.
- — Theilung bei Tritonenlarven XVII, 168.
- — pigmentirte des Froschlarvenschwanzes XVII, 170.
- — Umbildung zum Epithel des Harnleiters beim Menschen XVIII, 15.
- — der Brustdrüse XX, 149.
- — Bindesubstanz-, der Wandung der kleineren Lymphgefäße XII, 510, Beziehung zur Entwicklung der letzteren 510.
- Zelle, Bindesubstanz-, der Blase vom Salamander XIII, 715.
- — lebende, Bau des Kernes XVI, 307, Kernmembran 308, Nucleoli 309.
- — birnförmige, im Seitencanalsystem des Kaulbarsches VI, 72.
- — blasige, der Labdrüse des Frosches VI, 395.
- — Blut-, der Acephalen XV, 243, Vergleich mit den Schleimzellen im Schleimgewebe 248.
- — rothe, der Gefäße, Kerne XVI, 311, Bau, Theilung 395.
- — farblose, Kerne XVI, 312, Theilung 397.
- — bei der Blutbildung der Knochenfische, embryonale XIX, 144.
- — Boden-, des Cortischen Organs VIII, 173.
- — Canal-, der Wassergänge von Tethya lyncurium XVI, 634.
- — Central-, der Retina der Lungenschnecken II, 413.
- — des Gehörorgans von Pterotrachea Fridericii XII, 111, 115.
- — centroacinäre, des Pancreas, Beziehung zu den Ausführungsgängen V, 409.
- — des Pancreas VIII, 488.
- — der Orbitalis XIII, 316.
- — Chorda-, XI, 390, 424, 423, Abstammung.
- — Jodreaction, Begründung XIV, 54, 58.
- — bei Batrachiern XIX, 30.
- — contractile, im Blut Wirbelloser V, 254.
- — Beziehung zu Chromatophoren XIX, 598.
- — Corneal-, Beziehung zur subbasalen Nervenschicht IX, 239, 272.
- — Cortische, im acustischen Endapparat der Säugethiere XIII, 513.
- — Cutis-, der Schwanzplatte der Froschlarven IV, 115.
- — Cylinder-, der Seitenorgane bei Fischen und Amphibien VI, 65.
- — der Ausführungsgänge der Speicheldrüsen und ihr Verhältniss zu den Nerven VI, 111.
- — des Epithels der Land-schneckenfühler VI, 447, der Körperhaut 450.
- — des Epithels der Mageninnenfläche VI, 518.
- — des Epithels der Hautdrüse bei Amphibien XII, 209.

- Zelle, Cylinder- der Macula acustica Utriculi des häutigen Labyrinths der Batrachier XVII, 519.
- — — des Neuroepithels des Gehörorgans der Ganoiden XVIII, 500.
- — — der Macula acustica Utriculi des häutigen Labyrinths der Chelonii XX, 310.
- — — Cylinderepithel-, in einer alveolaren Gallertgeschwulst I, 341.
- — — der Ausführungsgänge der Speicheldrüsen und ihre Beziehung zur Endigung der Absonderungsnerven V, 194.
- — — Deck-, der Schmeckbecher IV, 172.
- — — der Papillae vallatae des Menschen VI, 243.
- — — der Papillae foliatae beim Kaninchen VI, 254.
- — — der Lymphbahnen der Milz VIII, 583.
- — — des Gehörorgans der Locustinen XI, 206.
- — — der Organe des VI. Sinnes XII, 173.
- — — bei *Siredon pisciformis*, Bildung einer Contactmembran XIII, 769.
- — — Deitersche, im acustischen Endapparat der Säger XIII, 513, Membran 513, Kerne 514, Härchenstellung.
- — — der Kleinhirnrinde, Kerne XIV, 209.
- — — Dotter-, des Keimes, Bedeutung X, 155, Beziehung zur Bildung des embryonalen Blutes 180.
- — — Drüsen-, des Magens III, 174.
- — — der Magenschleimdrüsen, Verwandtschaft mit den Hauptzellen der Labdrüsen VI, 524, Veränderung nach Thätigkeit oder Unthätigkeit der Drüsen 527, 532.
- — — Vertheilung in den Brunnerschen Drüsen des Schweins VIII, 100, feinerer Bau 105, Veränderung durch Essigsäure 108, durch Chlorwasserstoffsäure 108, Kalilauge 108, Jod 109, Müllersche Flüssigkeit 109, Membrana propria 110, Grundsubstanz 114 mit Körnern, — Vertheilung beim Hund 115, Canälchennetz zwischen den — 116, der Magenschleimdrüsen 123, 132, der Schleimdrüsen der Lippe 133, Speicheldrüsen 134, Lieberkühnschen Drüsen 136.
- Zelle, Drüsen-, der Speicheldrüsen der Muscidenlarven, Verhältniss zu Drüsennerven IX, 387, 388.
- — — der Niere, Verhalten gegen Farbstoffinjection XI, 82.
- — — des Froscheileiters XI, 372, fettige Degeneration 377.
- — — der Epidermis bei Amphibien, erwachsenen XII, 145.
- — — der Insecten, Streifung XII, 546.
- — — der Orbitaldrüse XIII, 302, Vertheilung und Beziehung zur Umgebung.
- — — Beziehung zur Secretbildung XIII, 730.
- — — des Oesophagus vom Frosch XIV, 183, Aenderung nach physiologischer Thätigkeit 185.
- — — des Magenfundus beim Frosch XIV, 192.
- — — des Vorderdarms bei Amphibien und Reptilien, Beziehung zur Pepsinbereitung XIV, 194.
- — — der Magendrüsen bei *Bufo* XIV, 197.
- — — der äusseren Bedeckung von *Tetrapteron volitans* XV, 352.
- — — des Magens XVII, 193, Literatur 194, beim Menschen 199.
- — — der Leber von *Asellus aquaticus* XVII, 411, und cavaticus 413.
- — — der Leber der Gammariden XVII, 427, von *Astacus fluviatilis* 439.
- — — Eck-, der Kieme der acephalen Mollusken XIV, 135.
- — — Ectoderm-, der Kopfblase bei *Fusus* sp., Veränderungen XIII, 130.
- — — eingesprengte, im Fettkörper IX, 178, bei *Scarabaeus* und *Phryganea striata* 179.
- — — Ei-, Bewegungsvermögen der jungen — I, 76.
- — — des menschlichen Foetus I, 153.
- — — bei *Torpedo oculata* XI, 576, Protoplasma 577, Beziehung zur indifferenten Keimzelle 573.
- — — thierische, indirecte Kernbildung XVIII, 186, bei *Toxopneustes lividus* 186.
- — — Ernährung und Wachsthum XIX, 469.
- — — Embryonal-, Entstehung bei Knochenfischen IV, 214.
- — — Verhältniss zur Entwicklung des fibrillären Bindegewebes VIII, 28, in der Arachnoidea 47, Umwandlung

- in Körnchenzellen 54, in den Muskelfasern der unteren Extremität 58, Umwandlung in Zwischensubstanz 65, in Bindegewebskörperchen 66.
- Zelle, Embryonal- des Bindegewebes XI, 189.
- bei *Siredon pisciformis*, formative Differenzirung XIII, 756, Veränderungen des Kernes bei Axolotleiern 768, Körnchenphase 770, Stäbchenphase 771, Fadennetz 771, Neubildung aus Dotterplättchen 772.
- Entstehung bei Insecten XV, 631.
- Enchym- der modificirten Schweißdrüsen des Lidrandes, Vacuolenbildung XIII, 789.
- End-, äussere, im acustischen Endapparat der Säuger XIII, 512, innere 521, Bedeutung der Härchen 543, Perception 541, mit Hensenschen Kapseln, Kernbildung 541.
- Endothel- der Subarachnoidealbalken des Rückenmarks IX, 320.
- zwischen Cutis und Epidermis am Laufe des Hühnchens XIII, 249.
- des Labrum vestibulare im acustischen Endapparate der Säuger XIII, 506.
- des Peritoneums, Beziehung zu den Keimepithelzellen der Batrachier XV, 390.
- Theilung in den Wandungen der Blutcapillaren XVII, 171.
- Eosin- der Kleinhirnrinde XIV, 231.
- Epidermis- im Froschlarvenschwanz II, 497, Cuticularsaum 497, eigenthümliche Körper 499.
- der Reptilienhaut, Endigung der Nerven zwischen der — XVII, 353.
- Epithel- der Maculae acusticae beim Menschen III, 119, Fischen 120.
- und Drüsenzellen III, 137, 174.
- der Retina IV, 20.
- der Lorenzinischen Ampullen IV, 382.
- der Vater-Pacinischen Körperchen V, 153.
- der Wirbelthiere, cuticulare Bildung und Verhornung V, 295.
- Zelle, Epithel- der Schläuche des Eierstocks, Ursprung V, 449.
- der Seitenorgane der Fische und Amphibien VI, 65, der Nervenknöpfe des Seitencanal-systems vom Kaulbarsch 71.
- der Papilla foliata VIII, 458.
- der Haut von *Salamandra maculosa* IX, 745.
- des Riechepithels XI, 471.
- der Gänge der Orbitalis nach Reizung XIII, 334.
- der Blase vom Salamander, Kern XIII, 712, Netzbildung im Protoplasma, Beziehung zum Kern.
- der Schwanzflosse bei Salamanderlarven XVI, 313, Bau des Kernes.
- bei Tritonenlarven, Theilung XVI, 437, an todtten Präparaten, an lebenden 440, fadenförmig differenzirter Kern 441, Ursache 451, Theilung des Zellenleibes 443.
- bei *Tethya lyncurium* XVI, 634.
- des Hodens der Urodelen, Theilung XVIII, 170, bei *Salamandra* 189.
- der knäuelförmigen Hautdrüse der Katze am Ballen XX, 111, an behaarten Stellen 114.
- Ersatz- des Epithels der Mageninnenfläche VI, 521.
- des Oesophagus vom Frosch XIV, 183.
- Faden- der Macula Utriculi im häutigen Labyrinth der Knochenfische XIV, 275, 302, Endigung des N. acusticus 280.
- des Neuroepithels des Gehörorgans der Ganoiden XVIII, 503.
- Fadennetz-, bei *Siredon pisciformis* XIII, 777.
- Farben-, der Retina XII, 743.
- Farbdrüsen-, der Landschnecke, Wesen VI, 465.
- farblose, amöboide im corticalen und centralen Theil der Leber der Salamandrin III, 432.
- der Membrana suprachorioidea des Auges, Bedeutung VI, 18.
- Faser-, der Iris IX, 726.
- im Ureter des Kaninchens XV, 257.
- Ferment-, der Leber der Keller-

- assel XVII, 399, 400, bei *Asellus aquaticus* 411, bei *Onisciden* 417, *Gammariden* 429, *Astacus fluviatilis* 440.
- Zelle, fermentbildende der Labdrüse der Säuger XIII, 750.
- fermenthaltige der Speicheldrüsen XIII, 729.
- Fett-, Bildung und Rückbildung im Bindegewebe VII, 32, beim Embryo 33, 65, Ursprung 32, 38, Entwicklung der normalen — 48, Zusammenhang mit den Blutgefäßen, im subcutanen Gewebe der Säuger 49, der Fische 55, maulbeerförmige 59, Wand derselben 62, 70, Bildung im Mesenterium 63, im Knochenmark 64, Rückbildung 66, zu Serumzellen 67, bei pathologischem Schwund 71, Verhalten bei der Entzündung 71, Fettaufnahme 74.
- zur Physiologie VII, 328, Schwund 328, bei atrophischer Wucherung 330, Auftreten des Kernes 331, Sternzelle 332, Reproduction fixer Bindegewebszellen 333, Verhalten des Fettinhaltes atrophischer Zellen 335, Entstehung der Nebentropfen 338, bei Entzündung 340, bei langsamer Atrophie 343, Protoblasten in den Gefäßnetzen 346, Rückbildung zur fixen Bindegewebszelle 348, 356, Membran, Schicksale und Wesen 380, Wesen als Drüsenzellen 365, Untersuchungsmethode 368, künstliches Oedem 368, Nachweis des Protoplasmagehaltes 370.
- im Interstitialgewebe XII, 408.
- Entwicklung ohne Theilnahme der Blutgefäße im Unterhautgewebe XII, 441, bei Embryonen 443, bei Erwachsenen, Zusammenhang mit den intralobulären Bindegewebszellen 446, in der Adventicia der Gefäße 455, Beziehung zu Plasmazellen 458, atrophische, Vergleich mit der Waldeyerschen Zelle 460, Endschicksal 478, Membran 460, seröse, Aussehen 475, Hüllplasma und Binnenplasma 476, Membran 476.
- des Knochenmarks XVII, 28, 30.
- Flammen- bei *Hippocampus brevirostris* V, 301, *longirostris* und *comes* 305.
- Zelle, Flaschen-, des Epithels der Keime von *Unio* und *Anodonta* XI, 542.
- Flimmer-, Untersuchung mit Gasen II, 372, mit der feuchten Kammer 372.
- des Respirationscanals der Lungenathmer III, 192.
- Wirbelloser, Bewegungsursachen V, 258.
- Cuticularbildung V, 310.
- des Epithels der Malpighischen Schläuche der Niere X, 22.
- des Nebenhodens beim Menschen XI, 319, Cilien 321.
- des Oesophagus vom Stör XIII, 668.
- des Oesophagus vom Frosch XIV, 183.
- der Niere der *Plagiostomen* XIV, 390, aus dem Darm von *Anodonta* 392.
- Follikel- beim Stier XV, 887.
- Bedeutung XVIII, 32, 36.
- des Hodens von *Distomum Westermanni* XIX, 560.
- des Hodens der *Trichonisciden* XIX, 638, Ursprung.
- Follikelepithel- bei *Pyrosoma (Stolo)* XI, 605.
- innere, des *Cyathozoids* von *Pyrosoma* XI, 619.
- Fühl-, in der Haut von *Amphioxus lanceolatus* XII, 306.
- Furchungs-, bei *Nassa mutabilis* XIII, 102.
- Gallertsubstanz-, der Schwanzplatte bei Froschlarven IV, 115.
- Gang-, der Wassergänge von *Tethya lynceurium* XVI, 634.
- Ganglien- des sympathischen Gränzstranges II, 13.
- der Grosshirnrinde III, 442, 444, 447, 448, 449, 452, Isolirung 459.
- der Spinalganglien IV, 48, Litteratur, Epithel derselben 56, beim Frosch 57, Structur 59, beim Maulwurf 60, Kaninchen 61, des Sympathicus beim Kaninchen 62, der Spinalganglien bei *Arion empiricorum* 63, Zusammenhang mit Nervenfasern 64, beim Frosch 68, Fasernetz derselben 68.
- des Sympathicus IV, 70.

- Zelle, Ganglien-, des Gehörorgans des Hirschkäfers IV, 92.
- — — bipolare, Entstehung V, 325.
- — — der Mollusken, V, Suppl. 19.
- — — Verästelung in der Kleinhirnrinde VI, 191, Endigung der verästelten Fortsätze 194.
- — — peripherische von Beröe, Aehnlichkeit mit Langerhansschen Körperchen VIII, 647, bei *Carinaria* 648, *Pterotrachea mutica* 648, *Phyllirhoe bucephala* 649, Aehnlichkeit mit den Tracheenendzellen von *Lamproyris splendidula* 652.
- — — mit Kapsel der Ganglien peripherer Nerven IX, 339, des sympathischen Nervensystems 362.
- — — in der Nähe des Schlundringes von *Ascaris* X, 86.
- — — des Rückenmarks, Methode zur Demonstration der Axencylinderfortsätze X, 255.
- — — des Rückenmarks, Ursprung der vorderen Wurzelfaser X, 490.
- — — periphere bei *Amphioxus lanceolatus* XII, 299.
- — — des Schwellgewebes der Muscheln XIII, 849.
- — — Körnchenschale der Kerne XIV, 112.
- — — in dem Vorderhorn des Rückenmarks, Anastomosen XIV, 125, Untersuchungsmethode 125, Messungen der Zelle 128, Litteratur 129.
- — — der Kleinhirnrinde XIV, 214, 233.
- — — Beziehung zu Nervenfasern XIV, 331.
- — — des Herzens bei verschiedenen Thieren und Menschen, Litteratur XIV, 470, Vertheilung beim Frosch 474, Structur derselben 475, Vertheilung beim Hund 477.
- — — Darstellung durch picocarminsäures Natron XV, 39.
- — — im Ureter des Kaninchens, Bedeutung XV, 256.
- — — bei Gasteropoden XVI, 67, Polarität 69, sympathische 69, Multipolarität 70, Verlauf der Fortsätze 71, Kern 72, Kernfortsätze 73, Kernkörperchen 74, Pigmentirung 75, Membran 76.
- — — der Magendarmnerven bei Gasteropoden XVI, 82, Membran 82, Commissur zwischen centralen — der Centralganglien der Gasteropoden 83, bei Elatobranchiern 95, Pigmentirung 95, Fortsätze, Grösse, Membran 96, Kern 96, bei Würmern 100, Membran 101, Kern 102, Kernkörperchen 103, bei *Lumbricus agricola* 105, bei *Hirudo* 102.
- Zelle, Ganglien-, Vorkommen in der Arachnoidea, Litteratur XVI, 613, der Arachnoidealbekleidung des Riechkolbens beim Kaninchen 614, an der Convexität des Gehirns 614.
- — — der Iris XVII, 333.
- — — um den Pharynx von *Distomum Westermanni* XIX, 547.
- — — der Harnblase XX, 364.
- — — Gefühls-, der Mollusken VI, 460.
- — — Geissel-, der Kieme von *Amphioxus lanceolatus* XII, 315.
- — — bei *Spongicola fistularis* XIII, 806.
- — — gelbe der Radiolarien, Bedeutung VII, 378, bei *Thalassicola nucleata* 379.
- — — Vorkommen bei Heliozoa X, Suppl. 154.
- — — Zusammenhang mit Nervenfasern XIV, 116.
- — — Geschlechts-, Anlage bei Batrachiern XVIII, 3.
- — — Geschmacks-, der Fische III, 153.
- — — der Geschmackszwiebeln der *Papillae vallatae* vom Kalb IV, 105.
- — — der Schmeckbecher IV, 173, Arten 175, Zusammenhang mit Nervenfasern 175.
- — — Glaskörper-, des unicornalen Tracheaten- und speciell des Arachnoiden- und Myriopoden-Auges XVII, 61.
- — — der *Papilla foliata* VIII, 459.
- — — Granulosa-, im Ei der Reptilien VIII, 228, zur Bildung der *Zona radiata* und *pellucida* 413, Veränderung bei *Coronella laevis* 414.
- — — des Ovariums XIX, 469, Ernährung und Wachsthum.
- — — Betheiligung an der Bildung der Dotterelemente XIX, 476, Degeneration 492, Einwanderung in das Ei 496.
- — — des Ovariums, Umwandlung in Luteinzellen XIX, 501.
- — — grobgranulirte des Epithels der

- Drüenschläuche des Hodens bei der Ratte XI, 308.
- Zelle, grüne bei *Acanthocystis*, Wesen XI, 5.
- Haar-, der Körperhaut der Landschnecken VI, 452, Bedeutung 460.
- — des *Cardium edule* VI, 459.
- — — innere der Gehörschnecke VIII, 174, Entwicklung 180, äussere 176, Phalangenfortsatz 178, Entwicklung 185.
- Hämatoxylin-, der Kleinhirnrinde XIV, 227, Bau und Bedeutung 229.
- — — hämoglobinhaltige, Vorkommen in den Blutgefässdrüsen XIV, 381.
- Häutchen-, der Subarachnoidalbalken des Rückenmarks IX, 320.
- — — in der Bindesubstanz der Acephalen, Wesen XIII, 596.
- Haupt-, der Labdrüsen VI, 372, Veränderung beim Hungerzustande 384, nach Fütterung 387, bei Pflanzenfressern 391, beim Schwein 393, physiologische Bedeutung 399.
- — — der Labdrüsen, Verwandtschaft mit den Drüsenzellen der Magenschleimdrüsen VI, 524.
- — — der Labdrüsen des Magens der Fische, Trennung von Belegzellen XIII, 668.
- — — der Magendrüsen, Bedeutung XVI, 541.
- — — Entstehung aus Belegzellen der Magendrüsen XVII, 206.
- — — der Pylorusdrüsen des Magens XX, 231, 240, der intermediären Zone des Magens 238.
- helle, der Leber der Kellerassel XVII, 399.
- Hoden-, amöboide Bewegung I, 68.
- — — Umwandlung der Kerne in Samenkörper I, 73, 403.
- — — bei Wirbelthieren I, 403, *Salamandra maculata* 405.
- Hodenepithel-, Theilung bei *Salamandra* und Urodelen XVIII, 170.
- Höhen-, der Kiemen der acephalen Mollusken XIV, 136.
- Hör-, VIII, 210.
- — — von *Pterotrachea* XII, 107, 110, von *Pt. Fridericii* 109.
- — — im Ohr von *Pterotrachea* XII, 566.
- Zelle, Hör- bei *Pterotrachea coronata* XV, 343.
- — — Hornhaut-, VIII, 547, 549.
- — — fixe XI, 181, Kerne 182, perivasculäres Zellengewebe 193.
- — — Innen-, der becherförmigen Organe der Blindschleiche VIII, 339.
- — — innere, des Epithelhügels der becherförmigen Organe der Schlangen VIII, 336.
- — — intermediäre, beim Hühnerkeim Bedeutung XX, 191.
- — — invaginirte, bei Lebercarcinom, Wesen und Entstehung IV, 188.
- Kapsel-, des sympathischen Nervensystems IX, 362.
- Keim-, bei atrophischer Wucherung der Fettzelle VII, 332.
- — — bei *Torpedo oculata*, bleibende XI, 573, indifferente 573, Stellung zur Eizelle.
- — — bei *Torpedo* XIII, 470, secundäre —.
- — — Entstehung bei Insecten XV, 631, innere —.
- Keimepithel-, der Batrachier, Beziehung zur Endothelzelle des Peritoneum XV, 390.
- Keulen-, der Brunnerschen Drüsen des Hundes VIII, 115.
- Knochen-, Verbindung mit Nerven VI, 186.
- Knorpel-, Entstehung bei *Bombinator igneus* V, 103.
- — — des Kopfkorpels der Cephalopoden V, Suppl. 14.
- — — des Aequatorialringes im Auge von *Sepia* V, Suppl. 15.
- — — Entstehung aus Endothel X, 418.
- — — bei Vögeln, Theilung XII, 247.
- — — Bau des Kernes XVI, 318, postmortale Veränderungen 319.
- — — Structur der Zellsubstanz XVI, 344, Fettkörperchen mit Bewegung 345, 346.
- — — Theilung XVI, 395.
- — — Theilungsvorgang XVI, 457.
- — — der Wirbelsäule, Lagerung XVI, 603, 607.
- — — Umwandlung bei Ossification in den Röhrenknochen der Batrachier XIX, 4, feinkörniger Zerfall 4, fettige Degeneration 6.
- Kolben-, der Seitenorgane bei *Seyllium catulus* XVII, 467.
- — — der terminalen Körperchen XIX, 53, der Herbstschen Körper-

- chen 75, der zusammengesetzten Gandrysehen Körperchen 91, der Tastkolben 96, der Meissnerschen Tastkörperchen 101, Kolbenzellenzeichnung 111.
- Zelle, Körnchen-, Auftreten bei der Entwicklung des fibrillären Bindegewebes VIII, 54, aus Embryonalzellen 54.
- Körner-, der Oberhaut der Fische III, 162, der Neunaugen 162.
- Korb-, der Orbitalis XIII, 315, der Sublingualis 315, 316.
- Korn-, im Eierstock der Katze. Verhältniss zu den Blutgefässen I, 165.
- — der Gehirnrinde Neugeborener IV, 446.
- — des Follikelepithels des Ovarium der Säuger, Bedeutung XIX, 464.
- Kragen-, bei *Tethya lyncurium* aut. XVII, 155.
- kriechende, in der Epithelbedeckung von Tritonlarven XVII, 185.
- Kugel-, bei Neubildung des Hornhautepithels X, 365.
- Lab-, III, 177, des Delphin 178.
- — im Magen der Fische XIII, 668.
- Längskolben-, der Herbstschen Körperchen XIX, 72.
- Langerhanssche, Vergleich mit Tatzellen bei Menschen XI, 648, 649, Deutung.
- Leber-, bei *Phreocytes Menckena* und anderen Anneliden I, 273.
- — Veränderung bei Entzündung V, 368.
- — bei *Fusus* sp. XIII, 136, Veränderungen und Vergleich mit *Paludina vivipera* 140.
- — bei *Natica* XIII, 152, Vergleich mit *Vermetus* 153.
- — Beginn der Gallengänge an den — XIII, 415.
- — des Karpfen, Bau des Kernes XVI, 321.
- — der Kellerassel XVII, 399, 400, Einfluss von Reagentien 402, destillirtem Wasser 403, Aether 403.
- — der Onisciden XVII, 417, der Gammariden 429, von *Astacus fluviatilis* 440.
- Leucht-, des Leuchtorganes von *Cucuyos* VIII, 465, Einwirkung von Schwefelsäure 466, Essigsäure, Kalilauge, Alkohol 466, Beziehung zu Tracheenstämmen 467.
- Zelle, Licht-, der Retina XII, 743.
- Lunula-, der Orbitaldrüse XIII, 294.
- Lutein-, Bildung aus Granulosazellen des Ovariums XIX, 501.
- — Ursprung des Pigmentes XIX, 505.
- Lymph-, der Orbitalis XIII, 317.
- — der Thymus XIV, 358.
- — des Magens XVII, 201.
- lymphoide der Milz VI, 553, 568, Zwischensubstanz 569.
- — Auftreten bei der Entwicklung von *Torpedo oculata* XI, 574, Cuticularbildung 574.
- — Magen-, bei *Fusus* sp. XIII, 134, 135, bei *Natica* 151.
- — Mark-, I, 362.
- — der Nebenniere VIII, 623, bei Vögeln 625.
- — der Federn des Pinguin XIII, 257.
- — bei *Tethya lyncurium* XVI, 634, 635.
- — mehrkernige, Kernvermehrung XVIII, 189.
- — Membran-, ästige, der Orbitalis und Sublingualis XIII, 315, 316.
- — multipolare in den Speicheldrüsen, Bedeutung V, 198.
- Muskel-, Auftreten bei Muskelverletzungen IV, 320, 331.
- — der Wirbellosen V, 206.
- — des Larvenherzens bei *Fusus* sp. XIII, 139.
- — der Blase der Salamander XIII, 714.
- — Zelltheilung XVI, 394.
- Muskelbildungs-, bei Amphibien und Reptilien XI, 456.
- Nerven-, aus den Ganglien des sympathischen Gränzstranges II, 13, Formen 21, Verbindung mit Fasern 22, Glockenform 27, Hüllen 27, Pole 29, Degenerationsknötchen 37.
- — des Rückenmarks der Neunaugen II, 526, 529, bei *Beggiatoa mirabilis* III, 54.
- — der Spinalganglien des Frosches IV, 131, Zusammenhang mit Fasern 134.
- — des Sympathicus vom Frosch, Membran IV, 138.
- — im Kleinhirn des Kalbes,

- Axencylinderfortsatz V, 332. Uebergang in markhaltige Nervenfasern, der Grosshirnrinde, Axencylinder, Uebergang in markhaltige Nervenfasern 375.
- Zelle, Nerven-, der Kleinhirnrinde, Beziehung zu rückläufigen Fasern VI, 202.
- apolare des Herzens von *Pecten maximus* XIV, 63.
- spindelförmige im Fühler von *Helix* XVI, 93.
- spindelförmige der Nervenstämme der Elatobranchier XVI, 98
- Nervenend-, der Haut der *Pterotrachea* XIV, 174.
- Nessel-, bei Seeschwämmen VIII, 282, bei *Demascella vagabunda* 283, bei *Reniera fibulata* 283, *Reniera informis* und *accommodata* 284.
- Netz-, im Schwanz von Tritonenlarven XVI, 445, Kernveränderungen, Umwandlung aus Epithelzellen 447, Theilungsvorgang 448.
- XVII, 173, Entwicklung 175, Theilung 177, Kerntheilung 181.
- Neuromuskel-, bei *Hydra* XIII, 384.
- Nieren-, der Gasteropoden V, Suppl. 93, bei *Helix arbustorum*, *Helix pomatia* 93 und *hortensis* 94.
- Nussbaumsche, der Pylorusdrüse des Magens XX, 234, 239.
- Parenchym-, in dem Leuchtorgane von *Lampyrus splendidula* I, 130.
- der Nebenniere, Beziehung zu den Wandungen der Blutgefässe VIII, 628.
- Pepsin-, der appendiculären pankreatischen Drüse des Kaninchens XIII, 754.
- der Pylorusdrüsen XVI, 537.
- Pericardial-, des Pericardialseptum der Insecten IX, 172, Literatur, Bedeutung 173, 182, Form 173, Grösse, Pigmentirung 174, Kerne 174.
- Peritoneal-, Anlage und Weiterentwicklung bei Batrachiern XVIII, 3.
- Pigment des *Corp. luteum* des Eierstocks der Kuh, Bildung und Rückbildung I, 189, 192.
- der Retina II, 220, Verhältniss zu Stäbchen und Zapfen, Fetttropfen in — 223, erstes Auftreten 240.
- Zelle, Pigment-, verästelte der Fischoberhaut III, 165, der Amphibien 168.
- verästelte im Epithel der Papillen der Zunge IV, 159.
- erste Entstehung bei Knochenfischen IV, 261.
- der Retina V, 392.
- der Chromatophoren bei Cephalopoden, Vorhandensein einer Membran V, Suppl. 69.
- der Membrana suprachorioidea des Auges VI, 12, Bedingung ihrer Form durch Accommodationsbewegungen 13.
- des Fontanaschen Raumes VI, 293.
- der Retina VIII, 83, Verhalten zu Stäbchen 86, bei Amphibien 88.
- verzweigte der Haut bei *Chamaeleon vulgaris* XIII, 227, der Epidermis der Reptilien, Ursprung 237, 245.
- sternförmige der Lederhaut des Igelohres VIII, 299.
- der Iris XV, 569.
- Bau des Kernes XVI, 311.
- von *Acerra bullata*, Bewegung in — XVI, 347.
- des unicornalen Tracheaten-, speziell des Arachnoiden- und Myriopoden-Auges XVII, 62.
- der Cutis der Reptilien XVII, 352.
- des Auges von *Scutigera* XVIII, 45.
- der Hautdecke bei Trichonisciden, Veränderung bei farblosen Thieren XIX, 587.
- pigmentirte, der Leber von *Proteus* III, 432.
- Pinsel-, Bedeutung im Mantel von *Mytilus edulis* VI, 456, 458, bei *Eolis exigua* 459.
- pinselförmige in der Oberhaut der Mollusken V, 423.
- Plasma-, Beziehung zur Fettbildung XII, 458.
- zur Untersuchung XIII, 264, Vorkommen 267, Färbung 267, Fettgehalt verneint 268, Formen 270, beim Frosch, bei höheren Thieren 271, Theilung 272, Vorkommen 272, im lamellären Bindegewebe 272, im Verlauf der Gefässe 272, in Fettgeweben 273, in Magen und Darm 274, — lymphoide in den Tonsillen, Peyerschen Plaques, Thymus, Milz,

- Mesenterialdrüsen, in der Leber 276, Zugehörigkeit zu der Sternzelle der Leber 276, Pancreas 276, Parotis 276, Trachea 276, Lunge 276, Muskulatur 276, Kern 277, Gehirn 277.
- Zelle, Plasma-, des Auges XIII, 276.
- — — der Orbitalis XIII, 318.
- — — beim Frosch, Umbildung zu Nervenfasern XV, 14.
- — — in Geschlechtsorganen XVIII, 94.
- — — platte, des fibrillären Bindegewebes XI, 178, Untersuchungsmethode 180, Kern und Kernkörperchen 181.
- — — der Chordasubstanz von *Amphioxus lanceolatus* XI, 427.
- Plattenepithel-, der Porenhaut von *Tethya lyncurium* aut. XVII, 155.
- Polster-, im Gehörorgan der Heteropoden V, Suppl. 77, Verbindung mit Nervenfasern.
- — — des Gehörganges von *Pterotrachea* XII, 108, 113.
- polygonale, des Ectoderms bei *Spongiocla fistularis* XIII, 806.
- Primitiv-, bei Amphibien und Reptilien XI, 451.
- — — der Orbitalis XIII, 294, 299, nach Reizung 333.
- Purkinjesche, der Kleinhirnrinde XIV, 215, Kern und Kernkörperchen 216, Hüllen 220, bei Vögeln 217, Frosch 218, Eidechse 219, Karpfen, Protoplasmafortsatz 221, bei Säugern 221, Vögeln 222, Frosch 223, Karpfen 224, Axencylinderfortsatz 236, Endigung 225.
- Rand-, der Drüsen, Ursprung, V, 345.
- Retina-, des Arthropoden-Auges XVIII, 417.
- — — des Auges von *Julus* XVIII, 445.
- Riech-, XI, 469, bei *Salamandra maculosa* 471.
- — — bei *Amphioxus lanceolatus* XII, 307.
- — — XVII, 144.
- Riesen-, bei Neubildung der Hornhautepithelien X, 365, 366.
- — — bei Hühnerembryonen X, 371.
- — — des Mesenterium X, 372.
- — — des Epithels der Hautdrüsen bei Amphibien XII, 210,
- Salamandra maculosa* 210, Triton 211, Bufo 211.
- Zelle, Riesen- des Drüsenepithels der Amphibien, vergleichend anatomisch XII, 229.
- — — bei Atrophie des Fettgewebes XII, 480.
- — — des Knochenmarks XVII, 27, Entstehung 27.
- Riff- und Stachel-, der Fischoberhaut III, 138, bei Amphibien 166.
- — — im Epithel der Mollusken V, Suppl. 37, in der Linse 38.
- — — bei *Siredon pisciformis* XIII, 775.
- riffzellartige, unter der Körnerschicht der Haut XIII, 247.
- Rinden-, Zusammenhang mit der Haarbildung beim Menschen IV, 293.
- — — der Nebenniere VIII, 621, 626.
- Rund-, bei Entwicklung der Spermatozoiden von *Rana temporaria* XI, 298, bei der Ratte 305, im Epithel der Drüsenläuche des Hodens der Ratte 315, bei Entwicklung der Spermatozoiden des Kaninchens 316, des Epithels des Nebenhodens, Lage 320.
- — — des Gallertgewebes der Acephalen XIII, 568, 569, Pigment 571, des Gallertgewebes im rothbraunen Organ von *Anodonta* 573.
- — — des Schwellgewebes der Muscheln, Deutung XIII, 847.
- — — der Kleinhirnrinde XIV, 214.
- — — bei Entwicklung der Retina XV, 603.
- Samen-, der Samenkörper XII, 529, Kernveränderung 529, Kopfkappe 530, Querstreifung 533.
- — — Bedeutung XII, 802.
- Schalt-, der Epidermis bei Landsalamanderlarven XII, 145.
- — — der Kieme der acephalen Mollusken XIV, 136.
- Scheiden-, der Nadel von *Tethya lyncurium* XVI, 638.
- Schleim-, der Schleimhaut des Augenlides III, 364.
- — — der becherförmigen Organe der Schlangen VIII, 332, 336.
- — — Ursprung VIII, 509, der Submaxillaris des Hundes 509.
- — — der Haut von *Salamandra maculosa*-Larve IX, 746, 748.

- Zelle, Schleim-, der Orbitaldrüse XIII, 290, Veränderung bei ruhender, schwach secretirender Drüse 320, Veränderung bei Reizung 327, Kern 327, Verkleinerung 329, ohne Schleim 330, Streifung 332, Neubildung 332, 334, Beziehung zur Schleimbildung 336, 345 und Absonderung 338, Neubildung aus Lunulis 341.
- des Gallertgewebes im rothbraunen Organ von Anodonta, Deutung XIII, 575.
- der Submaxillaris des Schweins XIII, 727.
- des Schwellgewebes der Muscheln XIII, 820.
- bei Landsalamanderlarven XIV, 144.
- der Magendrüsen vom Frosch XIV, 191.
- des Schwellgewebes der Acephalen, Vergleich mit Blutzellen XV, 248.
- der Scheide der Nervenstämme bei Gasteropoden XVI, 76.
- Bau des Kernes XVI, 316.
- der Pylorusdrüsen XVI, 537.
- Schleimdrüsen-, der Landschnecken, Wesen VI, 463.
- Schmelz-, Basalmembran der Ersatzzelle bei Rana XI, Suppl. 75.
- secretirende in der Haut von Limax III, 204.
- der Submaxillaris V, 341.
- Secret-, der Drüse des Muskelmagens der Vögel, Beziehung zu Secretbüscheln VIII, 439.
- Secretions-, der Malpighischen Gefäße, Zusammenhang mit Drüsennerven der Insecten XII, 543.
- Sehnen-, mit dem elastischen Streifen VII, 280, 281.
- XI, 177, 178.
- Seiten-, des Gehörgans der Locustinen XI, 207.
- der Kieme der acephalen Mollusken XIV, 136, 138.
- Seitenganglien-, des Gehörgans der Locustinen XI, 211.
- Serum-, Auftreten bei Rückbildung der Fettzelle VII, 67.
- Sinnes-, haartragende in der Oberhaut der Mollusken V, 415, der Lamellibranchiaten 420, Mytilus edulis 429, Siphoniden 429, Prosobranchiern 430, Wasserpulmonaten 431, Lymnaeus 431, bei amphibischen Schnecken 432, Zusammenhang mit Nervenfasern bei Heliciden 434, Bedeutung 436.
- Zelle, Sinnes-, der becherförmigen Organe der Mundhöhle der Froschlarven VI, 416.
- in der Körperhaut der Landpulmonaten VI, 450.
- der Haut der Larve von Salamandra maculosa IX, 750.
- bei Eucharis multicornis XVII, 342.
- Solitär-, der Grosshirnrinde des Menschen IV, 416, 417.
- Speichel-, Bildung V, 195.
- Spinalganglien-, des Maulwurfs IV, 60, beim Kaninchen 61, Arion empiricorum 63.
- Spindel-, als Elemente der Venencapillaren der Milz VI, 565, zur Neubildung farbloser Blutkörperchen in der Milz 577.
- der Nebenniere der Vögel VIII, 625.
- bei Entwicklung der Spermatozoiden von Rana temporaria XI, 299, Veränderung und Vertheilung 301.
- der Pulpahöhle der Amphibien XI, Suppl. 64.
- der Muskeln der Hautdrüse bei Salamandra maculata XII, 204.
- des tympanalen Bindegewebsfaserstratum im acustischen Endapparat der Säuger XIII, 535.
- spindelförmige, quergestreifte, bei Heilung von Muskelverletzungen IV, 331.
- der Haut, Beziehung zur Nervenendigung VI, 226.
- der Lamina basilaris VIII, 164.
- der Zona glomerulosa der Nebenniere beim Pferd, Beziehung zum Bindegewebe VIII, 622.
- der Iris, Bedeutung IX, 289.
- als Cementanlage der Ersatzzähne bei Rana XI, Suppl. 77.
- bei der Nervennaht XIII, 424.
- oder sternförmige — im Gallertgewebe der Acephalen XIII, 568, Pigment 570.
- Stab- und Stiftchen-, der Schmeckbecher IV, 175.
- Stab-, im acustischen Endapparat der Säuger XIII, 513, Verbindung mit Zapfenzelle 517.

- Zelle, Stachel-, der Lorenzinischen Ampullen IV, 382.
- — — der Schleimhaut der Papillen der Maulwurfschnauze VII, 189.
- — — Stäbchen-, des Gehörgans — siehe Haarzelle.
- — — der Papilla vallata VI, 243, der *P. foliata* beim Kaninchen 254.
- — — der Retina XII, 743, bei *Proteus anguineus* 759.
- — — der Niere und des Wolfischen Körpers XIII, 313.
- — — stäbchenförmige, der Kleinhirnrinde XIV, 210, Kern eigener Art 211, ungefärbt in Hämotoxylin 211.
- — — Stern-, im Froschlarvenschwanz, Verbindung mit der Gefäßentwicklung V, 65, 74.
- — — der Leber XII, 353, Untersuchungsmethode 353, Bedeutung 355.
- — — der Leber, Zugehörigkeit zu Plasmazellen XIII, 276.
- — — sternförmige, den acinösen Drüsen IV, 146, Behandlung 147.
- — — der Thränendrüse IV, 147.
- — — der Drüsen V, 336.
- — — der Speicheldrüsen, Bedeutung VI, 112, der Labdrüsen 379, beim Schwein 393.
- — — als Membrana propria der Drüsen XV, 200, Litteratur, der Hodencanälchen 203, Bedeutung 206.
- — — unter dem Riechepithel XVII, 148.
- — — bei Degeneration der Eifollikel XIX, 493.
- — — Stütz- oder Deckzellen der Geschmackszwebeln der Papilla vallata des Kalbes IV, 102.
- — — der becherförmigen Papillen der Mundhöhle des Froschlarvenschwanzes VI, 416.
- — — der Gehörschnecke VIII, 186.
- — — Hensens, im acustischen Endapparat der Säuger XIII, 511.
- — — des Epithels der Seitenorgane von *Chimaera*, vordere Kopfregion XVII, 106.
- — — des Neuroepithels des Gehörgans der Ganoiden XVIII, 504.
- — — Tast-, in der Oberhaut der Mollusken V, 438.
- — — und Tastkörperchen bei den Haussäugethieren und beim Menschen XI, 636, Litteratur, Wesen 638, Zwillings- 638, Untersuchungsmethode 638, — der Zunge und des Schnabels der Hausschwimmvögel 639, Nerveneintritt 640, Lage 640, — aus dem Oberesnabel von Huhn und Taube 642, der Taube, Lage im Epithel 642, — im Rüssel des Schweines 642, Lage in der Epidermis, Fortsetzung der Schwannschen Scheide auf — 643, Nerveneintritt 643, — in den Tasthaaren 643, Nervenendigung, — beim Menschen 647, Nervenendigung 648, Vergleich mit Langerhansschen Zellen 648.
- Zelle, Tast-, der Ente XV, 415, Litteratur 416, Nervenendigung in — 417, 420, Vorkommen und Bau 418, Hülle und Zwischensubstanz 421, Gruppierung 424.
- — — XIX, 116.
- — — der terminalen Körperchen XIX, 525.
- — — Testa-, Bildung bei *Ascidia canina* VI, 122 und *Ascidia mamillata* 123.
- — — Bildung bei einfachen Ascidiën VII, 103.
- — — bei *Pyrosoma* (Stolo), Entstehung XI, 606.
- — — Tracheen-, in den Leuchtorganen von *Lampyrus splendidula* I, 131, mit Ueberosmiumsäure 132.
- — — Tracheenend-, von *Lampyrus splendidula*, Aehnlichkeit mit peripheren Ganglienzellen von *Phyllirhoe bucephala* VIII, 649.
- — — der Leuchtorgane von *Lampyrus splendidula* VIII, 652.
- — — Tunica-, der Eier von *Ascidia* VIII, 360, *Cynthia*, *Molgula* 360, von *Molgula simplex* 364, von *Ascidia intestinalis* 367 und *canina* 366.
- — — Urat-, in den Leuchtorganen von *Lampyrus splendidula* I, 130.
- — — Ursamen-, Bedeutung XII, 802.
- — — beim Stier XV, 287.
- — — des Hodens von *Distomum Westermanni* XIX, 559.
- — — verästelte, der kleinen Lymphgefäße XII, 510.
- — — verhornte, bei Amphibien XII, 136.
- — — vielkernige, bei Resorption der Zähne der Amphibien XI, Suppl. 81, Vergleich mit Ostoklasten 82.

- Zelle, vielkernige, der Orbitaldrüse, Beziehung zur Entwicklung der Lunulae XIII, 300, Bildung nach Reizung der Orbitalis 333.
- Waldeyersche, Vergleich mit atrophischen Fettzellen XII, 460.
- Wander-, im Epithel der Kehlkopfschleimhaut V, 133.
- — aus der Bauchfellplatte der Fische, Beziehung zur Fettbildung VII, 56.
- — des fibrillären Bindegewebes der Arachnoidea Cerebri VII, 318.
- — bei der Entwicklung des fibrillären Bindegewebes VIII, 47.
- — im Bindegewebe der Amphibienhaut XII, 227.
- — der Insectenembryonen XV, 634.
- — Kerne, Bau XVI, 312.
- Wimper-, der Kiemen und des Mantels der Mollusken II, 468, mit Kali bichromicum 468, mit Jodserum 468, mit Ueberosmiumsäure 468, des Darmcanals der Mollusken 469.
- — der Haut von Amphioxus lanceolatus XII, 302.
- — Bau XIV, 114, Protoplasmanetz im Innern 115.
- — des Ectoderms von Tetrapteron volitans XV, 352.
- Wimperepithel- der Kieme von Unio und Anodonta XI, 530.
- Würfel-, in der Pleuroperitonealhöhle der Embryonen von Batrachern und Knochenfischen XVI, 526.
- Zapfen-, der Retina XII, 743, bei Proteus anguineus 759, Zusammenhang mit Nervenfasern bei Alligator lucius 770.
- — des acustischen Endapparates der Säuger XIII, 513, Membran 513, Kern 514, Härchenstellung und Structur 515, Spitzen 516, Verbindung mit Stabzelle 517, Entstehung der Basilarfortsätze 517, Verbindung mit den Radialnerven des Schneckenerven 530, und mit Spiralnerven 532.
- Zwillings-, im acustischen Endapparat der Säuger XIII, 512.
- Zwillingstast-, XI, 638.
- Zellbildung, freie bei Bildung des Plattenepithels der Keimhaut der Knochenfische IV, 217, 218.
- Zellbildung aus freien Kernen bei Entwicklung von Torpedo XIII, 470.
- Zellenarten im Bindegewebe der Heteropoden V, Suppl. 7.
- Zellenhaufen im Fühlerknopf von Helix pomatia XVI, 90.
- Zelleninseln, pigmentirte in der Leber von Proteus III, 432.
- Zellenschicht der Retina von Pteroceras II, 402, Zusammenhang mit der Nervenschicht 404.
- Zellentheorie Schultze's bei Kiemen der acephalen Mollusken XIV, 145.
- Zellige Elemente des Fontanaschen Raumes VI, 291.
- Zellkern, Bau VIII, 141, Körnchenkreis.
- Beschaffenheit XIII, 693, Litteratur 693, — der Harnblasenwand des Erdsalamanders 696, Netzbildung, Bedeutung 704, 711, nach Behandlung mit Chromkali 699, Alkohol 700, Chromsäure 700, Osmiumsäure 701, Anilin 702, destillirtem Wasser 704, — des hyalinen Knorpels 704, Zwischenkörner, Bedeutung 708, Wesen und Kritik 708, — primitiver 709, — der Epithelzelle der Salamanderblase, Netzbildung im Plasma 711, Beziehung zum Kern, — Vergleich mit Ganglienzellkern 712, Netzbildung, Körnerzone 713.
- Veränderungen bei Axolotleiern XIII, 768, Körnchenphase 770, Stäbchenphase 771, Fadennetz 771, Neubildung aus Dotterplättchen 772.
- Bau XIV, 94, Vorkommen der Körnchenschale 94, 99, 106, Litteratur 95, Fadennetz 102, Beziehung zur Körnchenschale 105, Kernspindeln 111, Radiärfasern 112, — der Ganglienzelle, Körnchenschale 112.
- Bau des ruhenden, lebenden XVI, 304, bei Salamanderlarven, — von Bindesubstanzzellen 307, Kernmembran 308, Nucleoli 309, Netzknoten 310, — der Pigmentzellen und Nervenfasern 311, der rothen Blutzellen 311, farbloser Blutzelle und Wanderzelle 312, der Epithelzelle der Schwanzflosse 313, Einbuchtungen 314, — der Schleimzellen 316, der Knorpelzellen 318, postmortale Veränderungen 319, — der Leberzelle des Karpfen 321, — des menschlichen Mundepithels 323, Todeserscheinungen 324, indifferente

- Reagentien 326, — Einwirkung von Osmiumsäure 328, Pikrinsäure und Chromsäure 328, picrinsäuren Salzen 333, Essigsäure 333, Goldechlorid 333, Arg. nitricum 334, Alcohol absol. 334, chromsauren Salzen 334, Tinctionsmittel 339, Hermannsche Anilinfärbung 339, — ruhende, Litteratur 350, intranucleare Bildungen 348, Bau 349, Wesen 356, Zwischensubstanz 350, Nucleoli 355, Protoplasma 358, — Veränderungen bei Zelltheilung bei Salamanderlarven 363, Korbgerüst mit enggewundenen Fäden 364, Korbform des Mutterkernes 374, Sternform 374, Doppeltstern 379, Aequatorialplatte 381, Trennung der Kernfigur 385, Sternform der Tochterkerne 387, Knäuelform 388, Gerüst 390, Tochterkernfigur, erste Entstehung 392, Allgemeines über das Verhalten des — bei Zelltheilung 410, — Maasse bei Salamandra 425, directe Theilung 423, physikalisches Wesen des — 420.
- Zellkern**, Bau bei *Lilium crocum* im Wandbelag des Embryonalsackes XVIII, 52.
- Karyokinesis XVIII, 155, Bedeutung, Aequatorialplatte 157, Chromatin der — 158, — indirecte Theilung, Verbreitung 158, bei Amphibien, Axolotl, Siredon, *Proteus anguineus* 164, neuere Litteratur 164, bei Urodelen, bei Hodenepithelzellen 170, bei Krötenlarven 174, neuere Litteratur 174, bei Pflanzen 176, (*Nothoscorodon fragilis* und *Allium odorum*) bei Säugethieren 185, der thierischen Eizelle 186, der Eizelle von *Toxopneustes lividus* 186.
- Zellmembran** der farblosen Blutkörperchen I, 21.
- der Nervenzelle des *Sympathicus* des Frosches IV, 138.
- Zellnatur der Geschlechtsstoffe** XVIII, 98.
- Zelltheilung** im wachsenden und entzündeten Gewebe XVI, 361, bei Salamanderlarven 363, Veränderung am Kern 363, und Protoplasma 371, dicentrische Anordnung des Zellleibes 372, Polkörner 372, — beim Endothel 394, bei Bindegewebszellen 394, Muskelzellen 394, Knorpel 395, rothen Blutzellen 395, farblosen Blutzellen 397, beim Epithel erwachsener Salamanderlarven 397, Litteratur 398, Zusammenfassung 408, — über das physikalische Wesen 420.
- Zelltheilung**, Morphologie und Mechanik XVIII, 191, Anfangsphase 195, Verhalten der Nucleolen 195, 196, Nervenendigung in den Nucleolen 197, Bildung des Sternes 198, der Aequatorialplatte 205, Segmentierung der Kernfäden 198, Längsspaltung der Kernfäden 211, Tochterkernfiguren 213, achromatische Fadenfigur 217, wirkende Kräfte bei — 229, Litteratur über — 252, — ohne Kerntheilung XX, 77.
- Zellwand** von *Pleurosigma*, *Structur* VI, 472.
- Zellzustand** der Amöben I, 206, von *Vampyrella Spirogyrae* 221, *pendula* 222 und *vorax* 224.
- Zeus faber**, Flimmerepithel des Enddarmes XIII, 689.
- Zipfelschnecke** — *Calyptraea*.
- Zirbel** bei der Unke IX, 400.
- Zitterroche** — *Torpedo*.
- Zitterthierchen** — *Vibrio*.
- Zitterwels** — *Malapterurus*.
- Zitze**, Haarbildung bei Wiederkäuern XX, 482.
- Zitzenerhebung** der Milchdrüse, Entwicklung bei Wiederkäuern XX, 473.
- Zona ciliaris** des Cephalopodenauges XVI, 234.
- *fasciculata* der Nebenniere VIII, 618, Parenchymzelle 621.
- *glomerulosa* der Nebenniere VIII, 618, Verschiedenheit bei verschiedenen Thieren 621, beim Pferd, spindelförmige Zelle, Beziehung zum Bindegewebe 622, Bedeutung 626.
- *pectinata*, Bedeutung VIII, 162, Faserschicht 201.
- *pellucida*, Bildung beim Ei der Reptilien VIII, 231.
- — Ursprung für die Dotterhaut VIII, 401, bei Reptilien 403, 407, Moloch *horridus* 404, Bildung aus Granulosazellen 413.
- — bei Eiern der Knochenfische VIII, 417.
- *radiata*, Ursprung für Dotterhaut VIII, 400, des Hühnereies 416.
- *reticularis* der Nebenniere VIII, 618.
- Zonula ciliaris** des Auges VI, 325, Zusammenhang mit der *Limitans Retinae* 328, Zonen derselben 327,

- Ursprung der Zonula-Fasern 335, Ansatz 337, quergestreifte Fasern 339, Zellen 340, knollige Gebilde 341.
- Zonula ciliaris, Entwicklung bei Vertebraten XIX, 157.
- — — vergleichend-anatomische Untersuchungen XIX, 163, bei Vögeln 165, Amphibien 166, Anuren 166, Tritonen 166, Reptilien 166, Knochenfischen 167, Accommodation bei letzteren 167, Ligamentum quadratum 168.
- — — Zinnii, Verbindungsband zwischen Corpus ciliare und Linse III, 495, Ansatz an der Linse.
- — — des Auges VI, 325.
- — — Ursprung XV, 553.
- Zoospermien der Gasteropoden V, Suppl. 96, Heteropoden 97, Cephalopoden 97, Octopoden, Decapoden 97.
- Zoosporea I, 205, Eintheilung 213, Schwärmer 205.
- — — der Flagellaten VI, 422.
- Zoosporenbildung bei *Noctiluca miliaris* IX, 53, 59.
- Zoothamnium marinum, Bau XVI, 157, Fundort 158.
- Zotten der Amöbe *terricola* II, 316 und *gracilis* 323.
- — — endothellose X, 432.
- — — des Mitteldarmes von *Corvina nigra*, *Gobius melanostomus*, *Balistes*, *Crenilabrus fuscus* und *perispicillatus* XIII, 682, *Mugil cephalus* 682.
- — — des Enddarmes von *Rhombus aculeatus*, Flimmerepithel XIII, 689.
- Zucker zur Untersuchung doppeltbrechender Platten VII, 232.
- Zuckmücke — *Chironomus*.
- Zunge — Solea.
- — — Vorkommen von *Leptothrix buccalis* im Epithel III, 322.
- — — Schmeckbecher der Papillae valatae III, 505, 508, IV, 161.
- — — Geschmackswärzchen beim Frosch IV, 96, Epithel 96.
- — — verästelte Pigmentzellen im Epithel der Papillen IV, 159.
- — — becherförmige Organe VI, 237, beim Menschen 242, Wiederkäuern 248, Rind 248, Schaf 249, Igel 249, Kaninchen 252, Papillen 239, Beziehung der Nerven zu den becherförmigen Organen 255.
- Zunge, Papilla foliata, des Menschen VIII, 456, des Pferdes 457, des Hundes 457.
- — — des Frosches, Bindegewebszelle XI, 187.
- — — der Hausschwimmvögel, Tastkörperchen XI, 639, Nerveneintritt 640, Lage 640.
- Zungenknorpel von *Neritina fluviatilis* V, Suppl. 4, von *Pterotrachea* 12.
- Zungenpapillen der Säuger, becherförmige Sinnesorgane auf — VIII, 348, Vergleich mit Schlangen.
- Zungenscheide bei *Fusus* sp. XIII, 144.
- Zwillingsfasern II, 28.
- — — der Retina beim Frosch, Pigmentirung III, 233.
- Zwillingszapfen der Retina III, 231, bei Fischen 232, bei anderen Thieren 233, Pigmentirung, beim Frosch 233, *Lacerta agilis*, Huhn 233.
- — — zur Neubildung der Zapfen IV, 14.
- Zwischendarm der Fische, Epithel der Schleimhaut XIII, 675.
- Zwischenganglien des Gehörorgans der Acridier XI, 201.
- Zwischengewebe der Orbitalis XIII, 317.
- Zwischenkörner der Zellen des hyalinen Knorpels XIII, 708.
- Zwischenkörnerschicht der Retina III, 379, IV, 18.
- — — der Retina der Ophidier XII, 431.
- — — Beziehung zur äusseren Körnerschicht der Retina bei Wirbelthieren XIX, 398.
- Zwischensubstanz der Purkinjeschen Fäden IV, 31.
- — — des fibrillären Bindegewebes VIII, 53, 62.
- — — des Hodens, Zellen XIV, 22.
- — — des Zellkernes XVI, 350.
- Zwischenwirbelscheibe, Bau XVI, 605.
- — — Schichten der verknöchernenden XVI, 608.
- Zygobates Studeri, Verhalten der Knochen im tertiären System XV, 375.
- Zygaena filipendula, Cylindergebilde des Rüssels XV, 15.

Im Verlage von **Max Cohen & Sohn (Fr. Cohen)** in **Bonn** ist erschienen:

Beiträge

zur

Anatomie und Embryologie

J. Henle

am Tage seines 50jährigen Doctorjubiläums

dargebracht

von seinen Schülern.

Gross-Quarto. 28 Bogen Text, 24 lithographirte Tafeln
und 17 Holzschnitte. Preis 40 Mark.



Inhalt: Chr. Aeby, Ueber das leitende Prinzip bei der Differenzirung der Gelenke. — A. v. Brunn, Die Rückbildung nicht ausgestossener Eierstockseier bei den Vögeln. — R. Deutschmann, Ueber genuine Glaskörpertuberculose beim Menschen. — W. Flemming, Vom Bau der Spinalganglienzellen. — A. Froiep, Kopftheil der Chorda dorsalis bei menschlichen Embryonen. — W. Henke, Zur Topographie der Bewegungen am Halse bei Drehung des Kopfes auf die Seite. — C. K. Hoffmann, Ueber die Entwicklungsgeschichte der Chorda dorsalis. — A. Kölliker, Ueber die Lage der weiblichen inneren Geschlechtsorgane.¹⁾ — Th. Langhans, Ueber die Zellschicht des menschlichen Chorion. — F. S. Merkel, Beitrag zur Kenntniss der postembryonalen Entwicklung des Schädels.²⁾ — N. Rüdinger, Ein Beitrag zur Anatomie der Affenspalte und der Interparietalfurche beim Menschen nach Race, Geschlecht und Individualität.³⁾ — W. Waldeyer, Untersuchungen über die Histogenese der Horngebilde, insbesondere der Haare und Federn. — A. Weismann, Beitrag zur Kenntniss der Entwicklungsvorgänge im Insektenei.⁴⁾ — F. A. Zenker, Ueber den *Cysticercus racemosus* des Gehirns.⁵⁾

1) Separatausg. mit 3 Taf. 4 M. — 2) Separatausg. mit 7 Taf. 6 M.

3) Separatausg. mit 4 Taf. 4 M. — 3) Separatausg. mit 3 Taf. 4 M.

5) Separatausgabe mit 1 Tafel 2 M.

**Zu beziehen durch alle Buchhandlungen des
In- und Auslandes.**



Archiv

für

Mikroskopische Anatomie

herausgegeben

von

v. la Valette St. George in Bonn

und

W. Waldeyer in Berlin.

Fortsetzung von Max Schultze's Archiv für mikroskopische Anatomie.

Namen- und Sachregister

zu Band I—XX

bearbeitet von

Ludwig Schirmeyer.

Bonn

Verlag von Max Cohen & Sohn (Fr. Cohen)

1884.



In unserm Verlage ist erschienen:

Lehrbuch
der
Topographisch-Chirurgischen Anatomie
mit Einschluss der Operationsübungen an der Leiche.
Für Studierende und Aerzte

VON

Dr. G. Jössel,

o. ö. Professor an der Universität Strassburg.

Erster Theil:

Die Extremitäten.

Mit 155 grösstentheils in Farbendruck ausgeführten Holzschnitten.
Lexicon-Oktav. Preis 12 Mark.

Das Buch wird dem Studirenden der Medicin wie dem practischen Arzte und Chirurgen in gleichem Maasse willkommen sein. Indem der Verfasser ebensowohl dem Interesse des Anatomen als auch des practischen Chirurgen Rechnung trägt, verbindet er mit der Darstellung der topographischen Verhältnisse eine auf reiche Erfahrung begründete Anleitung zum Studium an der Leiche und Einführung in die Operationslehre. Der Anschauung kommen künstlerisch ausgestattete Abbildungen zu Hülfe; durch eine glückliche Verschmelzung von schematischer und realistischer Darstellung hat es der Zeichner verstanden, klare Uebersicht mit plastischer Anschaulichkeit zu verbinden und jene Ueberladung zu vermeiden, durch welche topographische Abbildungen dem Verständniss vielfach grössere Schwierigkeiten bereiten, als das wirkliche Präparat. Wort und Bild ergänzen sich in so vollkommener Weise, dass der practische Arzt, dem die Belehrung am Präparate nicht jederzeit zu Gebote steht, aus dem vorliegenden Handbuche klare Anschauung aller topographischen Verhältnisse gewinnen kann; nicht minder wird die Lektüre des Buches die beste Vorbereitung für das topographische Studium in der Operationsübung an der Leiche sein. So hoffen wir, dass sich das vortreffliche Handbuch ebensowohl an unseren Hochschulen als in dem Studirzimmer des Arztes einbürgern wird.

Der II. Theil *Brust, Bauch und Becken*, sowie der III. Theil *Kopf und Hals* (Schluss des Werkes) sind in Vorbereitung.

Die Verlagsbuchhandlung **Max Cohen & Sohn (Fr. Cohen) in Bonn.**

Verlag von Max Cohen & Sohn (Fr. Cohen) in Bonn.

- Bartold**, Die Hiebwunden des Kopfes und Gesichtes und ihre Behandlung. *M* 3.—
- Burkart, R.** Die chronische Morphinum-Vergiftung und deren Behandlung durch allmähliche Entziehung des Morphinum. *M* 3.—
- Burkart, Dr. R.** Weitere Mittheilungen über chronische Morphinum-Vergiftung und deren Behandlung. *M* 1.60
- Burkart, Dr. R.** Zur Pathologie der Neurasthenia gastrica (Dyspepsia nervosa). Mittheilungen aus der Wasserheilanstalt Marienberg. *M* 1.—
- Ferber, A.** Situsphantom der Organe der Brust und der oberen Bauchgegend. gr. 4^o. mit Text in 8^o. In Enveloppe. *M* 6.—
- Hummius, H.** Zur Syptomatologie der Brückenerkrankungen und über die conjugirte Deviation der Augen bei Hirnkrankheiten. Mit 6 Holzschnitten. *M* 2.—
- Kochs, W.** Ein neues Fleischpepton. Nahrungsmittel und Genussmittel für Kranke und Gesunde. Mit 7 Tafeln. *M* 1.—
- Kocks, J.** Die normale und pathologische Lage und Gestalt des Uterus, sowie deren Mechanik. Anatomisch-Gynäkologische Studie mit 6 Tafeln und 1 Holzschnitt. *M* 5.—
- Kölliker, A.** Ueber die Lage der weiblichen Geschlechtsorgane. Mit 3 Tafeln. *M* 4.—
- Lahs, H.** Die Theorie der Geburt. Mit 67 Holzschnitten. *M* 7.80
- Lehmann, L.** Bäder- und Brunnenlehre. Zum Gebrauche für Aerzte und Studirende. *M* 10.—
- Noeggerath, E.** Die latente Gonorrhöe im weiblichen Geschlecht. *M* 2.80
- Pfäuger, E. F. W.** Die teleologische Mechanik der lebendigen Natur. *M* 1.60
- Ribbert, H.** Nephritis und Albuminurie. Pathologisch-Anatomische Untersuchung. Mit einer lithographirten Tafel. *M* 2.80
- Saemisch, Th.** Das Ulcus corneae serpens und seine Therapie. *M* — 80
- Schröder, K.** Lehrbuch der Geburtshülfe mit Einschluss der Pathologie der Schwangerschaft und des Wochenbettes. Achte Auflage. Mit 139 Holzschnitten. *M* 16.—
- Schulz, H.** Das Eucalyptusöl, pharmakologisch und klinisch dargestellt. Mit einer Curventafel. *M* 2.—
- Stutzer**, Die Bestandtheile der wichtigsten Nahrungsmittel für Kranke und Kinder. *M* — 60
-

Verlag von Max Cohen & Sohn (Fr. Cohen) in Bonn.

- Kekulé, Aug.** Die wissenschaftlichen Ziele und Leistungen der Chemie. *M* 1.—
- Knublauch, O.** Qualitative chemische Analyse nach Gleichungen in neuen Formeln. *M* 1.—
- Lipschitz, R.** Lehrbuch der Analysis.
I. Bd.: Grundlagen der Analysis. *M* 15.—
II. Bd.: Differential- u. Integralrechnung. *M* 18.—
- Oudemans, A. C.** Das spezifische Gewicht der Essigsäure und ihrer Gemische mit Wasser. *M* 1.80
- Preyer, W.** Die Blausäure. Physiologisch untersucht. *M* 6.—
- Richter, V. v.** Lehrbuch der anorganischen Chemie. Mit 89 Holzschnitten und einer Spectraltafel. Vierte Auflage. *M* 8.—
- Richter, V. v.** Chemie der Kohlenstoffverbindungen oder organische Chemie. Dritte Auflage. *M* 11.—
- Rieth, R.** Die Volumetrie oder chemische Maassanalyse. Zum Gebrauch im Laboratorium. Mit 30 Holzschnitten. *M* 5.40
- Ritthausen, H.** Die Eiweisskörper der Getreide-Arten, Hülsenfrüchte und Oelsamen. Beiträge zur Physiologie der Samen der Culturgewächse, der Nahrungs- und Futtermittel. *M* 5.—
- Vogelsang, H.** Ueber die natürlichen Ultramarin-Verbindungen. Mit 3 Tafeln. *M* 2.50
-

Als prachtvolles Festgeschenk wird hiermit die grossartigste Leistung im Gebiet der Kupferstichkunst empfohlen:

La Madonna di San Sisto

(Sixtina)

nach Rafael's Gemälde in der Königlichen Gallerie in Dresden
gezeichnet und in Kupfer gestochen

von

Joseph Keller.

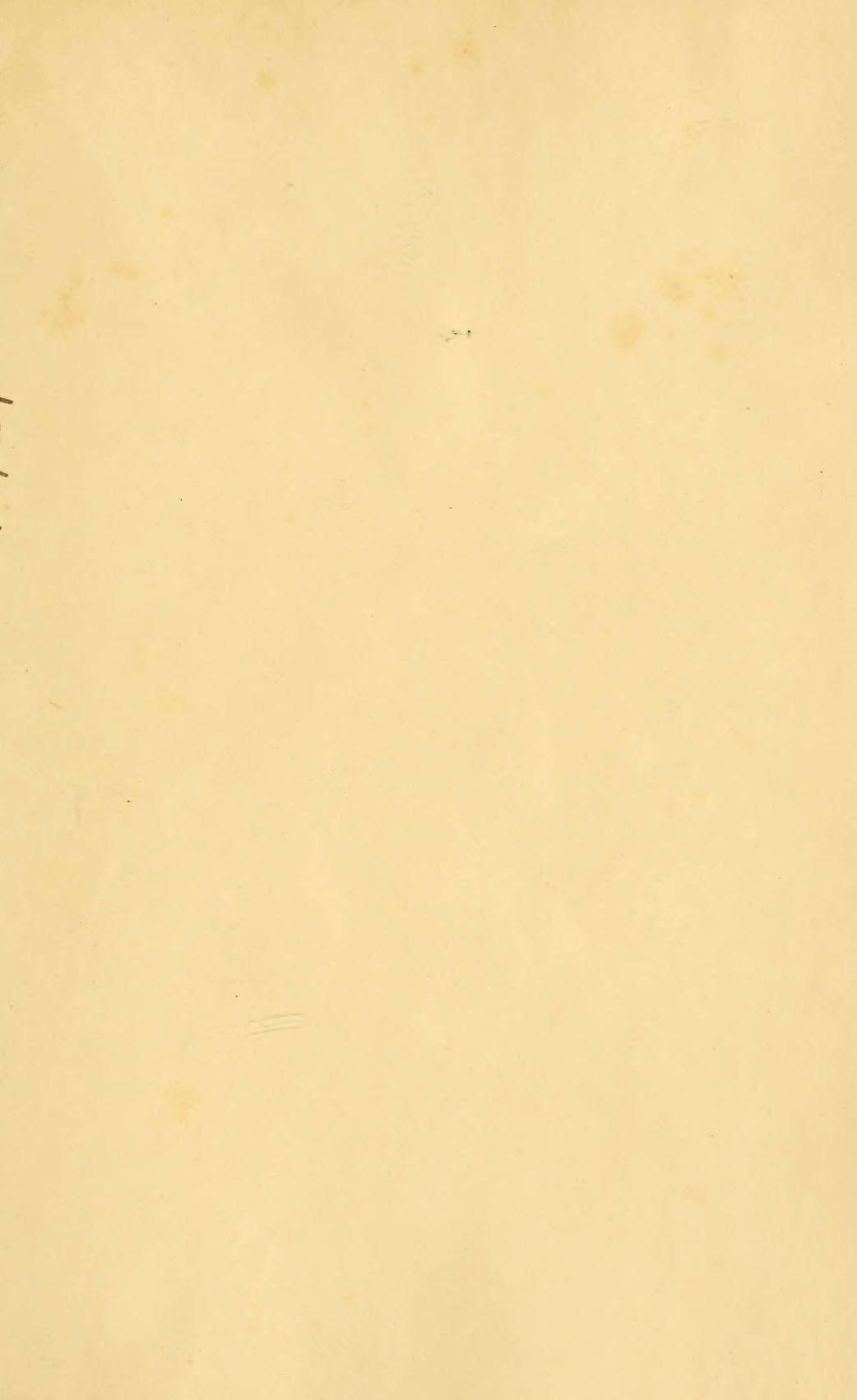
Höhe des Stiches exclusive Platten- und Papierrand 72 Centimeter.

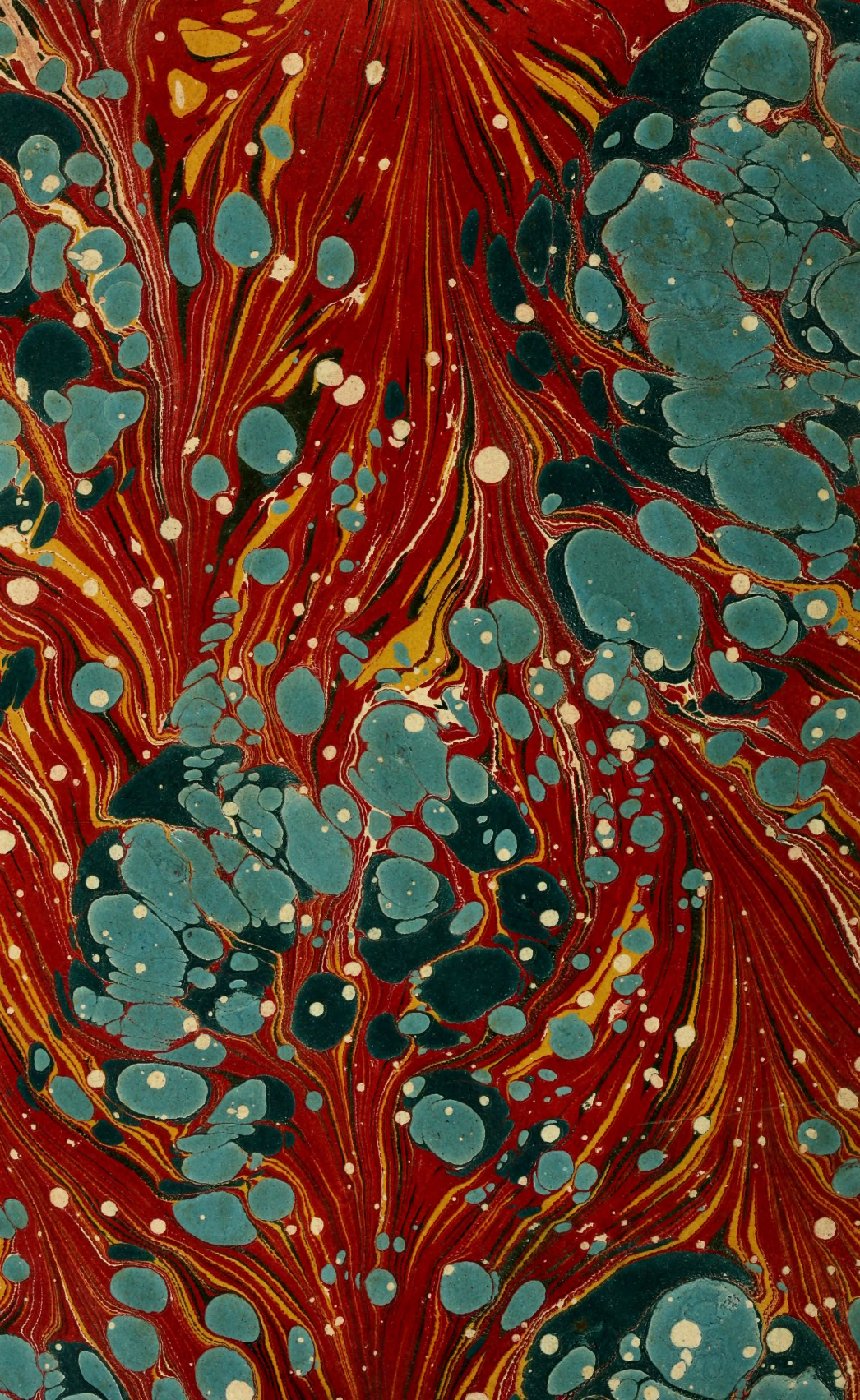
Breite „ „ „ „ „ „ 53 $\frac{1}{2}$ „

Preis eines Abdruckes auf weissem Papier 75 M. auf chinesischem
Papier 105 M.

Von allen nennenswerthen Nachbildungen der Sixtina die vollendetste
und dekorativste.







MBL WHOI Library - Serials



5 WHSE 02606

